

CORNEL MARIN

**VIBRAȚIILE  
STRUCTURILOR MECANICE**

## **MECHANICAL STRUCTURES VIBRATIONS**

Replay of the mechanic system from the various external excitation determined or aleatory depends both on its intrinsic characteristics (inertia, elasticity and hysteresis ) and on the characteristics of links with fix medium and/or with the vibrations source.

By using of some dynamic models of study the suitable schematic depictions enable a certain mathematical approach and solution of equations which characterize the phenomenon of vibrations having possibility to plot the variation diagrams of different characteristic functions of vibrations ( the amplification factor of the forced vibrations, the transmission factor, the dynamic factor, the active and reactive power, etc), these results could be verified on the tests benches and on the basis of checks the mathematical model might be validated. Only major difficulty to solve of an application remains the introduction the work assumptions, which might allow the obtaining a mathematical model having a behaviour as close as possible of the real model.

This work is engaged in the study of discrete linear elastic and continuous systems, of free and forced vibrations of these systems without and with damping using different assumptions on dumping.

**Conf. dr. ing. CORNEL MARIN**

**VIBRAȚIILE  
STRUCTURILOR MECANICE**

**EDITURA IMPULS  
București 2003**

**Descrierea CIP a Bibliotecii Naționale a României**

**MARIN, CORNEL**

**Vibrațiile structurilor mecanice /**

Cornel Marin - București : Editura IMPULS, 2003

390 p; 25cm - (Universitaria)

Bibliografie

ISBN 973-8132-43-6

Recenzia științifică:

**Prof. dr. ing. Polidor BRATU**

**Prof. dr. ing. Nicolae ENESCU**

## CUVÂNT ÎNAINTE

Studiul dinamic al proceselor cu parametri variabili, în regim determinist sau aleator, se constituie ca o necesitate permanentă în abordarea, elucidarea, măsurarea și aprecierea cât mai justă a consecințelor asupra mediului tehnologic, a mediului construit și a mediului natural. Din această cauză analiza și sinteza structurilor mecanice acționate din exterior de forțe perturbatoare reprezintă un capitol fundamental în teoria sistemelor dinamice cu impact direct în activitatea de proiectare, evaluare, expertizare și mentenanță, atât pentru menținerea performanțelor funcționale și tehnologice, cât și pentru protecția omului și a mediului.

Problematica complexă a vibrațiilor structurilor mecanice a fost analizată în modalități variate de diverși cercetători din țară și străinătate, fără a fi epuizată sub aspect științific și tehnic. De aceea, consider că demersul lăudabil al domnului conf. univ. dr. ing. Cornel Marin se înscrie ca o contribuție pertinentă și esențială în sistematizarea și modelarea vibrațiilor structurilor mecanice.

În acest context, menționez că autorul a abordat analiza vibrațiilor liniare deterministe și aleatoare folosind modele fizice de interes practic astfel încât la finalul fiecărui capitol să poată realiza sinteza rezultatelor sub forma răspunsului sistemului la variate acțiuni exterioare.

Această modalitate de prezentare, a unei analize dinamice bogate în reprezentări grafice trasate cu programe automate de calcul, constituie punctul forte al conceptului de abordare simultană a modelului fizic cu modelul numeric. Din această perspectivă, menționez că în primul capitol sunt elaborate modelele fizice și au fost obținute răspunsurile dinamice cu parametrii de interes folosind reprezentări compuse ale modelului reologic Voigt-Kelvin și Hooke Maxwell.

Vibrațiile cu două și mai multe grade de libertate sunt abordate într-o manieră științifică ușor de transpus în programe informatice specializate astfel încât răspunsul structurii mecanice să aibă o reprezentare convenabilă pentru utilizatorul final.

Vibrațiile aleatoare sunt analizate într-un capitol dedicat proceselor dinamice tehnologice și naturate cu reprezentare statistică și probabilistică a parametrilor specifici.

În ultimul capitol autorul a reușit, în mod cu totul deosebit, să abordeze problema complicată a sintezei teorie-practică din domeniul mașinilor cu acțiune vibrantă. Astfel, pot afirma că rezultatele obținute sunt foarte importante pentru inginerii din proiectare, cercetare și managementul producției.

În final menționez faptul că pe lângă caracterul științific și original al cărții, autorul a realizat o lucrare redactată clar și cursiv, fiind accesibilă cititorilor care posedă cunoștințe de analiză matematică, mecanică și rezistența materialelor. De remarcat, în mod deosebit, atât modul riguros și sintetic de prezentare a fiecărei demonstrații, cât și interpretarea fenomenologică și inginerească pe baza unui algoritm coerent.

Față de cele de mai sus, consider că prezenta lucrare se constituie ca o contribuție valoroasă în domeniul dinamicii sistemelor mecanice cu impact deosebit asupra dezvoltării științelor ingineresti.

București,

1 Decembrie 2003

**Prof. Univ. Dr. ing. Dr. h.c. Polidor Bratu**  
**Membru al Academiei de Științe Tehnice din România**  
**Președinte al Societății Române de Acustică**

# PREFAȚA

Dinamica structurilor mecanice elastice este la ora actuală una dintre disciplinele de bază din programa de pregătire a inginerului mecanic care proiectează, realizează sau exploatează mașini unelte, autovehicule, echipamente, utilaje pentru construcții, roboți industriali sau alte tipuri de sisteme mecanice clasice sau mecatronice (micromașini, microacționări, microroboți, etc).

Prezența vibrațiilor în toate structurile mecanice este un fapt binecunoscut cu implicații foarte serioase în funcționarea lor atunci când se pune problema preciziei, duratei de funcționare și stabilității impuse prin tema de proiectare. Acesta este motivul pentru care răspunsul dinamic și impactul acestuia asupra performanțelor structurii mecanice trebuie să reprezinte un punct important al memoriului tehnic de prezentare al oricărui produs.

Efectul vibrațiilor asupra structurii interne a materialelor este în general un fenomen legat de îmbătrânirea și rezistența la oboseală care se manifestă în final prin scăderea capacității de rezistență în timp chiar pentru excitații având frecvențe mai îndepărtate de rezonanță. Răspunsul sistemului mecanic la diverse excitații exterioare deterministe sau aleatoare este funcție atât de caracteristicile intrinseci ale lui (inerție, elasticitate și histerezis) cât și de caracteristicile legăturilor cu mediul fix și/sau cu sursa de vibrații.

Folosirea unor modele dinamice de studiu și a schematizărilor corespunzătoare permite o abordare și rezolvare matematică precisă a ecuațiilor care caracterizează fenomenul vibrațiilor și posibilitatea trasării diagramelor de variație a diferitelor mărimi caracteristice ale vibrațiilor (factorul de amplificare al vibrațiilor forțate, factorul de transmitere, factorul dinamic, puterea activă și reactivă, etc.), aceste rezultate cantitative și calitative putând fi verificate pe standurile de încercări, iar pe baza acestor verificări, modelul matematic poate fi validat. Singura dificultate majoră în rezolvarea unei aplicații rămâne însă introducerea corectă a ipotezelor de lucru, ipoteze care să permită obținerea unui model matematic cu o comportare cât mai apropiată de cea a modelului real.

Prezenta lucrare este dedicată studiului dinamic al sistemelor elastice liniare discrete și continue, a vibrațiilor libere și forțate ale acestor sisteme cu și fără amortizare, folosind diferite ipoteze asupra amortizării.

Astfel, în primul capitol sunt prezentate vibrațiile sistemelor elastice liniare cu un grad de libertate libere și forțate, cu și fără amortizare, rezolvarea reală și în complex a ecuațiilor matematice ale vibrațiilor, impedanța mecanică și transmisibilitatea vibrațiilor, expresiile energetice ale vibrațiilor liniare.

În al doilea capitol sunt prezentate vibrațiile sistemelor elastice liniare cu două grade de libertate libere și forțate, cu și fără amortizare, rezolvarea în complex a ecuațiilor matematice, exprimarea matriceală a ecuațiilor, demonstrarea ortogonalității modurilor proprii de vibrație și prezentarea coordonatelor principale. Problemele rezolvate prezintă rezultatele pulsațiilor proprii și imaginile grafice ale modurilor proprii de vibrație, imagini deosebit de utile în interpretarea și înțelegerea acestor fenomene.

În cel de al treilea capitol sunt abordate vibrațiile sistemelor discrete cu  $N$  grade de libertate din punctul de vedere al analizei modale. Vectorii proprii ai matricei modale permit generalizarea rezultatelor obținute în capitolul anterior și extinderea lor în studiul vibrațiilor sistemelor liniare cu  $N$  grade de libertate. Tot în acest capitol sunt prezentate metode exacte și aproximative folosite pentru determinarea pulsațiilor și modurilor proprii de vibrație.

În capitolul al patrulea sunt prezentate bazele matematice ale determinării ecuațiilor vibrațiilor sistemelor continue cele mai simple (de tip fir omogen și bară dreaptă). Sunt tratate vibrațiile longitudinale și transversale ale firelor, vibrațiile longitudinale, de răsucire și transversale ale barelor de secțiune constantă omogene și cu mase concentrate la capete. Sunt prezentate rezultate numerice ale ecuațiilor transcendente obținute folosind metode grafice și numerice de rezolvare.

În capitolul al cincilea sunt prezentate pe scurt bazele matematice ale vibrațiile aleatoare, tipurile de vibrații statistice și probabilistice, răspunsul sistemelor liniare la excitații aleatoare de tip șoc dreptunghiular, triunghiular, semisinusoidal, răspunsul sistemelor liniare la acțiuni seismice, răspunsul seismic Fourier și spectral al unui sistem mecanic cu un grad de libertate.

Ultimul capitol (al șaselea) este dedicat unor aplicații clasice din dinamica mașinilor vibratoare monomasice cu acționare cinematică cu diferite tipuri de lșegături (suporturi de sprijin) și diferite tipuri de cuplaje între motorul de acționare și organul de lucru (masa vibratoare). Sunt prezentate modelele matematice utilizate în fiecare caz, soluțiile analitice ale ecuațiilor diferențiale ale mișcării, reprezentarea grafică a acestor soluții și concluziile ce rezultă din analiza calitativă a acestor diagrame de variație.

Sper ca această lucrare să fie utilă atât studenților de la specializările tehnice cât și inginerilor care lucrează în domeniul proiectării și exploatării structurilor mecanice supuse vibrațiilor deterministe sau aleatoare.

În final doresc să mulțumesc în mod deosebit d-lui prof. Dr. ing. Polidor BRATU , membru corespondent al Academiei de Științe Tehnice a României și d-lui prof. Dr. ing. Nicolae ENESCU, pentru răbdarea cu care au parcurs manuscrisul și pentru observațiile d-lor deosebit de utile care au permis apariția lucrării sub această formă.

Conf. dr. ing. **Cornel MARIN**  
UNIVERSITATEA VALAHIA TARGOVIȘTE  
Târgoviște, 10 noiembrie 2003



# CUPRINS

## INTRODUCERE

Definiții (13)

## CAPITOLUL I - VIBRAȚIILE SISTEMELOR MECANICE CU UN GRAD DE LIBERTATE

- 1.1. Vibrații libere (17)
  - 1.1.1. Ecuațiile generale (17)
  - 1.1.2. Probleme rezolvate (19)
- 1.2. Vibrații libere cu amortizare vâscoasă (26)
  - 1.2.1. Ecuațiile generale (26)
  - 1.2.2. Aplicație (33)
- 1.3. Vibrații libere cu amortizare uscată (35)
- 1.4. Vibrații forțate fără amortizare sub acțiunea unei forțe armonice (38)
  - 1.4.1. Fenomenul de rezonanță (40)
  - 1.4.2. Fenomenul bătăilor (41)
  - 1.4.3. Fenomenul de anterezonanță (42)
  - 1.4.4. Fenomenul de postrezonanță (43)
- 1.5. Vibrații forțate cu amortizare vâscoasă sub acțiunea unei forțe armonice (45)
- 1.6. Vibrații forțate cu amortizare vâscoasă sub acțiunea unor forțe de inerție rotitoare (52)
- 1.7. Vibrații forțate parametrice cu amortizare vâscoasă (cu excitație cinematică armonică) (55)
- 1.8. Vibrații forțate cu amortizare histeretică sub acțiunea unor forțe armonice (58)
- 1.9. Vibrații forțate cu amortizare histeretică sub acțiunea unor forțe armonice de inerție rotitoare (69)
- 1.10. Vibrații forțate cu amortizare uscată (63)
- 1.11. Transmisibilitatea vibrațiilor (66)
  - 1.11.1. Transmisibilitatea vibrațiilor în cazul izolării active cu elemente elastice pentru izolarea activă (66)
  - 1.11.2. Transmisibilitatea vibrațiilor în cazul izolării pasive cu elemente elastice pentru izolarea pasivă (68)
- 1.12. Izolarea antivibratorie activă (69)
  - 1.12.1. Izolarea antivibratorie activă în cazul utilizării modelului vâsco-elastic Voight-Kelvin (69)
  - 1.12.2. Izolarea antivibratorie activă în cazul utilizării modelului histeretic Voight-Kelvin (72)
  - 1.12.3. Izolarea antivibratorie activă în cazul utilizării modelului vâsco-elastic Hooke-Maxwell (74)
  - 1.12.4. Izolarea antivibratorie activă în cazul utilizării modelului histeretic Hooke-Maxwell (78)
- 1.13. Izolarea antivibratorie pasivă (82)
  - 1.13.1. Izolarea antivibratorie pasivă în cazul utilizării modelului vâsco-elastic Voight-Kelvin (82)
  - 1.13.2. Izolarea antivibratorie pasivă în cazul utilizării modelului histeretic Voight-Kelvin (83)
  - 1.13.3. Izolarea antivibratorie pasivă în cazul utilizării modelului vâsco-elastic Hooke-Maxwell (85)
  - 1.13.4. Izolarea antivibratorie pasivă în cazul utilizării modelului histeretic Hooke-Maxwell (88)

- 1.14. Relații energetice pentru studiul vibrațiilor (90)
  - 1.14.1. Cazul vibrațiilor libere neamortizate (90)
  - 1.14.2. Cazul vibrațiilor libere cu amortizare vâscoasă (92)
  - 1.14.3. Cazul vibrațiilor libere cu amortizare uscată (94)
  - 1.14.4. Cazul vibrațiilor forțate cu amortizare vâscoasă (96)
  - 1.14.5. Puterea medie, instantanee, activă și reactivă cazul vibrațiilor forțate cu amortizare vâscoasă (100)
  - 1.14.6. Relații energetice pentru cazul vibrațiilor forțate cu amortizare histeretică (105)
- 1.15. Modele reologice ale elementelor vâscoelastice folosite în izolarea anitivibratorie (108)
  - 1.15.1. Modelul elastic liniar Hooke (109)
  - 1.15.2. Modelul vâscos liniar Newton (109)
  - 1.15.3. Modelul vâscoelastic Voigt Kelvin (109)
  - 1.15.4. Modelul vâscoelastic Maxwell (110)
  - 1.15.5. Modelul vâscoelastic Hooke Maxwell (110)
  - 1.15.6. Modelul vâscoelastic liniar generalizat Voigt Kelvin Hooke (111)
  - 1.15.7. Modelul vâscoelastic Voigt Kelvin generalizat (112)
  - 1.15.8. Modelul vâscoelastic Maxwell generalizat (113)
- 1.16. Impedanța mecanică (115)
- 1.17. Aplicații (122)
  - 1.17.1. Turația critică a arborilor dreپți (122)
  - 1.17.2. Amortizorul hidraulic liniar cu piston (128)
  - 1.17.3. Amortizorul hidraulic unghiular (129)
- 1.18. Probleme propuse (131)

## **CAPITOLUL II - VIBRAȚIILE SISTEMELOR CU DOUA GRADE DE LIBERTATE**

- 2.1. Ecuațiile diferențiale ale vibrațiilor libere (137)
  - 2.1.1. Teorema impulsului (137)
  - 2.1.2. Principiul lui d'Alembert (138)
  - 2.1.3. Metoda coeficienților de influență (139)
  - 2.1.5. Ecuațiile lui Lagrange (141)
- 2.2. pulsații și moduri proprii de vibrații (142)
- 2.3. Ortogonalitatea modurilor proprii de vibrație (145)
- 2.4. Coordonate principale sau modale (148)
- 2.5. Probleme rezolvate (149)
  - 2.5.1. Pendulul dublu (149)
  - 2.5.2. Sistem format din mase și discuri omogene (151)
  - 2.5.3. Vibrații transversale ale barelor (154)
  - 2.5.4. Vibrații torsionale ale arborilor (158)
  - Aplicație (160)
- 2.6. Vibrații libere amortizate (162)
- 2.7. Vibrații forțate amortizate (165)
- 2.8. Absorbitorul dinamic simplu (168)
- 2.9. Absorbitorul dinamic cu amortizare (171)
- 2.10. Absorbitorul dinamic la răsucire (HOUDAILLE) (174)
- 2.11. Probleme propuse (178)

### **CAPITOLUL III - VIBRAȚIILE SISTEMELOR CU $N$ GRADE DE LIBERTATE**

- 3.1. Vibrații libere ale sistemelor discrete. Abordarea modală (183)
- 3.2. Vibrații forțate neamortizate ale sistemelor conservative (186)
- 3.3. Vibrațiile sistemelor amortizate (189)
- 3.4. Moduri clasice de vibrații forțate (191)
  - 3.4.1. Vibrații forțate cu amortizare vâscoasă (191)
  - 3.4.2. Vibrații forțate cu amortizare histeretică (191)
- 3.5. Probleme rezolvate (195)
  - 3.5.1. Pendulul triplu (195)
  - 3.5.2. Vibrații transversale ale barelor (200)
  - 3.5.3. Vibrațiile de răsucire ale arborilor (206)
  - 3.5.4. Vibrațiile de răsucire ale angrenajelor (210)
- 3.6. Moduri complexe de vibrație (213)
  - 3.6.1. Vibrații forțate cu amortizare vâscoasă (214)
  - 3.6.2. Vibrații forțate cu amortizare histeretică (218)
- 3.7. Metode de determinare a pulsațiilor și modurilor proprii de vibrație (220)
  - 3.7.1. Metode exacte (220)
    - a. Metoda Krâlov (220)
    - b. Metoda Leverrier (225)
  - 3.7.2. Metode aproximative (227)
    - a. Metoda iterației matriceale (227)
    - b. Metoda Rayleigh (233)
- 3.8. Probleme propuse (236)

### **CAPITOLUL IV - VIBRAȚIILE SISTEMELOR CONTINUE**

Introducere (239)

- 4.1. Vibrațiile transversale ale firelor (239)
  - 4.1.1. Vibrațiile transversale libere (240)
  - 4.1.2. Vibrațiile transversale forțate (244)
- 4.2. Vibrațiile longitudinale ale firelor (247)
- 4.3. Vibrațiile longitudinale ale barelor (249)
  - 4.3.1. Vibrații longitudinale libere (250)
  - 4.3.2. Vibrații longitudinale forțate (257)
- 4.4. Vibrațiile torsionale ale barelor de secțiune circulară sau inelară (258)
  - 4.4.1. Vibrații torsionale libere (259)
  - 4.4.2. Vibrații torsionale forțate (266)
- 4.5. Vibrațiile transversale ale barelor drepte (267)
  - 4.5.1. Vibrațiile transversale libere (268)
  - 4.5.2. Vibrațiile transversale forțate (282)
- 4.6. Probleme propuse (292)

### **CAPITOLUL V - VIBRAȚII ALEATOARE**

- 5.1. Variabile aleatoare și mărimi caracteristice (295)
- 5.2. Procese aleatoare și mărimi caracteristice (298)
- 5.3. Evoluția în timp a proceselor aleatoare (300)
- 5.4. Estimările proceselor aleatorii (302)
- 5.5. Procese de bandă îngustă și de bandă largă (305)
- 5.6. Răspunsul dinamic la forțe de excitație nearmonice (309)
  - 5.6.1. Răspunsul dinamic la forțe de excitație aleatoare în cazul sistemelor cu un grad de libertate (309)

- 5.6.2. Răspunsul dinamic la forțe de excitație periodice nearmonice (312)
- 5.7. Răspunsul dinamic al sistemelor mecanice la șocuri mecanice (316)
  - 5.7.1. Tipuri de șocuri mecanice (316)
  - 5.7.2. Răspunsul dinamic la un șoc dreptunghiular (317)
  - 5.7.3. Răspunsul dinamic la un șoc sub formă semisinusoidală (318)
- 5.8. Răspunsul dinamic al sistemelor la acțiuni seismice (321)
  - 5.8.1. Unde seismice și modalități de propagare (321)
  - 5.8.2. Răspunsul dinamic la acțiuni seismice (324)
  - 5.8.3. Răspunsul seismic Fourier și răspunsul seismic spectral al unui sistem la acțiuni seismice (327)

## **CAPITOLUL VI - MAȘINI VIBRATOARE MONOMASICE CU ACȚIONARE CINEMATICĂ**

- 6.1. Dinamica mașinilor vibratoare sprijinite pe elemente elastice liniare (333)
    - 6.1.1 Modelul matematic pentru mașini vibratoare cu cuplaj nerigid (333)
    - 6.1.2 Factorul de amplificare al amplitudinii vibrațiilor și defazajul (335)
      - Defazajul dintre răspuns și excitație (338)
    - 6.1.3. Factorul de amplificare al accelerațiilor (342)
    - 6.1.4. Factorul de amplificare al amplitudinii mișcării capetelor cuplajului (345)
    - 6.1.5. Factorul de transmisibilitate al cuplajului (349)
    - 6.1.6. Factorul dinamic al cuplajului (350)
    - 6.1.7. Determinarea pulsației optime (356)
    - 6.1.8. Factorul dinamic minim (358)
    - 6.1.10. Cuplajul rigid (361)
    - 6.1.11. Cuplajul elastic simplu (361)
    - 6.1.12. Cuplajul amortizor simplu (365)
  - 6.2. Mașini vibratoare sprijinite pe suporturi rigide articulate (369)
    - 6.2.1. Factorul de amplificare amplificare al deplasării și defazajul (369)
    - 6.2.2. Factorul de amplificare amplificare al accelerațiilor (371)
    - 6.2.3. Factorul de amplificare amplificare a amplitudinii mișcării relative a capetelor cuplajului (373)
    - 6.2.4. Factorul de transmisibilitate al cuplajului (375)
    - 6.2.5. Factorul dinamic al cuplajului (377)
    - 6.2.6. Defazajul (379)
    - 6.2.7. Concluzii (380)
    - 6.2.8. Cuplajul rigid (382)
    - 6.2.9. Cuplajul elastic simplu (382)
    - 6.2.9. Cuplajul amortizor simplu (385)
- BIBLIOGRAFIE (389)**

## INTRODUCERE

### Definiții

În cele mai multe din aplicațiile ingineresti vibrațiile au un efect negativ asupra funcționării sistemelor mecanice, de aceea proiectanții trebuie să identifice sursele de vibrații și folosind diferite metode să minimizeze sau elimine efectul acestora asupra sistemelor mecanice sau omului care le exploatează. Există însă și aplicații în care vibrațiile au un efect pozitiv, acestea stând la baza funcționării sistemelor mecanice respective, cum ar fi în cazul sitelor vibratoare, aparatelor percutante de perforat betoane, benzilor transportoare inerțiale, instalațiilor de foraj, etc.

Un *sistem dinamic* este un sistem format dintr-o mulțime de elemente mecanice a căror stare poate fi precizată în timp cu ajutorul unor funcții reale de timp numite coordonate generalizate sub acțiunea unor factori externi.

Un *sistem dinamic oscilant* este acel sistem dinamic în care cel puțin una din coordonatele generalizate variază în jurul unei *valori de referință*.

*Vibrația* este oscilația sistemului dinamic ce implică prezența unor forțe elastice, unde parametrii cinematici care determină mișcarea la un moment dat (deplasare, viteză, accelerație) variază față de o anumită valoare de referință.

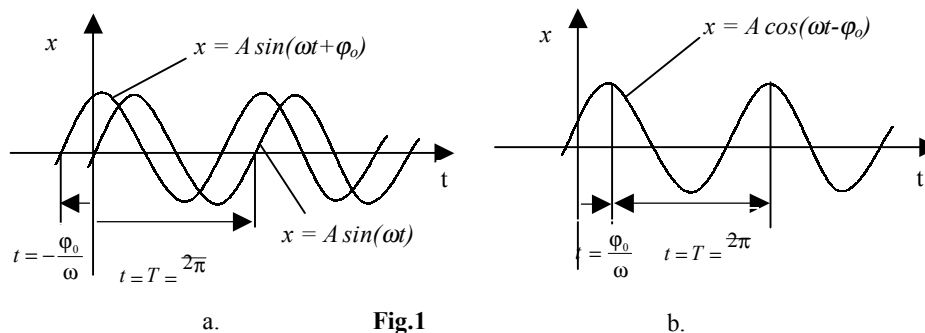
*Vibrația periodică* este mișcarea descrisă de o funcție periodică în care parametrii se repetă identic după un interval minim de timp numit *perioadă*. În acest caz parametrii cinematici (deplasarea  $\Delta \bar{r}$ , viteza  $\bar{v}$  și accelerația  $\bar{a}$ ) corespunzători unuia sau mai multor puncte ale sistemului pentru două momente de timp aflate la o distanță de o perioadă  $T$  (sau mai multe perioade), trebuie să fie identici. O vibrație periodică poate fi exprimată cu ajutorul relației matematice:

$$x(t) = x(t + T) \quad (1)$$

*Vibrația armonică* este o vibrație periodică exprimată printr-o sinusoidă de forma:

$$x = A \sin \omega t \text{ sau } x = A \sin(\omega t + \varphi_0) \quad (2)$$

Aceste funcții au diagramele de variație prezentate în figurile 1. a și b



Vibrația armonică poate fi mișcarea unui punct material acționat de o forță elastică dezvoltată de un arc având o caracteristică elastică liniară. Punctul material scos din poziția de echilibru cu cantitatea  $b$  va avea o mișcare liniar-alternativă în jurul poziției sale de echilibru  $M_0$  (fig. 2) și se mai numește și *oscilator armonic liniar*.

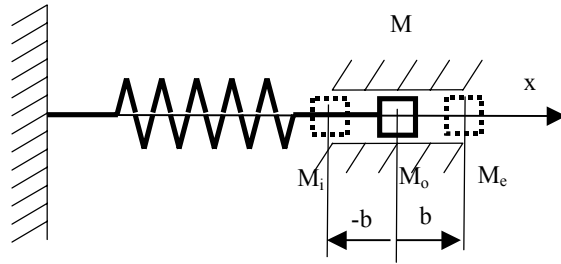


Fig. 2

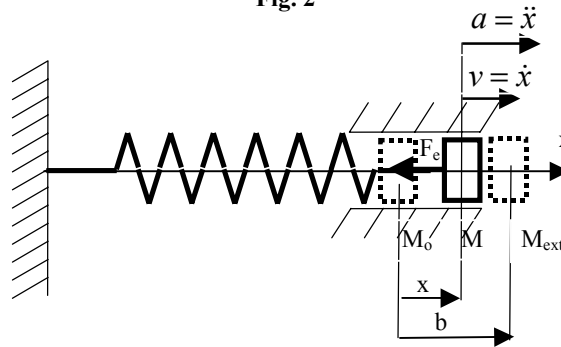


Fig. 3

Cu ajutorul oscilatorului liniar se definesc **mărimile caracteristice ale unei vibrații armonice** (fig. 3) și anume:

- *elongația  $x$*  este distanța la un moment dat dintre centrul vibrațiilor și poziția deplasată a punctului;
- *amplitudinea  $A$*  - elongația maximă sau deplasarea maximă atinsă de punct în mișcarea armonică;
- *perioada mișcării armonice* - timpul cel mai scurt după care legea deplasării se repetă identic. Punând condiția:

$$\sin(\omega t + \varphi_0) = \sin[\omega(t + T) + \varphi_0] \quad (3)$$

$$\text{sau} \quad (\omega t + \varphi_0 + \omega T) = (\omega t + \varphi_0) + 2\pi \quad (4)$$

$$\text{rezultă perioada: } T = \frac{2\pi}{\omega}, \quad \text{care se măsoară în secunde} \quad (5)$$

- *frecvența* este inversul perioadei și reprezintă numărul de vibrații complete efectuate în unitatea de timp (o secundă):

$$f = \frac{1}{T} = \frac{\omega}{2\pi} \quad \text{și se măsoară în hertzi: } 1\text{Hz} = 1\text{s}^{-1} \quad (6)$$

- *pulsația* mișcării sau *frecvența circulară*  $\omega$  reprezintă numărul de vibrații sinusoidale efectuate într-un interval de  $2\pi$  secunde:  $\omega = 2\pi f$  sau viteza unghiulară a vectorului rotativ în reprezentarea fazorială a funcției armonice a mișcării (fig. 4):  $x = A \sin(\omega t + \varphi_0)$  (7)

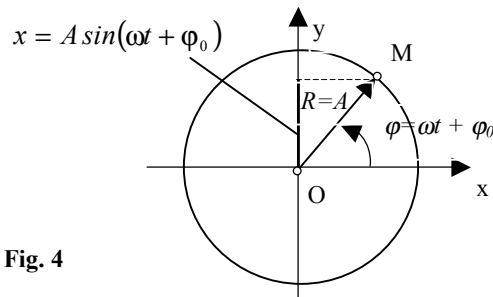


Fig. 4

Legătura dintre pulsație și frecvență este:  $\omega = 2\pi f$ . (8)

Pulsația se măsoară în *rad /s*.

- *faza*  $\varphi = \omega t + \varphi_0$  este argumentul funcției trigonometrice care caracterizează vibrația armonică și se măsoară în *radiani*.
- *diferența de fază* sau *faza inițială*  $\varphi_0$  reprezintă diferența dintre fazele mișcărilor vibratorii armonice date de ecuațiile (fig. 1.a):

$$\begin{aligned} x &= A \sin \omega t, \quad \text{respectiv} \\ x &= A \sin(\omega t + \varphi_0) \end{aligned} \quad (9)$$

Diferența de fază reprezintă decalajul - la momentul inițial  $t_0$  - dintre vibrațiile a două mișcări izocrone date de relațiile (9).

- *forța elastică*  $F_e$  - este forța dezvoltată în arc (elementul elastic) care produce vibrația armonică (fig. 3):

$$F_e = kx \quad (10)$$

Dându-se legea de mișcare al unui oscilator armonic liniar sub forma:

$$x = A \cos(\omega t - \varphi_0). \quad (11)$$

se definesc *parametrii mișcării de vibrație*:

- *viteza* este prima derivată a deplasării:

$$\dot{x} = -A\omega \sin(\omega t - \varphi_0) \quad (12)$$

- *acelerația* - a doua derivată a deplasării:

$$\ddot{x} = -A\omega^2 \cos(\omega t + \varphi_0) = -\omega^2 x. \quad (13)$$

Vibrațiile se pot clasifica după mai multe criterii, dintre care :

### 1. după numărul gradelor de libertate, vibrațiile pot fi:

- *pentru sisteme discrete cu unul sau mai multe grade de libertate*, după cum configurația sistemului la un moment dat poate fi determinată de unul sau mai mulți parametri scalari independenți. În figura 5 sunt prezentate trei exemple de sisteme cu un grad de libertate, iar în figura 6 patru sisteme cu două grade de libertate.

➤ pentru sisteme continue (cu o infinitate de grade de libertate)

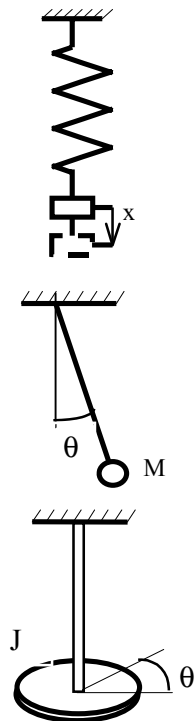


Fig. 5

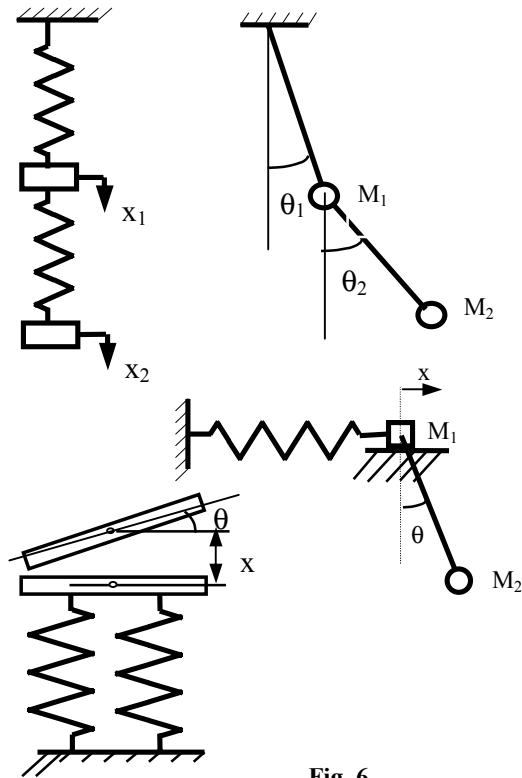


Fig. 6

## 2. după forțele exterioare (active-perturbatoare sau pasive-rezistente) care intervin în mișcările vibratorii :

- *vibrații libere sau proprii* - au loc într-un sistem izolat în urma unei perturbații exterioare de scurtă durată; vibrațiile proprii depind de forțele elastice interne ale sistemului și structura lui fizică ;
- *vibrații forțate* (întreținute sau excitate) - când intervin forțe exterioare periodice active-perturbatoare independente de vibrațiile din sistem; energia vibrațiilor este asigurată de aceste forțe;
- *vibrații parametrice* - provocate de variația periodică din exterior a unui parametru cinematic (deplasarea, viteza) sau fizic (masa, constanta elastică)
- *autovibrațiile* apar într-un sistem în lipsa unei acțiuni periodice exterioare, caracterul vibrațiilor este determinat exclusiv de structura internă a sistemului

## 3. după natura energetică sistemului vibrator

- *vibrații neamortizate* - pentru sisteme nedisipative sau conservative când forțele exterioare pasive-rezistente sunt nule;
- *vibrații amortizate* - pentru sisteme disipative când forțele exterioare pasive-rezistente nu sunt nule.

## 4. în funcție de ecuațiile de descriere a mișcării:

- Vibrații liniare și vibrații neliniare



# CAPITOLUL I

## VIBRAȚIILE SISTEMELOR CU UN GRAD DE LIBERTATE

### 1.1. Vibrații libere

#### 1.1.1 Ecuațiile generale

Pentru a deduce legea vibrațiilor libere ale unui oscilator armonic liniar se consideră punctul material  $M$  de masă  $m$  legat de mediul fix cu un element elastic liniar de constantă  $k$  (fig. 1.1.1) și următoarele condiții inițiale:

$$x(0) = x_0; \quad \dot{x}(0) = v_0 \quad (1.1.1)$$

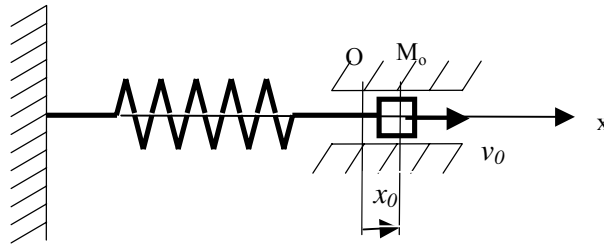


Fig.1.1.1

Se scrie legea fundamentală a dinamicii după axa  $Ox$ :

$$m\ddot{x} = -F_e \Leftrightarrow m\ddot{x} + kx = 0 \Leftrightarrow \ddot{x} + \frac{k}{m}x = 0 \quad (1.1.2)$$

Notând:  $\frac{k}{m} = p^2$  se obține:  $\ddot{x} + p^2x = 0$  (1.1.3)

care este o ecuație diferențială de ordinul II omogenă, având ecuația caracteristică:

$$r^2 + p^2 = 0 \quad (1.1.4)$$

cu două rădăcini complexe:  $r_{1,2} = \pm ip$  (1.1.5)

Soluția ecuației diferențiale (1.1.3) are forma:

$$x = C_1 e^{-ipt} + C_2 e^{ipt} \quad (1.1.6)$$

Ținând seama de expresia derivatei:  $\dot{x} = ip (-C_1 e^{-ipt} + C_2 e^{ipt})$  și înlocuind condițiile inițiale (1.1.1) se obține:

$$\begin{cases} C_1 + C_2 = x_0 \\ -C_1 + C_2 = \frac{v_0}{p}i \end{cases} \Rightarrow \begin{cases} C_1 = \frac{1}{2} \left( x_0 - \frac{v_0}{p}i \right) \\ C_2 = \frac{1}{2} \left( x_0 + \frac{v_0}{p}i \right) \end{cases} \quad (1.1.7)$$

Ținând seama de formula:  $e^{\pm i p t} = \cos p t \pm i \sin p t$  și înlocuind (1.1.7) în relația (1.1.6) se obține soluția sub forma:

$$x = x_0 \cos p t + \frac{v_0}{p} \sin p t \quad (1.1.8)$$

Dacă se notează:

$$\operatorname{tg} \varphi_0 = \frac{v_0}{p x_0} \quad \text{și} \quad A = x_0 \sqrt{1 + \left( \frac{v_0}{x_0 p} \right)^2} = \frac{x_0}{\cos \varphi_0} \quad (1.1.9)$$

unde  $\varphi_0$  reprezintă faza inițială și  $A$  amplitudinea mișcării, se obține soluția sub forma:

$$x = A \cos(p t - \varphi_0) \quad (1.1.10)$$

Perioada mișcării armonice este:

$$T = \frac{2\pi}{p} = 2\pi \sqrt{\frac{m}{k}} \quad (1.1.11)$$

### Observații:

- perioada (sau frecvența) vibrațiilor libere nu depinde de condițiile inițiale nici de amplitudinea mișcării ci numai de masa  $m$  a corpului și constanta elastică  $k$  a resortului, deci toate vibrațiile libere ale unui sistem cu un grad de libertate sunt *izocrone* (au aceeași perioadă);
- amplitudinea mișcării  $A$  și faza inițială  $\varphi_0$  depind de condițiile inițiale ( $x_0, v_0$ );
- nu există disipare de energie, sistemul se numește *conservativ* și vibrațiile libere se produc cu aceeași amplitudine un timp nelimitat; acesta este un sistem ideal.
- perioada și frecvența mișcării nu depind de starea de tensiune a arcului în poziția de echilibru (fig.1.1.2). Astfel, din ecuația de echilibru static se determină săgeata statică:

$$F_{e0} = mg \quad \Rightarrow k x_{st} = mg \quad \Rightarrow x_{st} = \frac{mg}{k} \quad (1.1.12)$$

și legea fundamentală a dinamicii se scrie:

$$m\ddot{x} = mg - F_e; \quad \text{unde: } F_e = k(x + x_{st}) = k\left(x + \frac{mg}{k}\right) = kx + mg \quad (1.1.13)$$

$$\Rightarrow m\ddot{x} = mg - (kx + mg) \quad \Leftrightarrow \quad m\ddot{x} + kx = 0$$

adică s-a obținut ecuația mișcării (1.1.2) pentru arcul netensionat.

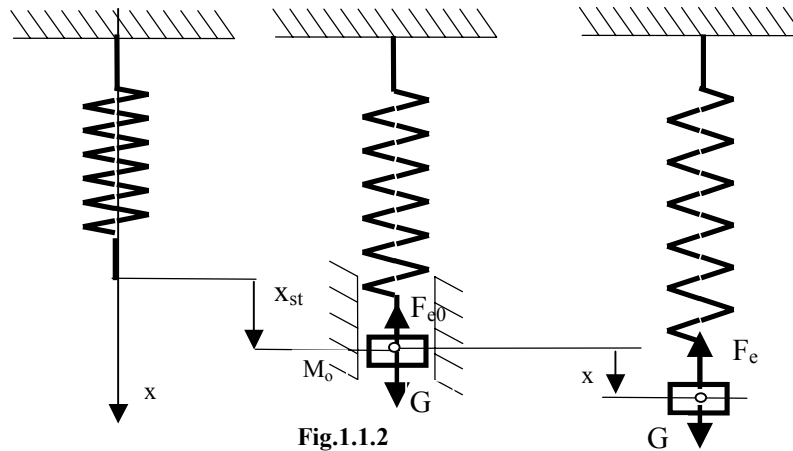


Fig.1.1.2

- e. vibrații pot apărea nu numai în sisteme în care forța care produce vibrațiile este o forță elastică ci și sub acțiunea forțelor restauratoare de tipul gravitaționale, electromagnetice, electrostatice, magnetice, etc.

### 1.1.2. Probleme rezolvate

#### a. Pendulul matematic și pendulul fizic izocron

**Pendulul matematic** este un corp punctiform de masă  $m$  legat de mediul fix în  $O_1$  cu un fir inextensibil de lungime  $l_m$  (fig. 1.1.3.a). **Pendulul fizic** este un corp rigid legat de mediul fix printr-o articulație cilindrică  $O_1$  având centrul de greutate în punctul  $C$  situat sub articulație (fig.1.1.3.b). Parametrul mișcării în ambele cazuri este unghiul  $\theta$  pe care îl face verticala cu linia care unește punctul  $O_1$  cu punctul  $C$ .

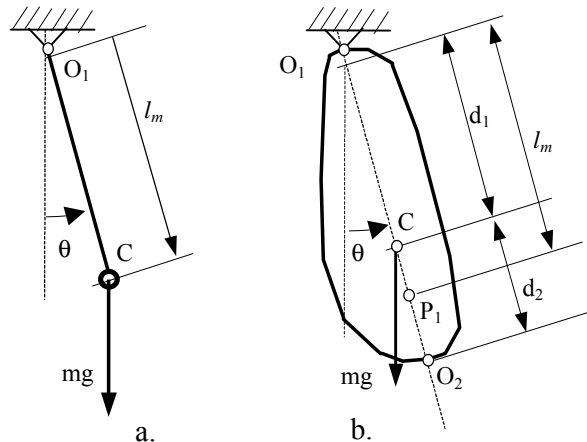


Fig.1.1.3

Ecuția diferențială a mișcării **pendului matematic** se scrie folosind teorema momentului cinetic:

$$ml_m^2 \ddot{\theta} = -mgl_m \sin \theta \quad (1.1.14)$$

$$\text{sau: } \ddot{\theta} + \frac{g}{l_m} \sin \theta = 0 \quad (1.1.15)$$

$$\text{Din dezvoltarea în serie a funcției sinus: } \sin \theta = \theta - \frac{\theta^3}{3!} + \frac{\theta^5}{5!} - \frac{\theta^7}{7!} + \dots \quad (1.1.16)$$

pentru micile oscilații ( $\theta < 4...5^\circ$ ) se poate aproxima:

$$\sin \theta \cong \theta \quad (1.1.17)$$

Ecuția (1.1.15) devine :

$$\ddot{\theta} + \frac{g}{l_m} \theta = 0 \quad (1.1.18)$$

Deci pulsația proprie a micilor oscilații este:

$$p_m = \sqrt{\frac{g}{l_m}} \quad (1.1.19)$$

$$\text{iar perioada: } T = \frac{2\pi}{p} = 2\pi \sqrt{\frac{l_m}{g}} \quad (1.1.20)$$

Ecuția diferențială a mișcării **pendulului fizic** se scrie folosind teorema momentului cinetic:  $J_{O1} \ddot{\theta} = -mgd_1 \sin \theta$  (1.1.21)

$$\text{sau: } \ddot{\theta} + \frac{mgd_1}{J_{O1}} \sin \theta = 0 \quad (1.1.22)$$

pentru micile oscilații ( $\theta < 4...5^\circ$ ) ecuația diferențială (1.1.22) se scrie:

$$\ddot{\theta} + \frac{mgd_1}{J_{O1}} \theta = 0 \quad (1.1.23)$$

Deci pulsația micilor oscilații ale pendulului fizic este:

$$p_{f1} = \sqrt{\frac{mgd_1}{J_{O1}}} \quad (1.1.24)$$

Lungimea pendului matematic izocron cu pendulul fizic se obține din condiția:  $p_m = p_{f1} \Leftrightarrow \sqrt{\frac{g}{l_m}} = \sqrt{\frac{mgd_1}{J_{O1}}}$  (1.1.25)

Se obține lungimea pendului matematic izocron cu cel fizic în funcție de distanța  $d_1$ , masa  $m$  și momentul de inerție  $J_C$ :

$$l_m = \frac{J_{O1}}{md_1} = \frac{J_C + md_1^2}{md_1} \Rightarrow l_m = d_1 + \frac{J_C}{md_1} \quad (1.1.26)$$

Dacă se schimbă centrul de oscilație din punctul  $O_1$  în punctul  $P_1$ , aflat pe linia  $O_1C$  la distanța  $O_1P_1 = l_m$  (fig. 1.1.3.b) se obține un pendul izocron cu cel inițial, întrucât sunt valabile relațiile:

$$p_{f2} = \sqrt{\frac{mg(l_m - d_1)}{J_{P1}}} = \sqrt{\frac{mg(l_m - d_1)}{J_C + m(l_m - d_1)^2}} = \sqrt{\frac{mgd_1}{J_C + md_1^2}} \quad (1.1.27)$$

$$\Rightarrow p_{f1} = p_{f2}$$

Folosind această proprietate se poate determina experimental poziția centrului de greutate și momentul de inerție mecanic față de axa ce trece prin centrul de greutate  $J_C$  cu ajutorul perioadelor micilor oscilații ale celor două pendule fizice (având centrele de oscilație  $O_1$  și  $O_2$  situate pe aceeași linie cu centrul de greutate  $C$ , figura 1.1.3.b). Sunt valabile relațiile:

$$\begin{aligned} T_1 &= 2\pi \sqrt{\frac{J_{O1}}{mgd_1}} = \sqrt{\frac{J_C + md_1^2}{mgd_1}}; \\ T_2 &= 2\pi \sqrt{\frac{J_{O2}}{mgd_2}} = \sqrt{\frac{J_C + md_2^2}{mgd_2}} \quad d_1 + d_2 = d \end{aligned} \quad (1.1.28)$$

Relațiile (1.1.28) formează un sistem de trei ecuații cu trei necunoscute:  $d_1$ ,  $d_2$  și  $J_C$ . Rezolvând acest sistem se obține:

$$\begin{aligned} d_1 &= \frac{d^2 - T_2^2 \frac{gl}{4\pi^2}}{2d - \frac{g}{4\pi^2}(T_1^2 + T_2^2)}; \quad d_2 = \frac{d^2 - T_1^2 \frac{gl}{4\pi^2}}{2d - \frac{g}{4\pi^2}(T_1^2 + T_2^2)} \\ J_C &= md_1 \left( \frac{g}{4\pi^2} T_1^2 - d_1 \right) \quad \text{sau} \quad J_C = md_2 \left( \frac{g}{4\pi^2} T_2^2 - d_2 \right) \end{aligned} \quad (1.1.29)$$

### b. Pendulul torsional cu un fir

În figura 1.1.4 este prezentat un pendul torsional cu un fir de lungime  $L$  la capătul căruia se află un corp axial simetric având momentul de inerție mecanic axial  $J$ . Se cere să se determine perioada oscilațiilor torsionale ale discului.

Dacă se scoate corpul din poziția de echilibru cu un unghi  $\varphi$ , în fir ia naștere un cuplu de răsucire  $M_t$  având sensul opus și proporțional cu unghiul  $\varphi$ . Ecuația diferențială a mișcării se scrie sub forma teoremei momentului cinetic:

$$J\ddot{\varphi} = -M_t \quad (1.1.30)$$

Dacă se scrie unghiul  $\varphi$  în funcție de cuplul de torsiune  $M_t$  se obține:

$$\varphi = \frac{M_t L}{GI_p} = \frac{M_t}{k_t} \Leftrightarrow M_t = k_t \varphi \quad (1.1.31)$$

unde s-a notat cu  $k_t$  constanta elastică la răsucire a firului  $\left( k_t = \frac{GI_p}{L} \right)$ .

Ecuația (1.1.30) devine:

$$J\ddot{\varphi} = -k\varphi \Leftrightarrow \ddot{\varphi} + \frac{k}{J}\varphi = 0 \quad (1.1.32)$$

S-a obținut astfel o ecuație diferențială de ordinul II de forma (1.1.3). Deci pusația proprie a vibrațiilor în acest caz se scrie:

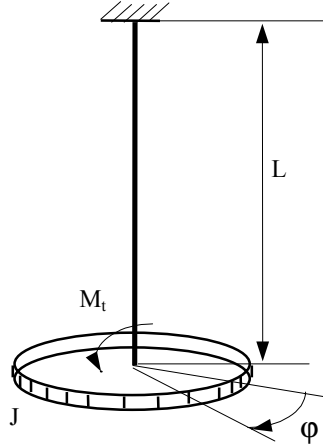


Fig.1.1.4

$$p = \sqrt{\frac{k}{J}} = \sqrt{\frac{GI_p}{JL}} \quad (1.1.33)$$

Perioada vibrațiilor este:

$$T = \frac{2\pi}{p} = 2\pi \sqrt{\frac{J}{k}} = 2\pi \sqrt{\frac{JL}{GI_p}} \quad (1.1.34)$$

Momentul de inerție  $J$  al discului se poate determina experimental dacă se cunoaște constanta elastică la răsucire a firului ( $k = \frac{GI_p}{L}$ ) și perioada vibrațiilor torsionale  $T$ . Acesta se determină din (1.1.34) cu ajutorul relației:

$$J = \frac{GI_p}{4\pi^2 L} T^2 \quad (1.1.35)$$

### c. Pendulul torsional cu trei fire

În figura 1.1.5.a este prezentat pendulul torsional format din trei fire paralele de lungime  $L$ , la capătul cărora se prinde un disc având momentul de inerție  $J$ ; prinderea se face în trei puncte echidistante situate pe un cerc de rază  $R$ . Se cere să se determine perioada oscilațiilor discului.

Dacă se scoate discul din poziția de echilibru rotindu-l în jurul axei verticale cu unghiul  $\phi$ , din cauza înclinării firelor aceasta urcă cu cantitatea  $\delta$ , iar forța de tensiune care revine unui fir se descompune după 2 direcții (fig.1.1.5.b):

➤ după direcția firului:

$$T = \frac{G}{3} \frac{1}{\cos \theta} \quad (1.1.36)$$

➤ după direcția orizontală:

$$H = \frac{G}{3} \tan \theta \quad (1.1.37)$$

Forța de readucere în poziția de echilibru este deci  $3H$  și produce un cuplu de readucere opus unghiului  $\phi$  (fig.1.1.4.c) având mărimea:

$$M_\Delta = 3HR \quad (1.1.38)$$

Teorema momentului cinetic pentru mișcarea discului în jurul axei  $\Delta$  se scrie:

$$J\ddot{\phi} = -M_\Delta \quad (1.1.39)$$

unde  $J$  – este momentul de inerție mecanic al coroanei circulare în raport cu axa  $\Delta$ .

$M_\Delta$  - momentul forțelor de readucere în raport cu axa de rotație  $\Delta$ .

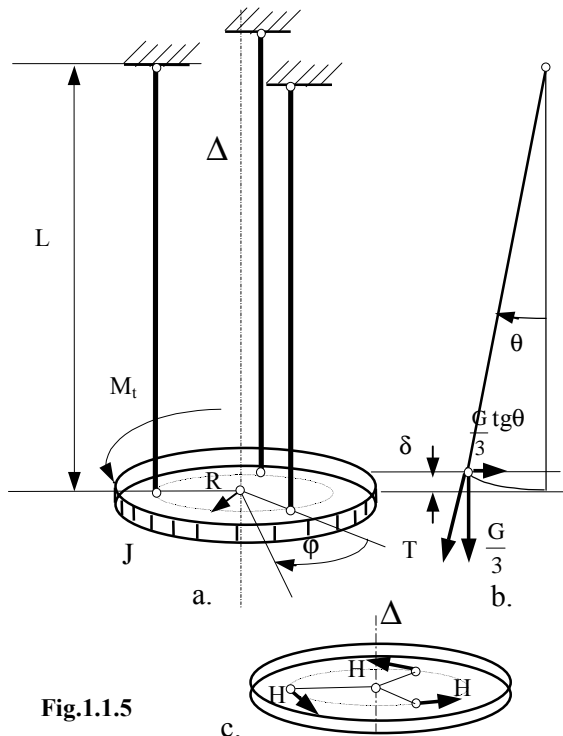


Fig.1.1.5

Pentru unghiuri mici forța orizontală  $H$  se mai poate scrie:

$$H = \frac{G}{3} \cdot \tan \theta = \frac{G}{3} \cdot \frac{R\varphi}{L} \quad (1.1.40)$$

Ecuția diferențială a mișcării (1.1.39) devine:

$$J\ddot{\varphi} + \frac{GR^2}{L} \cdot \varphi = 0 \quad \text{sau} \quad \ddot{\varphi} + \frac{GR^2}{JL} \cdot \varphi = 0 \quad (1.1.41)$$

Pusația și perioada vibrațiilor proprii în acest caz se scrie:

$$p = \sqrt{\frac{GR^2}{JL}}, \quad T = \frac{2\pi}{p} = 2\pi \sqrt{\frac{JL}{GR^2}} \quad (1.1.42)$$

Se poate determina experimental momentul de inerție  $J$  al discului dacă se cunosc: lungimea firului  $L$  greutatea (masa) discului și perioada vibrațiilor torsionale  $T$  cu ajutorul relației:

$$J = \frac{GR^2}{4\pi^2 L} T^2 \quad (1.1.43)$$

#### d. Sistem elastic format din corpuri și discuri omogene

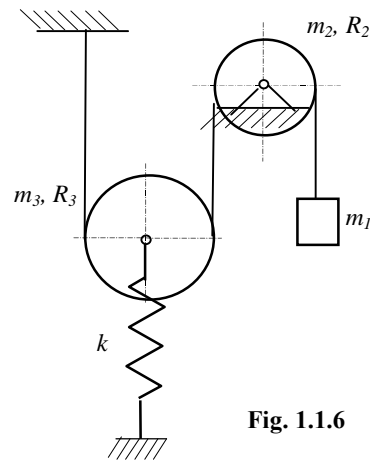


Fig. 1.1.6

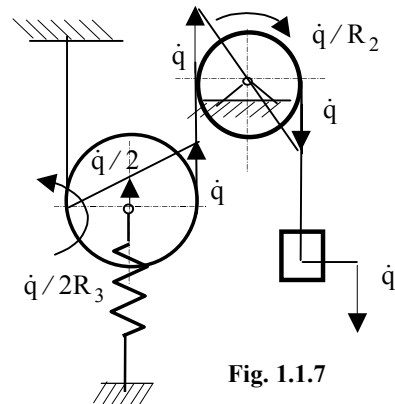


Fig. 1.1.7

Se consideră sistemul elastic cu un grad de libertate format dintr-o roată omogenă de masă  $m$  care este legată de mediul fix prin intermediul unei articulații peste care este înfășurat un fir care are la un capăt masa  $M$  iar celălalt capăt este înfășurat pe o a doua roată omogenă de masă  $2m$  și legat de mediul fix ca în figura 1.1.6; axul de-a doua roți este legat de mediul fix prin intermediul unui arc de rigiditate  $k$ . Să se determine pulsația, vibrațiilor libere ale acestui sistem.

Date numerice:  $m_1=m$ ;  $m_2=m_3=2m$ ;  
 $m=1$  kg;  $k=100$  N/mm.

Pentru scrierea ecuațiilor de mișcare se folosesc ecuațiile lui Lagrange:

$$\frac{d}{dt} \left( \frac{\partial L}{\partial \dot{q}} \right) - \frac{\partial L}{\partial q} = 0 \quad (1.1.44)$$

$$\frac{d}{dt} \left( \frac{\partial E_c}{\partial \dot{q}} \right) + \frac{\partial V}{\partial q} = 0 \quad (1.1.45)$$

Pentru analiza cinematică a mișcării din figura 1.1.7 s-a notat:

- $q, \dot{q}$  deplasarea respectiv viteza generalizată a corpului de masă  $m_1$ ;
- $q/R_2, \dot{q}/R_2$  rotația, respectiv viteza unghiulară a corpului de masă  $m_2$

- $q/2, \dot{q}/2R_3$  deplasarea centrului de masă respectiv viteza unghiulară a roții de masă  $m_3$ .

Energia cinetică totală a sistemului  $E_c$  se scrie:

$$E_c = \frac{1}{2} m_1 \dot{q}^2 + \frac{1}{2} \frac{m_2 R_2^2}{2} \left( \frac{\dot{q}}{R_2} \right)^2 + \frac{1}{2} m_3 \left( \frac{\dot{q}}{2} \right)^2 + \frac{1}{2} \frac{m_3 R_3^2}{2} \left( \frac{\dot{q}}{2R_3} \right)^2$$

$$E_c = \frac{\dot{q}^2}{2} \left( m_1 + \frac{m_2}{2} + \frac{3m_3}{8} \right) \quad (1.1.46)$$

Energia potențială a sistemului  $V$  este:  $V = \frac{1}{2} k \left( \frac{q}{2} \right)^2 \quad (1.1.47)$

Derivatele parțiale se calculează imediat:

$$\frac{\partial E_c}{\partial \dot{q}} = \left( m_1 + \frac{m_2}{2} + \frac{3m_3}{8} \right) \dot{q};$$

$$\frac{d}{dt} \left( \frac{\partial E_c}{\partial \dot{q}} \right) = \left( m_1 + \frac{m_2}{2} + \frac{3m_3}{8} \right) \ddot{q}; \quad \frac{\partial V}{\partial q} = \frac{1}{4} kq \quad (1.1.48)$$

Ecuția Lagrange (1.1.45) se scrie:

$$\left( m_1 + \frac{m_2}{2} + \frac{3m_3}{8} \right) \ddot{q} + \frac{1}{4} kq = 0 \quad (1.1.49)$$

Pulsația proprie se determină imediat:

$$p = \sqrt{\frac{k}{4m_1 + 2m_2 + \frac{3m_3}{2}}} \quad (1.1.50)$$

### e. Sistem elastic orizontal cu o roată omogenă

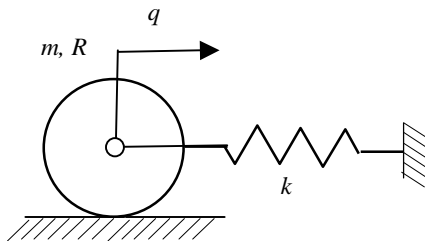


Fig. 1.1.8

Se consideră sistemul elastic cu un grad de libertate format dintr-o roată omogenă de masă  $m$  și rază  $R$  care este legată de mediul fix prin intermediul unui arc de constantă  $k$  ca în figura 1.1.8. Roata se rostogolește fără alunecare pe o suprafață orizontală. Să se determine pulsația, vibrațiilor libere ale acestui sistem și valoarea minimă a coeficientului de frecare pentru ca vibrațiile să se producă fără alunecare ( $a=10^{-2}m$ )

Date numerice:  $m_1=m$ ;  $m_2=m_3=2m$ ;  $m=1kg$ ;  $k=100 N/mm$ ,  $g=10ms^{-2}$

Energia cinetică și potențială a sistemului se scriu:

$$E_c = \frac{1}{2} m \dot{q}^2 + \frac{1}{2} \frac{mR^2}{2} \left( \frac{\dot{q}}{R} \right)^2 = \frac{3}{4} m \dot{q}^2; \quad V = \frac{1}{2} kq^2 \quad (1.1.51)$$



Înlocuind în relația (1.1.45) se obține:

$$\frac{3}{2}m\ddot{q} + kq = 0 \quad \Leftrightarrow \quad \ddot{q} + \frac{2k}{3m}q = 0 \quad (1.1.52)$$

Pulsația proprie a sistemului este:  $p = \sqrt{\frac{3k}{2m}}$  (1.1.53)

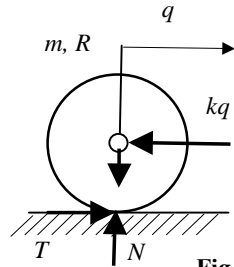


Fig. 1.1.9

Dacă se izolează corpul și se introduc forțele de legătură se poate scrie principiul al II-lea al dinamicii obținându-se:

$$m\ddot{q} = -kq + T \quad (1.1.54)$$

$$T = m\ddot{q} + kq = (k - mp^2)q \quad (1.1.55)$$

Forța de frecare maximă este:

$$T_{max} = (k - mp^2)a = \frac{ka}{3} \quad (1.1.56)$$

$$T_{max} \leq \mu N$$

Rezultă valoarea minimă a coeficientului de frecare pentru care se produce

rostogolirea fără alunecare:  $\mu \geq \frac{ka}{3mg}$  (1.1.57)

#### f. Vibrațiile libere ale unui corp fixat pe o bară cu suporturi elastice

Se consideră sistemul elastic format dintr-un corp de masă  $m$  fixat pe o bară dreaptă de lungime  $L$  la distanța  $a = \alpha L$  de capătul ei, de rigiditate la încovoiere constantă  $EI$  și masă neglijabilă, situată pe două reazeme elastice de constante elastice  $k$  (fig. 1.1.7). Să se determine pulsația proprie a vibrațiilor corpului.

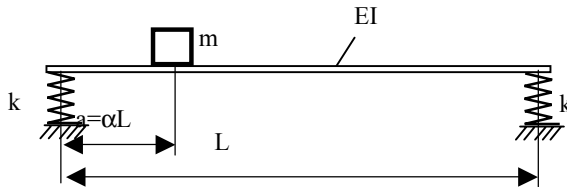


Fig. 1.1.7

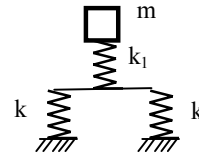


Fig. 1.1.8

Sistemul elastic este echivalent cu cel din figura 1.1.8 a cărei constantă echivalentă se calculează cu ajutorul relației:

$$\frac{1}{k_e} = \frac{1}{2k} + \frac{1}{k_b} \quad (1.1.58)$$

unde  $k_b$  este constanta elastică la încovoiere a barei și are expresia:

$$\frac{1}{k_b} = \frac{\alpha^2(1-\alpha)^2}{3} \frac{L^3}{EI} \quad (1.1.59)$$

Pulsația proprie a sistemului este:

$$p = \sqrt{\frac{k_e}{m}} = \sqrt{\frac{1}{m \left( \frac{1}{2k} + \frac{\alpha^2(1-\alpha)^2}{3} \frac{L^3}{EI} \right)}} \quad (1.1.60)$$

## 1.2. Vibrații libere cu amortizare vâscoasă

### 1.2.1. Ecuațiile generale

Acest tip de vibrații apar în cazul mișcărilor în aer al unui corp cu viteza  $v < 1 \text{ m/s}$  sau în cazul mișcărilor într-un mediu rezistent cu vâzcozitate mică, când forța rezistentă vâscoasă se considera proporțională cu viteza  $\vec{R} = -c\vec{v}$ , unde  $c$  este coeficientul de amortizare vâscoasă.

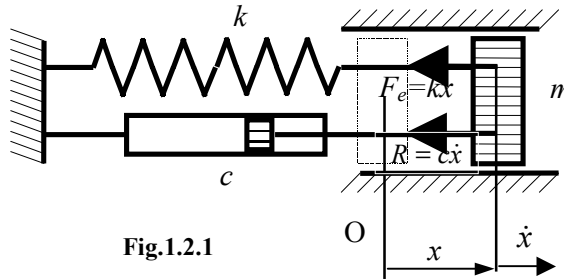


Fig.1.2.1

Modelului mecanic folosit este dat în figura 1.2.1, fiind format dintr-un corp de masă  $m$ , un arc de constantă elastică  $k$  și un element de amortizare ce produce o forță rezistentă proporțională cu viteza și de sens opus ( $R = c\dot{x}$ ,  $c$  este coeficientul de amortizare). Ecuația diferențială a mișcării se scrie:

$$m\ddot{x} = -kx - c\dot{x} \quad \Leftrightarrow \quad m\ddot{x} + c\dot{x} + kx = 0 \quad (1.2.1)$$

sau:

$$\ddot{x} + \frac{c}{m}\dot{x} + \frac{k}{m}x = 0. \quad (1.2.2)$$

Dacă se notează:

$$\frac{c}{m} = 2n \text{ — unde } n \text{ are dimensiunea unei pulsații;} \quad (1.2.3)$$

$$\frac{k}{m} = p^2 \text{ unde } p \text{ este pulsația proprie a oscilatorului fără amortizare}$$

atunci ecuația diferențială (1.2.2) se mai scrie sub forma :

$$\ddot{x} + 2n\dot{x} + p^2x = 0 \quad (1.2.4)$$

Ecuația caracteristică corespunzătoare este:

$$r^2 + 2nr + p^2 = 0 \quad (1.2.5)$$

având rădăcinile:

$$r_{1,2} = -n \pm \sqrt{n^2 - p^2} \quad (1.2.6)$$

Se doarebesc următoarele cazuri de rădăcini ale ecuației caracteristice:

a)  $n^2 - p^2 < 0$  — rădăcini complex - conjugate;

b)  $n^2 - p^2 > 0$  — rădăcini reale și distincte;

c)  $n^2 - p^2 = 0$  — rădăcini reale și confundate.

În cazul (c) coeficientul de amortizare  $c$  vâscoasă are o valoare limită numită *coeficient de amortizare critic* ( $c_{cr}$ ):

$$n = p \quad \Leftrightarrow \quad \frac{c_{cr}}{2m} = \sqrt{\frac{k}{m}} \quad \Rightarrow \quad c_{cr} = 2\sqrt{km} = 2mp \quad (1.2.7)$$

Se definește *factorul de amortizare* ca raportul dintre coeficientul de amortizare  $c$  și coeficientul de amortizare critic  $c_{cr}$ :

$$\zeta = \frac{c}{c_{cr}} = \frac{n}{p} \quad (1.2.8)$$

### **Cazul a. Rădăcini complexe conjugate**

Acest caz corespunde domeniului subcritic ( $n < p$  respectiv  $c < c_{cr}$ ) și se notează:

$$n^2 - p^2 = -p_1^2 \quad (1.2.9)$$

Rădăcinile ecuației caracteristice (1.2.5) devin:

$$r_{1,2} = -n \pm ip_1 \quad (1.2.10)$$

Soluția ecuației diferențiale (1.2.4) este de forma:

$$x = e^{-nt} (C_1 \cos p_1 t + C_2 \sin p_1 t) \quad (1.2.11)$$

unde  $C_1$  și  $C_2$  sunt constantele de integrare care se determină cu ajutorul condițiilor inițiale:

$$t = 0 \Rightarrow x(0) = x_0, \dot{x}(0) = v_0. \quad (1.2.12)$$

Derivând în raport cu timpul expresia (1.2.11) se obține:

$$\dot{x} = -ne^{-nt} (C_1 \cos p_1 t + C_2 \sin p_1 t) + p_1 e^{-nt} (-C_1 \sin p_1 t + C_2 \cos p_1 t) \quad (1.2.13)$$

Introducând (1.2.12) în (1.2.11) și (1.2.13) rezultă:

$$C_1 = x_0; \quad C_2 = \frac{v_0 + nx_0}{p_1} \quad (1.2.14)$$

Deci soluția ecuației diferențiale (1.2.4) are forma:

$$x = e^{-nt} \left( x_0 \cos p_1 t + \frac{v_0 + nx_0}{p_1} \sin p_1 t \right) \quad (1.2.15)$$

Soluția (1.2.15) se mai scrie sub forma:

$$x = Ae^{-nt} \cos(p_1 t - \varphi_0) \quad (1.2.16)$$

unde  $A$  este amplitudinea iar  $\varphi_0$  faza inițială a mișcării oscilatorului, care obțin prin identificarea celor două relații (1.2.15) și (1.2.16):

$$\begin{aligned} \left( x_0 \cos p_1 t + \frac{v_0 + nx_0}{p_1} \sin p_1 t \right) &\equiv A(\cos p_1 t \cdot \cos \varphi_0 + \sin p_1 t \cdot \sin \varphi_0) \\ \Rightarrow A &= \sqrt{x_0^2 + \left( \frac{v_0 + nx_0}{p_1} \right)^2}; \quad \operatorname{tg} \varphi_0 = \frac{v_0 + nx_0}{p_1 x_0} \end{aligned} \quad (1.2.17)$$

Derivând expresia (1.2.16) se obține viteza oscilatorului:

$$\begin{aligned} \dot{x} &= -Ae^{-nt} [n \cos(p_1 t - \varphi_0) + p_1 \sin(p_1 t - \varphi_0)] \\ \text{sau:} & \end{aligned} \quad (1.2.18)$$

$$\dot{x} = -B e^{-nt} \sin(p_1 t - \varphi_0 + \theta)$$

unde  $B$  este amplitudinea iar  $\theta$  diferența de fază dintre viteză și deplasare, care obțin prin identificarea celor două relații:

$$\begin{aligned}
& A[n \cos(p_1 t - \varphi_0) + p_1 \sin(p_1 t - \varphi_0)] \equiv \\
& \equiv B[\sin(p_1 t - \varphi_0) \cos \theta + \cos(p_1 t - \varphi_0) \sin \theta] \\
& \Rightarrow B = A \sqrt{n^2 + p_1^2}; \quad \operatorname{tg} \theta = \frac{n}{p_1}
\end{aligned} \quad (1.2.19)$$

Legea de variație a deplasării și vitezei se scriu sub forma:

$$\begin{aligned}
x &= A e^{-nt} \cos(p_1 t - \varphi_0) \\
\dot{x} &= -A e^{-nt} \sqrt{n^2 + p_1^2} \sin(p_1 t - \varphi_0 + \theta)
\end{aligned} \quad (1.2.20)$$

Acestea exprimă o mișcare vibratorie amortizată, cu un defazaj între viteză și deplasare de  $(\pi/2 + \theta)$ .

Amplitudinea mișcării (deplasare și viteză) scade în timp după o lege exponențială, deci se obține o mișcare modulată în amplitudine. Mărimea  $p_1$  se numește *pseudopulsație* și se exprimă în funcție de factorul de amortizare  $\zeta$  astfel :

$$p_1 = \sqrt{p^2 - n^2} = p \sqrt{1 - \left(\frac{c}{c_{cr}}\right)^2} = p \sqrt{1 - \zeta^2} \quad (1.2.21)$$

Se observă că *pseudopulsația* este mai mică decât pulsația proprie  $p$  corespunzătoare vibrațiilor libere neamortizate. *Pseudoperioada*  $T_{p1}$  a mișcării amortizate este:

$$T_{p1} = \frac{2\pi}{p_1} = \frac{2\pi}{\sqrt{p^2 - n^2}}, \quad (1.2.22)$$

Pseudoperioada  $T_{p1}$  se poate exprima în funcție de perioada vibrațiilor proprii  $T_p$  și factorul de amortizare  $\zeta$  cu ajutorul relației:

$$T_{p1} = \frac{2\pi}{p_1} = \frac{2\pi}{\sqrt{p^2 - n^2}} = \frac{2\pi}{p} \frac{1}{\sqrt{1 - \zeta^2}} = \frac{T_p}{\sqrt{1 - \zeta^2}} \quad (1.2.23)$$

Pentru următoarele valori particulare al parametrilor:

$$m = 1 \text{ kg}; \quad c = 14 \text{ Ns} / \text{m}; \quad k = 625 \text{ N} / \text{m}; \quad x_0 = 10 \text{ mm}, \quad v_0 = 20 \text{ mm} / \text{s}$$

$$\Rightarrow p = 24; \quad n = 7; \quad \beta = 25; \quad A = 10,628 \text{ mm}; \quad \varphi_0 = 0,345 \text{ rad}$$

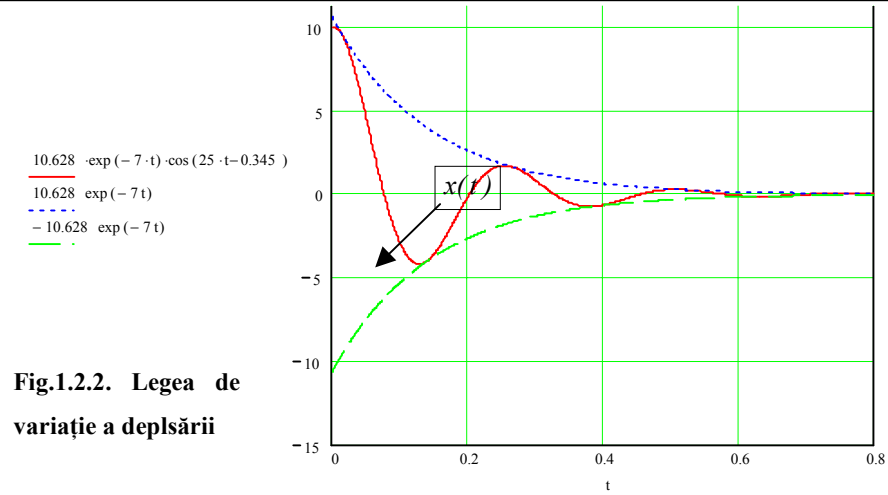
legile deplasării și vitezei:  $x = A e^{-nt} \cos(p_1 t - \varphi_0)$ ,  $\dot{x} = -B e^{-nt} \cos(p_1 t - \varphi_0 + \theta)$  se scriu sub forma analitică astfel:

$$\begin{cases} x = 10,628 \exp(-7t) \cos(25t - 0,375) & \text{mm} \\ \dot{x} = -275,92 \exp(-7t) \sin(25t - 0,375 + 0,514) & \text{mm} / \text{s} \end{cases} \quad (1.2.24)$$

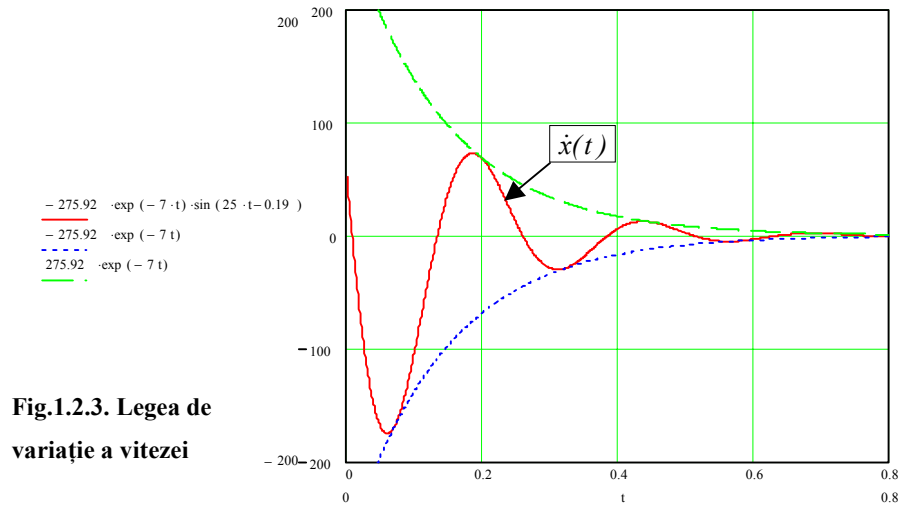
Folosind programul MATHCAD deplasarea și viteza s-au reprezentat în figurile 1.2.2 și 1.2.3. Valorile maxime ale deplasării (elongația maximă)  $A_k$  se obțin din condiția de anulare a vitezei  $\dot{x} = 0$  de unde rezultă timpii corespunzători:

$$t_{mk} = \frac{1}{p_1} (\varphi_0 - \theta + k\pi) \quad (1.2.24)$$

$$\Rightarrow A_k = A e^{-\frac{n}{p_1}(\varphi_0 - \theta + k\pi)} \cos(k\pi - \theta)$$



**Fig.1.2.2. Legea de variație a deplăsurii**



**Fig.1.2.3. Legea de variație a vitezei**

Pentru a studia modul de amortizare a mișcării, se calculează raportul a două elongații maxime situate la un interval de timp de o pseudoperioadă:

$$\frac{A_{(k)}}{A_{(k+2)}} = \frac{Ae^{-\frac{n}{p_1}(\varphi_0 - \theta + k\pi)}}{Ae^{-\frac{n}{p_1}(\varphi_0 - \theta + k\pi + 2\pi)}} \cdot \frac{\cos(k\pi - \theta)}{\cos(k\pi + 2\pi - \theta)} = e^{\frac{2\pi n}{p_1}} \quad (1.2.25)$$

Relația (1.2.25) indică faptul că elongațiile maxime măsurate la un interval de timp egal cu o pseudoperioadă scad în progresie geometrică (raportul este independent de timp). Pentru a caracteriza această progresie se definește *decrementul logarithmic* ca logaritm natural al acestui raport:

$$\delta = \ln \frac{A_{(k)}}{A_{(k+2)}} = \ln e^{\frac{2\pi n}{p_1}} = \frac{2\pi n}{p_1} = \frac{2\pi n}{\sqrt{p^2 - n^2}} = 2\pi \frac{\zeta}{\sqrt{1 - \zeta^2}} \quad (1.2.26)$$

Folosind programul MATHCAD și relația (1.2.26) s-a reprezentat în figura 1.2.4 și 1.2.5 variația decrementului logaritmic și variația raportului  $\frac{T_{p1}}{T_p}$  în funcție de factorul de amortizare  $\zeta$  conform relației (1.2.23).

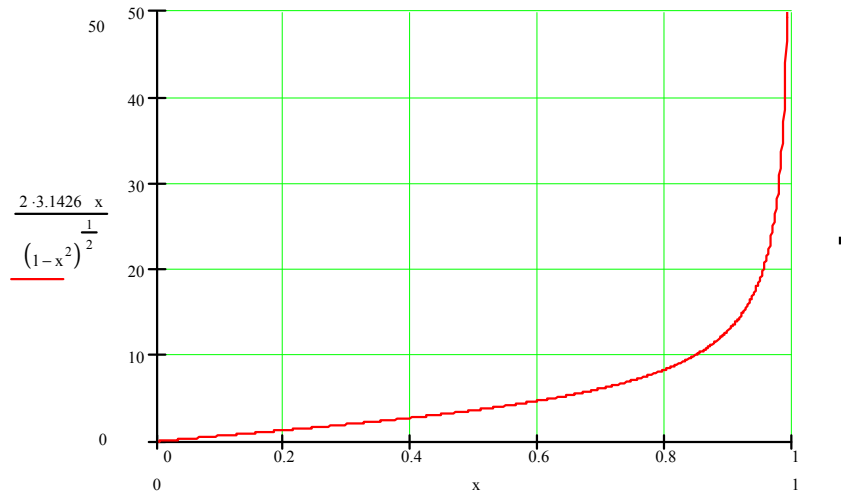


Fig.1.2.4. Variația decrementului logaritmic cu factorul de amortizare  $\zeta$  ( $\zeta \equiv x$ )

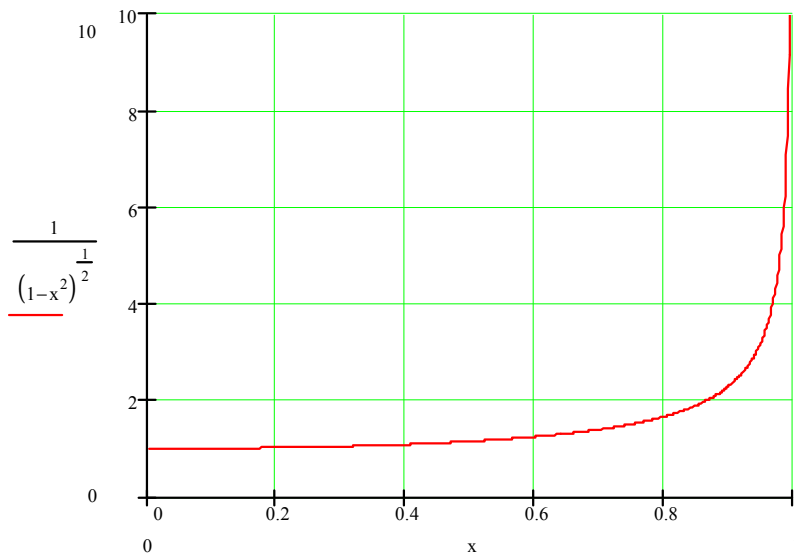


Fig.1.2.5. Variația raportului  $\frac{T_{p1}}{T_p}$  cu factorul de amortizare  $\zeta$  ( $\zeta \equiv x$ )

**Cazul b. Rădăcini reale și distincte** ( $n^2 - p^2 > 0$ )

Acest caz corespunde domeniului supracritic ( $n > p$  respectiv  $c > c_{cr}$ ). Rădăcinile ecuației caracteristice (1.55) sunt reale și au valorile:

$$r_{1,2} = -n \mp \sqrt{n^2 - p^2} = -n \mp \lambda \quad (1.2.27)$$

Soluția ecuației diferențiale (1.2.4) pentru acest caz se scrie:

$$x(t) = C_1 e^{(-n-\lambda)t} + C_2 e^{(-n+\lambda)t} = e^{-nt} (B_1 \operatorname{sh}\lambda t + B_2 \operatorname{ch}\lambda t) \quad (1.2.28)$$

Derivata lui  $x(t)$  se scrie:

$$\dot{x}(t) = e^{-nt} (-nB_1 \operatorname{sh}\lambda t - nB_2 \operatorname{ch}\lambda t + B_1 \lambda \operatorname{ch}\lambda t + B_2 \lambda \operatorname{sh}\lambda t) \quad (1.2.29)$$

Constantele de integrare  $B_1$  și  $B_2$  se determină din condițiile inițiale:

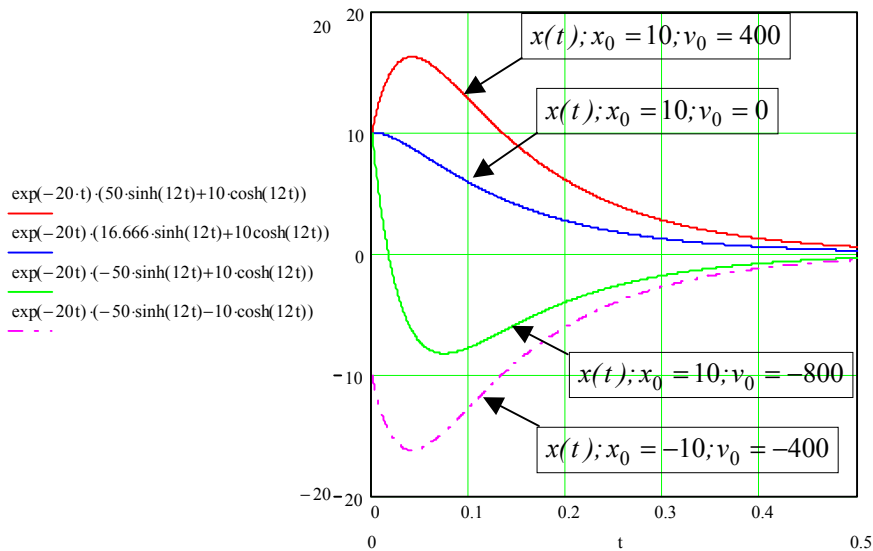
$$t = 0 \Rightarrow x(0) = x_0, \dot{x}(0) = v_0. \quad (1.2.30)$$

$$\text{Înlocuind rezultă: } B_1 = \frac{v_0 + nx_0}{\lambda}; \quad B_2 = x_0 \quad (1.2.31)$$

Deci soluția este o funcție aperiodică, hipreolică tinzând asimptotic către poziția de repaus:  $x = e^{-nt} \left( \frac{v_0 + nx_0}{\lambda} \operatorname{sh}\lambda t + x_0 \operatorname{ch}\lambda t \right)$  (1.2.32)

Dacă se consideră patru condiții inițiale caracterizate de următoarele valorile numerice folosind programul MATHCAD și relația (1.2.32) s-au obținut cele 4 grafice din figura 1.2.6.

1.  $p = 16$ ;  $\alpha = 20$ ;  $\lambda = 12$ ;  $x_0 = 10$ ;  $v_0 = 400$
2.  $p = 16$ ;  $\alpha = 20$ ;  $\lambda = 12$ ;  $x_0 = 10$ ;  $v_0 = 0$
3.  $p = 16$ ;  $\alpha = 20$ ;  $\lambda = 12$ ;  $x_0 = 10$ ;  $v_0 = -800$
4.  $p = 16$ ;  $\alpha = 20$ ;  $\lambda = 12$ ;  $x_0 = -10$ ;  $v_0 = -400$



**Fig.1.2.6. Variația deplasării pentru cele patru condiții inițiale**

**Cazul c. Rădăcini reale confundate** ( $n^2 - p^2 = 0$ ,  $n = p$ ,  $c = c_{cr}$ )

Acest caz corespunde amortizării critice și rădăcinile ecuației caracteristice (1.2.5) sunt reale și egale:  $r_1 = r_2 = -n$

Soluția ecuației diferențiale pentru acest caz este:

$$x = e^{-nt} (C_1 t + C_2) \quad (1.2.33)$$

Pentru limita  $t \rightarrow \infty$  aplicând regula l'Hospital se obține:

$$x = \lim_{t \rightarrow \infty} \frac{C_1 t + C_2}{e^{nt}} = \lim_{t \rightarrow \infty} \frac{C_1}{n e^{nt}} = 0, \quad (1.2.34)$$

adică mișcarea este aperiodică tinzând asimptotic la zero ca și în cazul precedent.

$$\text{Derivata acestei soluții se scrie: } \dot{x} = e^{-nt} (-nC_1 t - nC_2 + C_1) \quad (1.2.35)$$

Constantele de integrare  $C_1$  și  $C_2$  se determină din condițiile inițiale:

$$t = 0 \Rightarrow x(0) = x_0, \dot{x}(0) = v_0. \quad (1.2.36)$$

$$\text{rezultă: } C_1 = v_0 + n x_0; \quad C_2 = x_0 \quad (1.2.37)$$

$$x = e^{-nt} [x_0 + (v_0 + n x_0) t] \quad (1.2.38)$$

Spre exemplificare se consideră următoarele valori:  $\alpha = 0.1$ ;  $x_0 = 1$  și trei cazuri pentru condițiile inițiale: a)  $v_0 = 2$ ; b)  $v_0 = 0$  și c)  $v_0 = -2$ . Înlocuind în (1.2.38) și folosind programul MATHCAD s-au obținut graficele din fig. 1.2.7.

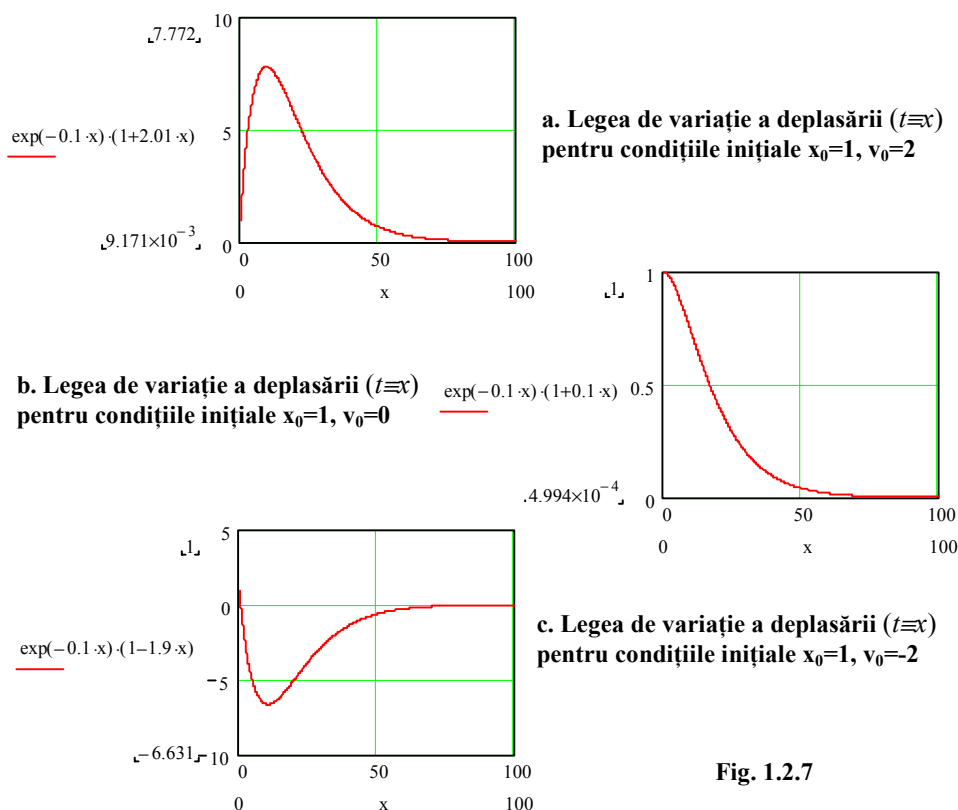


Fig. 1.2.7



### 1.2.2. Aplicație

Se consideră sistemul format din două corpuri de mase  $m_1$  și  $m_2$  (fig. 1.2.8) legate între ele printr-un arc având constanta elastică  $k$  și un amortizor hidraulic având coeficientul de amortizare  $c$ . Se cere să se determine *legea mișcării relative* dintre cele două corpuri știind că rezistența vâscoasă este proporțională cu viteza relativă:  $R = -c(\dot{x}_2 - \dot{x}_1)$  și condițiile inițiale sunt:  $\dot{x}_{20} - \dot{x}_{10} = 0$  (viteza relativă a celor două corpuri este nulă) și  $x_2 - x_1 = x_0$ .

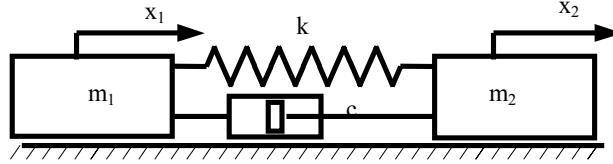


Fig. 1.2.8

Dacă se notează cu  $x_1$  și  $x_2$  deplasările absolute ale celor două corpuri, măsurate dintr-o poziție când arcul este nedeformat, deplasarea relativă a celor două corpuri  $x = x_2 - x_1$  ( $\dot{x} = \dot{x}_2 - \dot{x}_1$ ) este egală cu deformația arcului. Ecuațiile diferențiale ale mișcării corpurilor sunt (fig. 1.2.10):

$$\begin{aligned} m_1 \ddot{x}_1 + c\dot{x} + kx &= 0, \\ m_2 \ddot{x}_2 - c\dot{x} - kx &= 0. \end{aligned} \quad (1.2.39)$$

Înmulțind prima ecuație cu  $m_2$  și a doua cu  $m_1$ , prin scădere se obține:

$$m_1 m_2 \ddot{x} + (m_1 + m_2)c\dot{x} + (m_1 + m_2)kx = 0$$

$$\frac{m_1 m_2}{m_1 + m_2} \ddot{x} + c\dot{x} + kx = 0. \quad (1.2.40)$$

Dacă se notează:  $m = \frac{m_1 m_2}{m_1 + m_2}$

se obține ecuația diferențială (1.2.1) a mișcării relative:

$$m\ddot{x} + c\dot{x} + kx = 0. \quad (1.2.41)$$

Fig. 1.2.9

Înlocuind în expresia soluției (1.2.35)  $x = e^{-nt} \left( x_0 \cos p_1 t + \frac{v_0 + nx_0}{p_1} \sin p_1 t \right)$  condiția inițială  $v_0 = 0$  se obține:

$$x = x_0 e^{-nt} \left( \cos p_1 t + \frac{n}{p_1} \sin p_1 t \right) \quad (1.2.42)$$

$$\text{Notând: } A = x_0 \sqrt{1 + \left( \frac{n}{p_1} \right)^2}, \quad \text{tg} \theta = \frac{n}{p_1}, \quad (1.2.43)$$

rezultă:

$$x = A e^{-nt} \cos(p_1 t - \theta) \quad (1.2.44)$$

Pseudopulsația a mișcării relative este:

$$p_1 = \sqrt{p^2 - n^2} = p \sqrt{1 - \left(\frac{c}{c_{cr}}\right)^2} \quad (1.2.45)$$

unde:

$$p = \sqrt{\frac{k}{m}} = \sqrt{\frac{(m_1 + m_2)k}{m_1 m_2}} \quad (1.2.46)$$

$$c_{cr} = 2\sqrt{km} = 2\sqrt{\frac{k \cdot m_1 m_2}{m_1 + m_2}} \quad (1.2.47)$$

Pentru exemplificare se consideră următoarele valori numerice ale parametrilor:

$$x_0 = 10; v_0 = 0; c = 1,6; m_1 = 1; m_2 = 0,25; k = 2000.$$

Înlocuind se obține:

$$m = \frac{m_1 m_2}{m_1 + m_2} = 0,2; n = \frac{c}{2m} = 4; c_{cr} = 2\sqrt{km} = 40; p = \sqrt{\frac{k}{m}} = 100; p_1 = 99,92$$

Legea de mișcare se scrie:

$$x = 10,008 e^{-4t} \cos(99,92t - 0,04) \quad (1.2.48)$$

Folosind programul MATHCAD se obține graficul deplasării relative din figura 1.2.10.

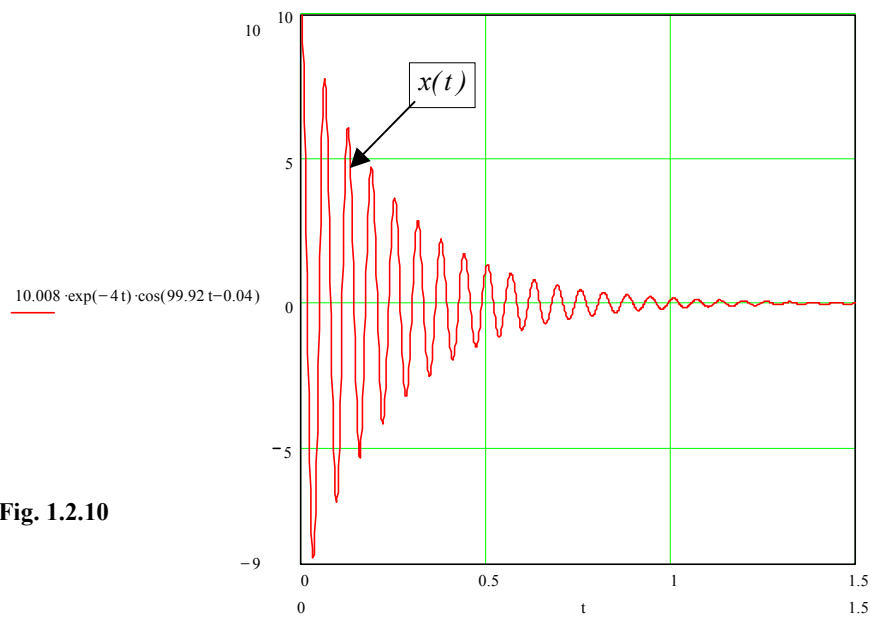


Fig. 1.2.10

### 1.3. Vibrații libere cu amortizare uscată

Acest tip de vibrații apar în cazul mișcărilor unui corp pe o suprafață uscată când forța rezistentă de frecare uscată este constantă și are sens opus vitezei  $R = -T \cdot \text{sign } \dot{x}$ , unde  $T = \mu mg$  este forța de frecare uscată maximă, iar  $\text{sign } \dot{x} = \pm 1$  după cum viteza este pozitivă sau negativă (fig. 1.3.1). Condițiile la momentul inițial sunt:  $x(0) = x_0$ ,  $\dot{x}(0) = 0$ .

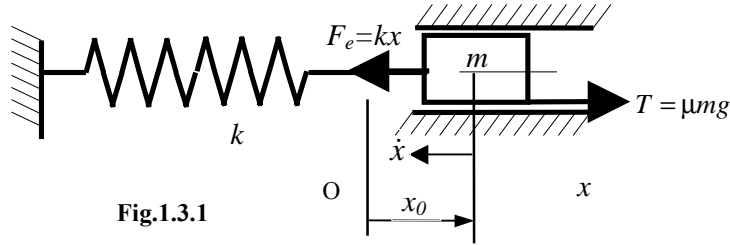


Fig.1.3.1

Pentru prima fază a mișcării corpul se deplasează spre poziția de echilibru și ecuația diferențială a mișcării se scrie:

$$m\ddot{x} = -kx + \mu mg \quad \Leftrightarrow \quad \ddot{x} + \frac{k}{m}x = +\mu g \quad (1.3.1)$$

Se notează:  $\frac{k}{m} = p^2$ , unde  $p$  este pulsația proprie. (1.3.2)

Soluția ecuației diferențiale (1.3.2) este formată din suma dintre soluția ecuației diferențiale omogene și o soluție particulară:

$$x = A \cos pt + B \sin pt + \frac{\mu mg}{k} \quad (1.3.3)$$

$$\dot{x} = -Ap \sin pt + Bp \cos pt$$

➤ Pentru prima semiperioadă  $t \in \left(0, \frac{\pi}{p}\right)$ , introducând condițiile inițiale

$$t = 0 \Rightarrow x = x_0, \quad \dot{x} = 0 \quad (1.3.4)$$

se obține: 
$$\begin{cases} x_0 = A + \frac{\mu mg}{k} \Rightarrow A = x_0 - \frac{\mu mg}{k} \\ 0 = Bp \cos pt \Rightarrow B = 0 \end{cases} \quad (1.3.5)$$

Dacă se notează  $a = \frac{\mu mg}{k}$  soluția pentru subintervalul  $t \in \left(0, \frac{\pi}{p}\right)$  este:

$$\begin{cases} x = (x_0 - a) \cos pt + a \\ \dot{x} = -p(x_0 - a) \sin pt \end{cases} \quad (1.3.6)$$

După prima semiperioadă deplasarea și viteza rezultă din (1.3.6) înlocuind :

$$t = \frac{\pi}{p} \Rightarrow x = -x_0 + 2a; \quad \dot{x} = 0 \quad (1.3.7)$$

Soluția pentru următorul subinterval există dacă forța elastică este mai mare decât forța de frecare:

$$k(x_0 - 2a) > \mu mg \Leftrightarrow x_0 > 3a \quad (1.3.8)$$

➤ Pentru a doua semiperioadă:  $t \in \left(\frac{\pi}{p}, \frac{2\pi}{p}\right)$  (1.3.9)

se schimbă numai sensul forței de frecare  $T$  și ecuația diferențială se scrie:

$$m\ddot{x} = kx - \mu mg \Leftrightarrow \ddot{x} + \frac{k}{m}x = -\mu g \quad (1.3.10)$$

soluția ecuației diferențiale este de forma:

$$\begin{cases} x = A^* \cos pt + B^* \sin pt - \frac{\mu mg}{k} \\ \dot{x} = -A^* p \sin pt + B^* p \cos pt \end{cases} \quad (1.3.11)$$

Înlocuind în condițiile inițiale (1.3.9):  $x = -x_0 + 2a$ ;  $\dot{x} = 0$ , se obține:

$$\begin{cases} -x_0 + 2a = -A^* - \frac{\mu mg}{k} \Rightarrow A^* = x_0 - 3a \\ 0 = -B^* p \Rightarrow B^* = 0 \end{cases} \quad (1.3.12)$$

Soluția pentru subintervalul :  $t \in \left(\frac{\pi}{p}, \frac{2\pi}{p}\right)$  se scrie:

$$\begin{cases} x = (x_0 - 3a) \cos pt - a \\ \dot{x} = -p(x_0 - 3a) \sin pt \end{cases} \quad (1.3.13)$$

După a doua semiperioadă deplasarea și viteza rezultă din (1.3.13) înlocuind :

$$t = \frac{\pi}{p} \Rightarrow x = x_0 - 4a; \quad \dot{x} = 0 \quad (1.3.14)$$

Existența soluției rezultă din condiția ca la momentul  $t = 2\pi/p$  forța elastică să fie mai mare decât forța maximă de frecare:

$$k(x_0 - 4a) > \mu mg \Leftrightarrow x_0 - 4a > \frac{\mu mg}{k} \Rightarrow x_0 > 5a \quad (1.3.15)$$

Pentru celelalte semiperioade modul de rezolvare este similar dar condițiile inițiale sunt altele (amplitudinea scade cu fiecare semiperioadă cu  $2a$ ).

$$\text{Pentru semiperioada } t \in \left((k-1)\frac{\pi}{p}, k\frac{\pi}{p}\right), \quad k \in N \quad (1.3.16)$$

ținând seama de relațiile (1.3.7) și (1.3.13), soluția generală se scrie:

$$\begin{cases} x = (x_0 - 2ka + a) \cos pt - (-1)^k a \\ \dot{x} = -p(x_0 - 2ka + a) \sin pt \end{cases} \quad (1.3.17)$$

Existența soluției rezultă din condiția ca la momentul  $t = k\pi/p$  forța elastică să fie mai mare decât forța de frecare maximă:

$$k(x_0 - 2ka) > \mu mg \Leftrightarrow x_0 - 2ka > \frac{\mu mg}{k} \Rightarrow x_0 > (2k+1)a \quad (1.3.18)$$

Dacă se consideră schimbarea de variabilă:  $t = (k-1) \frac{\pi}{p}$ ,  $k \in R$  soluția

(1.3.17) se scrie analitic sub forma:

$$\begin{cases} x = (x_0 - 2 \operatorname{int}(k) a + a) \cos(k-1)\pi - (-1)^k a \\ \dot{x} = -p(x_0 - 2 \operatorname{int}(k) a + a) \sin(k-1)\pi \end{cases} \quad (1.3.19)$$

Pentru a reprezenta sub formă grafică soluția analitică obținută (1.3.19) se consideră următoarele valori numerice ale parametrilor:

$$\begin{aligned} m &= 0,1 \text{ kg}; \quad k = 1000 \text{ N/m}; \quad \mu = 0,1; \quad g = 10 \text{ m/s}^2; \quad x_0 = 10 \text{ mm} \\ p &= 100; \quad a = 1 \text{ mm} \end{aligned} \quad (1.3.20)$$

Soluția analitică (1.3.19) pentru aceste valori se scrie:

$$\begin{cases} x = (11 - 2 \cdot \operatorname{ceil}(k-1)) \cos(k-1)\pi - (-1)^{\operatorname{ceil}(k-1)} \quad (\text{mm}) \\ \dot{x} = -0,1 (11 - 2 \cdot \operatorname{ceil}(k-1)) \sin(k-1)\pi \quad (\text{m/s}) \end{cases} \quad (1.3.21)$$

$$\text{unde s-a folosit funcția Mathcad: } \operatorname{ceil}(k) = [k] + 1 \quad (1.3.22)$$

Reprezentările grafice ale funcțiilor deplasare și viteză pentru acest caz particular sunt date în figura 1.3.2. Mișcarea se oprește atunci când forța elastică este mai mică decât forța de frecare:

$$F_e^{(k)} < \mu mg \Leftrightarrow k(x_0 - 2ka) < \mu mg \Rightarrow k > \frac{1}{2} \left( \frac{x_0}{a} - 1 \right) \quad (1.3.23)$$

Pentru exemplul considerat numărul de semiperioade după care mișcarea încetează este dat de condiția:

$$k(x_0 - 2ka) < \mu mg \Rightarrow k > \frac{1}{2} \left( \frac{x_0}{a} - 1 \right) \Rightarrow k = 5 \quad (1.3.24)$$

Acest lucru se observă și din diagramele mișcării din figura 1.3.2.

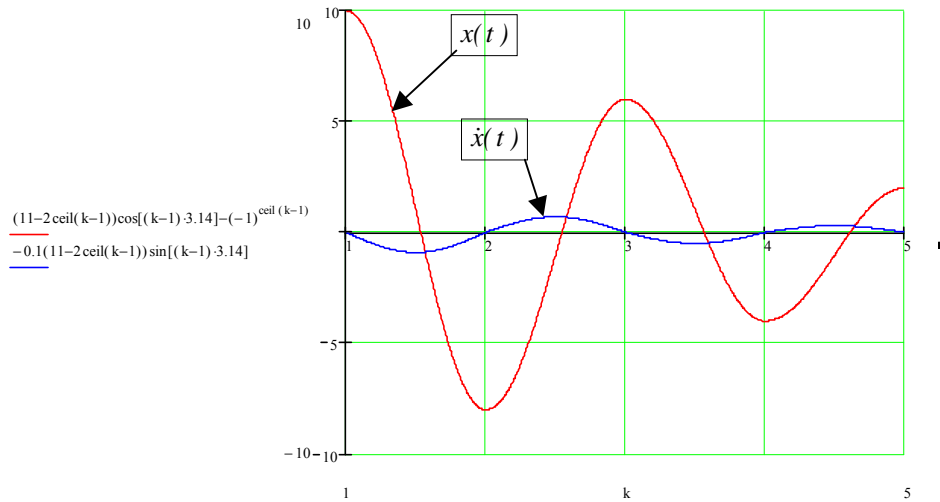


Fig. 1.3.2. Reprezentarea deplasării și vitezei în cazul vibrațiilor cu amortizare uscată

### 1.4. Vibrații forțate fără amortizare sub acțiunea unei forțe armonice

Se consideră cazul particular al vibrațiilor forțate fără amortizare sub acțiunea unei forțe perturbatoare armonice:  $F_p = F_0 \cos \omega t$ . Modelul matematic este un sistem mecanic format dintr-un element elastic de constantă  $k$  și un corp de masă  $m$  acționat de forța perturbatoare  $F_p$  (fig. 1.4.1). Condițiile la momentul inițial sunt:  $x(0) = x_0$ ,  $\dot{x}(0) = v_0$  (1.4.1)

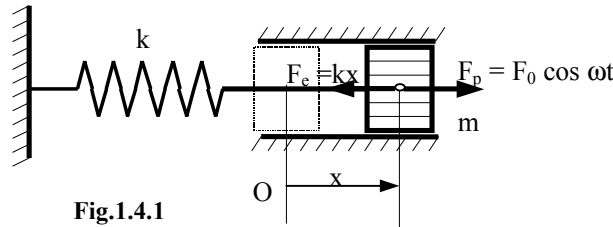


Fig.1.4.1

Ecuația fundamentală a dinamicii se scrie:

$$m\ddot{x} = -kx + F_0 \cos \omega t \quad (1.4.2)$$

Dacă se fac notațiile:  $\frac{k}{m} = p^2$ ,  $\frac{F_0}{m} = q$  (1.4.3)

relația (1.4.2) se mai poate pune sub forma:

$$\ddot{x} + p^2 x = q \cos \omega t \quad (1.4.4)$$

Ecuația diferențială (1.4.4) este liniară, neomogenă, cu coeficienți constanți. Soluția generală se compune din soluția ecuației omogene corespunzătoare la care se adaugă o soluție particulară  $x_p$  a ecuației neomogene:

$$x = A \cos pt + B \sin pt + x_p \quad (1.4.5)$$

unde soluția particulară a ecuației diferențiale neomogene este de forma:

$$x_p = C \cos \omega t \quad (1.4.6)$$

Constanta  $C$  se determină prin metoda indentificării (în ipoteza că  $\omega \neq p$ ).

Dacă se derivează (1.4.6) de două ori și se introduce în (1.4.4) se obține:

$$-C\omega^2 \cos \omega t + p^2 C \cos \omega t = q \cos \omega t \quad (1.4.7)$$

de unde rezultă:

$$C(-\omega^2 + p^2) = q \Rightarrow C = \frac{q}{p^2 - \omega^2} \quad (1.4.8)$$

Constantele de integrare  $A$  și  $B$  se determină introducând condițiile inițiale (1.4.1) în expresiile soluției și a derivatei corespunzătoare:

$$x = A \cos pt + B \sin pt + \frac{q}{p^2 - \omega^2} \cos \omega t \quad (1.4.9)$$

$$\dot{x} = -Ap \sin pt + Bp \cos pt - \frac{q\omega}{p^2 - \omega^2} \sin \omega t$$

Înlocuind rezultă:

$$\begin{cases} x_0 = A + \frac{q}{p^2 - \omega^2} \Rightarrow A = x_0 - \frac{q}{p^2 - \omega^2} \\ v_0 = Bp \Rightarrow B = \frac{v_0}{p} \end{cases} \quad (1.4.10)$$

Deci legea de mișcare (1.4.5) se scrie:

$$x = x_0 \cos pt + \frac{v_0}{p} \sin pt - \frac{q}{p^2 - \omega^2} \cos pt + \frac{q}{p^2 - \omega^2} \cos \omega t \quad (1.4.11)$$

Expresia legii de mișcare arată o vibrație *nearmonică* deoarece se suprapun două mișcări armonice de pulsații diferite: o vibrație proprie de pulsație  $p$  (primii trei termeni din relația 1.4.11) și o vibrație forțată a cărei pulsație este egală cu cea a forței perturbatoare  $\omega$  (ultimul termen din relația 1.4.11). În expresiile vibrațiilor de pulsație  $p$  sunt incluse atât condițiile inițiale ( $x_0$  și  $v_0$ ) cât și amplitudinea respectiv pulsația forței perturbatoare ( $q=F_0/m$ ,  $\omega$ ). Ultimul termen corespunzător vibrației de pulsație  $\omega$  este independent de condițiile inițiale.

În cazul particular  $x_0=0$  și  $v_0=0$  relația (1.119) devine:

$$x = -\frac{q}{p^2 - \omega^2} \cos pt + \frac{q}{p^2 - \omega^2} \cos \omega t \quad (1.4.12)$$

Amplitudinea vibrației forțate conform legii de mișcare (1.4.11) este:

$$A = \frac{q}{p^2 - \omega^2} = \frac{\frac{F_0}{m}}{p^2 - \omega^2} = \frac{\frac{F_0}{m} \cdot \frac{1}{p^2}}{1 - \left(\frac{\omega}{p}\right)^2} = \frac{\frac{F_0}{m} \cdot \frac{m}{k}}{1 - \left(\frac{\omega}{p}\right)^2} \quad (1.4.13)$$

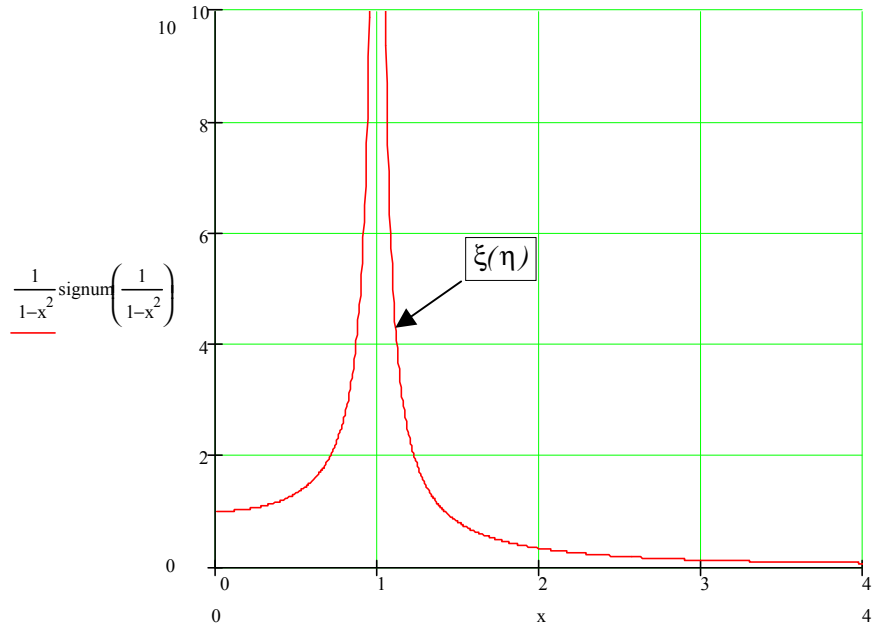
$$A = \frac{F_0}{k} \cdot \frac{1}{1 - \left(\frac{\omega}{p}\right)^2}$$

Se notează cu  $\frac{F_0}{k} = A_0$  deformația statică a sistemului elastic sub acțiunea unei forțe având valoarea amplitudinii a forței perturbatoare  $F_0$ .

Se definește *factorul de amplificare*  $\xi$  astfel:

$$\xi = \left| \frac{A}{x_{st}} \right| = \frac{1}{|1 - \eta^2|}; \quad \text{unde : } \eta = \frac{\omega}{p} \quad (1.4.14)$$

Reprezentarea grafică a acestei funcții de  $\eta$  reprezintă *curba de rezonanță* sau *curbă răspuns în frecvențe* a sistemului și este reprezentată în fig1.4.2.


 Fig. 1.4.2. Variația factorului de amplificare  $\xi$  cu pulsația relativă  $\eta(x \equiv \eta)$ 

### 1.4.1. Fenomenul de rezonanță

Se observă că pentru  $\omega = p$  are loc fenomenul de rezonanță care produce amplitudini infinite ale vibrațiilor. Practic însă amplitudinile nu ating valori infinite, ci se produc deformații foarte mari care pot duce la deteriorarea pieselor aflate în rezonanță. Dacă în expresia (1.4.12) se trece la limită ( $\omega \rightarrow p$ ) apare o nedeterminare de forma  $\left(\frac{0}{0}\right)$ . Pentru a ridica nedeterminarea aplicăm regula lui l'Hospital, astfel:

$$x_R = \lim_{\omega \rightarrow p} \left( q \cdot \frac{\cos \omega t - \cos pt}{p^2 - \omega^2} \right) = \lim_{\omega \rightarrow p} \left( q \cdot \frac{t \sin \omega t}{2\omega} \right) = \frac{qt}{2p} \sin pt \quad (1.4.17)$$

Se obține astfel o amplitudine modulată de o funcție liniară de timp.

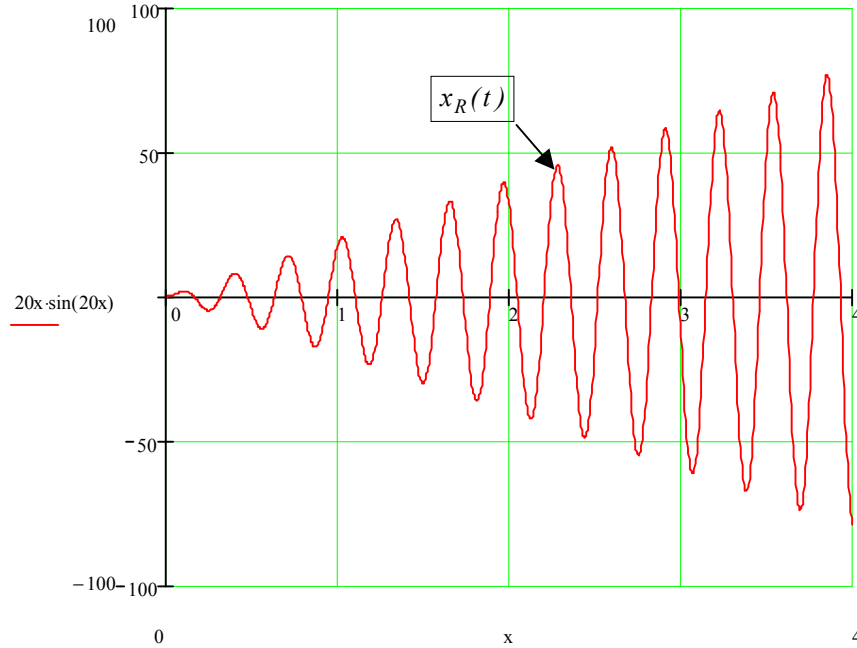
În cazul rezonanței mișcarea armonică modulată în amplitudine este defazată în urma forței perturbatoare cu  $\pi/2$  (în cuadratura cu aceasta). Într-adevăr expresia (1.4.17) se mai scrie:

$$x_R = \frac{qt}{2p} \sin pt = \frac{qt}{2p} \cos \left( pt - \frac{\pi}{2} \right) \quad (1.4.18)$$

În fig. 1.4.3 s-a reprezentat cu ajutorul programului Mathcad funcția

$x_R = f(t) = \frac{qt}{2p} \sin pt$  pentru valorile particulare ale parametrilor  $p=20$  și  $q=800$ .



Fig. 1.4.3. Variația amplitudinii în timp pentru rezonanță ( $x \equiv t$ )

### 1.4.2. Fenomenul bățăilor

Acest fenomen apare în cazul vibrațiilor forțate neamortizate sau amortizare mică astfel încât se poate neglija, numai atunci când pulsația forței perturbatoare este foarte apropiată de pulsația proprie, în apropierea punctului de rezonanță.

Se notează  $\omega - p = 2\varepsilon$  ( $\varepsilon \ll 1$ ). Dacă în relația (1.4.12) se aproximează  $p/\omega \equiv 1$  și  $p + \omega \equiv 2\omega$  se obține:

$$x = \frac{q}{p^2 - \omega^2} (\cos \omega t - \cos pt) = \frac{2q}{p^2 - \omega^2} \sin\left(\frac{\omega - p}{2}t\right) \sin\left(\frac{\omega + p}{2}t\right) \quad (1.4.19)$$

$$\Rightarrow x = \left( \frac{q}{\omega \varepsilon} \cdot \sin \varepsilon t \right) \cdot \sin \omega t \quad (1.4.20)$$

Se obține astfel o vibrație de pulsație  $\omega$  modulată în amplitudine cu funcția armonică de pulsație:

$$A(t) = \frac{q}{\omega \varepsilon} \sin \varepsilon t \quad (1.4.22)$$

Fenomenul bățăilor reprezintă o variație periodică a amplitudinii vibrației atunci când frecvența forței perturbatoare are valori în jurul frecvenței de rezonanță:  $\omega = p + 2\varepsilon$ .

În figura 1.4.4 s-a reprezentat cu ajutorul programului Mathcad funcția  $x(t) = \left( \frac{q}{\omega \varepsilon} \sin \varepsilon t \right) \cdot \sin \omega t$  pentru valorile  $q=100$ ,  $\varepsilon=0.5$  și  $\omega=10$ .

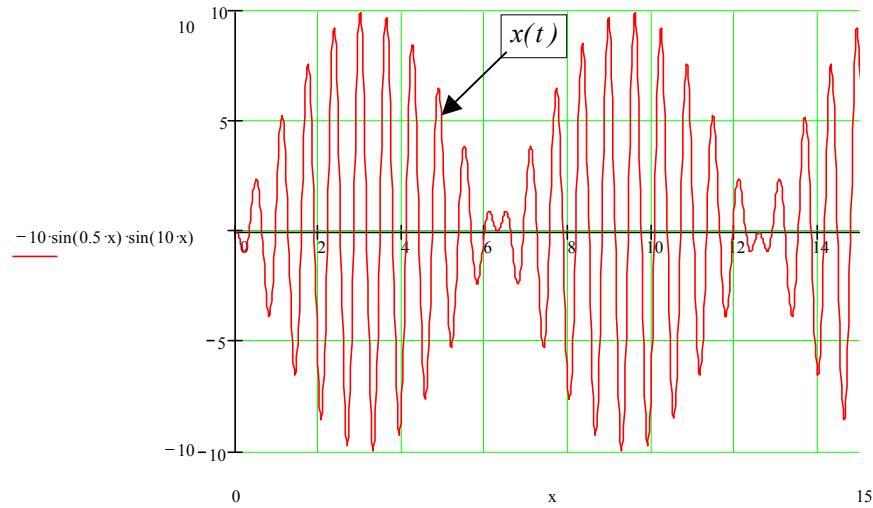


Fig. 1.4.4. Variația amplitudinii vibrațiilor în timpul fenomenului de bătăi ( $t \equiv x$ )

### 1.4.3. Fenomenul de anterezonanță

Acest fenomen apare în cazul vibrațiilor forțate neamortizate când  $\omega \ll p$  adică înainte de fenomenul de rezonanță.

În cazul particular  $x_0=0$  și  $v_0=0$  relația (1.120) se scrie:

$$x = -\frac{q}{p^2 - \omega^2} (\cos pt - \cos \omega t) = -\frac{2q}{p^2 - \omega^2} \sin\left(\frac{p - \omega}{2} t\right) \sin\left(\frac{p + \omega}{2} t\right) \quad (1.4.23)$$

S-a obținut astfel o mișcare de pulsație  $\frac{p + \omega}{2}$  modulată în amplitudine de o funcție armonică de pulsație mai mică  $(p - \omega)/2$ .

Pentru următoarele valori  $q=112$ ,  $p=15$ ,  $\omega=1$  se obține cu ajutorul programului MATHCAD graficul din figura 1.4.5. Pentru următoarele valori ale parametrilor corespunzători condițiilor inițiale:

$$x_0 = \frac{q}{p^2 - \omega^2}; \quad v_0 = 0 \quad (1.4.24)$$

relația (1.4.11) devine ecuația vibrațiilor staționare:

$$x = \frac{q}{p^2 - \omega^2} \cos \omega t \quad (1.4.25)$$

Se observă în acest caz că mișcarea este în fază cu forța perturbatoare

$$F = mq \cdot \cos \omega t \quad (1.4.26)$$

În figura 1.4.5 s-a reprezentat cu ajutorul programului Mathcad funcția (1.4.23) pentru valorile particulare  $q=112$ ,  $p=15$  și  $\omega=1$

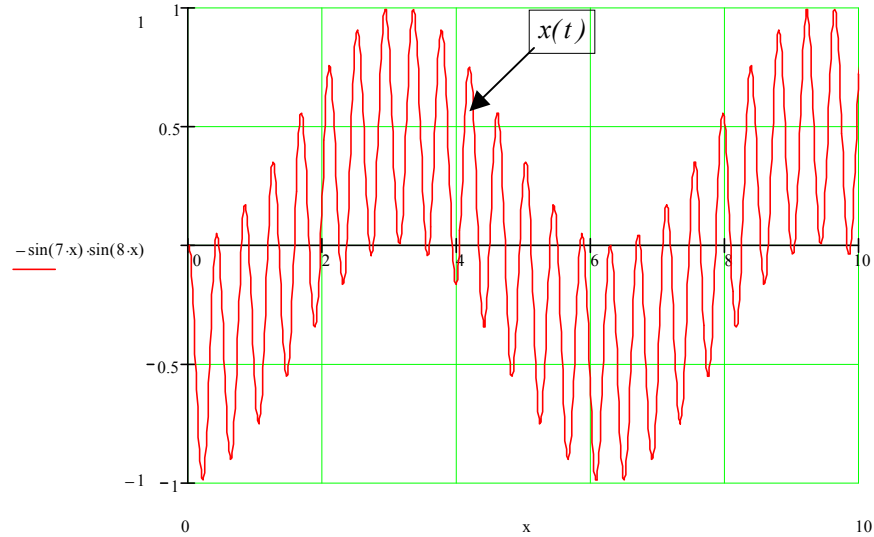


Fig. 1.4.5. Variația amplitudinii la anterezonanță ( $t \equiv x$ ).

#### 1.4.4. Fenomenul de postrezonanță

Acest fenomen apare când  $\omega \gg p$  în cazul vibrațiilor forțate neamortizate adică înainte de fenomenul de rezonanță.

În cazul particular  $x_0=0$  și  $v_0=0$  relația (1.4.12) se scrie:

$$x = -\frac{q}{\omega^2 - p^2} (\cos \omega t - \cos pt) = -\frac{2q}{\omega^2 - p^2} \sin\left(\frac{\omega - p}{2}t\right) \sin\left(\frac{p + \omega}{2}t\right) \quad (1.4.27)$$

S-a obținut astfel o mișcare de pulsație  $(p + \omega)/2$  modulată în amplitudine de o funcție armonică de pulsație  $(\omega - p)/2$ . Pentru următoarele valori ale parametrilor corespunzători condițiilor inițiale:

$$x_0 = \frac{q}{p^2 - \omega^2}; \quad v_0 = 0 \quad (1.4.28)$$

relația (1.4.11) devine ecuația vibrațiilor staționare:

$$x = -\frac{q}{\omega^2 - p^2} \cos \omega t = \frac{q}{\omega^2 - p^2} \cos(\omega t - \pi) \quad (1.4.29)$$

Se observă în acest caz că mișcarea este în opoziție de fază cu forța perturbatoare:

$$F = mq \cdot \cos \omega t \quad (1.4.30)$$

În figura 1.4.6 s-a reprezentat cu ajutorul programului MATHCAD funcția (1.4.23) pentru valorile particulare  $q=1200$ ,  $p=2$  și  $\omega=22$

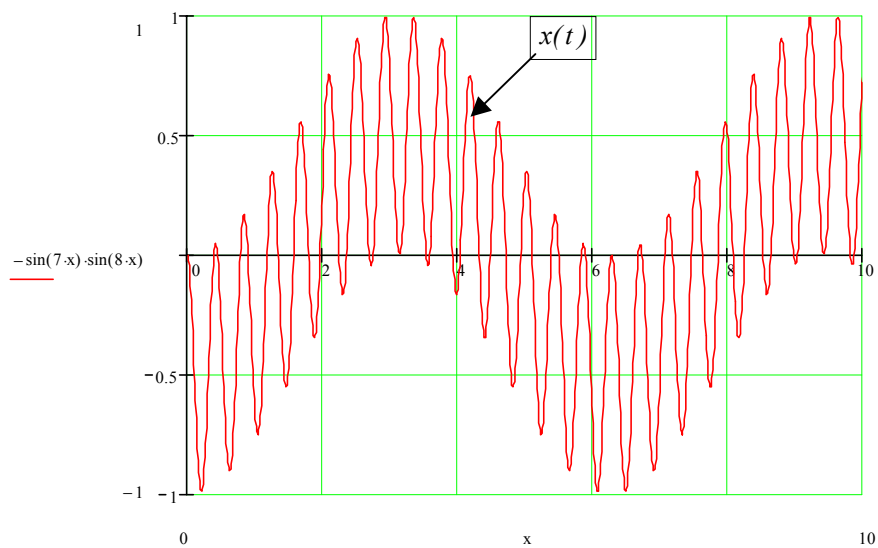


Fig. 1.4.6. Variația amplitudinii la postrezonanță ( $t \equiv x$ ).

## 1.5. Vibrații forțate cu amortizare vâscoasă sub acțiunea unei forțe armonice

Se consideră cazul vibrațiilor forțate amortizate produse de o forță perturbatoare armonică:  $F_p = F_0 \cos \omega t$ . Modelul matematic este prezentat în figura 1.5.1, și este format dintr-un corp de masă  $m$  acționat de o forță perturbatoare armonică  $F_p = F_0 \cos \omega t$ , un element elastic de constantă  $k$ , un element de amortizare vâscoasă ce produce o forță rezistentă proporțională cu viteza  $\bar{R} = -c\dot{v}$ , ( $c$  este coeficientul de amortizare vâscoasă).

Condițiile la momentul inițial sunt:

$$t = 0 \Rightarrow x(0) = x_0, \quad \dot{x}(0) = v_0 \quad (1.5.1)$$

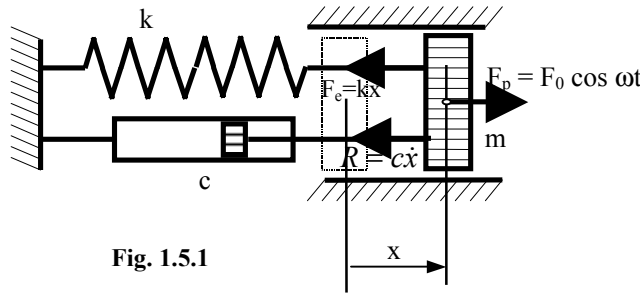


Fig. 1.5.1

Ecuatia fundamentală a dinamicii se scrie:

$$m\ddot{x} = -kx - c\dot{x} + F_0 \cos \omega t \quad (1.5.2)$$

Dacă se fac notațiile:  $\frac{k}{m} = p^2, \frac{c}{m} = 2n, \frac{F_0}{m} = q$  (1.5.3)

ecuația diferențială (1.5.2) se mai poate pune sub forma:

$$\ddot{x} + 2n\dot{x} + p^2x = q \cos \omega t \quad (1.5.4)$$

Ecuatia diferențială (1.5.4) este liniară, neomogenă, cu coeficienți constanți.

a. *Soluția ecuației omogene*  $x_{om}$  corespunzătoare pentru domeniul subcritic ( $c < c_{cr}$ ) este o vibrație amortizată pseudoperiodică de forma:

$$x_{om} = e^{-nt} (A \cos p_1 t + B \sin p_1 t); \quad p_1 = \sqrt{p^2 - n^2} \quad (1.5.5)$$

b. *Soluția ecuației omogene*  $x_{om}$  corespunzătoare domeniului supracritic ( $c > c_{cr}$ ) este o mișcare aperiodică de forma:

$$x_{om} = e^{-nt} (A \operatorname{sh} \lambda t + B \operatorname{ch} \lambda t), \quad \lambda = \sqrt{n^2 - p^2} \quad (1.5.6)$$

În primul caz soluția generală se compune din soluția ecuației omogene corespunzătoare la care se adaugă o soluție particulară  $x_p$  a ecuației neomogene:

$$x = e^{-\alpha t} (A \cos \beta t + B \sin \beta t) + x_p \quad (1.5.7)$$

Soluția particulară a ecuației diferențiale neomogene este de forma:

$$x_p = D \sin \omega t + E \cos \omega t \quad (1.5.8)$$

Constantele  $D$  și  $E$  se determină prin metoda indentificării. Se derivează de două ori soluția particulară (1.5.8) și se obține:

$$\begin{aligned}\dot{x}_p &= \omega(D \cos \omega t - E \sin \omega t) \\ \ddot{x}_p &= -\omega^2(D \sin \omega t + E \cos \omega t)\end{aligned}\quad (1.5.9)$$

care introduse în (1.5.4) conduce la:

$$\begin{aligned}-\omega^2(D \sin \omega t + E \cos \omega t) + 2n\omega(D \cos \omega t - E \sin \omega t) + \\ + p^2(D \sin \omega t + E \cos \omega t) = q \cos \omega t\end{aligned}\quad (1.5.10)$$

Prin identificarea celor doi membrii ai relației (1.5.10) rezultă:

$$\begin{cases} D(p^2 - \omega^2) - 2En\omega = 0 \\ 2Dn\omega + E(p^2 - \omega^2) = q \end{cases}\quad (1.5.11)$$

de unde se obțin constantele D și E:

$$\begin{aligned}D &= \frac{2n\omega q}{(p^2 - \omega^2)^2 + 4\omega^2 n^2} \\ E &= \frac{(p^2 - \omega^2)q}{(p^2 - \omega^2)^2 + 4\omega^2 n^2}\end{aligned}\quad (1.5.12)$$

Soluția particulară este independentă de condițiile inițiale și are expresia:

$$x_p = \frac{2n\omega q}{(p^2 - \omega^2)^2 + 4n^2\omega^2} \sin \omega t + \frac{(p^2 - \omega^2)q}{(p^2 - \omega^2)^2 + 4n^2\omega^2} \cos \omega t \quad (1.5.13)$$

care mai poate fi scrisă sub forma:  $x_p = C \cos(\omega t - \theta)$  (1.5.14)

$$\text{unde: } \begin{cases} C = \sqrt{D^2 + E^2} = \frac{q}{\sqrt{(p^2 - \omega^2)^2 + 4n^2\omega^2}} \\ \operatorname{tg} \theta = \frac{D}{E} = \frac{2n\omega}{p^2 - \omega^2} \end{cases}\quad (1.5.15)$$

Expresia soluției generale (1.5.7) și a derivatei ei se scrie:

$$\begin{aligned}x &= e^{-nt}(A \cosh p_1 t + B \sinh p_1 t) + \frac{2n\omega q}{(p^2 - \omega^2)^2 + 4\omega^2 n^2} \sin \omega t + \frac{(p^2 - \omega^2)q}{(p^2 - \omega^2)^2 + 4\omega^2 n^2} \cos \omega t \\ \dot{x} &= e^{-nt}(-nA \cosh p_1 t - nB \sinh p_1 t - A p_1 \sinh p_1 t + B p_1 \cosh p_1 t) + \\ &+ \frac{2n\omega^2 q}{(p^2 - \omega^2)^2 + 4\omega^2 n^2} \cos \omega t - \frac{\omega(p^2 - \omega^2)q}{(p^2 - \omega^2)^2 + 4\omega^2 n^2} \sin \omega t\end{aligned}\quad (1.5.16)$$

Introducând condițiile inițiale (1.5.1) în (1.5.16) se obține:

$$\begin{cases} x_0 = A + \frac{q(p^2 - \omega^2)}{(p^2 - \omega^2)^2 + 4\omega^2 n^2} \\ v_0 = -nA + p_1 B + \frac{2n\omega^2 q}{(p^2 - \omega^2)^2 + 4\omega^2 n^2} \end{cases}\quad (1.5.17)$$

rezultă constantele de integrare  $A$  și  $B$ :

$$\begin{cases} A = x_0 - \frac{q(p^2 - \omega^2)}{(p^2 - \omega^2)^2 + 4\omega^2 n^2} \\ B = \frac{v_0 + nx_0}{p_1} - \frac{n}{p_1} \frac{(\omega^2 + p^2)q}{(p^2 - \omega^2)^2 + 4\omega^2 n^2} \end{cases} \quad (1.5.18)$$

Prin urmare, mișcarea sistemului este caracterizată de legea:

$$\begin{aligned} x = e^{-nt} & \left( x_0 \cos p_1 t + \frac{v_0 + nx_0}{p_1} \sin p_1 t \right) - \\ & - \frac{qe^{-nt}}{(p^2 - \omega^2)^2 + 4\omega^2 n^2} \left( (p^2 - \omega^2) \cos p_1 t + \frac{n}{p_1} (p^2 + \omega^2) \sin p_1 t \right) \\ & + \frac{2n\omega^2 q}{(p^2 - \omega^2)^2 + 4\omega^2 n^2} \cos \omega t + \frac{\omega(p^2 - \omega^2)q}{(p^2 - \omega^2)^2 + 4\omega^2 n^2} \sin \omega t \end{aligned} \quad (1.5.19)$$

Ecuția (1.5.19) arată faptul că legea de mișcare a corpului se obține prin însumarea următoarelor trei legi de mișcare:

- o vibrație de pseudopulsație  $p_1$  datorată condițiilor inițiale
- o vibrație de pseudopulsație  $p_1$  datorată forței perturbatoare
- o vibrație staționară având aceeași pulsație  $\omega$  cu a forței perturbatoare

Se constată că într-o primă fază a mișcării vibrația proprie și vibrația întreținută coexistă. Această fază se numește *regim tranzitoriu*. În a doua fază a mișcării, vibrația proprie se amortizează (datorită factorului  $e^{-nt}$ ) și sistemul vibrează numai cu pulsația forței perturbatoare  $\omega$ . Această fază se numește *regim permanent sau staționar*.

Problema determinării soluției vibrației staționare în cazul de mai sus se mai poate rezolva utilizând calculul complex. Ecuția complexă asociată mișcării cu amortizare vâscoasă se scrie asociind o ecuație similară ecuației (1.5.4):

$$\begin{aligned} \ddot{x} + 2n\dot{x} + p^2 x &= q \cos \omega t \\ \ddot{y} + 2n\dot{y} + p^2 y &= q \sin \omega t \quad |i \end{aligned} \quad (1.5.20)$$

Însumând rezultă:

$$\ddot{z} + 2n\dot{z} + z = qe^{i\omega t}; \quad (1.5.21)$$

$$\text{unde: } z = x + iy \quad \text{si} \quad e^{i\omega t} = \cos \omega t + i \sin \omega t$$

unde  $x$  și  $y$  reprezintă soluțiile ecuațiilor diferențiale conjugate:

Soluția staționară a ecuației (1.5.21) și derivatele ei sunt de forma:

$$\begin{aligned} z_{st} &= Ae^{i(\omega t - \varphi)} = Ae^{-i\varphi} e^{i\omega t} = \tilde{A} e^{i\omega t}; \\ \dot{z}_{st} &= i\omega \tilde{A} e^{i\omega t}; \\ \ddot{z}_{st} &= -\omega^2 \tilde{A} e^{i\omega t}. \end{aligned} \quad (1.5.22)$$

Introducând în ecuația (1.5.21) se obține *amplitudinea complexă* a mișcării staționare  $\tilde{A}$ :

$$\begin{aligned}
 -\omega^2 A e^{i\omega t} + 2n \cdot i\omega A e^{i\omega t} + p^2 A e^{i\omega t} &= q e^{i\omega t} \\
 \tilde{A}(p^2 - \omega^2 + 2n\omega i) &= q \\
 \Rightarrow \tilde{A} &= \frac{q}{p^2 - \omega^2 + 2n\omega i}
 \end{aligned}
 \quad (1.5.23)$$

rezultă soluția staționară complexă:

$$z_{st} = \tilde{A} e^{i\omega t} = \frac{q}{p^2 - \omega^2 + 2n\omega i} e^{i\omega t} \quad (1.5.24)$$

Soluția staționară reală se scrie:

$$x = \frac{q}{(p^2 - \omega^2)^2 + (2n\omega)^2} \left[ (p^2 - \omega^2) \cos \omega t + (2n\omega) \sin \omega t \right] \quad (1.5.25)$$

$$\text{sau: } x = A \cdot \cos(\omega t - \theta);$$

$$\text{unde: } A = \frac{q}{\sqrt{(p^2 - \omega^2)^2 + (2n\omega)^2}}; \quad \operatorname{tg} \theta = \frac{2n\omega}{p^2 - \omega^2} \quad (1.5.26)$$

este amplitudinea respective faza mișcării staționare este:

Se obține astfel aceeași ecuație a mișcării (1.5.14).

Pentru exemplificare se consideră o vibrație forțată cu următoarele valori particulare ale parametrilor:  $x_0 = 0$ ;  $v_0 = 0$ ;  $p = 41$ ;  $\omega = 6$ ;  $\alpha = 9$ ;  $q = 4194$ . Introducând în relația (1.5.19) se obține ecuația mișcării:

$$x = e^{-9t} (2.53858 \cdot \cos 40t + 0.6118 \cdot \sin 40t) + \cos 6t + 15.23 \sin 6t$$

Reprezentarea grafică cu ajutorul programului MATHCAD a soluției generale (1.5.25) cât și a soluției staționare corespunzătoare:  $x_{st} = \cos 6t + 15.23 \sin 6t$  este dată în figura 1.5.2. Se observă din aceste grafice că soluția generală se obține prin suprapunerea soluției staționare cu soluția vibrațiilor proprii.

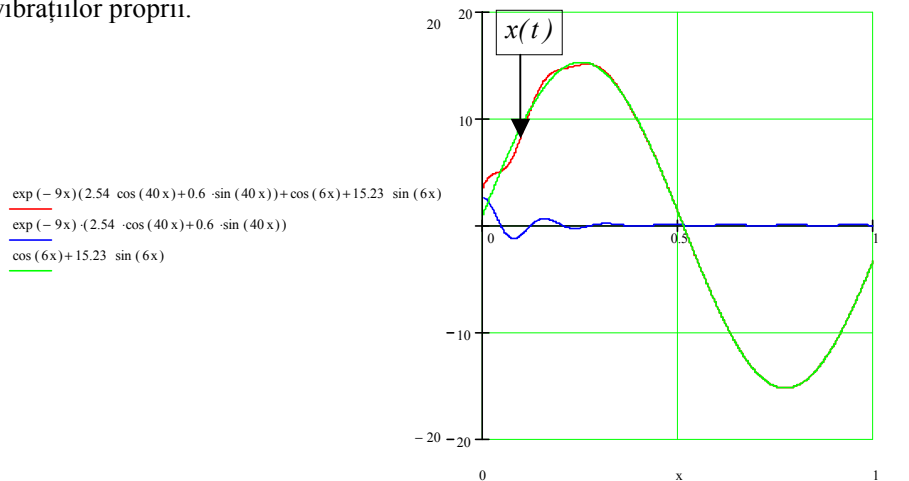


Fig. 1.5.2. Variația amplitudinii vibrațiilor forțate cu amortizare vâscoasă ( $t \equiv x$ ).



Amplitudinea mișcării staționare conform (1.5.24) se mai scrie :

$$A = \frac{\frac{q}{p^2}}{\sqrt{\left(1 - \frac{\omega^2}{p^2}\right)^2 + 4 \frac{n^2}{p^2} \cdot \frac{\omega^2}{p^2}}} = \frac{A_0}{\sqrt{\left(1 - \frac{\omega^2}{p^2}\right)^2 + 4 \frac{n^2}{p^2} \cdot \frac{\omega^2}{p^2}}} \quad (1.5.27)$$

Raportul dintre amplitudinea mișcării  $A$  și deformația statică a arcului sub acțiunea unei forțe egală cu amplitudinea forței perturbatoare  $A_0$ :

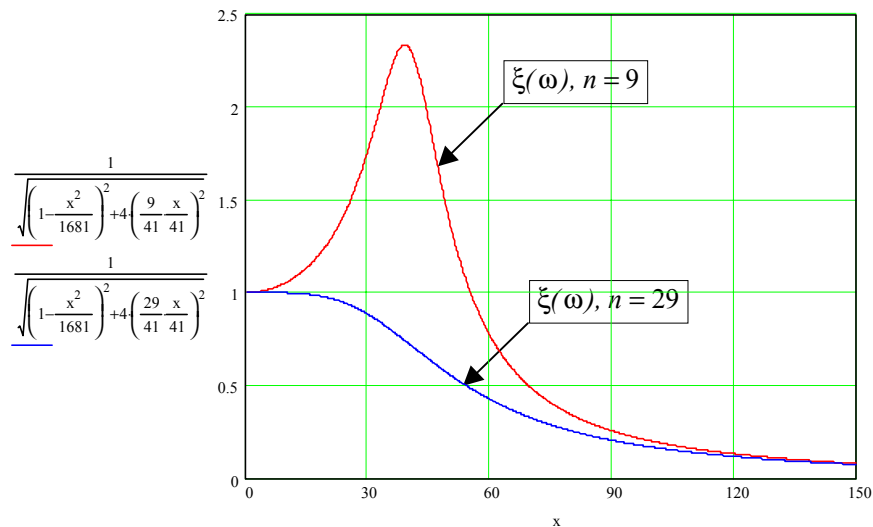
$$A_0 = \frac{F_0}{k} = \frac{q}{p^2}; \quad \xi = \frac{A}{A_0} \text{ se numește } \textit{factor de amplificare}.$$

Ținând seama de definiția factorului de amortizare:  $\frac{n}{p} = \frac{c}{c_{cr}} = \zeta$  factorul

de amplificare  $\xi$  se scrie funcție de pulsația relativă  $\frac{\omega}{p} = \eta$  sub forma:

$$\xi(\eta) = \frac{1}{\sqrt{(1 - \eta^2)^2 + 4\zeta^2\eta^2}} \quad (1.5.28)$$

Reprezentând grafic factorul de amplificare  $\xi$  pentru valorile particulare ale parametrilor:  $x_0 = 0$ ;  $v_0 = 0$ ;  $p = 41$ ;  $q = 4194$  pentru  $n=9$  precum și pentru  $n = \frac{p}{\sqrt{2}} \cong 29$  se obțin curbele de răspuns în frecvențe din figura 1.5.3.



**Fig.1.5.3. Variația factorului de amplificare cu pulsația pentru două alori ale factorului de amortizare ( $\omega \equiv x$ ).**

Amplitudinea maximă se obține pentru o valoare a pulsației  $\omega$  în jurul valorii de rezonanță (coincide cu aceasta numai pentru  $\alpha=0$ ). Pentru a găsi valoarea acestei pulsații ( $\omega_m$ ) se anulează derivata funcției amplitudine :

$$A(\omega) = \frac{q}{\sqrt{(p^2 - \omega^2)^2 + 4n^2\omega^2}} \quad (1.5.29)$$

$$A'(\omega) = -q \frac{-4\omega(p^2 - \omega^2) + 4n^2 2\omega}{\left[ \sqrt{(p^2 - \omega^2)^2 + 4n^2\omega^2} \right]^3} = -\frac{2q\omega(p^2 - \omega^2 + 2n^2)}{\left[ \sqrt{(p^2 - \omega^2)^2 + 4n^2\omega^2} \right]^3} = 0 \quad (1.5.30)$$

$$\text{rezultă:} \quad \omega_m = \sqrt{p^2 - 2n^2} \quad \text{sau} \quad \left( \frac{\omega}{p} \right)_m = \sqrt{1 - 2\zeta^2} \quad (1.5.31)$$

Se observă că expresia (1.5.31) are sens numai dacă:

$$\zeta = \frac{n}{p} \leq \frac{1}{\sqrt{2}} \cong 0,707 \quad (1.5.32)$$

Pentru  $0,707 \leq \frac{n}{p} \leq 1$  amplitudinea nu mai admite maxim (fig.1.5.3).

În figura 1.5.4 este reprezentată variația factorului de amplificare :

$$\xi(\eta) = \frac{1}{\sqrt{(1 - \eta^2)^2 + 4\zeta^2\eta^2}}; \quad \eta = \frac{\omega}{p} \quad (1.5.33)$$

pentru patru valori ale factorului de amortizare:  $\zeta=0.112$ ;  $0.353$ ;  $0.500$  și  $0.707$

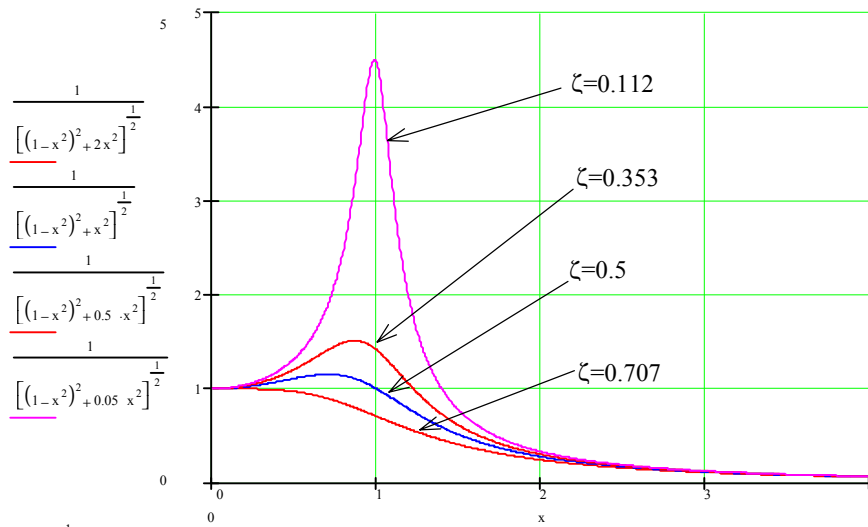


Fig.1.5.4. Variația factorului de amplificare cu pulsația relativă pentru patru valori ale factorului de amortizare ( $x \equiv \eta$ )

Înlocuind în expresia (1.5.33) valoarea  $\eta_m$  se obține factorul de amplificare maxim:

$$\xi_m = \frac{p^2}{2n\sqrt{p^2 - n^2}} = \frac{1}{2\zeta\sqrt{1 - \zeta^2}} \quad (1.5.34)$$

În figura 1.5.5 este reprezentată variația factorului de amplificare maxim  $\xi_m$  în funcție de factorul de amortizare  $\zeta$

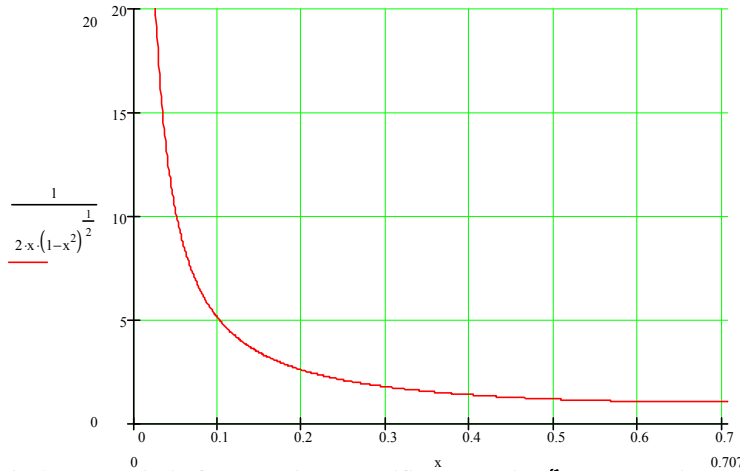


Fig.1.5.5. Variația factorului de amplificare maxim  $\xi_m$  cu amortizarea ( $x \equiv \zeta$ )

Unghiul de defazaj al deplasării în raport cu forța de excitație conform relației (1.5.25) în funcție de pulsația relativă și factorul de amortizare se scrie:

$$\theta = \arctg \frac{2\zeta\eta}{1 - \eta^2} \Leftrightarrow \theta = \arccos \frac{1 - \eta^2}{\sqrt{(1 - \eta^2)^2 + (2\zeta\eta)^2}} \quad (1.5.35)$$

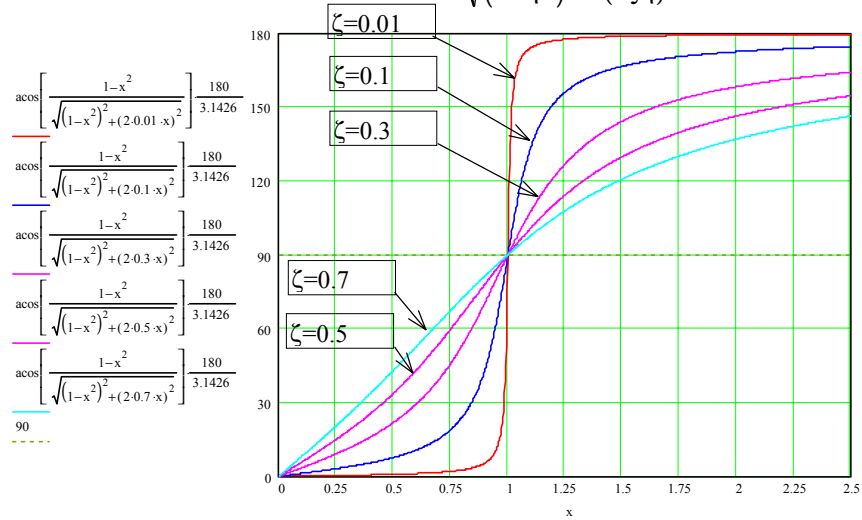


Fig.1.5.6. Variația defazajului cu pulsația relativă pentru diferite valori ale factorului de amortizare  $\zeta(x \equiv \eta)$

## 1.6. Vibrații forțate cu amortizare vâscoasă sub acțiunea unor forțe de inerție rotitoare

Se consideră un motor electric montat pe o placă legată de fundație prin intermediul a două arcuri de constantă  $k/2$  și un amortizor hidraulic (forța de amortizare vâscoasă fiind proporțională cu viteza  $\bar{R} = -c\bar{v}$ ) având rotorul de masă  $m_0$  deaxat cu excentricitatea  $e$  (fig. 1.6.1) care se rotește cu viteza unghiulară constantă  $\omega = 2\pi n$ . Masa totală a sistemului (motor și placă de fixare) este  $m = m_1 + m_0$ . Să se studieze variația amplitudinii vibrațiilor forțate în funcție de  $\omega$  și de factorul de amortizare  $\zeta$ .

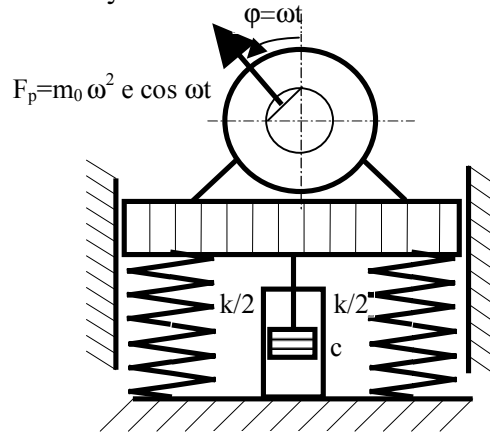


Fig.1.6.1

Forța centrifugă care acționează asupra sistemului este dată de:

$$F_p = m_0 \omega^2 e \cos \omega t \quad (1.6.1)$$

Ecuatia fundamentală a dinamicii în acest caz se scrie:

$$m\ddot{x} = -kx - c\dot{x} + m_0 \omega^2 e \cos \omega t \quad (1.6.2)$$

Dacă se fac notațiile:  $\frac{k}{m} = p^2$ ,  $\frac{c}{m} = 2n$ ,  $\frac{m_0}{m} e = r$ , ecuația diferențială

(1.6.2) se scrie sub forma:

$$\ddot{x} + 2n\dot{x} + p^2 x = r\omega^2 \cos \omega t \quad (1.6.3)$$

Soluția staționară a acestei ecuații se scrie:

$$x = \frac{r\omega^2}{\sqrt{(p^2 - \omega^2)^2 + 4n^2\omega^2}} \cos(\omega t - \theta); \quad \operatorname{tg} \theta = \frac{2n\omega}{p^2 - \omega^2} \quad (1.6.4)$$

Se observă că amplitudinea vibrațiilor forțate este o funcție de valoarea pulsației forței perturbatoare de forma:

$$A(\omega) = \frac{r\omega^2}{\sqrt{(p^2 - \omega^2)^2 + 4n^2\omega^2}} \quad (1.6.5)$$

Expresia amplitudinii și factorului de amplificare a vibrațiilor forțate în funcție de  $\eta = \omega/p$  și de factorul de amortizare  $\zeta = \frac{n}{p} = \frac{c}{c_{cr}}$  are forma:

$$A(\eta) = r \frac{\eta^2}{\sqrt{(1-\eta^2)^2 + 4\zeta^2\eta^2}}; \quad \xi = \frac{A}{r} = \frac{\eta^2}{\sqrt{(1-\eta^2)^2 + 4\zeta^2\eta^2}} \quad (1.6.6)$$

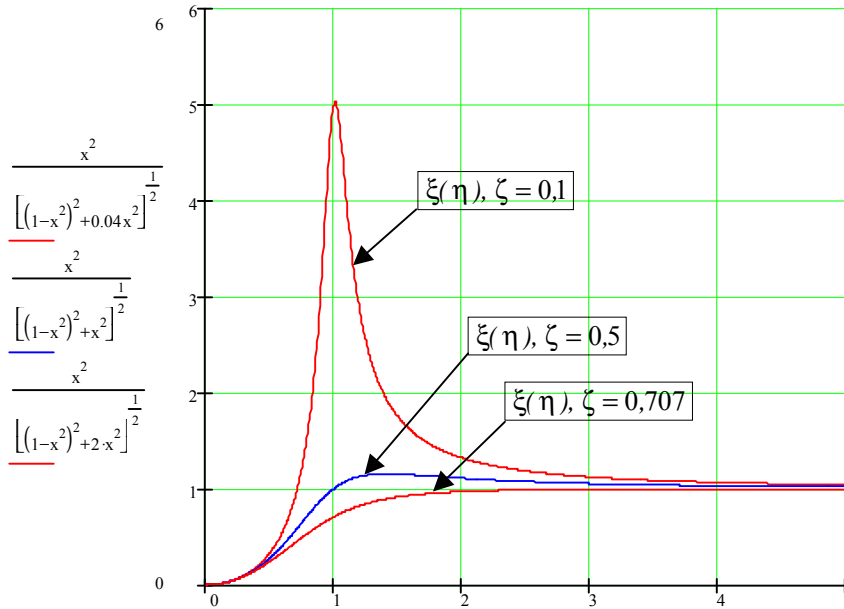


Fig. 1.6.2. Variația factorului de amplificare a amplitudinii vibrațiilor forțate cu pulsația relativă pentru diferite valori ale factorului de amortizare ( $x \equiv \eta$ )

Variațiile amplitudinii  $A(\eta)$  pentru trei valori ale factorului de amortizare  $\zeta=0.1$ ;  $\zeta=0.5$  și  $\zeta=0.707$ , (pentru  $r=1$ ) sunt prezentate în figura 1.6.2. Valoarea maximă a amplitudinii vibrațiilor forțate se obține prin anularea derivatei corespunzătoare:

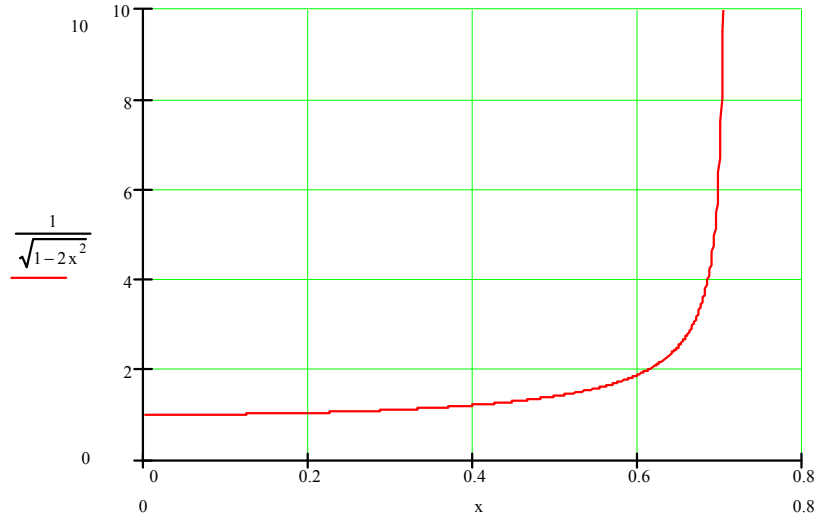
$$A'(\omega) = r \frac{2\omega(p^4 - \omega^2(p^2 - 2n^2))}{\left(\sqrt{(p^2 - \omega^2)^2 + 4n^2\omega^2}\right)^3} = 0 \quad (1.6.7)$$

rezultă valoarea pulsației pentru care amplitudinea are valoarea maximă:

$$\frac{\omega_m}{p} = \frac{p}{\sqrt{p^2 - 2n^2}} = \frac{1}{\sqrt{1 - 2\zeta^2}}; \quad \zeta = \frac{n}{p} \quad (1.6.8)$$

Expresia (1.6.8) are sens (amplitudinea admite maxim) numai dacă:

$$\zeta = \frac{n}{p} \leq \frac{1}{\sqrt{2}} \cong 0.707. \quad (1.6.9)$$

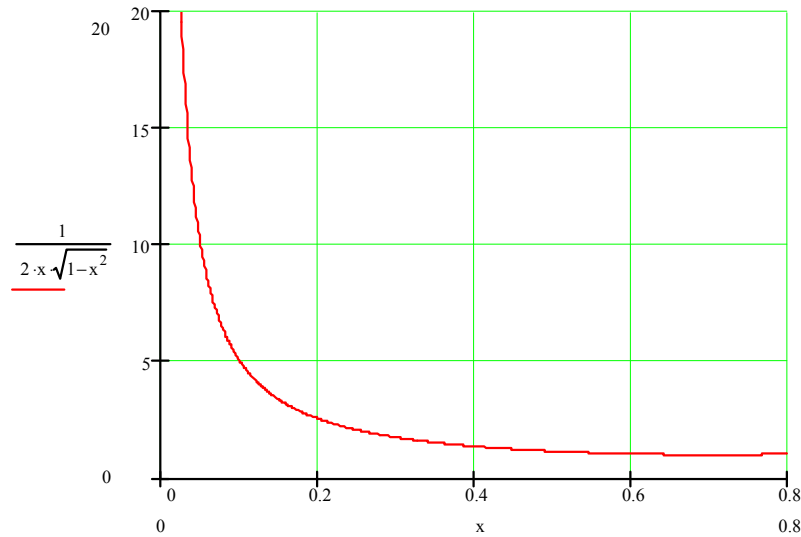


**Fig.1.6.3. Variația pulsației relative  $\omega_m/p$  pentru care amplitudinea este maximă cu factorul de amortizare ( $x \equiv \zeta$ )**

Înlocuind valoarea obținută pentru  $\omega_m$  în expresia amplitudinii (1.6.5) se obține raportul dintre amplitudinea maximă a vibrațiilor forțate datorate forței centrifuge de inerție și  $r$  în funcție de factorul de amortizare  $\zeta$ :

$$\frac{A_m}{r} = \frac{p^2}{2n\sqrt{p^2 - n^2}} = \frac{1}{2\zeta\sqrt{1 - \zeta^2}} \quad (1.6.10)$$

Reprezentarea grafică a raportului dintre amplitudinea maximă și  $r$  a vibrațiilor pentru  $r=1$  este dată în figura 1.6.4



**Fig.1.6.4. Variația raportului  $A_m/r$  cu factorul de amortizare  $\zeta$  ( $x \equiv \zeta$ )**

### 1.7. Vibrații forțate parametrice cu amortizare vâscoasă (cu excitație cinematică armonică)

Se consideră sistemul mecanic din figura 1.7.1, format dintr-un corp de masă  $m$  legat prin intermediul unui arc de constantă  $k$  și un amortizor hidraulic (forța de amortizare vâscoasă fiind proporțională cu viteza  $\bar{R} = -c\bar{v}$ ). Capătul celălalt al amortizorului este legat la bază, iar al arcului este legat de un piston având o lege de mișcare armonică de forma:  $y = r \cos \omega t$ . Se va determina amplitudinea vibrațiilor staționare și modul de variație al acestora cu pulsația elementului perturbator și cu factorul de amortizare.

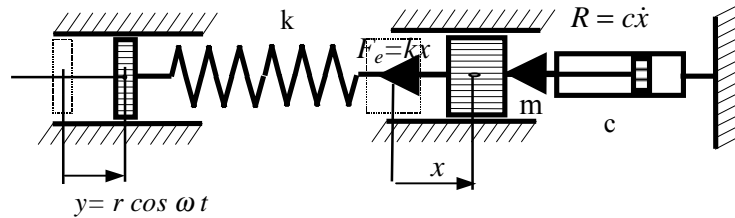


Fig.1.7.1

Ecuția fundamentală a dinamicii pentru acest caz se scrie:

$$m\ddot{x} = -k(x - y) - c\dot{x} \quad (1.7.1)$$

dacă se fac notațiile:  $\frac{k}{m} = p^2, \frac{c}{m} = 2n$ , ecuația diferențială (1.7.1) se mai

$$\text{scrie sub forma: } \ddot{x} + 2n\dot{x} + p^2x = p^2r \cos \omega t \quad (1.7.2)$$

Soluția staționară a acestei ecuații se scrie:

$$x = \frac{rp^2}{\sqrt{(p^2 - \omega^2)^2 + 4n^2\omega^2}} \cos(\omega t - \theta); \quad \operatorname{tg} \theta = \frac{2n\omega}{p^2 - \omega^2} \quad (1.7.3)$$

Amplitudinea vibrațiilor forțate este funcție de valoarea pulsației sistemului având o mișcare armonică:

$$A(\omega) = \frac{rp^2}{\sqrt{(p^2 - \omega^2)^2 + 4\alpha^2\omega^2}} \quad (1.7.4)$$

Variația raportului dintre amplitudinea  $A$  și  $r$  în funcție de pulsația relativă

$\eta = \frac{\omega}{p}$  și de factorul de amortizare  $\zeta = \frac{n}{p} = \frac{c}{c_{cr}}$  este dată de legea:

$$\xi = \frac{A(\eta)}{r} = \frac{1}{\sqrt{(1 - \eta^2)^2 + 4\zeta^2\eta^2}} \quad (1.7.5)$$

Reprezentarea grafică a variației factorului de amplificare (raportul dintre amplitudinea  $A$  și  $r$ ) cu pulsația relativă pentru patru valori ale factorului de amortizare  $\zeta=0.1; 0.300; 0.500$  și  $\zeta=0.707$  este dată în figura 1.7.2.

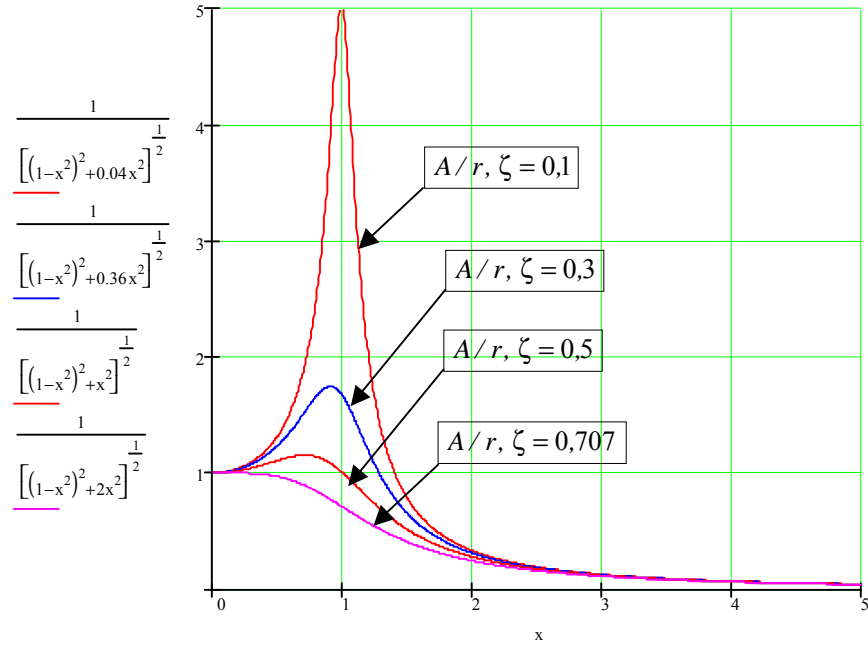


Fig.1.7.2. Variația amplitudinii cu pulsația relativă pentru patru valori ale factorului de amortizare ( $x \equiv \eta$ )

Valoarea maximă a amplitudinii se obține prin anularea derivatei :

$$A'(\omega) = -\frac{2rp^2\omega(\omega^2 - p^2 + 2n^2)}{\left(\sqrt{(p^2 - \omega^2)^2 + 4n^2\omega^2}\right)^3} = 0 \quad (1.7.6)$$

Rezultă valoarea pulsației pentru amplitudinea maximă:

$$\omega_m = \sqrt{p^2 - 2n^2} \quad (1.7.7)$$

Expresia (1.7.7) are sens numai dacă:

$$\zeta = \frac{n}{p} \leq \frac{1}{\sqrt{2}} \cong 0.707. \quad (1.7.8)$$

Valoarea maximă a amplitudinii se obține înlocuind (1.7.7) în (1.7.5):

$$\frac{A_m}{r} = \frac{p^2}{2n\sqrt{p^2 - n^2}} = \frac{1}{2\zeta\sqrt{1 - \zeta^2}}; \quad \zeta = \frac{n}{p} \quad (1.7.9)$$

Reprezentarea grafică a raportului dintre amplitudinea maximă și  $r$  în funcție de valorile factorului de amortizare  $\zeta$  (pentru  $r=1 \text{ mm}$ ) este dată în figura 1.7.3.



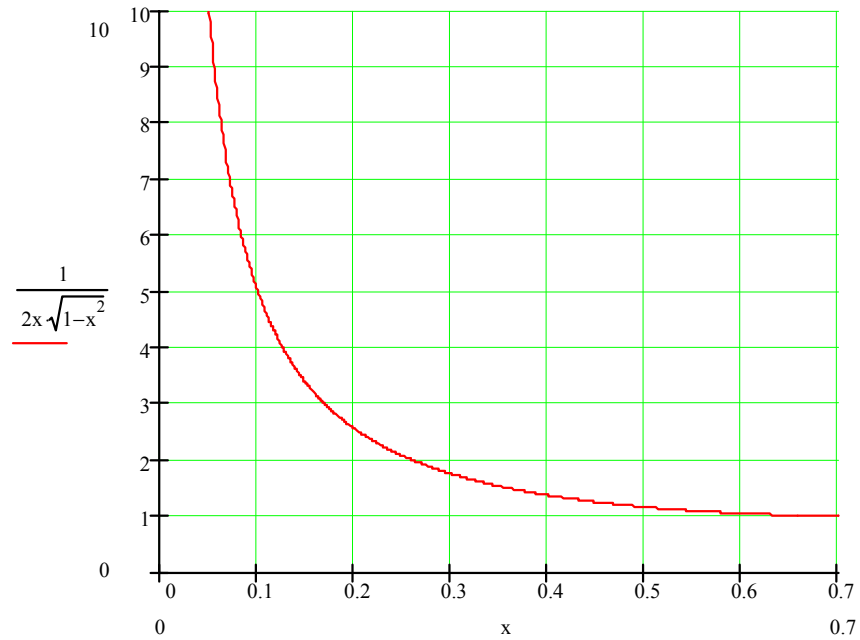


Fig.1.7.3. Variația raportului dintre amplitudinea maximă și  $r$  cu factorul de amortizare  $\zeta$  ( $x \equiv \zeta$ )

## 1.8. Vibrații forțate cu amortizare histeretică sub acțiunea unor forțe armonice

Unele materiale și structuri cu amortizare la îmbinări au proprietatea că energia disipată în timpul unui ciclu este independentă de frecvența vibrațiilor. Pentru a descrie acest mod de comportare se definește coeficientul de amortizare histeretică  $h = c\omega$  constant, deci forța de frecare din amortizor este direct

proporțională cu viteza și invers proporțională cu pulsația:  $R = \frac{h}{\omega} \dot{x}$ ,  $c = h/\omega$ .

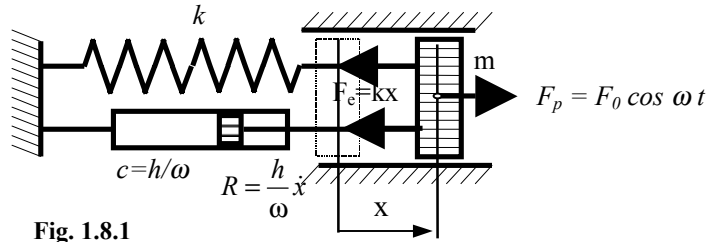


Fig. 1.8.1

Ecuția fundamentală a dinamicii se scrie:

$$m\ddot{x} = -kx - \frac{h}{\omega} \dot{x} + F_0 \cos \omega t \quad (1.8.1)$$

Ecuția complexă a unei mișcări cu amortizare histeretică se scrie:

$$\ddot{z} + \frac{h}{m\omega} \dot{z} + \frac{k}{m} z = \frac{F_0}{m} e^{i\omega t}; \quad z = x + iy \quad (1.8.2)$$

unde  $x$  și  $y$  reprezintă soluțiile ecuațiilor diferențiale conjugate:

$$\begin{aligned} \ddot{x} + \frac{h}{m\omega} \dot{x} + \frac{k}{m} x &= \frac{F_0}{m} \cos \omega t \\ \ddot{y} + \frac{h}{m\omega} \dot{y} + \frac{k}{m} y &= \frac{F_0}{m} \sin \omega t \end{aligned} \quad (1.8.3)$$

Soluția staționară a ecuației (1.8.2) și derivatele ei sunt de forma:

$$\begin{aligned} z_{st} &= A e^{i(\omega t - \phi)} \Rightarrow z_{st} = \tilde{A} e^{i\omega t} \\ \dot{z}_{st} &= i\omega \tilde{A} e^{i\omega t}; \quad \ddot{z}_{st} = -\omega^2 \tilde{A} e^{i\omega t} \end{aligned} \quad (1.8.4)$$

Introducând (1.8.4) în ecuația (1.8.2) se obține:

$$\begin{aligned} -\omega^2 \tilde{A} e^{i\omega t} + i \frac{h}{m\omega} \omega \tilde{A} e^{i\omega t} + p^2 \tilde{A} e^{i\omega t} &= \frac{F_0}{m} e^{i\omega t} \\ \Rightarrow \tilde{A} \left( p^2 - \omega^2 + i \frac{h}{m} \right) &= q; \quad q = \frac{F_0}{m} \end{aligned} \quad (1.8.5)$$

Se obține amplitudinea complexă a mișcării staționare:

$$\tilde{A} = \frac{q}{(p^2 - \omega^2) + i \frac{h}{m}} \quad (1.8.6)$$

și soluția staționară complexă:

$$z_{st} = \tilde{A} e^{i\omega t} = \frac{q}{(p^2 - \omega^2) + i \frac{h}{m}} e^{i\omega t} \quad (1.8.7)$$

Soluția staționară reală se scrie:

$$x = \frac{q}{(p^2 - \omega^2)^2 + \left(\frac{h}{m}\right)^2} \left[ (p^2 - \omega^2) \cos \omega t + \frac{h}{m} \sin \omega t \right]$$

sau :  $x = A \cdot \cos(\omega t - \theta) ;$  (1.8.8)

$$\text{unde : } \operatorname{tg} \theta = \frac{h}{m(p^2 - \omega^2)}$$

Amplitudinea reală a mișcării staționare este:

$$A = \frac{q}{\sqrt{(p^2 - \omega^2)^2 + \left(\frac{h}{m}\right)^2}} \quad (1.8.9)$$

Amplitudinea se scrie în funcție de  $A_0$  (deformația statică a arcului cu o forță egală cu amplitudinea forței perturbatoare) și de factorul de amplificare  $\xi$  :

$$A_0 = \frac{F_0}{k} = \frac{m}{\frac{k}{m}} = \frac{q}{p^2} \Rightarrow A = \frac{\frac{q}{p^2}}{\sqrt{\left(1 - \frac{\omega^2}{p^2}\right)^2 + \left(\frac{h}{k}\right)^2}} = A_0 \cdot \xi \quad (1.8.10)$$

Notând:  $\frac{h}{k} = g$  coeficientul de amortizare histeretică și  $\eta = \frac{\omega}{p}$ , expresia

factorului de amplificare se scrie sub forma:

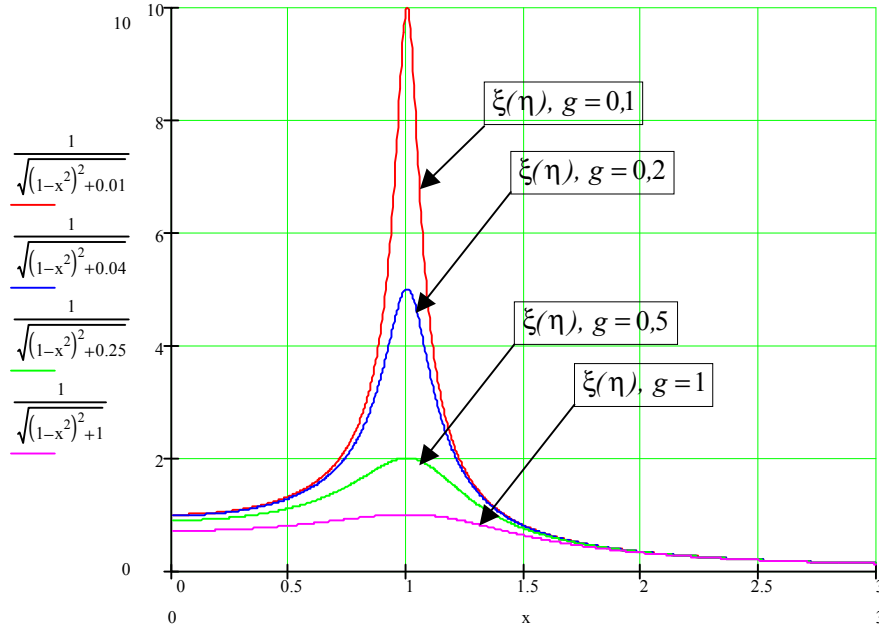
$$\xi(\eta) = \frac{A}{A_0} = \frac{1}{\sqrt{(1 - \eta^2)^2 + g^2}} \quad (1.8.11)$$

Reprezentând grafic variația factorului de amplificare pentru patru valori ale coeficientului de amortizare histeretică ( $g = 0,1; 0,2; 0,5; 1$ ) se obțin curbele de răspuns în frecvențe din figura 1.8.2

Amplitudinea maximă se obține pentru valoarea de rezonanță  $\eta = 1$  indiferent de valoarea coeficientului amortizării histeretice  $g$ .

Anulând derivata expresiei (1.8.11) se obține:

$$\xi'(\eta) = \left( \frac{1}{\sqrt{(1 - \eta^2)^2 + g^2}} \right)' = \frac{4\eta(1 - \eta^2)}{\left( \sqrt{(1 - \eta^2)^2 + g^2} \right)^3} = 0 \quad (1.8.12)$$

cu soluția acceptabilă:  $\eta = 1 \Leftrightarrow \omega_m = p$  (1.8.13)

 Fig.1.8.2. Variația factorului de amplificare cu pulsația relativă  $\eta$  pentru diferite valori ale coeficientului de amortizare histeretică ( $x \equiv \eta$ )

 Înlocuind în expresia amplitudinii (1.8.10) valoarea pulsației  $\omega_m = p$  se obține valoarea factorului de amplificare maxim:

$$\xi_m = 1/g \quad (1.8.14)$$

 Deci inversul coeficientului de amortizare histeretică  $\left(\frac{h}{k}\right)^{-1} = \frac{1}{g}$  reprezintă valoarea maximă a factorului de amplificare  $\xi_m$ .

## 1.9. Vibrații forțate cu amortizare histeretică sub acțiunea unor forțe de inerție rotitoare

Se consideră un motor electric montat pe o placă ce este legată de fundație prin intermediul a două arcuri de constantă  $k/2$  și un amortizor cu amortizare histeretică având rotorul de masă  $m_0$  deaxat cu excentricitatea  $e$  (fig. 1.9.1) care se rotește cu viteza unghiulară constantă  $\omega = 2\pi n$ . Masa totală a sistemului (motor și placă de fixare) este  $m = m_1 + m_0$ . Se va studia variația amplitudinii vibrațiilor forțate în funcție de  $\omega$  și de coeficientul de amortizare histeretică  $g$ .

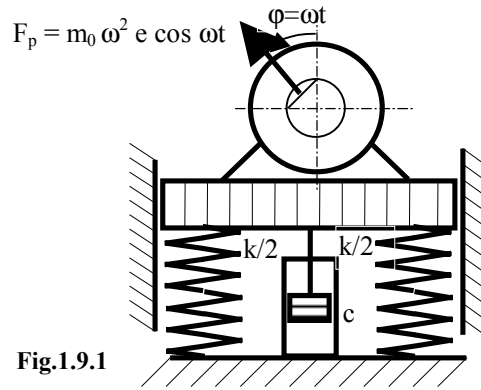


Fig.1.9.1

Forța centrifugă ce acționează asupra sistemului este:

$$F_p = m_0 \omega^2 e \cos \omega t \quad (1.9.1)$$

Ecuția fundamentală a dinamicii în acest caz se scrie:

$$m\ddot{x} = -kx - \frac{h}{\omega} \dot{x} + m_0 \omega^2 e \cos \omega t \quad (1.9.2)$$

Dacă se fac notațiile:  $\frac{k}{m} = p^2$ ,  $\frac{m_0}{m} e = r$ , ecuația diferențială (1.9.2) se scrie sub forma:

$$\ddot{x} + \frac{h}{\omega} \dot{x} + p^2 x = r \omega^2 \cos \omega t \quad (1.9.3)$$

Soluția staționară a acestei ecuații se scrie:

$$x = \frac{r \omega^2}{\sqrt{(p^2 - \omega^2)^2 + \left(\frac{h}{m}\right)^2}} \cos(\omega t - \theta); \quad \operatorname{tg} \theta = \frac{\frac{h}{m}}{p^2 - \omega^2} \quad (1.9.4)$$

Amplitudinea vibrațiilor forțate este funcție de valoarea pulsației forței perturbatoare de forma:

$$A(\omega) = \frac{r\omega^2}{\sqrt{(p^2 - \omega^2)^2 + \left(\frac{h}{m}\right)^2}} \quad (1.9.5)$$

Variația amplitudinii și factorului de amplificare  $\xi$  în funcție de pulsația relativă  $\eta = \frac{\omega}{p}$  și de coeficientul de amortizare histeretică  $g = \frac{h}{k}$  este de forma:

$$A(\eta) = \frac{r\eta^2}{\sqrt{(1-\eta^2)^2 + g^2}}; \quad \xi = \frac{A}{r} = \frac{\eta^2}{\sqrt{(1-\eta^2)^2 + g^2}} \quad (1.9.6)$$

Reprezentând grafic factorul de amplificare  $\xi$  pentru patru valori ale coeficientului de amortizare histeretică ( $g = 0,1; 0,2; 0,5; 1$ ) se obțin curbele de răspuns în frecvențe din figura 1.9.2.

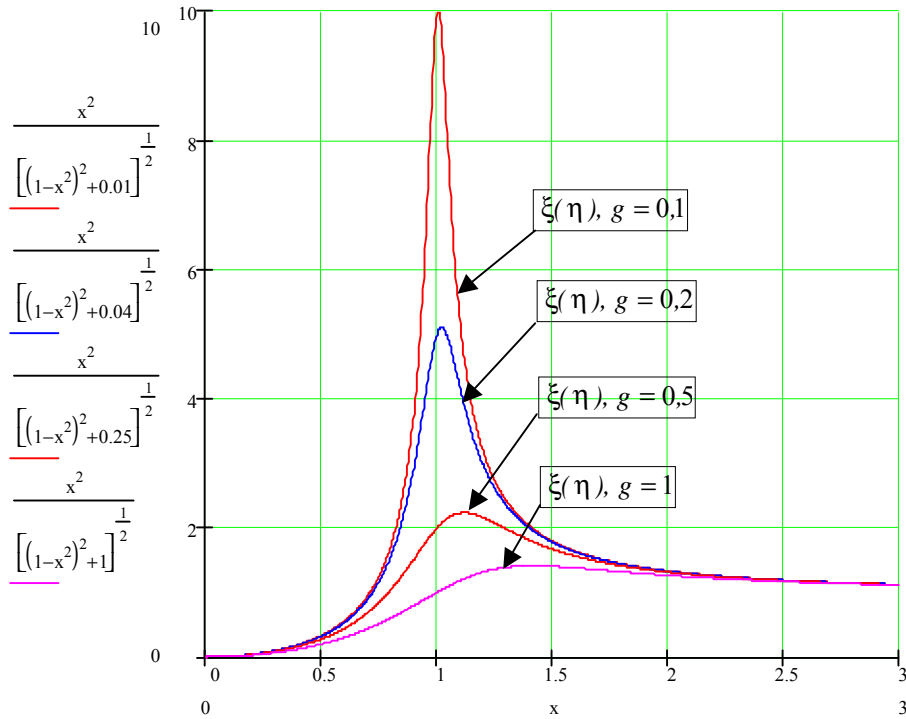


Fig. 1.9.2. Variația factorului de amplificare cu pulsația relativă pentru diferite valori ale coeficientului de amortizare histeretică ( $x \equiv \eta$ )

## 1.10. Vibrații forțate cu amortizare uscată

În cazul vibrațiilor forțate cu amortizare uscată energia se disipează sub formă de lucru mecanic al forțelor de frecare, care se transformă în final în altă formă de energie (căldură, deformații plastice ale microasperităților, etc). La momentul inițial corpul este scos din poziția de echilibru la distanța  $x_0$  și lăsat liber.

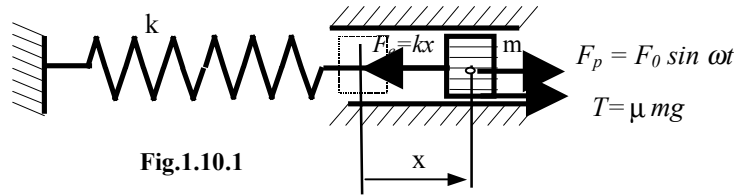


Fig.1.10.1

Pentru prima fază a mișcării  $t \in \left(0, \frac{\pi}{p}\right)$  corpul se deplasează spre poziția de echilibru și ecuația diferențială a mișcării se scrie:

$$m\ddot{x} + kx = \mu g + F_0 \sin \omega t \quad (1.10.1)$$

Se notează:  $\frac{k}{m} = p^2$  – pătratul pulsației proprii. (1.10.2)

Soluția ecuației diferențiale (1.10.2) este formată din suma dintre soluția ecuației diferențiale omogene și soluția staționară:

$$\begin{aligned} x &= A \cos pt + B \sin pt + \frac{\mu mg}{k} + \frac{mq}{k} \sin \omega t \\ \dot{x} &= -Ap \cos pt + Bp \sin pt + \frac{mq}{k} \omega \cos \omega t \end{aligned} \quad (1.10.3)$$

Introducând condițiile inițiale

$$t = 0 \Rightarrow x = x_0, \quad \dot{x} = 0 \quad (1.10.4)$$

se obține:

$$\begin{cases} x_0 = A + \frac{\mu mg}{k} \Rightarrow A = x_0 - \frac{\mu mg}{k} \\ 0 = Bp + \frac{F_0}{k} \omega \Rightarrow B = -\frac{q}{p^2} \frac{\omega}{p} \end{cases} \quad (1.10.5)$$

Dacă se notează  $a = \frac{\mu mg}{k}$  soluția pentru subintervalul:  $t \in (0, \pi/p)$  este:

$$\begin{aligned}
 x &= (x_0 - a) \cos pt + a - \frac{q}{p^2} \frac{\omega}{p} \sin pt + \frac{mq}{k} \sin \omega t \\
 \dot{x} &= -(x_0 - a)p \sin pt - \frac{q}{p^2} \omega \cos pt + \frac{mq}{k} \omega \cos \omega t
 \end{aligned}
 \tag{1.10.6}$$

Ecuația (1.10.6) arată faptul că mișcarea rezultantă se obține prin însumarea următoarelor trei mișcări:

- vibrația proprie (de pulsație  $p$ ) datorată condițiilor inițiale, a cărei amplitudine scade cu  $2a$  după fiecare semiperioadă  $\left(\frac{T}{2} = \frac{\pi}{p}\right)$ ;
- vibrația proprie (de pulsație  $p$ ) datorată forței perturbatoare a cărei amplitudine depinde de pulsația forței perturbatoare;
- vibrația staționară având pulsația forței perturbatoare  $\omega$ .

Într-o primă fază a mișcării există vibrația proprie și vibrația întreținută. Această fază a mișcării se numește *regim tranzitoriu*. În a doua fază a mișcării, vibrația proprie se amortizează și vibrația sistemului se obține prin suprapunerea a două mișcări armonice de pulsație  $p$  și  $\omega$ . Această fază se numește *regim permanent sau staționar* și este caracterizată de ecuația:

$$\begin{aligned}
 x &= \frac{q}{p^2} \left( \sin \omega t - \frac{\omega}{p} \sin pt \right) \\
 \dot{x} &= \frac{q\omega}{p^2} (\cos \omega t - \cos pt) = -\frac{2q\omega}{p^2} \sin\left(\frac{p+\omega}{2}t\right) \cdot \sin\left(\frac{p-\omega}{2}t\right)
 \end{aligned}
 \tag{1.10.7}$$

Se obține o mișcare având viteza modulată în amplitudine cu o funcție armonică de pulsație  $(p - \omega)/2$ .

Se consideră următoarele valori ale parametrilor:

$$m = 0,1 \text{ kg}; \quad k = 1000 \text{ N/m}; \quad x_0 = 10 \text{ mm}; \quad F_0 = 100 \text{ N}; \quad \omega = 40 \text{ rad/s}$$

Rezultă  $p = 100 \text{ rad/s}$ ;  $q = 1000 \text{ N/kg}$  obținându-se o mișcare nearmonică periodică având legea:

$$\begin{cases} x = 0,1(\sin 40t - 0,4 \sin 100t) \\ \dot{x} = -2 \sin(70t) \cdot \sin(30t) \end{cases}
 \tag{1.10.8}$$

Reprezentările funcțiilor deplasare și viteză pentru acest caz particular sunt date în figura 1.10.2 și 1.10.3. Mișcarea periodică are perioada  $T \cong 0,32 \text{ s}$  și

pulsația  $\Omega = \frac{2\pi}{0,32}$  așa cum rezultă din figurile 1.10.2 și 1.10.3:



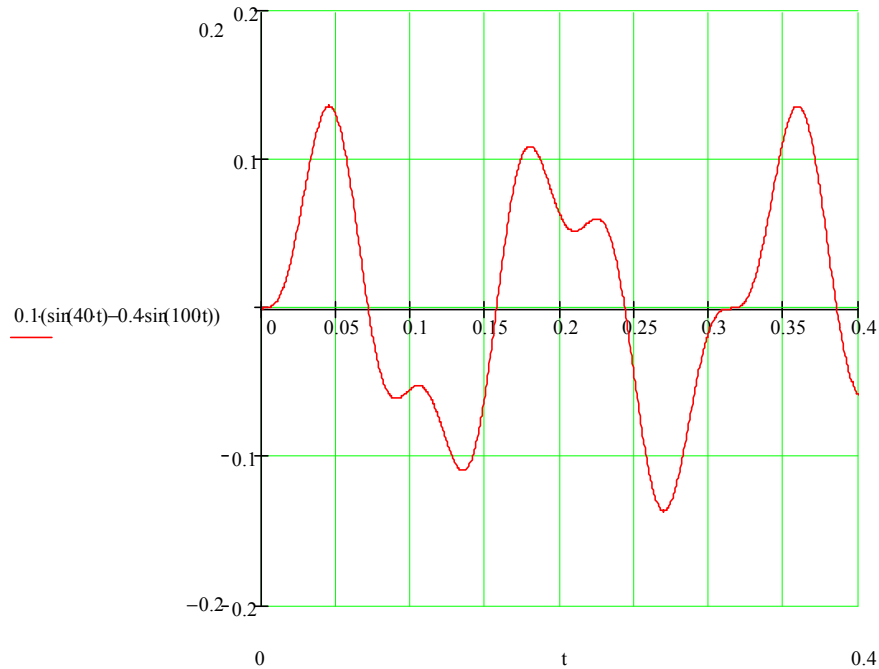


Fig. 1.10.2. Variația deplasării pentru vibrațiile forțate cu amortizare uscată

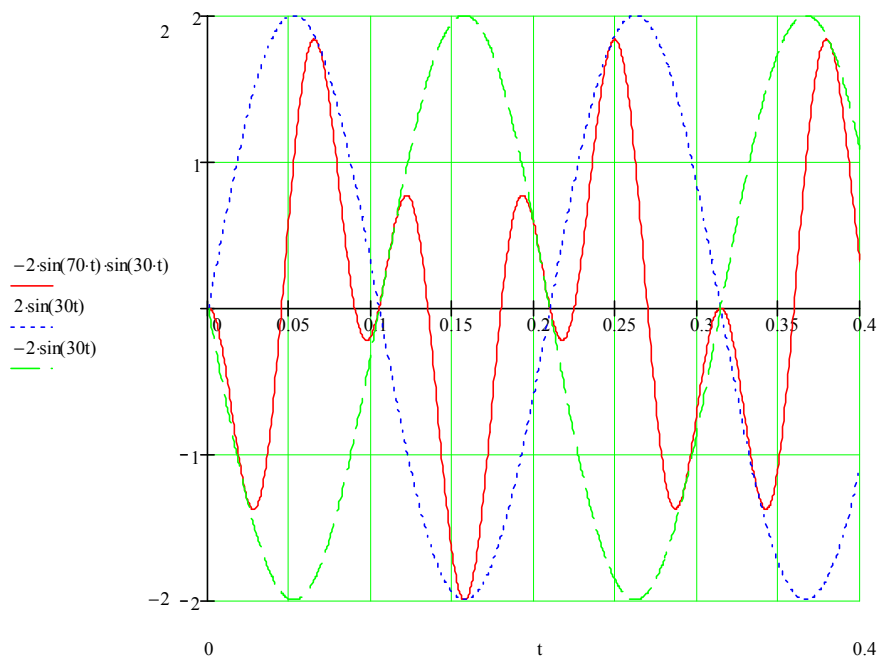


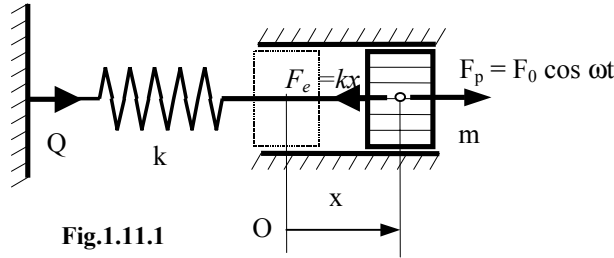
Fig. 1.10.3. Variația vitezei pentru vibrațiile forțate cu amortizare uscată

## 1.11. Transmisibilitatea vibrațiilor

Vibrațiile unei mașini care conține o sursă de vibrații se transmit prin fundații la celelalte mașini, echipamente sau utilaje aflate pe același amplasament. Pentru a se asigura o protecție adecvată este necesară *izolarea antivibratorie activă* (de la sursa de vibrații spre fundație) sau o *izolare antivibratorie pasivă* (de la fundație la mașinile și aparatele ce trebuiesc izolate împotriva vibrațiilor). Factorul de transmitere sau transmisibilitatea masară mărimea acestor parametrii caracteristici păturilor izolatoare (forța transmisă și /sau amplitudinea vibrațiilor transmise).

### 1.11.1. Transmisibilitatea vibrațiilor în cazul utilizării elementelor elastice pentru izolarea activă

Se consideră o sursă de vibrații forțate  $F = F_0 \cos \omega t$  care acționează asupra fundației prin intermediul arcului cu forța  $Q$  (fig. 1.11.1).



Expresia forței transmise  $Q(\omega)$  pentru vibrații forțate în regim staționar este:

$$Q(\omega) = kx = \frac{kq}{p^2 - \omega^2} \cos(\omega t - \varphi) \quad (1.11.1)$$

Deci legea de variație a forței transmise este armonică de amplitudine:

$$Q_0 = \left| \frac{k \frac{F_0}{m}}{p^2 - \omega^2} \right| = \left| \frac{p^2}{p^2 - \omega^2} \right| \cdot F_0 \quad (1.11.2)$$

Se definește *factorul de transmitere T (transmisibilitatea)* ca raportul dintre amplitudinea forței transmise  $Q_0$  și amplitudinea forței perturbatoare  $F_0$ :

$$T = \frac{Q_0}{F_0} = \frac{p^2}{|p^2 - \omega^2|} = \frac{1}{\left| 1 - \left( \frac{\omega}{p} \right)^2 \right|} = \frac{1}{|1 - \eta^2|} \quad (1.11.3)$$

Diagrama de variație a funcției  $T(\eta)$ ,  $\eta = \omega / p$  este prezentată în figura 1.11.2

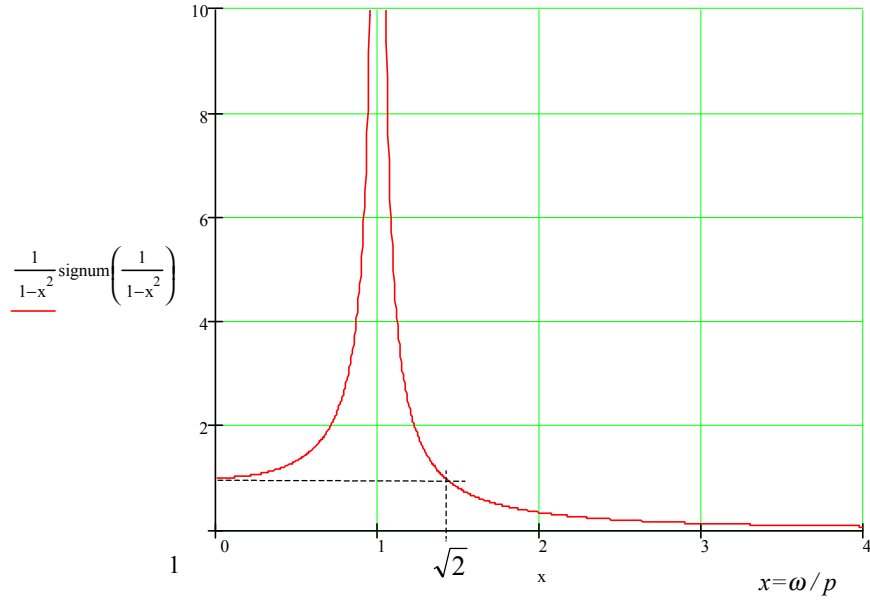


Fig. 1.11.2. Variația transmisibilității pentru izolarea activă cu element elastic

Condiția ca amplitudinea forței transmise  $Q_0$  să fie mai mică sau cel mult egală cu amplitudinea forței perturbatoare este:

$$T \leq 1 \quad (1.11.4)$$

$$\text{Din relația (1.11.3) rezultă: } p^2 \leq |p^2 - \omega^2| \quad (1.11.5)$$

Cele două cazuri sunt:

- $\omega < p \Rightarrow p^2 \leq p^2 - \omega^2 \Rightarrow -\omega^2 \geq 0$  imposibil;
- $\omega > p \Rightarrow p^2 \leq \omega^2 - p^2 \Rightarrow \omega^2 \geq 2p^2 \Rightarrow \omega \geq p\sqrt{2}$  (1.11.6)

Dacă se impune un anumit factor de transmitere  $T$  se poate determina pulsația forței perturbatoare sau raportul  $\eta = \omega/p$ :

$$T = \frac{1}{|1 - \eta^2|} \leq T_0 \Leftrightarrow \begin{cases} \eta \leq \sqrt{1 - 1/T_0} \\ \eta \geq \sqrt{1 + 1/T_0} \end{cases} \quad (1.11.7)$$

De exemplu pentru:  $T_0 = 0,5$  și  $T_1 = 2,5$  se obțin rezultatele:

$$\begin{aligned} T_0 = 0,5 &\Rightarrow \begin{cases} \eta \leq \sqrt{1 - 1/0,5} \text{ imposibil} \\ \eta \geq \sqrt{1 + 1/0,5} \Rightarrow \eta \geq 1,73 \end{cases} \\ T_1 = 2,5 &\Rightarrow \begin{cases} \eta \leq \sqrt{1 - 1/2,5} \Rightarrow \eta \leq 0,774 \\ \eta \geq \sqrt{1 + 1/2,5} \Rightarrow \eta \geq 1,183 \end{cases} \end{aligned} \quad (1.11.8)$$

### 1.11.2. Transmisibilitatea vibrațiilor în cazul izolării pasive și utilizării elementelor elastice.

Se consideră că baza (fundăția) are o mișcare armonică pe direcție verticală. În acest caz transmisibilitatea se definește ca raportul amplitudinilor celor două mișcări: a corpului supus acțiunii mișcării bazei ( $A_0$ ) și a bazei ( $u_0$ ). Folosind diferite elemente elastice și de amortizare se obține o izolare antivibratorie pasivă.

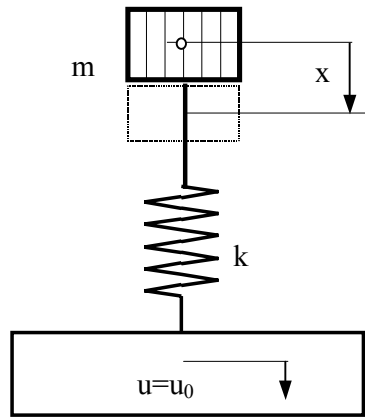


Fig.1.11.3

Se consideră vibrațiile fundației (bazei) care se transmit asupra corpului de masă  $m$  prin intermediul unui arc având constanta elastică  $k$  (fig. 1.11.3).

Ecuatia fundamentală a dinamicii în acest caz se scrie:

$$m\ddot{x} + k(x - u) = 0$$

$$m\ddot{x} + kx = ku_0 \cos \omega t \quad (1.11.10)$$

Soluția staționară a acestei ecuații este de forma:

$$x = A_0 \cos \omega t \quad (1.11.11)$$

care înlocuită în relația (1.11.12) rezultă amplitudinea:

$$A_0 = u_0 \frac{p^2}{p^2 - \omega^2} \quad (1.11.13)$$

Se definește *factorul de transmitere*  $T$  ca raportul dintre amplitudinea mișcării corpului și amplitudinea mișcării bazei:

$$T = \frac{A_0}{u_0} = \frac{p^2}{p^2 - \omega^2} = \frac{1}{1 - \eta^2}; \quad \eta = \frac{\omega}{p} \quad (1.11.14)$$

Se observă că *factorul de transmitere*  $T$  are aceeași expresie ca și în cazul izolării antivibratorii active, dar în acest caz exprimă raportul dintre amplitudinea vibrațiilor corpului și amplitudinii mișcării bazei.

## 1.12. Izolarea antivibratorie activă

Prin *izolare antivibratorie activă* se înțelege izolarea care se face de la sursa de vibrații spre fundație pentru diferite variante de pături izolatoare folosite.

### 1.12.1. Izolarea antivibratorie activă în cazul utilizării modelului vâsco-elastic Voigt-Kelvin

În cazul vibrațiilor cu amortizare vâscoasă forța transmisă fundației conform figurii 1.12.1 este :

$$Q = kx + c\dot{x} \quad (1.12.1)$$

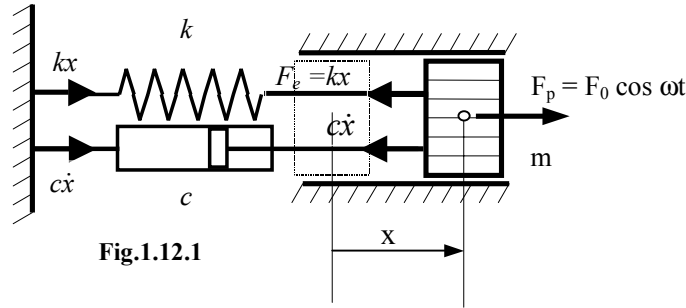


Fig.1.12.1

Deplasarea  $x$  și viteza  $\dot{x}$  pentru cazul  $\alpha < p$  se scriu:

$$x = \frac{q}{\sqrt{(p^2 - \omega^2)^2 + 4n^2\omega^2}} \cos(\omega t - \theta) \quad (1.12.2)$$

$$\dot{x} = -\frac{q\omega}{\sqrt{(p^2 - \omega^2)^2 + 4n^2\omega^2}} \sin(\omega t - \theta)$$

și relația (1.12.1) se scrie:

$$Q = \frac{q}{\sqrt{(p^2 - \omega^2)^2 + 4n^2\omega^2}} [k \cos(\omega t - \theta) - c\omega \sin(\omega t - \theta)] \quad (1.12.3)$$

Amplitudinea forței transmise la fundație este:

$$Q_0 = q \frac{\sqrt{k^2 + c^2\omega^2}}{\sqrt{(p^2 - \omega^2)^2 + 4n^2\omega^2}} = \frac{F_0}{m} \frac{\sqrt{k^2 + c^2\omega^2}}{\sqrt{(p^2 - \omega^2)^2 + 4n^2\omega^2}} \quad (1.12.4)$$

sau

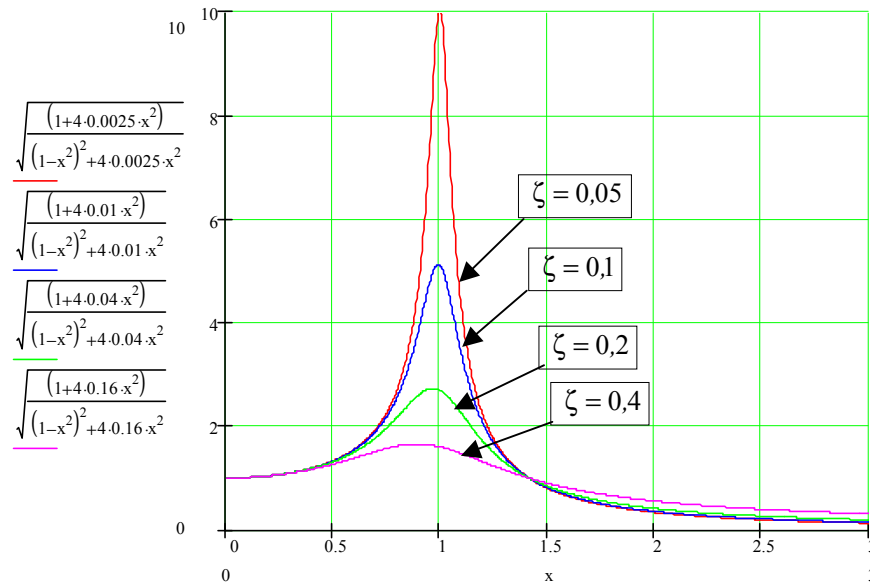
$$Q_0 = \frac{\sqrt{p^2 + 4n^2\omega^2}}{\sqrt{(p^2 - \omega^2)^2 + 4n^2\omega^2}} F_0 \quad (1.12.5)$$

Factorul de transmitere se scrie în acest caz:

$$T = \frac{Q_0}{F_0} = \frac{\sqrt{p^2 + 4n^2\omega^2}}{\sqrt{(p^2 - \omega^2)^2 + 4n^2\omega^2}} \quad (1.12.6)$$

$$\text{sau: } T = \sqrt{\frac{1+4\zeta^2\eta^2}{(1-\eta^2)^2+4\zeta^2\eta^2}}; \text{ unde: } \eta = \frac{\omega}{p}; \quad \zeta = \frac{n}{p} = \frac{c}{c_{cr}} \quad (1.12.7)$$

Se observă că dacă  $\eta=1 \Rightarrow T = \frac{\sqrt{1+4\zeta^2}}{2\zeta}$ , factorul de transmitere are valori finite. Reprezentând grafic funcția  $T=T(\eta)$  pentru patru valori ale factorului de amortizare:  $\zeta=0,05$ ;  $\zeta=0,1$ ;  $\zeta=0,2$ ;  $\zeta=0,4$  (fig. 1.12.2).



**Fig.1.12.2. Variația factorului de transmitere cu pulsația relativă  $\eta$  pentru diferite valori ale factorului de amortizare  $\zeta$  ( $\eta=x$ )**

Din figura 1.12.2 se observă că toate curbele trec printr-un punct fix de coordonate  $(\eta = \sqrt{2}, T = 1)$ . Într-adevăr, înlocuind  $\eta = \sqrt{2}$  în relația (1.12.7)

$$\text{rezultă } T = \frac{\sqrt{1+8\zeta^2}}{\sqrt{1+8\zeta^2}} = 1, \text{ deci este independent de factorul de amortizare.}$$

Valoarea maximă a factorului de transmitere se obține prin anularea derivatei expresiei (1.12.7):

$$(T^2)' = \left( \frac{1+4\zeta^2\eta^2}{(1-\eta^2)^2+4\zeta^2\eta^2} \right)' = -\frac{4\eta(2\zeta^2\eta^4+\eta^2-1)}{[(1-\eta^2)^2+4\zeta^2\eta^2]^2} = 0 \quad (1.12.8)$$

Rezultă în afară de valoarea  $\eta=0$  (care nu interesează) soluția reală:

$$\eta_m = \sqrt{\frac{\sqrt{1+8\zeta^2} - 1}{4\zeta^2}} \quad (1.12.9)$$

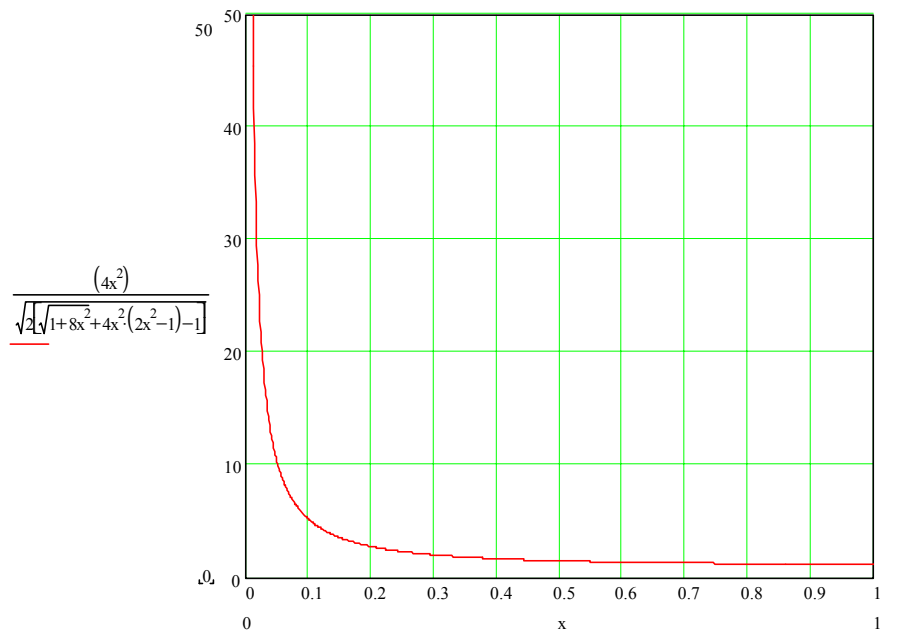
Înlocuind valoarea dată de (1.12.9) în expresia factorului de transmitere se obține valoarea maximă:

$$T_m = \frac{4\zeta^2}{\sqrt{2\left(\sqrt{1+8\zeta^2} + 4\zeta^2(2\zeta^2 - 1) - 1\right)}} \quad (1.12.10)$$

Folosind relațiile (1.12.9) și (1.12.10) în două cazuri particulare se obțin următoarele valori care sunt în concordanță cu valorile maxime din figura 1.12.2:

- pentru:  $\zeta=0,05 \Rightarrow x_m = 0.977$  și  $T_m = 10.062$  (1.12.11)
- pentru:  $\zeta=0,4 \Rightarrow x_m = 0.892$  și  $T_m = 2.34$

Variația factorului de transmitere maxim cu coeficientul de amortizare  $\zeta$  este dată în figura 1.12.3.



**Fig.1.12.3. Variația factorului de transmitere maxim  $T_m$  cu coeficientul de amortizare  $\zeta$**

Din analiza diagramelor din figura 1.12.2 și 1.12.3 se pot trage următoarele concluzii:

- izolarea vibrațiilor este cu atât mai eficientă la creșterea pulsația forței perturbatoare  $\omega$  cu cât scade factorul de amortizare  $\zeta$ ;
- un factor de amortizare mai mare este necesar pentru obținerea unui timp redus de amortizare a vibrațiilor proprii deoarece în regimul tranzitoriu pulsația

- forței perturbatoare ( $\omega$ ) crește de la zero trecând prin valoarea de rezonanță ( $p$ ) până la atingerea valorii nominale;
- utilizarea izolatoarelor liniari este recomandată la vibrațiile cu pulsații perturbatoare mari. Pentru vibrațiile de frecvență joasă se recomandă izolatoare cu valoarea de rezonanță ( $p$ ) scăzută ( $k$  mic) care nu asigură stabilitatea sistemului.

### 1.12.2. Izolarea antivibratorie activă în cazul utilizării modelului histeretic Voigt-Kelvin

În cazul vibrațiilor cu amortizare histeretică forța transmisă fundației conform figurii 1.12.4 este :

$$Q = kx + c\dot{x} \quad (1.12.12)$$

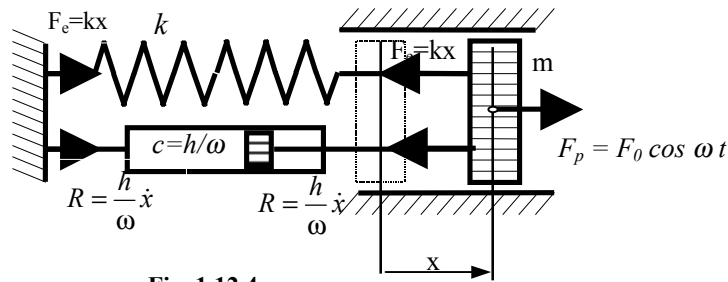


Fig. 1.12.4

Legea vibrațiilor staționare în acest caz se scrie:

$$\begin{aligned} x &= A \cos(\omega t - \theta) \\ \dot{x} &= -\omega A \sin(\omega t - \theta) \end{aligned} \quad (1.12.13)$$

$$\text{unde : } A = \frac{q}{\sqrt{(p^2 - \omega^2)^2 + \left(\frac{h}{m}\right)^2}}$$

și forța  $Q$  transmisă fundației (1.12.12) se scrie deci sub forma:

$$Q = A[k \cos(\omega t - \theta) - c\omega \sin(\omega t - \theta)] \quad (1.12.14)$$

Amplitudinea forței transmise la fundație este:

$$Q_0 = q \frac{\sqrt{k^2 + h^2}}{\sqrt{(p^2 - \omega^2)^2 + \left(\frac{h}{m}\right)^2}} = \frac{F_0}{m} \frac{\sqrt{k^2 + h^2}}{\sqrt{(p^2 - \omega^2)^2 + \left(\frac{h}{m}\right)^2}} \quad (1.12.15)$$

Factorul de transmitere se scrie în acest caz:

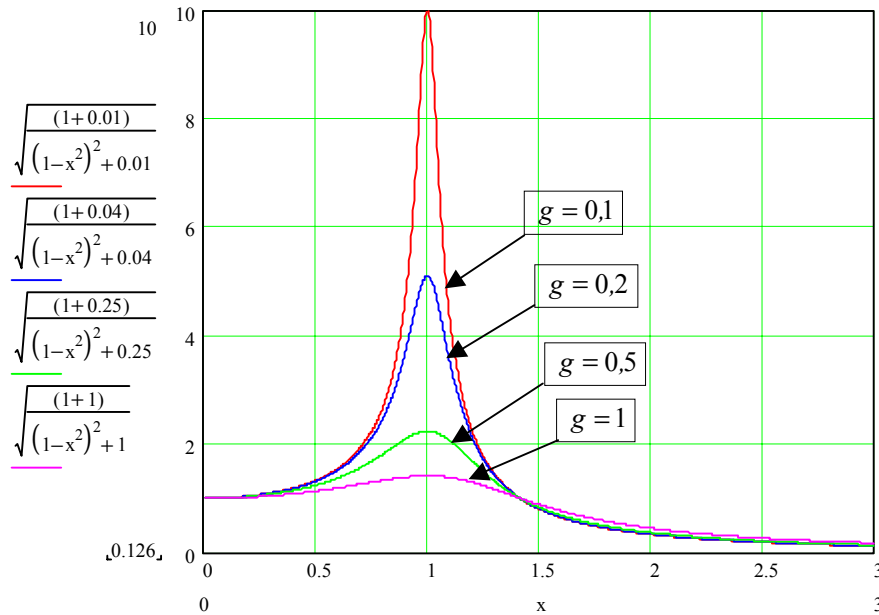


$$\eta = \frac{Q_0}{F_0} = \frac{\sqrt{p^4 + \left(\frac{h}{m}\right)^2}}{\sqrt{(p^2 - \omega^2)^2 + \left(\frac{h}{m}\right)^2}} \quad (1.12.16)$$

Utilizând coeficientul de amortizare histeretică  $\frac{h}{k} = g$  și notând  $\eta = \frac{\omega}{p}$ , pulsația relativă expresia factorului de transmitere se scrie în acest caz:

$$T(\eta) = \sqrt{\frac{1 + g^2}{(1 - \eta^2)^2 + g^2}} \quad (1.12.17)$$

Reprezentând grafic funcția factorul de transmitere pentru patru valori ale coeficientului de amortizare histeretică ( $g = 0,1; 0,2; 0,5; 1$ ) se obțin curbele de răspuns în frecvențe din figura 1.12.5.



**Fig.1.12.5. Variația factorului de transmitere  $T$  pentru diferite valori ale coeficientului de amortizare  $g$**

Din figura 1.12.5 se observă ca și în cazul precedent că toate curbele trec printr-un punct fix de coordonate  $(\eta = \sqrt{2}, T = 1)$ . Într-adevăr înlocuind  $\eta = \sqrt{2}$  în relația (1.12.17) rezultă  $T = 1$  care este independent de factorul de amortizare.

Valoarea maximă a factorului de transmitere se obține prin anularea derivatei expresiei (1.12.17):

$$(T^2)' = \left( \frac{1+g^2}{(1-\eta^2)^2 + g^2} \right)' = \frac{4\eta(1-\eta^2)(1+g^2)}{[(1-\eta^2)^2 + g^2]^2} = 0 \Rightarrow \eta_m = 1 \quad (1.12.18)$$

Se obține valoarea sa maximă:

$$T_m = \sqrt{1 + \frac{1}{g^2}} \quad (1.12.19)$$

Reprezentând grafic factorul de transmitere maxim funcție de coeficientul de amortizare histeretică se obțin curbele de răspuns în frecvențe din figura 1.12.6.

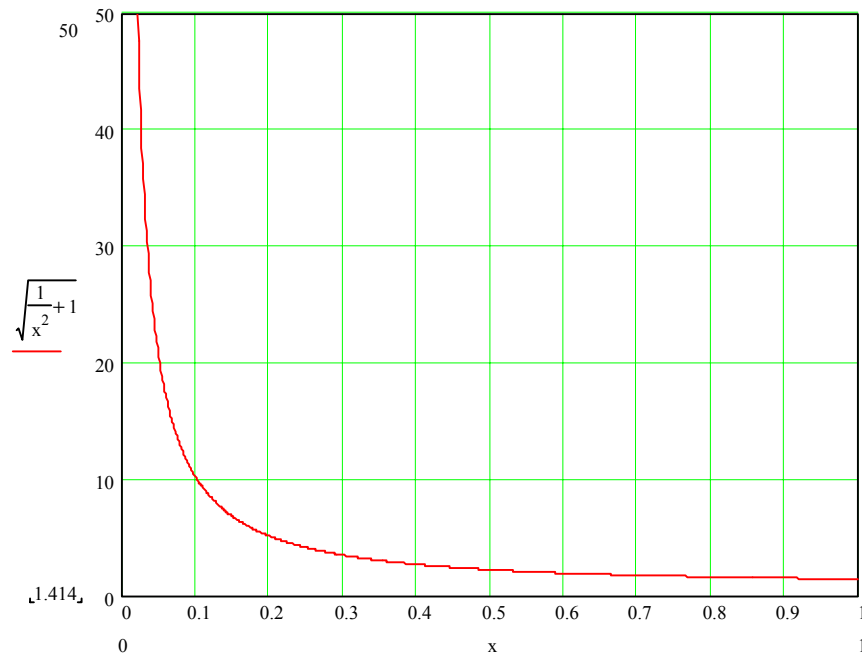


Fig.1.12.6. Variația factorului de transmitere maxim funcție de coeficientul de amortizare histeretică g

Din analiza diagramelor din figurile 1.12.5 și 1.12.6 se pot trage aceleași concluzii ca și în cazul precedent.

### 1.12.3. Izolarea antivibratorie activă în cazul utilizării modelului vâsco-elastic Hooke-Maxwell

Se consideră un sistem format dintr-un corp de masă  $m$  (fig. 1.12.7) legat de fundație cu un arc având constanta elastică  $k$  și un amortizor hidraulic având coeficientul de amortizare  $c$  legat în serie cu un element elastic având constanta

elastică  $k_I$  ( $k_I = Nk$ , unde  $N$  se numește factor de cuplare). Forța perturbatoare variază după legea armonică:

$$F = F_0 \cos \omega t \quad (1.12.20)$$

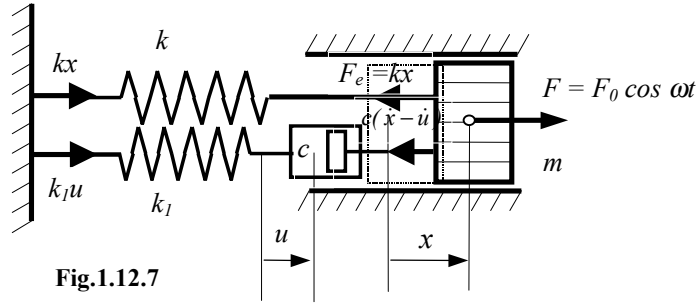


Fig.1.12.7

Ecuția fundamentală a dinamicii în acest caz se scrie:

$$m\ddot{x} + c(\dot{x} - \dot{u}) + kx = F_0 \cos \omega t \quad (1.12.21)$$

Ținând seama că forța din elementul amortizor este egală cu forța elastică din arcul de constantă elastică  $k_I$ :

$$c(\dot{x} - \dot{u}) = Nku \quad (1.12.22)$$

înlocuind în relația (1.12.28) rezultă:

$$m\ddot{x} + kx + Nku = F_0 \cos \omega t \quad (1.12.23)$$

În complex ecuațiile (1.12.22) și (1.12.23) se scriu:

$$c(\dot{x} - \dot{u}) = Nku \quad (1.12.24)$$

$$m\ddot{x} + k\ddot{x} + Nk\ddot{u} = \tilde{F} \quad (1.12.25)$$

Înlocuind expresiile complexe ale soluțiilor și variabilei

$$\tilde{x} = A_0 e^{i(\omega t - \varphi)}; \quad \tilde{u} = u_0 e^{i(\omega t - \theta)}; \quad \tilde{F} = F_0 e^{i\omega t} \quad (1.12.27)$$

în aceste ecuații rezultă:

$$u_0 e^{-i\theta} = \frac{ic\omega A_0 e^{-i\varphi}}{Nk + ic\omega} \quad (1.12.28)$$

$$(k - m\omega^2) A_0 e^{-i\varphi} + Nk u_0 e^{-i\theta} = F_0 \quad (1.12.29)$$

Înlocuind expresia (1.12.28) în (1.12.29) rezultă:

$$(k - m\omega^2) A_0 e^{-i\varphi} + Nk \frac{ic\omega A_0 e^{-i\varphi}}{Nk + ic\omega} = F_0 \quad (1.12.30)$$

și notând:  $\frac{m}{k} = \frac{1}{p^2}$ ;  $\frac{\omega}{p} = \eta$ ;  $\frac{\alpha}{p} = \zeta$ ;  $\frac{c\omega}{k} = \frac{c}{m} \frac{m\omega}{k} = 2 \frac{\alpha}{p} \frac{\omega}{p} = 2\eta\zeta$  (1.12.31)

și împărțind relația (1.12.30) la  $k$  se obține:

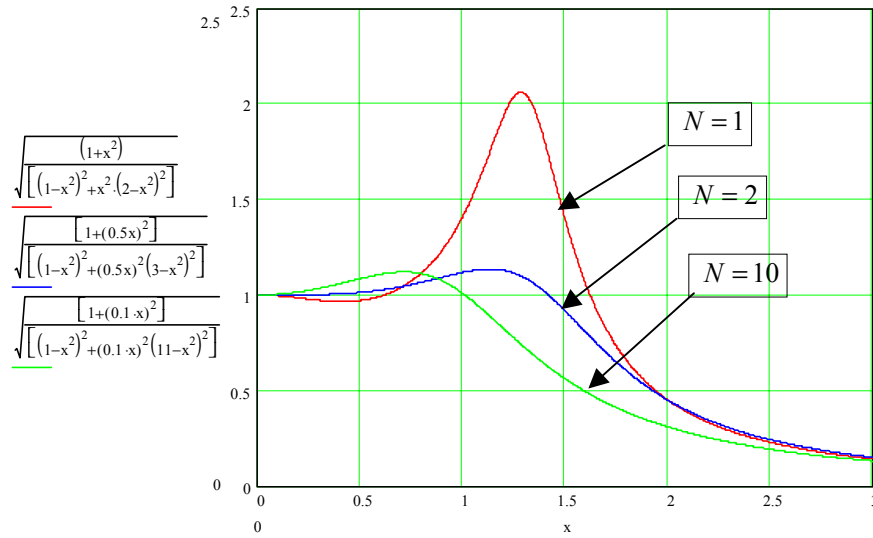
$$\left[ (1 - \eta^2) + \frac{2i\eta\zeta}{1 + \frac{2i\eta\zeta}{N}} \right] A_0 e^{-i\varphi} = \frac{F_0}{k} \quad (1.12.32)$$

rezultă amplitudinea complexă a mișcării:

$$A = A_0 e^{-i\varphi} = \frac{F_0}{k} \frac{\left(1 + \frac{2i\eta\zeta}{N}\right)}{(1 - \eta^2) + \frac{2i\eta\zeta}{N}(N + 1 - \eta^2)} \quad (1.12.33)$$

Amplitudinea reală a mișcării este modulul amplitudinii complexe:

$$A_0 = \frac{F_0}{k} \sqrt{\frac{1 + \left(\frac{2\eta\zeta}{N}\right)^2}{(1 - \eta^2)^2 + \left(\frac{2\eta\zeta}{N}\right)^2 (N + 1 - \eta^2)^2}} \quad (1.12.34)$$



**Fig.1.12.8 Variația amplitudinii vibrațiilor pentru trei valori ale factorului de cuplare:  $N=1$ ,  $N=2$  și  $N=10$  și pentru o valoare a factorului de amortizare  $\zeta=0,5$ .**

În figura 1.12.10 este dată variația amplitudinii vibrațiilor pentru trei valori ale factorului de cuplare:  $N=1$ ,  $N=2$  și  $N=10$  și pentru o valoare a factorului de amortizare  $\zeta=0,5$ .

Forța transmisă la fundație conform figurii 1.12.7 este:  $Q = kx + k_1u$

sau în complex:

$$\begin{aligned} \tilde{Q} &= k\tilde{x} + k_1\tilde{u} = kA_0 e^{i(\omega t - \varphi)} + Nku_0 e^{i(\omega t - \theta)} \\ \tilde{Q} &= (kA_0 e^{-i\varphi} + Nku_0 e^{-i\theta}) e^{i\omega t} \end{aligned} \quad (1.12.35)$$

Ținând seama de relația (1.12.34) se obține:

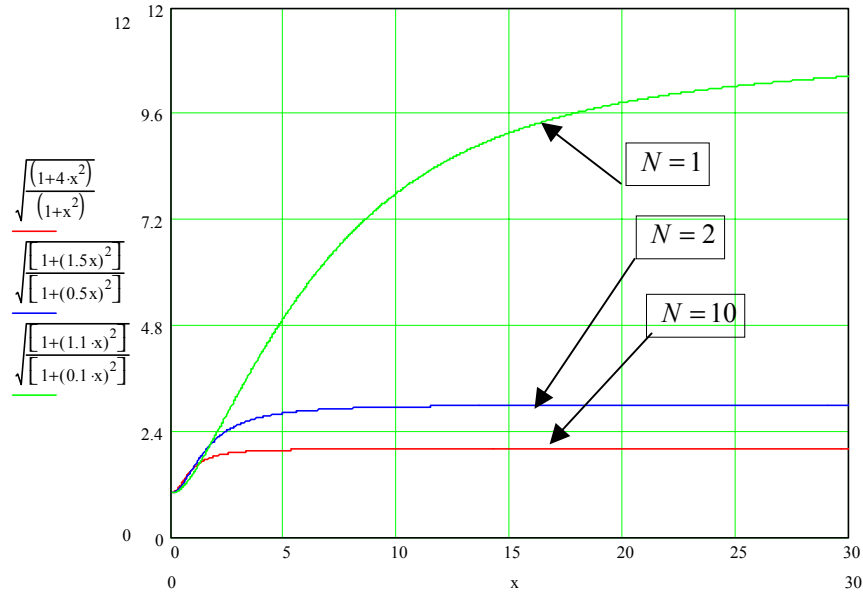
$$\tilde{Q} = A_0 \left( k + Nk \frac{ic\omega}{Nk + ic\omega} \right) e^{i(\omega t - \varphi)} = kA_0 \frac{Nk + ic\omega(N+1)}{Nk + ic\omega} e^{i(\omega t - \varphi)} \quad (1.12.36)$$

Ținând seama de notațiile (1.12.37) se obține:

$$\tilde{Q} = kA_0 \frac{1 + 2i\zeta\eta \frac{N+1}{N}}{1 + \frac{2i\zeta\eta}{N}} e^{i(\omega t - \varphi)} \quad (1.12.37)$$

Amplitudinea forței transmise are expresia:

$$Q_0 = |Q| = kA_0 \sqrt{\frac{1 + \left(2\eta\zeta \frac{N+1}{N}\right)^2}{1 + \left(\frac{2\eta\zeta}{N}\right)^2}} \quad (1.12.38)$$



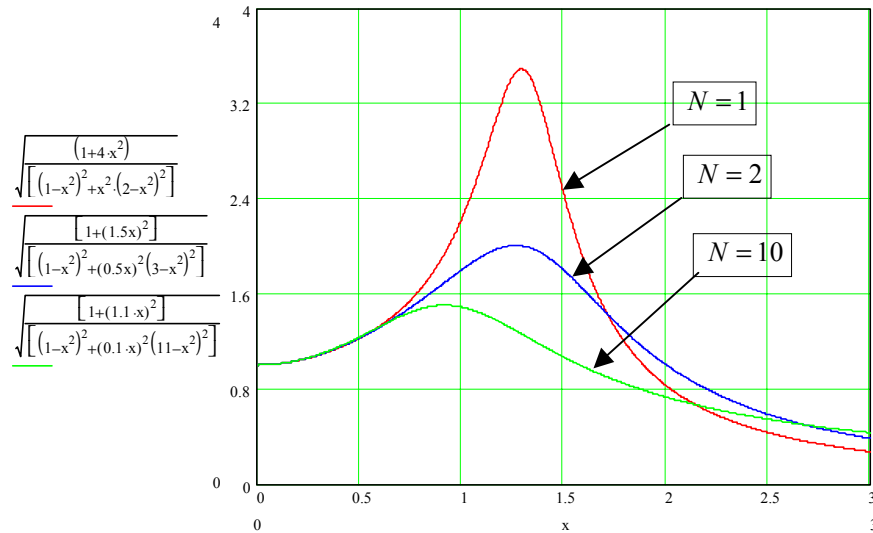
**Fig.1.12.9** Variația amplitudinii forței transmise pentru trei valori ale factorului de cuplare:  $N=1$ ,  $N=2$  și  $N=10$  și pentru o valoare a factorului de amortizare  $\zeta=0,5$ .

În figura 1.12.9 este dată variația amplitudinii forței transmise pentru trei valori ale factorului de cuplare:  $N=1$ ,  $N=2$  și  $N=10$  și pentru o valoare a factorului de amortizare:  $\zeta=0,5$ . Se observă din aceste diagrame că amplitudinea forței transmise are valori scăzute pentru valori ale factorului de cuplare  $N$  mai mari în zona frecvențelor de rezonanță.

Factorul de transmitere se scrie în acest caz:

$$T = \frac{Q_0}{F_0} = \sqrt{\frac{1 + \left(2\eta\zeta \frac{N+1}{N}\right)^2}{(1 - \eta^2)^2 + \left(\frac{2\eta\zeta}{N}\right)^2 (N+1 - \eta)^2}} \quad (1.12.39)$$

În figura 1.12.10 sunt date variațiile factorului de transmitere pentru trei valori ale factorului de cuplare:  $N=1$ ,  $N=2$  și  $N=10$  și pentru o valoare a factorului de amortizare  $\zeta=0,5$ .



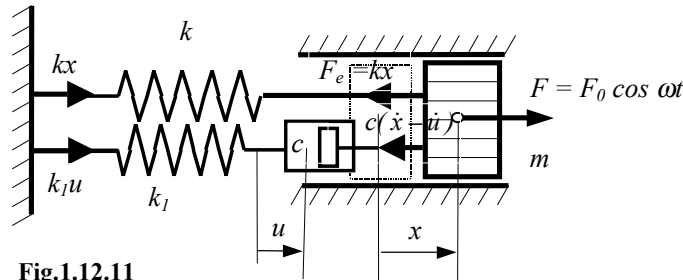
**Fig.1.12.10** Variația factorului de transmitere pentru trei valori ale factorului de cuplare:  $N=1$ ,  $N=2$  și  $N=10$  și pentru o valoare a factorului de amortizare  $\zeta=0,5$ .

Se observă din aceste diagrame că factorul de transmitere are valori scăzute pentru valori ale factorului de cuplare  $N$  mai mari în zona frecvențelor de rezonanță.

#### 1.12.4. Izolarea antivibratorie activă în cazul utilizării modelului histeretic Hooke-Maxwell

Se consideră un sistem format dintr-un corp de masă  $m$  (fig. 1.12.11) legat de fundație cu un arc având constanta elastică  $k$  și un amortizor hidraulic având coeficientul de amortizare histeretic  $c = h / \omega$  legat în serie cu un element elastic având constanta elastică  $k_1$  ( $k_1 = Nk$ ,  $N$  - factor de cuplare). Forța perturbatoare variază după legea armonică:

$$F = F_0 \cos \omega t \quad (1.12.40)$$



**Fig.1.12.11**

Ecuatia fundamentală a dinamicii în acest caz se scrie:

$$m\ddot{x} + c(\dot{x} - \dot{u}) + kx = F_0 \cos \omega t \quad (1.12.41)$$

Ținând seama că forța din elementul amortizor este egală cu forța elastică din arcul de constantă elastică  $k_1$ :

$$c(\dot{x} - \dot{u}) = Nk \cdot u \quad (1.12.42)$$

înlocuind (1.12.42) în relația (1.12.41) rezultă:

$$m\ddot{x} + kx + Nku = F_0 \cos \omega t \quad (1.12.43)$$

Ecuatiile (1.12.48) și (1.12.49) se scriu în complex:

$$c(\dot{z} - \dot{u}) = Nku \quad (1.12.44)$$

$$m\ddot{\tilde{x}} + k\tilde{x} + Nk\tilde{u} = \tilde{F} \quad (1.12.45)$$

Înlocuind expresiile complexe ale soluțiilor și variabilei

$$\tilde{x} = A_0 e^{i(\omega t - \varphi)}; \quad \tilde{u} = u_0 e^{i(\omega t - \theta)}; \quad \tilde{F} = F_0 e^{i\omega t} \quad (1.12.46)$$

în aceste ecuații rezultă:

$$u_0 e^{-i\theta} = \frac{ihA_0 e^{-i\varphi}}{Nk + ih} \quad (1.12.47)$$

$$(k - m\omega^2)A_0 e^{-i\varphi} + Nku_0 e^{-i\theta} = F_0 \quad (1.12.48)$$

Înlocuind expresia (1.12.47) în (1.12.48) rezultă:

$$(k - m\omega^2)A_0 e^{-i\varphi} + Nk \frac{ihA_0 e^{-i\varphi}}{Nk + ih} = F_0 \quad (1.12.49)$$

Împărțind relația (1.12.49) la  $k$  și notând:

$$\frac{m}{k} = \frac{1}{p^2}; \quad \frac{\omega}{p} = \eta; \quad \frac{h}{k} = g \quad (1.12.50)$$

se obține:

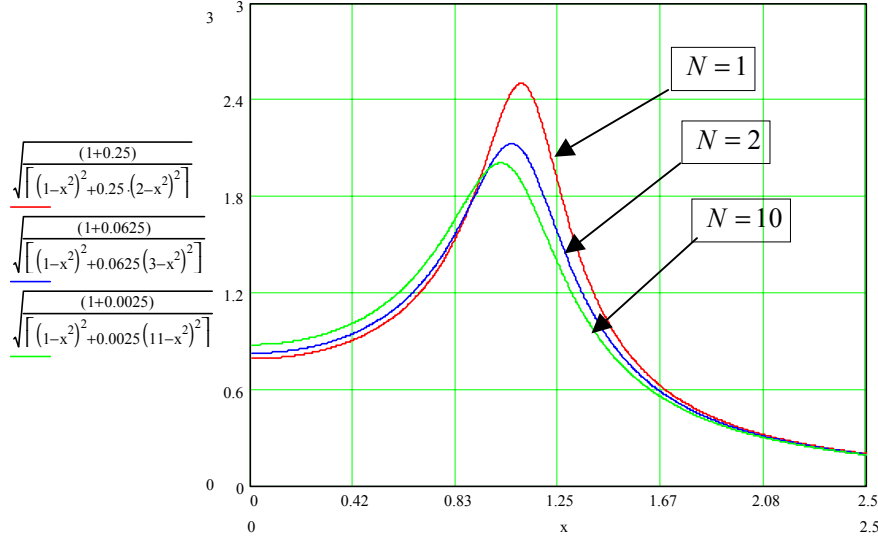
$$\left[ (1 - \eta^2) + \frac{ig}{1 + \frac{ig}{N}} \right] A_0 e^{-i\varphi} = \frac{F_0}{k} \quad (1.12.51)$$

Rezultă amplitudinea complexă a mișcării:

$$A = A_0 e^{-i\varphi} = \frac{F_0}{k} \frac{\left(1 + \frac{ig}{N}\right)}{\left(1 - \eta^2\right) + \frac{ig}{N} (N + 1 - \eta^2)} \quad (1.12.52)$$

Amplitudinea reală a mișcării este modulul amplitudinii complexe:

$$|A| = A_0 = \frac{F_0}{k} \sqrt{\frac{1 + \left(\frac{g}{N}\right)^2}{\left(1 - \eta^2\right)^2 + \left(\frac{g}{N}\right)^2 (N + 1 - \eta^2)^2}} \quad (1.12.53)$$



**Fig.1.12.12 Variația amplitudinii vibrațiilor pentru trei valori ale factorului de cuplare:  $N=1$ ,  $N=2$  și  $N=10$  și pentru o valoare a factorului de amortizare  $g=0,5$ .**

Reprezentând grafic amplitudinea mișcării pentru trei valori ale factorului de cuplare:  $N=1$ ,  $N=2$  și  $N=10$  și pentru o valoare a factorului de amortizare histeretică egală cu  $g=0,5$  se obțin curbele din figura 1.12.12. Se observă din aceste diagrame că factorul de transmitere are valori mai scăzute pentru valori ale factorului de cuplare  $N$  mai mari în zona frecvențelor de rezonanță.

Forța transmisă la fundație este:

$$Q = kx + k_1 u \quad (1.12.54)$$

sau în complex:

$$\begin{aligned} \tilde{Q} &= k\tilde{x} + k_1\tilde{u} = kA_0 e^{i(\omega t - \varphi)} + Nku_0 e^{i(\omega t - \theta)} \\ \tilde{Q} &= (kA_0 e^{-i\varphi} + Nku_0 e^{-i\theta}) e^{i\omega t} \end{aligned} \quad (1.12.55)$$

Ținând seama de relația (1.12.47) se obține:

$$\begin{aligned} \tilde{Q} &= A_0 \left( k + Nk \frac{ic\omega}{Nk + ic\omega} \right) e^{i(\omega t - \varphi)} \\ \tilde{Q} &= kA_0 \frac{Nk + ic\omega(N+1)}{Nk + ic\omega} e^{i(\omega t - \varphi)} \end{aligned} \quad (1.12.56)$$

Ținând seama de notațiile (1.12.56) se obține:

$$\tilde{Q} = kA_0 \frac{1 + ig \frac{N+1}{N}}{1 + \frac{ig}{N}} e^{i(\omega t - \varphi)} \quad (1.12.63)$$

Amplitudinea forței transmise este:



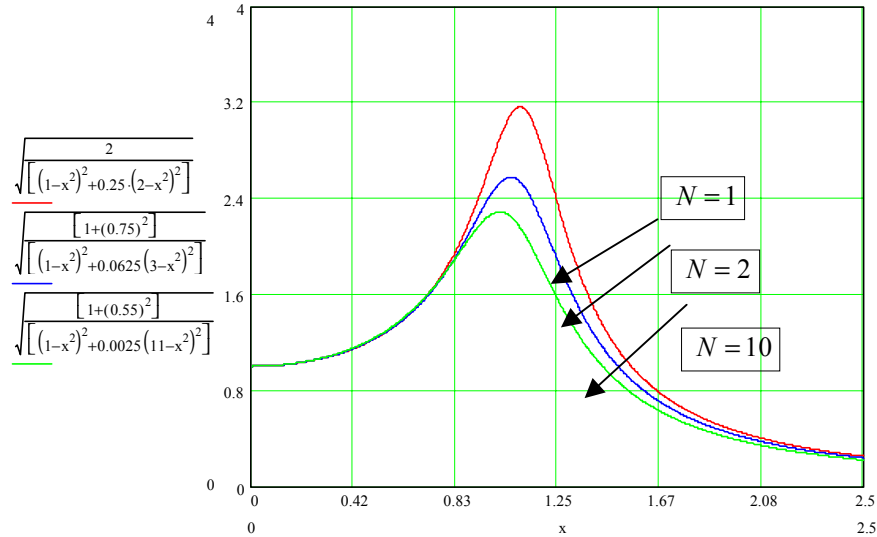
$$Q_0 = |Q| = kA_0 \sqrt{\frac{1 + \left(g \frac{N+1}{N}\right)^2}{1 + \left(\frac{g}{N}\right)^2}} \quad (1.12.64)$$

Se observă că aceasta nu depinde de pulsația forței perturbatoare ci numai de factorul de amortizare  $g$  și de factorul de cuplare  $N$

Factorul de transmitere se scrie în acest caz:

$$T = \frac{Q_0}{F_0} = \sqrt{\frac{1 + \left(g \frac{N+1}{N}\right)^2}{(1 - \eta^2)^2 + \left(\frac{g}{N}\right)^2 (N+1 - \eta)^2}} \quad (1.12.65)$$

Reprezentând grafic factorul de transmitere pentru trei valori ale factorului de cuplare:  $N=1$ ,  $N=2$  și  $N=10$  și pentru o valoare a factorului de amortizare egală cu  $g=0,5$  se obțin curbele din figura 1.12.13. Se observă din aceste diagrame că factorul de transmitere are valori mai scăzute pentru valori ale factorului de cuplare  $N$  mai mari în zona frecvențelor de rezonanță.



**Fig.1.12.13. Variația factorului de transmitere pentru trei valori ale factorului de cuplare:  $N=1$ ,  $N=2$  și  $N=10$  și pentru o valoare a factorului de amortizare  $\zeta=0,5$ .**

### 1.13. Izolarea antivibratorie pasivă

Prin *izolare antivibratorie pasivă* se înțelege izolarea care se face de la fundație ca sursa de vibrații spre aparate fără surse proprii de vibrație pentru diferite variante de pături izolatoare folosite.

#### 1.13.1 Izolarea antivibratorie pasivă în cazul utilizării modelului vâsco-elastic Voigt-Kelvin

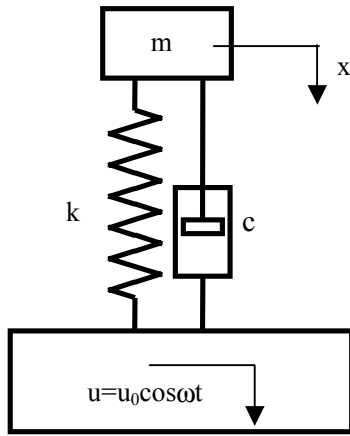


Fig. 1.13.1

Se consideră sistemul format dintr-un corp de masă  $m$  legat de fundație cu un arc având constanta elastică  $k$  și un amortizor hidraulic având coeficientul de amortizare  $c$  (fig. 1.13.1).

Mișcarea bazei se produce pe direcție verticală după legea :

$$u = u_0 \cos \omega t \quad (1.13.1)$$

Ecuția fundamentală a dinamicii în acest caz se scrie:

$$m\ddot{x} + c(\dot{x} - \dot{u}) + k(x - u) = 0$$

$$m\ddot{x} + c\dot{x} + kx = u_0(k \cos \omega t - c\omega \sin \omega t)$$

$$m\ddot{x} + c\dot{x} + kx = u_0 \sqrt{k^2 + c^2 \omega^2} \cos(\omega t - \theta) \quad (1.13.2)$$

Soluția staționară a acestei ecuații este de forma:

$$x = A_0 \cos(\omega t - \varphi) \quad (1.13.3)$$

Ecuția (1.13.2) se scrie în complex:

$$m\ddot{z} + c\dot{z} + kz = u_0 \sqrt{k^2 + c^2 \omega^2} e^{i(\omega t - \theta)} \quad (1.13.4)$$

Soluția complexă a ecuației (1.13.4) se scrie:

$$z = A e^{i(\omega t - \varphi)}; \quad \dot{z} = i\omega \cdot A e^{i(\omega t - \varphi)}; \quad \ddot{z} = -\omega^2 \cdot A e^{i(\omega t - \varphi)} \quad (1.13.5)$$

Înlocuind în (1.13.4) se obține amplitudinea complexă a mișcării:

$$A(k - m\omega^2 + ic\omega) e^{-i\varphi} = u_0 \sqrt{k^2 + c^2 \omega^2} e^{-i\theta}$$

$$\Rightarrow A = \frac{u_0 \sqrt{k^2 + c^2 \omega^2}}{(k - m\omega^2 + ic\omega)} e^{i(\varphi - \theta)} \quad (1.13.6)$$

Amplitudinea reală a mișcării este:

$$A_0 = |A| = \frac{u_0 \sqrt{k^2 + c^2 \omega^2}}{\sqrt{(k - m\omega^2)^2 + c^2 \omega^2}} = \frac{u_0 \sqrt{p^4 + 4n^2 \omega^2}}{\sqrt{(p^2 - \omega^2)^2 + 4n^2 \omega^2}} \quad (1.13.7)$$

Notând:  $\frac{\omega}{p} = \eta$ ,  $\frac{n}{p} = \frac{c}{c_{cr}} = \zeta$ , factorul de transmitere în acest caz are

aceeași expresie (1.13.6) ca în cazul izolării antivibratorii active, dar exprimă raportul amplitudinilor celor două mișcări:

$$T = \frac{A_0}{u_0} = \frac{\sqrt{p^2 + 4n^2\omega^2}}{\sqrt{(p^2 - \omega^2)^2 + 4n^2\omega^2}} = \sqrt{\frac{1 + 4\zeta^2\eta^2}{(1 - \eta^2)^2 + 4\zeta^2\eta^2}} \quad (1.13.8)$$

### 1.13.2. Izolarea antivibratorie pasivă în cazul utilizării modelului histeretic Voigt-Kelvin

În cazul vibrațiilor cu amortizare histeretică forța transmisă fundației conform figurii 1.12.4 este :

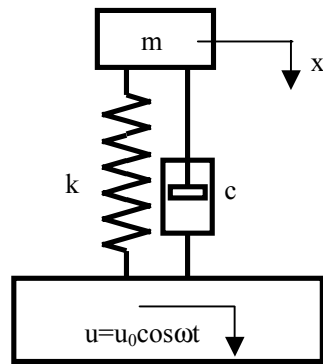


Fig. 1.13.1

$$Q = kx + c\dot{x} \quad (1.12.12)$$

Legea vibrațiilor staționare în acest caz se scrie:

$$x = A \cos(\omega t - \theta) \quad (1.12.13)$$

$$\dot{x} = -\omega A \sin(\omega t - \theta)$$

unde:  $A = \frac{q}{\sqrt{(p^2 - \omega^2)^2 + \left(\frac{h}{m}\right)^2}}$

și forța  $Q$  transmisă fundației (1.12.12) se scrie deci sub forma:

$$Q = A[k \cos(\omega t - \theta) - c\omega \sin(\omega t - \theta)] \quad (1.12.14)$$

Amplitudinea forței transmise la fundație este:

$$Q_0 = q \frac{\sqrt{k^2 + h^2}}{\sqrt{(p^2 - \omega^2)^2 + \left(\frac{h}{m}\right)^2}} = \frac{F_0}{m} \frac{\sqrt{k^2 + h^2}}{\sqrt{(p^2 - \omega^2)^2 + \left(\frac{h}{m}\right)^2}} \quad (1.12.15)$$

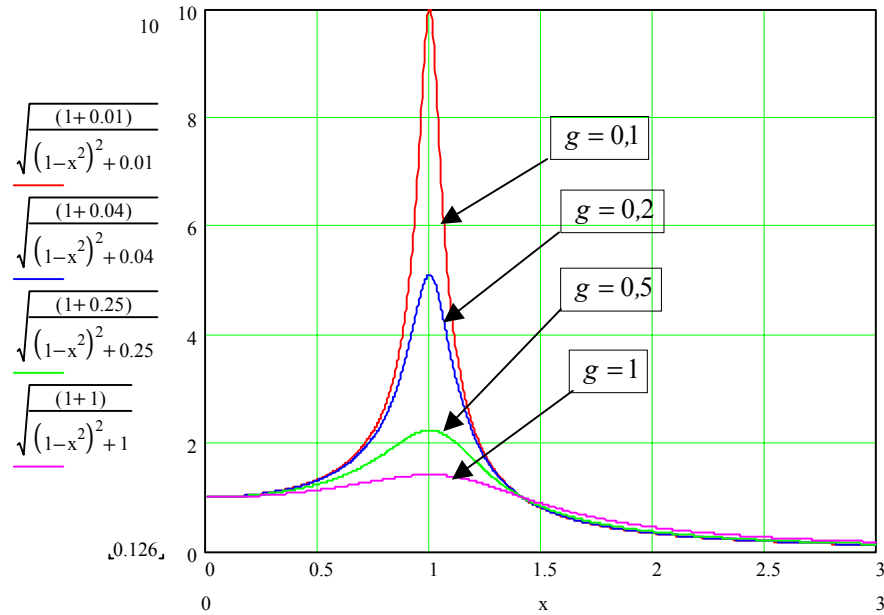
Factorul de transmitere se scrie în acest caz:

$$T = \frac{Q_0}{F_0} = \frac{\sqrt{p^4 + \left(\frac{h}{m}\right)^2}}{\sqrt{(p^2 - \omega^2)^2 + \left(\frac{h}{m}\right)^2}} \quad (1.12.16)$$

Utilizând coeficientul de amortizare histeretică  $\frac{h}{k} = g$  și notând  $\eta = \frac{\omega}{p}$ , pulsația relativă expresia factorului de transmitere se scrie în acest caz:

$$T(\eta) = \sqrt{\frac{1+g^2}{(1-\eta^2)^2 + g^2}} \quad (1.12.17)$$

Reprezentând grafic funcția factorului de transmitere  $T$  pentru patru valori ale coeficientului de amortizare histeretică ( $g = 0,1; 0,2; 0,5; 1$ ) se obțin curbele de răspuns în frecvențe din figura 1.12.5.



**Fig.1.12.5. Variația factorului de transmitere  $T$  cu pulsația relativă  $\eta$  pentru diferite valori ale coeficientului de amortizare histeretică  $g$**

Din figura 1.12.5 se observă ca și în cazul precedent că toate curbele trec print-un punct fix de coordonate ( $\eta = \sqrt{2}$ ,  $T = 1$ ). Într-adevăr înlocuind  $\eta = \sqrt{2}$  în relația (1.12.17) rezultă  $T = 1$  care este independent de factorul de amortizare.

Valoarea maximă a factorului de transmitere se obține prin anularea derivatei expresiei (1.12.17):

$$(T^2)' = \left( \frac{1+g^2}{(1-\eta^2)^2 + g^2} \right)' = \frac{4\eta(1-\eta^2)(1+g^2)}{[(1-\eta^2)^2 + g^2]^2} = 0 \Rightarrow \eta_m = 1 \quad (1.12.18)$$

Se obține valoarea transmisibilității maxime:

$$T_m = \sqrt{1 + \frac{1}{g^2}} \quad (1.12.19)$$

Reprezentând grafic factorul de transmitere maxim funcție de coeficientul de amortizare histeretică se obțin curbele de răspuns în frecvențe din figura 1.12.6.

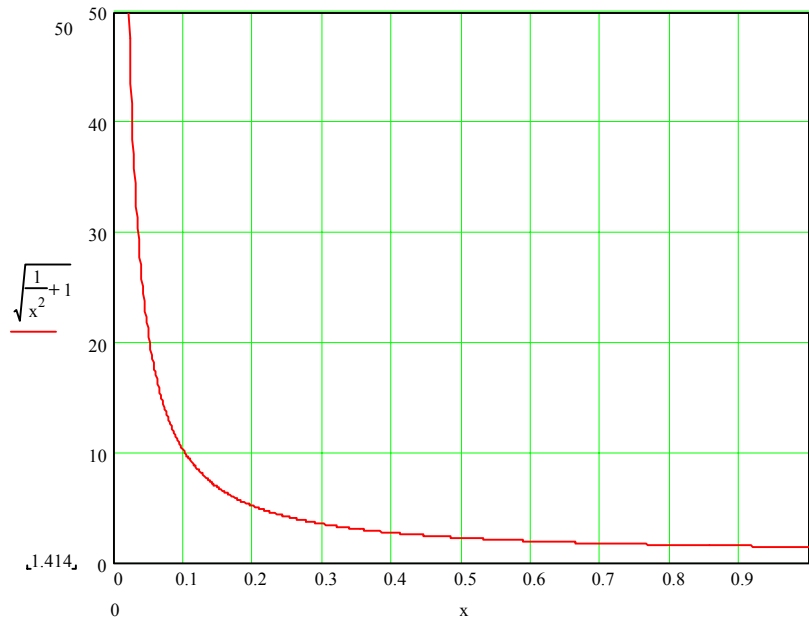


Fig.1.12.6. Variația factorului de transmitere maxim funcție de coeficientul de amortizare histeretică  $g$

Din analiza diagramelor din figurile 1.12.5 și 1.12.6 se pot trage aceleași concluzii ca și în cazul precedent.

### 1.13.3. Izolarea antivibratorie pasivă în cazul utilizării modelului vâsco-elastic Hooke-Maxwell

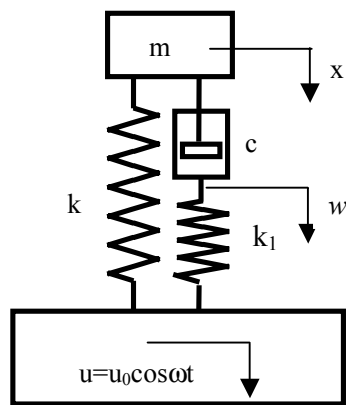


Fig. 1.13.2

Se consideră un sistem format dintr-un corp de masă  $m$  (fig. 1.13.18) legat de fundație cu un arc având constanta elastică  $k$  și un amortizor hidraulic având coeficientul de amortizare  $c$  în serie cu un arc având constanta elastică  $k_1 = Nk$ ,  $N$ - factor de cuplare). Mișcarea fundației este pe direcție verticală după legea :

$$u = u_0 \cos \omega t \quad (1.13.9)$$

Ecuția fundamentală a dinamicii în acest caz se scrie:

$$m\ddot{x} + c(\dot{x} - \dot{w}) + k(x - u) = 0 \quad (1.13.10)$$

Ținând seama că forța din elementul amortizor este egală cu forța elastică din arcul  $k_1$ :

$$c(\dot{x} - \dot{w}) = Nk(w - u) \Rightarrow m\ddot{x} + kx + Nkw = (N + 1)ku \quad (1.13.11)$$

$$\text{sau în complex: } m\ddot{z} + kz + Nk\tilde{w} = (N + 1)k\tilde{u} \quad (1.13.12)$$

Înlocuind expresiile complexe ale variabilelor:

$$z = A_0 e^{i(\omega t - \varphi)}; \quad \tilde{w} = w_0 e^{i(\omega t - \theta)}; \quad \tilde{u} = u_0 e^{i\omega t} \quad (1.13.13)$$

din prima ecuație rezultă:

$$w_0 e^{-i\theta} = \frac{Nku_0 + ic\omega A_0 e^{-i\varphi}}{Nk + ic\omega} \quad (1.13.14)$$

din a doua ecuație rezultă:

$$(k - m\omega^2)A_0 e^{-i\varphi} + Nkw_0 e^{-i\theta} = (N + 1)ku_0 \quad (1.13.15)$$

Înlocuind expresia (1.13.14) în (1.13.15) rezultă:

$$(k - m\omega^2)A_0 e^{-i\varphi} + Nk \frac{Nku_0 + ic\omega A_0 e^{-i\varphi}}{Nk + ic\omega} = (N + 1)ku_0 \quad (1.13.16)$$

împărțind relația (1.13.16) la  $k$  și notând:

$$\frac{m}{k} = \frac{1}{p^2}; \quad \frac{\omega}{p} = \eta; \quad \frac{\alpha}{p} = \zeta; \quad \frac{c\omega}{k} = \frac{c}{m} \frac{m\omega}{k} = 2 \frac{\alpha}{p} \frac{\omega}{p} = 2\eta\zeta \quad (1.13.17)$$

se obține:

$$\left[ (1 - \eta^2) + \frac{2i\eta\zeta}{1 + \frac{2i\eta\zeta}{N}} \right] A_0 e^{-i\varphi} = \frac{1 + \frac{2i\eta\zeta}{N}(N + 1)}{1 + \frac{2i\eta\zeta}{N}} u_0 \quad (1.13.18)$$

sau:

$$\left[ (1 - \eta^2) \left( 1 + \frac{2i\eta\zeta}{N} \right) + 2i\eta\zeta \right] A_0 e^{-i\varphi} = \left( 1 + \frac{2i\eta\zeta}{N}(N + 1) \right) u_0 \quad (1.13.19)$$

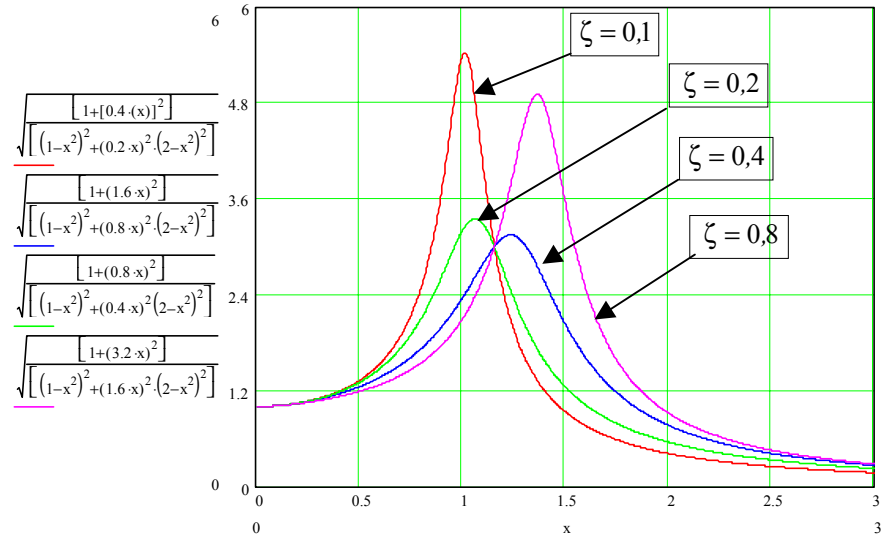
Amplitudinea mișcării este:

$$A_0 = u_0 \sqrt{\frac{1 + \left( 2\eta\zeta \frac{N + 1}{N} \right)^2}{(1 - \eta^2)^2 + \left( \frac{2\eta\zeta}{N} \right)^2 (N + 1 - \eta)^2}} \quad (1.13.20)$$

În figura 1.13.3 sunt date variațiile amplitudinii pentru patru moduri de amortizare:  $\zeta=0.1$ ;  $\zeta=0.2$ ;  $\zeta=0.4$  și  $\zeta=0.8$  ( $N=1$ )

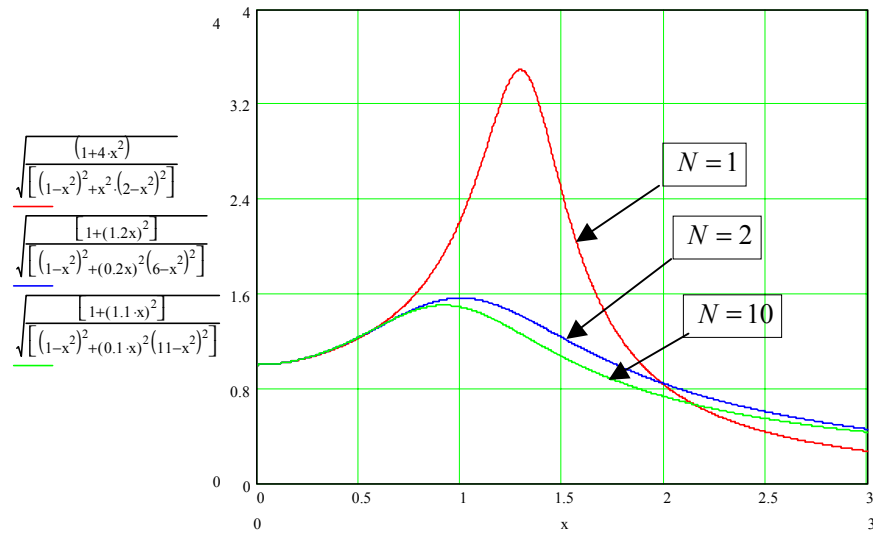
Factorul de transmitere se scrie în acest caz:

$$T = \frac{A_0}{u_0} = \sqrt{\frac{1 + \left( 2\eta\zeta \frac{N + 1}{N} \right)^2}{(1 - \eta^2)^2 + \left( \frac{2\eta\zeta}{N} \right)^2 (N + 1 - \eta)^2}} \quad (1.13.21)$$



**Fig.1.13.3** Variația amplitudinii vibrațiilor pentru patru valori ale factorului de amortizare  $\zeta=0,1; 0,2; 0,4$  și  $\zeta=0,8$  și pentru o valoare factorului de cuplare  $N=1$ .

În figura 1.13.4 sunt date variațiile factorului de transmitere (a amplitudinii mișcării) pentru trei valori ale factorului de cuplare:  $N=1$ ;  $N=5$  și  $N=10$  ( $\zeta=0,5$ ).



**Fig.1.13.4** Variația amplitudinii vibrațiilor pentru trei valori ale factorului de cuplare  $N=1$ ;  $N=5$  și  $N=10$  și pentru o valoare factorului de amortizare  $\zeta=0,5$

### 1.13.4. Izolarea antivibratorie pasivă în cazul utilizării modelului histeretic Hooke-Maxwell

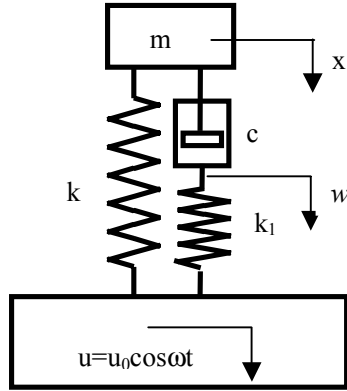


Fig. 1.13.5

Se consideră un sistem format dintr-un corp de masă  $m$  (fig. 1.13.5) legat de fundație cu un arc având constanta elastică  $k$  și un amortizor hidraulic având coeficientul de amortizare  $c = h/\omega$  legat în serie cu un element elastic având constanta elastică  $k_1$  ( $k_1 = Nk$ ,  $N$  - factor de cuplare). Mișcarea fundației este pe direcție verticală după legea :

$$u = u_0 \cos \omega t \quad (1.13.22)$$

Ecuția fundamentală a dinamicii în acest caz se scrie:

$$m\ddot{x} + c(\dot{x} - \dot{w}) + k(x - u) = 0 \quad (1.13.23)$$

Ținând seama că forța din elementul amortizor este egală cu forța elastică din arcul având constanta elastică  $k_1 = Nk$ :

$$c(\dot{x} - \dot{w}) = Nk(w - u) \quad (1.13.24)$$

înlocuind în ecuația (1.13.23) rezultă:

$$m\ddot{x} + kx + Nkw = (N+1)ku \quad (1.13.25)$$

sau în complex:

$$m\ddot{z} + kz + Nk\tilde{w} = (N+1)k\tilde{u} \quad (1.13.26)$$

Înlocuind expresiile complexe ale variabilelor:

$$z = A_0 e^{i(\omega t - \varphi)}; \quad \tilde{w} = w_0 e^{i(\omega t - \theta)}; \quad \tilde{u} = u_0 e^{i\omega t} \quad (1.13.27)$$

în ecuația (1.13.26) rezultă:

$$w_0 e^{-i\theta} = \frac{Nku_0 + ihA_0 e^{-i\varphi}}{Nk + ih} \quad (1.13.28)$$

iar în a doua ecuație rezultă:

$$(k - m\omega^2)A_0 e^{-i\varphi} + Nkw_0 e^{-i\theta} = (N+1)ku_0 \quad (1.13.29)$$

Înlocuind expresia (1.13.28) în (1.13.29) rezultă:

$$(k - m\omega^2)A_0 e^{-i\varphi} + Nk \frac{Nku_0 + ihA_0 e^{-i\varphi}}{Nk + ih} = (N+1)ku_0 \quad (1.13.30)$$

împărțind relația (1.13.30) la  $k$  și notând:

$$\frac{m}{k} = \frac{1}{p^2}; \quad \frac{\omega}{p} = \eta; \quad \frac{h}{k} = g \quad (1.13.31)$$

$$\text{se obține: } \left[ (1 - \eta^2) + \frac{ig}{1 + \frac{ig}{N}} \right] A_0 e^{-i\varphi} = \frac{1 + ig \frac{N+1}{N}}{1 + \frac{ig}{N}} u_0 \quad (1.13.32)$$



$$\text{sau: } \left[ (1 - \eta^2) \left( 1 + \frac{ig}{N} \right) + ig \right] A_0 e^{-i\varphi} = \left( 1 + ig \frac{N+1}{N} \right) u_0 \quad (1.13.33)$$

Amplitudinea mișcării este:

$$A_0 = u_0 \sqrt{\frac{1 + \left( g \frac{N+1}{N} \right)^2}{(1 - \eta^2)^2 + \left( \frac{g}{N} \right)^2 (N+1 - \eta)^2}} \quad (1.13.34)$$

Factorul de transmitere se scrie în acest caz:

$$T = \frac{A_0}{u_0} = \sqrt{\frac{1 + \left( g \frac{N+1}{N} \right)^2}{(1 - \eta^2)^2 + \left( \frac{g}{N} \right)^2 (N+1 - \eta)^2}} \quad (1.13.35)$$

Factorul de transmitere în acest caz are aceeași expresie ca în cazul izolării antivibratorii active (1.12.65) și exprimă raportul amplitudinilor celor două mișcări.

## 1.14. Relații energetice pentru studiul vibrațiilor

### 1.14.1. Cazul vibrațiilor libere neamortizate

Ecuția diferențială a vibrațiilor libere ale unui sistem conservativ cu un grad de libertate conform (1.2.2) se scrie:

$$m\ddot{x} + kx = 0 \quad (1.14.1)$$

Ținând seama că:

$$\ddot{x} = \frac{d\dot{x}}{dt} = \frac{d\dot{x}}{dx} \cdot \frac{dx}{dt} = \frac{d\dot{x}}{dx} \dot{x} \quad (1.14.2)$$

și introducând în (1.14.1) se obține:

$$m \cdot \dot{x} \cdot d\dot{x} + k \cdot x \cdot dx = 0 \quad (1.14.3)$$

Integrând ecuația diferențială (1.14.3) se obține:

$$\int_{v_0}^v m \dot{x} d\dot{x} = - \int_{x_0}^x kx dx \quad (1.14.4)$$

$$\text{sau: } \frac{mv^2}{2} - \frac{mv_0^2}{2} = -\frac{kx^2}{2} + \frac{kx_0^2}{2} \quad (1.14.5)$$

s-a obținut astfel expresia teoremei conservării energiei într-un sistem nedisipativ:

$$E_1 - E_0 = -V \quad (1.14.6)$$

unde:  $E_1 = \frac{mv^2}{2}$  este energia cinetică a corpului la momentul  $t$

$E_0 = \frac{mv_0^2}{2}$  – energia cinetică a corpului la momentul inițial ( $t=0$ )

$V = -\frac{kx^2}{2} + \frac{kx_0^2}{2}$  – energia potențială acumulată în elementul elastic la momentul  $t$ : dacă se consideră că la momentul inițial :

$$x(0)=0; \quad \dot{x}(0)=v_0 \quad \text{se obține: } V = -\frac{kx^2}{2} \quad (1.14.7)$$

Dacă se înlocuiesc expresiile deplasării  $x$  și ale vitezei  $\dot{x}$  în relația (1.14.6):

$$x = \frac{v_0}{p} \sin pt; \quad v = \dot{x} = v_0 \cos pt \quad (1.14.8)$$

se obține:

$$\frac{mv_0^2}{2} (\cos^2 pt - 1) = -\frac{k}{2} \left( \frac{v_0}{p} \right)^2 \sin^2 pt \Rightarrow m = \frac{k}{p^2} \quad (1.14.9)$$

Dacă se exprimă cele două forme de energie în funcție de timp și se notează:

$$E_0 = E_{\max} = \frac{mv_0^2}{2}; \quad V = V_{\min} = -\frac{k}{2} \left( \frac{v_0}{p} \right)^2 \quad (1.14.10)$$

se obține:

$$\begin{cases} E(t) = E_{\max} \cos^2 pt = E_{\max} \frac{1 + \cos(2pt)}{2} \\ V(t) = V_{\min} \sin^2 pt = V_{\min} \frac{1 - \cos(2pt)}{2} \end{cases} \quad (1.14.11)$$

Deoarece  $E_{\max} = V_{\min}$ , din ultima expresie rezultă că energia cinetică scade transformându-se în energie potențială și invers (sau cele două energii sunt în opoziție de fază) cu o frecvență  $f_E = p / \pi$  de două ori mai mare decât frecvența vibrației:  $f = p / 2\pi$ .

Integrând expresia energiei cinetice (1.14.11) pe un interval corespunzător unei perioade ( $T_E = \frac{\pi}{p}$ ) și raportând la această perioadă se obține valoarea medie:

$$E_m = \frac{1}{T_E} \int_0^{T_E} \frac{E_{\max}}{2} (1 - \cos 2pt) dt = \frac{p}{\pi} \frac{\pi}{2p} E_{\max} = \frac{E_{\max}}{2} \quad (1.14.12)$$

Variația deplasării, energiei cinetice și potențiale  $10 \cdot x(t)$ ,  $E(t)$  și  $V(t)$  pentru următoarele valori particulare ale parametrilor este dată în figura 1.14.1:  
 $v_0 = 2 \text{ m/s}$ ;  $m = 5 \text{ kg}$ ;  $k = 500 \text{ N/m} \Rightarrow p = 10 \text{ rad/s}$ ;  $E_{\max} = 20 \text{ Nm}$  (1.14.13)

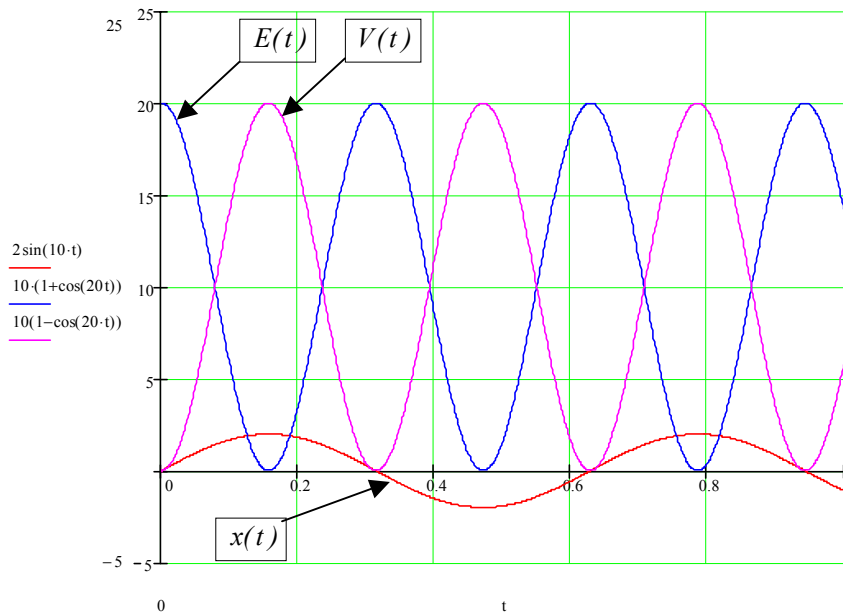


Fig. 1.14.1. Variația deplasării, energiei cinetice și potențiale funcție de timp

### 1.14.2. Cazul vibrațiilor libere cu amortizare vâscoasă

Se consideră cazul în care rădăcinile ecuației caracteristice sunt complexe.

Soluția este de forma:

$$x = e^{-nt} \sqrt{x_0^2 + \left(\frac{v_0 + nx_0}{\beta}\right)^2} \cos(p_1 t - \varphi_0); \quad \operatorname{tg} \varphi_0 = \frac{v_0 + nx_0}{p_1 x_0} \quad (1.14.14)$$

Se consideră condițiile inițiale (1.14.7):  $x(0) = x_0$ ;  $\dot{x}(0) = v_0$  astfel încât soluția (1.14.14) se scrie:

$$x = e^{-nt} \frac{v_0}{p_1} \cos\left(p_1 t - \frac{\pi}{2}\right) = e^{-nt} \frac{v_0}{p_1} \sin p_1 t \quad (1.14.15)$$

Expresia vitezei este:

$$\dot{x} = e^{-nt} \frac{v_0}{p_1} (-n \sin p_1 t + p_1 \cos p_1 t) \quad \text{sau} \quad (1.14.16)$$

$$\dot{x} = e^{-nt} \frac{v_0}{p_1} \sqrt{n^2 + p_1^2} \cos(p_1 t + \theta), \quad \operatorname{tg} \theta = \frac{n}{p_1}$$

La momentul de timp corespunzătoare lui:

$$p_1 t + \theta = 2k\pi \Rightarrow t_{2k} = \frac{1}{p_1} (2k\pi - \theta) \quad (1.14.17)$$

valorile vitezei și ale energiei cinetice sunt maxime:

$$v_{2k} = e^{-nt_{2k}} \frac{v_0}{p_1} \sqrt{n^2 + p_1^2} \Rightarrow E_{2k} = mv_0^2 \frac{n^2 + \beta^2}{2p_1^2} e^{-2nt_{2k}} \quad (1.14.18)$$

Micșorarea energiei cinetice într-un ciclu cuprins între  $(t_{2k}, t_{2k+2})$  este:

$$\Delta E_{2k} = E_{2k+2} - E_{2k} = mv_0^2 \frac{n^2 + p_1^2}{2p_1^2} (e^{-2nt_{2k+2}} - e^{-2nt_{2k}}) \quad (1.14.19)$$

Ținând seama de definiția decrementului logaritmic:  $\delta = 2\pi \frac{n}{p_1}$  se obține:

$$\Delta E_{2k} = mv_0^2 \frac{n^2 + \beta^2}{2p_1^2} e^{-2\delta \left(k - \frac{\theta}{2\pi}\right)} (1 - e^{-2\delta}) \quad (1.14.20)$$

Variația energiei cinetice maxime  $E_{2k}$  la momentul  $t_{2k}$  pentru următoarele valori particulare ale parametrilor este dată în figura 1. 14.2:

$$n = 1/20; \quad p_1 = 1; \quad m = 0,5 \text{ kg}; \quad v_0 = 2 \text{ m/sec}$$

Se definește *capacitatea de amortizare* pierderea relativă de energie datorită amortizării ca raport dintre variația energiei pentru un ciclu și energia cinetică maximă corespunzătoare începutului ciclului:

$$\psi = \frac{\Delta E_{2k}}{E_{2k}} \cdot 100 \% \quad (1.14.21)$$

Înlocuind expresiile celor două energii (1.14.20) și (1.14.18) *capacitatea de amortizare*:  $\psi = 100(1 - e^{-2\delta})$ ; (1.14.21')

$$\text{unde } \delta = \frac{2\pi\alpha}{\beta} = 2\pi \frac{\zeta}{\sqrt{1-\zeta^2}} \quad \text{este decrementul logaritmic.}$$

Pentru acest tip de amortizare ea este constantă pentru fiecare ciclu, depinzând de factorul de amortizare  $\zeta$ .

Variația *capacității de amortizare* pentru următoarele valorile particulare (1.14.13) ale parametrilor este dată în figura 1.14.3

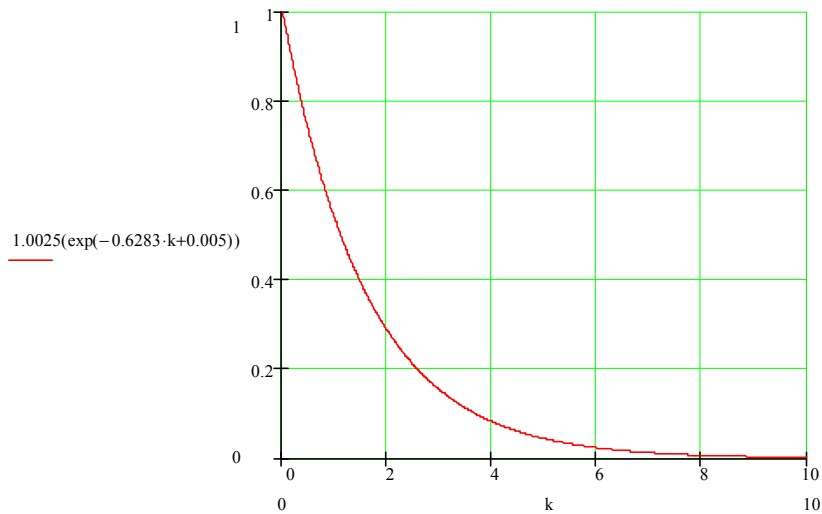


Fig. 1.14.2. Variația energiei cinetice maxime  $E_{2k}$

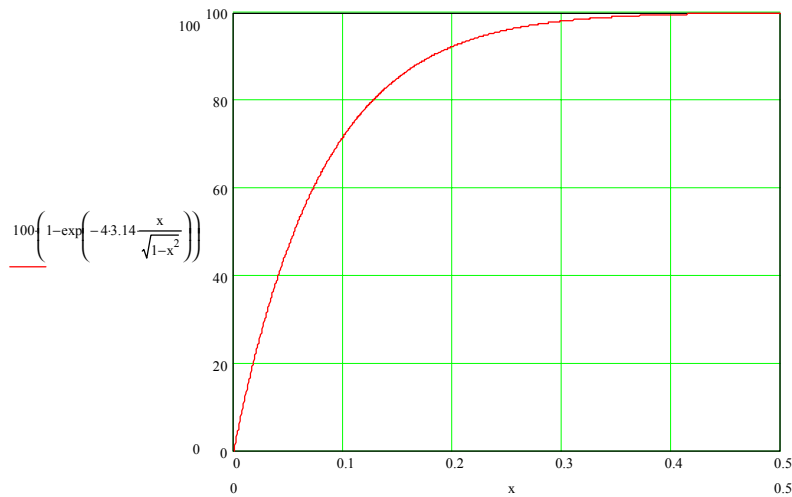


Fig. 1.14.3 Variația capacității de amortizare  $\psi$  cu factorul de amortizare  $\zeta$

### 1.14.3. Cazul vibrațiilor libere cu amortizare uscată

Ținând seama de relațiile (1.4.17) în semiperioada  $t \in \left( (k-1)\frac{\pi}{p}, k\frac{\pi}{p} \right)$

soluția se scrie:

$$\begin{cases} x = (x_0 - 2ka + a)\cos pt - (-1)^k a \\ \dot{x} = -p(x_0 - 2ka + a)\sin pt \end{cases} \quad \text{unde} \quad a = \frac{\mu mg}{k} \quad (1.14.22)$$

Pentru  $k=1$  și  $k=2$  se obțin soluțiile (1.4.6) și (1.4.13):

$$\begin{cases} x = (x_0 - a)\cos pt + a \\ \dot{x} = -p(x_0 - a)\sin pt \end{cases} \quad \text{respectiv:} \quad (1.14.23)$$

$$\begin{cases} x = (x_0 - 3a)\cos pt - a \\ \dot{x} = -p(x_0 - 3a)\sin pt \end{cases} \quad (1.14.23')$$

Considerând schimbarea de variabilă:  $t = (k-1)\pi/p$ ,  $k \in \mathbb{R}$  soluția

(1.14.22) se scrie analitic sub forma:

$$\begin{cases} x = (x_0 - 2\text{int}(k)a + a)\cos(k-1)\pi - (-1)^k a \\ \dot{x} = -p(x_0 - 2\text{int}(k)a + a)\sin(k-1)\pi \end{cases} \quad (1.14.24)$$

Pentru valorile parametrilor date de (1.4.19) soluția analitică (1.14.24) se scrie astfel:

$$\begin{cases} x = (11 - 2 \cdot \text{ceil}(k-1))\cos(k-1)\pi - (-1)^{\text{ceil}(k-1)} \quad (mm) \\ \dot{x} = -0.1(11 - 2 \cdot \text{ceil}(k-1))\sin(k-1)\pi \quad (m/s) \end{cases} \quad (1.14.25)$$

$$\text{unde } \text{ceil}(k) = [k] + 1 \text{ si } \text{ceil}(k-1) = [k] \quad (1.14.26)$$

Reprezentările grafice ale deplasării și vitezei pentru acest caz particular sunt date în figura 1.14.4 (deplasarea se măsoară în mm iar viteza în dm/s)

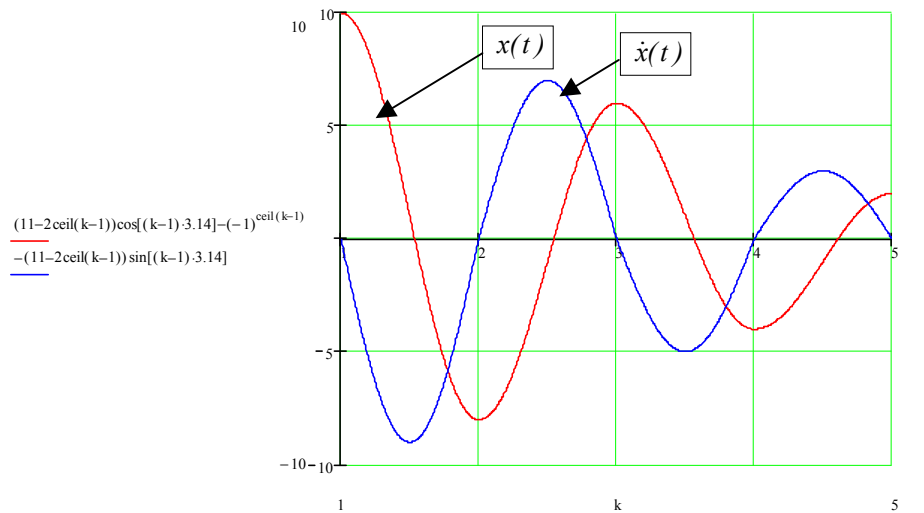


Fig. 1.14.4 Variația deplasării și vitezei funcție de timp

Ținând seama de (1.14.24), energia cinetică a oscilatorului cu amortizare uscată și energia potențială a arcului, au expresiile:

$$\begin{cases} E = \frac{m\dot{x}^2}{2} = \frac{mp^2}{2} [(x_0 - 2\text{int}(k)a + a)\sin(k-1)\pi]^2 \\ V = \frac{kx^2}{2} = \frac{mp^2}{2} [(x_0 - 2\text{int}(k)a + a)\cos(k-1)\pi - (-1)^{\text{int}(k)}a]^2 \end{cases} \quad (1.14.27)$$

Pentru valori ale parametrilor date de (1.4.19) variațiile în timp ale energiei cinetice și potențiale date de relațiile (1.14.27) s-au reprezentat în fig. 1.14.5:

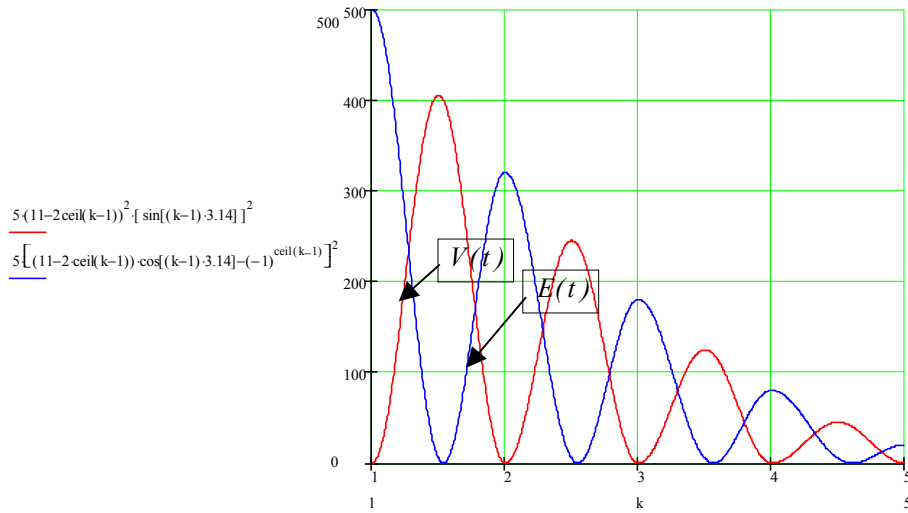


Fig. 1.14.5. Variațiile în timp ale energiei cinetice și potențiale

Se observă din cele două diagrame că energia potențială scade transformându-se în energie cinetică și invers cu o frecvență de două ori mai mare decât frecvența vibrației ( $f = p/\pi$ ), însă această transformare se face cu disipare de energie datorită forței de frecare. Astfel:

➤ după prima semiperioadă  $\left(t = \frac{T_E}{2} = \frac{\pi}{2p}\right)$  (fig. 11.1.5) energia totală este:

$$E_{tot} = \frac{m\dot{x}^2}{2} + \frac{kx^2}{2} = \frac{mp^2}{2} [(x_0 - a)^2 + a^2] \quad (1.14.28)$$

și variația față de energia totală la momentul inițial ( $V = 0,5 mp^2 x_0^2$ ) este :

$$\Delta E_{tot} = \frac{mp^2}{2} [x_0^2 - (x_0 - a)^2 - a^2] = mp^2 a(x_0 - a) \quad (1.14.29)$$

Lucrul mecanic al forței de frecare pentru același interval este integrala:

$$L = \int_0^T R dx = \int_0^T R \dot{x} dt = - \int_0^{\pi/2p} \mu m g p (x_0 - a) \sin pt \, dt = ak(x_0 - a) \quad (1.14.30)$$

- după prima perioadă  $\left(T_E = \frac{\pi}{p}\right)$  (fig. 11.1.5) energia cinetică este nulă iar energia totală este egală cu energia potențială:

$$V = \frac{k(x_0 - 2a)^2}{2} \quad (1.14.31)$$

scăzând față de energia totală la momentul inițial  $\left(V = \frac{mp^2 x_0^2}{2}\right)$  cu :

$$\Delta V = \frac{k}{2} [x_0^2 - (x_0 - 2a)^2] = 2mp^2 a(x_0 - a) \quad (1.14.32)$$

Lucrul mecanic al forței de frecare pentru același interval este integrala:

$$L = \int_0^T R dx = \int_0^T R \dot{x} dt = \int_0^{\frac{\pi}{p}} \mu mg p (x_0 - a) \sin pt \, dt = 2ak(x_0 - a) \quad (1.14.33)$$

Se observă că variația energiei totale este egală cu lucrul mecanic al forțelor de frecare, sistemul este disipativ .

#### 1.14.4. Cazul vibrațiilor forțate cu amortizare vâscoasă

Soluția vibrațiilor staționare conform (1.6.14)

$$x = A \cos(\omega t - \theta)$$

$$A = \frac{q}{\sqrt{(p^2 - \omega^2)^2 + 4n^2 \omega^2}}; \quad \operatorname{tg} \theta = \frac{2n\omega}{p^2 - \omega^2} \quad (1.14.34)$$

Dacă se înlocuiesc în relația (1.14.34):

$$F_0 = qm; \quad A_0 = \frac{F_0}{k} = \frac{q}{p^2}; \quad \eta = \frac{\omega}{p}; \quad \zeta = \frac{n}{p} = \frac{c}{c_{cr}} \quad (1.14.35)$$

se obține:

$$A = \frac{A_0}{\sqrt{(1 - \eta^2)^2 + 4\zeta^2 \eta^2}}; \quad \operatorname{tg} \theta = \frac{2\zeta\eta}{1 - \eta^2}$$

$$\sin \theta = \frac{2\zeta\eta}{\sqrt{(1 - \eta^2)^2 + 4\zeta^2 \eta^2}} \quad (1.14.36)$$

**Energia introdusă în sistem într-o perioadă** este egală cu lucrul mecanic al forței perturbatoare în același interval de timp:

$$L_F = \int_0^T F dx = \int_0^T F \dot{x} dt = - \int_0^{\frac{2\pi}{\omega}} F_0 \cos \omega t \cdot A \omega \sin(\omega t - \theta) dt \quad (1.14.37)$$

$$L_F = \pi F_0 A \sin \theta$$



Înlocuind expresia amplitudinii (1.14.34) și expresia lui  $\sin\theta$  (1.14.36) se obține:

$$L_F = \frac{2\pi\zeta\eta}{(1-\eta^2)^2 + 4\zeta^2\eta^2} A_0 F_0 \quad (1.14.38)$$

**Energia disipată în sistem în aceeași perioadă  $T$**  este egală cu lucrul mecanic al forței vâscoase în același interval de timp:

$$L_R = \int_0^T R dx = \int_0^T R \dot{x} dt = \int_0^{\frac{2\pi}{\omega}} A^2 c \omega^2 \sin^2(\omega t - \theta) dt \quad (1.14.39)$$

$$L_R = \pi c \omega A^2$$

Se observă că expresia energiei disipate în sistem într-o perioadă depinde de pătratul amplitudinii ( $A$ ), de pulsația forței perturbatoare și ( $\omega$ ) și de amortizare ( $c$ ). Dacă se înlocuiește expresia lui  $A$  (1.14.34) în relația (1.14.36) se obține:

$$L_R = \pi c \omega A^2 = \frac{\pi c \omega q^2}{(p^2 - \omega^2)^2 + 4n^2 \omega^2} \quad (1.14.40)$$

$$L_R = \frac{2\pi\zeta\eta}{(1-\eta^2)^2 + 4\zeta^2\eta^2} A_0 F_0$$

Cele două expresii (1.14.38) și (1.14.40) sunt egale ceea ce confirmă teorema conservării energiei totale a sistemului.

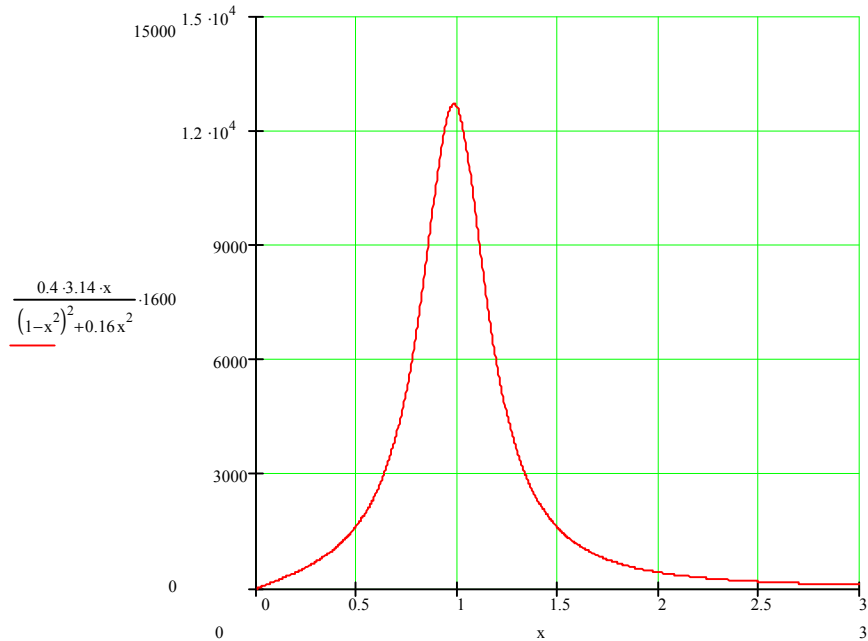


Fig.1.14.5. Variația energiei disipate în sistem într-o perioadă cu pulsația relativă  $\eta$

Reprezentând grafic energia disipată în sistem într-o perioadă în funcție de raportul pulsațiilor  $\eta$  pentru valorile particulare ale parametrilor

$$F_0 = 1600; \quad q = 1600; \quad p = 40; \quad n = 8 \Rightarrow A_0 = 1; \quad \zeta = 0.2$$

se obține curba de disipare a energiei din figura 1.14.5.

Valoarea maximă a energiei disipate se obține pentru o valoare a pulsației sensibil mai mare decât cea corespunzătoare amplitudinii la rezonanță:

$$\left( \frac{L_R}{2\pi\zeta A_0 F_0} \right)' = \left( \frac{\eta}{(1-\eta^2)^2 + 4\zeta^2\eta^2} \right)' = \frac{-3\eta^4 + 2\eta^2(1-\zeta^2) + 1}{\left( (1-\eta^2)^2 + 4\zeta^2\eta^2 \right)^2} = 0 \quad (1.14.41)$$

$$\Rightarrow \eta_{mR} = \sqrt{\frac{1-2\zeta^2 + \sqrt{(1-2\zeta^2)^2 + 3}}{3}} \Rightarrow \eta_{mR} \cong \sqrt{1-\zeta^2}$$

Înlocuind în expresia energiei disipate se obține o expresie în funcție de  $A_r$ :

$$L_{Rm} = \frac{2\pi A_0 F_0 \sqrt{1-\zeta^2}}{(4\zeta^2 - 3\zeta^4)} \approx \pi \frac{F_0}{A_0} (A_0 \xi_r)^2 \quad (1.14.41')$$

$$L_{Rm} \cong \pi \frac{F_0}{A_0} (A_r)^2$$

$$\text{unde } A_r = \xi_m A_0 = \frac{A_0}{2\zeta\sqrt{1-\zeta^2}} \text{ este amplitudinea vibrațiilor la rezonanță.}$$

Folosind diagrama de variație prezentate mai sus se poate determina experimental valoarea factorului de amortizare  $\zeta$  respective a coeficientului de amortizare  $c$  prin metoda punctelor de semiputere.

Pentru  $A_{1,2} = A_r / \sqrt{2}$  se obține  $L_R = L_{Rm} / 2$  sau energia disipată la o amplitudine a vibrațiilor egală cu  $A_{1,2}$  este jumătate din cea maximă.

Reprezentând grafic amplitudinea vibrațiilor amortizate în funcție de pulsația  $\omega$  pentru valorile parametrilor  $F_0 = 1600$ ;  $q = 1600$ ;  $p = 40$ ;  $v = 8$  se obține curba de răspuns în frecvențe din figura 1.14.6. Linia corespunzătoare amplitudinii  $A_{1,2} = A_r / \sqrt{2}$  intersectează graficul funcției  $A(\omega)$  în două puncte și corespunzător se obțin două pulsații  $\omega_1$  și  $\omega_2$  așa cum se observă și din figură. Cele două puncte de intersecție se numesc puncte de semiputere.

Cele două valori ale pulsației  $\omega_1$  și  $\omega_2$  se pot calcula cu ajutorul ecuației:

$$\frac{A_0}{\sqrt{(1-\eta^2)^2 + 4\zeta^2\eta^2}} = \frac{A_0}{2\sqrt{2}\zeta\sqrt{1-\zeta^2}} \Rightarrow \eta^4 - 2\eta^2(1-2\zeta^2) - 8\zeta^2(1-\zeta^2) + 1 = 0 \quad (1.14.42)$$

Rădăcinile acestei ecuații sunt:

$$\eta_1 = \frac{\omega_1}{p} \text{ si } \eta_2 = \frac{\omega_2}{p} \quad (1.14.43)$$

Diferența celor două rădăcini este:

$$\eta_2 - \eta_1 = \frac{\Delta\omega}{p} = \sqrt{2\left(1 - 2\zeta^2 - \sqrt{1 - 8\zeta^2 + 8\zeta^4}\right)} \approx 2\zeta \quad (1.14.44)$$

$$\Rightarrow \zeta = \frac{\Delta\omega}{2p}$$

Deci cu ajutorul punctelor de semiputere se poate determina de pe diagrama  $A(\omega)$  factorul de amortizare  $\zeta = \frac{c}{c_{cr}}$ . O altă posibilitate de determinare

a factorului de amortizare cu ajutorul diagramei  $\xi(\omega)$  este măsurând valoarea factorului de amplificare maxim:

$$\xi_m = \frac{1}{2\zeta\sqrt{1-\zeta^2}} \approx \frac{1}{2\zeta} \Rightarrow \zeta = \frac{1}{2\xi_m} \quad (1.14.45)$$

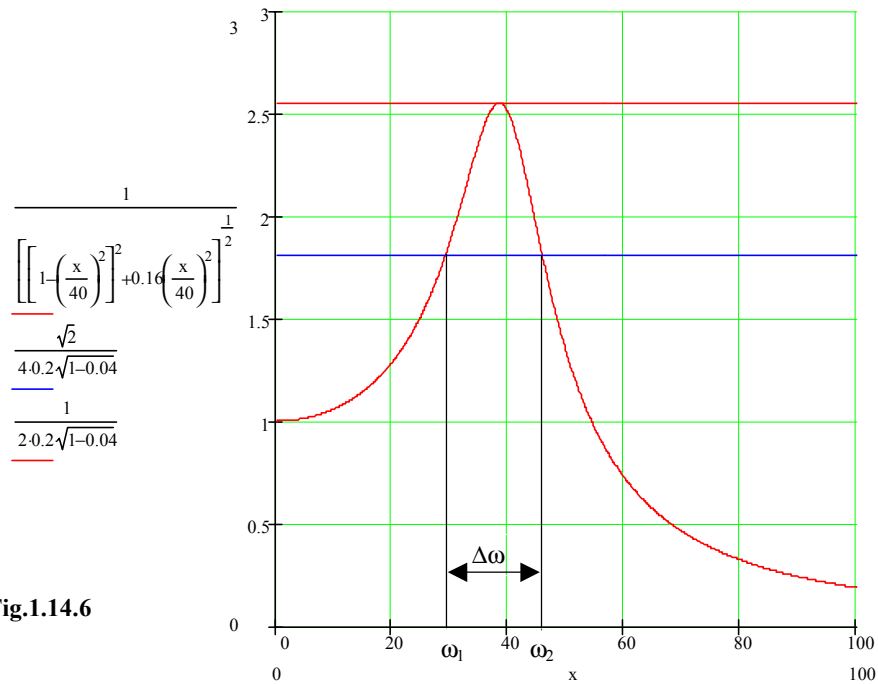


Fig.1.14.6

### 1.14.5. Puterea medie, instantanee, activă și reactivă cazul vibrațiilor forțate cu amortizare vâscoasă

*Puterea medie dezvoltată de sursa de vibrații este raportul dintre energia introdusă în sistem într-un ciclu (1.14.35) și perioada T:*

$$N_m = \frac{L_F}{T} = \frac{\pi F_0 A \sin \theta}{2\pi} = \frac{1}{2} \omega F_0 A \sin \theta \quad (1.14.46)$$

Ținând seama de expresia (1.14.37):

$$\sin \theta = \frac{2n\omega}{\sqrt{(p^2 - \omega^2)^2 + 4n^2\omega^2}} = \frac{2\zeta\eta}{\sqrt{(1 - \eta^2)^2 + 4\zeta^2\eta^2}} \quad (1.14.47)$$

și de relația (1.14.34):

$$A = \frac{F_0}{m\sqrt{(p^2 - \omega^2)^2 + 4n^2\omega^2}} = \frac{A_0}{\sqrt{(1 - \eta^2)^2 + 4\zeta^2\eta^2}} \quad (1.14.48)$$

expresia puterii medii dezvoltate de sursa (1.14.46) se mai scrie:

$$N_m = \frac{\zeta\eta}{(1 - \eta^2)^2 + 4\zeta^2\eta^2} \omega F_0 A_0 \quad (1.14.49)$$

$$N_m = \frac{\zeta\eta^2}{(1 - \eta^2)^2 + 4\zeta^2\eta^2} p F_0 A_0$$

*Puterea medie disipată în sistem este raportul dintre energia disipată în sistem într-un ciclu (1.14.38) și perioada T:*

$$N_R = \frac{L_R}{T} = \frac{\zeta\eta}{(1 - \eta^2)^2 + 4\zeta^2\eta^2} \omega A_0 F_0 \quad (1.14.50)$$

S-a obținut aceeași expresie a puterii medii dezvoltate ceea ce demonstrează teorema conservării energiei.

În figura 1.14.7. se reprezintă puterea medie dezvoltate de sursa (1.14.49) pentru valorile parametrilor:

$$F_0 = 1600; \quad q = 1600; \quad p = 40; \quad n = 8 \Rightarrow A_0 = 1; \quad \zeta = 0.2$$

Pentru valorile parametrilor:  $\omega = p = 40$  ( $\eta = 1$ );  $\theta = \pi/2$  așa cum rezultă din figura 1.14.7 puterea medie dezvoltată de sursă (egală cu cea disipată) are valoarea maximă:

$$N_m = \frac{\zeta\eta^2}{(1 - \eta^2)^2 + 4\zeta^2\eta^2} p F_0 A_0 = 80.000 \quad (1.14.51)$$

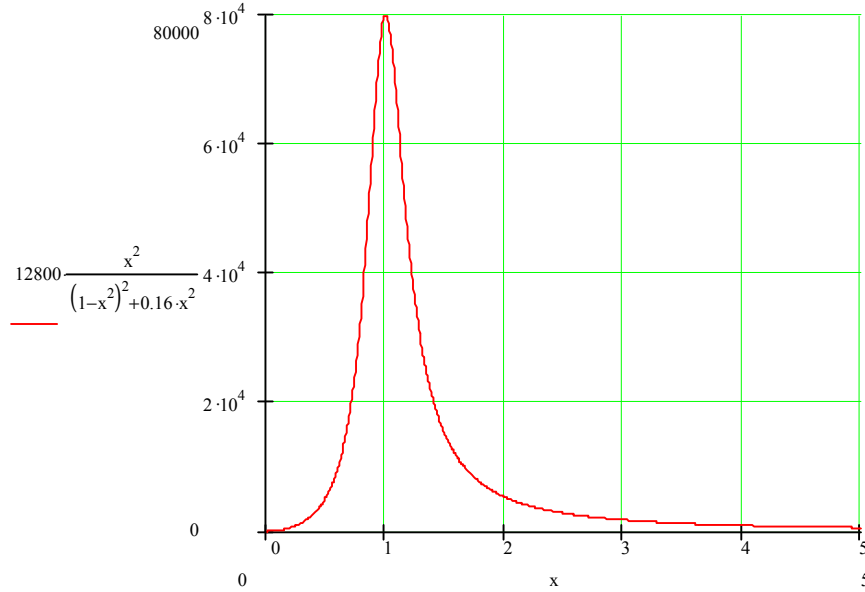


Fig.1.14.7. Variația puterii medii dezvoltate de sursă cu pulsația relativă

Puterea instantanee dezvoltată de sursă la un moment dat se scrie:

$$N = F \cdot \dot{x} = -F_0 A \omega \cos \omega t \sin(\omega t - \theta) = \frac{1}{2} F_0 A \omega \sin \theta - \frac{1}{2} F_0 A \omega \sin(2\omega t - \theta) \quad (1.14.52)$$

$$\Rightarrow N = N_m - \frac{1}{2} F_0 A \omega \sin(2\omega t - \theta)$$

$$N = p F_0 A_0 \left[ \frac{\zeta \eta^2}{(1 - \eta^2)^2 + 4 \zeta^2 \eta^2} - \frac{1}{2} \frac{\eta}{\sqrt{(1 - \eta^2)^2 + 4 \zeta^2 \eta^2}} \sin(2\omega t - \theta) \right] \quad (1.14.52')$$

Puterea instantanee dezvoltată de sursă este o funcție armonică ce variază în jurul puterii medii cu o pulsație de două ori mai mare decât pulsația vibrațiilor staționare. Valoarea maximă și minimă a puterii instantanee dezvoltată de sursă este:

$$N_{max} = \frac{1}{2} F_0 A \omega (1 + \sin \theta); \quad (1.14.53)$$

$$N_{min} = -\frac{1}{2} F_0 A \omega (1 - \sin \theta)$$

Pentru valorile parametrilor:  $\omega = p = 40$  ( $\eta = 1$ )  $\Rightarrow \theta = \pi/2$  puterea instantanee are expresia analitică:

$$N(t) = 80000 (1 + \cos 80t) \quad (1.14.54)$$

și variația pulsatorie este reprezentată în figura 1.14.8

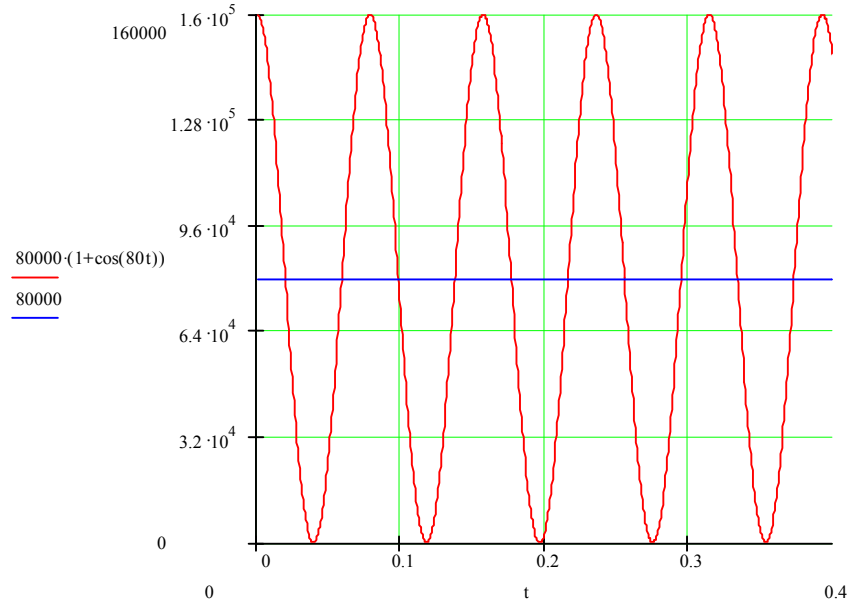


Fig.1.14.8. Variația puterii instantanee cu pulsația relativă

Expresia puterii instantanee dezvoltată de sursă la un moment dat (1.14.52) se mai scrie:

$$N = \frac{1}{2} F_0 A \omega [\sin \theta - \sin(2\omega t - 2\theta + \theta)] \Rightarrow \quad (1.14.55)$$

$$N = \frac{1}{2} F_0 A \omega \sin \theta [1 - \cos(2\omega t - 2\theta)] - \frac{1}{2} F_0 A \omega \cos \theta [\sin(2\omega t - 2\theta)]$$

Primul termen al relației (1.14.55) corespunde puterii disipate de elementul amortizor:

$$N_1 = c \dot{x}^2 = c \omega^2 A^2 \sin^2(\omega t - \theta) = \frac{1}{2} c \omega^2 A^2 [1 - \cos(2\omega t - 2\theta)] \quad (1.14.56)$$

$$\Rightarrow N_1 = \frac{1}{2} F_0 A \omega \sin \theta [1 - \cos(2\omega t - 2\theta)]$$

unde s-a ținut seama de relația:  $c \omega = \frac{F_0}{A} \sin \theta$  (1.14.57)

Amplitudinea acestei puteri se numește *putere instantanee activă*:

$$N_{act} = \frac{1}{2} F_0 A \omega \sin \theta \quad (1.14.58)$$

Al doilea termen al relației (1.14.55) corespunde puterii disipate de masa  $m$  și de elementul elastic:

$$N_2 = (m\ddot{x} + kx)\dot{x} = -\omega A^2 (k - m\omega^2) \cdot \cos(\omega t - \theta) \cdot \sin(\omega t - \theta)$$

$$\Rightarrow N_2 = -\frac{1}{2} F_0 A \omega \cos \theta [\sin(2\omega t - 2\theta)] \quad (1.14.59)$$

unde s-a ținut seama de relația:  $(k - m\omega^2) = \frac{F_0}{A} \cos \theta$  (1.14.60)

Amplitudinea acestei puteri se numește *putere instantanee reactivă*:

$$N_{react} = \frac{1}{2} F_0 A \omega \cos \theta \quad (1.14.61)$$

Ținând seama de expresiile lui A, sin  $\theta$  și cos  $\theta$  relațiile de mai sus se scriu:

$$N_{act} = p F_0 A_0 \frac{\zeta \eta^2}{(1 - \eta^2)^2 + 4\zeta^2 \eta^2}$$

$$N_{react} = \frac{p F_0 A_0}{2} \frac{\eta(1 - \eta^2)}{(1 - \eta^2)^2 + 4\zeta^2 \eta^2} \quad (1.14.62)$$

În figurile 1.14.9, 1.14.10 și 1.14.11 se prezintă *puterea instantanee activă și reactivă* dezvoltate de sursa pentru valorile considerate mai sus ale parametrilor:

$$F_0 = 1600; \quad q = 1600; \quad p = 40; \quad \zeta = 0.1; \quad \zeta = 0.2 \quad \text{și} \quad \zeta = 0.5$$

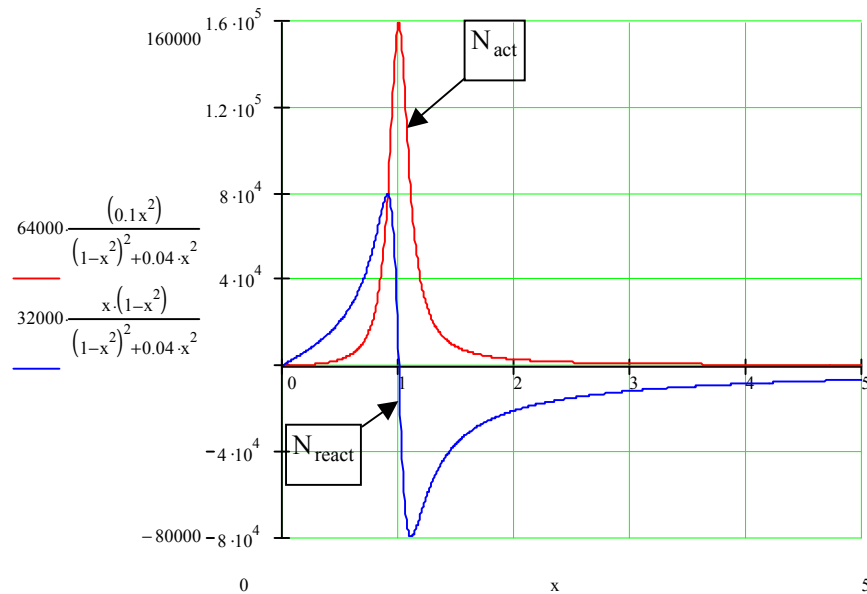


Fig.1.14.9. Variația puterii instantanee active și reactive cu pulsația relativă pentru  $\zeta = 0.1$

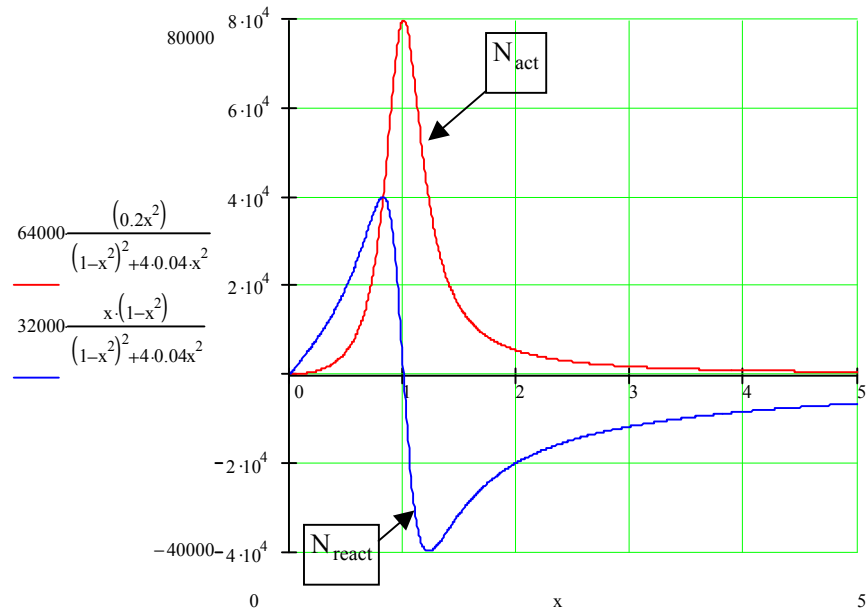


Fig.1.14.10. Variația puterii instantanee active și reactive cu pulsația relativă pentru  $\zeta = 0,2$

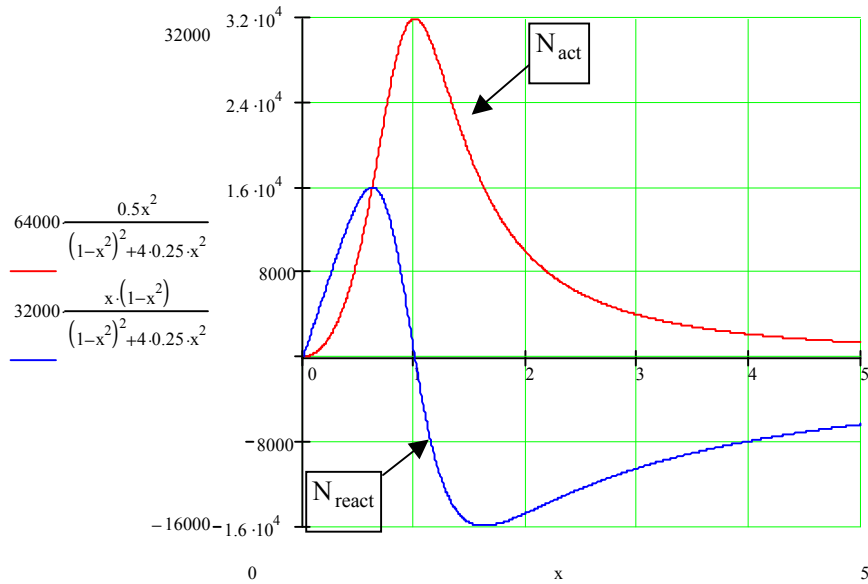


Fig.1.14.11. Variația puterii instantanee active și reactive cu pulsația relativă pentru  $\zeta = 0,5$



### 1.14.6. Relații energetice pentru cazul vibrațiilor forțate cu amortizare histeretică

Soluția vibrațiilor staționare cu amortizare histeretică conform (1.7.8) este:

$$x = A \cos(\omega t - \theta); \quad \operatorname{tg} \theta = \frac{h}{m(p^2 - \omega^2)} \quad (1.14.44)$$

unde: amplitudinea reală a mișcării staționare este:

$$A = \frac{q}{\sqrt{(p^2 - \omega^2)^2 + \left(\frac{h}{m}\right)^2}} = \frac{A_0}{\sqrt{(1 - \eta^2)^2 + g^2}} \quad (1.14.45)$$

$$\text{unde: } h = c\omega; \quad F_0 = qm; \quad A_0 = \frac{F_0}{k} = \frac{q}{p^2}; \quad \eta = \frac{\omega}{p}; \quad g = \frac{h}{k}. \quad (1.14.46)$$

Energia introdusă în sistem într-o perioadă este egală cu lucrul mecanic al forței perturbatoare în același interval de timp:

$$L_F = \int_0^T F dx = \int_0^T F \dot{x} dt = - \int_0^{\frac{2\pi}{\omega}} F_0 \cos \omega t \cdot A \omega \sin(\omega t - \theta) dt \quad (1.14.47)$$

$$L_F = \pi F_0 A \sin \theta$$

Energia disipată în sistem în aceeași perioadă este egală cu lucrul mecanic al forței vâskoase în același interval de timp:

$$L_R = \int_0^T R dx = \int_0^T R \dot{x} dt = \int_0^{\frac{2\pi}{\omega}} A^2 c \omega^2 \sin^2(\omega t - \theta) dt \quad (1.14.48)$$

$$L_R = \pi c \omega A^2 = \pi h A^2$$

Cele două energii (introdusă și disipată în sistem) sunt egale:

$$\pi F_0 A \sin \theta = \pi h A^2 \Rightarrow \sin \theta = \frac{h}{\sqrt{(p^2 - \omega^2)^2 + \left(\frac{h}{m}\right)^2}} \quad (1.14.49)$$

$$\Rightarrow \operatorname{tg} \theta = \frac{h}{m(p^2 - \omega^2)}$$

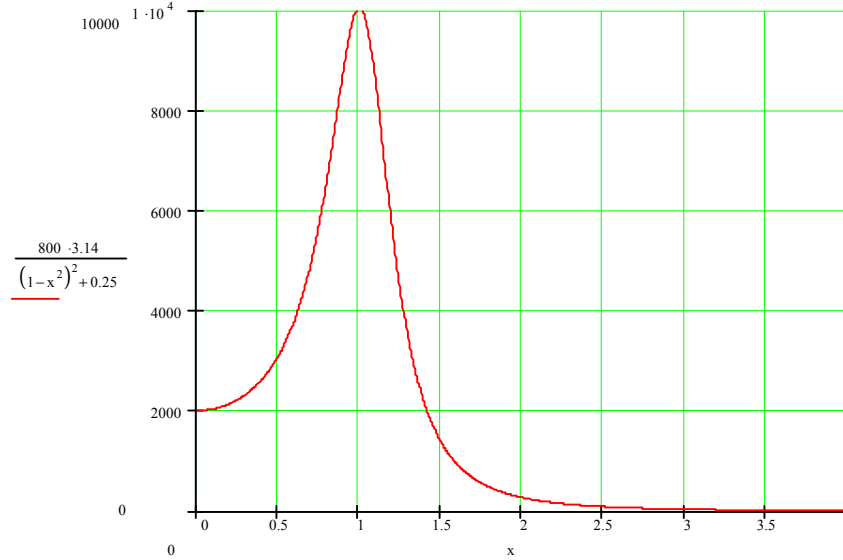
Se observă că expresia energiei disipate în sistem într-o perioadă pentru acest tip de amortizare depinde numai de pătratul amplitudinii ( $A$ ), deoarece

$$h = c\omega = \text{constant: } L_R = \pi h A^2 = \frac{\pi h A_0^2}{(1 - \eta^2)^2 + g^2} \quad (1.14.50)$$

Reprezentând grafic energia disipată în sistem într-o perioadă în funcție de raportul pulsațiilor  $\eta$  pentru valorile particulare ale parametrilor:

$$F_0 = 1600; \quad q = 1600; \quad p = 40; \quad h = 800 \Rightarrow A_0 = 1; \quad g = 0.5$$

se obține curba de disipare a energiei în frecvențe din figura 1.14.12



**Fig.1.14.12. Variația energiei disipată în sistem într-o perioadă în funcție de pulsația relativă**

Ca și în cazul amplitudinii maxime, energia maximă disipată în sistem într-o perioadă se obține pentru valoarea pulsației forței perturbatoare  $\omega = p$  indiferent de valoarea coeficientului amortizării hysteretice  $v$ . Valoarea maximă este:

$$L_{Rm} = \frac{\pi h A_0^2}{g^2} = \pi h (A_r)^2 \quad (1.14.51)$$

deoarece conform relației (1.7.14):

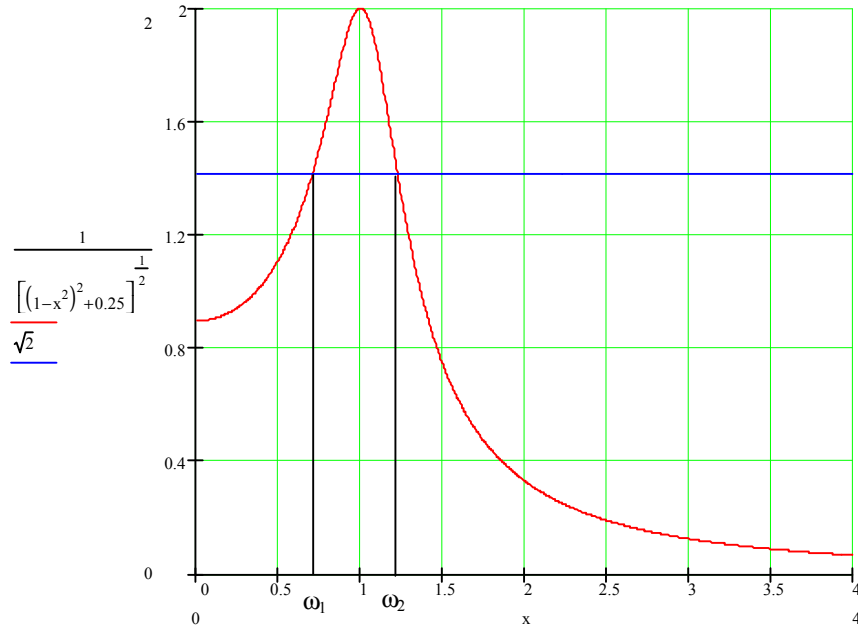
$$\xi_m = \frac{1}{v} \quad \text{și} \quad A_r = A_0 \xi_m$$

Pentru  $A_{1,2} = A_r / \sqrt{2}$  se obține  $L_R = L_{Rm} / 2$  sau energia disipată la o amplitudine a vibrațiilor egală cu  $A_{1,2}$  este jumătate din cea maximă.

Reprezentând grafic amplitudinea vibrațiilor amortizate în funcție de pulsația  $\omega$  pentru valorile particulare de mai sus ale parametrilor se obține curba de răspuns în frecvențe din figura 1.14.13. Linia corespunzătoare amplitudinii  $A_{1,2} = A_r / \sqrt{2}$  intersectează graficul funcției  $A(\omega)$  în două puncte și corespunzător se obțin două pulsații  $\omega_1$  și  $\omega_2$  așa cum se observă și din figură. Cele două puncte de intersecție se numesc puncte de semiputere.

Cele două valori ale pulsației  $\omega_1$  și  $\omega_2$  se pot calcula cu ajutorul ecuației:

$$\begin{aligned} \frac{A_0}{\sqrt{(1-\eta^2)^2 + g^2}} &= \frac{A_0}{\sqrt{2}g} \Rightarrow \\ (1-\eta^2)^2 &= g^2 \Rightarrow \eta_1 = \sqrt{1-g}; \quad \eta_2 = \sqrt{1+g} \end{aligned} \quad (1.14.52)$$



**Fig.1.14.13. Metoda punctelor de semiputere pentru determinarea factorului de amortizare  $g$**

Diferența celor două rădăcini este:

$$\eta_2 - \eta_1 = \frac{\Delta\omega}{p} = \sqrt{2(1 - \sqrt{1 - g^2})} \approx v \quad \Rightarrow \quad g = \frac{\Delta\omega}{p} \quad (1.14.53)$$

Deci cu ajutorul punctelor de semiputere se poate determina și pe diagrama  $A(\omega)$  factorul de amortizare histeretică  $g$ .

### 1.15. Modele reologice ale elementelor vâscoelastice folosite în izolarea antivibratorie

Cele mai folosite elemente în izolarea antivibratorie sunt cele din cauciuc natural sau sintetic datorită proprietăților lor elastice legate de fiabilitate și mentenabilitatea mașinilor. Capacitatea acestui material de a absorbi o cantitate importantă din energia vibrațiilor mai ales la trecerea prin zona de rezonanță face posibilă folosirea lor și ca elemente amortizoare.

Alte avantaje ale utilizării cauciucului sunt: elementele elastice ce folosesc cauciucul sunt mai stabile decât arcurile din oțel, au o reziliență mai mare factorul de amortizare este mai mare decât la oțel, transmiterea zgomotului prin aceste elemente este mai mică datorită vitezei de propagare de circa 100 de ori mai mică decât cea prin oțel, modulul de elasticitate este mai mic ceea ce asigură izolarea sistemelor mecanice având pulsații proprii mai mici făcând posibilă evitarea zonelor de lucru de rezonanță.

Dintre dezavantaje se pot enumera: influența negativă a factorilor de mediu și a produselor petroliere asupra proprietăților elastice și de amortizare, influența temperaturii fiind hotărâtoare, dat fiind faptul că aceste elemente se încălzesc foarte puternic la funcționarea în zona de rezonanță, și nu în ultimul rând îmbătrânirea care apare după o durată de 5-20 de ani care duce la scoaterea lor din funcțiune.

Legile corpurilor elastice (Hooke) sau ale lichidelor vâscoase (Newton) arată că la aplicarea unor forțe corespunde o anumită deformare și viteză de deformare, noua stare de echilibru realizându-se instantaneu.

Materialele de tipul cauciucului se comportă ca materiale de tip vâscoelastic pentru care legile de mai sus nu se mai respectă: există un anumit timp de „reacție” sau întârziere între momentul aplicării forței și cel al răspunsului (deformație) care se caracterizează prin trei factori: variația în timp a deformației realizată cu o forță constantă, variația în timp a efortului necesar pentru a menține o deformație constantă (relaxarea forței) și diferența de fază dintre efort și deformație în cazul solicitărilor armonice.

Pentru modelarea acestor tipuri de materiale se folosesc diferite tipuri de modele reologice care au la bază cele două tipuri: Modelul Hooke al elementului elastic liniar și modelul Newton al elementului vâscos liniar ce sunt prezentate în continuare.

În cazul materialelor vâscoelastice se poate scrie o relație diferențială generală între tensiuni și deformații care integrată pentru diferite moduri de încărcare furnizează legea de variație a deformațiilor în timpul aplicării sarcinii și după aceea. Această lege se scrie:

$$a_0\sigma + a_1\dot{\sigma} + a_2\ddot{\sigma} + \dots = b_0\varepsilon + a_1\dot{\varepsilon} + a_2\ddot{\varepsilon} + \dots \quad (1.15.1)$$

### 1.15.1. Modelul elastic liniar Hooke

Pentru acest model în baza legii lui Hooke se poate scrie o relație liniară între tensiunea aplicată și deformația rezultată (fig. 1.15.1):

$$\sigma = E\varepsilon \quad (1.15.2)$$

unde:  $E$  este modulul de elasticitate al materialului

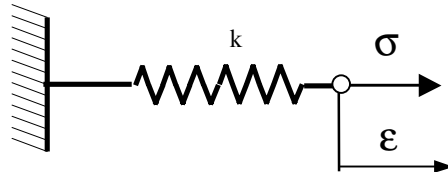


Fig. 1.15.1

### 1.15.2. Modelul vâscos liniar Newton

Pentru acest model în baza legii lui Newton se poate scrie o relație liniară între tensiunea aplicată și viteza de deformație a elementului deformația rezultată (fig. 1.15.2):

$$\sigma = \lambda \dot{\varepsilon} \quad (1.15.3)$$

unde:  $\lambda$  este coeficientul de vâscozitate al mediului

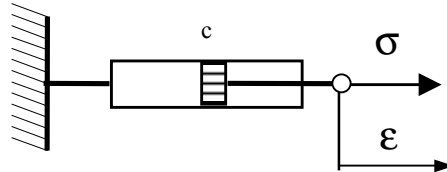


Fig. 1.15.2

### 1.15.3. Modelul vâscoelastic Voigt-Kelvin

Acest model este format dintr-un element elastic liniar Hooke și un element vâscos liniar Newton legate în paralel (fig. 1.15.3).

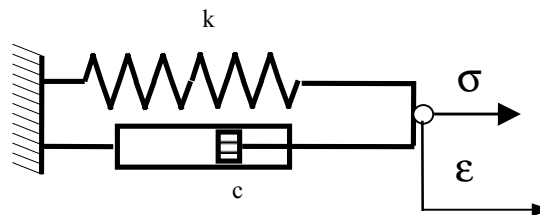


Fig. 1.15.3

Cele două elemente au aceeași deformație  $\varepsilon$  iar tensiunea  $\sigma$  este egală cu suma tensiunilor din cele două elemente, deci între tensiunea aplicată și deformația elementului se poate scrie următoarea relație:

$$\sigma = E\varepsilon + \lambda \dot{\varepsilon} \quad (1.15.4)$$

### 1.15.4. Modelul vâscoelastic Maxwell

Acest model este format dintr-un element elastic liniar Hooke și un element vâscos liniar Newton legate în serie (fig. 1.15.4).

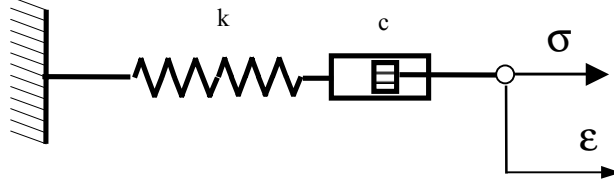


Fig. 1.15.4

Tensiunea  $\sigma$  în cele două elemente este aceeași iar deformația  $\epsilon$  este egală cu suma deformațiilor din cele două elemente:

$$\begin{aligned}\sigma &= \sigma_k = E\epsilon_k \Leftrightarrow \dot{\sigma} = E\dot{\epsilon}_k \\ \sigma &= \sigma_c = \lambda\dot{\epsilon}_c \\ \epsilon &= \epsilon_k + \epsilon_c \Leftrightarrow \dot{\epsilon} = \dot{\epsilon}_k + \dot{\epsilon}_c\end{aligned}\quad (1.15.5)$$

Înlocuind prima și a doua relație în cea de a treia se poate scrie următoarea relație diferențială între tensiunea aplicată și deformația elementului:

$$\dot{\epsilon} = \frac{\dot{\sigma}}{E} + \frac{\sigma}{\lambda} \Leftrightarrow \dot{\sigma} + \frac{E}{\lambda}\sigma = E\dot{\epsilon}\quad (1.15.6)$$

### 1.15.5. Modelul vâscoelastic Hooke-Maxwell

Acest model este format dintr-un element elastic liniar Hooke și un element vâscoelastic Maxwell legate paralel (fig. 1.15.5).

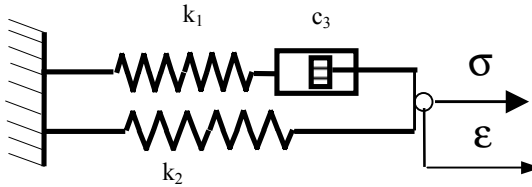


Fig. 1.15.5

Tensiunea  $\sigma$  în cele două elemente ( $k_1$  și  $c_3$ ) este aceeași iar deformația  $\epsilon$  pentru cele două elemente Maxwell este egală cu suma deformațiilor.

Se pot scrie următoarele relații de echilibru și de continuitate pentru elementul Hooke-Maxwell::

$$\begin{aligned}\sigma &= \sigma_1 + \sigma_2; \quad \sigma_{k1} = \sigma_{c3} = \sigma_1; \quad \sigma_{k2} = \sigma_2 \\ \sigma_{k1} &= E_1\epsilon_{k1}; \quad \sigma_{c3} = \lambda\dot{\epsilon}_{c3}; \quad \sigma_{k2} = E_2\epsilon_{k2}; \\ \epsilon &= \epsilon_{k1} + \epsilon_{c3} \Leftrightarrow \dot{\epsilon} = \dot{\epsilon}_{k1} + \dot{\epsilon}_{c3} \\ \epsilon &= \epsilon_{k2}\end{aligned}\quad (1.15.7)$$

Eliminând  $\varepsilon_{k1}, \varepsilon_{c3}, \varepsilon_{k2}$  din relațiile (1.15.7) se obțin următoarele relații diferențiale echivalente :

$$E_1 \varepsilon_{k1} + E_2 \varepsilon = \sigma \quad \Leftrightarrow \quad E_1 \dot{\varepsilon}_{k1} + E_2 \dot{\varepsilon} = \dot{\sigma}$$

$$E_1 \varepsilon_{k1} = \lambda \dot{\varepsilon}_{c3} \quad \Rightarrow \quad \lambda \dot{\varepsilon}_{c3} + E_2 \varepsilon = \sigma \quad \Rightarrow \quad \dot{\varepsilon}_{c3} = -\frac{E_2}{\lambda} \varepsilon + \frac{\sigma}{\lambda} \quad (1.15.8)$$

$$E_1 \dot{\varepsilon}_{k1} + E_2 \dot{\varepsilon} = \dot{\sigma} \quad \Rightarrow \quad E_1 (\dot{\varepsilon} - \dot{\varepsilon}_{c3}) + E_2 \dot{\varepsilon} = \dot{\sigma}$$

Înlocuind a doua relație (1.15.8) în ultima se obține relația diferențială între tensiunea și deformația elementului pentru elementul Hooke-Maxwell:

$$E_2 \varepsilon + \lambda \left( 1 + \frac{E_2}{E_1} \right) \dot{\varepsilon} = \sigma + \frac{\lambda}{E_1} \dot{\sigma} \quad (1.15.9)$$

### 1.15.6. Modelul vâscoelastic liniar generalizat (Voigt-Kelvin- Hooke)

Acest model este format dintr-un element elastic liniar Hooke și un element vâscos liniar Newton legate în paralel (fig. 1.15.6).

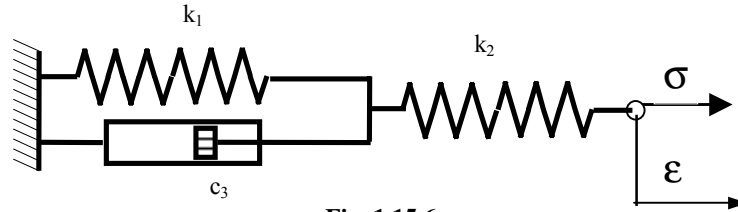


Fig. 1.15.6

Cele două elemente Voigt- Kelvin și Hooke au aceeași tensiune  $\sigma$  iar deformația  $\varepsilon$  este egală cu suma deformațiilor celor două elemente.

Se pot scrie următoarele relații de echilibru și de continuitate pentru elementul Voigt- Kelvin - Hooke :

$$\sigma = \sigma_{k1} + \sigma_{c3} = \sigma_2;$$

$$\sigma_{k1} = E_1 \varepsilon_{k1}; \quad \sigma_{c3} = \lambda \dot{\varepsilon}_{c3}; \quad \sigma_{k2} = E_2 \varepsilon_{k2}; \quad (1.15.10)$$

$$\varepsilon_{k1} = \varepsilon_{c3} \quad \Leftrightarrow \quad \dot{\varepsilon} = \dot{\varepsilon}_{k1} + \dot{\varepsilon}_{c3}$$

$$\varepsilon = \varepsilon_{k1} + \varepsilon_{k2}$$

Eliminând  $\varepsilon_{k1}, \varepsilon_{c3}, \varepsilon_{k2}$  din relațiile (1.15.10) se obțin următoarele relații diferențiale echivalente :

$$\begin{aligned} E_1 \varepsilon_{k1} + \lambda \dot{\varepsilon}_{c3} = \sigma \quad \varepsilon_{k1} + \frac{\sigma}{E_2} = \varepsilon \quad \Rightarrow \quad \varepsilon_{k1} = -\frac{\sigma}{E_2} + \varepsilon \\ \varepsilon_{k1} = \varepsilon_{c3} \quad \Rightarrow \quad \dot{\varepsilon}_{c3} = \dot{\varepsilon}_{k1} = -\frac{\dot{\sigma}}{E_2} + \dot{\varepsilon} \end{aligned} \quad (1.15.11)$$

Înlocuind a doua și a treia relație (1.15.11) în ultima se obține relația diferențială între tensiunea aplicată și deformația elementului pentru elementul Voigt- Kelvin – Hooke:

$$E_1 \varepsilon + \lambda \dot{\varepsilon} = \sigma \left( 1 + \frac{E_1}{E_2} \right) + \frac{\lambda}{E_2} \dot{\sigma} \quad (1.15.12)$$

### 1.15.7. Modelul vâscoelastic Voigt-Kelvin generalizat

Acest model este format din n elemente Voigt Kelvin legate în serie (fig. 1.15.7).

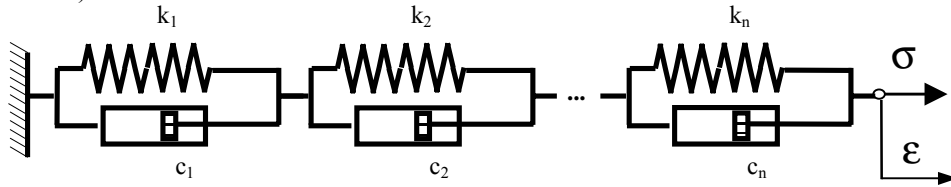


Fig. 1.15.7

Se pot scrie următoarele relații de echilibru și de continuitate pentru elementele Voigt- Kelvin înseriate:

$$\begin{aligned} \sigma_{k1} + \sigma_{c1} &= \sigma; & \sigma_{k1} &= E_1 \varepsilon_1; & \sigma_{c1} &= \lambda_1 \dot{\varepsilon}_1 \\ \sigma_{k2} + \sigma_{c2} &= \sigma; & \sigma_{k2} &= E_2 \varepsilon_2; & \sigma_{c2} &= \lambda_2 \dot{\varepsilon}_2 \\ &\dots & & & & \\ \sigma_{kn} + \sigma_{cn} &= \sigma; & \sigma_{kn} &= E_n \varepsilon_n; & \sigma_{cn} &= \lambda_n \dot{\varepsilon}_n \\ \varepsilon &= \varepsilon_1 + \varepsilon_2 + \varepsilon_3 + \dots + \varepsilon_n \end{aligned} \quad (1.15.13)$$

Eliminând \$\varepsilon\_1, \varepsilon\_2, \varepsilon\_3, \dots\$ din relațiile (1.15.13) se obține următoarea ecuație operațională de stare:

$$\sigma = \left( E_k + \lambda_k \frac{\partial}{\partial t} \right) \varepsilon; \quad \varepsilon = \sum_{k=1}^n \varepsilon_k \quad \Leftrightarrow \quad \varepsilon = \sigma \sum_{k=1}^n \frac{1}{E_k \left( 1 + \frac{\lambda_k}{E_k} \frac{\partial}{\partial t} \right)} \quad (1.15.14)$$

Pentru \$n=2\$ se scriu următoarele relații de echilibru și de continuitate:

$$\begin{aligned} \sigma_{k1} + \sigma_{c1} &= \sigma; & \sigma_{k1} &= E_1 \varepsilon_1; & \sigma_{c1} &= \lambda_1 \dot{\varepsilon}_1 \\ \sigma_{k2} + \sigma_{c2} &= \sigma; & \sigma_{k2} &= E_2 \varepsilon_2; & \sigma_{c2} &= \lambda_2 \dot{\varepsilon}_2 \\ \varepsilon &= \varepsilon_1 + \varepsilon_2 & \Leftrightarrow & \dot{\varepsilon} &= \dot{\varepsilon}_1 + \dot{\varepsilon}_2 \\ \Rightarrow & \begin{cases} E_1 \varepsilon_1 + \lambda_1 \dot{\varepsilon}_1 = \sigma & | 1/E_1 \\ E_2 \varepsilon_2 + \lambda_2 \dot{\varepsilon}_2 = \sigma & | 1/E_2 \end{cases} & \text{insu min d} \\ \Rightarrow & \varepsilon + \left( \frac{\lambda_1}{E_1} \dot{\varepsilon}_1 + \frac{\lambda_2}{E_2} \dot{\varepsilon}_2 \right) = \sigma \left( \frac{1}{E_1} + \frac{1}{E_2} \right) \end{aligned} \quad (1.15.15)$$



Punând condiția suplimentară  $\varepsilon_1 = \varepsilon_2 = \frac{\varepsilon}{2}$  ultima relație (1.15.15) devine:

$$\varepsilon + \frac{\dot{\varepsilon}}{2} \left( \frac{\lambda_1}{E_1} + \frac{\lambda_2}{E_2} \right) = \sigma \left( \frac{1}{E_1} + \frac{1}{E_2} \right) \quad (1.15.16)$$

### 1.15.8. Modelul vâscoelastic Maxwell generalizat

Acest model este format din  $n$  elemente Maxwell legate în paralel (fig. 1.15.8).

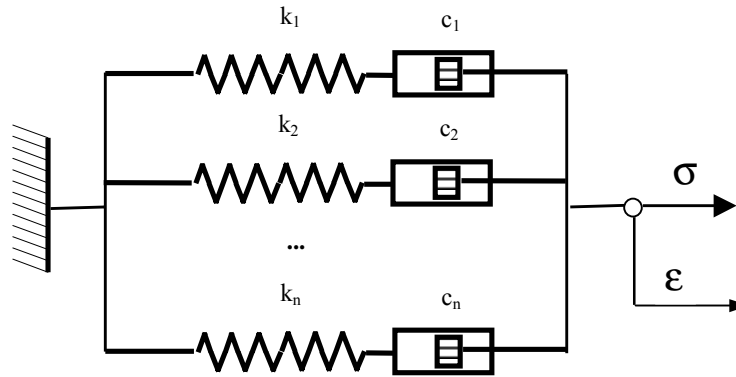


Fig. 1.15.8

Deformația  $\varepsilon$  în cele  $n$  elemente este aceeași iar tensiunea  $\sigma$  este egală cu suma tensiunilor din cele două elemente. Se pot scrie următoarele relații de echilibru și de continuitate pentru elementele Voigt- Kelvin :

$$\begin{aligned} \sigma_{k1} &= \sigma_{c1} = \sigma_1; & \sigma_{k1} &= E_1 \varepsilon_1; & \sigma_{c1} &= \lambda_1 \dot{\varepsilon}_1 \\ \sigma_{k2} + \sigma_{c2} &= \sigma_2; & \sigma_{k2} &= E_2 \varepsilon_2; & \sigma_{c2} &= \lambda_2 \dot{\varepsilon}_2 \\ &... & & & & \\ \sigma_{kn} + \sigma_{cn} &= \sigma; & \sigma_{kn} &= E_n \varepsilon_n; & \sigma_{cn} &= \lambda_n \dot{\varepsilon}_n \\ \sigma &= \sigma_1 + \sigma_2 + \sigma_3 + ... + \sigma_n \\ \varepsilon_1 &= \varepsilon_{1k} + \varepsilon_{1c} \\ \varepsilon_2 &= \varepsilon_{2k} + \varepsilon_{2c} \\ &... & & & & \\ \varepsilon_n &= \varepsilon_{nk} + \varepsilon_{nc} \end{aligned} \quad (1.15.17)$$

Eliminând  $\varepsilon_1, \varepsilon_2, \varepsilon_3, \dots$  din relațiile (1.15.17) se obține următoarea ecuație operațională de stare:

$$\begin{aligned}\dot{\varepsilon}_k &= \frac{\dot{\sigma}_k}{E_k} + \frac{\sigma_k}{\lambda_k} \quad \Leftrightarrow \quad \dot{\varepsilon} = \left( \frac{1}{\lambda_k} + \frac{1}{E_k} \frac{\partial}{\partial t} \right) \sigma_k \\ \Rightarrow \sigma &= \dot{\varepsilon} \sum_{k=1}^n \frac{E_k}{\left( \frac{E_k}{\lambda_k} + \frac{\partial}{\partial t} \right)}\end{aligned}\quad (1.15.18)$$

Pentru  $n=2$  se scriu următoarele relații de echilibru și de continuitate:

$$\begin{aligned}\sigma_{k1} &= \sigma_{c1} = \sigma_1; & \sigma_{k1} &= E_1 \varepsilon_1; & \sigma_{c1} &= \lambda_1 \dot{\varepsilon}_1 \\ \sigma_{k2} + \sigma_{c2} &= \sigma_2; & \sigma_{k2} &= E_2 \varepsilon_2; & \sigma_{c2} &= \lambda_2 \dot{\varepsilon}_2 \\ \varepsilon &= \varepsilon_{1k} + \varepsilon_{1c} \quad \Leftrightarrow \quad \dot{\varepsilon} = \dot{\varepsilon}_{1k} + \dot{\varepsilon}_{1c} \\ \varepsilon &= \varepsilon_{2k} + \varepsilon_{2c} \quad \Leftrightarrow \quad \dot{\varepsilon} = \dot{\varepsilon}_{2k} + \dot{\varepsilon}_{2c} \\ \Rightarrow \begin{cases} \dot{\varepsilon} = \frac{\dot{\sigma}_1}{E_1} + \frac{\sigma_1}{\lambda_1} \\ \dot{\varepsilon} = \frac{\dot{\sigma}_2}{E_2} + \frac{\sigma_2}{\lambda_2} \end{cases} &\Leftrightarrow \begin{cases} E_1 \dot{\varepsilon} = \dot{\sigma}_1 + \frac{E_1}{\lambda_1} \sigma_1 \\ E_2 \dot{\varepsilon} = \dot{\sigma}_2 + \frac{E_2}{\lambda_2} \sigma_2 \end{cases}\end{aligned}\quad (1.15.19)$$

$$\text{Insumand} \Rightarrow \dot{\varepsilon}(E_1 + E_2) = \dot{\sigma} + \left( \frac{E_1}{\lambda_1} \sigma_1 + \frac{E_2}{\lambda_2} \sigma_2 \right)$$

Punând condiția suplimentară  $\sigma_1 = \sigma_2 = \frac{\sigma}{2}$  relația (1.15.15) devine:

$$\dot{\varepsilon}(E_1 + E_2) = \dot{\sigma} + \frac{\sigma}{2} \left( \frac{E_1}{\lambda_1} + \frac{E_2}{\lambda_2} \right) \quad (1.15.20)$$

## 1.16. Impedanța mecanică

În cazul unei mișcări vibratorii cu amortizare vâscoasă ce utilizează modelul Voigt-Kelvin (fig. 1.16.1) ecuația diferențială în complex se scrie:

$$\ddot{z} + \frac{c}{m}\dot{z} + \frac{k}{m}z = \frac{F_0}{m}e^{i\omega t}; \quad z = x + iy \quad (1.16.1)$$

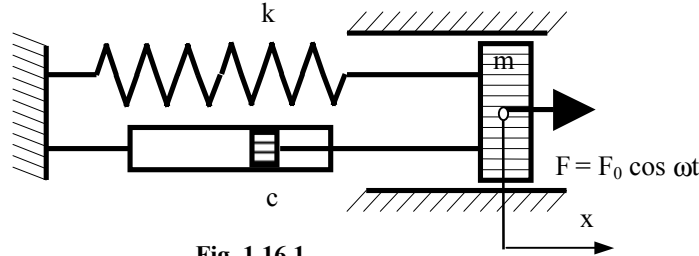


Fig. 1.16.1

Soluția staționară a ecuației (1.16.1) este:

$$z_p = ae^{i(\omega t - \varphi)} = \tilde{A}e^{i\omega t} \quad (1.16.2)$$

Derivând relația (1.16.2) și introducând în ecuația (1.16.1) se obține:

$$\begin{aligned} -\omega^2 \tilde{A}e^{i\omega t} + i\frac{c}{m}\omega \tilde{A}e^{i\omega t} + p^2 \tilde{A}e^{i\omega t} &= \frac{F_0}{m}e^{i\omega t} \\ \Rightarrow \tilde{A} \left( p^2 - \omega^2 + i\frac{c}{m}\omega \right) &= \frac{F_0}{m} \end{aligned} \quad (1.16.3)$$

Se obține astfel *amplitudinea complexă a mișcării*:

$$\tilde{A} = \frac{F_0}{m(p^2 - \omega^2) + ic\omega} = \frac{F_0}{k - m\omega^2 + ic\omega} = \frac{F_0}{K_C} \quad (1.16.4)$$

$$\text{unde: } \tilde{K}_C = k - m\omega^2 + ic\omega \quad (1.16.5)$$

este *constanta elastică complexă*.

Inversa constantei elastice complexe se numește *receptanță complexă*:

$$\frac{1}{\tilde{K}_C} = \frac{F_0}{k - m\omega^2 + ic\omega} \quad (1.16.6)$$

Pentru valoarea forței perturbatoare  $\omega = p = \sqrt{k/m}$  constanta elastică și receptanța complexă sunt pur imaginare:

$$\tilde{K}_C = ic\omega; \quad \frac{1}{\tilde{K}_C} = -\frac{i}{c\omega} \quad (1.16.7)$$

Viteza și accelerația vibrației staționare complexe sunt date de:

$$\dot{z} = \tilde{A}i\omega e^{i\omega t} \quad (1.16.8)$$

$$\ddot{z} = -\tilde{A}\omega^2 e^{i\omega t} \quad (1.16.9)$$

Se notează amplitudinea complexă a vitezei și accelerației respectiv cu:

$$\tilde{\dot{A}} = i\omega\tilde{A} \quad \text{și} \quad \tilde{\ddot{A}} = -\omega^2\tilde{A} \quad (1.16.10)$$

Înlocuind valoarea amplitudinii complexe  $\tilde{A}$  în prima relație (1.16.10) se obține amplitudinea complexă a vitezei:

$$\tilde{\dot{A}} = \frac{i\omega F_0}{k - m\omega^2 + i c \omega} = \frac{F_0}{c + i \left( m\omega - \frac{k}{\omega} \right)} = \frac{F_0}{\tilde{Z}_C} \quad (1.16.11)$$

unde: 
$$\tilde{Z}_C = c + i \left( m\omega - \frac{k}{\omega} \right) = \frac{F_0}{\tilde{\dot{A}}} \quad (1.16.12)$$

este *impedanța mecanică* sau *rezistența complexă* și reprezintă raportul dintre valoarea amplitudinii forței complexe și amplitudinea vitezei complexe a corpului.

Inversa impedanței se numește *mobilitate complexă*:

$$\frac{1}{\tilde{Z}_C} = \frac{1}{c - i \left( \frac{k}{\omega} - \omega m \right)} \quad (1.16.13)$$

Pentru valoarea pulsației forței perturbatoare egală cu pulsația proprie  $\omega = p = \sqrt{\frac{k}{m}}$  impedanța mecanică și mobilitatea complexă sunt reale:

$$\tilde{Z}_C = c; \quad \frac{1}{\tilde{Z}_C} = \frac{1}{c} \quad (1.16.13)$$

Înlocuind valoarea amplitudinii complexe  $\tilde{A}$  în a doua relație (1.16.10) se obține amplitudinea complexă a accelerației:

$$\tilde{\ddot{A}} = -\frac{\omega^2 F_0}{k - m\omega^2 + i c \omega} = \frac{F_0}{\left( m - \frac{k}{\omega^2} \right) - i \frac{c}{\omega}} = \frac{F_0}{\tilde{M}_C} \quad (1.16.14)$$

unde 
$$\tilde{M}_C = \left( m - \frac{k}{\omega^2} \right) - i \frac{c}{\omega} = \frac{F_0}{\tilde{\ddot{A}}} \quad (1.16.15)$$

este *masa complexă* sau *masa aparentă*.

Inversa masei complexe impedanței se numește *inertanță*:

$$\frac{1}{\tilde{M}_C} = \frac{1}{\left( m - \frac{k}{\omega^2} \right) - i \frac{c}{\omega}} \quad (1.16.16)$$

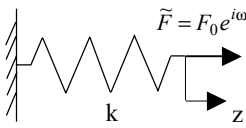
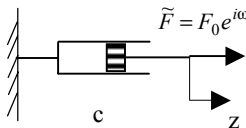
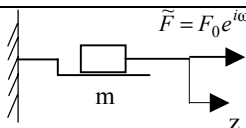
Pentru rezonanță ( $\omega = p = \sqrt{\frac{k}{m}}$ ) *masa complexă* respectiv *inertanța* sunt mărimi pur complexe:

$$\tilde{M}_C = -i \frac{c}{\omega}; \quad \frac{1}{\tilde{M}_C} = i \frac{\omega}{c} \quad (1.16.16)$$

*Impedanța mecanică* respectiv *mobilitatea complexă* sunt mărimile cele mai utilizate în studiul vibrațiilor sistemelor mecanice.

Pentru sistemul din figura 1.16.1 se poate defini o impedanță a amortizorului:  $\tilde{Z}_C^c = c$ , o impedanță a elementului elastic:  $\tilde{Z}_C^k = -i \frac{k}{\omega}$  și respectiv o impedanță a corpului:  $\tilde{Z}_C^m = i\omega m$  așa cum rezultă din tabelul 1.16

Tabelul 1.16

Element	Ecuția de echilibru dinamic în complex	Viteza în complex	Impedanța
	$kz = F_0 e^{i\omega t}$ $k\dot{z} = i\omega F_0 e^{i\omega t}$	$\dot{z} = \frac{i\omega}{k} F_0 e^{i\omega t}$	$\tilde{Z}_C^k = \frac{F_0 e^{i\omega t}}{\dot{z}} = \frac{k}{i\omega} = -i \frac{k}{\omega}$
	$c\dot{z} = F_0 e^{i\omega t}$	$\dot{z} = \frac{1}{c} F_0 e^{i\omega t}$	$\tilde{Z}_C^c = \frac{F_0 e^{i\omega t}}{\dot{z}} = c$
	$m\ddot{z} = F_0 e^{i\omega t}$	$\dot{z} = \frac{1}{i\omega m} F_0 e^{i\omega t}$	$\tilde{Z}_C^m = \frac{F_0 e^{i\omega t}}{\dot{z}} = i\omega m$

În cazul unui sistem cu amortizare elastovâscoasă ce utilizează modelul Voigt-Kelvin prezentat în figura 1.16.1, schema impedanțelor este dată în fig.1.16.2, cele trei impedanțe fiind legate în paralel.

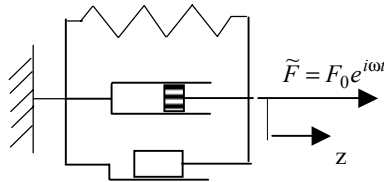


Fig. 1.16.2

În acest caz deplasările capetelor celor trei elemente sunt aceleași iar forța armonică este în echilibru dinamic cu cele trei forțe:

$$z_k = z_c = z_m \Leftrightarrow \dot{z}_k = \dot{z}_c = \dot{z}_m$$

$$F_0 e^{i\omega t} = \tilde{F}_k + \tilde{F}_c + \tilde{F}_m \Leftrightarrow \tilde{Z}_C \dot{z} = \tilde{Z}_C^k \dot{z}_k + \tilde{Z}_C^c \dot{z}_c + \tilde{Z}_C^m \dot{z}_m \quad (1.16.17)$$

În cazul legării în paralel impedanța sistemului se calculează astfel:

$$\tilde{Z}_C = \tilde{Z}_C^c + \tilde{Z}_C^k + \tilde{Z}_C^m = c + i\left(\omega m - \frac{k}{\omega}\right); \quad \tilde{F} = F_0 e^{i\omega t} \quad (1.16.18)$$

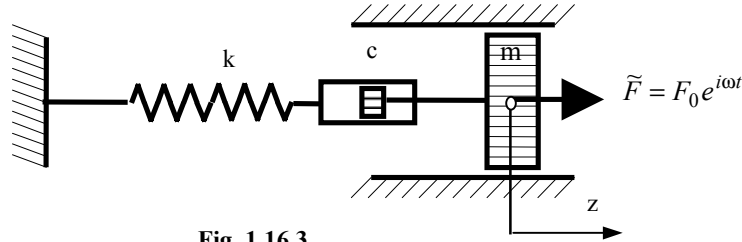


Fig. 1.16.3

Pentru sistemul cu amortizare elastovâscoasă ce utilizează modelul Maxwell prezentat în figura 1.16.3, schema impedențelor este dată în fig.1.16.2, cele trei impedențe fiind legate în paralel.

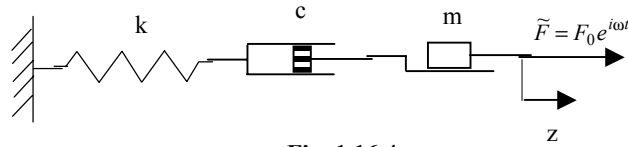


Fig. 1.16.4

În acest caz deplasarea punctului de aplicație al forței armonice este egală cu suma deplasărilor capetelor celor trei elemente iar forța armonică este aceeași în cele trei elemente:

$$z = z_k + z_c + z_m \Leftrightarrow \dot{z} = \dot{z}_k + \dot{z}_c + \dot{z}_m$$

$$\frac{F_0 e^{i\omega t}}{\tilde{Z}_C} = \frac{F_0 e^{i\omega t}}{\tilde{Z}_C^k} + \frac{F_0 e^{i\omega t}}{\tilde{Z}_C^c} + \frac{F_0 e^{i\omega t}}{\tilde{Z}_C^m} \quad (1.16.19)$$

În cazul legării în serie impedența sistemului se scrie:

$$\frac{1}{\tilde{Z}_C} = \frac{1}{\tilde{Z}_C^k} + \frac{1}{\tilde{Z}_C^c} + \frac{1}{\tilde{Z}_C^m} = i\left(\frac{\omega}{k} - \frac{1}{m\omega}\right) + \frac{1}{c} \quad (1.16.20)$$

Pentru sistemul cu amortizare elastovâscoasă ce utilizează modelul prezentat în figura 1.16.5, masa și amortizorul sunt legate în paralel (au aceeași viteză), ambele fiind legate în serie cu arcul.

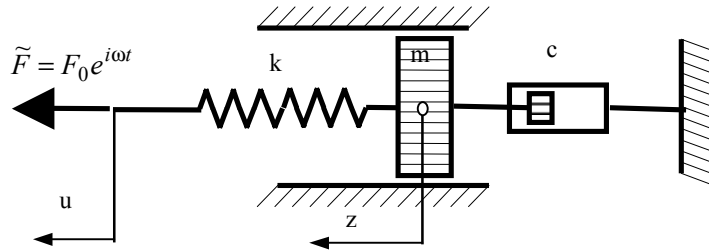


Fig. 1.16.5

Schema impedențelor este dată în fig.1.16.6.

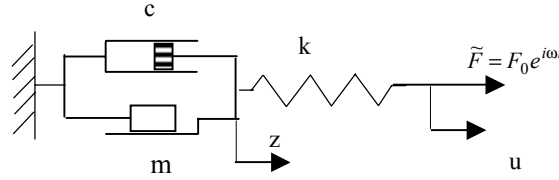


Fig. 1.16.6

Deci impedanța se calculează conform relației:

$$\begin{aligned} \frac{1}{\tilde{Z}_C} &= \frac{1}{\tilde{Z}_C^k} + \frac{1}{\tilde{Z}_C^c + \tilde{Z}_C^m} = i \frac{\omega}{k} + \frac{1}{c + i m \omega} \\ \Rightarrow \frac{1}{\tilde{Z}_C} &= \frac{k - m \omega^2 + i \omega c}{k(c + i m \omega)} \end{aligned} \quad (1.16.21)$$

Pentru verificare nse va calcula impedanța sistemului ca raportul dintre forța complexă  $\tilde{F}$  și viteza complexă  $\dot{u}$  a capătului din stânga al arcului:

$$\tilde{Z}_C = \frac{\tilde{F}}{\dot{u}} \quad (1.16.22)$$

unde:  $\tilde{F} = k(u - z)$  este forța complexă care acționează în elementul elastic

Ecuția diferențială a mișcării în complex se scrie:

$$m\ddot{z} + c\dot{z} = -k(z - u) \Leftrightarrow k(u - z) = m\ddot{z} + c\dot{z} \quad (1.16.23)$$

unde:  $\dot{u} = i\omega u$  (1.16.24)

este viteza complexă a capătului din stânga al arcului

$z = \tilde{A}e^{i\omega t}$ ,  $\dot{z} = \tilde{A}i\omega e^{i\omega t}$  este deplasarea respectiv viteza în complex a corpului

Pentru a obține forța complexă se înlocuiește în relația (1.16.23)  $\ddot{z} = i\omega \dot{z}$  și se obține:

$$\tilde{F} = k(u - z) = \dot{z}(i\omega m + c) \quad (1.16.25)$$

Ținând seama că:  $k(\dot{u} - \dot{z}) = i\omega k(u - z)$  se obține: (1.16.26)

$$k(\dot{u} - \dot{z}) = i\omega \dot{z}(i\omega m + c) \Rightarrow \dot{u} = \frac{\dot{z}}{k}(k - m\omega^2 + i\omega c) \quad (1.16.27)$$

Înlocuind expresia forței complexe:  $\tilde{F} = k(u - z) = \dot{z}(i\omega m + c)$  și a vitezei complexe (1.16.27) în relația (1.16.22) se obține aceeași relație (1.16.21):

$$\tilde{Z}_C = \frac{\tilde{F}}{\dot{u}} = \frac{\dot{z}(c + i\omega m)}{\frac{\dot{z}}{k}(k - m\omega^2 + i\omega c)} = \frac{k(c + i\omega m)}{k - m\omega^2 + i\omega c} \quad (1.16.28)$$

Impedanța mecanică calculată astfel se mai numește *impedanță locală* întrucât exprimă raportul celor două mărimi (amplitudinile forței și vitezei complexe) măsurate în același punct .

Atunci cele două mărimi (forța și viteza) se măsoară în puncte diferite, raportul celor două mărimi se numește *impedanță de transfer*.

Pentru exemplul din figura (1.16.5) se determină impedanța de transfer între punctele situate la capetele arcului cu ajutorul relației:

$$\tilde{Z}_C^{tr} = \frac{\tilde{F}}{\dot{z}} = \frac{\dot{z}(c + im\omega)}{\dot{z}} = c + im\omega \quad (1.16.29)$$

Pentru sistemul cu amortizare elastovâscoasă ce utilizează două modele Voigt-Kelvin prezentat în figura 1.16.7, format din masa  $m_1$ , arcul 1 ( $k_1$ ) și amortizorul 1 ( $c_1$ ) sunt legate în paralel (au aceeași viteză), fiind apoi fiind legate în serie cu arcul 2 ( $k_2$ ) și amortizorul 2 ( $c_2$ ) legate între ele în paralel. Schema impedanțelor este dată în fig.1.16.8. Impedanța se calculează conform relației:

$$\begin{aligned} \frac{1}{\tilde{Z}_C} &= \frac{\dot{u}}{\tilde{F}} = \frac{1}{\tilde{Z}_C^{k1} + \tilde{Z}_C^{c1} + \tilde{Z}_C^{m1}} + \frac{1}{\tilde{Z}_C^{c2} + \tilde{Z}_C^{k2}} \\ \frac{1}{\tilde{Z}_C} &= \frac{\dot{u}}{\tilde{F}} = \frac{1}{c_1 + i\left(m_1\omega - \frac{k_1}{\omega}\right)} + \frac{1}{c_2 - i\frac{k_2}{\omega}} \end{aligned} \quad (1.16.30)$$

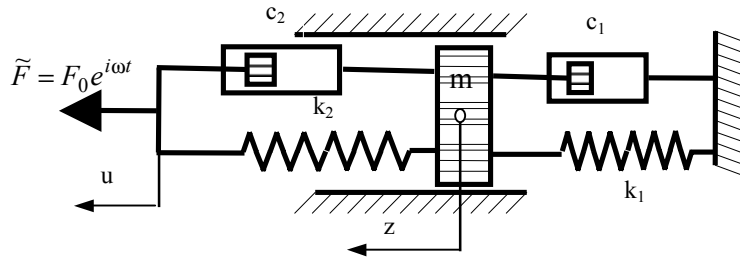


Fig. 1.16.7

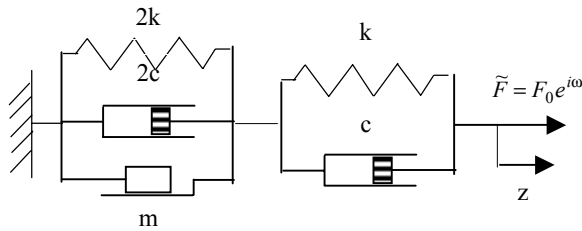


Fig. 1.16.8

*Impedanța de transfer* între punctele situate la capetele arcului  $k_2$  și amortizorului  $c_2$  se deteremină astfel:

$$\tilde{Z}_C^{tr} = \frac{\tilde{F}}{\dot{z}} = c_2 - i\frac{k_2}{\omega} \quad (1.16.31)$$



Pentru sistemul vâcoelsatic Hooke Maxwell format dintr-un corp de masă  $m$  (fig. 1.16.9) legat de fundație cu un arc având constanta elastică  $k$  și un element elastovâscos Maxwell format dintr-un amortizor  $c$  legat în serie cu un element elastic  $k_1$ , schema impedanțelor este dată în fig.1.16.10

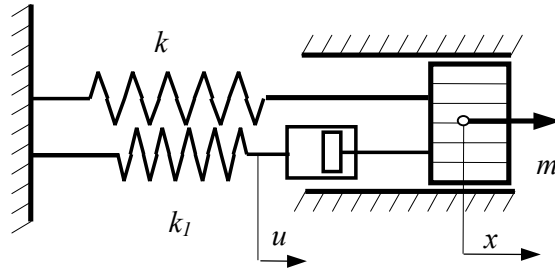


Fig.1.16.9

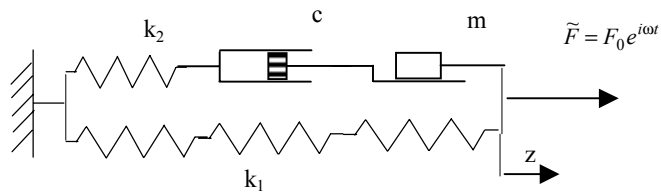


Fig. 1.16.10

Impedanța se calculează conform relației:

$$\begin{aligned}\tilde{Z}_C &= \tilde{Z}_C^{k1} + \frac{1}{\frac{1}{\tilde{Z}_C^{k2}} + \frac{1}{\tilde{Z}_C^c} + \frac{1}{\tilde{Z}_C^m}} \\ \tilde{Z}_C &= -i \frac{k_1}{\omega} + \frac{1}{\frac{1}{c} + i \left( \frac{\omega}{k_2} - \frac{1}{m\omega} \right)}\end{aligned}\tag{1.16.32}$$

## 1.17. Aplicații

### 1.17.1. Turația critică a arborilor drepecți

Vibrațiile flexionale ale arborilor sunt rezultatul unor forțe de inerție datorate excentricităților maselor aflate în mișcare de rotație. Pentru o anumită turație a arborelui (numită turație critică) se produce fenomenul de rezonanță. În general (în afara zonei de rezonanță) amplitudinea vibrațiilor depinde de modul de rezemare, de caracteristicile geometrice ale secțiunii, de caracteristicile elastice ale materialului și de turația arborelui.

Modelul matematic utilizat este un arbore de secțiune circulară constantă ( $D$ ) pe lungimea lui rezemat la capete pe care este montat un volant de masă  $m$  având excentricitatea  $d$  față de axa arborelui. Sub acțiunea forțelor de inerție și a forțelor elastice se obține schema de încărcare din figura 1.17.1.

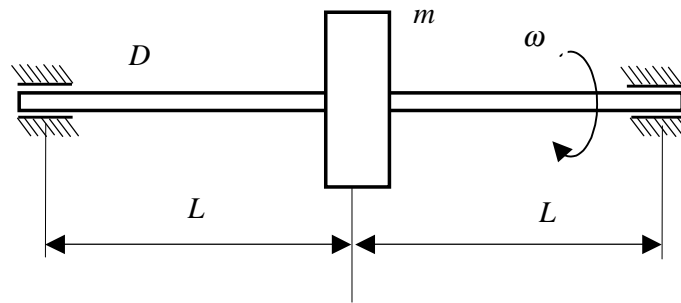


Fig. 1.17.1

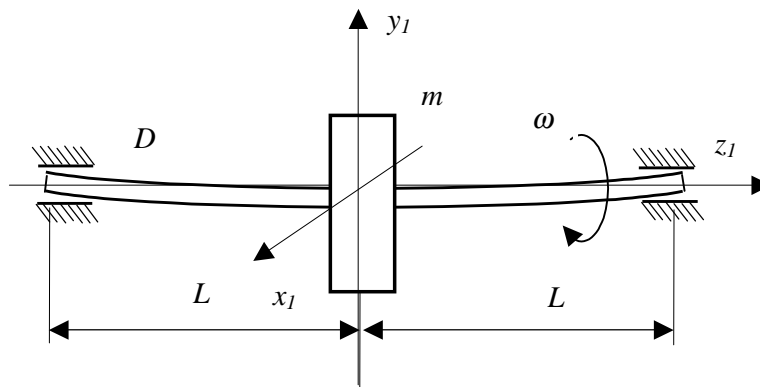
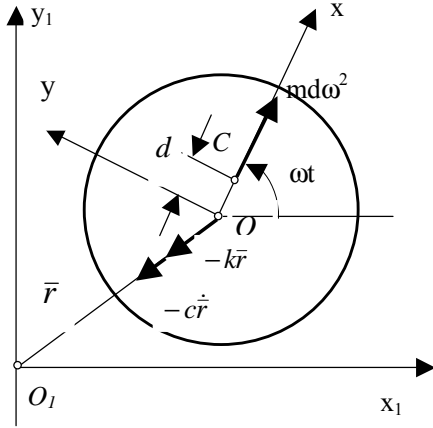


Fig. 1.17.2

Se alege sistemul de referință fix  $O_1x_1y_1$  cu originea situată pe direcția axei lagărelor și sistemul de referință mobil  $Oxy$  legat de volant având originea  $O$  pe axa volantului și axa  $Ox$  trecând prin centrul de greutate  $C$  al volantului:  $OC=d$



Considerând că asupra volantului acționează și forțe de amortizare vâscoase, ecuația vectorială a mișcării centrului de greutate al volantului față de sistemul de referință fix  $O_1x_1y_1$  se scrie:

$$m\ddot{\bar{r}}_C = -c\dot{\bar{r}} - k\bar{r} \quad (1.17.1)$$

unde vectorul de poziție al centrului de greutate se scrie (fig. 1.17.3):

$$\bar{r}_C = \bar{r} + \overline{OC} \quad (1.17.2)$$

Relația vectorială (1.17.2) se scrie în proiecții pe axele sistemului fix  $O_1x_1y_1$  astfel:

Fig. 1.17.3

$$\begin{cases} x_C = x + d \cos \omega t \\ y_C = y + d \sin \omega t \end{cases} \Rightarrow \begin{cases} \ddot{x}_C = \ddot{x} - \omega^2 d \cos \omega t \\ \ddot{y}_C = \ddot{y} - \omega^2 d \sin \omega t \end{cases} \quad (1.17.3)$$

Ținând seama de (1.17.3) ecuația vectorială (1.17.1) se scrie în proiecții pe axele sistemului  $Oxy$  astfel:

$$\begin{cases} m\ddot{x} + c\dot{x} + kx = m\omega^2 d \cos \omega t \\ m\ddot{y} + c\dot{y} + ky = m\omega^2 d \sin \omega t \end{cases} \quad (1.17.4)$$

Cele două ecuații reprezintă partea reală și imaginară a ecuației diferențiale în complex:

$$m\ddot{z} + c\dot{z} + kz = m\omega^2 d e^{i\omega t} \quad (1.17.5)$$

Această ecuație admite soluția staționară de forma:

$$\begin{aligned} z &= \tilde{a}(\cos(\omega t - \varphi) + i \sin(\omega t - \varphi)) = \tilde{a}e^{i(\omega t - \varphi)} \\ \dot{z} &= i\omega \tilde{a}e^{i(\omega t - \varphi)} = i\omega z \end{aligned} \quad (1.17.6)$$

$$\ddot{z} = -\omega^2 \tilde{a}e^{i(\omega t - \varphi)} = -\omega^2 z$$

Înlocuind în ecuația diferențială (1.17.5) se obține:

$$\begin{aligned} (-m\omega^2 + ic\omega + k)\tilde{a}e^{i\omega t - i\varphi} &= m\omega^2 d e^{i\omega t} \\ (-m\omega^2 + ic\omega + k)\tilde{a} &= m\omega^2 d e^{i\varphi} \end{aligned} \quad (1.17.7)$$

$$\Rightarrow \tilde{a} = \frac{m\omega^2 d e^{i\varphi}}{k - m\omega^2 + ic\omega}$$

rezultă amplitudinea reală a mișcării:

$$a = |\tilde{a}| = \frac{m d \omega^2}{\sqrt{(k - m \omega^2)^2 + (c \omega)^2}} = \frac{d \omega^2}{\sqrt{\left(\frac{k}{m} - \omega^2\right)^2 + \left(\frac{c \omega}{m}\right)^2}} \quad (1.17.8)$$

$$\text{Notând: } \frac{k}{m} = p^2; \quad \frac{c \omega}{m} = 2\zeta\eta; \quad \frac{\omega}{p} = \eta \quad (1.17.9)$$

Se obține amplitudinea reală a mișcării  $a$  sub forma raportului:

$$\frac{a}{d} = \frac{\eta^2}{\sqrt{(1 - \eta^2)^2 + (2\zeta\eta)^2}} \quad (1.17.10)$$

Vibrațiile staționare după cele două direcții se scriu:

$$x = a \cdot \cos(\omega t - \varphi) = \frac{\eta^2}{\sqrt{(1 - \eta^2)^2 + (2\zeta\eta)^2}} d \cos(\omega t - \varphi) \quad (1.17.11)$$

$$y = a \cdot \sin(\omega t - \varphi) = \frac{\eta^2}{\sqrt{(1 - \eta^2)^2 + (2\zeta\eta)^2}} d \sin(\omega t - \varphi)$$

unde:

$$\operatorname{tg} \varphi = \frac{c \omega}{m(p^2 - \omega^2)} = \frac{2\zeta\eta}{1 - \eta^2} \quad (1.17.12)$$

Punctul O descrie un cerc cu centrul în  $O_1$  de rază  $a$  deoarece avem:

$$\begin{cases} x = a \cos(\omega t - \varphi) \\ y = a \sin(\omega t - \varphi) \end{cases} \Leftrightarrow x^2 + y^2 = a^2 \quad (1.17.13)$$

Conform relațiilor (1.17.3) punctul C este de coordonate:

$$\begin{cases} x_C = x + d \cos \omega t = \frac{\eta^2}{\sqrt{(1 - \eta^2)^2 + (2\zeta\eta)^2}} d \cos(\omega t - \varphi) + d \cos \omega t \\ y_C = y + d \sin \omega t = \frac{\eta^2}{\sqrt{(1 - \eta^2)^2 + (2\zeta\eta)^2}} d \sin(\omega t - \varphi) + d \sin \omega t \end{cases} \quad (1.17.14)$$

deci distanța  $R = O_1 C$  se scrie:

$$R = \sqrt{x_C^2 + y_C^2} = d \sqrt{\frac{\eta^4}{(1 - \eta^2)^2 + (2\zeta\eta)^2} + 1 + \frac{2\eta^2 \cos \varphi}{\sqrt{(1 - \eta^2)^2 + (2\zeta\eta)^2}}} \quad (1.17.15)$$

Înlocuind în relația (1.17.14) expresia:

$$\cos \varphi = \frac{1 - \eta^2}{\sqrt{(1 - \eta^2)^2 + (2\zeta\eta)^2}} \quad (1.17.16)$$

se obține raza  $R$  corespunzătoare punctului C sub forma raportului:

$$\frac{R}{d} = \sqrt{\frac{1 + (2\zeta\eta)^2}{(1 - \eta^2)^2 + (2\zeta\eta)^2}} \quad (1.17.17)$$

Se observă că această distanță este constantă în timp, deci punctul C descrie tot timpul un cerc de rază  $R$ . Dacă se egalează cele două raze  $a$  și  $R$  se obține valoarea pulsației relative  $\eta_0$ :

$$\eta^4 = 1 + (2\zeta\eta)^2 \Leftrightarrow \eta^4 - 4\zeta^2\eta^2 - 1 = 0 \Rightarrow \eta_0 = \sqrt{2\zeta^2 + \sqrt{4\zeta^4 + 1}} \quad (1.17.18)$$

În figura 1.17.4 s-au reprezentat funcțiile  $a(\eta)/d$  și  $R(\eta)/d$  pentru un factor de amortizare  $\zeta=0,1$ . Pentru  $\eta < \eta_0$  se obține  $a < R$ ,  $\eta = \eta_0 \Rightarrow a = R$  și pentru  $\eta > \eta_0$  se obține  $a > R$ .

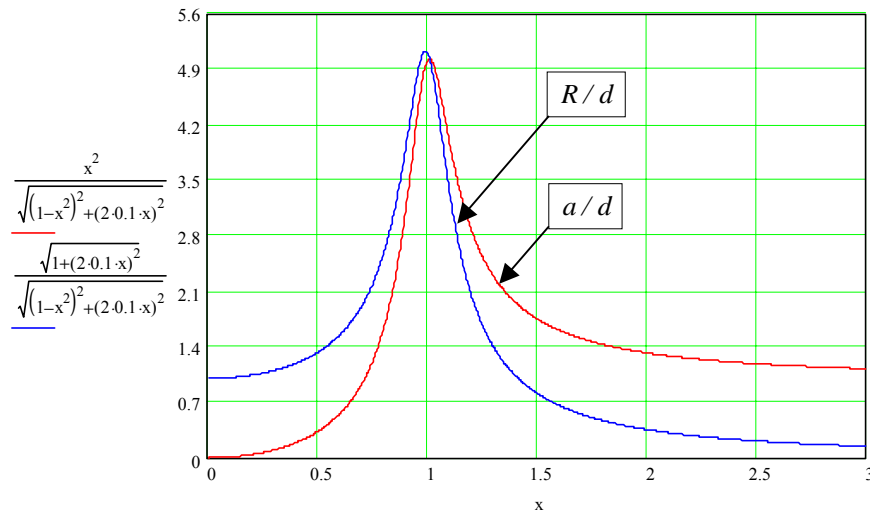


Fig. 1.17.4. Reprezentarea razelor  $a/d$  și  $R/d$  funcție de pulsația relativă  $\eta$  ( $\zeta=0,1$ )

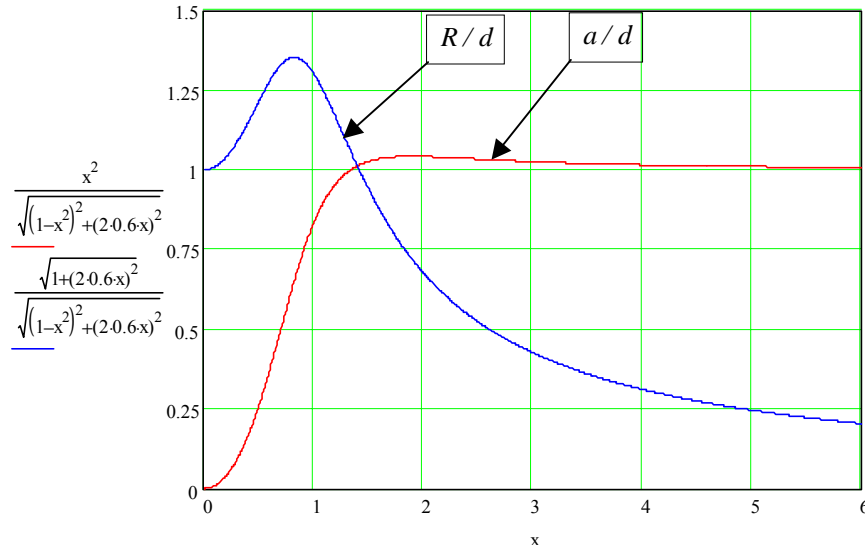
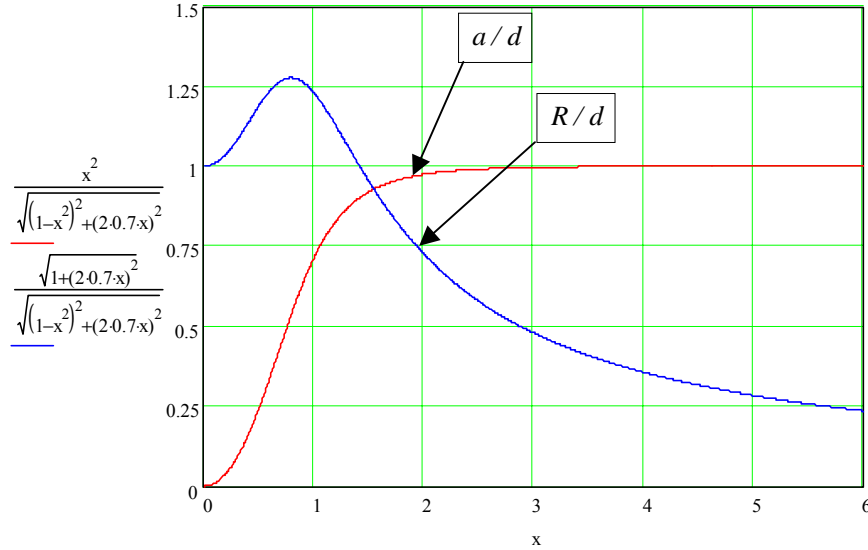


Fig. 1.17.5. Reprezentarea razelor  $a/d$  și  $R/d$  funcție de pulsația relativă  $\eta$  ( $\zeta=0,6$ )

Fig. 1.17.6. Reprezentarea razelor  $a/d$  și  $R/d$  funcție de pulsația relativă  $\eta$  ( $\zeta=0,7$ )

În figurile 1.17.5 și 1.17.6 s-au reprezentat funcțiile  $a(\eta)/d$  și  $R(\eta)/d$  pentru două valori ale factorului de amortizare:  $\zeta=0,6$  și  $\zeta=0,7$

Dacă se anulează derivata expresiei (1.17.17) la pătrat se obține valoarea pulsației relative  $\eta_1$  pentru care raza  $R$  este maximă:

$$\frac{\partial}{\partial \eta} \left( \frac{1 + (2\zeta\eta)^2}{(1 - \eta^2)^2 + (2\zeta\eta)^2} \right) = \frac{-4\eta(4\zeta^2\eta^4 + \eta^2 - 1)}{[1 - \eta^2]^2 + (2\zeta\eta)^2} = 0 \quad (1.17.19)$$

$$\Rightarrow \eta_1 = \sqrt{\frac{\sqrt{16\zeta^2 + 1} - 1}{8\zeta^2}}$$

Dacă se anulează derivata expresiei (1.17.10) la pătrat se obține valoarea pulsației relative  $\eta_2$  pentru care raza  $a$  este maximă:

$$\frac{\partial}{\partial \eta} \left( \frac{\eta^4}{(1 - \eta^2)^2 + (2\zeta\eta)^2} \right) = \frac{4\eta^3(1 - \eta^2(1 - 2\zeta^2))}{[1 - \eta^2]^2 + (2\zeta\eta)^2} = 0 \quad (1.17.20)$$

$$\Rightarrow \eta_2 = \frac{1}{\sqrt{1 - 2\zeta^2}}$$

În figura 1.17.7 sunt reprezentate cele trei funcții  $\eta_0$ ,  $\eta_1$  și  $\eta_2$  date de relațiile (1.17.18), (1.17.19) și (1.17.20) iar în figura 1.17.8 unghiul de fază  $\varphi$  care reprezintă tocmai unghiul dintre  $O_1O$  și  $OC$  (fig. 1.17.2).

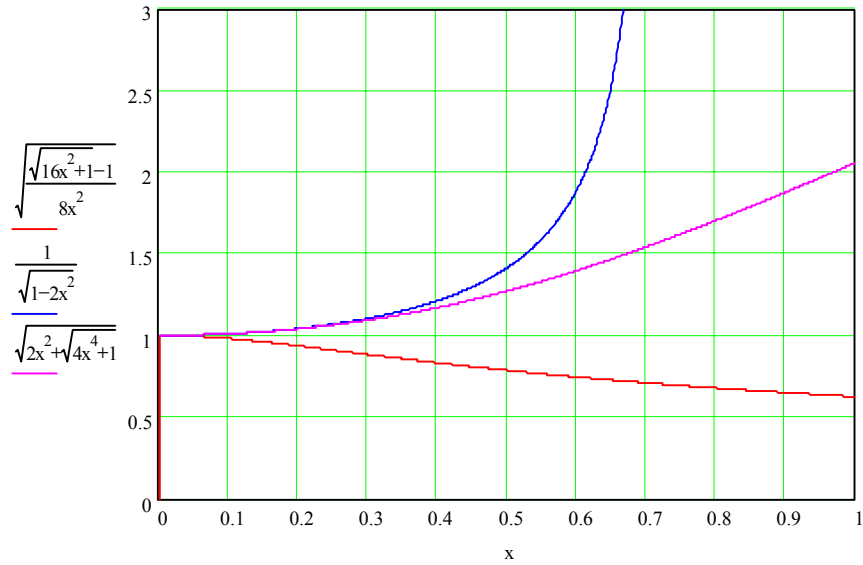


Fig. 1.17.7. Diagramele de variație ale pulsațiilor relative caracteristice  $\eta_0$ ,  $\eta_1$ ,  $\eta_2$  funcție de factorul de amortizare  $\zeta$

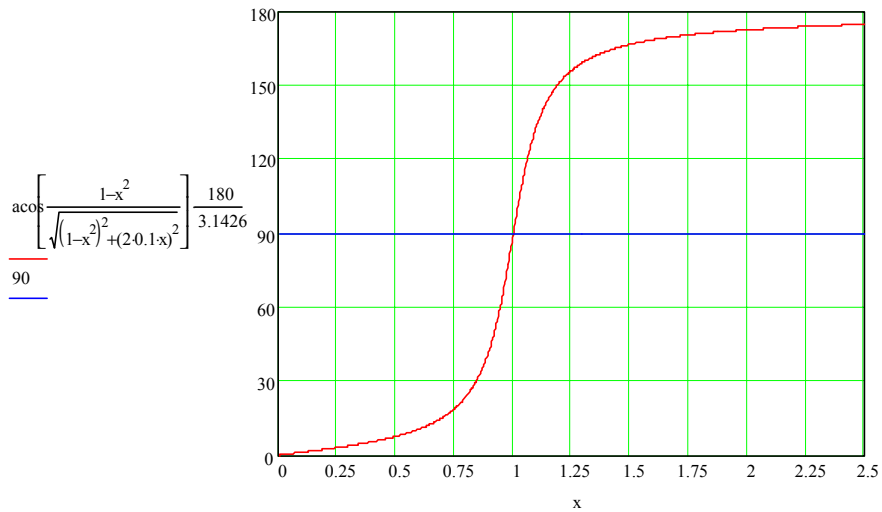


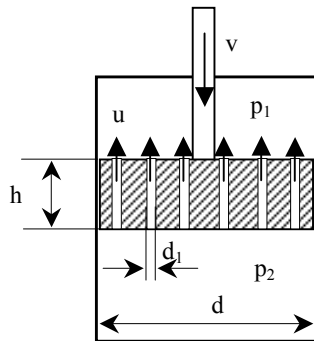
Fig. 1.17.8. Diagrama de variație a defajajului  $\varphi$  funcție de pulsația relativă pentru un factor de amortizare  $\zeta=0,1$

**Concluzii**

- Valoarea celor două raze  $a(\eta)$  și  $R(\eta)$  reprezintă amplitudinea vibrațiilor punctului O situat pe axa arborelui respectiv a centrului de greutate al volantului; acestea depind de turația arborelui (prin pulsația relativă  $\eta$ ) și de factorul de amortizare  $\zeta$ .
  - Maximul celor două raze  $a(\eta)$  și  $R(\eta)$  se obține mai întâi pentru raza R la o pulsație relativă  $\eta_1$  apoi pentru raza a la o pulsație relativă  $\eta_2$ , pulsații care sunt cu atât mai apropiate cu cât factorul de amortizare este mai mic (fig. 1.17.3, 1.17.4, 1.17.5) și (fig. 1.17.7)
  - Pentru valori ale factorului de amortizare ce rezultă din condiția de existență a funcției dată de relația:  $1 - 2\zeta^2 > 0 \Rightarrow \zeta < \frac{\sqrt{2}}{2}$ , raza  $a(\eta)$  admite maxim.
- Pentru  $\zeta > 0,707$  are variația din figura 1.17.6.
- Pentru valori mici ale factorului de amortizare cele două valori ale pulsației relative sunt foarte apropiate și de asemenea valorile maxime ale celor două raze  $a(\eta)$  și  $R(\eta)$  sunt apropiate și ating valori foarte mari ce corespund valorii de rezonanță ( $\eta=1$ ) (fig. 1.17.4);
  - Pentru valori mai mari ale factorului de amortizare (dar mai mici decât 0.7) valorile maxime ale razei  $R(\eta)$  și  $a(\eta)$  scad destul de mult și pulsațiile relative corespunzătoare acestor valori sunt mai depărtate (fig. 1.17.5, 1.17.7);
  - Pentru un regim anterezonant ( $\eta < 1$ ), unghiul de fază  $\phi$  este mai mic de  $90^\circ$ , pentru un regim rezonant ( $\eta=1$ ) unghiul de fază este  $90^\circ$  iar pentru un regim postrezonant unghiul de fază  $\phi$  este mai mare de  $90^\circ$  (fig. 7). Aceasta înseamnă că punctul C se află în interiorul cercului de rază a, adică se produce fenomenul de autocentrare. Acest fapt se observă și din modul de variație al razei R din figurile 1.17.4, 1.17.5 și 1.17.6.

**1.17.2. Amortizorul hidraulic liniar cu piston**

Este format dintr-un cilindru de diametru interior  $d$  în interiorul căruia se deplasează un piston de înălțime  $h$  cu o serie de orificii cilindrice (unde  $N$  este numărul de orificii) având diametrul interior  $d_i$ .



Acest cilindru este umplut cu ulei având vâscozitatea cinematică  $\eta$  și densitatea  $\rho$  și etanșat față de exterior și față de pistonul interior (fig. 1.17.9). Se determină forța rezistentă  $F_R$  opusă de elementul hidraulic

Prin deplasarea pistonului în jos cu viteza  $v$  uleiul curge prin orificiile cilindrice cu viteză medie  $u$ . Această viteză se determină din condiția curgerii unui fluid incompresibil:

Fig. 1.17.9.



$$N \cdot u \frac{\pi d_1^2}{4} = v \frac{\pi d^2}{4} \Rightarrow u = \frac{1}{N} \left( \frac{d}{d_1} \right)^2 v \quad (1.17.21)$$

Forța rezistentă opusă de elementul hidraulic este proporțională cu diferența de presiune care ia naștere între cele două camere ale pistonului și cu aria suprafeței bazei cilindrului:

$$R = \Delta p \frac{\pi d^2}{4} \quad (1.17.22)$$

Căderea de presiune  $\Delta p$  este proporțională cu lungimea orificiilor, pătratul vitezei de curgere a uleiului prin orificii și un coeficient de pierderi  $f$ :

$$\Delta p = \rho \frac{h}{d_1} \frac{u^2}{2} f; \quad f = \frac{64}{ud_1} \frac{\eta}{\rho} \quad (1.17.23)$$

$$\Rightarrow \Delta p = \frac{32h}{Nd_1^2} \eta \left( \frac{d}{d_1} \right)^2 v$$

Înlocuind în relația (1.17.22) rezultă forța rezistentă din amortizor:

$$F_R = \frac{8\pi}{N} h \eta \left( \frac{d}{d_1} \right)^4 v \quad (1.17.24)$$

Coeficientul de amortizare se determină în funcție de datele problemei:

$$c = \frac{R}{v} = \frac{8\pi}{N} h \eta \left( \frac{d}{d_1} \right)^4 \quad (1.17.25)$$

### 1.17.3. Amortizorul hidraulic unghiular

Amortizorul hidraulic unghiular este format dintr-un cilindru de diametru exterior  $d(2r)$  și lungime  $L$  care se rotește în interiorul unei carcase fixe cilindrice, între cele două piese fiind introdus un film de ulei de grosime constantă  $e$  ca în figura 1.17.10. Uleiul hidraulic etanșat față de exterior are vâscozitatea cinematică  $\eta$  și densitatea  $\rho$ . Se determină cuplul rezistent opusă de elementul hidraulic la rotirea cu viteza unghiulară  $\dot{\theta}$ .

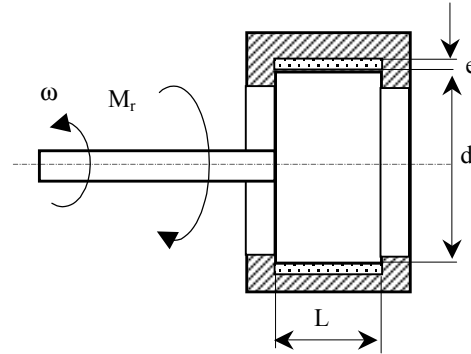


Fig. 1.17.10

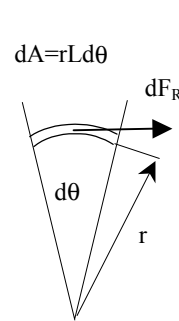


Fig. 1.17.11

Prin rotirea cilindrului cu viteza unghiulară  $\omega$  în pelicula de ulei ia naștere o forță rezistentă direct proporțională cu suprafața și viteza relativă a celor două suprafețe și invers proporțională cu grosimea peliculei de ulei (fig. 1.17.11):

$$dF_R = -\frac{\eta dA}{e} v = -\frac{\eta r L d\theta}{e} r \dot{\theta} \quad (1.17.26)$$

Ținând seama de relația (1.17.26) cuplul rezistent care ia naștere datorită frecării vâscoase se poate scrie:

$$M_R = \int r dF_R = - \int_0^{2\pi} \frac{\eta r^3 L}{e} \dot{\theta} d\theta = -\frac{\eta r^3 L}{e} \dot{\theta} \int_0^{2\pi} d\theta = -\frac{2\pi \eta r^3 L}{e} \dot{\theta} \quad (1.17.27)$$

Coeficientul de amortizare se determină imediat funcție de datele problemei:

$$c_t = \frac{2\pi \eta r^3 L}{e} \quad (1.17.28)$$

### 1.18. Probleme propuse

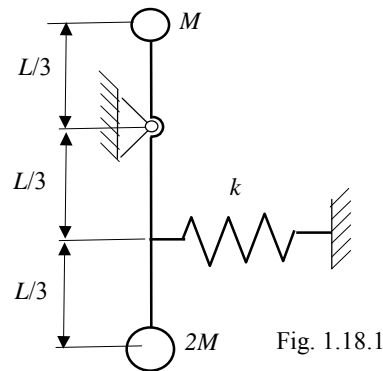


Fig. 1.18.1

**1.18.1.** O bară omogenă având masa  $m$  și lungimea  $L$  are la capete sale două mase concentrate de mase  $M$  și  $2M$  și este legată de mediul fix printr-o articulație  $O$  și un element elastic de rigiditate  $k$ , (fig.1.18.1). Să se determine pulsația, perioada și frecvența vibrațiilor libere ale acestui sistem. Date:  $m = 1$  kg;  $M=5$  kg;  $L = 300$  mm;  $k=100$  N/mm;  $g=10$  ms<sup>-2</sup>

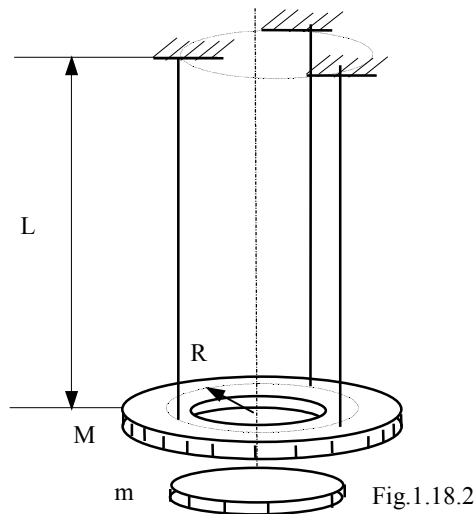


Fig.1.18.2

**1.18.2.** Se dă sistemul format dintr-o coroană circulară omogenă de masă  $M$ , suspendată cu ajutorul a trei fire flexibile, inextensibile de aceeași lungime  $L$ , în trei puncte situate pe un cerc de rază  $R$ , ca în fig. 1.18.2. Dacă se scoate coroana din poziția de echilibru (prin rotirea ei în jurul axei verticale), aceasta va efectua vibrații torsionale în jurul axei verticale cu perioada  $T_0$ . Dacă se așează coaxial pe această coroană, un disc omogen de masă  $m$ , sistemul va efectua vibrații torsionale cu perioada  $T_1$ . Se cere să se determine momentele de inerție ale coroanei circulare și ale discului omogen. Date numerice:  $M = 5$  kg;  $m = 1$  kg  $L=800$  mm;  $R = 250$  mm;  $T_0=1,5$  sec;  $T_1= 1,7$  sec;  $g=10$  ms<sup>-2</sup>

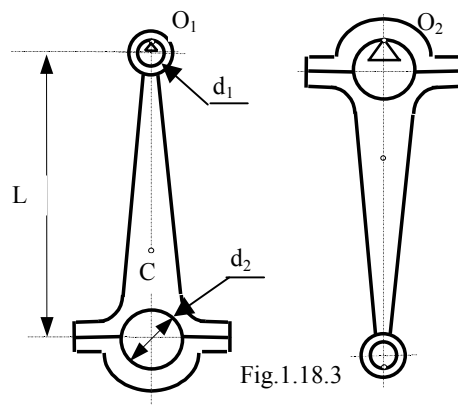


Fig.1.18.3

**1.18.3.** Biela unui motor cu aprindere prin scânteie are masa  $m$ , distanța între cele două axe ale alezajelor  $L$  și diametrele alezajelor  $d_1$  și  $d_2$  (fig. 1.18.3). Să se determine cu ajutorul perioadelor oscilațiilor față de punctele  $O_1$  și  $O_2$ :  $T_1$  și respectiv  $T_2$ , momentul de inerție al bielei în raport cu o axă care trece prin centrul de greutate  $C$  și care este paralelă cu axele alezajelor.

Date numerice:  $m = 0,5 \text{ kg}$ ;  $L = 130 \text{ mm}$ ;  $d_1 = 20 \text{ mm}$ ;  $d_2 = 40 \text{ mm}$ ;  
 $T_1 = 0,8 \text{ sec}$ ;  $T_2 = 0,75 \text{ sec}$ ;  $g = 10 \text{ ms}^{-2}$

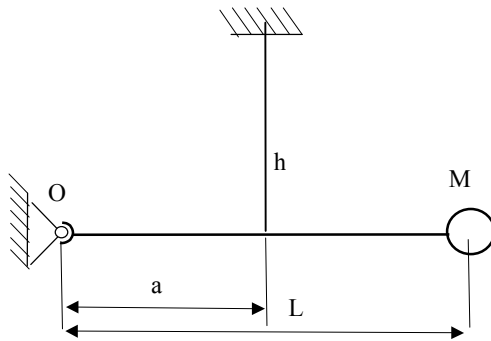


Fig. 1.18.4

**1.18.4.** O bară omogenă având masa  $m$  și lungimea  $L$  are la un capăt o masă concentrată  $M$  și la celălalt capăt este legată de mediul fix printr-o articulație  $O$ . La distanța  $a$  de articulația  $O$  este suspendată cu un fir inextensibil de lungime  $h$ , ca în fig.1.18.4. Să se determine pulsația, perioada și frecvența oscilațiilor libere ale acestui sistem. Date numerice:

$$m = 1 \text{ kg}; M = 4 \text{ kg}$$

$$L = 300 \text{ mm}; a = 100 \text{ mm}$$

$$h = 400 \text{ mm}; g = 10 \text{ ms}^{-2}$$

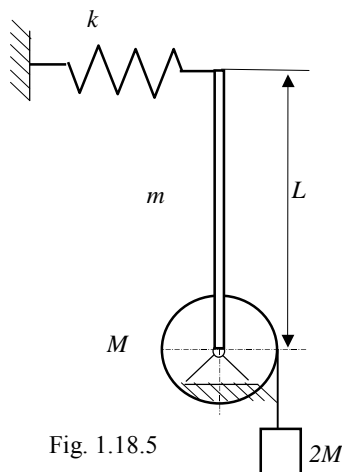


Fig. 1.18.5

**1.18.5.** O bară omogenă având masa  $m$  și lungimea  $L$  este sudată la un capăt de o roată omogenă de masă  $M$  și rază  $R$ , peste care este înfășurat un fir la capătul căruia atârână masa  $2M$ ; la celălalt capăt tija este legată de mediul fix prin intermediul unui arc de rigiditate  $k$  (fig.1.18.5). Să se determine pulsația, perioada și frecvența vibrațiilor libere ale acestui sistem. Date numerice:

$$m = 1 \text{ kg}; M = 5 \text{ kg}; L = 300 \text{ mm}; R = 50 \text{ mm}; k = 100 \text{ N/mm}; g = 10 \text{ ms}^{-2}$$

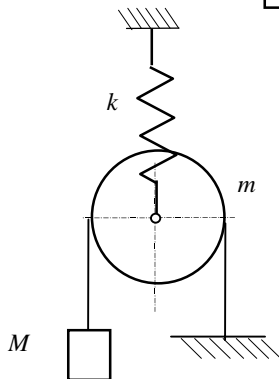


Fig. 1.18.6

**1.18.6.** Se dă sistemul elastic format dintr-o roată omogenă de masă  $m$  legată de mediul fix prin intermediul unui arc de rigiditate  $k$ , peste care este înfășurat un fir la capătul căruia atârână masa  $M$ , celălalt capăt al firului fiind legat de mediul fix (fig.1.18.6). Să se determine pulsația, perioada și frecvența vibrațiilor libere ale acestui sistem. Date numerice:  $m = 1 \text{ kg}$ ;  $M = 5 \text{ kg}$ ;  $k = 100 \text{ N/mm}$ ;  $g = 10 \text{ ms}^{-2}$

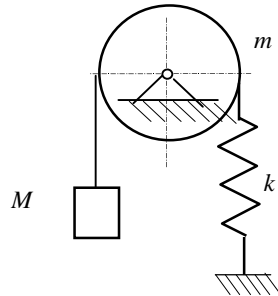


Fig. 1.18.7

**1.18.7.** Se dă sistemul elastic format dintr-o roată omogenă de masă  $m$  care este legată de mediul fix prin intermediul unei articulații, peste roată fiind înfășurat un fir la capătul căruia atârână masa  $M$ , iar celălalt capăt al firului este legat de mediul fix prin intermediul unui arc de rigiditate  $k$  (fig.1.18.7). Să se determine pulsația, perioada și frecvența vibrațiilor libere ale acestui sistem. Date numerice:  $m = 1$ ;  $M = 5 \text{ kg}$ ;  $k = 100 \text{ N/mm}$ ;  $g = 10 \text{ ms}^{-2}$

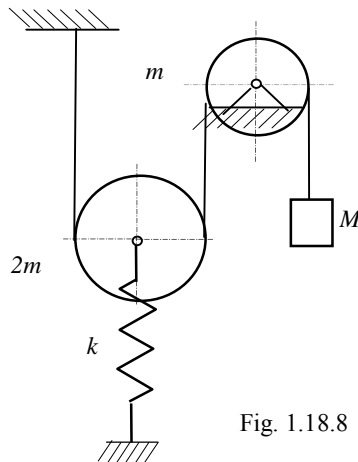


Fig. 1.18.8

**1.18.8.** Se dă sistemul elastic format dintr-o roată omogenă de masă  $m$  care este legată de mediul fix prin intermediul unei articulații peste care este înfășurat un fir la capătul căruia atârână masa  $M$  iar celălalt capăt este înfășurat pe o a doua roată omogenă de masă  $2m$  și legat de mediul fix ca în fig.1.18.8; cea de-a doua roată este legată de mediul fix prin intermediul unui arc de rigiditate  $k$ . Să se determine pulsația, perioada și frecvența vibrațiilor libere ale acestui sistem. Date numerice:  $m = 1 \text{ kg}$ ;  $M = 5 \text{ kg}$ ;  $k = 100 \text{ N/mm}$ ;  $g = 10 \text{ ms}^{-2}$

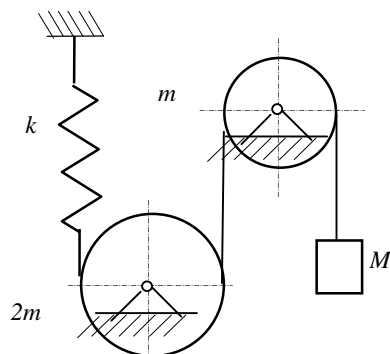


Fig. 1.18.9

**1.18.9.** Se dă sistemul elastic format dintr-o roată omogenă de masă  $m$  care este legată de mediul fix prin intermediul unei articulații; peste roată este înfășurat un fir, la capătul căruia atârână masa  $M$  iar celălalt capăt al firului este înfășurat pe o a doua roată omogenă de masă  $2m$  și legat de mediul fix prin intermediul unui arc de rigiditate  $k$ ; cele două roți sunt legate de mediul fix prin intermediul unor articulații, ca în fig.1.18.9. Să se determine pulsația, perioada și frecvența vibrațiilor libere ale acestui

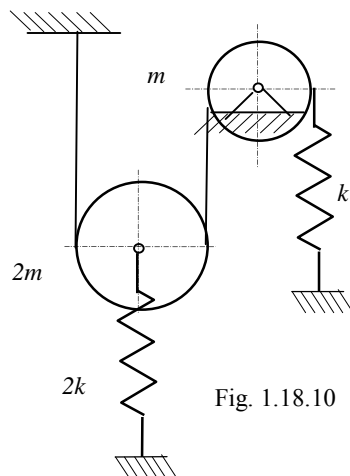


Fig. 1.18.10

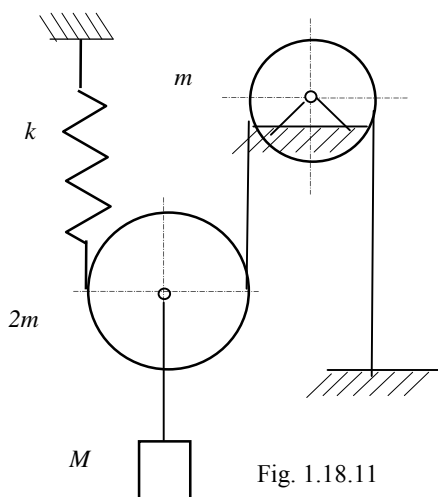


Fig. 1.18.11

sistem. Date numerice:  $m=1$  kg;  $M=4$  kg;  $k=100$  N/mm;  $g=10$  ms<sup>-2</sup>

**1.18.10.** Se dă sistemul elastic format dintr-o roată omogenă de masă  $m$  care este legată de mediul fix prin intermediul unei articulații; peste roată este înfășurat un fir care este legat de mediul fix prin intermediul unui arc de rigiditate  $k$ , iar celălalt capăt al firului este înfășurat pe o a doua roată omogenă de masă  $2m$ , care la rândul ei este legată de mediul fix prin intermediul unui arc de rigiditate  $2k$ , ca în fig.1.18.10. Să se determine pulsația, perioada și frecvența vibrațiilor libere ale acestui sistem. Date numerice:  $m=1$  kg;  $k=100$  N/mm;  $g=10$  ms<sup>-2</sup>

**1.18.11.** Se dă sistemul elastic format dintr-o roată omogenă de masă  $m$  care este legată de mediul fix prin intermediul unei articulații; peste roată este înfășurat un fir care are un capăt legat de mediul fix prin intermediul unui arc de rigiditate  $k$ , iar celălalt capăt al firului este înfășurat pe o a doua roată omogenă de masă  $2m$  pe axa și legat de mediul fix prin intermediul unui arc de rigiditate  $k$  (vezi fig.1.18.11). De axa roții de masă  $2m$  atârână masa  $M$ . Să se determine pulsația, perioada și frecvența vibrațiilor libere ale acestui sistem. Date numerice:  $m=1$  kg;  $M=4$  kg;  $k=100$  N/mm;  $g=10$  ms<sup>-2</sup>

**1.18.12.** Se dă sistemul elastic format dintr-o bară omogenă având masa  $m$  și lungimea  $L$  care este sudată la un capăt de o roată omogenă de masă  $M$  și rază  $R$  legată de mediul fix printr-o articulație  $O$ . Peste roată este înfășurat un fir cu un corp de masa  $M$ . La mijlocul barei acționează o forță perturbatoare  $F=F_0 \sin \omega t$  iar tija este legată de mediul fix prin intermediul unui arc de rigiditate  $k$  (fig.1.18.12). Să se determine amplitudinea vibrațiilor staționare ale acestui sistem. Date numerice:  $m=1$  kg;  $M=5$  kg;  $L=300$  mm;  $R=50$  mm;  $k=100$  N/mm;  $F_0=50$  N;  $\omega=10$  rad/sec;  $g=10$  ms<sup>-2</sup>

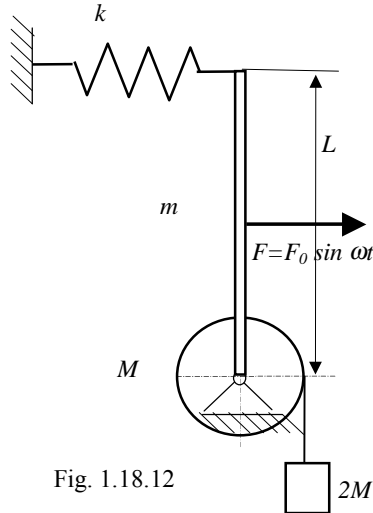


Fig. 1.18.12

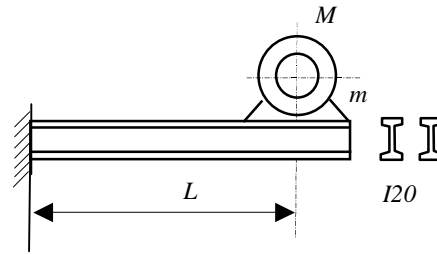


Fig. 1.13

**1.18.13.** Un motor electric de masă  $M$  având rotorul de masă  $m$ , este montat la capătul unei console formată din două profile  $I20$ , de lungime  $L$  (fig. 1.18.13). Cunoșcând turația de regim a motorului ( $n$ ) și amplitudinea vibrațiilor staționare ( $a$ ), să se determine excentricitatea rotorului ( $e$ ) și frecvența de rezonanță a sistemului. Date numerice:  $M=10$  kg,  $m=2,5$  kg,  $L=500$ mm;  $n=3000$  rot/min,  $I_{20}=2140\text{cm}^4$ ;  $a = 0,5$  mm

**1.18.14.** Pe o tijă orizontală care se rotește în jurul unui ax vertical cu viteza unghiulară  $\omega_0$  constantă, se află două mase  $m$ , legate de axul vertical prin intermediul unor arcuri de rigiditate  $k$  (fig.1.18.14). Să se determine pulsația vibrațiilor proprii ale celor două mase în mișcarea lor relativă față de tijă (dacă se neglijează frecarea) și să se determine viteza unghiulară maximă  $\omega_{\max}$  pentru care este posibilă mișcarea vibratorie a celor două mase. Date numerice:  $m=1$  kg;  $\omega_0 = 1\text{rad} / \text{sec}$ ;  $k=100$  N/mm

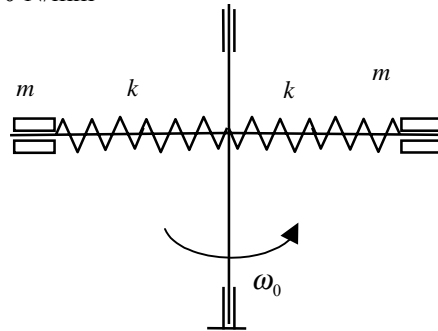


Fig. 1.18.14

**1.18.15.** Un motor electric de masă  $M$  având rotorul de masă  $m$ , turația de regim  $n$  și excentricitatea  $e$ , este montat pe o traversă de lungime  $L$  încastrată la un capăt și rezemată la celălalt și are secțiunea dreptunghiulară  $b \times h$  ca în fig. 1.18.15. Să se determine amplitudinea vibrațiilor staționare și frecvența de rezonanță a sistemului. Date numerice:  $M = 10$  kg,  $m = 2,5$  kg,  $b = 80$  mm;  $h = 100$  mm;  $L = 500$  mm;  $e = 0,2$  mm;  $n = 3000$  rot/min,

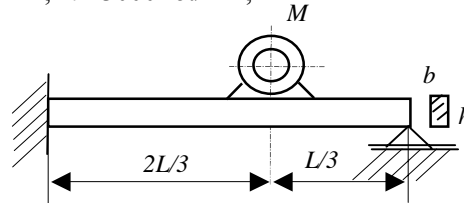


Fig. 1.18.15

**1.18.16.** Un motor electric de masă  $M$  având rotorul de masă  $m$  și excentricitate  $e$ , este montat în consolă pe o consolă de lungime  $L$  încastrată la un capăt și cu un reazem intermediar, având secțiunea dreptunghiulară  $b \times h$  ca în fig. 1.18.16. Știind că turația de regim a motorului este  $n$  să se determine amplitudinea  $a$  pentru vibrațiile staționare și frecvența de rezonanță a sistemului. Date numerice:  $M = 10$  kg,  $m = 2,5$  kg;  $b = 80$  mm;  $h = 100$  mm;  $L = 500$  mm;  $e = 0,2$  mm;  $n = 2800$  rot/min.

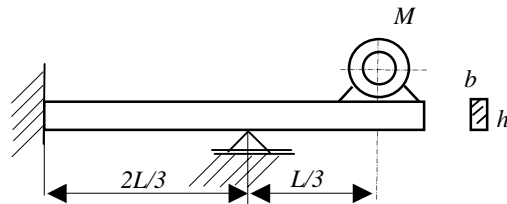


Fig. 1.18.16



## CAPITOLUL II

### VIBRAȚIILE SISTEMELOR CU DOUA GRADE DE LIBERTATE

#### 2.1. Ecuațiile diferențiale ale vibrațiilor libere

Modelul matematic al vibrațiilor libere este format din două mase  $m_1$  și  $m_2$  legate între ele cu arcul de constantă elastică  $k_1$  și de mediul fix cu arcul de constantă elastică  $k_2$  ca în figura 2.1.1.

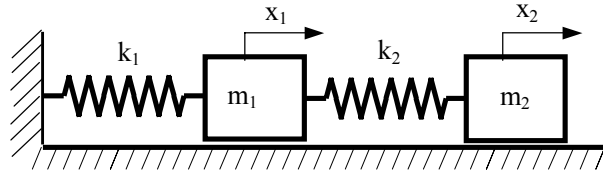


Fig. 2.1.1

Pentru deducerea ecuațiilor de mișcare se folosesc următoarele metode:

##### 2.1.1. Teorema impulsului

Ecuațiile diferențiale se pot scrie folosind teorema impulsului (fig. 2.1.2) după ce se izolează fiecare corp și se introduc forțele de legătură din cele două arcuri:

$$\begin{cases} m_1 \ddot{x}_1 = -k_1 x_1 + k_2 (x_2 - x_1) \\ m_2 \ddot{x}_2 = -k_2 (x_2 - x_1) \end{cases} \quad (2.1.1)$$

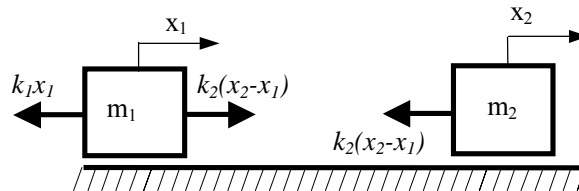


Fig. 2.1.2

Ecuațiile (2.1.1) se mai pot scrie:

$$\begin{cases} m_1 \ddot{x}_1 + (k_1 + k_2) x_1 - k_2 x_2 = 0 \\ m_2 \ddot{x}_2 - k_2 x_1 + k_2 x_2 = 0 \end{cases} \quad (2.1.2)$$

sau matriceal se scriu sub forma:

$$[M] \{\ddot{x}\} + [K] \{x\} = \{0\} \quad (2.1.3)$$

unde:  $[M] = \begin{bmatrix} m_1 & 0 \\ 0 & m_2 \end{bmatrix}$  este matricea de inerție (simetrică) (2.1.4)

$[K] = \begin{bmatrix} k_1 + k_2 & -k_2 \\ -k_2 & k_2 \end{bmatrix}$  - matricea de rigiditate (simetrică) (2.1.5)

$\{x\} = \begin{Bmatrix} x_1 \\ x_2 \end{Bmatrix}$  - vectorul deplasărilor (2.1.6)

$\{\ddot{x}\} = \begin{Bmatrix} \ddot{x}_1 \\ \ddot{x}_2 \end{Bmatrix}$  - vectorul accelerațiilor (2.1.7)

Înmulțind ecuația matriceală (2.1.3) la stânga cu matricea  $[M]^{-1}$  se obține:

$$\{\ddot{x}\} + [M]^{-1}[K]\{x\} = \{0\} \quad (2.1.8)$$

Se definește matricea dinamică a sistemului:

$$[D] = [M]^{-1}[K] \quad (2.1.9)$$

Pentru sistemul analizat matricea dinamică are expresia:

$$[D] = \begin{bmatrix} \frac{1}{m_1} & 0 \\ 0 & \frac{1}{m_2} \end{bmatrix} \begin{bmatrix} k_1 + k_2 & -k_2 \\ -k_2 & k_2 \end{bmatrix} = \begin{bmatrix} \frac{k_1 + k_2}{m_1} & -\frac{k_2}{m_1} \\ -\frac{k_2}{m_2} & \frac{k_2}{m_2} \end{bmatrix} \quad (2.1.10)$$

Ținând seama de relația (2.1.9) ecuația matriceală (2.1.8) se mai scrie sub forma:

$$\{\ddot{x}\} + [D]\{x\} = \{0\} \quad (2.1.11)$$

În general matricea dinamică nu este o matrice simetrică având cel puțin un termen nediagonal nenul, ceea ce înseamnă că cele două ecuații nu sunt independente: spunem că cele două ecuații sunt *cuplate* iar termenii nediagonali se numesc *termeni de cuplaj*. Dacă termenii nediagonali sunt nuli atunci sistemul degenează în două sisteme independente cu câte un grad de libertate.

### 2.1.2. Principiul lui d'Alembert

Ecuațiile diferențiale se mai pot scrie folosind principiul lui d'Alembert izolând fiecare corp și introducând forțele de legătură și de inerție corespunzătoare (fig. 2.1.3):

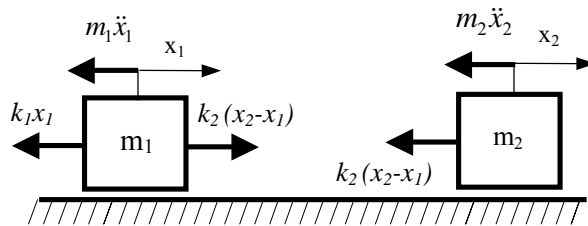


Fig. 2.1.3

Aceste ecuații sunt:

$$\begin{cases} m_1 \ddot{x}_1 + k_1 x_1 - k_2 (x_2 - x_1) = 0 \\ m_2 \ddot{x}_2 + k_2 (x_2 - x_1) = 0 \end{cases} \quad (2.1.12)$$

deci se obține același sistem de ecuații obținut prin prima metodă:

$$\begin{cases} m_1 \ddot{x}_1 + (k_1 + k_2) x_1 - k_2 x_2 = 0 \\ m_2 \ddot{x}_2 - k_2 x_1 + k_2 x_2 = 0 \end{cases} \quad (2.1.13)$$

### 2.1.3. Metoda coeficienților de influență

Se utilizează atunci când forțele de legătură rezultate din izolarea corpurilor sunt mai greu de obținut. În aceste cazuri este mai convenabil să se exprime deplasările maselor  $x_i$  în funcție de forțele de inerție  $\Phi_j$  și coeficienții de influență  $\delta_{ij}$  folosind principiul suprapunerii efectelor:

$$\begin{cases} x_1 = \delta_{11} \Phi_1 + \delta_{12} \Phi_2 \\ x_2 = \delta_{21} \Phi_1 + \delta_{22} \Phi_2 \end{cases} \quad (2.1.14)$$

unde:

- $\Phi_1 = -m_1 \ddot{x}_1$ ;  $\Phi_2 = -m_2 \ddot{x}_2$  sunt cele două forțe de inerție corespunzătoare celor două corpuri de mase  $m_1$  și  $m_2$ ;
- $\delta_{11}$ ,  $\delta_{21}$  sunt coeficienții de influență adică deplasările celor două corpuri corespunzătoare unei forțe unitare ce acționează asupra corpului de masă  $m_1$  (fig.2.1.4.a). Aceste deplasări sunt:

$$\delta_{11} = \delta_{21} = \frac{1}{k_1} \quad (2.1.15)$$

- $\delta_{12}$ ,  $\delta_{22}$  sunt coeficienții de influență adică deplasările celor două corpuri corespunzătoare unei forțe unitare ce acționează asupra corpului de masă  $m_2$  (fig.2.1.4.b). Aceste deplasări sunt:

$$\delta_{12} = \frac{1}{k_1}; \quad \delta_{22} = \frac{1}{k_1} + \frac{1}{k_2} \quad (2.1.16)$$

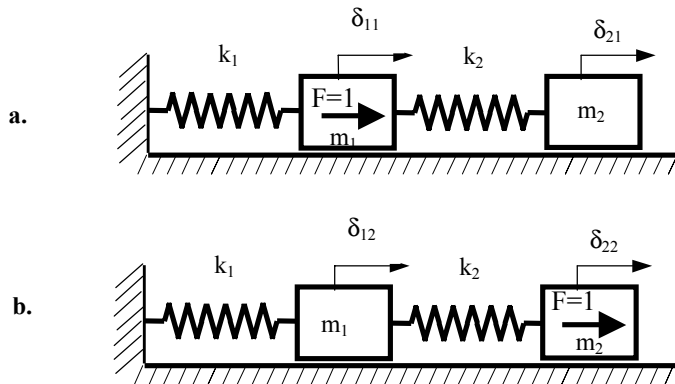


Fig. 2.1.4

Înlocuind în relațiile (2.1.14) se obține sistemul de ecuații:

$$\begin{cases} \frac{m_1}{k_1} \ddot{x}_1 + \frac{m_2}{k_1} \ddot{x}_2 + x_1 = 0 \\ \frac{m_1}{k_1} \ddot{x}_1 + \left( \frac{m_2}{k_1} + \frac{m_2}{k_2} \right) \ddot{x}_2 + x_2 = 0 \end{cases} \quad (2.1.17)$$

Ecuațiile diferențiale (2.1.17) se scriu sub forma matriceală astfel:

$$[B]\{\ddot{x}\} + \{x\} = \{0\} \quad (2.1.18)$$

unde:

$$[B] = \begin{bmatrix} \delta_{11}m_1 & \delta_{12}m_2 \\ \delta_{21}m_1 & \delta_{22}m_2 \end{bmatrix} = \begin{bmatrix} \delta_{11} & \delta_{12} \\ \delta_{21} & \delta_{22} \end{bmatrix} \begin{bmatrix} m_1 & 0 \\ 0 & m_2 \end{bmatrix} \quad (2.1.19)$$

$$[B] = [\Delta][M]$$

$$[\Delta] = \begin{bmatrix} \delta_{11} & \delta_{12} \\ \delta_{21} & \delta_{22} \end{bmatrix} \text{ este matricea coeficienților de influență}$$

Ecuația matriceală (2.1.18) se mai scrie:

$$[\Delta][M]\{\ddot{x}\} + \{x\} = \{0\} \quad (2.1.20)$$

Înmulțind ecuația matriceală (2.1.18) la stânga cu  $[B]^{-1}$  se obține:

$$\{\ddot{x}\} + [B]^{-1}\{x\} = \{0\} \quad (2.1.21)$$

comparată cu (2.1.11) rezultă legătura cu matricea dinamică a sistemului:

$$[D] = [B]^{-1}$$

$$\text{sau } [B] = [D]^{-1} \quad (2.1.22)$$

Pentru exemplul considerat se poate verifica relația (2.1.22) care se mai scrie:

$$[B][D] = [I] \Leftrightarrow \begin{bmatrix} \frac{m_1}{k_1} & \frac{m_2}{k_1} \\ \frac{m_1}{k_1} & \frac{m_2}{k_1} + \frac{m_2}{k_2} \end{bmatrix} \begin{bmatrix} \frac{k_1 + k_2}{m_1} & -\frac{k_2}{m_1} \\ -\frac{k_2}{m_2} & \frac{k_2}{m_2} \end{bmatrix} = \begin{bmatrix} 1 & 0 \\ 0 & 1 \end{bmatrix} \quad (2.1.23)$$

Înmulțind ecuația matriceală (2.1.20) la stânga cu  $[\Delta]^{-1}$  se obține:

$$[M]\{\ddot{x}\} + [\Delta]^{-1}\{x\} = \{0\} \quad (2.1.24)$$

comparată cu (2.1.3) rezultă legătura cu matricea de rigiditate:

$$[K] = [\Delta]^{-1}$$

$$\text{sau } [\Delta] = [K]^{-1} \quad (2.1.25)$$

Pentru exemplul considerat se poate verifica relația (2.1.25) care se mai scrie:

$$[K][\Delta] = [I] \Leftrightarrow \begin{bmatrix} \frac{1}{k_1} & \frac{1}{k_1} \\ \frac{1}{k_1} & \frac{1}{k_1} + \frac{1}{k_2} \end{bmatrix} \begin{bmatrix} k_1 + k_2 & -k_2 \\ -k_2 & k_2 \end{bmatrix} = \begin{bmatrix} 1 & 0 \\ 0 & 1 \end{bmatrix} \quad (2.1.26)$$

### 2.1.5. Ecuațiile lui Lagrange

Ecuațiile (2.1.27) se pot obține și cu ajutorul ecuațiilor lui Lagrange pentru un sistem conservativ:

$$\frac{d}{dt} \left( \frac{\partial L}{\partial \dot{q}_k} \right) - \frac{\partial L}{\partial q_k} = 0 \quad (2.1.28)$$

unde:  $L = E_c - V$  este funcția Lagrange

$$E_c = \frac{m_1 \dot{x}_1^2}{2} + \frac{m_2 \dot{x}_2^2}{2} \quad \text{- energia cinetică a sistemului} \quad (2.1.29)$$

$$V = \frac{k_1 x_1^2}{2} + \frac{k_2 (x_2 - x_1)^2}{2} \quad (2.1.29')$$

energia potențială a elementelor elastice

Derivatele parțiale din ecuațiile lui Lagrange sunt:

$$\begin{cases} \frac{\partial E}{\partial \dot{x}_1} = m_1 \dot{x}_1 ; & \frac{\partial E}{\partial \dot{x}_2} = m_2 \dot{x}_2 \\ \frac{\partial V}{\partial x_1} = k_1 x_1 - k_2 (x_2 - x_1) ; \end{cases} \Rightarrow \begin{cases} \frac{d}{dt} \left( \frac{\partial E}{\partial \dot{x}_1} \right) = m_1 \ddot{x}_1 ; \\ \frac{d}{dt} \left( \frac{\partial E}{\partial \dot{x}_2} \right) = m_2 \ddot{x}_2 \\ \frac{\partial V}{\partial x_2} = k_2 (x_2 - x_1) \end{cases} \quad (2.1.30)$$

Înlocuind (2.1.30) în ecuațiile lui Lagrange se obțin ecuațiile (2.1.1):

$$\begin{cases} m_1 \ddot{x}_1 + k_1 x_1 - k_2 (x_2 - x_1) = 0 \\ m_2 \ddot{x}_2 + k_2 (x_2 - x_1) = 0 \end{cases} \quad (2.1.31)$$

Folosind coordonatele generalizate sistemul de ecuații (2.1.31) în cazul general se scrie:

$$\begin{cases} m_{11} \ddot{q}_1 + m_{12} \ddot{q}_2 + k_{11} q_1 + k_{12} q_2 = 0 \\ m_{21} \ddot{q}_1 + m_{22} \ddot{q}_2 + k_{21} q_1 + k_{22} q_2 = 0 \end{cases} \quad (2.1.32)$$

sau matriceal:

$$[M] \{\ddot{q}\} + [K] \{q\} = \{0\} \quad (2.1.33)$$

unde:  $\{q\} = \begin{Bmatrix} q_1 \\ q_2 \end{Bmatrix}$  este vectorul coordonatelor generalizate (2.1.34)

$$\{\ddot{q}\} = \begin{Bmatrix} \ddot{q}_1 \\ \ddot{q}_2 \end{Bmatrix} \quad \text{- vectorul accelerațiilor generalizate} \quad (2.1.35)$$

$$[M] = \begin{bmatrix} m_{11} & m_{12} \\ m_{21} & m_{22} \end{bmatrix} \quad \text{- matricea de inerție (simetrică)} \quad (2.1.36)$$

$$[K] = \begin{bmatrix} k_{11} & k_{12} \\ k_{21} & k_{22} \end{bmatrix} \quad \text{- matricea de rigiditate (simetrică)} \quad (2.1.37)$$

## 2.2. Pulsații și moduri proprii de vibrații

Sistemul de ecuații diferențiale (2.1.32) admite soluții armonice sincrone de forma:

$$\begin{cases} q_1 = a_1 \cos(pt - \varphi) \\ q_2 = a_2 \cos(pt - \varphi) \end{cases} \Rightarrow \begin{cases} \ddot{q}_1 = -p^2 a_1 \cos(pt - \varphi) \\ \ddot{q}_2 = -p^2 a_2 \cos(pt - \varphi) \end{cases} \quad (2.2.1)$$

unde  $a_1$  și  $a_2$  sunt amplitudinile mișcării armonice corespunzătoare celor două mase  $m_1$  și  $m_2$ .

Raportul deplasărilor celor două corpuri  $\frac{q_1}{q_2} = \frac{a_1}{a_2}$  în anumite cazuri este

independent de timp sau deformată dinamică a sistemului (raportul amplitudinilor mișcării celor două corpuri) nu se modifică în timp depinzând numai de pulsațiile proprii ale sistemului  $p_1$  și  $p_2$ .

Înlocuind în ecuațiile diferențiale (2.1.32) relațiile (2.2.1) se obține sistemul:

$$\begin{cases} [(-p^2 m_{11} + k_{11})a_1 + (-p^2 m_{12} + k_{12})a_2] \cos(pt - \varphi) = 0 \\ [(-p^2 m_{21} + k_{21})a_1 + (-p^2 m_{22} + k_{22})a_2] \cos(pt - \varphi) = 0 \end{cases} \quad (2.2.2)$$

care este echivalent cu sistemul de ecuații omogene în  $a_1$  și  $a_2$ :

$$\begin{cases} (-p^2 m_{11} + k_{11})a_1 + (-p^2 m_{12} + k_{12})a_2 = 0 \\ (-p^2 m_{21} + k_{21})a_1 + (-p^2 m_{22} + k_{22})a_2 = 0 \end{cases} \quad (2.2.3)$$

Sistemul de ecuații (2.2.3) admite soluții nebanale dacă determinantul său este nul, adică:

$$\begin{vmatrix} k_{11} - p^2 m_{11} & k_{12} - p^2 m_{12} \\ k_{21} - p^2 m_{21} & k_{22} - p^2 m_{22} \end{vmatrix} = 0 \quad (2.2.4)$$

care este echivalent cu ecuația de gradul 4:

$$p^4(m_{11}m_{22} - m_{12}m_{21}) - p^2(m_{11}k_{22} + m_{22}k_{11} - m_{21}k_{12} - m_{12}k_{21}) + (k_{11}k_{22} - k_{21}k_{12}) = 0 \quad (2.2.5)$$

Dacă se notează:

$$\begin{aligned} (m_{11}k_{22} + m_{22}k_{11} - m_{21}k_{12} - m_{12}k_{21}) &= B \\ (m_{11}m_{22} - m_{12}m_{21}) &= A \\ (k_{11}k_{22} - k_{21}k_{12}) &= C \end{aligned} \quad (2.2.6)$$

atunci soluțiile pozitive ale ecuației (2.2.5) se numesc *pulsațiile proprii* ale mișcării și se scriu:

$$p_{1,2} = \sqrt{\frac{B \pm \sqrt{B^2 - 4AC}}{2A}} \quad (2.2.7)$$

Valoarea inferioară ( $p_1$ ) se mai numește *pulsație fundamentală*.

Modurile proprii de vibrație:

- dacă se notează cu  $a_{11}$  și cu  $a_{21}$  valorile amplitudinilor  $a_1$  și  $a_2$  corespunzătoare pulsației proprii  $p_1$  rezultă soluția corespunzătoare primului mod de vibrație:

$$\begin{cases} q_{11} = a_{11} \cos(p_1 t - \varphi_1) \\ q_{21} = a_{21} \cos(p_1 t - \varphi_1) \end{cases} \quad (2.2.8)$$

Înlocuind  $p_1$  în prima ecuație (2.2.3) se obține amplitudinea  $a_{21}$  în funcție de  $a_{11}$ :

$$a_{21} = -\frac{k_{11} - p_1^2 m_{11}}{k_{12} - p_1^2 m_{12}} a_{11} \quad (2.2.9)$$

Se notează coeficientul de distribuție corespunzător pulsației  $p_1$  cu:

$$\mu_{21} = \frac{a_{21}}{a_{11}} = -\frac{k_{11} - p_1^2 m_{11}}{k_{12} - p_1^2 m_{12}} \quad (2.2.10)$$

Notând  $a_{11} = c_1$ , soluția corespunzătoare modului I de vibrație (2.2.8) se mai scrie:

$$\begin{cases} q_{11} = c_1 \cos(p_1 t - \varphi_1) \\ q_{21} = \mu_{21} c_1 \cos(p_1 t - \varphi_1) \end{cases} \quad (2.2.11)$$

- dacă se notează cu  $a_{12}$  și cu  $a_{22}$  valorile amplitudinilor  $a_1$  și  $a_2$  corespunzătoare pulsației proprii  $p_2$ , rezultă soluția corespunzătoare celui de al doilea mod de vibrație:

$$\begin{cases} q_{12} = a_{12} \cos(p_2 t - \varphi_2) \\ q_{22} = a_{22} \cos(p_2 t - \varphi_2) \end{cases} \quad (2.2.12)$$

Înlocuind  $p_2$  în prima ecuație (2.2.3) se obține amplitudinea  $a_{22}$  în funcție de  $a_{12}$ :

$$a_{22} = -\frac{k_{11} - p_2^2 m_{11}}{k_{12} - p_2^2 m_{12}} a_{12} \quad (2.2.13)$$

Se notează coeficientul de distribuție corespunzător pulsației  $p_2$  cu:

$$\mu_{22} = \frac{a_{22}}{a_{12}} = -\frac{k_{11} - p_2^2 m_{11}}{k_{12} - p_2^2 m_{12}} \quad (2.2.14)$$

Notând  $a_{12}=c_2$ , soluția corespunzătoare modului I de vibrație (2.2.8) se mai scrie:

$$\begin{cases} q_{11} = c_2 \cos(p_2 t - \varphi_2) \\ q_{21} = \mu_{22} c_2 \cos(p_2 t - \varphi_2) \end{cases} \quad (2.2.15)$$

Soluția generală a vibrațiilor sistemului de corpuri se obține prin însumarea soluțiilor corespunzătoare fiecărui mod propriu de vibrație.

$$\begin{cases} q_1 = q_{11} + q_{12} = c_1 \cos(p_1 t - \varphi_1) + c_2 \cos(p_2 t - \varphi_2) \\ q_2 = q_{21} + q_{22} = \mu_{21} c_1 \cos(p_1 t - \varphi_1) + \mu_{22} c_2 \cos(p_2 t - \varphi_2) \end{cases} \quad (2.2.16)$$

Constantele de integrare  $c_1$ ,  $c_2$ ,  $\varphi_1$  și  $\varphi_2$  se determină din condițiile inițiale ale mișcării:

$$t=0 \Rightarrow \begin{cases} q_1 = q_1^0 \\ q_2 = q_2^0 \end{cases}; \quad \begin{cases} \dot{q}_1 = v_1^0 \\ \dot{q}_2 = v_2^0 \end{cases} \quad (2.2.17)$$

Vitezele se obțin prin derivarea soluției generale (2.1.51):

$$\begin{cases} \dot{q}_1 = -p_1 c_1 \sin(p_1 t - \varphi_1) - p_2 c_2 \sin(p_2 t - \varphi_2) \\ \dot{q}_2 = -p_1 \mu_{21} c_1 \sin(p_1 t - \varphi_1) - p_2 \mu_{22} c_2 \sin(p_2 t - \varphi_2) \end{cases} \quad (2.2.18)$$

Introducând condițiile inițiale (2.2.17) se obține un sistem de 4 ecuații cu 4 necunoscute  $c_1$ ,  $c_2$ ,  $\varphi_1$  și  $\varphi_2$ :

$$\begin{cases} c_1 \cos \varphi_1 + c_2 \cos \varphi_2 = q_1^0 \\ \mu_{21} c_1 \cos \varphi_1 + \mu_{22} c_2 \cos \varphi_2 = q_2^0 \\ p_1 c_1 \sin \varphi_1 + p_2 c_2 \sin \varphi_2 = v_1^0 \\ p_1 \mu_{21} c_1 \sin \varphi_1 + p_2 \mu_{22} c_2 \sin \varphi_2 = v_2^0 \end{cases} \quad (2.2.19)$$



## 2.3. Ortogonalitatea modurilor proprii de vibrație

Se consideră că sistemul vibrează după cele două moduri proprii:

- Modul I: amplitudinile corespunzătoare primului mod de vibrație verifică ambele ecuații (2.2.3) unde pulsația este  $p_1$ :

$$\begin{cases} (-p_1^2 m_{11} + k_{11})a_{11} + (-p_1^2 m_{12} + k_{12})a_{21} = 0 \\ (-p_1^2 m_{21} + k_{21})a_{11} + (-p_1^2 m_{22} + k_{22})a_{21} = 0 \end{cases} \quad (2.3.1)$$

Dacă se multiplică ecuațiile (2.3.1) cu coeficienții corespunzători celui de-al doilea mod de vibrații ( $a_{12}$  respectiv  $a_{22}$ ) și se însumează se obține:

$$\begin{aligned} & -p_1^2 (m_{11}a_{11}a_{12} + m_{12}a_{21}a_{12} + m_{21}a_{11}a_{22} + m_{22}a_{21}a_{22}) + \\ & + (k_{11}a_{11}a_{12} + k_{12}a_{21}a_{12} + k_{21}a_{11}a_{22} + k_{22}a_{21}a_{22}) = 0 \end{aligned} \quad (2.3.2)$$

- Modul al II-lea: amplitudinile corespunzătoare celui de-al doilea mod de vibrație verifică cele două ecuații (2.2.3) unde pulsația este  $p_2$ :

$$\begin{cases} (-p_2^2 m_{11} + k_{11})a_{12} + (-p_2^2 m_{12} + k_{12})a_{22} = 0 \\ (-p_2^2 m_{21} + k_{21})a_{12} + (-p_2^2 m_{22} + k_{22})a_{22} = 0 \end{cases} \quad (2.3.3)$$

Dacă se multiplică ecuațiile (2.3.3) cu coeficienții corespunzători primului mod de vibrații ( $a_{11}$  respectiv  $a_{21}$ ) și se însumează se obține:

$$\begin{aligned} & -p_2^2 (m_{11}a_{12}a_{11} + m_{12}a_{22}a_{11} + m_{21}a_{12}a_{21} + m_{22}a_{22}a_{21}) + \\ & + (k_{11}a_{12}a_{11} + k_{12}a_{22}a_{11} + k_{21}a_{12}a_{21} + k_{22}a_{22}a_{21}) = 0 \end{aligned} \quad (2.3.4)$$

Ținând seama că matricele  $[K]$  și  $[M]$  sunt simetrice (adică sunt valabile relațiile:  $m_{12} = m_{21}$  și  $k_{12} = k_{21}$ ), scăzând cele două ecuații (2.3.2) și (2.3.4) se obține:

$$(p_1^2 - p_2^2)(m_{11}a_{11}a_{12} + m_{12}a_{21}a_{12} + m_{21}a_{11}a_{22} + m_{22}a_{21}a_{22}) = 0 \quad (2.3.5)$$

Întrucât  $p_1 \neq p_2$  rezultă:

$$(m_{11}a_{11}a_{12} + m_{12}a_{21}a_{12} + m_{21}a_{11}a_{22} + m_{22}a_{21}a_{22}) = 0 \quad (2.3.6)$$

relație care se mai scrie matriceal sub forma:

$$\begin{aligned} & \begin{Bmatrix} a_{11} & a_{21} \end{Bmatrix} \begin{bmatrix} m_{11} & m_{12} \\ m_{21} & m_{22} \end{bmatrix} \begin{Bmatrix} a_{12} \\ a_{22} \end{Bmatrix} = 0 \\ \text{sau} & \begin{Bmatrix} a_{12} & a_{22} \end{Bmatrix} \begin{bmatrix} m_{11} & m_{12} \\ m_{21} & m_{22} \end{bmatrix} \begin{Bmatrix} a_{11} \\ a_{21} \end{Bmatrix} = 0 \end{aligned} \quad (2.3.7)$$

$$\{a\}_1^T [M] \{a\}_2 = 0 \quad \text{sau} \quad \{a\}_2^T [M] \{a\}_1 = 0 \quad (2.3.7')$$

unde:  $\{a\}_1 = \begin{Bmatrix} a_{11} \\ a_{21} \end{Bmatrix}$ ,  $\{a\}_2 = \begin{Bmatrix} a_{12} \\ a_{22} \end{Bmatrix}$  sunt vectorii amplitudinilor corespunzătoare celor două moduri proprii de vibrație.

Relația (2.3.7') exprimă prima condiție de ortogonalitate a celor două moduri proprii de vibrații.

Dacă se împarte relația (2.3.2) cu  $p_1^2$  și relația (2.3.4) cu  $p_2^2$  se obține:

$$\begin{aligned} & -(m_{11}a_{11}a_{12} + m_{12}a_{21}a_{12} + m_{21}a_{11}a_{22} + m_{22}a_{21}a_{22}) + \\ & + \frac{1}{p_1^2}(k_{11}a_{11}a_{12} + k_{12}a_{21}a_{12} + k_{21}a_{11}a_{22} + k_{22}a_{21}a_{22}) = 0 \end{aligned} \quad (2.3.8)$$

respectiv:

$$\begin{aligned} & -(m_{11}a_{12}a_{11} + m_{12}a_{22}a_{11} + m_{21}a_{12}a_{21} + m_{22}a_{22}a_{21}) + \\ & + \frac{1}{p_2^2}(k_{11}a_{12}a_{11} + k_{12}a_{22}a_{11} + k_{21}a_{12}a_{21} + k_{22}a_{22}a_{21}) = 0 \end{aligned} \quad (2.3.9)$$

Scăzând cele două relații și ținând seama că  $m_{12} = m_{21}$  și  $k_{12} = k_{21}$  se obține:

$$\left( \frac{1}{p_1^2} - \frac{1}{p_2^2} \right) (k_{11}a_{11}a_{12} + k_{12}a_{21}a_{12} + k_{21}a_{11}a_{22} + k_{22}a_{21}a_{22}) = 0 \quad (2.3.10)$$

Întrucât  $p_1 \neq p_2$  rezultă:

$$(k_{11}a_{11}a_{12} + k_{12}a_{21}a_{12} + k_{21}a_{11}a_{22} + k_{22}a_{21}a_{22}) = 0 \quad (2.3.11)$$

care se scrie matriceal sub forma:

$$\begin{aligned} & \begin{Bmatrix} a_{11} & a_{21} \end{Bmatrix} \begin{bmatrix} k_{11} & k_{12} \\ k_{21} & k_{22} \end{bmatrix} \begin{Bmatrix} a_{12} \\ a_{22} \end{Bmatrix} = 0 \\ \text{sau} & \begin{Bmatrix} a_{12} & a_{22} \end{Bmatrix} \begin{bmatrix} k_{11} & k_{12} \\ k_{21} & k_{22} \end{bmatrix} \begin{Bmatrix} a_{11} \\ a_{21} \end{Bmatrix} = 0 \end{aligned} \quad (2.3.12)$$

$$\text{care se scrie: } \{a\}_1^T [K] \{a\}_2 = 0 \quad \text{sau} \quad \{a\}_2^T [K] \{a\}_1 = 0 \quad (2.3.12')$$

Relația (2.3.12') exprimă a doua condiție de ortogonalitate a celor două moduri proprii de vibrații.

Dacă se multiplică ecuațiile (2.3.1) cu coeficienții corespunzători primului mod de vibrații (  $a_{11}$  respectiv  $a_{21}$  ) și se însumează se obține pulsația  $p_1^2$  :

$$-p_1^2 (m_{11}a_{11}a_{11} + m_{12}a_{21}a_{11} + m_{21}a_{11}a_{21} + m_{22}a_{21}a_{21}) + (k_{11}a_{11}a_{11} + k_{12}a_{21}a_{11} + k_{21}a_{11}a_{21} + k_{22}a_{21}a_{21}) = 0 \quad (2.3.13)$$

rezultă pulsația  $p_1$ :

$$p_1^2 = \frac{m_{11}a_{11}a_{11} + m_{12}a_{21}a_{11} + m_{21}a_{11}a_{21} + m_{22}a_{21}a_{21}}{k_{11}a_{11}a_{11} + k_{12}a_{21}a_{11} + k_{21}a_{11}a_{21} + k_{22}a_{21}a_{21}} = \frac{\{a\}_1^T [M] \{a\}_1}{\{a\}_1^T [K] \{a\}_1} \quad (2.3.14)$$

$$\Leftrightarrow p_1^2 = \frac{M_1}{K_1}$$

Dacă se multiplică ecuațiile (2.3.3) cu coeficienții corespunzători celui de al doilea mod de vibrații:  $a_{12}$  respectiv  $a_{22}$  și se însumează se obține pulsația  $p_2^2$  :

$$-p_2^2 (m_{11}a_{12}a_{12} + m_{12}a_{22}a_{12} + m_{21}a_{12}a_{22} + m_{22}a_{22}a_{22}) + (k_{11}a_{12}a_{12} + k_{12}a_{22}a_{12} + k_{21}a_{12}a_{22} + k_{22}a_{22}a_{22}) = 0 \quad (2.3.15)$$

rezultă pulsația  $p_2$ :

$$p_2^2 = \frac{m_{11}a_{12}a_{12} + m_{12}a_{22}a_{12} + m_{21}a_{12}a_{22} + m_{22}a_{22}a_{22}}{k_{11}a_{12}a_{12} + k_{12}a_{22}a_{12} + k_{21}a_{12}a_{22} + k_{22}a_{22}a_{22}} = \frac{\{a\}_2^T [M] \{a\}_2}{\{a\}_2^T [K] \{a\}_2} \quad (2.3.16)$$

$$\Leftrightarrow p_2^2 = \frac{M_2}{K_2}$$

## 2.4. Coordonate principale sau modale

Se consideră sistemul de ecuații diferențiale (2.1.33):

$$[M]\{\ddot{q}\} + [K]\{q\} = 0 \quad (2.4.1)$$

Dacă se face transformarea de coordonate:

$$\{q\} = [A]\{\xi\} \quad (2.4.2)$$

unde:  $\{q\} = \begin{Bmatrix} q_1 \\ q_2 \end{Bmatrix}$ ,  $\{\xi\} = \begin{Bmatrix} \xi_1 \\ \xi_2 \end{Bmatrix}$  sunt vectorii coordonatelor generalizate  
respectiv a coordonatelor principale (2.4.3)

$$[A] = \begin{bmatrix} a_{11} & a_{12} \\ a_{21} & a_{22} \end{bmatrix} = [\{a\}_1 \quad \{a\}_2] \quad (2.4.4)$$

este matricea coeficienților modurilor proprii.

Înlocuind în (2.4.1) se obține:

$$[M] \cdot [A] \cdot \{\ddot{\xi}\} + [K] \cdot [A] \cdot \{\xi\} = 0 \quad (2.4.5)$$

Se multiplică ecuația matriceală (2.4.5) la stânga cu  $[A]^T$  și se obține:

$$[A]^T [M] \cdot [A] \cdot \{\ddot{\xi}\} + [A]^T \cdot [K] \cdot [A] \cdot \{\xi\} = 0 \quad (2.4.6)$$

Ținând seama de relațiile de ortogonalitate (2.3.7') și (2.3.12') se obține:

$$[A]^T \cdot [M] \cdot [A] = \begin{bmatrix} \{a\}_1^T [M] \cdot \{a\}_1 & \{a\}_1^T [M] \cdot \{a\}_2 \\ \{a\}_2^T [M] \cdot \{a\}_1 & \{a\}_2^T [M] \cdot \{a\}_2 \end{bmatrix} = \begin{bmatrix} M_1 & 0 \\ 0 & M_2 \end{bmatrix} \quad (2.4.7)$$

$$[A]^T \cdot [K] \cdot [A] = \begin{bmatrix} \{a\}_1^T [K] \cdot \{a\}_1 & \{a\}_1^T [K] \cdot \{a\}_2 \\ \{a\}_2^T [K] \cdot \{a\}_1 & \{a\}_2^T [K] \cdot \{a\}_2 \end{bmatrix} = \begin{bmatrix} K_1 & 0 \\ 0 & K_2 \end{bmatrix} \quad (2.4.9)$$

Relația (2.4.7) se scrie:

$$\begin{bmatrix} M_1 & 0 \\ 0 & M_2 \end{bmatrix} \begin{Bmatrix} \ddot{\xi}_1 \\ \ddot{\xi}_2 \end{Bmatrix} + \begin{bmatrix} K_1 & 0 \\ 0 & K_2 \end{bmatrix} \begin{Bmatrix} \xi_1 \\ \xi_2 \end{Bmatrix} = \begin{Bmatrix} 0 \\ 0 \end{Bmatrix} \quad (2.4.10)$$

Ținând seama de relațiile (2.3.14) și (2.3.16) se obține:

$$\begin{cases} \ddot{\xi}_1 + p_1^2 \xi_1 = 0 \\ \ddot{\xi}_2 + p_2^2 \xi_2 = 0 \end{cases} \quad (2.4.11)$$

care reprezintă un sistem complet decuplat (static și dinamic) echivalent cu două sisteme independente cu câte un grad de libertate.

## 2.5. Probleme rezolvate

### 2.5.1. Pendulul dublu

Se consideră sistemul cu două grade de libertate format din 2 tije de masă  $m$  și lungime  $L$  articulate la capătul superior, fiecare tijă având la celălalt capăt câte o piesă cilindrică de masă  $M$ . La distanța  $a$  de articulații tijele sunt legate între ele cu un arc de constantă elastică  $k$  ca în figura 2.5.1. Să se determine pulsațiile și modurile proprii de vibrație.

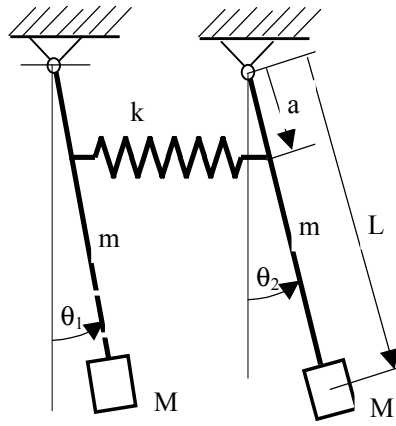


Fig. 2.5.1

Se consideră  $\theta_1$  și  $\theta_2$  ca parametrii ai mișcării sistemului.

Valorile deplasărilor și vitezelor unghiulare la momentul inițial ( $t = 0$ ) sunt:

$$\theta_1 = \theta_1^0; \theta_2 = \theta_2^0; \dot{\theta}_1 = \dot{\theta}_2 = 0 \quad (2.5.1)$$

Energia cinetică a sistemului este:

$$E_c = \frac{1}{2} (J + ML^2) \cdot (\dot{\theta}_1^2 + \dot{\theta}_2^2) \quad (2.5.2)$$

unde  $J = \frac{mL^2}{3}$  este momentul de inerție al barei

Energia potențială a sistemului este formată din energia elastică a arcului și energia potențială gravitațională a sistemului de bare și corpuri:

$$V = \frac{ka^2}{2} [\theta_2 - \theta_1]^2 - gl \left( M + \frac{m}{2} \right) (\cos \theta_1 + \cos \theta_2) \quad (2.5.3)$$

Ecuatiile lui Lagrange se scriu:

$$\frac{d}{dt} \left( \frac{\partial E_c}{\partial \dot{\theta}_k} \right) + \frac{\partial V}{\partial \theta_k} = 0 \Rightarrow \begin{cases} J_0 \ddot{\theta}_1 + k_0 \theta_1 - ka^2 \theta_2 = 0 \\ J_0 \ddot{\theta}_2 - ka^2 \theta_1 + k_0 \theta_2 = 0 \end{cases} \quad (2.5.4)$$

unde s-a notat:

$$\begin{cases} J_0 = \frac{mL^2}{3} + ML^2 \\ k_0 = ka^2 + gl \left( M + \frac{m}{2} \right) \end{cases} \quad (2.5.5)$$

Soluțiile sistemului de ecuații diferențiale (2.5.4) sunt de forma:

$$\begin{cases} \theta_1 = a_1 \cos(pt - \varphi) \\ \theta_2 = a_2 \cos(pt - \varphi) \end{cases} \quad (2.5.6)$$

Introducând în (2.5.4) se obține sistemul omogen:

$$\begin{cases} (-J_0 p^2 + k_0) a_1 - ka^2 a_2 = 0 \\ -ka^2 a_1 + (-J_0 p^2 + k_0) a_2 = 0 \end{cases} \quad (2.5.7)$$

Condiția de compatibilitate a sistemului omogen (2.5.7) se scrie:

$$\begin{vmatrix} k_0 - J_0 p^2 & -ka^2 \\ -ka^2 & k_0 - J_0 p^2 \end{vmatrix} = 0 \quad (2.5.8)$$

$$(k_0 - J_0 p^2)^2 - (ka^2)^2 = 0 \quad (2.5.9)$$

Rezolvând ecuația (2.5.9) rezultă cele 2 pulsații proprii:

$$p_1 = \sqrt{\frac{k_0 - ka^2}{J_0}} = \sqrt{\frac{g \left( M + \frac{m}{2} \right)}{L \left( M + \frac{m}{3} \right)}} \quad (2.5.10)$$

$$p_2 = \sqrt{\frac{k_0 + ka^2}{J_0}} = \sqrt{\frac{gL \left( M + \frac{m}{2} \right) + 2ka^2}{L^2 \left( M + \frac{m}{3} \right)}} \quad (2.5.11)$$

Mișcările corespunzătoare modului  $r$  de vibrație ( $r=1,2$ ) sunt:

$$\begin{cases} \theta_{1r} = a_{1r} \cos(p_r t - \varphi_r) \\ \theta_{2r} = a_{2r} \cos(p_r t - \varphi_r) \end{cases} \quad (2.5.12)$$

Coefficienții de distribuție se determină din (2.5.7):

$$\begin{aligned} \mu_{21} &= \frac{a_{21}}{a_{11}} = \frac{k_0 - p_1^2 J_0}{ka^2} = 1 \\ \mu_{22} &= \frac{a_{22}}{a_{12}} = \frac{k_0 - p_2^2 J_0}{ka^2} = -1 \end{aligned} \quad (2.5.13)$$

Soluția generală se obține prin însumarea celor două mișcări corespunzătoare celor două moduri proprii de vibrație:

$$\begin{cases} \theta_1 = \theta_{11} + \theta_{12} = a_{11} \cos(p_1 t - \varphi_1) + a_{12} \cos(p_2 t - \varphi_2) \\ \theta_2 = \theta_{21} + \theta_{22} = \mu_{21} a_{11} \cos(p_1 t - \varphi_1) + \mu_{22} a_{12} \cos(p_2 t - \varphi_2) \end{cases} \quad (2.5.14)$$

sau:

$$\begin{cases} \theta_1 = \theta_{11} + \theta_{12} = C_1 \cos(p_1 t - \varphi_1) + C_2 \cos(p_2 t - \varphi_2) \\ \theta_2 = \theta_{21} + \theta_{22} = C_1 \cos(p_1 t - \varphi_1) - C_2 \cos(p_2 t - \varphi_2) \end{cases} \quad (2.5.14')$$

unde s-a notat:  $C_1 = a_{11}$ ;  $C_2 = a_{12}$ ;

Pentru anumite condiții inițiale se obțin mișcări ale sistemului corespunzătoare celor două moduri proprii de vibrație:

➤ modul 1 se obține pentru:

$$t=0 \Rightarrow \theta_1 = \theta_2 = \alpha; \quad \dot{\theta}_1 = \dot{\theta}_2 = 0 \quad (2.5.15)$$

înlocuind în soluția generală (2.5.14) rezultă:  $C_2 = \alpha$ ;  $C_2 = 0$ ;  $\varphi_1 = \varphi_2 = 0$

deci se obține:

$$\begin{cases} \theta_1 = \alpha \cos p_1 t \\ \theta_2 = \alpha \cos p_1 t \end{cases} \quad (2.5.16)$$

➤ modul 2 se obține pentru:

$$t=0 \Rightarrow \theta_1 = -\theta_2 = \alpha; \quad \dot{\theta}_1 = \dot{\theta}_2 = 0 \quad (2.5.17)$$

înlocuind în soluția generală (2.5.14) rezultă:  $C_2 = 0$ ;  $C_1 = \alpha$ ;  $\varphi_1 = \varphi_2 = 0$   
deci se obține:

$$\begin{cases} \theta_1 = -\alpha \cos p_2 t \\ \theta_2 = \alpha \cos p_2 t \end{cases} \quad (2.5.18)$$

Reprezentarea modurilor proprii de vibrație este dată în figura 2.5.2

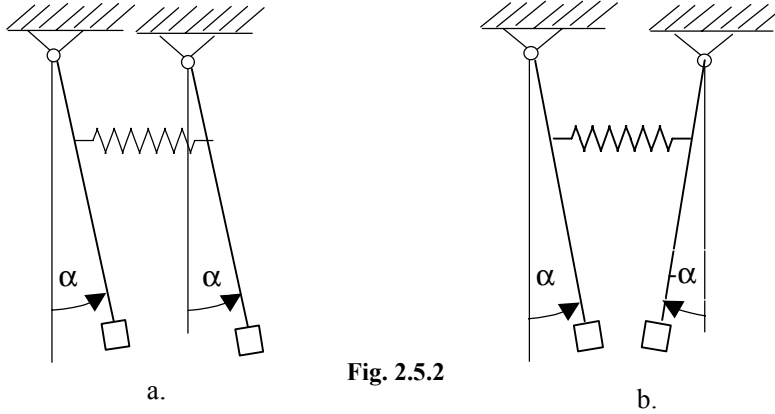


Fig. 2.5.2

Pentru următoarele condiții inițiale:

$$\theta_1 = \alpha; \quad \theta_2 = 0 \quad \dot{\theta}_1 = \dot{\theta}_2 = 0 \quad (2.5.19)$$

înlocuind în soluția generală (2.5.14) rezultă:  $C_1 = C_2 = \alpha / 2$ ;  $\varphi_1 = \varphi_2 = 0$   
și se obține:

$$\begin{cases} \theta_1 = \frac{\alpha}{2} \cos p_1 t + \frac{\alpha}{2} \cos p_2 t = \alpha \cdot \cos\left(\frac{p_2 - p_1}{2} t\right) \cdot \cos\left(\frac{p_2 + p_1}{2} t\right) \\ \theta_2 = \frac{\alpha}{2} \cos p_1 t - \frac{\alpha}{2} \cos p_2 t = \alpha \cdot \sin\left(\frac{p_2 - p_1}{2} t\right) \cdot \sin\left(\frac{p_2 + p_1}{2} t\right) \end{cases} \quad (2.5.20)$$

Aceasta este o mișcare de frecvență  $f_1 = (p_2 + p_1) / 4\pi$  modulată în amplitudine de o funcție armonică având frecvența  $f_2 = (p_2 - p_1) / 4\pi$ . Această mișcare se numește fenomenul bătăilor întâlnită la capitolul 1 în zona de rezonanță a oscilațiilor sistemelor cu un grad de libertate.

### 2.5.2. Sistem format din mase și discuri omogene

Se consideră sistemul cu două grade de libertate format din două roți omogene de mase  $m_2$  și  $m_3$  legate între ele prin intermediul unui fir flexibil și inextensibil la capătul căruia este legat un corp de masă  $m_1$  prin intermediul unui arc de rigiditate  $k_1$ . Celălalt capăt al firului este legat de mediul fix. Roata omogenă de masă  $m_2$  este legată de mediul fix printr-o articulație iar roata omogenă de masă  $m_3$  este legată prin intermediul unui arc de rigiditate  $k_2$  (fig. 2.5.3). Să se determine pulsațiile proprii ale vibrațiilor libere și modurile proprii de vibrație.

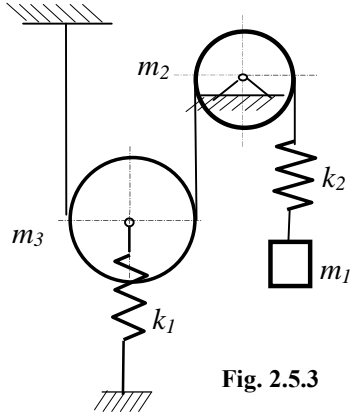


Fig. 2.5.3

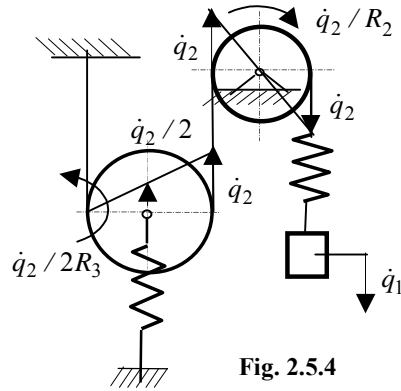


Fig. 2.5.4

Date numerice:  $m_1=4$  kg;  $m_2=1$  kg;  
 $m_3=2$  kg  $k_1=50$  kN/m  $k_2=80$  kN/m

Pentru scrierea ecuațiilor de mișcare se folosesc ecuațiile lui Lagrange:

$$\frac{d}{dt} \left( \frac{\partial L}{\partial \dot{q}_k} \right) - \frac{\partial L}{\partial q_k} = 0 \quad (2.5.21)$$

$$\frac{d}{dt} \left( \frac{\partial E_c}{\partial \dot{q}_k} \right) + \frac{\partial V}{\partial q_k} = 0; \quad (2.5.22)$$

$k = 1, 2$

unde

$q_1, q_2$  sunt coordonatele generalizate ale sistemului

Pentru analiza cinematică a mișcării din figura 2.5.4 s-a notat:

$q_1, \dot{q}_1$  deplasarea respectiv viteza generalizată a corpului de masă  $m_1$ ;

$q_2/R_2, \dot{q}_2/R_2$  rotirea, respectiv viteza unghiulară a corpului de masă  $m_2$

$q_2/2, \dot{q}_2/2R_3$  deplasarea centrului de masă respectiv viteza unghiulară a roții de masă  $m_3$ .

Energia cinetică totală a sistemului se scrie:

$$E_c = \frac{1}{2} m_1 \dot{q}_1^2 + \frac{1}{2} \frac{m_2 R_2^2}{2} \frac{\dot{q}_2^2}{R_2^2} + \frac{1}{2} m_3 \left( \frac{\dot{q}_2}{2} \right)^2 + \frac{1}{2} \frac{m_3 R_3^2}{2} \left( \frac{\dot{q}_2}{2R_3} \right)^2$$

$$E_c = \frac{1}{2} m_1 \dot{q}_1^2 + \frac{1}{2} \left( \frac{m_2}{2} + \frac{3m_3}{8} \right) \dot{q}_2^2 = \frac{1}{2} m_1 \dot{q}_1^2 + \frac{1}{2} m_0 \dot{q}_2^2 \quad (2.5.23)$$

$$\text{unde s-a notat: } m_0 = \left( \frac{m_2}{2} + \frac{3m_3}{8} \right) \quad (2.5.24)$$

$V$  este energia potențială a sistemului :

$$V = \frac{1}{2} k_2 (q_1 - q_2)^2 + \frac{1}{2} k_1 \left( \frac{q_2}{2} \right)^2 \quad (2.5.25)$$

Derivatele parțiale se calculează imediat:

$$\frac{\partial E_c}{\partial \dot{q}_1} = m_1 \dot{q}_1; \quad \frac{\partial E_c}{\partial \dot{q}_2} = \left( \frac{m_2}{2} + \frac{3m_3}{8} \right) \dot{q}_2 = m_0 \dot{q}_2$$

$$\frac{\partial V}{\partial q_1} = k_2 (q_1 - q_2); \quad \frac{\partial V}{\partial q_2} = -k_2 (q_1 - q_2) + \frac{1}{4} k_1 q_2 \quad (2.5.26)$$



Ecuatiile (2.5.22) se scriu:

$$\begin{cases} m_1 \ddot{q}_1 + k_2 (q_1 - q_2) = 0 \\ m_0 \ddot{q}_2 - k_2 (q_1 - q_2) + \frac{1}{4} k_1 q_2 = 0 \end{cases} \quad (2.5.27)$$

Soluțiile ecuațiilor diferențiale (2.5.27) sunt de forma:

$$\begin{cases} q_1 = a_1 \cos(pt - \varphi) \\ q_2 = a_2 \cos(pt - \varphi) \end{cases} \Rightarrow \begin{cases} \ddot{q}_1 = -p^2 a_1 \cos(pt - \varphi) \\ \ddot{q}_2 = -p^2 a_2 \cos(pt - \varphi) \end{cases} \quad (2.5.28)$$

Înlocuind în sistemul (2.5.27) se obține:

$$\begin{cases} (-p^2 m_1 + k_2) a_1 - k_2 a_2 = 0 \\ -k_2 a_1 + (-p^2 m_0 + k_2 + k_1/4) a_2 = 0 \end{cases} \quad (2.5.29)$$

Ecuția caracteristică a pulsațiilor proprii este:

$$\begin{aligned} & \begin{vmatrix} -p^2 m_1 + k_2 & -k_2 \\ -k_2 & -p^2 m_0 + k_2 + k_1/4 \end{vmatrix} = 0 \quad \Leftrightarrow \\ & (-p^2 m_1 + k_2)(-p^2 m_0 + k_2 + k_1/4) - k_2^2 = 0 \\ & m_1 m_0 p^4 - (m_1 k_2 + m_1 k_1/4 + m_0 k_2) p^2 + k_1 k_2/4 = 0 \\ & \text{sau: } p^4 - 2 \left( \frac{k_2}{2m_0} + \frac{k_1}{8m_0} + \frac{k_2}{2m_1} \right) p^2 + \frac{k_1 k_2}{4m_1 m_0} = 0 \end{aligned} \quad (2.5.30)$$

având rădăcinile:

$$p_{1,2}^2 = \frac{k_2}{2m_0} + \frac{k_1}{8m_0} + \frac{k_2}{2m_1} \mp \sqrt{\left( \frac{k_2}{2m_0} + \frac{k_1}{8m_0} + \frac{k_2}{2m_1} \right)^2 - \frac{k_1 k_2}{4m_1 m_0}} \quad (2.5.31)$$

Înlocuind valorile :  $m_1 = m_2 = m$ ;  $m_3 = 4m$ ;  $m_0 = 2m$ ;  $k_1 = k$ ;  $k_2 = 2k$  în relațiile (2.5.31) se obține:

$$\begin{aligned} p_{1,2}^2 &= \frac{25k}{16m} \mp \sqrt{\left( \frac{25k}{16m} \right)^2 - \frac{k^2}{4m^2}} \\ \Rightarrow \begin{cases} p_1^2 = 0,082 \frac{k}{m} \\ p_2^2 = 3,043 \frac{k}{m} \end{cases} &\Rightarrow \begin{cases} p_1 = 0,2866 \sqrt{\frac{k}{m}} \\ p_2 = 1,744 \sqrt{\frac{k}{m}} \end{cases} \end{aligned} \quad (2.5.32)$$

Modurile proprii rezultă din prima ecuație (2.5.29) exprimând amplitudinea  $a_2$  funcție de  $a_1$  :

$$a_2 = \left( \frac{-p^2 m_1 + k_2}{k_2} \right) a_1 \quad (2.5.33)$$

➤ coeficienții de distribuție pentru primul mod de vibrație sunt:

$$\begin{cases} \mu_{11} = \frac{a_{11}}{a_{11}} = 1 \\ \mu_{21} = \frac{a_{21}}{a_{11}} = \frac{-p_1^2 m_1 + k_2}{k_2} = 0,959 \end{cases} \quad (2.5.34)$$

➤ coeficienții de distribuție pentru al doilea mod de vibrație sunt:

$$\begin{cases} \mu_{12} = \frac{a_{12}}{a_{12}} = 1 \\ \mu_{22} = \frac{a_{22}}{a_{12}} = \frac{-p_2^2 m_1 + k_2}{k_2} = 2,522 \end{cases} \quad (2.5.35)$$

### 2.5.3. Vibrații transversale ale barelor

Se consideră sistemul format dintr-o bară dreaptă încastrată la un capăt și rezemată la distanța  $2L$  având rigiditatea la încovoiere constantă ( $EI$ ) și lungimea  $3L$  pe care se află montate două roți de mase  $m_1=2m$  și  $m_2=m$  ca în figura 2.5.5. Să se determine pulsațiile și modurile proprii de vibrație.

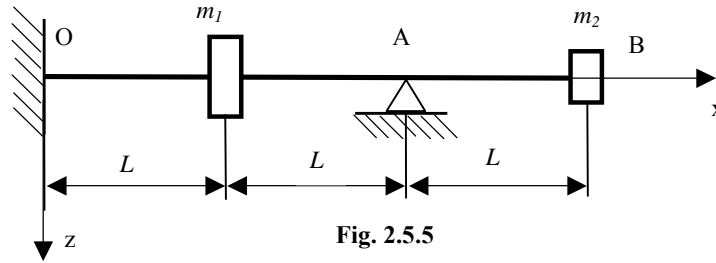


Fig. 2.5.5

Se consideră parametrii mișcării sistemului deplasările  $x_1$  și  $x_2$  ale roților de mase  $m_1$  și  $m_2$  pe direcția Oz. Pentru scrierea ecuațiilor de mișcare se folosește metoda coeficienților de influență. Se exprimă deplasările maselor în funcție de forțele de inerție  $\Phi_j$  și coeficienții de influență  $\delta_{ij}$ :

$$\begin{cases} x_1 = \delta_{11}\Phi_1 + \delta_{12}\Phi_2 \\ x_2 = \delta_{21}\Phi_1 + \delta_{22}\Phi_2 \end{cases} \quad (2.5.36)$$

unde:

- $\Phi_1 = -m_1\ddot{x}_1$ ;  $\Phi_2 = -m_2\ddot{x}_2$  sunt forțele de inerție corespunzătoare celor două mase.
- $\delta_{11}$ ,  $\delta_{21}$  sunt coeficienții de influență sau deplasările corespunzătoare unei forțe unitare ce acționează asupra barei în locul corpului 1 (fig.2.5.6):
- $\delta_{12}$ ,  $\delta_{22}$  sunt coeficienții de influență sau deplasările corespunzătoare unei forțe unitare ce acționează asupra corpului 2 (fig.2.5.7):

Înlocuind în relațiile (2.5.36) se obține:

$$\begin{cases} m_1 \delta_{11} \ddot{x}_1 + m_2 \delta_{12} \ddot{x}_2 + x_1 = 0 \\ m_1 \delta_{21} \ddot{x}_1 + m_2 \delta_{22} \ddot{x}_2 + x_2 = 0 \end{cases} \quad (2.5.37)$$

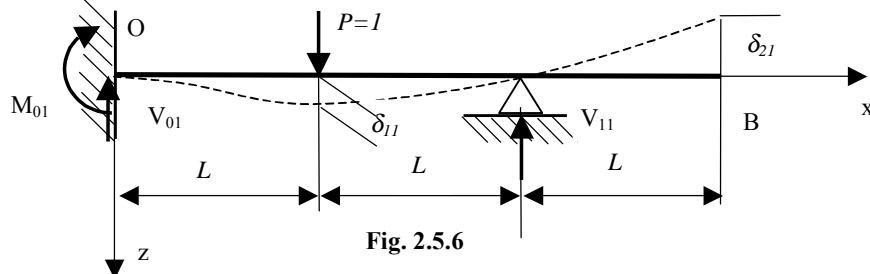


Fig. 2.5.6

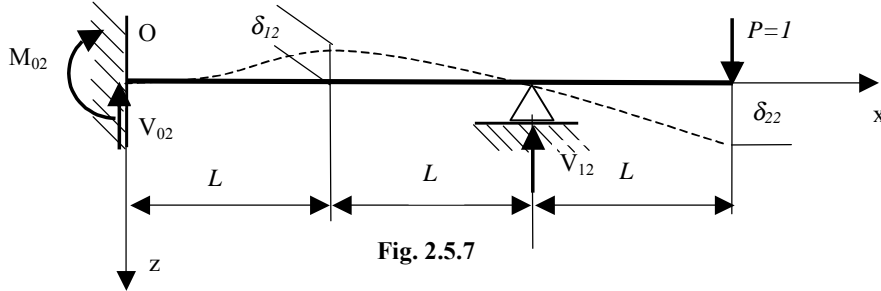


Fig. 2.5.7

Pentru a calcula deplasările  $\delta_{11}$ ,  $\delta_{21} = \delta_{12}$ ,  $\delta_{22}$  se determină reacțiunile pentru fiecare din cele două cazuri de încărcare. Rezultă următoarele valori:

$$\triangleright V_{01} = \frac{11}{16}P; \quad M_{01} = -\frac{3}{8}PL; \quad V_{11} = \frac{5}{16}P \quad (2.5.38)$$

$$\triangleright V_{02} = -\frac{3}{4}P; \quad M_{02} = \frac{1}{2}PL; \quad V_{12} = \frac{7}{4}P \quad (2.5.39)$$

Cu ajutorul lor se trasează diagramele de momente pentru fiecare din cele două cazuri (fig.2.5.8).

Deplasările  $\delta_{11}$ ,  $\delta_{21} = \delta_{12}$ ,  $\delta_{22}$  se determină cu ajutorul metodei Mohr-Maxwell

$$\delta_{11} = \int \frac{m_1 m_1}{EI} dx; \quad \delta_{21} = \delta_{12} = \int \frac{m_1 m_2}{EI} dx; \quad \delta_{22} = \int \frac{m_2 m_2}{EI} dx$$

unde:  $m_1$  este momentul din bară produs de o forță  $P=1$  ce acționează în 1  
 $m_2$  este momentul din bară produs de o forță  $P=1$  ce acționează în 2.

$$\begin{aligned} EI\delta_{11} &= \int m_1 m_1 dx = \sum \frac{L}{6} (k_1 h_1 + 4kh + k_2 h_2) \\ EI\delta_{11} &= \frac{L}{6} \left[ 0 \cdot 0 + 4 \left( \frac{5L}{32} \right) \left( \frac{5L}{32} \right) + \left( \frac{5L}{16} \right) \cdot \left( \frac{5L}{16} \right) \right] + \\ &+ \frac{L}{6} \left[ \left( \frac{5L}{16} \right) \cdot \left( \frac{5L}{16} \right) + 4 \left( -\frac{L}{32} \right) \left( -\frac{L}{32} \right) + \left( -\frac{3L}{8} \right) \left( -\frac{3L}{8} \right) \right] \Rightarrow \delta_{11} = \frac{7}{96} \frac{L^3}{EI} \end{aligned} \quad (2.5.40)$$

$$\begin{aligned}
 E\delta_{12} = E\delta_{21} &= \int m_1 m_2 dx = \sum \frac{L}{6} (k_1 h_1 + 4kh + k_2 h_2) \\
 E\delta_{12} &= \frac{L}{6} \left[ 0 \cdot (-L) + 4 \left( \frac{5L}{32} \right) \left( -\frac{5L}{8} \right) + \left( \frac{5L}{16} \right) \cdot \left( -\frac{L}{4} \right) \right] + \\
 &+ \frac{L}{6} \left[ \left( \frac{5L}{16} \right) \cdot \left( -\frac{L}{4} \right) + 4 \left( -\frac{L}{32} \right) \left( \frac{L}{8} \right) + \left( -\frac{3L}{8} \right) \left( \frac{L}{2} \right) \right] \Rightarrow \delta_{12} = \delta_{21} = -\frac{1}{8} \frac{L^3}{EI}
 \end{aligned} \quad (2.5.41)$$

$$\begin{aligned}
 E\delta_{22} &= \int m_2 m_2 dx = \sum \frac{L}{6} (k_1 h_1 + 4kh + k_2 h_2) \\
 E\delta_{22} &= \frac{L}{6} \left[ 0 \cdot 0 + 4 \left( -\frac{L}{2} \right) \left( -\frac{L}{2} \right) + (-L) \cdot (-L) \right] + \\
 &+ \frac{2L}{6} \left[ (-L) \cdot (-L) + 4 \left( -\frac{L}{4} \right) \left( -\frac{L}{4} \right) + \left( \frac{L}{2} \right) \left( \frac{L}{2} \right) \right] \Rightarrow \delta_{22} = \frac{5}{6} \frac{L^3}{EI}
 \end{aligned} \quad (2.5.42)$$

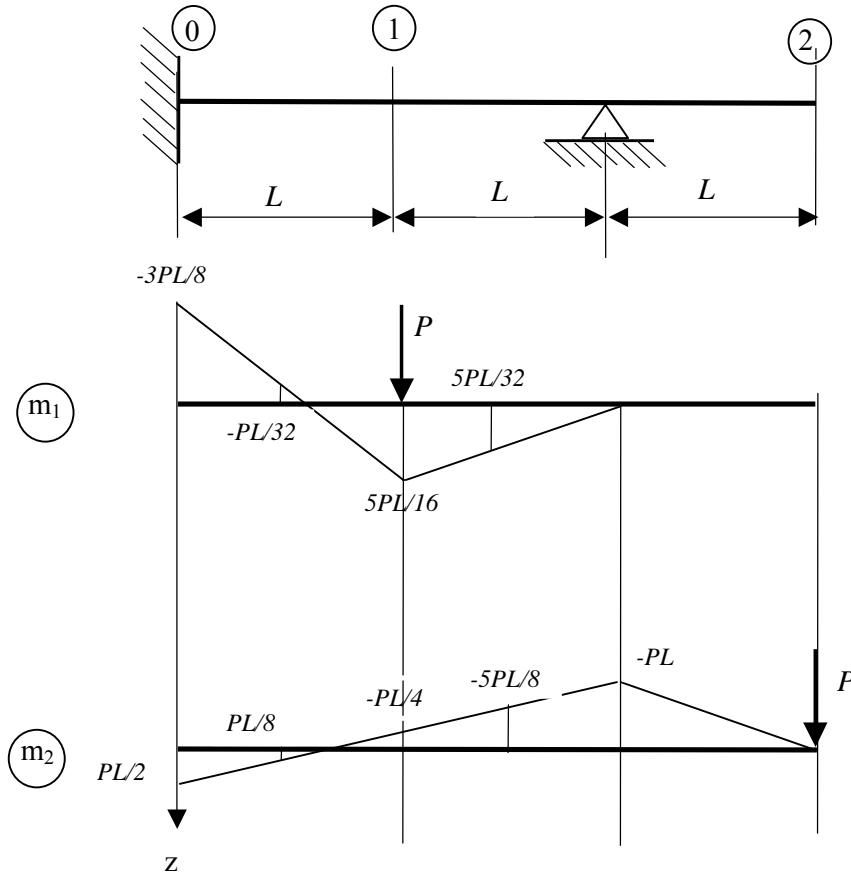


Fig. 2.5.8

Înlocuind în ecuațiile (2.5.37) valorile obținute se obține:

$$\begin{cases} \frac{7}{96} \frac{2mL^3}{EI} \ddot{x}_1 - \frac{1}{8} \frac{mL^3}{EI} \ddot{x}_2 + x_1 = 0 \\ -\frac{1}{8} \frac{2mL^3}{EI} \ddot{x}_1 + \frac{5}{6} \frac{mL^3}{EI} \ddot{x}_2 + x_2 = 0 \end{cases} \quad (2.5.43)$$

Notând  $\alpha = \frac{PL^3}{EI}$  ecuațiile (2.5.43) se mai scriu:

$$\begin{cases} 7\alpha \ddot{x}_1 - 6\alpha \ddot{x}_2 + 48x_1 = 0 \\ -3\alpha \ddot{x}_1 + 10\alpha \ddot{x}_2 + 12x_2 = 0 \end{cases} \quad (2.5.43')$$

Soluțiile ecuațiilor diferențiale (2.5.43) sunt de forma:

$$\begin{cases} x_1 = a_1 \cos(pt - \varphi) \\ x_2 = a_2 \cos(pt - \varphi) \end{cases} \Rightarrow \begin{cases} \ddot{x}_1 = -p^2 a_1 \cos(pt - \varphi) \\ \ddot{x}_2 = -p^2 a_2 \cos(pt - \varphi) \end{cases} \quad (2.5.44)$$

Înlocuind în sistemul (2.5.27) se obține:

$$\begin{cases} (-7\alpha p^2 + 48)a_1 + 6\alpha p^2 a_2 = 0 \\ 3\alpha p^2 a_1 + (-10\alpha p^2 + 12)a_2 = 0 \end{cases} \quad (2.5.45)$$

Ecuația caracteristică a pulsațiilor proprii este:

$$\begin{vmatrix} -7\alpha p^2 + 48 & 6\alpha p^2 \\ 3\alpha p^2 & -10\alpha p^2 + 12 \end{vmatrix} = 0 \quad (2.5.46)$$

$$\Leftrightarrow 13\alpha^2 p^4 - 141\alpha p^2 + 144 = 0$$

Rădăcinile pozitive ale acestei ecuații sunt pulsațiile proprii:

$$\begin{aligned} p_1 &= \frac{1,068}{\sqrt{\alpha}} = 1,068 \sqrt{\frac{EI}{mL^3}} \\ p_2 &= \frac{3,115}{\sqrt{\alpha}} = 3,115 \sqrt{\frac{EI}{mL^3}} \end{aligned} \quad (2.5.47)$$

Modurile proprii se determină cu ajutorul primei (sau a doua) din ecuațiile sistemului omogen (2.5.45):

$$a_2 = \frac{7\alpha p^2 - 48}{6\alpha p^2} a_1 \quad (2.5.48)$$

➤ Modul 1 de vibrație (fig. 2.5.9.a):

$$\mu_{11} = 1; \quad \mu_{21} = \frac{a_{21}}{a_{11}} = \frac{7\alpha p_1^2 - 48}{6\alpha p_1^2} = -5,845 \quad (2.5.49)$$

➤ Modul 2 de vibrație (fig. 2.5.9.b):

$$\mu_{12} = 1; \quad \mu_{22} = \frac{a_{22}}{a_{12}} = \frac{7\alpha p_2^2 - 48}{6\alpha p_2^2} = 0,342 \quad (2.5.50)$$

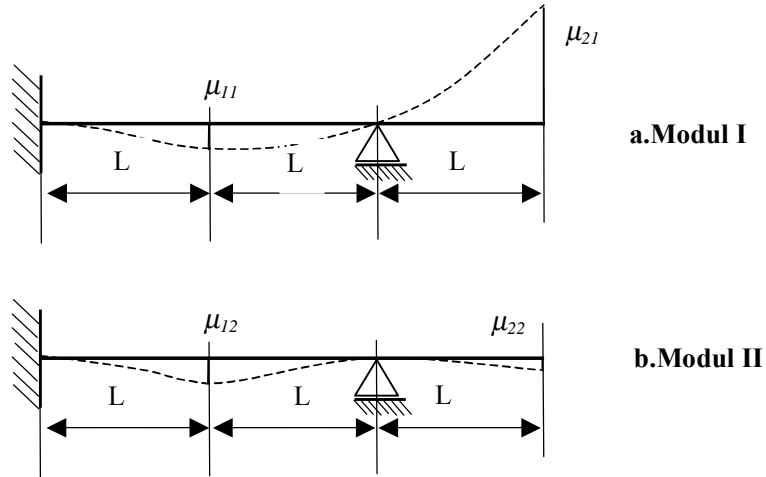


Fig. 2.5.9

### 2.5.4. Vibrații torsionale ale arborilor

Se consideră cazul general al unui arbore format din trei tronsoane de lungime  $L_i$  și diametre  $d_i$  și rigidități la răsucire constante pe care se află doi volanți (roți dințate sau discuri) având momentele de inerție  $J_i$  fixat la ambele capete ca în figura 2.5.10. Se neglijează masa arborelui. Să se determine pulsațiile proprii și modurile proprii de vibrație pentru cazul general.

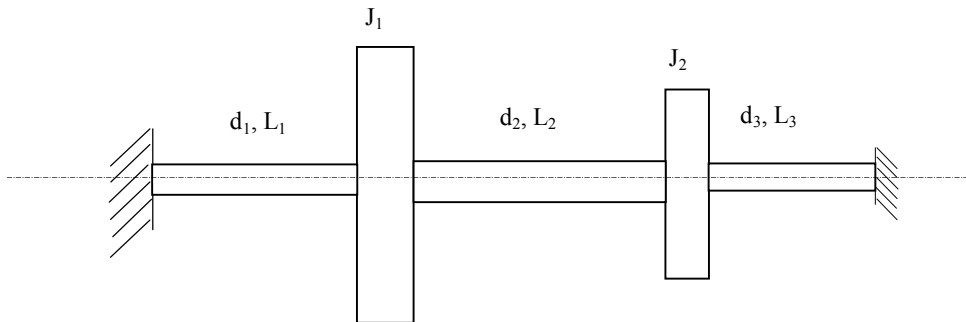


Fig. 2.5.10

Ecuatiile diferențiale ale vibrațiilor de răsucire ale arborilor se vor scrie folosind ecuațiile lui Lagrange:

$$\frac{d}{dt} \left( \frac{\partial E}{\partial \dot{\phi}_i} \right) + \frac{\partial V}{\partial \phi_i} = 0; \quad i = 1, 2, 3. \quad (2.5.51)$$

unde, așa cum rezultă din figura 2.5.11, energia cinetică  $E$  și energia potențială  $V$  au expresiile:

$$\begin{cases} E = \frac{1}{2} J_1 \dot{\varphi}_1^2 + \frac{1}{2} J_2 \dot{\varphi}_2^2 \\ V = \frac{1}{2} k_1 \varphi_1^2 + \frac{1}{2} k_2 (\varphi_2 - \varphi_1)^2 + \frac{1}{2} k_3 \varphi_2^2 \end{cases} \quad (2.5.52)$$

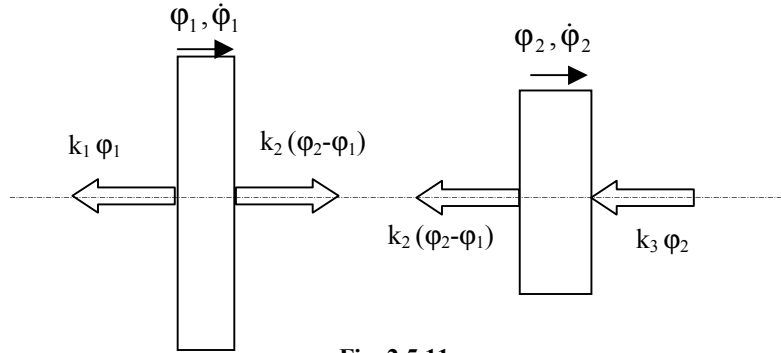


Fig. 2.5.11

iar constantele elastice la răsucire au expresiile:

$$k_1 = \frac{\pi d_1^4 G}{32 L_1}; \quad k_2 = \frac{\pi d_2^4 G}{32 L_2}; \quad k_3 = \frac{\pi d_3^4 G}{32 L_3}. \quad (2.5.53)$$

Derivatele parțiale sunt:

$$\begin{aligned} \frac{\partial E}{\partial \dot{\varphi}_1} &= J_1 \dot{\varphi}_1; & \frac{\partial E}{\partial \dot{\varphi}_2} &= J_2 \dot{\varphi}_2 \\ \frac{\partial V}{\partial \varphi_1} &= k_1 \varphi_1 - k_2 (\varphi_2 - \varphi_1); & \frac{\partial V}{\partial \varphi_2} &= k_2 (\varphi_2 - \varphi_1) + k_3 \varphi_2; \end{aligned} \quad (2.5.54)$$

Înlocuind în ecuațiile (2.5.51) se obține sistemul de ecuații diferențiale:

$$\begin{cases} J_1 \ddot{\varphi}_1 + k_1 \varphi_1 - k_2 (\varphi_2 - \varphi_1) = 0 \\ J_2 \ddot{\varphi}_2 + k_2 (\varphi_2 - \varphi_1) + k_3 \varphi_2 = 0 \end{cases} \quad (2.5.55)$$

Soluțiile vibrațiilor libere sunt de forma:

$$\varphi_i = a_i \cos(pt - \theta_i), \quad i = 1, 2. \quad (2.5.56)$$

Introducând soluțiile (2.5.56) în (2.5.55) se obține sistemul omogen:

$$\begin{cases} (-J_1 p^2 + k_1 + k_2) a_1 - k_2 a_2 = 0 \\ -k_2 a_1 + (-J_2 p^2 + k_2 + k_3) a_2 = 0 \end{cases} \quad (2.5.57)$$

Condiția ca sistemul (2.5.57) să admită soluții nebanale se scrie:

$$\begin{vmatrix} -J_1 p^2 + k_1 + k_2 & -k_2 \\ -k_2 & -J_2 p^2 + k_2 + k_3 \end{vmatrix} = 0 \quad (2.5.58)$$

Se obține ecuația caracteristică:

$$(k_1 + k_2 - J_1 p^2)(k_2 + k_3 - J_2 p^2) - k_2^2 = 0 \quad (2.5.59)$$

care se mai scrie:

$$J_1 J_2 p^4 - p^2 (J_1 (k_2 + k_3) + J_2 (k_1 + k_2)) + k_1 k_2 + k_1 k_3 + k_2 k_3 = 0$$

$$\text{sau } p^4 - p^2 \left( \frac{k_2 + k_3}{J_2} + \frac{k_1 + k_2}{J_1} \right) + \frac{k_1 k_2 + k_1 k_3 + k_2 k_3}{J_1 J_2} = 0 \quad (2.5.60)$$

Dacă se notează:

$$2\alpha = \left( \frac{k_1 + k_2}{J_1} + \frac{k_2 + k_3}{J_2} \right); \quad \beta = \left( \frac{k_1 k_2 + k_1 k_3 + k_2 k_3}{J_1 J_2} \right) \quad (2.5.61)$$

se obțin pulsațiile proprii sub forma:

$$p_{1,2} = \sqrt{\alpha \mp \sqrt{\alpha^2 - \beta}} \quad (2.5.62)$$

### Aplicație

Pentru cazul particular din figura 2.5.12 se cere să se determine pulsațiile și modurile proprii de vibrație. Se cunosc valorile constantei elastice  $k$  și ale momentului de inerție  $J$ .

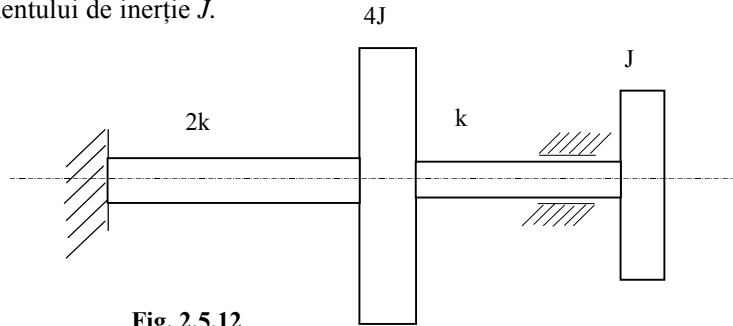


Fig. 2.5.12

Prin identificarea termenilor sistemului din figura 2.5.10 cu cei ai sistemului din figura 2.5.12 rezultă:

$$k_1 = 2k; \quad k_2 = k; \quad k_3 = 0; \quad J_1 = 4J; \quad J_2 = J; \quad (2.5.63)$$

Ecuția pulsațiilor proprii (2.5.60) se scrie:

$$p^4 - \frac{3k}{2J} p^2 + \frac{k^2}{2J^2} = 0 \quad (2.5.64)$$

Se obțin pulsațiile proprii:

$$\begin{cases} p_1 = 0,707 \sqrt{\frac{k}{J}}; \\ p_2 = \sqrt{\frac{k}{J}} \end{cases} \quad (2.5.65)$$

Modurile proprii se obțin din prima ecuație (2.5.57)

$$a_2 = \frac{-J_1 p^2 + k_1 + k_2}{k_2} a_1$$

$$\Rightarrow \mu_2 = \frac{a_2}{a_1} = \frac{-4Jp^2 + 3k}{k} \quad (2.5.66)$$



➤ Modul 1 de vibrație:

$$\mu_{11} = 1$$

$$\mu_{21} = \frac{a_{21}}{a_{11}} = \frac{-4Jp_1^2 + 3k}{k} = 1 \quad (2.5.67)$$

➤ Modul 2 de vibrație:

$$\mu_{12} = 1$$

$$\mu_{22} = \frac{a_{21}}{a_{11}} = \frac{-4Jp_2^2 + 3k}{k} = -1 \quad (2.5.68)$$

Din forma modurilor proprii așa cum rezultă din figura 2.5.13 primul mod de vibrație (2.5.67) corespunde vibrațiilor în fază iar al doilea mod (2.5.68) vibrațiilor în opoziție de fază ale celor două roți.

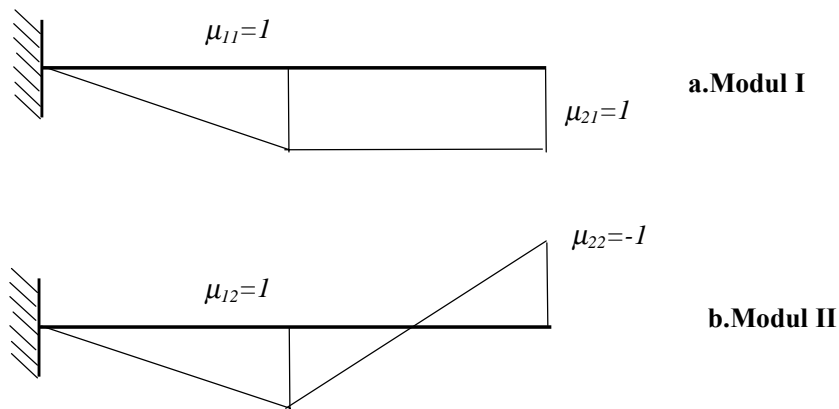


Fig. 2.5.13

## 2.6. Vibrații libere amortizate

Modelul matematic general al vibrațiilor amortizate este format din două corpuri mase  $m_1$  și  $m_2$  legate între ele și de mediul fix cu arcurile de constantă elastică  $k_1$ ,  $k_2$  și  $k_3$  și cu elementele de amortizare vâscoasă  $c_1$ ,  $c_2$  și  $c_3$  ca în figura 2.6.1.

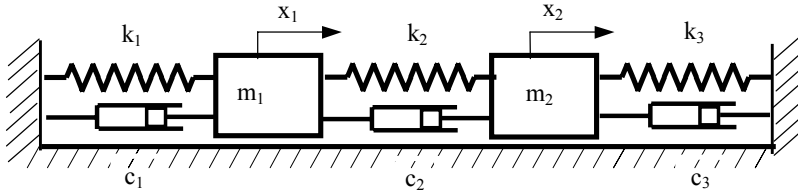


Fig. 2.6.1

Ecuatiile diferențiale se pot scrie folosind teorema impulsului după ce se izolează fiecare corp și se introduc forțele de legătură din cele două arcuri (fig. 2.6.2):

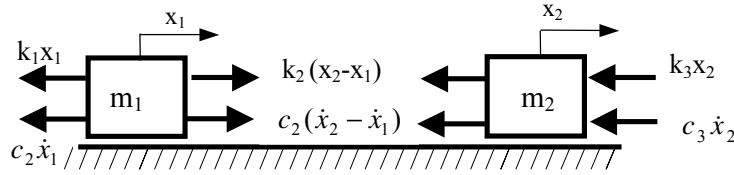


Fig. 2.6.2

Se obține:

$$\begin{cases} m_1 \ddot{x}_1 = -k_1 x_1 - c_1 \dot{x}_1 + k_2 (x_2 - x_1) + c_2 (\dot{x}_2 - \dot{x}_1) \\ m_2 \ddot{x}_2 = -k_2 (x_2 - x_1) - c_2 (\dot{x}_2 - \dot{x}_1) - k_3 x_2 - c_3 \dot{x}_2 \end{cases} \quad (2.6.1)$$

sau:

$$\begin{cases} m_1 \ddot{x}_1 + c_1 \dot{x}_1 - c_2 (\dot{x}_2 - \dot{x}_1) + k_1 x_1 - k_2 (x_2 - x_1) = 0 \\ m_2 \ddot{x}_2 + c_2 (\dot{x}_2 - \dot{x}_1) + k_2 (x_2 - x_1) + k_3 x_2 + c_3 \dot{x}_2 = 0 \end{cases} \quad (2.6.2)$$

Pentru cazul general al unui sistem cu două grade de libertate și folosirii coordonatelor generalizate ecuațiile diferențiale (2.6.2) se scriu:

$$\begin{cases} m_{11} \ddot{q}_1 + m_{12} \ddot{q}_2 + c_{11} \dot{q}_1 + c_{12} \dot{q}_2 + k_{11} q_1 + k_{12} q_2 = 0 \\ m_{21} \ddot{q}_1 + m_{22} \ddot{q}_2 + c_{21} \dot{q}_1 + c_{22} \dot{q}_2 + k_{21} q_1 + k_{22} q_2 = 0 \end{cases} \quad (2.6.3)$$

sau matriceal:

$$\begin{bmatrix} m_{11} & m_{12} \\ m_{21} & m_{22} \end{bmatrix} \begin{Bmatrix} \ddot{q}_1 \\ \ddot{q}_2 \end{Bmatrix} + \begin{bmatrix} c_{11} & c_{12} \\ c_{21} & c_{22} \end{bmatrix} \begin{Bmatrix} \dot{q}_1 \\ \dot{q}_2 \end{Bmatrix} + \begin{bmatrix} k_{11} & k_{12} \\ k_{21} & k_{22} \end{bmatrix} \begin{Bmatrix} q_1 \\ q_2 \end{Bmatrix} = \begin{Bmatrix} 0 \\ 0 \end{Bmatrix} \quad (2.6.4)$$

Acesta este un sistem linear de ecuații diferențiale având soluții de forma:

$$\begin{cases} q_1 = a_1 e^{rt} \\ q_2 = a_2 e^{rt} \end{cases} \Rightarrow \begin{cases} \dot{q}_1 = a_1 r e^{rt} \\ \dot{q}_2 = a_2 r e^{rt} \end{cases} \Rightarrow \begin{cases} \ddot{q}_1 = a_1 r^2 e^{rt} \\ \ddot{q}_2 = a_2 r^2 e^{rt} \end{cases} \quad (2.6.5)$$

Înlocuind în sistemul de ecuații (2.6.3) se obține:

$$\begin{cases} (m_{11}r^2 + c_{11}r + k_{11})a_1 + (m_{12}r^2 + c_{12}r + k_{12})a_2 = 0 \\ (m_{21}r^2 + c_{21}r + k_{21})a_1 + (m_{22}r^2 + c_{22}r + k_{22})a_2 = 0 \end{cases} \quad (2.6.5)$$

Sistemul omogen (2.6.5) cu necunoscutele  $a_1$  și  $a_2$  admite soluții diferite de cea banală dacă determinantul său este nul:

$$\Delta = \begin{vmatrix} m_{11}r^2 + c_{11}r + k_{11} & m_{12}r^2 + c_{12}r + k_{12} \\ m_{21}r^2 + c_{21}r + k_{21} & m_{22}r^2 + c_{22}r + k_{22} \end{vmatrix} = 0 \quad (2.6.6)$$

se obține ecuația caracteristică de gradul patru:

$$b_0r^4 + b_1r^3 + b_2r^2 + b_3r + b_4 = 0 \quad (2.6.7)$$

Condițiile pentru aceste soluții să fie negative sau complexe cu partea reală negativă sunt (criteriul ROUTH-HURWITZ):

$$\begin{cases} b_0, b_1, b_2, b_3, b_4 > 0 \\ b_1b_2 - b_0b_3 > 0 \\ b_1b_2b_3 - b_0b_3^2 - b_1b_4^2 > 0 \end{cases} \quad (2.6.8)$$

Pentru cazul particular:  $m_1 = m_2 = m$ ;  $c_1 = c_3 = 0$ ;  $c_2 = c$ ;  $k_1 = k_2 = k_3 = k$ , se obține sistemul de ecuații diferențiale:

$$\begin{cases} m\ddot{x}_1 + c\dot{x}_1 - c\dot{x}_2 + 2kx_1 - kx_2 = 0 \\ m\ddot{x}_2 - c\dot{x}_1 + c\dot{x}_2 - kx_1 + 2kx_2 = 0 \end{cases} \quad (2.6.9)$$

Acesta este un sistem liniar având soluții de forma:

$$\begin{cases} x_1 = a_1 e^{rt} \\ x_2 = a_2 e^{rt} \end{cases} \Rightarrow \begin{cases} \dot{x}_1 = a_1 r e^{rt} \\ \dot{x}_2 = a_2 r e^{rt} \end{cases} \Rightarrow \begin{cases} \ddot{x}_1 = a_1 r^2 e^{rt} \\ \ddot{x}_2 = a_2 r^2 e^{rt} \end{cases} \quad (2.6.10)$$

Înlocuind (2.6.10) în (2.6.9) se obține sistemul omogen:

$$\begin{cases} (mr^2 + cr + 2k)a_1 - (cr + k)a_2 = 0 \\ -(cr + k)a_1 + (mr^2 + cr + 2k)a_2 = 0 \end{cases} \quad (2.6.11)$$

Ecuația caracteristică este:

$$\Delta = \begin{vmatrix} mr^2 + cr + 2k & -cr - k \\ -cr - k & mr^2 + cr + 2k \end{vmatrix} = 0 \quad (2.6.12)$$

$$(mr^2 + cr + 2k)^2 - (cr + k)^2 = 0 \quad \Leftrightarrow \quad (2.6.13)$$

$$\begin{cases} mr^2 + cr + 2k = cr + k \Rightarrow r_{1,2} = \pm i \sqrt{\frac{k}{m}}; \\ mr^2 + cr + 2k = -(cr + k) \Rightarrow r_{3,4} = \frac{-c \pm \sqrt{c^2 - 3mk}}{m} \end{cases} \quad (2.6.14)$$

Pentru rădăcinile  $r_{1,2}$  corespunzătoare primului mod de vibrație se notează cu  $C_1$  și  $C_2$  valorile lui  $a_1$  și se obține:  $a_2 = a_1$  sau  $\mu_{21} = 1$ .

Pentru rădăcinile  $r_{3,4}$  corespunzătoare celui de al doilea mod de vibrație se notează cu  $C_3$  și  $C_4$  valorile lui  $a_1$  se obține:  $a_2 = -a_1$  sau  $\mu_{22} = -1$ .

Notând:  $p^2 = \frac{k}{m}$ ;  $\alpha = -\frac{c}{m}$ ;  $\beta = \frac{\sqrt{c^2 - 3mk}}{m}$  soluția sistemului de ecuații (2.6.9) se scrie:

$$\begin{cases} x_1 = C_1 e^{ipt} + C_2 e^{-ipt} + C_3 e^{-\alpha t + \beta t} + C_4 e^{-\alpha t - \beta t} \\ x_1 = C_1 e^{ipt} + C_2 e^{-ipt} - C_3 e^{-\alpha t + \beta t} - C_4 e^{-\alpha t - \beta t} \end{cases} \quad (2.6.15)$$

➤ Pentru:  $c^2 - 3mk > 0$  rădăcinile  $r_{3,4}$  sunt reale, negative și soluțiile se scriu:

$$\begin{cases} x_1 = B_1 \cos(pt - \varphi_1) + C_3 e^{(-\alpha + \beta)t} + C_4 e^{(-\alpha - \beta)t} \\ x_2 = B_1 \cos(pt - \varphi_1) - C_3 e^{(-\alpha + \beta)t} - C_4 e^{(-\alpha - \beta)t} \end{cases} \quad (2.6.17)$$

Pentru  $t \rightarrow \infty$  termenii 2 și 3 ai soluțiilor (2.6.17) se anulează și sistemul virează după primul mod de vibrație:

$$\begin{cases} x_1 = B_1 \cos(pt - \varphi_1) \\ x_2 = B_1 \cos(pt - \varphi_1) \end{cases} \quad (2.6.18)$$

➤ Pentru:  $c^2 - 3mk < 0$ ,  $r_{3,4}$  sunt rădăcini imaginare cu partea reală negativă și soluțiile corespunzătoare se scriu:

$$\begin{cases} x_1 = B_1 \cos(pt - \varphi_1) + e^{-\alpha t} (C_3 e^{i\beta t} + C_4 e^{-i\beta t}) \\ x_2 = B_1 \cos(pt - \varphi_1) - e^{-\alpha t} (C_3 e^{i\beta t} + C_4 e^{-i\beta t}) \end{cases} \quad (2.6.19)$$

sau:

$$\begin{cases} x_1 = B_1 \cos(pt - \varphi_1) + B_2 e^{-\alpha t} \cos(\beta t - \varphi_2) \\ x_2 = B_1 \cos(pt - \varphi_1) - B_2 e^{-\alpha t} \cos(\beta t - \varphi_2) \end{cases} \quad (2.6.20)$$

Pentru  $t \rightarrow \infty$  termenii conținând  $e^{-\alpha t} \rightarrow 0$  și sistemul devine:

$$\begin{cases} x_1 = B_1 \cos(pt - \varphi_1) \\ x_2 = B_1 \cos(pt - \varphi_1) \end{cases} \quad (2.6.21)$$

deci amortizarea are ca efect anularea mișcării de vibrație relativă dintre cele două corpuri, respectiv anularea modului 2 de vibrație.

## 2.7. Vibrații forțate amortizate

Modelul matematic al vibrațiilor forțate amortizate este format din două corpuri mase  $m_1$  și  $m_2$  legate între ele și de mediul fix cu arcurile de constantă elastică  $k_1$ ,  $k_2$  și  $k_3$  și cu elementele de amortizare vâscoasă  $c_1$ ,  $c_2$  și  $c_3$ . Asupra corpului de masă  $m_1$  acționează o forță armonică ca în figura 2.7.1.

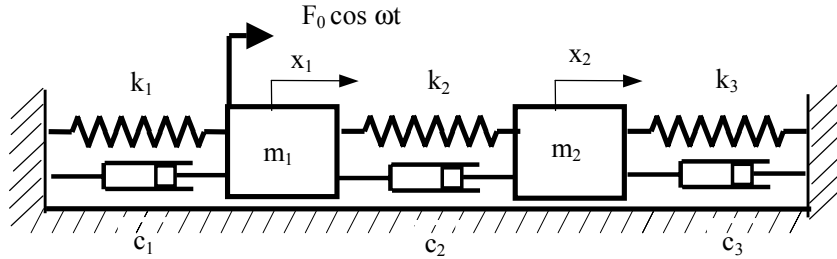


Fig. 2.7.1

Ecuațiile diferențiale se pot scrie folosind teorema impulsului (fig. 2.7.2) după ce se izolează fiecare corp și se introduc forțele de legătură din cele două arcuri:

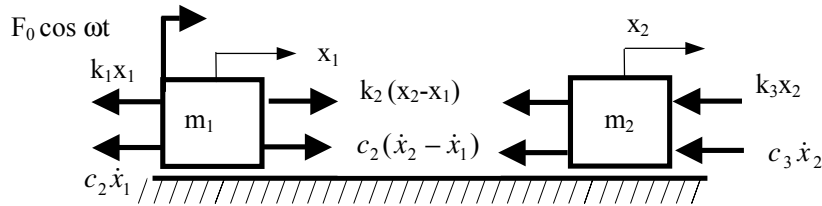


Fig. 2.7.2

Se obține:

$$\begin{cases} m_1 \ddot{x}_1 = -k_1 x_1 - c_1 \dot{x}_1 + k_2 (x_2 - x_1) + c_2 (\dot{x}_2 - \dot{x}_1) + F_0 \cos \omega t \\ m_2 \ddot{x}_2 = -k_2 (x_2 - x_1) - c_2 (\dot{x}_2 - \dot{x}_1) - k_3 x_2 - c_3 \dot{x}_2 \end{cases} \quad (2.7.1)$$

sau:

$$\begin{cases} m_1 \ddot{x}_1 + c_1 \dot{x}_1 - c_2 (\dot{x}_2 - \dot{x}_1) + k_1 x_1 - k_2 (x_2 - x_1) = F_0 \cos \omega t \\ m_2 \ddot{x}_2 + c_2 (\dot{x}_2 - \dot{x}_1) + k_2 (x_2 - x_1) + k_3 x_2 + c_3 \dot{x}_2 = 0 \end{cases} \quad (2.7.2)$$

Pentru cazul general al coordonatelor generalizate ecuațiile diferențiale (2.7.2) se scriu:

$$\begin{cases} m_{11} \ddot{q}_1 + m_{12} \ddot{q}_2 + c_{11} \dot{q}_1 + c_{12} \dot{q}_2 + k_{11} q_1 + k_{12} q_2 = F_0 \cos \omega t \\ m_{21} \ddot{q}_1 + m_{22} \ddot{q}_2 + c_{21} \dot{q}_1 + c_{22} \dot{q}_2 + k_{21} q_1 + k_{22} q_2 = 0 \end{cases} \quad (2.7.3)$$

sau matriceal:

$$\begin{bmatrix} m_{11} & m_{12} \\ m_{21} & m_{22} \end{bmatrix} \begin{Bmatrix} \ddot{q}_1 \\ \ddot{q}_2 \end{Bmatrix} + \begin{bmatrix} c_{11} & c_{12} \\ c_{21} & c_{22} \end{bmatrix} \begin{Bmatrix} \dot{q}_1 \\ \dot{q}_2 \end{Bmatrix} + \begin{bmatrix} k_{11} & k_{12} \\ k_{21} & k_{22} \end{bmatrix} \begin{Bmatrix} q_1 \\ q_2 \end{Bmatrix} = \begin{Bmatrix} F_0 \\ 0 \end{Bmatrix} \cos \omega t \quad (2.7.4)$$

Acesta este un sistem liniar neomogen având ca soluție suma dintre soluția sistemului omogen și soluția particulară:

$$\{q\} = \{q\}_{om} + \{q\}_p \quad (2.7.5)$$

Fie rădăcinile complexe ale ecuației caracteristice de forma:

$$\begin{cases} r_{1,2} = \alpha_1 \pm i\beta_1 \\ r_{3,4} = \alpha_2 \pm i\beta_2 \end{cases} \quad (\alpha_1, \alpha_2 < 0) \quad (2.7.6)$$

$$\begin{cases} q_{lom} = e^{\alpha_1 t} (C_1 \cos \beta_1 t + C_2 \sin \beta_1 t) + e^{\alpha_2 t} (C_1 \cos \beta_2 t + C_2 \sin \beta_2 t) \\ q_{lom} = e^{\alpha_1 t} (\mu_{11} C_1 \cos \beta_1 t + \mu_{21} C_2 \sin \beta_1 t) + e^{\alpha_2 t} (\mu_{21} C_1 \cos \beta_2 t + \mu_{22} C_2 \sin \beta_2 t) \end{cases} \quad (2.7.7)$$

Soluția particulară a acestui sistem de ecuații se poate determina folosind metoda ecuațiilor complexe, considerând sistemul ca parte reală a următorului sistem de ecuații în complex:

$$\begin{cases} m_{11} \ddot{z}_1 + m_{12} \ddot{z}_2 + c_{11} \dot{z}_1 + c_{12} \dot{z}_2 + k_{11} z_1 + k_{12} z_2 = F_0 e^{i\omega t} \\ m_{21} \ddot{z}_1 + m_{22} \ddot{z}_2 + c_{21} \dot{z}_1 + c_{22} \dot{z}_2 + k_{21} z_1 + k_{22} z_2 = 0 \end{cases}$$

unde :

$$\begin{cases} z_1 = q_1 + is_1 \\ z_2 = q_2 + is_2 \end{cases} ; \quad (2.7.8)$$

$$F_0 e^{i\omega t} = F_0 (\cos \omega t + i \sin \omega t)$$

Soluția complexă a sistemului (2.7.8) va fi de forma

$$\begin{cases} z_1 = b_1 e^{i(\omega t - \varphi_1)} \\ z_2 = b_2 e^{i(\omega t - \varphi_2)} \end{cases} \Rightarrow \begin{cases} \dot{z}_1 = i\omega b_1 e^{i(\omega t - \varphi_1)} \\ \dot{z}_2 = i\omega b_2 e^{i(\omega t - \varphi_2)} \end{cases} \Rightarrow \begin{cases} \ddot{z}_1 = -\omega^2 b_1 e^{i(\omega t - \varphi_1)} \\ \ddot{z}_2 = -\omega^2 b_2 e^{i(\omega t - \varphi_2)} \end{cases} \quad (2.7.9)$$

Înlocuind în sistemul (2.7.8) se obține:

$$\begin{cases} (-\omega^2 m_{11} + c_{11} i\omega + k_{11}) z_1 + (-\omega^2 m_{12} + c_{12} i\omega + k_{12}) z_2 = F_0 e^{i\omega t} \\ (-\omega^2 m_{21} + c_{21} i\omega + k_{21}) z_1 + (-\omega^2 m_{22} + c_{22} i\omega + k_{22}) z_2 = 0 \end{cases} \quad (2.7.10)$$

Dacă se fac notațiile:

$$\begin{cases} Z_{11} = -\omega^2 m_{11} + c_{11} i\omega + k_{11} \\ Z_{12} = -\omega^2 m_{12} + c_{12} i\omega + k_{12} \\ Z_{21} = -\omega^2 m_{21} + c_{21} i\omega + k_{21} \\ Z_{22} = -\omega^2 m_{22} + c_{22} i\omega + k_{22} \end{cases} \quad (2.7.11)$$

sistemul (2.7.10) se scrie:

$$\begin{cases} Z_{11}z_1 + Z_{12}z_2 = F_0 e^{i\omega t} \\ Z_{21}z_1 + Z_{22}z_2 = 0 \end{cases} \quad (2.7.12)$$

Rezolvând acest sistem în complex se obține:

$$\begin{cases} z_1 = \frac{Z_{22}}{Z_{11}Z_{22} - Z_{21}Z_{12}} F_0 e^{i\omega t} \\ z_2 = \frac{Z_{21}}{Z_{12}Z_{21} - Z_{22}Z_{11}} F_0 e^{i\omega t} \end{cases} \quad (2.7.13)$$

Soluția particulară a sistemului (2.7.3) este:

$$\begin{cases} q_1 = |z_1| \cos(\omega t - \varphi_1); \quad \varphi_1 = -\arg\left(\frac{Z_{22}}{Z_{11}Z_{22} - Z_{21}Z_{12}}\right) \\ q_2 = |z_2| \cos(\omega t - \varphi_2); \quad \varphi_2 = \arg\left(\frac{-Z_{21}}{Z_{11}Z_{22} - Z_{21}Z_{12}}\right) \end{cases} \quad (2.7.14)$$

unde s-a notat:

$$\begin{cases} |z_1| = \frac{|Z_{22}|}{|Z_{11}Z_{22} - Z_{21}Z_{12}|} F_0 \\ |z_2| = \frac{|Z_{21}|}{|Z_{11}Z_{22} - Z_{21}Z_{12}|} F_0 \end{cases} \quad (2.7.15)$$

## 2.8. Absorbitorul dinamic simplu

Se consideră un sistem cu un grad de libertate (sistem principal) format dintr-un corp de masă  $m_1$  și un arc de constantă  $k_1$  legat de mediul fix, asupra căruia acționează o forță perturbatoare armonică  $F = F_0 \cos \omega t$  (fig. 2.8.1).

Absorbitorul dinamic simplu (fără amortizare) este sistemul secundar care se adaugă celui principal (având pulsația proprie egală cu pulsația forței perturbatoare  $p_1 = \omega = \sqrt{k_1/m_1}$  într-un regim de funcționare normal) în scopul evitării fenomenului de rezonanță, obținându-se un sistem cu două grade de libertate.

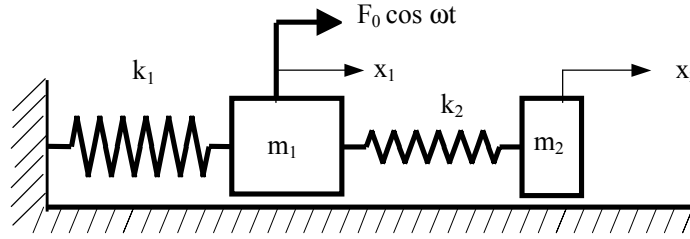


Fig. 2.8.1

Ecuțiile diferențiale ale mișcării sunt:

$$\begin{cases} m_1 \ddot{x}_1 + (k_1 + k_2)x_1 - k_2 x_2 = F_0 \cos \omega t \\ m_2 \ddot{x}_2 + k_2 x_2 - k_2 x_1 = 0 \end{cases} \quad (2.8.16)$$

Soluția particulară (staționară) a mișcării va fi de forma:

$$\begin{cases} x_1 = a_1 \cos \omega t \\ x_2 = a_2 \cos \omega t \end{cases} \Rightarrow \begin{cases} \ddot{x}_1 = -\omega^2 a_1 \cos \omega t \\ \ddot{x}_2 = -\omega^2 a_2 \cos \omega t \end{cases} \quad (2.8.2)$$

Introducând în ecuațiile (2.8.16) se obține:

$$\begin{cases} (-\omega^2 m_1 + k_1 + k_2)a_1 - k_2 a_2 = F_0 \\ -k_2 a_1 + (-\omega^2 m_2 + k_2)a_2 = 0 \end{cases} \quad (2.8.3)$$

având soluțiile:

$$\begin{cases} a_1 = \frac{F_0(-\omega^2 m_2 + k_2)}{(-\omega^2 m_2 + k_2)(-\omega^2 m_1 + k_1 + k_2) - k_2^2} \\ a_2 = \frac{F_0 k_2}{(-\omega^2 m_2 + k_2)(-\omega^2 m_1 + k_1 + k_2) - k_2^2} \end{cases} \quad (2.8.4)$$

Soluția staționară corespunzătoare sistemului principal va fi:

$$x_1 = \frac{F_0(-\omega^2 m_2 + k_2)}{(-\omega^2 m_2 + k_2)(-\omega^2 m_1 + k_1 + k_2) - k_2^2} \cos \omega t \quad (2.8.5)$$



Se observă că pentru anumite valori ale parametrilor  $k_2$  și  $m_2$  (corespunzătoare pulsației proprii a sistemului secundar  $p_2 = \sqrt{k_2/m_2}$ ) se obține pentru  $x_I$  amplitudinea zero:

$$-\omega^2 m_2 + k_2 = 0 \quad \Rightarrow \quad \omega^2 = \frac{k_2}{m_2} \Rightarrow \omega = p_2 \quad (2.8.6)$$

Condiția pentru dimensionarea absorbitorului dinamic simplu se scrie:

$$\sqrt{\frac{k_2}{m_2}} = \sqrt{\frac{k_1}{m_1}} \Rightarrow \frac{k_2}{m_2} = \frac{k_1}{m_1} \quad (2.8.7)$$

Notând:  $p^2 = \frac{k_1}{m_1} = \frac{k_2}{m_2}$ ;  $\mu = \frac{k_2}{k_1}$ ;  $a_{10} = \frac{F_0}{k_1}$  împărțind cu  $k_1 k_2$  atât

numărătorul cât și numitorul amplitudinii vibrației sistemului principal  $x_I$  dat de relația (2.8.4) se obține:

$$a_1 = \frac{\frac{F_0}{k_1} \left( \frac{k_2}{k_2} - \omega^2 \frac{m_2}{k_2} \right)}{\left( 1 - \omega^2 \frac{m_2}{k_2} \right) \left( 1 + \frac{k_2}{k_1} - \omega^2 \frac{m_1}{k_1} \right) - \frac{k_2}{k_1}}$$

$$\Rightarrow a_1 = \frac{a_{10} \left( 1 - \frac{\omega^2}{p^2} \right)}{\left( 1 - \frac{\omega^2}{p^2} \right) \left( 1 + \mu - \frac{\omega^2}{p^2} \right) - \mu} \quad (2.8.8)$$

Notând:  $\eta = \frac{\omega}{p}$  pulsația relativă a forței perturbatoare și cu  $\xi = \left| \frac{a_1}{a_{10}} \right|$

factorul de amplificare relația (2.8.8) se mai scrie:

$$\xi = \left| \frac{a_1}{a_{10}} \right| = \left| \frac{1 - \eta^2}{(1 - \eta^2)(1 + \mu - \eta^2) - \mu} \right| \quad (2.8.9)$$

În figura 2.8.2 sunt reprezentate variațiile factorului de amplificare pentru două valori ale raportului constantelor elastice:  $\mu = 0.5$  și  $\mu = 2.5$ .

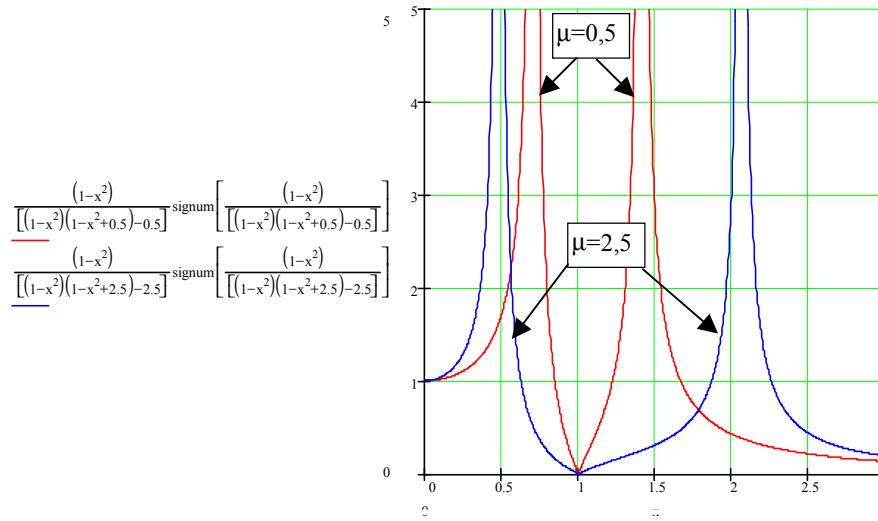
Absorbitorul dinamic are rolul de “a deplasa” frecvența de rezonanță a sistemului din zona  $\omega/p = 1$  spre două zone învecinate având pulsațiile relative:

$$\eta_{1,2} = \sqrt{\frac{2 + \mu \pm \sqrt{\mu^2 + 4\mu}}{2}} \quad (2.8.10)$$

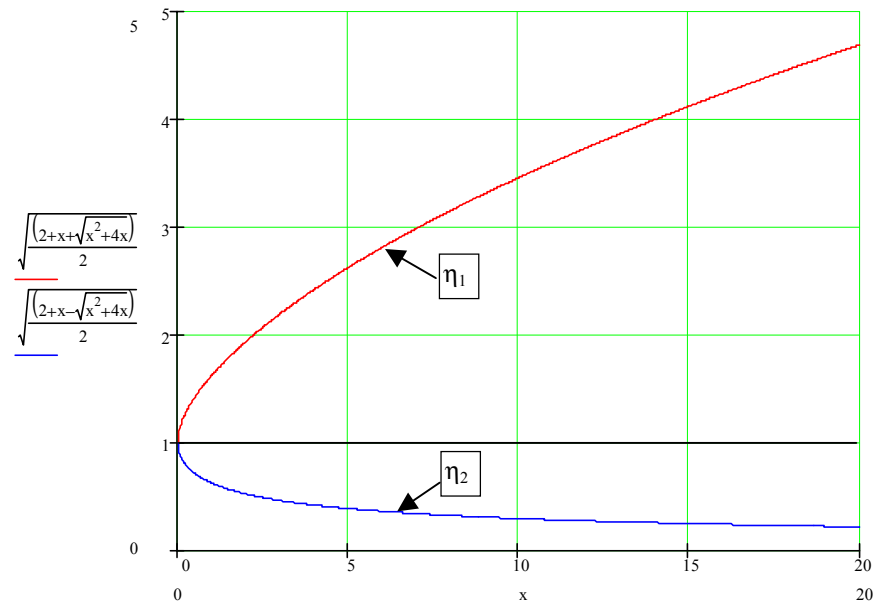
În figura 2.8.3 sunt reprezentate cele două valori ale frecvențelor de rezonanță date de relația (2.8.10) în funcție de valorile raportului  $\mu$ .

Se constată că absorbitorul dinamic permite ca sistemul să vibreze în condiții corespunzătoare (cu amplitudini mici) atunci când pulsațiile forței perturbatoare au valori apropiate de pulsația proprie  $p_I$ .

În jurul valorii de rezonanță  $\omega = p_1$  amplitudinea poate crește foarte mult pentru valori mici ale factorului  $\mu$ , deci absorbitorul dinamic simplu este instabil. Acest dezavantaj este eliminat dacă se realizează absorbitorul cu amortizare.



**Fig. 2.8.2** Variațiile factorului de amplificare  $\xi$  pentru două valori ale raportului constantelor elastice:  $\mu = 0.5$  și  $\mu = 2.5$ .



**Fig. 2.8.5.** Variația celor două valori ale frecvențelor de rezonanță ale absorbitorului dinamic în funcție de valorile raportului constantelor elastice  $\mu$ .

## 2.9. Absorbitorul dinamic cu amortizare

Sistemului principal este format dintr-un corp de masă  $m_1$  și un arc de constantă  $k_1$  legat de mediul fix asupra căruia acționează o forță perturbatoare armonică  $F = F_0 \cos \omega t$  având pulsația proprie egală cu pulsația forței perturbatoare  $p_1 = \omega = \sqrt{k_1/m_1}$  în regimul de funcționare normal. Absorbitorul dinamic cu amortizare este format dintr-un corp de masă  $m_2$ , un element elastic de constantă  $k_2$  și un element de amortizare vâscoasă  $c_2$  și este atașat sistemului principal (fig. 2.9.1).

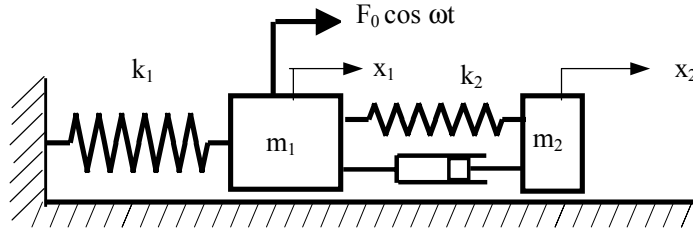


Fig. 2.9.1

Ecuatiile diferențiale ale mișcării în acest caz sunt:

$$\begin{cases} m_1 \ddot{x}_1 + c_2 \dot{x}_1 - c_2 \dot{x}_2 + (k_1 + k_2)x_1 - k_2 x_2 = F_0 \cos \omega t \\ m_2 \ddot{x}_2 - c_2 \dot{x}_1 + c_2 \dot{x}_2 - k_2 x_1 + k_2 x_2 = 0 \end{cases} \quad (2.9.1)$$

Ecuatiile diferențiale în complex atașate ecuațiilor (2.9.1) sunt:

$$\begin{cases} m_1 \ddot{z}_1 + c_2 \dot{z}_1 - c_2 \dot{z}_2 + (k_1 + k_2)z_1 - k_2 z_2 = F_0 e^{i\omega t} \\ m_2 \ddot{z}_2 - c_2 \dot{z}_1 + c_2 \dot{z}_2 - k_2 z_1 + k_2 z_2 = 0 \end{cases} \quad (2.9.2)$$

Soluția complexă a sistemului (2.9.2) va fi de forma:

$$\begin{cases} z_1 = b_1 e^{i(\omega t - \varphi_1)} \\ z_2 = b_2 e^{i(\omega t - \varphi_2)} \end{cases} \Rightarrow \begin{cases} \dot{z}_1 = i\omega z_1 \\ \dot{z}_2 = i\omega z_2 \end{cases} \quad \begin{cases} \ddot{z}_1 = -\omega^2 z_1 \\ \ddot{z}_2 = -\omega^2 z_2 \end{cases} \quad (2.9.3)$$

Înlocuind în sistemul (2.9.2) se obține:

$$\begin{cases} (-\omega^2 m_1 + c_2 i\omega + k_1 + k_2)z_1 - (c_2 i\omega + k_2)z_2 = F_0 e^{i\omega t} \\ -(c_2 i\omega + k_2)z_1 + (-\omega^2 m_2 + c_2 i\omega + k_2)z_2 = 0 \end{cases} \quad (2.9.4)$$

Rezolvând acest sistem în complex se obține:

$$z_1 = \frac{(-\omega^2 m_2 + c_2 i\omega + k_2)F_0 e^{i\omega t}}{(-\omega^2 m_1 + c_2 i\omega + k_1 + k_2)(-\omega^2 m_2 + c_2 i\omega + k_2) - (c_2 i\omega + k_2)^2} \quad (2.9.5)$$

$$\text{sau: } z_1 = \frac{(k_2 - \omega^2 m_2 + i c_2 \omega) F_0 e^{i\omega t}}{(k_1 + k_2 - \omega^2 m_1)(k_2 - \omega^2 m_2) - k_2^2 + i c_2 \omega (k_1 - (m_1 + m_2) \omega^2)} \quad (2.9.6)$$

Amplitudinea vibrațiilor sistemului principal este:

$$a_1 = F_0 \sqrt{\frac{(k_2 - \omega^2 m_2)^2 + (c_2 \omega)^2}{[(k_1 + k_2 - \omega^2 m_1)(k_2 - \omega^2 m_2) - k_2^2]^2 + [c_2 \omega (k_1 - (m_1 + m_2) \omega^2)]^2}} \quad (2.9.7)$$

Împărțind cu  $k_1 k_2$  atât numărătorul cât și numitorul relației (2.9.7) și notând:

$$p^2 = \frac{k_1}{m_1} = \frac{k_2}{m_2}; \quad \mu = \frac{k_2}{k_1}; \quad a_{10} = \frac{F_0}{k_1}; \quad \eta = \frac{\omega}{p} \text{ și cu } \xi = \frac{a_1}{a_{10}} \quad (2.9.8)$$

factorul de amplificare se scrie:

$$\xi = \frac{a_1}{a_{10}} = \frac{(1 - \eta^2)^2 + (2\zeta\eta)^2}{\sqrt{[(1 - \eta^2)^2 - \mu\eta^2]^2 + [2\zeta\eta(1 - \eta^2(1 + \mu))]^2}} \quad (2.9.9)$$

În figura 2.9.2 sunt reprezentate variațiile factorului de amplificare (2.9.8) pentru trei valori ale factorului de amortizare:  $\zeta = 0.1$ ,  $\zeta = 0.25$  și  $\zeta = 0.4$  și

$$\mu = \frac{k_2}{k_1} = 0.5$$

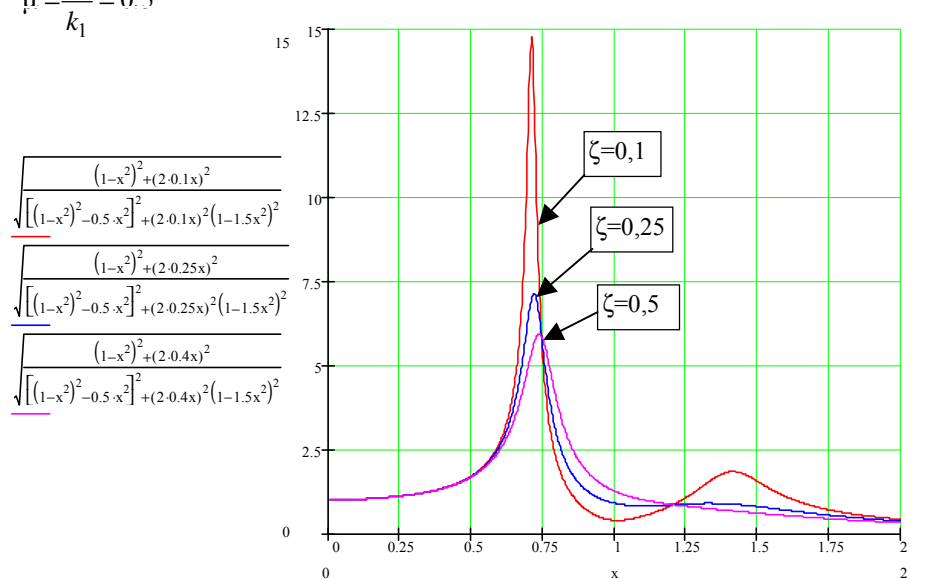


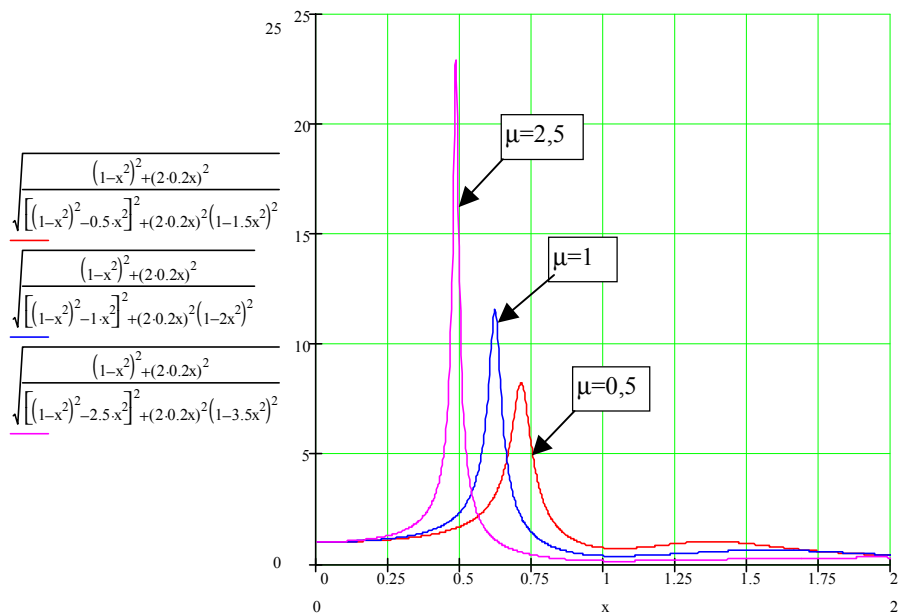
Fig. 2.9.2 variațiile factorului de amplificare (2.9.8) pentru trei valori ale factorului

de amortizare:  $\zeta = 0.1$ ,  $\zeta = 0.25$  și  $\zeta = 0.4$  și  $\mu = \frac{k_2}{k_1} = 0.5$  ( $\eta = x$ )

Se observă din figura 2.9.2 că amplitudinea  $a_1$  este mai mică în jurul valorii de rezonanță ( $\omega = p$ ) cu cât factorul de amortizare  $\zeta$  este mai mic, dar valorile amplitudinii maxime pentru prima valoare de rezonanță a absorbitorului sunt foarte mari.

În figura 2.9.3 sunt reprezentate variațiile factorului de amplificare (2.9.8) pentru trei valori ale raportului  $\mu = k_2 / k_1$ :  $\mu = 0.5$ ;  $\mu = 1$  și  $\mu = 2.5$  și un factor de amortizare  $\zeta = 0.2$

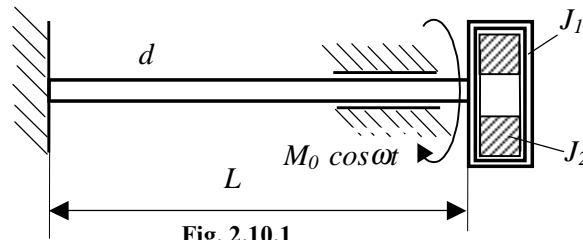
Se observă din figura 2.9.3 că amplitudinea este mai mică și devine mai stabilă în jurul valorii de rezonanță  $\omega = p$  cu cât raportul  $\mu = k_2 / k_1$  este mai mare, însă în acest caz masa  $m_2$  este mai mare conform relației  $\frac{k_1}{m_1} = \frac{k_2}{m_2}$  și valorile amplitudinii maxime pentru prima valoare de rezonanță a absorbitorului dinamic sunt mai mari.



**Fig. 2.9.3. Variațiile factorului de amplificare pentru trei valori ale raportului  $\mu = k_2 / k_1$ :  $\mu = 0.5$ ;  $\mu = 1$  și  $\mu = 2.5$  și un factor de amortizare  $\zeta = 0.2$**

## 2.10. Absorbitorul dinamic la răsucire (HOUDAILLE)

Absorbitorul dinamic de tip Houdaille este folosit pentru amortizarea vibrațiilor la torsiune ale arborilor de mașini pentru un domeniu larg al pulsațiilor forței de excitație. Acesta este format dintr-un volant având momentul de inerție  $J_2$  montat cu joc într-o carcasă plină cu ulei având momentul de inerție  $J_1$ , astfel încât acesta se poate roti cu frecare vâscoasă în interiorul carcasei. Excitația exterioară este dată de cuplul armonic  $M_0 \cos \omega t$  ce acționează asupra carcasei (fig. 2.10.1).



Se consideră ca parametri ai mișcării sistemului unghiul de rotire al carcasei  $\varphi_1$  și unghiul de rotire al volantului  $\varphi_2$  ( $\varphi_2 < \varphi_1$ ). În figura 2.10.2 sunt reprezentate cele două corpuri izolate, cu cuplurile ce acționează asupra lor și accelerațiile unghiulare respective.

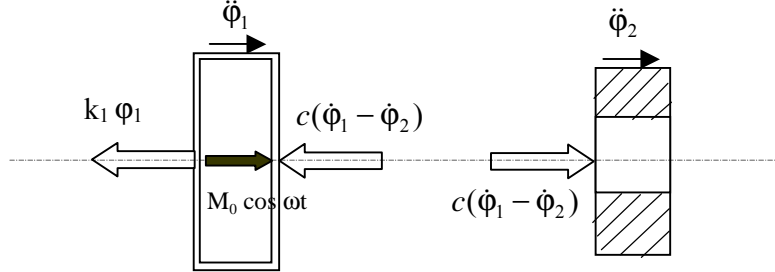


Fig. 2.10.2

Teorema momentului cinetic se scrie pentru fiecare din cele două corpuri astfel:

$$\begin{cases} J_1 \ddot{\varphi}_1 = -k\varphi_1 - c(\dot{\varphi}_1 - \dot{\varphi}_2) + M_0 \cos \omega t \\ J_2 \ddot{\varphi}_2 = c(\dot{\varphi}_1 - \dot{\varphi}_2) \end{cases} \quad (2.10.1)$$

sau:

$$\begin{cases} J_1 \ddot{\varphi}_1 + k\varphi_1 + c(\dot{\varphi}_1 - \dot{\varphi}_2) = M_0 \cos \omega t \\ J_2 \ddot{\varphi}_2 - c(\dot{\varphi}_1 - \dot{\varphi}_2) = 0 \end{cases} \quad (2.10.2)$$

Soluția staționară a acestui sistem de ecuații diferențiale este de forma:

$$\begin{cases} \varphi_1 = a_1 \cos(\omega t - \theta_1) \\ \varphi_2 = a_2 \cos(\omega t - \theta_2) \end{cases} \quad (2.10.3)$$

Pentru a determina amplitudinea vibrațiilor forțate cu amortizare se consideră sistemul de ecuații în complex atașat sistemului real (2.10.2):

$$\begin{cases} J_1 \ddot{\tilde{\varphi}}_1 + k \tilde{\varphi}_1 + c(\dot{\tilde{\varphi}}_1 - \dot{\tilde{\varphi}}_2) = M_0 e^{i\omega t} \\ J_2 \ddot{\tilde{\varphi}}_2 - c(\dot{\tilde{\varphi}}_1 - \dot{\tilde{\varphi}}_2) = 0 \end{cases} \quad (2.10.4)$$

Soluția staționară a acestui sistem este de forma:

$$\begin{cases} \tilde{\varphi}_1 = \tilde{a}_1 e^{i\omega t} \\ \tilde{\varphi}_2 = \tilde{a}_2 e^{i\omega t} \end{cases} \quad (2.10.5)$$

Înlocuind în sistemul (2.10.4) se obține:

$$\begin{cases} (-\omega^2 J_1 + k + ic\omega) \tilde{a}_1 - ic\omega \tilde{a}_2 = M_0 \\ -ic\omega \tilde{a}_1 + (-\omega^2 J_2 + ic\omega) \tilde{a}_2 = 0 \end{cases} \quad (2.10.6)$$

Rezolvând acest sistem rezultă amplitudinile complexe:

$$\begin{aligned} \tilde{a}_1 &= \frac{(-\omega^2 J_2 + ic\omega) M_0}{(-\omega^2 J_1 + k + ic\omega)(-\omega^2 J_2 + ic\omega) + c^2 \omega^2} \\ \tilde{a}_2 &= \frac{ic\omega M_0}{(-\omega^2 J_1 + k + ic\omega)(-\omega^2 J_2 + ic\omega) + c^2 \omega^2} \end{aligned} \quad (2.10.7)$$

Dacă se introduc notațiile:

$$p^2 = \frac{k}{J_1}; \quad \lambda = \frac{J_2}{J_1}; \quad \eta = \frac{\omega}{p}; \quad \zeta = \frac{c}{J_1 p} \Rightarrow 2\zeta\eta = \frac{c\omega}{k}; \quad \varphi_{st} = \frac{M_0}{k} \quad (2.10.8)$$

și se împarte atât numărătorul cât și numitorul expresiei amplitudinii lui  $\tilde{a}_1$  (2.10.7) se obține:

$$\begin{aligned} \tilde{a}_1 &= \varphi_{st} \frac{-\lambda\eta^2 + 2i\zeta\eta}{(1-\eta^2 + 2i\zeta\eta)(-\lambda\eta^2 + 2i\zeta\eta) + (2\zeta\eta)^2} \\ \Rightarrow \tilde{a}_1 &= \varphi_{st} \frac{-\lambda\eta + 2i\zeta}{-\lambda\eta(1-\eta^2) + (1-\eta^2 - \lambda\eta^2)2i\zeta} \end{aligned} \quad (2.10.9)$$

Amplitudinea reală a carcsei se scrie ca modul al amplitudinii complexe:

$$\begin{aligned} a_1 = |\tilde{a}_1| &= \varphi_{st} \left| \frac{-\lambda\eta + 2i\zeta}{-\lambda\eta(1-\eta^2) + (1-\eta^2 - \lambda\eta^2)2i\zeta} \right| \\ \Rightarrow \xi &= \frac{a_1}{\varphi_{st}} = \sqrt{\frac{\lambda^2\eta^2 + 4\zeta^2}{\lambda^2\eta^2(1-\eta^2)^2 + 4\zeta^2(1-\eta^2(1+\lambda))^2}} \end{aligned} \quad (2.10.10)$$

unde  $\xi$  este factorul de amplificare a amplitudinilor vibrațiilor.

Se observă că amplitudinea vibrațiilor forțate depinde de pulsația relativă  $\eta$  și de parametrii  $\lambda$  și  $\zeta$ . Parametrul  $\lambda$  fiind un parametru constructiv, se studiază în continuare modul de variație al amplitudinii cu factorul de amortizare  $\zeta$  pentru  $\lambda=1$ .

Pentru cele două cazuri extreme ale factorului de amortizare se obține:

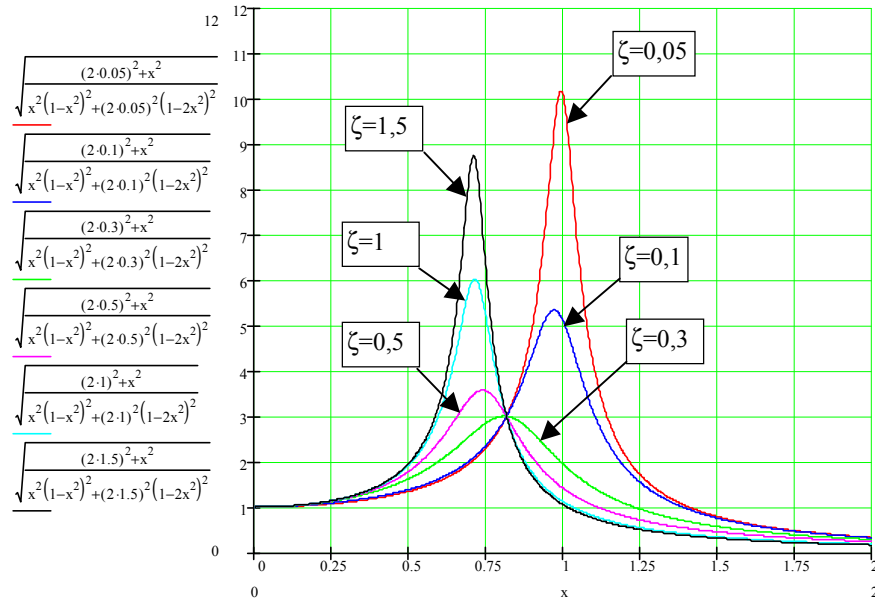
- Pentru  $\zeta=0$  factorul de amplificare are aceeași expresie ca în cazul vibrațiilor forțate neamortizate pentru un volant de moment de inerție  $J_1$ :

$$\xi_1 = \frac{1}{|1 - \eta^2|} \quad (2.10.11)$$

- Pentru  $\zeta \rightarrow \infty$  factorul de amplificare are aceeași expresie ca în cazul vibrațiilor forțate neamortizate pentru un volant de moment de inerție  $J = J_1 + J_2 = J_1(1 + \lambda)$ :

$$\xi_2 = \frac{1}{|1 - (1 + \lambda)\eta^2|} \quad (2.10.12)$$

În figura 2.10.3 sunt date variațiile factorul de amplificare pentru următoarele valori ale factorului de amortizare:  $\zeta=0,05$ ;  $\zeta=0,1$ ;  $\zeta=0,3$ ;  $\zeta=0,5$ ;  $\zeta=1$  și  $\zeta=1,5$ .



**Fig. 2.10.3** Variațiile factorul de amplificare pentru diferite valori ale factorului de amortizare:  $\zeta=0,05$ ;  $\zeta=0,1$ ;  $\zeta=0,3$ ;  $\zeta=0,5$ ;  $\zeta=1$  și  $\zeta=1,5$ .

Se observă că toate diagramele din figura 2.10.3 trec prin două puncte fixe care au abscisele soluții ale ecuației:

$$|1 - \eta^2| = |1 - \eta^2(1 + \lambda)| \Leftrightarrow \begin{cases} 1 - \eta^2 = 1 - \eta^2(1 + \lambda) \Rightarrow \eta_1 = 0 \\ 1 - \eta^2 = -1 + \eta^2(1 + \lambda) \Rightarrow \eta_2 = \sqrt{\frac{2}{2 + \lambda}} \end{cases} \quad (2.10.13)$$

Valoarea corespunzătoare a factorului de amplificare este:

$$\xi = 1 + \frac{2}{\lambda} \quad (2.10.14)$$



Pentru cazul din figura 2.10.3 această valoare este:

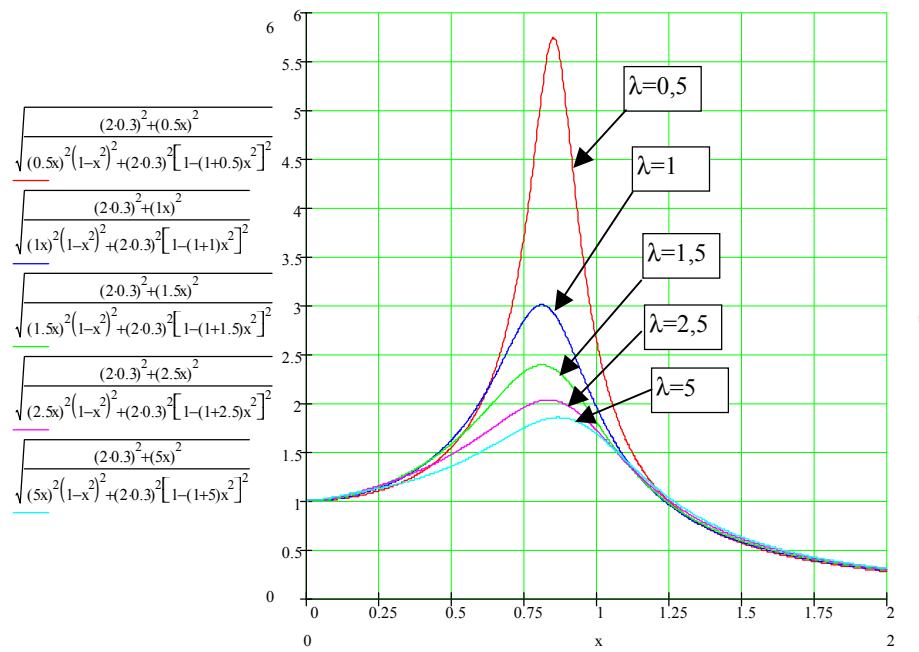
$$\eta_2 = \sqrt{\frac{2}{3}} = 0,816 \Rightarrow \xi_2 = 3 \quad (2.10.15)$$

Valoarea optimă a factorului de amortizare (pentru care se obține un factor de amplificare minim) este:

$$\zeta_{opt} = \frac{1}{\sqrt{2(1+\lambda)(2+\lambda)}}; \quad \zeta_{opt} = \frac{1}{\sqrt{12}} = 0,288 \quad (2.10.16)$$

În figura 2.10.4 sunt date variațiile factorului de amplificare pentru un factor de amortizare  $\zeta=0,3$  și pentru următoarele valori ale parametrului  $\lambda$ :

$\lambda=0,5$ ;  $\lambda=1$ ;  $\lambda=1,5$ ;  $\lambda=2,5$  și  $\lambda=5$ .



**Fig. 2.10.4** Variațiile factorului de amplificare pentru un factor de amortizare  $\zeta=0,3$  și diferite valori ale parametrului  $\lambda$  :  $\lambda=0,5$ ;  $\lambda=1$ ;  $\lambda=1,5$ ;  $\lambda=2,5$  și  $\lambda=5$ .

## 2.11. Probleme propuse

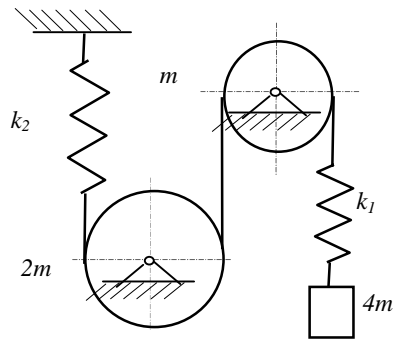


Fig. 2.11.1

**2.11.1.** Două roți omogene de mase  $m$  și  $2m$  sunt legate de mediul fix prin articulații și între ele printr-un fir, la capătul căruia atârână masa  $4m$ , prin intermediul unui arc de rigiditate  $k_1$ ; celălalt capăt al firului este legat de mediul fix prin intermediul unui arc de rigiditate  $k_2$ , ca în fig.2.11.1. Să se determine pulsațiile și frecvențele proprii ale vibrațiilor libere ale acestui sistem. Date numerice:  $m=1$  kg;  $k_1 = 50$  N/mm;  $k_2 = 80$  N/mm;  $g=10$  ms<sup>-2</sup>

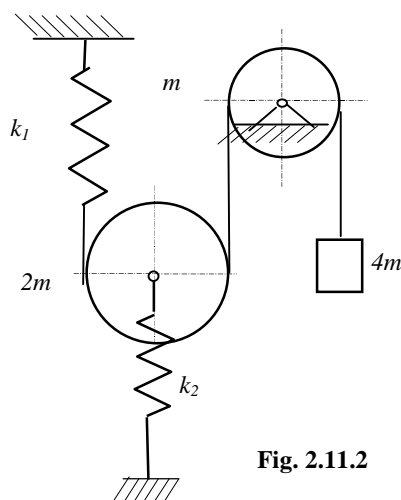


Fig. 2.11.2

**2.11.2.** Două roți omogene de mase  $m$  și  $2m$  sunt legate între ele prin intermediul unui fir la capătul căruia atârână masa  $4m$ ; celălalt capăt al firului este legat de mediul fix prin intermediul unui arc de rigiditate  $k_1$ ; roata de masă  $m$  este legată de mediul fix prin intermediul unui arc de rigiditate  $k_2$  ca în fig. 2.11.2. Să se determine pulsațiile și frecvențele proprii ale vibrațiilor libere ale acestui sistem. Date numerice:  $m=1$  kg;  $k_1 = 50$  N/mm;  $k_2 = 80$  N/mm;  $g=10$  ms<sup>-2</sup>

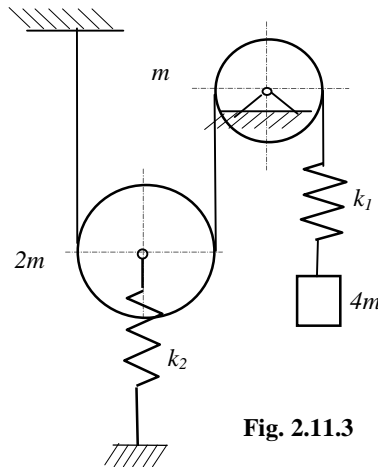


Fig. 2.11.3

**2.11.3.** Două roți omogene de mase  $m$  și  $2m$  sunt legate între ele prin intermediul unui fir la capătul căruia atârăna masa  $4m$ , prin intermediul unui arc de rigiditate  $k_1$ ; celălalt capăt al firului este legat de mediul fix ; roata de masă  $m$  este legată de mediul fix printr-o articulație iar roata de masă  $2m$  prin intermediul unui arc de rigiditate  $k_2$  , ca în fig.2.11.3. Să se determine pulsațiile și frecvențele proprii ale vibrațiilor libere ale acestui sistem.

Date numerice:  $m=1$  kg;  $k_1 = 50$  N/mm;  $k_2 = 80$  N/mm;  $g=10$  ms<sup>-2</sup>

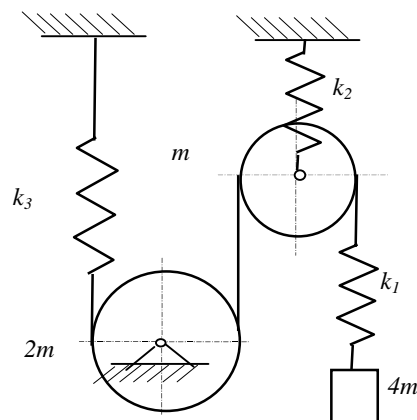


Fig. 2. 11.4

**2.11.4.** Două roți omogene de mase  $m$  și  $2m$  sunt legate între ele prin intermediul unui fir la capătul căruia atârăna masa  $4m$  prin intermediul unui arc de rigiditate  $k_1$  ; celălalt capăt al firului este legat de mediul fix prin intermediul unui arc de rigiditate  $k_3$  ; roata de masă  $m$  este legată de mediul fix prin intermediul unui arc de rigiditate  $k_2$  iar roata de masă  $2m$  printr-o articulație ca în fig. 2.11.4. Să se determine pulsațiile și frecvențele proprii ale vibrațiilor libere ale acestui sistem.

Date numerice:  $m=1$  kg;  $k_1 = 50$  N/mm;  $k_2 = 80$  N/mm ;  $k_3 = 100$  N/mm;  $g=10$  ms<sup>-2</sup>

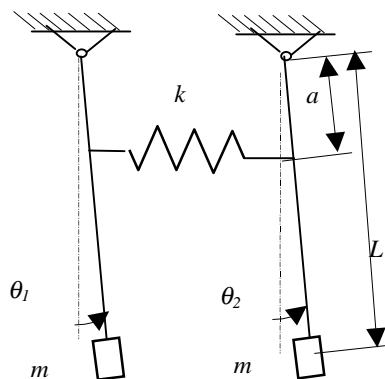


Fig. 2. 11.5

**2.11.5.** Se consideră pendulul dublu, format din două bare de lungime  $L$  de mase neglijabile la capetele cărora se găsesc două mase  $m$ , legate între ele prin intermediul unui arc de rigiditate  $k$  la distanța  $a$  de articulații, ca în fig. 2.11.5. Să se determine pulsațiile și modurile proprii de vibrație corespunzătoare ale vibrațiilor libere ale acestui sistem. Date numerice:  $m=1$  kg;  $L= 500$  mm;  $a=200$  mm;  $k= 50$  N/mm;  $g=10$  ms<sup>-2</sup>

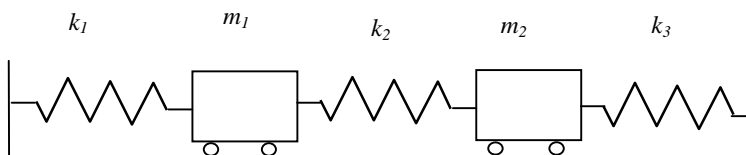


Fig. 2. 11.6

**2.11.6 .** Se consideră sistemul format din două mase  $m_1$  și  $m_2$  legate între ele și cu mediul fix prin intermediul elementelor elastice de rigidități  $k_2$ ,  $k_1$  și respectiv  $k_3$  ca în fig. 2.11.6. Să se determine ecuațiile diferențiale ale mișcării frecvențele și modurile proprii de vibrații ale acestui sistem. Date numerice:  $m_1=1$  kg;  $m_2=3$  kg;  $k_1 = k_3 = 50$  N/mm;  $k_2 =100$  N/mm

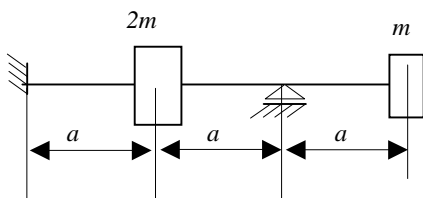


Fig. 2. 11.7

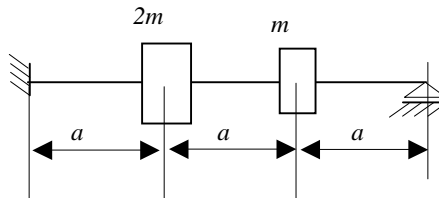


Fig. 2. 11.8

**2.11.7.** Se consideră sistemul format dintr-un arbore de masă neglijabilă și rigiditate constantă  $EI$ , pe care se află montați doi volanți de mase  $m$  și  $2m$ , având legăturile cu mediul fix ca în fig. 2.11.7. Să se determine folosind metoda coeficienților de influență frecvențele proprii și modurile proprii de vibrații flexionale corespunzătoare ale acestui sistem. Date numerice:  $m=2$  kg;  $a= 50$  mm;  $EI= 125 \cdot 10^3$  N m<sup>2</sup>;  $g=10$  ms<sup>-2</sup>

**2.11.8.** Se consideră sistemul format dintr-un arbore de masă neglijabilă și rigiditate constantă  $EI$ , pe care se află montați doi volanți de mase  $m$  și  $2m$ , având legăturile cu mediul fix ca în fig. 2.11.8. Să se determine (folosind metoda coeficienților de influență) frecvențele proprii și modurile proprii de vibrații flexionale corespunzătoare ale acestui sistem. Date numerice:  $m=2$  kg;  $a=50$  mm;  $EI=125 \cdot 10^3$  N m<sup>2</sup>;  $g=10$  ms<sup>-2</sup>.

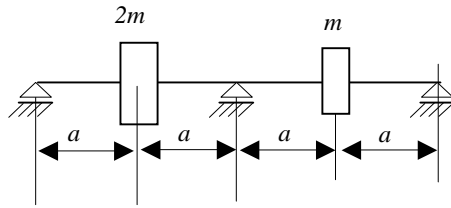


Fig. 2. 11.9

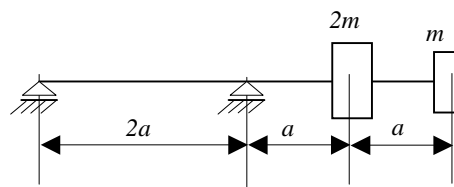


Fig. 2. 11.10

**2.11.9.** Se consideră sistemul format dintr-un arbore de masă neglijabilă și rigiditate constantă  $EI$ , pe care se află montați doi volanți de mase  $m$  și  $2m$ , având legăturile cu mediul fix ca în fig. 2.11.9. Să se determine folosind metoda coeficienților de influență frecvențele proprii și modurile proprii ale vibrațiilor flexionale corespunzătoare ale acestui sistem. Date numerice:  $m=2$  kg;  $a=50$  mm;  $EI=125 \cdot 10^3$  N m<sup>2</sup>;  $g=10$  ms<sup>-2</sup>.

**2.11.10.** Se consideră sistemul format dintr-un arbore de masă neglijabilă și rigiditate constantă  $EI$ , pe care se află montați doi volanți de mase  $m$  și  $2m$ , având legăturile cu mediul fix ca în fig. 2.11.10. Să se determine (folosind metoda coeficienților de influență) frecvențele proprii și modurile proprii de vibrații flexionale corespunzătoare ale acestui sistem. Date numerice:  $m=2$  kg;  $a=50$  mm;  $EI=125 \cdot 10^3$  N m<sup>2</sup>;  $g=10$  ms<sup>-2</sup>.

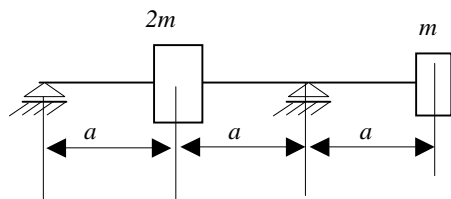


Fig. 2. 11.11

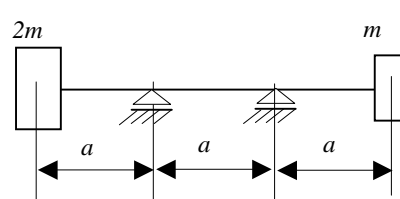


Fig. 2. 11.12

**2.11.11.** Se consideră sistemul format dintr-un arbore de masă neglijabilă și rigiditate constantă  $EI$ , pe care se află montați doi volanți de mase  $m$  și  $2m$ , având legăturile cu mediul fix ca în fig. 2.11.11. Să se determine (folosind metoda coeficienților de influență) frecvențele proprii și modurile proprii de vibrații flexionale corespunzătoare ale acestui sistem. Date numerice:  $m=2$  kg;  $a=50$  mm;  $EI=125 \cdot 10^3$  N m<sup>2</sup>;  $g=10$  ms<sup>-2</sup>.

**2.11.12.** Se consideră sistemul format dintr-un arbore de masă neglijabilă și rigiditate constantă  $EI$ , pe care se află montați doi volanți de mase  $m$  și  $2m$ , având legăturile cu mediul fix ca în fig. 2.11.12. Să se determine (folosind metoda coeficienților de influență) frecvențele proprii și modurile proprii de vibrații flexionale corespunzătoare ale acestui sistem. Date numerice:  $m = 2 \text{ kg}$ ;  $a = 50 \text{ mm}$ ;  $EI = 125 \cdot 10^3 \text{ N m}^2$ ;  $g = 10 \text{ ms}^{-2}$

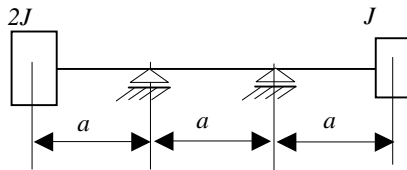


Fig. 2. 11.13

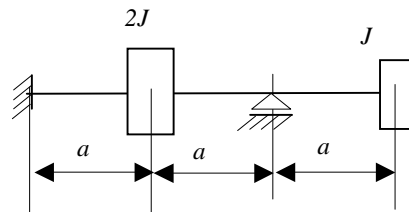


Fig. 2. 11.14

**2.11.13.** Se consideră sistemul format dintr-un arbore de masă neglijabilă și rigiditate constantă  $GI_p$  (având diametrul constant  $d$ ), pe care se află montați doi volanți de momente de inerție  $J$  și  $2J$ , având legăturile cu mediul fix ca în fig. 2.11.13. Să se determine frecvențele proprii și modurile proprii pentru vibrațiile torsionale ale acestui sistem. Date numerice:  $J = 50 \text{ kgm}^2$ ;  $a = 100 \text{ mm}$ ;  $a = 60 \text{ mm}$ ;  $G = 85 \cdot 10^3 \text{ N/mm}^2$

**2.11.14.** Se consideră sistemul format dintr-un arbore de masă neglijabilă și rigiditate constantă  $GI_p$  (având diametrul constant  $d$ ), pe care se află montați doi volanți de momente de inerție  $J$  și  $2J$ , având legăturile cu mediul fix ca în fig. 2.11.14. Să se determine frecvențele proprii și modurile proprii pentru vibrațiile torsionale ale acestui sistem. Date numerice:  $J = 50 \text{ kgm}^2$ ;  $a = 100 \text{ mm}$ ;  $d = 60 \text{ mm}$ ;  $G = 85 \cdot 10^3 \text{ N/mm}^2$ .

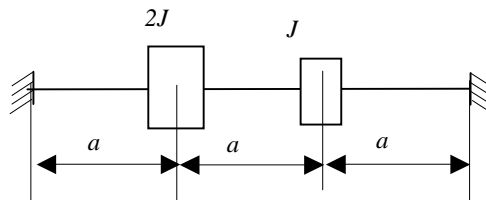


Fig. 2. 11.15

**2.11.15.** Se consideră sistemul format dintr-un arbore de masă neglijabilă și rigiditate constantă  $GI_p$  (având diametrul constant  $d$ ), pe care se află montați doi volanți de momente de inerție  $J$  și  $2J$ , având legăturile cu mediul fix ca în fig. 2.11.15. Să se determine frecvențele proprii și modurile proprii pentru vibrațiile torsionale ale acestui sistem. Date numerice:  $J = 50 \text{ kgm}^2$ ;  $a = 100 \text{ mm}$ ;  $a = 60 \text{ mm}$ ;  $G = 85 \cdot 10^3 \text{ N/mm}^2$

## CAPITOLUL III

### VIBRAȚIILE SISTEMELOR CU $N$ GRADE DE LIBERTATE

Studiul vibrațiilor sistemelor conservative prezintă interes atât pentru analiza structurilor cu *amortizare neglijabilă* (șasiuri, cadre, batiuri, etc.) cât și pentru analiza structuri reale cu *amortizare proporțională* al căror răspuns poate fi exprimat în funcție de modurile proprii de vibrație ale sistemului conservativ asociat.

#### 3.1. Vibrații libere ale sistemelor discrete.

##### Abordarea modală.

Ecuatiile diferențiale ale vibrațiilor libere ale unui sistem conservativ cu  $N$  grade de libertate, scrise în funcție de coordonatele generalizate independente  $q_1, q_2, \dots, q_N$ , sunt de forma:

$$[M]\{\ddot{q}\} + [K]\{q\} = \{0\} \quad (3.1.1)$$

unde:  $[M]$  este matricea maselor și  $[K]$  matricea constantelor elastice; acestea sunt matrici pozitive, nesingulare și simetrice (când coordonatele  $q_i$  definesc deplasări față de un reper fix din spațiu)

$[q]$  este matricea coloană a coordonatelor generalizate și  $[\ddot{q}]$  matricea coloană a accelerațiilor generalizate

Soluțiile sistemului (3.1.1) sunt de forma:

$$\{q\} = \{\psi\} \cos pt \quad (3.1.2)$$

și reprezintă o vibrație armonică pentru care mișcările corespunzătoare celor  $N$  coordonate generalizate sunt *sincrone și sinfazice*.

Înlocuind soluția (3.1.2) în (3.1.1), rezultă ecuațiile matriceale echivalente:

$$([K] - p^2[M])\{\psi\} = \{0\} \Leftrightarrow \begin{cases} [M]^{-1}[K]\{\psi\} = p^2\{\psi\} \\ [K]^{-1}[M]\{\psi\} = \frac{1}{p^2}\{\psi\} \end{cases} \quad (3.1.3)$$

Aceasta este o problemă de valori proprii asociată matricelor  $[M]$  și  $[K]$ .

Sistemul (3.1.3) are soluții nenule numai dacă :

$$\det([K] - p^2[M]) = 0 \quad (3.1.4)$$

Relația (3.1.4) este o ecuație algebrică de gradul  $N$  în  $p^2$ , numită *ecuația pulsațiilor*. Rădăcinile acesteia  $p_1^2, p_2^2, \dots, p_N^2$  (se consideră cazul când cele  $N$  valori sunt distincte) sunt toate reale și pozitive și se numesc *valori proprii*. Mărimile  $p_1^2, p_2^2, \dots, p_N^2$  se numesc *pulsații proprii*.

Fiecărei valori proprii  $p_r^2$  îi corespunde un *vector propriu*  $[\psi^{(r)}]$ , format din elemente reale  $\psi_j^{(r)}$ , care satisface ecuația

$$([K] - p_r^2[M])[\psi^{(r)}] = \{0\} \quad (3.1.5)$$

și care definește forma *modului propriu de vibrație* ( $r$ ).

Acești *vectori modali* sunt unici, în sensul că deși valorile elementelor pot fi arbitrare, raportul între două elemente  $\psi_j^{(r)}$ ,  $\psi_l^{(r)}$  este constant. Procesul de “ajustare” a elementelor vectorilor proprii pentru ca amplitudinea să fie unică se numește *normalizare*, iar vectorii rezultați definesc forma *modurilor normale* de vibrație. Normalizarea se face alegând fie  $\psi_{max}^{(r)} = 1$ , fie  $\{\psi^{(r)}\}^T [M] \{\psi^{(r)}\} = 1$ .

Probleme de valori proprii (3.1.5) se scrie sub forma :

$$\begin{cases} [M]^{-1}[K]\{\psi\} = p_r^2\{\psi\} \\ [K]^{-1}[M]\{\psi\} = \frac{1}{p_r^2}\{\psi\} \end{cases} \quad (3.1.6)$$

deci vectorii proprii la dreapta matricei  $[D] = [M]^{-1}[K]$  și ai matricei inverse  $[D]^{-1} = [K]^{-1}[M]$  sunt identici, iar valorile proprii corespunzătoare sunt inverse una alteia (datorită simetriei matricelor  $[M]$  și  $[K]$ ).

Între vectorii proprii  $\{\psi^{(r)}\}$  și matricele  $[M]$  și  $[K]$  există următoarele relații de ortogonalitate:

$$\begin{aligned} \{\psi^{(s)}\}^T [M] \{\psi^{(r)}\} &= 0, & (r \neq s) \\ \{\psi^{(s)}\}^T [K] \{\psi^{(r)}\} &= 0, & (r \neq s) \end{aligned} \quad (3.1.7)$$

în care  $[M]$  și  $[K]$  joacă rolul de matrici de ponderare.



Dacă se înmulțește ecuația matriceală (3.1.5) la stânga cu  $\{\psi^{(r)}\}^T$  se obține:

$$\{\psi^{(r)}\}^T ([K] - p_r^2 [M]) \{\psi^{(r)}\} = \{0\} \quad (3.1.8)$$

Se notează:

$$m_r = \{\psi^{(r)}\}^T [M] \{\psi^{(r)}\} \quad \text{și} \quad k_r = \{\psi^{(r)}\}^T [K] \{\psi^{(r)}\} \quad (3.1.9)$$

unde  $m_r$  este *masa generalizată* corespunzătoare modului  $r$  (*masa modală*) și  $k_r$  *constantă elastică generalizată* corespunzătoare modului  $r$  (*constantă elastică modală*).

Ecuația (3.1.8) devine:

$$k_r - p_r^2 m_r = 0 \quad (3.1.10)$$

Rezultă:

$$p_r^2 = \frac{k_r}{m_r} = \frac{\{\psi^{(r)}\}^T [K] \{\psi^{(r)}\}}{\{\psi^{(r)}\}^T [M] \{\psi^{(r)}\}} \quad (3.1.11)$$

Se definește *matricea modală* matricea pătrată având drept coloane vectorii proprii  $\{\psi^{(r)}\}$ :

$$[\Psi] = [\{\psi^{(1)}\} \{\psi^{(2)}\} \dots \{\psi^{(r)}\} \dots \{\psi^{(N)}\}] \quad (3.1.12)$$

Dacă valorile proprii se aranjează în matricea diagonală numită *matricea spectrală*:

$$[p_r^2]^p = \text{diag}[p_r^2] \quad (3.1.13)$$

atunci ecuațiile (3.1.5) se scriu sub forma

$$[K][\Psi] - [M][\Psi][p_r^2]^p = [0]. \quad (3.1.14)$$

### 3.2. Vibrații forțate neamortizate ale sistemelor conservative

Ecuatiile vibrațiilor forțate neamortizate ale unui sistem conservativ cu  $N$  grade de libertate se scriu sub forma :

$$[M]\{\ddot{q}\} + [K]\{q\} = \{f\}, \quad (3.2.1)$$

unde  $\{f\}$  este vectorul excitației iar celelalte notații au aceleași semnificații ca în relația (3.1.1).

În cazul general în care matricele  $[M]$  și  $[K]$  nu sunt simultan diagonale pentru decuplarea ecuațiilor (3.2.1) se folosește transformarea liniară:

$$\{q\} = [\Psi]\{\xi\}, \quad (3.2.2)$$

exprimând vectorul coordonatelor generalizate  $\{q\}$  ca o combinație liniară de vectorii proprii  $\{\psi^{(r)}\}$  și  $\xi_r$  reprezintă *coordonatele principale neamortizate*:

$$\{q^{(r)}\} = \{\psi^{(r)}\} \xi_r \quad (3.2.3)$$

Înlocuind (3.2.2) în (3.2.1) și înmulțind la stânga cu  $[\Psi]^T$ , rezultă ecuația matriceală:

$$[\Psi]^T [M] [\Psi] \{\ddot{\xi}\} + [\Psi]^T [K] [\Psi] \{\xi\} = [\Psi]^T \{f\} \quad (3.2.4)$$

Ecuatia  $r$  corespunzătoare coordonatei principale  $\xi_r$  se obține scriind linia  $r$  a ecuației matriceale (3.2.4) și ținând seama de relațiile de ortogonalitate (3.1.7) :

$$\{\psi^{(r)}\}^T [M] \{\psi^{(r)}\} \ddot{\xi}_r + \{\psi^{(r)}\}^T [K] \{\psi^{(r)}\} \xi_r = \{\psi^{(r)}\}^T \{f\} \quad (3.2.5)$$

Folosind relațiile (3.1.8) și (3.1.9), ecuația (3.2.5) se mai scrie:

$$m_r \ddot{\xi}_r + k_r \xi_r = F_r, \quad (3.2.6)$$

unde  $m_r$  este *masa modală* corespunzătoare modului  $r$

$$k_r - \text{constanta modală corespunzătoare modului } r \quad (3.2.7)$$

$$F_r = \{\psi^{(r)}\}^T \{f\} - \text{forța generalizată (modală) corespunzătoare modului } r.$$

Dacă se introduc matricele diagonale corespunzătoare:

➤ maselor modale:

$$[m]^D = [\Psi]^T [M] [\Psi] = \text{diag}[m_r] \quad (3.2.8)$$

➤ constantelor elastice modale:

$$[k]^D = [\Psi]^T [K] [\Psi] = \text{diag}[k_r] \quad (3.2.9)$$

➤ și vectorul forțelor modale:

$$\{F\} = [\Psi]^T \{f\}, \quad (3.2.10)$$

atunci sistemul (3.2.3) se mai scrie:

$$[m]^D \ddot{\xi} + [k]^D \xi = \{F\} \quad (3.2.11)$$

și reprezintă  $N$  ecuații decuplate echivalente cu  $N$  ecuații independente cu un singur grad de libertate.

În cazul unei excitații armonice de forma  $\{f\} = \{\hat{f}\} e^{i\omega t}$  soluția staționară este de forma:

$$\{q\} = \{\hat{q}\} e^{i\omega t} \Rightarrow \{\ddot{q}\} = -\omega^2 \{\hat{q}\} e^{i\omega t} \quad (3.2.12)$$

și ecuația (3.2.10) se scrie:

$$(-\omega^2 [m]^D + [k]^D) \{\hat{q}\} = [\Psi]^T \{\hat{f}\} \quad (3.2.13)$$

Folosind transformarea de coordonate principale:

$$\{\hat{q}\} = [\Psi] \xi = \sum_{r=1}^N \{\psi^{(r)}\} \xi_r \quad (3.2.14)$$

ecuația 3.2.12 se scrie:

$$(-\omega^2 m_r + k_r) \xi_r = \{\psi^{(r)}\}^T \{\hat{f}\} \quad (3.2.15)$$

Rezultă:

$$\xi_r = \frac{\{\psi^{(r)}\}^T \{\hat{f}\}}{k_r - \omega^2 m_r} \quad (3.2.16)$$

deci:

$$\{\hat{q}\} = \sum_{r=1}^N \frac{\{\psi^{(r)}\}^T \{\hat{f}\} \{\psi^{(r)}\}}{m_r (p_r^2 - \omega^2)}. \quad (3.2.17)$$

Modurile proprii de vibrație  $\{\psi^{(r)}\}$  ale unui sistem conservativ se pot manifesta și în absența unei solicitări exterioare. Este posibil ca fiecărui mod propriu de vibrație să i se atașeze câte un *mod propriu de solicitare*, denumit *mod principal de excitație* care reprezintă distribuția de forțe având pulsații diferite de pulsația proprie  $p_r$  capabilă să întrețină vibrația corespunzător modului propriu  $r$ .

Dacă excitația  $\{f\} = \{\hat{F}^{(r)}\} e^{i\omega t}$  produce răspunsul  $\{q\} = \{\psi^{(r)}\} e^{i\omega t}$ , atunci din relația (3.2.12) rezultă  $\{\xi\} = \{I\}_r e^{i\omega t}$ , unde  $\{I\}_r$  este coloana  $r$  a matricei unitate  $[I]$ , iar ecuația (3.2.5) devine:

$$\{\hat{F}^{(r)}\} = ([K] - p_r^2 [M]) \{\psi^{(r)}\} \quad (3.2.18)$$

Relația (3.2.18) definește *modul principal de sollicitare* corespunzător pulsației proprii  $p_r$ .

Înmulțind în ecuația (3.2.18) la stânga cu  $\{\psi^{(s)}\}^T$  conform relațiilor de ortogonalitate (3.1.7) rezultă relația:

$$\{\psi^{(s)}\}^T \{\hat{F}^{(r)}\} = 0 \quad (3.2.19)$$

care arată că lucrul mecanic efectuat de forțele corespunzătoare modului principal de sollicitare pe deplasările corespunzătoare celorlalte moduri de vibrație este nul.

Analog, pe baza relațiilor (3.1.8) și (3.1.9), din relația (3.2.19) se obține:

$$\{\psi^{(r)}\}^T \{\hat{F}^{(r)}\} = k_r - \omega^2 m^r = k_r \left( 1 - \frac{\omega^2}{p_r^2} \right) \quad (3.2.20)$$

Se observă că pentru  $\omega \neq p_r$  lucrul mecanic efectuat este diferit de zero.

### 3.3. Vibrațiile sistemelor amortizate

Ecuatiile vibrațiilor forțate ale unui sistem cu  $N$  grade de libertate cu amortizare vâscoasă liniară se pot scrie sub forma:

$$[M]\{\ddot{q}\} + [C]\{\dot{q}\} + [K]\{q\} = \{f\} \quad (3.3.1)$$

unde  $[C]$  este matricea coeficienților de amortizare vâscoasă, denumită și *matricea amortizării*. Se va considera că  $[C]$  este reală, simetrică și definită pozitiv.

Transformarea în coordonate principale  $\xi$  conform relației (3.2.2) și înmulțirea ecuației obținute la stânga cu  $[\Psi]^T$  conduce la sistemul de ecuații:

$$[\Psi]^T [M] [\Psi] \{\ddot{\xi}\} + [\Psi]^T [C] [\Psi] \{\dot{\xi}\} + [\Psi]^T [K] [\Psi] \{\xi\} = [\Psi]^T \{f\} \quad (3.3.2)$$

Folosind notațiile (3.2.8), (3.2.9) și notând:

$$[c] = [\Psi]^T [C] [\Psi] \quad (3.3.3)$$

sistemul (3.3.2) devine:

$$[m]^D \{\ddot{\xi}\} + [c] \{\dot{\xi}\} + [k]^D \{\xi\} = \{F\} \quad (3.3.4)$$

Se deosebesc două cazuri:

- cazul când matricea  $[c]$  nu este diagonală, amortizarea vâscoasă se numește *neproporțională* (*neortogonală* sau *neclasică*). Prima ecuație diferențială a sistemului (3.3.4) se scrie:

$$m_1 \ddot{\xi}_1 + c_{11} \dot{\xi}_1 + \sum_{r=2}^N c_{1r} \dot{\xi}_r + k_1 \xi_1 = F_1 \quad (3.3.5)$$

Termenul al treilea indică existența unei cuplări între modurile de vibrație datorată amortizării. În acest caz se definesc pulsațiile proprii complexe și formele proprii complexe, după cum urmează.

- cazul când matricea  $[c]$  este diagonală, amortizarea vâscoasă se numește *proporțională* (*ortogonală* sau *clasică*). Făcând notația:

$$[c]^D = \text{diag}[c_r] \quad (3.3.6)$$

sistemul (3.3.4) devine:

$$[m]^D \{\ddot{\xi}\} + [c]^D \{\dot{\xi}\} + [k]^D \{\xi\} = \{F\} \quad (3.3.7)$$

deci în aceste condiții modurile de vibrație sunt decuplate.

Prima ecuație diferențială a sistemului (3.3.7) se scrie:

$$m_1 \ddot{\xi}_1 + c_1 \dot{\xi}_1 + k_1 \xi_1 = F_1 \quad (3.3.8)$$

și poate fi rezolvată independent de celelalte  $N-1$  ecuații.

Denumirea de amortizare proporțională provine de la o observație a lui Rayleigh. Astfel, dacă e exprimă matricea amortizării  $[C]$  ca o combinație a matricelor  $[M]$  și  $[K]$  de forma:

$$[C] = \sigma[M] + \tau[K] \quad (3.3.9)$$

unde  $\tau$  și  $\sigma$  sunt doi factori de proporționalitate, atunci matricea  $[\Psi]^T [C] [\Psi]$  este diagonală.

Într-adevăr:

$$[\Psi]^T [C] [\Psi] = \sigma [\Psi]^T [M] [\Psi] + \tau [\Psi]^T [K] [\Psi] = \sigma [m]^D + \tau [k]^D = [c]^D \quad (3.3.10)$$

Amortizarea proporțională nu trebuie însă limitată la o combinație liniară a matricelor masei și rigidității. S-a demonstrat că dacă matricea amortizării  $[C]$  se poate exprima ca o funcție polinomială a matricelor  $[M]$  și  $[K]$  atunci matricea modală  $[\Psi]$  diagonalizează matricea  $[C]$  la fel ca și matricele  $[M]$  și  $[K]$ , cu condiția ca matricea modală să fie ortogonală adică:

$$[\Psi]^T [\Psi] = [I] \quad (3.3.11)$$

Condiția generală necesară și suficientă pentru decuplarea ecuațiilor (3.3.2) după aplicarea transformării de coordonate principale este:

$$[C][M]^{-1}[K] = [K][M]^{-1}[C] \quad (3.3.12)$$

În practica inginerescă alegerea ipotezei amortizării proporționale nu se face verificând respectarea condiției (3.3.12) ci mult mai simplu, considerând neglijabili termenii nediagonali ai matricei amortizării, adică cuplajele intermodale produse de amortizări. Dacă matricea amortizării poate fi diagonalizată folosind aceeași transformare care decuplează sistemul (3.1.1), răspunsul sistemului amortizat se poate exprima în funcție de modurile de vibrație ale sistemului neamortizat asociat  $\{\Psi^{(r)}\}$  numite *moduri reale* sau *clasice* de vibrație.

### 3.4. Moduri clasice de vibrații forțate

#### 3.4.1. Vibrații forțate cu amortizare vâscoasă

În cazul amortizării vâscoase proporționale se poate stabili o relație de ortogonalitate pentru matricea coeficienților de amortizare:

$$\{\psi^{(s)}\}^T [C] \{\psi^{(r)}\} = 0 \quad (r \neq s) \quad (3.4.1)$$

și se notează cu  $c_r$  coeficientul de amortizare vâscoasă modală:

$$\{\psi^{(s)}\}^T [C] \{\psi^{(r)}\} = c_r \quad r = s \quad (3.4.2)$$

În regim armonic staționar, dacă se scrie:

$$\{f\} = \{\hat{f}\} e^{i\omega t}, \quad \{q\} = \{\tilde{q}\} e^{i\omega t}, \quad (3.4.3)$$

ecuația matriceală (3.3.1)  $[M]\{\ddot{q}\} + [C]\{\dot{q}\} + [K]\{q\} = \{f\}$  se scrie sub forma:

$$(-p^2[M] + ip[C] + [K])\{\tilde{q}\} = \{\hat{f}\} \quad (3.4.4)$$

Aplicând transformarea de coordonate principale:

$$\{\tilde{q}\} = [\Psi] \{\tilde{\xi}\} = \sum_{r=1}^N \{\psi^{(r)}\} \tilde{\xi}_r \quad (3.4.5)$$

înmulțind la stînga ecuația (3.4.4) cu  $[\Psi]^T$  și folosind relațiile (3.1.6) - (3.1.8), (3.4.1) și (3.4.2) rezultă expresia coordonatei complexe principale:

$$\tilde{\xi}_r = \frac{\{\psi^{(r)}\}^T \{\hat{f}\}}{m_r (p_r^2 - \omega^2 + 2i\zeta_r \omega p_r)} \quad (3.4.6)$$

unde s-a notat cu  $\zeta_r$  factorul de amortizare corespunzător modului  $r$ :

$$\zeta_r = \frac{c_r}{2m_r \omega_r} \quad (3.4.7)$$

Ținând seama de (3.4.6) relația (3.4.5) se scrie:

$$\{\tilde{q}\} = \sum_{r=1}^N \frac{\{\psi^{(r)}\}^T \{\hat{f}\} \{\psi^{(r)}\}}{m_r (-\omega^2 + i2\zeta_r \omega \omega_r + \omega_r^2)} \quad (3.4.8)$$

#### 3.4.2. Vibrații forțate cu amortizare histeretică

Ecuațiile diferențiale ale vibrațiilor forțate cu amortizare histeretică pentru un sistem liniar cu  $N$  grade de libertate se pot scrie matriceal:

$$[M]\{\ddot{q}\} + \frac{1}{\omega} [H]\{\dot{q}\} + [K]\{q\} = \{f\}, \quad (3.4.9)$$

unde  $[H]$  este matricea coeficienților de amortizare histeretică (reală, pozitiv definită și simetrică).

În cazul amortizării histeretice proporționale se poate stabili ca și în cazul precedent o relație de ortogonalitate pentru matricea coeficienților de amortizare histeretică:

$$\{\psi^{(s)}\}^T [H] \{\psi^{(r)}\} = 0. \quad (r \neq s) \quad (3.4.10)$$

și se notează cu  $h_r$  coeficientul de amortizare histerezică modală corespunzător modului  $r$ :

$$\{\psi^{(s)}\}^T [H] \{\psi^{(r)}\} = h_r \quad r = s \quad (3.4.11)$$

În regim armonic staționar, dacă se scrie:

$$\{f\} = \{\hat{f}\} e^{i\omega t}, \quad \{q\} = \{\hat{q}\} e^{i\omega t}, \quad (3.4.12)$$

ecuația matriceală (3.3.1):  $[M]\{\ddot{q}\} + [C]\{\dot{q}\} + [K]\{q\} = \{f\}$  se scrie sub forma:

$$(-\omega^2 [M] + i[H] + [K])\{\hat{q}\} = \{\hat{f}\} \quad (3.4.13)$$

Aplicând transformarea de coordonate principale (3.4.5) se decuplează sistemul de ecuații (3.4.13), care devine:

$$(-\omega^2 [m]^D + i[h]^D + [k]^D)\{\hat{\xi}\} = \{\psi^{(r)}\}^T \{\hat{f}\} = \{\hat{F}\} \quad (3.4.14)$$

unde s-a notat:

$$[h]^D = \text{diag}[h_r] \quad (3.4.15)$$

Ecuația  $r$  a acestui sistem se scrie

$$(k_r - \omega^2 m_r + ih_r)\hat{\xi}_r = \hat{F}_r \quad (3.4.16)$$

deci coordonata modală complexă este:

$$\hat{\xi}_r = \frac{\{\psi^{(r)}\}^T \{\hat{f}\}}{k_r - \omega^2 m_r + ih_r} \quad (3.4.17)$$

Rezultă vectorul amplitudinilor complexe ale deplasărilor:

$$\{\hat{q}\} = \sum_{r=1}^N \frac{\{\psi^{(r)}\}^T \{\hat{f}\} \{\psi^{(r)}\}}{k_r \left( 1 - \frac{\omega^2}{p_r^2} + ig_r \right)}, \quad (3.4.18)$$

unde s-a notat cu  $g_r$  factorul de amortizare histeretică corespunzător modului  $r$ :

$$g_r = h_r / k_r \quad (3.4.19)$$



În cazul metodelor de identificarea dinamică a sistemelor mecanice cu excitație într-un punct interesează răspunsul *pe direcția coordonatei*  $q_j$  produs de o forță armonică aplicată pe direcția coordonatei  $q_l$ .

Ținând seama de derivata parțială în raport cu coordonata principală  $\xi_r$  amplitudinilor complexe ale deplasărilor conform relației (3.4.5):

$$\frac{\partial}{\partial \xi_r} \{\tilde{q}\} = \frac{\partial}{\partial \xi_r} \left( \sum \{\psi^{(r)}\} \xi_r \right) = \{\psi^{(r)}\} \quad (3.4.20)$$

expresia (3.4.18) se scrie:

$$\tilde{q}_j = \sum_{r=1}^N \frac{\psi_l^{(r)} \hat{f}_l \psi_j^{(r)}}{k_r \left( 1 - \frac{\omega^2}{p_r^2} + i g_r \right)} = \sum_{r=1}^N \frac{\frac{\partial \tilde{q}_l}{\partial \xi_r} \hat{f}_l \frac{\partial \tilde{q}_j}{\partial \xi_r}}{k_r \left( 1 - \frac{\omega^2}{p_r^2} + i g_r \right)}. \quad (3.4.21)$$

Rezultă *receptanța (de transfer) complexă*:

$$\bar{\alpha}_{jl} = \frac{\tilde{q}_j}{\hat{f}_l} = \sum_{r=1}^N \frac{\psi_l^{(r)} \psi_j^{(r)}}{k_r \left( 1 - \frac{\omega^2}{p_r^2} + i g_r \right)} = \sum_{r=1}^N \frac{\psi_l^{(r)} \psi_j^{(r)}}{k_r g_r} \sin \psi_r e^{-i \psi_r} \quad (3.4.22)$$

unde s-a notat cu: 
$$\psi_r = \arctg \frac{g_r}{1 - \frac{\omega^2}{\omega_r^2}}. \quad (3.4.23)$$

La același rezultat se ajunge folosind metoda răspunsului în frecvență.

Astfel, ecuația (3.4.13) se mai scrie:

$$[\bar{\beta}] \{\tilde{q}\} = \{\hat{f}\} \quad (3.4.24)$$

unde s-a notat cu  $[\bar{\beta}]$  matricea obstrucanțelor complexe (matricea constantelor elastice dinamice):

$$[\bar{\beta}] = [-\omega^2 [M] + i[H] + [K]] \quad (3.4.25)$$

Matricea receptanțelor complexe sau a coeficienților de influență dinamici este inversa matricei obstrucanțelor complexe:

$$[\bar{\alpha}] = [\bar{\beta}]^{-1} = [-\omega^2 [M] + i[H] + [K]]^{-1}, \quad (3.4.26)$$

și are elementele de forma:

$$\bar{\alpha}_{jl} = \frac{\partial \tilde{q}_j}{\partial \hat{f}_l}. \quad (3.4.27)$$

Aplicând transformarea de coordonate principale (3.4.5) ecuația (3.4.24)

devine: 
$$[\bar{\beta}] \{\psi\} \{\xi\} = \{\hat{f}\} \quad (3.4.28)$$

După înmulțirea la stânga cu  $[\Psi]^T$  se obține sistemul decuplat:

$$[\bar{\beta}_r]^D \{\tilde{\xi}\} = [\Psi]^T \{\hat{f}\} \quad (3.4.29)$$

$$\text{unde: } [\bar{\beta}_r]^D = [\Psi]^T [\bar{\beta}] [\Psi] = (-\omega^2 [m]^D + i[h]^D + [k]^D) \quad (3.4.30)$$

iar *obstructanța modală complexă* este:

$$\bar{\beta}_r = k_r - \omega^2 m_r + i h_r. \quad (3.4.31)$$

*Receptanța modală complexă* este inversa *obstructanței modale complexe*:

$$\bar{\alpha}_r = \frac{1}{\bar{\beta}_r} = \frac{1}{k_r \left( 1 - \frac{\omega^2}{\omega_r^2} + i g_r \right)} = \frac{\sin \psi_r \cdot e^{-i\psi_r}}{k_r g_r} \quad (3.4.32)$$

și matricea diagonală corespunzătoare *receptanțelor modale* este:

$$[\bar{\alpha}_r]^D = ([\bar{\beta}_r]^D)^{-1}. \quad (3.4.33)$$

Prin inversarea relației (3.4.42) se obține:

$$([\bar{\beta}_r]^D)^{-1} = [\Psi]^{-1} [\bar{\beta}]^{-1} ([\Psi]^T)^{-1} \quad (3.4.34)$$

Prin inversarea relației matriceale  $[\bar{\alpha}_r]^D = [\Psi]^T [\bar{\alpha}] [\Psi]$  se obține:

$$([\bar{\alpha}_r]^D)^{-1} = [\Psi]^{-1} [\bar{\alpha}]^{-1} ([\Psi]^T)^{-1} \quad (3.4.35)$$

Înmulțind relația (3.4.35) la stânga cu  $[\Psi]$  și la dreapta cu  $[\Psi]$  se obține:

$$[\Psi] [\bar{\alpha}_r]^D [\Psi]^T = [\bar{\alpha}] \quad (3.4.36)$$

Coloana  $l$  a matricei receptanțelor complexe  $[\bar{\alpha}]$  reprezintă vectorul răspuns pentru o forță aplicată după direcția coordonatei  $l$ :

$$\{\bar{\alpha}_l\} = [\Psi] [\bar{\alpha}_r]^D \{\psi_l\} = [\Psi] \{\bar{\alpha}_r \psi_l\} \quad (3.4.37)$$

unde  $\{\psi_l\}$  este un vector care conține elementul  $l$  al fiecărui mod propriu.

Rezultă elementul  $\alpha_{ij}$  al matricei receptanțelor complexe:

$$\bar{\alpha}_{jl} = \sum_{r=1}^N \psi_l^{(r)} \psi_j^{(r)} \bar{\alpha}_r = \sum_{r=1}^N \frac{\psi_l^{(r)} \psi_j^{(r)}}{k_r g_r} \sin \psi_r \cdot e^{-i\psi_r} \quad (3.4.50)$$

având expresia identică cu cea obținută anterior (3.4.34).

### 3.5. Probleme rezolvate

#### 3.5.1. Pendulul triplu

Se consideră sistemul cu trei grade de libertate format din 3 tije identice de masă  $m$  și lungime  $L$  articulate la capătul superior, fiecare tijă având la celălalt capăt câte o piesă cilindrică de masă  $M$ . La distanța  $a$  de articulații tije sunt legate între ele cu două arcuri identice de constantă elastică  $k$  ca în figura 3.5.1. Să se determine pulsațiile și modurile proprii de vibrație.

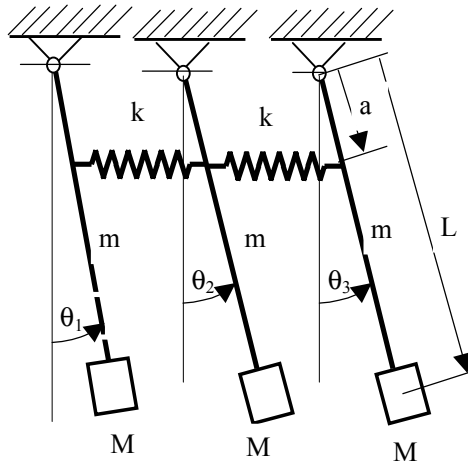


Fig. 3.5.1

Se consideră ca parametrii ai mișcării sistemului unghiurile  $\theta_1$ ,  $\theta_2$  și  $\theta_3$ . Valorile deplasărilor și vitezelor unghiulare la momentul inițial ( $t = 0$ ) sunt:

$$\begin{aligned} \theta_1 &= \theta_1^0; \quad \theta_2 = \theta_2^0; \quad \theta_3 = \theta_3^0 \\ \dot{\theta}_1 &= \dot{\theta}_2 = \dot{\theta}_3 = 0 \end{aligned} \quad (3.5.1)$$

Energia cinetică a sistemului este:

$$E_c = \frac{1}{2} (J + ML^2) \cdot (\dot{\theta}_1^2 + \dot{\theta}_2^2 + \dot{\theta}_3^2) \quad (3.5.2)$$

$J = \frac{mL^2}{3}$  este momentul de inerție al barei de masă  $m$  și lungime  $L$ .

Energia potențială a sistemului este suma dintre energia elastică a arcurilor și energia potențială gravitațională a sistemului de bare și corpuri de masă  $M$ :

$$V = \frac{ka^2}{2} [(\theta_2 - \theta_1)^2 + (\theta_3 - \theta_2)^2] + gl \left( M + \frac{m}{2} \right) (3 - \cos\theta_1 - \cos\theta_2 - \cos\theta_3) \quad (3.5.3)$$

$$\text{Dacă se notează: } J_0 = \frac{mL^2}{3} + ML^2; \quad k_0 = ka^2 + gl \left( M + \frac{m}{2} \right) \quad (3.5.4)$$

ecuațiile lui Lagrange:  $\frac{d}{dt} \left( \frac{\partial E_c}{\partial \dot{\theta}_k} \right) + \frac{\partial V}{\partial \theta_k} = 0$ ,  $k = 1, 2, 3$  se scriu:

$$\begin{cases} J_0 \ddot{\theta}_1 + k_0 \theta_1 - ka^2 \theta_2 = 0 \\ J_0 \ddot{\theta}_2 - ka^2 \theta_1 + (k_0 + ka^2) \theta_2 - ka^2 \theta_3 = 0 \\ J_0 \ddot{\theta}_3 - ka^2 \theta_2 + k_0 \theta_3 = 0 \end{cases} \quad (3.5.5)$$

Soluțiile sistemului de ecuații diferențiale (3.5.5) sunt de forma:

$$\begin{cases} \theta_1 = a_1 \cos(pt - \varphi) \\ \theta_2 = a_2 \cos(pt - \varphi) \\ \theta_3 = a_3 \cos(pt - \varphi) \end{cases} \Rightarrow \begin{cases} \ddot{\theta}_1 = -p^2 a_1 \cos(pt - \varphi) \\ \ddot{\theta}_2 = -p^2 a_2 \cos(pt - \varphi) \\ \ddot{\theta}_3 = -p^2 a_3 \cos(pt - \varphi) \end{cases} \quad (3.5.6)$$

Introducând (3.5.6) în (3.5.4) se obține sistemul omogen:

$$\begin{cases} (-J_0 p^2 + k_0) a_1 - k a^2 a_2 = 0 \\ -k a^2 a_1 + (-J_0 p^2 + k_0 + k a^2) a_2 - k a^2 a_3 = 0 \\ -k a^2 a_2 + (-J_0 p^2 + k_0) a_3 = 0 \end{cases} \quad (3.5.7)$$

Condiția ca sistemul (3.5.7) să admită soluții nebanale se scrie:

$$\begin{vmatrix} k_0 - J_0 p^2 & -k a^2 & 0 \\ -k a^2 & k_0 + k a^2 - J_0 p^2 & -k a^2 \\ 0 & -k a^2 & k_0 - J_0 p^2 \end{vmatrix} = 0 \quad (3.5.8)$$

care este echivalent cu ecuația:

$$(k_0 - J_0 p^2) [(k_0 - J_0 p^2)^2 + k a^2 (k_0 - J_0 p^2) - 2(k a^2)^2] = 0 \quad (3.5.9)$$

Rezolvând ecuația (3.5.9) rezultă cele 3 pulsații proprii:

$$p_1 = \sqrt{\frac{k_0 - k a^2}{J_0}} = \sqrt{\frac{g \left( M + \frac{m}{2} \right)}{L \left( M + \frac{m}{3} \right)}} \quad (3.5.10)$$

$$p_2 = \sqrt{\frac{k_0}{J_0}} = \sqrt{\frac{gL \left( M + \frac{m}{2} \right) + k a^2}{L^2 \left( M + \frac{m}{3} \right)}} \quad (3.5.11)$$

$$p_3 = \sqrt{\frac{k_0 + 2k a^2}{J_0}} = \sqrt{\frac{gL \left( M + \frac{m}{2} \right) + 3k a^2}{L^2 \left( M + \frac{m}{3} \right)}} \quad (3.5.12)$$

Soluțiile corespunzătoare de vibrație modului  $r$  ( $r=1,2,3$ ) sunt:

$$\begin{cases} \theta_{1r} = a_{1r} \cos(p_r t - \varphi_r) \\ \theta_{2r} = a_{2r} \cos(p_r t - \varphi_r) \\ \theta_{3r} = a_{3r} \cos(p_r t - \varphi_r) \end{cases} \quad (3.5.13)$$

Coeficienții de distribuție corespunzători modului  $r$  de vibrație se determină din primele două ecuații ale sistemului (3.5.7) care se mai scriu:

$$\begin{cases} a_{2r} = \frac{-J_0 p_r^2 + k_0}{ka^2} a_{1r} \\ a_{3r} = -a_{1r} + \frac{-J_0 p_r^2 + k_0 + ka^2}{ka^2} a_{2r} \end{cases} \quad (3.5.14)$$

➤ pentru primul mod de vibrație:  $p_1^2 = \frac{k_0 - ka^2}{J_0}$ :

$$\begin{cases} \mu_{11} = \frac{a_{11}}{a_{11}} = 1 \\ \mu_{21} = \frac{a_{21}}{a_{11}} = \frac{k_0 - p_1^2 J_0}{ka^2} = 1 \\ \mu_{31} = \frac{a_{31}}{a_{11}} = -1 + \frac{k_0 + ka^2 - p_1^2 J_0}{ka^2} \mu_{21} = 1 \end{cases} \quad (3.5.15)$$

➤ pentru al II lea mod de vibrație:  $p_2^2 = \frac{k_0}{J_0}$ :

$$\begin{cases} \mu_{12} = \frac{a_{12}}{a_{12}} = 1 \\ \mu_{22} = \frac{a_{22}}{a_{12}} = \frac{k_0 - p_2^2 J_0}{ka^2} = 0 \\ \mu_{32} = \frac{a_{32}}{a_{12}} = -1 + \frac{k_0 + ka^2 - p_2^2 J_0}{ka^2} \mu_{21} = -1 \end{cases} \quad (3.5.16)$$

➤ pentru al III lea mod de vibrație:  $p_3^2 = \frac{k_0 + 2ka^2}{J_0}$ :

$$\begin{cases} \mu_{13} = \frac{a_{13}}{a_{13}} = 1 \\ \mu_{23} = \frac{a_{23}}{a_{13}} = \frac{k_0 - p_3^2 J_0}{ka^2} = -2 \\ \mu_{33} = \frac{a_{33}}{a_{13}} = -1 + \frac{k_0 + ka^2 - p_3^2 J_0}{ka^2} \mu_{21} = 1 \end{cases} \quad (3.5.17)$$

Soluția generală se obține ca sumă a celor trei moduri proprii de vibrație:

$$\begin{cases} \theta_1 = \theta_{11} + \theta_{12} + \theta_{13} = a_{11} \cos(p_1 t - \varphi_1) + a_{12} \cos(p_2 t - \varphi_2) + a_{13} \cos(p_3 t - \varphi_3) \\ \theta_2 = \theta_{21} + \theta_{22} + \theta_{23} = \mu_{21} a_{11} \cos(p_1 t - \varphi_1) + \mu_{22} a_{12} \cos(p_2 t - \varphi_2) + \mu_{23} a_{13} \cos(p_3 t - \varphi_3) \\ \theta_3 = \theta_{31} + \theta_{32} + \theta_{33} = \mu_{31} a_{11} \cos(p_1 t - \varphi_1) + \mu_{32} a_{12} \cos(p_2 t - \varphi_2) + \mu_{33} a_{13} \cos(p_3 t - \varphi_3) \end{cases} \quad (3.5.18)$$

Dacă se notează  $C_1 = a_{11}$ ;  $C_2 = a_{12}$ ;  $C_3 = a_{13}$  soluția generală (3.1.18) se mai scrie sub forma:

$$\begin{cases} \theta_1 = C_1 \cos(p_1 t - \varphi_1) + C_2 \cos(p_2 t - \varphi_2) + C_3 \cos(p_3 t - \varphi_3) \\ \theta_2 = C_1 \cos(p_1 t - \varphi_1) - 2C_3 \cos(p_3 t - \varphi_3) \\ \theta_3 = C_1 \cos(p_1 t - \varphi_1) - C_2 \cos(p_2 t - \varphi_2) + C_3 \cos(p_3 t - \varphi_3) \end{cases} \quad (3.5.19)$$

Pentru anumite condiții inițiale se obțin mișcări particulare ale sistemului corespunzătoare celor trei moduri proprii de vibrație (fig. 3.5.2.a,b,c):

- **Modul 1** pentru  $t=0$ :  $\theta_1 = \theta_2 = \theta_3 = \alpha$ ;  $\dot{\theta}_1 = \dot{\theta}_2 = \dot{\theta}_3 = 0$  (3.5.20)  
înlocuind în (3.5.18) rezultă:  $C_1 = \alpha$ ;  $C_2 = 0$ ;  $C_3 = 0$ ;  $\varphi_1 = \varphi_2 = \varphi_3 = 0$  și se obține:

$$\begin{cases} \theta_1 = \alpha \cos p_1 t \\ \theta_2 = \alpha \cos p_1 t \\ \theta_3 = \alpha \cos p_1 t \end{cases} \quad (3.5.21)$$

- **Modul 2** pentru  $t=0$ :  $\theta_1 = -\theta_3 = \alpha$ ;  $\theta_2 = 0$   $\dot{\theta}_1 = \dot{\theta}_2 = \dot{\theta}_3 = 0$  (3.5.22)  
înlocuind în soluția generală (3.5.18) rezultă:  $C_1 = C_3 = 0$ ;  $C_2 = \alpha$ ;  $\varphi_1 = \varphi_2 = \varphi_3 = 0$  deci se obține:

$$\begin{cases} \theta_1 = \alpha \cos p_2 t \\ \theta_2 = 0 \\ \theta_3 = -\alpha \cos p_2 t \end{cases} \quad (3.5.23)$$

- **Modul 3** pentru  $t=0$ :  $\theta_1 = \theta_3 = \alpha$ ;  $\theta_2 = -2\alpha$   $\dot{\theta}_1 = \dot{\theta}_2 = \dot{\theta}_3 = 0$  (3.5.24)  
înlocuind în soluția generală (3.5.18) rezultă:  $C_1 = C_2 = 0$ ;  $C_3 = \alpha$ ;  $\varphi_1 = \varphi_2 = \varphi_3 = 0$  deci se obține:

$$\begin{cases} \theta_1 = \alpha \cos p_3 t \\ \theta_2 = -2\alpha \cos p_3 t \\ \theta_3 = \alpha \cos p_3 t \end{cases} \quad (3.5.25)$$

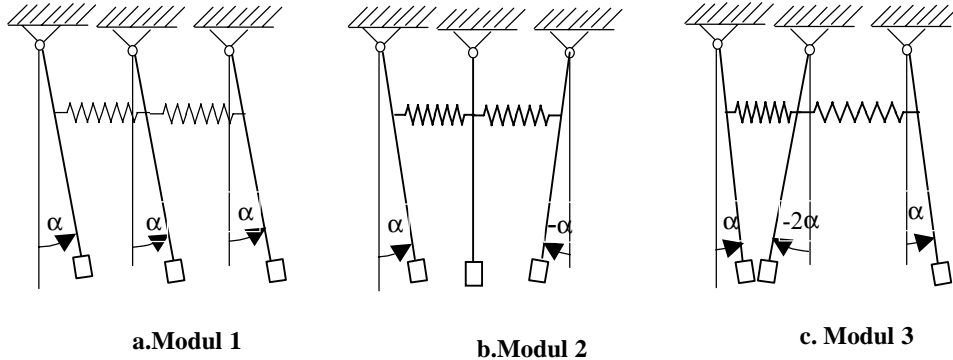


Fig. 3.5.2

Coordonatele principale se determină din ecuația matriceală:

$$\{q\} = [A]\{\xi\} \quad (3.5.26)$$

unde:

$$\{q\} = \begin{Bmatrix} \theta_1 \\ \theta_2 \\ \theta_3 \end{Bmatrix}; \quad \{\xi\} = \begin{Bmatrix} \xi_1 \\ \xi_2 \\ \xi_3 \end{Bmatrix}; \quad (3.5.27)$$

$$[A] = \begin{bmatrix} a_{11} & a_{12} & a_{13} \\ \mu_{21}a_{11} & \mu_{22}a_{12} & \mu_{23}a_{13} \\ \mu_{31}a_{11} & \mu_{32}a_{12} & \mu_{33}a_{13} \end{bmatrix} = \begin{bmatrix} a_{11} & a_{12} & a_{13} \\ a_{11} & 0 & -2a_{13} \\ a_{11} & -a_{12} & a_{13} \end{bmatrix} \quad (3.5.28)$$

Pentru cazul particular al problemei date se scriu:

$$\begin{cases} \theta_1 = a_{11}\xi_1 + a_{12}\xi_2 + a_{13}\xi_3 \\ \theta_2 = a_{11}\xi_1 - 2a_{13}\xi_3 \\ \theta_3 = a_{11}\xi_1 - a_{12}\xi_2 + a_{13}\xi_3 \end{cases}$$

$$\begin{cases} \xi_1 = \frac{1}{3a_{11}}(\theta_1 + \theta_2 + \theta_3) \\ \xi_2 = \frac{1}{2a_{12}}(\theta_1 - \theta_3) \\ \xi_3 = \frac{1}{6a_{13}}(\theta_1 - 2\theta_2 + \theta_3) \end{cases} \quad (3.5.29)$$

Se observă din această relație că expresiile coordonatelor principale au coeficienții condițiilor inițiale corespunzătoare celor trei moduri proprii de vibrație.

### 3.5.2. Vibrații transversale ale barelor

Se consideră sistemul format dintr-o bară dreaptă de masă neglijabilă, lungime  $4L$ , rigiditatea la încovoiere  $EI$  constantă, și console la capete egale cu  $L$  situată pe două rezeme A și B pe care se află montate trei roți de mase  $m_1 = m$ ,  $m_2 = 3m$  și  $m_3 = m$  ca în figura 3.5.3. Să se determine pulsațiile și modurile proprii de vibrație.

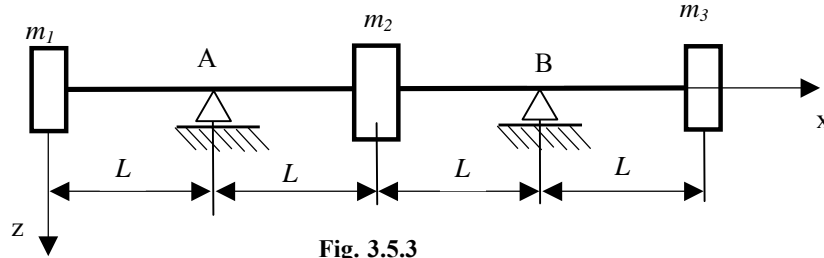


Fig. 3.5.3

Se consideră parametrii mișcării sistemului deplasările roților de mase  $m_1$ ,  $m_2$  și  $m_3$  pe direcția  $Oz$ :  $x_1$ ,  $x_2$  și  $x_3$ . Se folosește metoda coeficienților de influență. Se exprimă deplasările maselor în funcție de forțele de inerție  $\Phi_j$  și coeficienții de influență  $\delta_{ij}$  folosind principiul suprapunerii efectelor:

$$\begin{cases} x_1 = \delta_{11}\Phi_1 + \delta_{12}\Phi_2 + \delta_{13}\Phi_3 \\ x_2 = \delta_{21}\Phi_1 + \delta_{22}\Phi_2 + \delta_{23}\Phi_3 \\ x_3 = \delta_{31}\Phi_1 + \delta_{32}\Phi_2 + \delta_{33}\Phi_3 \end{cases} \quad (3.5.30)$$

unde:

- $\Phi_1 = -m_1\ddot{x}_1$ ;  $\Phi_2 = -m_2\ddot{x}_2$  și  $\Phi_3 = -m_3\ddot{x}_3$  sunt forțele de inerție corespunzătoare celor trei mase.
- $\delta_{11}$ ,  $\delta_{21}$ ,  $\delta_{31}$  sunt coeficienții de influență (sau deplasările celor trei corpuri) corespunzătoare unei forțe unitare ce acționează în locul corpului 1 (fig.3.5.4.a);
- $\delta_{12}$ ,  $\delta_{22}$ ,  $\delta_{32}$  sunt coeficienții de influență corespunzătoare unei forțe unitare ce acționează în locul corpului 2 (fig.3.5.4.b);
- $\delta_{13}$ ,  $\delta_{23}$ ,  $\delta_{33}$  sunt coeficienții de influență corespunzătoare unei forțe unitare ce acționează în locul corpului 3 (fig.3.5.4.c):

Înlocuind în relațiile (3.5.30) se obține:

$$\begin{cases} m_1\delta_{11}\ddot{x}_1 + m_2\delta_{12}\ddot{x}_2 + m_3\delta_{13}\ddot{x}_3 + x_1 = 0 \\ m_1\delta_{21}\ddot{x}_1 + m_2\delta_{22}\ddot{x}_2 + m_3\delta_{23}\ddot{x}_3 + x_2 = 0 \\ m_1\delta_{31}\ddot{x}_1 + m_2\delta_{32}\ddot{x}_2 + m_3\delta_{33}\ddot{x}_3 + x_3 = 0 \end{cases} \quad (3.5.31)$$



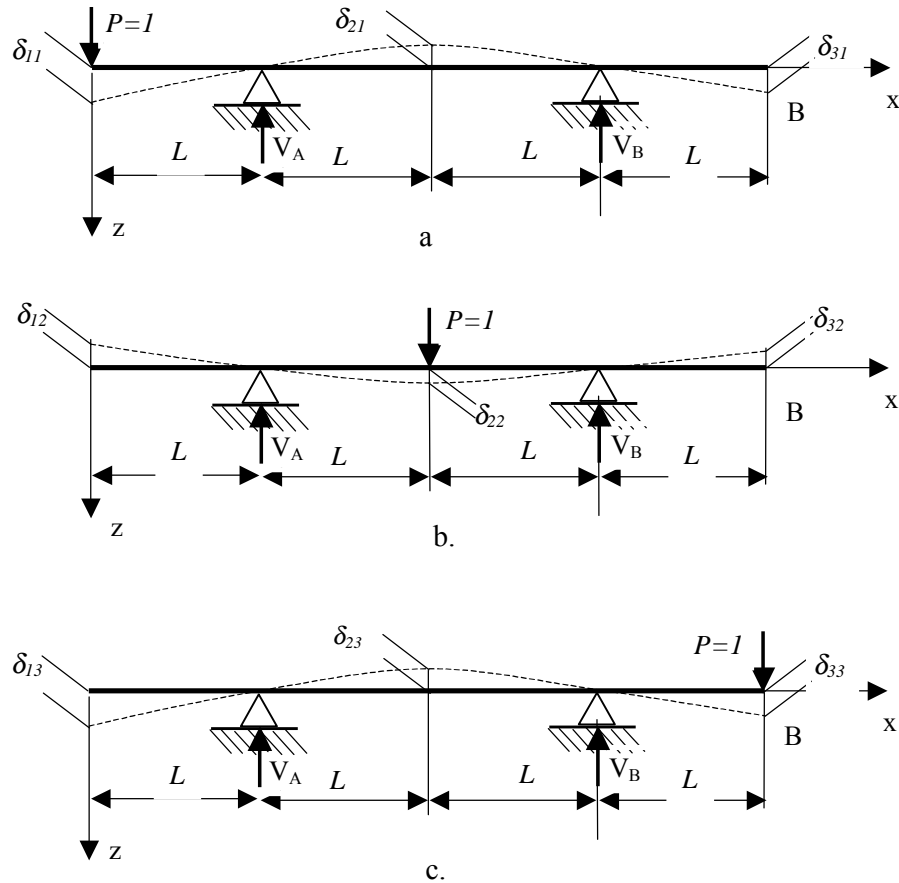


Fig. 3.5.4

Pentru a calcula coeficienții de influență se determină reacțiunile pentru fiecare din cele două cazuri de încărcare:

- cazul 1:  $V_{A1} = \frac{3P}{2}$ ;  $V_{B1} = -\frac{P}{2}$
- cazul 2:  $V_{A2} = \frac{P}{2}$ ;  $V_{B2} = \frac{P}{2}$
- cazul 3:  $V_{A3} = -\frac{P}{2}$ ;  $V_{B3} = \frac{3P}{2}$

(3.5.32)

Cu ajutorul lor se trasează diagramele de momente pentru fiecare din cele trei cazuri (fig.3.5.5).

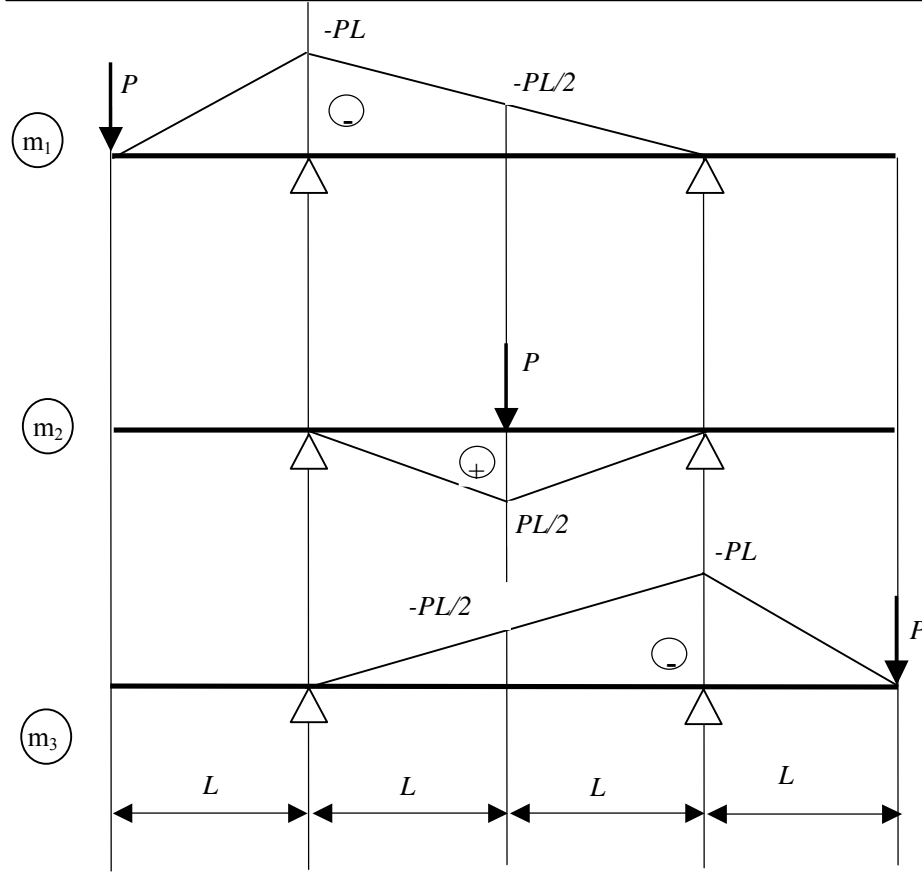


Fig. 3.5.5

Deplasările  $\delta_{11}$ ,  $\delta_{21} = \delta_{12}$ ,  $\delta_{22}$  se determină cu ajutorul metodei Mohr-Maxwell conform relațiilor:

$$\delta_{11} = \int \frac{m_1 m_1}{EI} dx; \quad \delta_{21} = \delta_{12} = \int \frac{m_1 m_2}{EI} dx; \quad \delta_{22} = \int \frac{m_2 m_2}{EI} dx. \quad (3.5.33)$$

unde:  $m_1$  este momentul din bară produs de o forță  $P=1$  ce acționează în 1

$m_2$  este momentul din bară produs de o forță  $P=1$  ce acționează în 2.

$$\delta_{11} = \frac{L}{6EI} \left[ 4 \left( -\frac{L}{2} \right) \left( -\frac{L}{2} \right) + (-L) \cdot (-L) \right] + \frac{2L}{6EI} \left[ (-L) \cdot (-L) + 4 \left( -\frac{L}{2} \right) \left( -\frac{L}{2} \right) \right] = \frac{L^3}{EI};$$

$$\delta_{12} = \delta_{21} = \frac{L}{6EI} \left[ 4 \left( -\frac{3L}{4} \right) \left( \frac{L}{4} \right) + \left( -\frac{L}{2} \right) \cdot \left( \frac{L}{2} \right) \right] + \frac{L}{6EI} \left[ \left( -\frac{L}{2} \right) \cdot \left( \frac{L}{2} \right) + 4 \left( -\frac{L}{4} \right) \left( \frac{L}{4} \right) \right]$$

$$\delta_{12} = \delta_{21} = -\frac{L^3}{4EI};$$

$$\begin{aligned}
\delta_{13} = \delta_{31} &= \frac{2L}{6EI} \left[ 4 \left( -\frac{L}{2} \right) \left( -\frac{L}{2} \right) \right] = \frac{L^3}{3EI}; \\
\delta_{22} &= 2 \frac{L}{6EI} \left[ 4 \left( \frac{L}{4} \right) \left( \frac{L}{4} \right) + \left( \frac{L}{2} \right) \left( \frac{L}{2} \right) \right] = \frac{L^3}{6EI}; \\
\delta_{23} = \delta_{32} &= \frac{L}{6EI} \left[ 4 \left( -\frac{L}{4} \right) \left( \frac{L}{4} \right) + \left( -\frac{L}{2} \right) \left( \frac{L}{2} \right) \right] + \frac{L}{6EI} \left[ \left( -\frac{L}{2} \right) \left( \frac{L}{2} \right) + 4 \left( -\frac{3L}{4} \right) \left( \frac{L}{4} \right) \right] = -\frac{L^3}{4EI}; \\
\delta_{33} &= \frac{2L}{6EI} \left[ 4 \left( -\frac{L}{2} \right) \left( -\frac{L}{2} \right) + (-L) \cdot (-L) \right] + \frac{L}{6EI} \left[ (-L) \cdot (-L) + 4 \left( -\frac{L}{2} \right) \left( -\frac{L}{2} \right) \right] = \frac{L^3}{EI};
\end{aligned} \tag{3.5.34}$$

Înlocuind în ecuațiile (3.5.37) valorile obținute se obține:

$$\begin{cases} \frac{mL^3}{EI} \ddot{x}_1 - \frac{3}{4} \frac{mL^3}{EI} \ddot{x}_2 + \frac{1}{3} \frac{mL^3}{EI} \ddot{x}_3 + x_1 = 0 \\ -\frac{1}{4} \frac{mL^3}{EI} \ddot{x}_1 + \frac{1}{2} \frac{mL^3}{EI} \ddot{x}_2 - \frac{1}{4} \frac{mL^3}{EI} \ddot{x}_3 + x_2 = 0 \\ \frac{1}{3} \frac{mL^3}{EI} \ddot{x}_1 - \frac{3}{4} \frac{mL^3}{EI} \ddot{x}_2 + \frac{mL^3}{EI} \ddot{x}_3 + x_3 = 0 \end{cases} \tag{3.5.35}$$

Notând  $\alpha = \frac{mL^3}{EI}$  ecuațiile (3.5.42) se mai scriu:

$$\begin{cases} 12\alpha \ddot{x}_1 - 9\alpha \ddot{x}_2 + 4\alpha \ddot{x}_3 + 12x_1 = 0 \\ -3\alpha \ddot{x}_1 + 6\alpha \ddot{x}_2 - 3\alpha \ddot{x}_3 + 12x_2 = 0 \\ 4\alpha \ddot{x}_1 - 9\alpha \ddot{x}_2 + 12\alpha \ddot{x}_3 + 12x_3 = 0 \end{cases} \tag{3.5.36}$$

Soluțiile ecuațiilor diferențiale (3.5.43) sunt de forma:

$$\begin{cases} x_1 = a_1 \cos(pt - \varphi) \\ x_2 = a_2 \cos(pt - \varphi) \\ x_3 = a_3 \cos(pt - \varphi) \end{cases} \Rightarrow \begin{cases} \ddot{x}_1 = -p^2 a_1 \cos(pt - \varphi) \\ \ddot{x}_2 = -p^2 a_2 \cos(pt - \varphi) \\ \ddot{x}_3 = -p^2 a_3 \cos(pt - \varphi) \end{cases} \tag{3.5.37}$$

Înlocuind în sistemul (3.5.27) se obține:

$$\begin{cases} (-12\alpha p^2 + 12)a_1 + 9\alpha p^2 a_2 - 4\alpha p^2 a_3 = 0 \\ 3\alpha p^2 a_1 + (-6\alpha p^2 + 12)a_2 + 3\alpha p^2 a_3 = 0 \\ -4\alpha p^2 a_1 + 9\alpha p^2 a_2 + (-12\alpha p^2 + 12)a_3 = 0 \end{cases} \tag{3.5.38}$$

Ecuția caracteristică a pulsațiilor proprii este:

$$\begin{vmatrix} -12\alpha p^2 + 12 & 9\alpha p^2 & -4\alpha p^2 \\ 3\alpha p^2 & -6\alpha p^2 + 12 & 3\alpha p^2 \\ -4\alpha p^2 & 9\alpha p^2 & -12\alpha p^2 + 12 \end{vmatrix} = 0$$

$$\Leftrightarrow (C_1 - C_3)$$

$$\begin{vmatrix} -8\alpha p^2 + 12 & 9\alpha p^2 & -4\alpha p^2 \\ 0 & -6\alpha p^2 + 12 & 3\alpha p^2 \\ 8\alpha p^2 - 12 & 9\alpha p^2 & -12\alpha p^2 + 12 \end{vmatrix} = 0$$

$$\Leftrightarrow 24(2\alpha p^2 - 3)(7\alpha^2 p^4 - 44\alpha p^2 + 24) = 0$$
(3.5.39)

Rădăcinile pozitive ale acestei ecuații sunt pulsațiile proprii:

$$p_1^2 = \frac{0,603}{\alpha} \Rightarrow p_1 = 0,777 \sqrt{\frac{EI}{mL^3}}$$

$$p_2^2 = \frac{1,5}{\sqrt{\alpha}} \Rightarrow p_2 = 1,225 \sqrt{\frac{EI}{mL^3}}$$

$$p_3^2 = \frac{5,682}{\sqrt{\alpha}} \Rightarrow p_3 = 2,384 \sqrt{\frac{EI}{mL^3}}$$
(3.5.40)

Modurile proprii se determină cu ajutorul ecuațiilor :

$$\begin{cases} (-8\alpha p^2 + 12)a_1 + 9\alpha p^2 a_2 - 4\alpha p^2 a_3 = 0 \\ (-6\alpha p^2 + 12)a_2 + 3\alpha p^2 a_3 = 0 \\ (8\alpha p^2 - 12)a_1 + 9\alpha p^2 a_2 + (-12\alpha p^2 + 12)a_3 = 0 \end{cases}$$

$$\Leftrightarrow (E_1 - E_3)$$

$$(8\alpha p^2 - 12)(a_1 - a_3) = 0 \Rightarrow a_3 = a_1;$$

$$a_2 = \frac{1}{2} \frac{\alpha p^2}{\alpha p^2 - 2} a_3 \Rightarrow a_2 = \frac{1}{2} \frac{\alpha p^2}{\alpha p^2 - 2} a_1$$
(3.5.41)

➤ **Modul 1 de vibrație** (fig. 3.5.6.a):

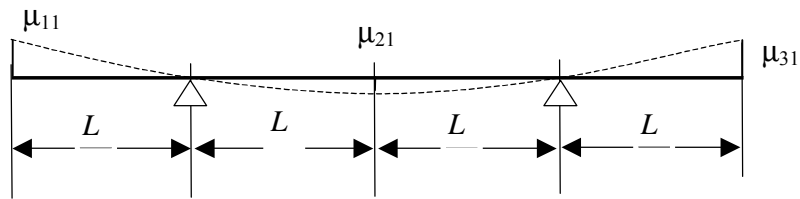
$$\mu_{11} = \mu_{31} = 1; \quad \mu_{21} = \frac{a_{21}}{a_{11}} = \frac{1}{2} \frac{\alpha p_1^2}{\alpha p_1^2 - 2} = -0,358$$
(3.5.42)

➤ **Modul 2 de vibrație** (fig. 3.5.6.b):

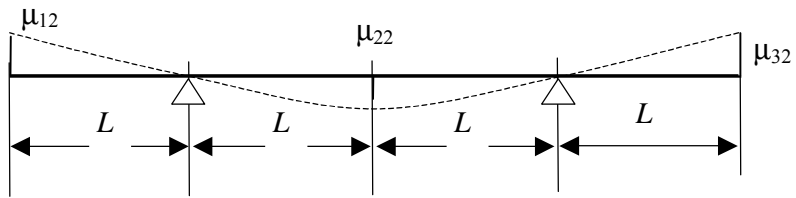
$$\mu_{12} = \mu_{32} = 1; \quad \mu_{22} = \frac{a_{22}}{a_{12}} = \frac{1}{2} \frac{\alpha p_2^2}{\alpha p_2^2 - 2} = -1$$
(3.5.43)

➤ **Modul 3 de vibrație** (fig. 3.5.6.c):

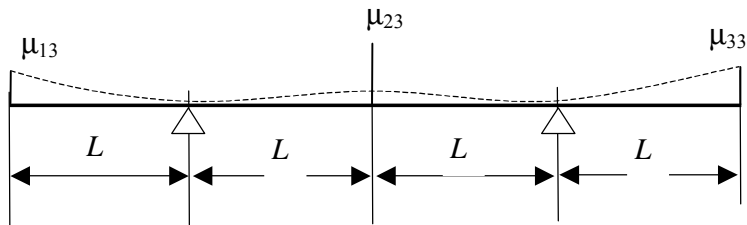
$$\mu_{13} = \mu_{33} = 1; \quad \mu_{23} = \frac{a_{23}}{a_{13}} = \frac{1}{2} \frac{\alpha p_3^2}{\alpha p_3^2 - 2} = 0,136 \quad (3.5.44)$$



a. Modul 1



b. Modul 2



c. Modul 3

Fig. 3.5.6

Din forma modurilor proprii de vibrație se observă că simetria sistemului se regăsește și în simetria celor trei moduri proprii de vibrație ( deoarece  $\mu_1 = \mu_3$ ).

### 3.5.3. Vibrațiile de răsucire ale arborilor

Se consideră un arbore format din patru tronsoane de lungime  $L_i$  și diametre  $d_i$  pe care se află trei volanți (roți dințate au discuri) având momentele de inerție  $J_i$  fixat la ambele capete ca în figura 3.5.7. Să se determine pulsațiile proprii și modurile proprii de vibrație pentru cazul general.

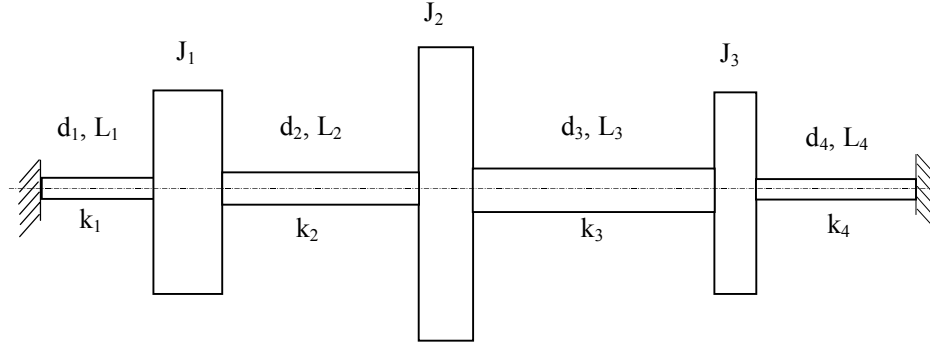


Fig. 3.5.7

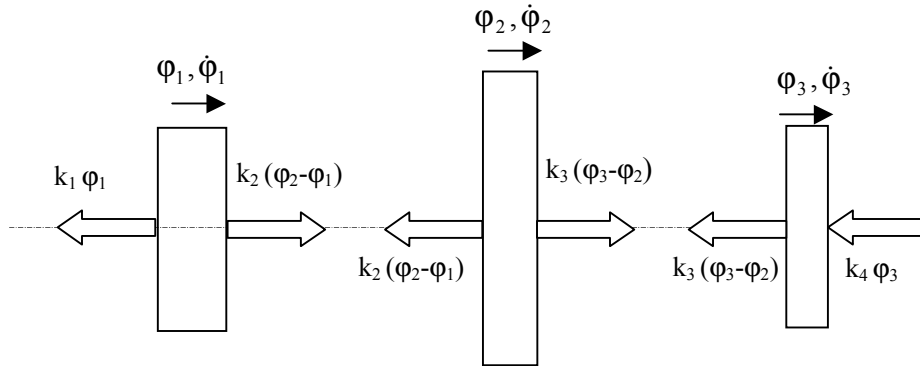


Fig. 3.5.8

Ecuatiile diferențiale ale vibrațiilor de răsucire ale arborilor se vor scrie folosind ecuațiile lui Lagrange:

$$\frac{d}{dt} \left( \frac{\partial E}{\partial \dot{\varphi}_i} \right) + \frac{\partial V}{\partial \varphi_i} = 0; \quad i = 1, 2, 3. \quad (3.5.45)$$

unde așa cum rezultă din figura 3.5.8:

$$\begin{cases} E = \frac{1}{2} J_1 \dot{\varphi}_1^2 + \frac{1}{2} J_2 \dot{\varphi}_2^2 + \frac{1}{2} J_3 \dot{\varphi}_3^2 \\ V = \frac{1}{2} k_1 \varphi_1^2 + \frac{1}{2} k_2 (\varphi_2 - \varphi_1)^2 + \frac{1}{2} k_3 (\varphi_3 - \varphi_2)^2 + \frac{1}{2} k_4 \varphi_3^2 \end{cases} \quad (3.5.46)$$

unde constantele elastice sunt:

$$k_1 = \frac{\pi d_1^4 G}{32 L_1}; \quad k_2 = \frac{\pi d_2^4 G}{32 L_2}; \quad k_3 = \frac{\pi d_3^4 G}{32 L_3}; \quad k_4 = \frac{\pi d_4^4 G}{32 L_4}. \quad (3.5.48)$$

Înlocuind derivatele parțiale se obține sistemul de ecuații diferențiale:

$$\begin{cases} J_1 \ddot{\varphi}_1 + k_1 \varphi_1 - k_2 (\varphi_2 - \varphi_1) = 0 \\ J_2 \ddot{\varphi}_2 + k_2 (\varphi_2 - \varphi_1) - k_3 (\varphi_3 - \varphi_2) = 0 \\ J_3 \ddot{\varphi}_3 + k_3 (\varphi_3 - \varphi_2) + k_4 \varphi_3 = 0 \end{cases} \quad (3.5.49)$$

Soluțiile vibrațiilor libere sunt de forma:

$$\varphi_i = a_i \cos(pt - \theta_i), \quad i = 1, 2, 3. \quad (3.5.50)$$

Introducând soluțiile (3.5.50) în (3.5.49) se obține sistemul omogen:

$$\begin{cases} (-J_1 p^2 + k_1 + k_2) a_1 - k_2 a_2 = 0 \\ -k_2 a_1 + (-J_2 p^2 + k_2 + k_3) a_2 - k_3 a_3 = 0 \\ -k_3 a_2 + (-J_3 p^2 + k_3 + k_4) a_3 = 0 \end{cases} \quad (3.5.51)$$

Condiția ca sistemul (3.5.51) să admită soluții nebanale se scrie:

$$\begin{vmatrix} k_1 + k_2 - J_1 p^2 & -k_2 & 0 \\ -k_2 & k_2 + k_3 - J_2 p^2 & -k_3 \\ 0 & -k_3 & k_3 + k_4 - J_3 p^2 \end{vmatrix} = 0 \quad (3.5.52)$$

Se obține ecuația caracteristică de forma:

$$(k_1 + k_2 - J_1 p^2)(k_2 + k_3 - J_2 p^2)(k_3 + k_4 - J_3 p^2) - k_3^2(k_1 + k_2 - J_1 p^2) - k_2^2(k_3 + k_4 - J_3 p^2) = 0 \quad (3.5.53)$$

Pentru cazul particular în care arborele este liber la ambele capete ( $k_1 = k_4 = 0$ ) ecuația (3.5.52) se scrie:

$$\begin{vmatrix} k_2 - J_1 p^2 & -k_2 & 0 \\ -k_2 & k_2 + k_3 - J_2 p^2 & -k_3 \\ 0 & -k_3 & k_3 - J_3 p^2 \end{vmatrix} = 0 \quad (3.5.54)$$

Însumând liniile 1, 2, 3 se obține determinatul echivalent:

$$\begin{vmatrix} -J_1 p^2 & -J_2 p^2 & -J_3 p^2 \\ -k_2 & k_2 + k_3 - J_2 p^2 & -k_3 \\ 0 & -k_3 & k_3 - J_3 p^2 \end{vmatrix} = 0 \quad (3.5.55)$$

sau dacă se dă factor comun  $p^2$  din prima linie se obține:

$$-p^2 \begin{vmatrix} J_1 & J_2 & J_3 \\ -k_2 & k_2 + k_3 - J_2 p^2 & -k_3 \\ 0 & -k_3 & k_3 - J_3 p^2 \end{vmatrix} = 0 \quad (3.5.56)$$

Prima pulsație proprie este egală cu zero, deci sistemul este de fapt un sistem cu două grade de libertate.

Ecuția (3.5.37) se scrie în acest caz:

$$J_1 J_2 J_3 p^4 - p^2 (k_2 J_2 J_3 + (k_2 + k_3) J_1 J_3 + k_3 J_1 J_2) + k_2 k_3 (J_1 + J_2 + J_3) = 0$$

$$p^4 - p^2 \left( \frac{k_2}{J_1} + \frac{k_2 + k_3}{J_2} + \frac{k_3}{J_3} \right) + k_2 k_3 \left( \frac{1}{J_1 J_2} + \frac{1}{J_2 J_3} + \frac{1}{J_1 J_3} \right) = 0 \quad (3.5.57)$$

Dacă se notează:

$$2\alpha = \left( \frac{k_2}{J_1} + \frac{k_2 + k_3}{J_2} + \frac{k_3}{J_3} \right); \quad \beta = k_2 k_3 \left( \frac{1}{J_1 J_2} + \frac{1}{J_2 J_3} + \frac{1}{J_1 J_3} \right) \quad (3.5.58)$$

se obțin pulsațiile proprii sub forma:

$$p_{1,2} = \sqrt{\alpha \mp \sqrt{\alpha^2 - \beta}} \quad (3.5.59)$$

Pentru cazul particular din figura 3.5.9 să se determine pulsațiile și modurile proprii de vibrație. Se cunosc valorile constantei elastice  $k$  și ale momentului de inerție  $J$ .

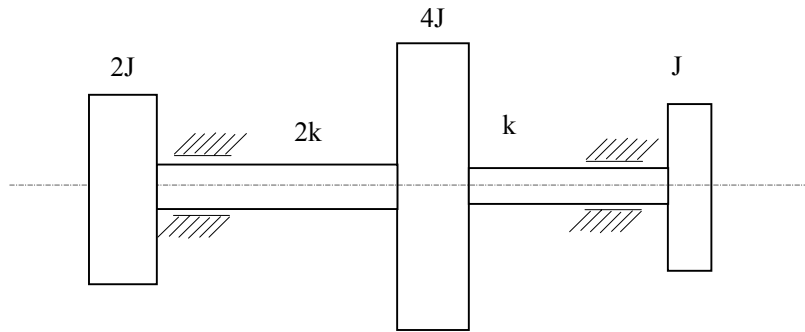


Fig. 3.5.9

Prin identificarea cu sistemul din figura 3.5.7 se obține:

$$k_1 = 0; \quad k_2 = 2k; \quad k_3 = k; \quad k_3 = 0; \quad J_1 = 2J; \quad J_2 = 4J; \quad J_3 = J \quad (3.5.60)$$

Ecuția pulsațiilor proprii (3.5.57) se scrie:

$$p^4 - \frac{11k}{4J} p^2 + \frac{7k^2}{4J^2} = 0 \quad (3.5.61)$$

$$\text{Se obțin pulsațiile proprii: } \begin{cases} p_1 = \sqrt{\frac{k}{J}}; \\ p_2 = 1,323 \sqrt{\frac{k}{J}} \end{cases} \quad (3.5.62)$$



Modurile proprii se obțin din prima și a doua ecuație (3.5.51)

$$\begin{aligned}
 a_2 &= \frac{-J_1 p^2 + k_1 + k_2}{k_2} a_1 \quad \Rightarrow \mu_2 = \frac{a_2}{a_1} = \frac{-J p^2 + k}{k} \\
 a_3 &= -\frac{k_2}{k_3} a_1 + \frac{-J_2 p^2 + k_2 + k_3}{k_3} a_2 \\
 \Rightarrow \mu_3 &= \frac{a_3}{a_1} = -2 + \frac{-4J p^2 + 3k}{k} \frac{a_2}{a_1} = -2 + \frac{-4J p^2 + 3k}{k} \mu_2
 \end{aligned} \tag{3.5.63}$$

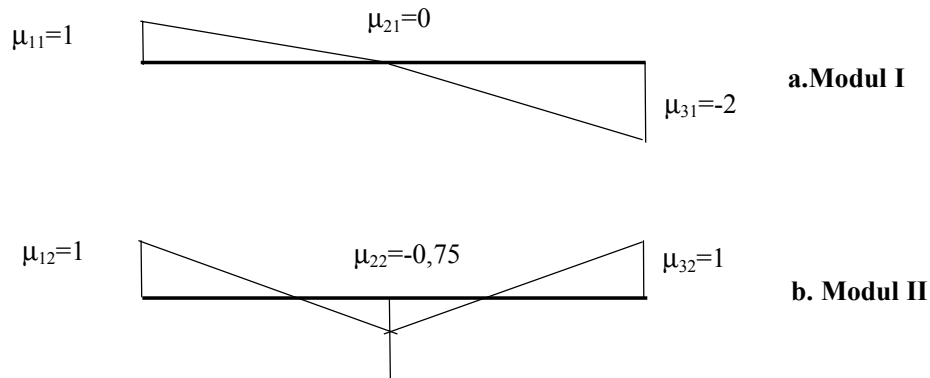
➤ **Modul 1 de vibrație** se obține pentru  $p = p_1 = \sqrt{\frac{k}{J}}$  (fig. 3.5.10.a)

$$\begin{aligned}
 \mu_{11} &= 1 \\
 \mu_{21} &= \frac{a_{21}}{a_{11}} = \frac{-J p_1^2 + k}{k} = 0 \\
 \mu_{31} &= \frac{a_{31}}{a_{11}} = -2 + \frac{-4J p_1^2 + 3k}{k} \mu_{21} = -2
 \end{aligned} \tag{3.5.64}$$

➤ **Modul 2 de vibrație** se obține pentru  $p = p_2 = 1,323\sqrt{\frac{k}{J}}$  (fig. 3.5.10.b)

$$\begin{aligned}
 \mu_{12} &= 1 \\
 \mu_{22} &= \frac{a_{22}}{a_{12}} = \frac{-J p_2^2 + k}{k} = -0,75 \\
 \mu_{32} &= \frac{a_{32}}{a_{12}} = -2 + \frac{-4J p_2^2 + 3k}{k} \mu_{22} = 1
 \end{aligned} \tag{3.5.65}$$

Din forma modurilor proprii rezultă că primul mod de vibrație corespunde vibrațiilor în opoziție de fază ale roților 1 și 3 (roata 2 rămâne în repaus) iar al doilea mod vibrațiilor în fază ale celor două roți (roata 2 în opoziție de fază).



### 3.5.4. Vibrațiile de răsucire ale arborilor angrenajelor

Se consideră angrenajul format din doi arbori de lungimi  $L_i$  și diametre  $d_i$  pe care se află montați câte două roți dințate având momentele de inerție  $J_1$  și  $J_2$  respectiv  $J'_2$  și  $J_3$  ca în figura 3.5.11. Raportul de transmitere al angrenajului este  $i = i_{1-2} = \frac{\dot{\phi}'_2}{\dot{\phi}_2}$ . Să se determine pulsațiile și modurile proprii de vibrație ale

sistemului pentru următoarele valori particulare ale parametrilor:

$$J_1=2J; J_2=J; J'_2=4J; J_3=4J; k_1=k; k_2=4k; i=0,5$$

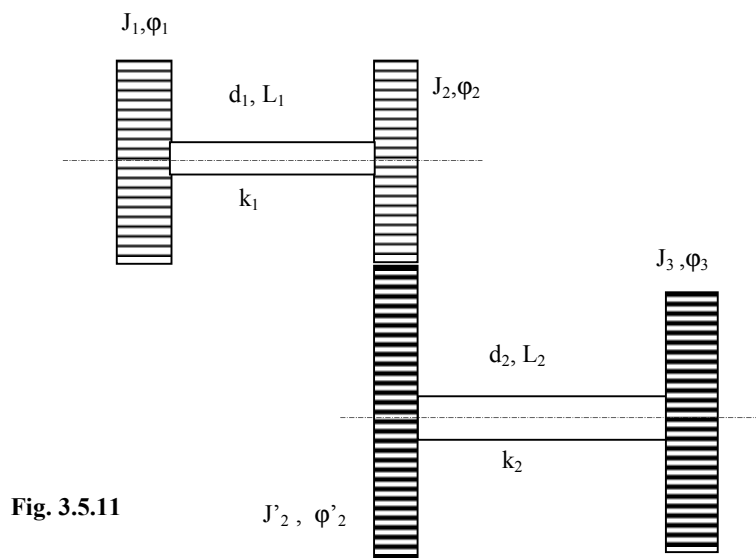


Fig. 3.5.11

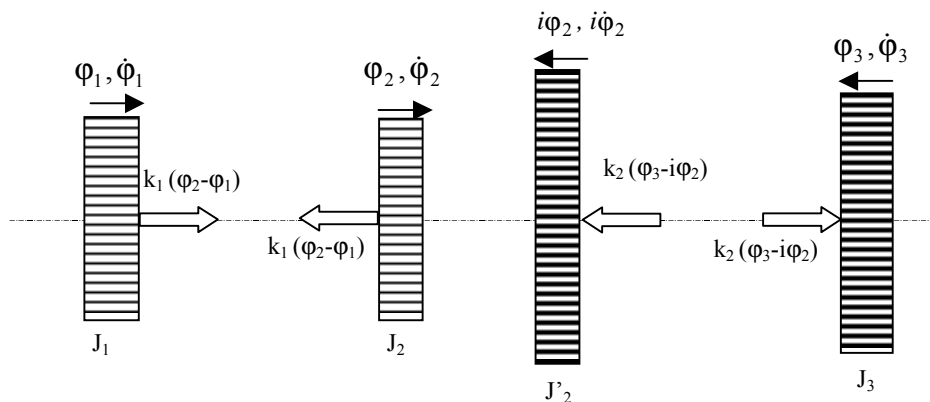


Fig.3.5.12

Acesta este un sistem cu trei grade de libertate. Ecuațiile diferențiale ale vibrațiilor de răsucire ale celor doi arbori se vor scrie folosind ecuațiile lui Lagrange:

$$\frac{d}{dt} \left( \frac{\partial E}{\partial \dot{\varphi}_i} \right) + \frac{\partial V}{\partial \varphi_i} = 0; \quad i = 1, 2, 3. \quad (3.5.66)$$

unde energia cinetică a sistemului format din cele patru roți și energia potențială de deformare elastică ale arborilor au expresiile care rezultă din figura 3.5.12:

$$\begin{cases} E = \frac{1}{2} J_1 \dot{\varphi}_1^2 + \frac{1}{2} J_2 \dot{\varphi}_2^2 + \frac{1}{2} J_2' i^2 \dot{\varphi}_2^2 + \frac{1}{2} J_3 \dot{\varphi}_3^2 \\ V = \frac{1}{2} k_1 (\varphi_2 - \varphi_1)^2 + \frac{1}{2} k_2 (\varphi_3 - i\varphi_2)^2 \end{cases} \quad (3.5.67)$$

unde constantele elastice la răsucire  $k_1$  și  $k_2$  au expresiile:

$$k_1 = \frac{\pi d_1^4 G}{32 L_1}; \quad k_2 = \frac{\pi d_2^4 G}{32 L_2} \quad (3.5.68)$$

Înlocuind derivatele parțiale în sistemul de ecuații (3.5.66) se obține sistemul de ecuații diferențiale:

$$\begin{cases} J_1 \ddot{\varphi}_1 - k_1 (\varphi_2 - \varphi_1) = 0 \\ (J_2 + i^2 J_2') \ddot{\varphi}_2 + k_1 (\varphi_2 - \varphi_1) - i k_2 (\varphi_3 - i\varphi_2) = 0 \\ J_1 \ddot{\varphi}_3 + k_2 (\varphi_3 - i\varphi_2) = 0 \end{cases} \quad (3.5.69)$$

Soluțiile vibrațiilor libere sunt de forma:

$$\varphi_i = a_i \cos(pt - \theta_i), \quad i = 1, 2, 3. \quad (3.5.70)$$

Introducând soluțiile (3.5.70) în (3.5.69) se obține sistemul omogen:

$$\begin{cases} (-J_1 p^2 + k_1) a_1 - k_1 a_2 = 0 \\ -k_1 a_1 + [-(J_2 + i^2 J_2') p^2 + k_1 + i^2 k_2] a_2 - i k_2 a_3 = 0 \\ -i k_2 a_2 + (-J_3 p^2 + k_2) a_3 = 0 \end{cases} \quad (3.5.71)$$

Se notează  $J_2 + i^2 J_2' = J_0$

Condiția ca sistemul omogen (3.5.71) să admită soluții nebanale se scrie:

$$\begin{vmatrix} k_1 - J_1 p^2 & -k_1 & 0 \\ -k_1 & k_1 + i^2 k_2 - J_0 p^2 & -i k_2 \\ 0 & -i k_2 & k_2 - J_3 p^2 \end{vmatrix} = 0 \quad (3.5.72)$$

Dacă se amplifică ultima linie a determinantului cu  $i$  și se însumează cu celelalte două linii se obține ecuația caracteristică echivalentă cu (3.5.72):

$$\begin{vmatrix} k_1 - J_1 p^2 & -k_1 & 0 \\ -k_1 & k_1 + i^2 k_2 - J_0 p^2 & -ik_2 \\ -J_1 p^2 & -J_0 p^2 & -iJ_3 p^2 \end{vmatrix} = 0 \quad (3.5.73)$$

Prima pulsație proprie este egală cu zero, deci primul mod de vibrație corespunde unei mișcări de corp rigid ( rotație ) și sistemul este sistem cu două grade de libertate. Pentru cazul particular al problemei  $J_0=2J$  și ecuația (3.5.73) se scrie:

$$p^2 \begin{vmatrix} k - 2Jp^2 & -k & 0 \\ -k & 2k - 2Jp^2 & -k \\ J & 2J & 2J \end{vmatrix} = 0 \Leftrightarrow \begin{vmatrix} -2k + 4Jp^2 & -3k + 4Jp^2 & -2k + 4Jp^2 \\ 2k & 4k - 2Jp^2 & k \\ -2J & 0 & 0 \end{vmatrix} = 0$$

$$\Leftrightarrow (-3k + 4Jp^2)k - (4k - 2Jp^2)(-2k + 4Jp^2) = 0 \quad (3.5.74)$$

$$\text{Rezultă ecuația de gradul IV: } 8p^4 J^2 - 16p^2 kJ + 5k^2 = 0 \quad (3.5.75)$$

având rădăcinile pozitive:

$$p_{1,2} = \sqrt{\frac{k}{J} \left( 1 \mp \sqrt{\frac{3}{8}} \right)} \Leftrightarrow p_1 = 0,622 \sqrt{\frac{k}{J}}; \quad p_2 = 1,270 \sqrt{\frac{k}{J}} \quad (3.5.76)$$

Modurile proprii se obțin din prima și a doua ecuație (3.5.71)

$$a_2 = \left( \frac{-J_1 p^2}{k_1} + 1 \right) a_1 \quad a_3 = -\frac{k_1}{k_2} a_1 + \frac{-J_0 p^2 + k_1 + i^2 k_2}{ik_2} a_2 \quad (3.5.77)$$

$$\mu_2 = \frac{a_2}{a_1} = \left( 1 - \frac{2Jp^2}{k} \right); \quad \mu_3 = \frac{a_3}{a_1} = -1 + 2\mu_2 \left( 1 - \frac{Jp^2}{k} \right)$$

➤ **Modul 1 de vibrație** se obține pentru  $p = p_1 = 0,622 \sqrt{\frac{k}{J}}$  (fig. 3.5.13.a):

$$\mu_{21} = 0,225; \quad \mu_{31} = -0,724 \quad (3.5.78)$$

➤ **Modul 2 de vibrație** se obține pentru  $p = p_2 = 1,270 \sqrt{\frac{k}{J}}$  (fig. 3.5.13.b):

$$\mu_{22} = -2,224; \quad \mu_{32} = 1,722 \quad (3.5.79)$$

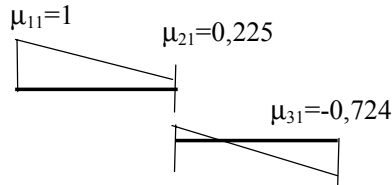
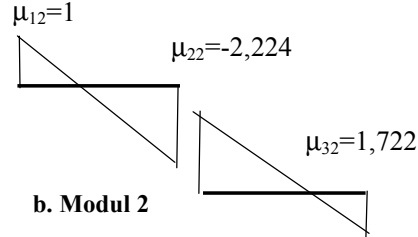


Fig. 3.5.13

a. Modul 1



b. Modul 2

### 3.6. Moduri complexe de vibrație

În cazul amortizării vâscoase neproportionale nu se poate stabili o relație de ortogonalitate pentru matricea coeficienților de amortizare. Pentru a determina răspunsul unei structuri liniare cu amortizare neproportională se folosește teoria modurilor complexe de vibrație. O formulare generală a problemei se poate face pe baza așa-numitelor “matrice lambda”.

Astfel, în cazul vibrațiilor libere ale unui sistem cu amortizare vâscoasă, înlocuind în sistemul ecuațiilor de mișcare o soluție de forma:

$$\{q(t)\} = \{\psi\} e^{\lambda t}, \quad (3.6.1)$$

se obține un sistem de  $N$  ecuații algebrice omogene, reprezentând o problemă de valori proprii. Ecuația matriceală devine:

$$(\lambda^2 [M] + \lambda [C] + [K])\{\psi\} = 0. \quad (3.6.2)$$

Sistemul de ecuații omogene admite soluții nebanale numai dacă determinantul matricei se anulează:

$$\det(\lambda^2 [M] + \lambda [C] + [K]) = 0. \quad (3.6.3)$$

Ecuația caracteristică (3.6.3) este o ecuație algebrică de gradul  $2N$  în  $\lambda$ .

Rădăcinile ecuației caracteristice (valorile proprii) pot fi:

- rădăcini reale negative care corespund unui sistem de amortizare supracritică, având o mișcare aperiodică de amplitudine descrescătoare;
- rădăcini pur imaginare și conjugate care corespund sistemelor neamortizate;
- rădăcini complexe conjugate cu parte reală negativă care corespund sistemelor cu amortizare subcritică având o mișcare periodică cu amplitudinea descrescătoare

Fiecărei valori proprii  $\lambda_r$  îi corespunde un vector modal  $\{\psi^{(r)}\}$  cu elemente complexe, definind un *mod complex de vibrație*. Valorile proprii fiind complex-conjugate, rezultă că vectorii modali trebuie să fie de asemenea complex-conjugați. O pereche de vectori modali complex-conjugați înmulțiți cu funcțiile exponențiale dependente de timp pot fi combinați pentru a rezulta o funcție reală ce descrie o mișcare oscilatorie amortizată.

Soluția generală a ecuației diferențiale omogene (3.6.1) se poate scrie ca o combinație liniară a soluțiilor de forma  $\{\psi^{(r)}\} e^{\lambda_r t}$  astfel:

$$\{q(t)\} = [\Psi] \{\gamma e^{\lambda_r t}\} \quad (3.6.4)$$

unde s-a notat cu  $[\Psi]$  matricea modală formată din vectorii proprii:

$$[\Psi] = [\{\psi^{(1)}\} \{\psi^{(2)}\} \{\psi^{(3)}\} \dots \{\psi^{(2N)}\}] \quad (3.6.5)$$

iar  $\{\gamma e^{\lambda_r t}\}$  este matricea coloană ce joacă rolul de coordonate principale amortizate.

Un mod complex de vibrație *are caracterul unei unde progresive în lungul structurii* (spre deosebire de caracterul de *undă staționară* al modurilor reale clasice de vibrație) deoarece fiecare element complex al vectorilor modali are alt unghi de fază, deci coordonata corespunzătoare atinge elongația maximă la un moment diferit de celelalte. Modurile complexe sunt mai dificil de măsurat experimental, deoarece mișcarea *deși este sincronă nu este sinfazică*. *Nodurile de vibrație* (puntele de amplitudine zero) își schimbă continuu poziția în timpul unui ciclu de vibrație, dar poziția în care coordonatele ating valoarea maximă rămâne aceeași pentru fiecare ciclu, astfel încât la începutul unui ciclu pozițiile relative sunt aceleași ca la începutul circuitului anterior.

În cazul vibrațiilor libere ale sistemelor amortizate amplitudinile descresc exponențial de la un ciclu la altul, spre deosebire de sistemele neamortizate, la care amplitudinile nu scad în timp iar modurile de vibrație sunt staționare.

### 3.6.1. Vibrații forțate cu amortizare vâscoasă

Deși teoria generală a vibrațiilor sistemelor cu amortizare neprporțională se poate expune folosind transformata Laplace și calculul cu matrice lambda, în continuare se utilizează metoda propusă de Frazer, Duncan și Collar.

Fie ecuația matriceală a vibrațiilor forțate ale unui sistem cu amortizare vâscoasă este:

$$[M]\{\ddot{q}\} + [C]\{\dot{q}\} + [K]\{q\} = \{f\}, \quad (3.6.6)$$

În continuare se consideră că matricea amortizării  $[C]$  este simetrică.

Adăugând ecuației (3.6.6) identitatea

$$[M]\{\dot{q}\} - [M]\{\dot{q}\} = \{0\}, \quad (3.6.7)$$

se obține ecuația matriceală de ordinul I:

$$[U]\{\dot{x}\} + [V]\{x\} = \{S\}, \quad (3.6.8)$$

$$\text{în care: } [U] = \begin{bmatrix} [0] & [M] \\ [M] & [C] \end{bmatrix}, \quad [V] = \begin{bmatrix} -[M] & [0] \\ [0] & [K] \end{bmatrix}, \quad (3.6.9)$$

sunt matrice pătrate, reale și simetrice de ordinul  $2N$ , iar matricele coloană sunt matrice cu  $2N$  elemente:

$$\{x\} = \begin{Bmatrix} \{\dot{q}\} \\ \{q\} \end{Bmatrix}, \quad \{S\} = \begin{Bmatrix} \{0\} \\ \{f\} \end{Bmatrix} \quad (3.6.10)$$

În cazul vibrațiilor libere ecuația (3.6.8) se scrie:

$$[U]\{\dot{x}\} + [V]\{x\} = \{0\}. \quad (3.6.11)$$

Aceasta are soluții de forma:

$$\{x\} = \{y\}e^{\sigma t} \quad (3.6.12)$$

unde  $\{y\}$  este un vector cu  $2N$  elemente constante.

Înlocuind (3.6.12) în (3.6.8) se ajunge la problema de valori proprii:

$$\sigma[U]\{y\} + [V]\{y\} = \{0\}, \quad (3.6.13)$$

sau:  $(\sigma[U] + [V])\{y\} = \{0\}$

Dacă matricea  $[V]$  este nesingulară, se poate înmulți ecuația (3.6.13) la stânga cu  $[V]^{-1}$  rezultând:

$$\left([D] - \frac{1}{\sigma}[I]\right)\{y\} = 0 \quad (3.6.14)$$

unde  $[D]$  joacă rolul unei matrice dinamice:

$$[D] = -[V]^{-1}[U] = \begin{bmatrix} [0] & [I] \\ -[K]^{-1}[M] & -[K]^{-1}[C] \end{bmatrix} \quad (3.6.15)$$

Sistemul (3.6.14) are soluții nebanale dacă

$$\det\left([D] - \frac{1}{\sigma}[I]\right) = 0 \quad (3.6.16)$$

Soluțiile ecuației caracteristice (3.6.66) de gradul  $2N$  în  $(1/\sigma_r)$  sunt tocmai valorile proprii  $(1/\sigma_r)$  ale problemei.

Se face presupunerea că cele  $2N$  valori proprii sunt distincte. Fiecărei valori proprii  $(1/\sigma_r)$  îi corespunde un vector propriu  $\{y^{(r)}\}$  cu  $2N$  elemente și satisface ecuația:

$$\left([D] - \frac{1}{\sigma_r}[I]\right)\{y_r\} = \{0\} \quad (3.6.17)$$

care ținând seama de (3.6.65) se mai scrie:

$$(\sigma_r[U] + [V])\{y^{(r)}\} = 0 \quad (3.6.18)$$

Între vectorii proprii  $\{y^{(r)}\}$  și matricele  $[U]$  și  $[V]$  sunt valabile următoarele relații de ortogonalitate:

$$\begin{aligned} \{y^{(s)}\}^T [U] \{y^{(r)}\} &= 0 \\ \{y^{(s)}\}^T [V] \{y^{(r)}\} &= 0 \quad s \neq r \end{aligned} \quad (3.6.19)$$

Dacă se notează:

$$\begin{aligned} \{y^{(r)}\}^T [U] \{y^{(r)}\} &= u_r \\ \{y^{(r)}\}^T [V] \{y^{(r)}\} &= v_r \end{aligned} \quad (3.6.20)$$

înmulțind la stânga ecuația (3.6.18) cu  $\{y^{(r)}\}^T$  se obțin valorile proprii:

$$\sigma_r u_r + v_r = 0 \Rightarrow \sigma_r = -\frac{v_r}{u_r} \quad (3.6.21)$$

Vectorii proprii au forma matricelor coloane cu  $2N$  elemente:

$$\{v^{(r)}\} = \begin{Bmatrix} \sigma_r \{q^{(r)}\} \\ \{q^{(r)}\} \end{Bmatrix}, \quad (3.6.22)$$

La sisteme stabile, pentru moduri cu amortizare subcritică, pulsația  $\sigma_r$  este complexă și se exprimă de obicei sub forma

$$\sigma_r = -\alpha_r + i\beta_r \quad (3.6.23)$$

unde  $\alpha_r$  este un *factor de amortizare* iar  $\beta_r$  este *pseudopulsația*. Se mai definesc:

- *raportul de amortizare*: 
$$\zeta_r = \frac{2\alpha_r}{p_r} = \frac{2\alpha_r}{\sqrt{\alpha_r^2 + \beta_r^2}} \quad (3.6.24)$$

- *pulsația de rezonanță*: 
$$p_r = \sqrt{\alpha_r^2 + \beta_r^2}. \quad (3.6.25)$$

În cazul vibrațiilor forțate cu amortizare vâscoasă în vederea decuplării ecuațiilor (3.6.8), se folosește transformarea liniară

$$\{x\} = [y] \{\xi\} = \sum_{r=1}^{2N} \{v^{(r)}\} \xi_r \quad (3.6.26)$$

unde  $\xi_r$  este coordonata principală corespunzătoare modului  $r$ , iar  $[y]$  este matricea având drept coloane vectorii proprii:

$$[y] = [\{v^{(1)}\} \{v^{(2)}\} \dots \{v^{(2N)}\}] \quad (3.6.27)$$

Înlocuind (3.6.26) în ecuațiile (3.6.8), înmulțind la stânga cu  $[y]^T$  și ținând seama de (3.6.20) rezultă sistemul de ecuații decuplate:

$$[u]^D \{\xi\} + [v]^D \{\xi\} = \{R\} \quad (3.6.28)$$

în care s-a notat:

$$\begin{aligned} [y]^T [U] [y] &= [u]^D = \text{diag}[u_r] \\ [y]^T [V] [y] &= [v]^D = \text{diag}[v_r] \\ [y]^T [S] &= \{R\} \end{aligned} \quad (3.6.29)$$

Ecuația  $r$  a sistemului (3.6.28) se scrie:

$$u_r \ddot{\xi}_r + v_r \dot{\xi}_r = R_r \quad (3.6.30)$$

sau folosind (3.6.21) se obține:

$$\ddot{\xi}_r - \sigma_r \dot{\xi}_r = \frac{R_r}{u_r} \quad (3.6.31)$$

Presupunând condițiile inițiale nule, soluția ecuației diferențiale (3.6.31) se poate scrie sub forma integralei de convoluție:

$$\xi_r(t) = \frac{1}{u_r} \int_0^t R_r(\tau) e^{\sigma_r(t-\tau)} d\tau \quad (3.6.32)$$



În cazul unei excitații armonice, considerând regimul staționar:

$$\{f(t)\} = \{\hat{f}\} e^{i\omega t}, \quad \{q(t)\} = \{\tilde{q}\} e^{i\omega t}, \quad (3.6.33)$$

dacă se notează:

$$\begin{aligned} \{x(t)\} &= \{\tilde{x}\} e^{i\omega t}, & \{S(t)\} &= \{\hat{S}\} e^{i\omega t}, \\ \{\xi(t)\} &= \{\tilde{\xi}\} e^{i\omega t}, & \{R(t)\} &= \{\tilde{R}\} e^{i\omega t}, \end{aligned} \quad (3.6.34)$$

înlocuind în soluțiile de forma (3.6.34) în ecuația (3.6.31), rezultă:

$$\tilde{\xi}_r = \frac{\tilde{R}_r}{u_r(i\omega - \sigma_r)} \quad (3.6.35)$$

sau folosind (3.6.29) rezultă:

$$\tilde{\xi}_r = \frac{\{v^{(r)}\}^T \{\hat{S}\}}{u_r(i\omega - \sigma_r)}. \quad (3.6.36)$$

Înlocuind (3.6.36) în (3.6.26) se obține

$$\{x\} = \sum_{r=1}^{2N} \frac{\{v^{(r)}\} \{v^{(r)}\}^T}{u_r(i\omega - \sigma_r)} \{\hat{S}\} \quad (3.6.37)$$

Din (3.6.10) și pe baza notațiilor (3.6.33) și (3.6.34) rezultă:

$$\begin{Bmatrix} i\omega \{\tilde{q}\} \\ \{\tilde{q}\} \end{Bmatrix} = \sum_{r=1}^{2N} \frac{\{v^{(r)}\} \{v^{(r)}\}^T}{u_r(i\omega - \sigma_r)} \begin{Bmatrix} \{0\} \\ \{\hat{f}\} \end{Bmatrix}, \quad (3.6.38)$$

sau

$$\begin{Bmatrix} i\omega \{\tilde{q}\} \\ \{\tilde{q}\} \end{Bmatrix} = \sum_{r=1}^{2N} \frac{\{v^{(r)}\}^T}{u_r(i\omega - \sigma_r)} \begin{Bmatrix} \{0\} \\ \{\hat{f}\} \end{Bmatrix} \{v^{(r)}\} \quad (3.6.39)$$

iar pe baza relației (3.6.39) se obține

$$\{\tilde{q}\} = \sum_{r=1}^{2N} \frac{\{q^{(r)}\}^T \{\hat{f}\}}{u_r(i\omega - \sigma_r)} \{q^{(r)}\} \quad (3.6.40)$$

În cazul excitației într-un singur punct  $l$ , receptanța de transfer în punctul  $j$

$$\text{are expresia : } \bar{\alpha}_{jl} = \frac{\tilde{q}_j}{\hat{f}_l} = \sum_{r=1}^{2N} \frac{q_l^{(r)} q_j^{(r)}}{u_r(i\omega - \sigma_r)} = \sum_{r=1}^{2N} \frac{\delta_{jl}^{(r)}}{u_r(i\omega - \sigma_r)} \quad (3.6.41)$$

$$\text{unde s-a notat: } \delta_{jl}^{(r)} = \frac{q_l^{(r)} q_j^{(r)}}{u_r}. \quad (3.6.42)$$

Având în vedere că la sisteme amortizate subcritic valorile proprii  $\sigma_r$  și vectorii modali  $\{q^{(r)}\}$  apar în perechi complex-conjugate, expresia (3.6.41) se mai scrie ca o sumă de  $N$  termeni complex conjugați:

$$\bar{\alpha}_{jl} = \sum_{r=1}^N \left( \frac{\delta_{jl}^{(r)}}{i\omega - \sigma_r} - \frac{\delta_{jl}^{*(r)}}{i\omega - \sigma_r^*} \right) \quad (3.6.43)$$

### 3.6.2. Vibrații forțate cu amortizare histeretică

Ecuatiile diferențiale ale vibrațiilor forțate cu amortizare histeretică pentru un sistem liniar cu  $N$  grade de libertate se pot scrie matriceal:

$$[M]\{\ddot{q}\} + \frac{1}{\omega} [H]\{\dot{q}\} + [K]\{q\} = \{f\}, \quad (3.6.44)$$

unde  $[H]$  este matricea coeficienților de amortizare histeretică .

Dacă se scriu forțele armonice și soluțiile sub forma:

$$\{f(t)\} = \{\hat{f}\} e^{i\omega t}, \quad \{q(t)\} = \{\tilde{q}\} e^{i\omega t}, \quad (3.6.45)$$

unde:  $\{\hat{f}\}$  vectorul real al amplitudinilor excitației și  $\{\tilde{q}\}$  este vectorul amplitudinilor complexe ale deplasărilor, se obține:

$$(-\omega^2 [M] + [K + iH])\{\tilde{q}\} = \{\hat{f}\} \quad (3.6.46)$$

matricele  $[M]$  și  $[K + iH]$  sunt simetrice de ordinul  $N$ .

Se notează  $\omega^2 = \lambda$  și se consideră ecuația omogenă asociată ecuației (3.6.46):

$$([K + iH] - \lambda [M])\{\tilde{q}\} = \{0\} \quad (3.6.47)$$

Aceasta are soluții nebanale dacă:

$$\det([K + iH] - \lambda [M]) = \{0\} \quad (3.6.48)$$

Se poate demonstra că există un sistem de  $N$  valori proprii  $\bar{\lambda}_r$  care sunt soluții complexe ale ecuației (3.6.48) și  $N$  vectori proprii complecși asociați  $\{w^{(r)}\}$  care satisfac ecuația omogenă:

$$([K + iH] - \bar{\lambda}_r [M])\{w^{(r)}\} = 0 \quad (3.6.49)$$

În continuare, se presupune că cele  $N$  valori proprii  $\lambda_r$  sunt distincte, iar vectorii modali corespunzători sunt liniar independenți.

Vectorii modali  $\{w^{(r)}\}$  satisfac condițiile de ortogonalitate

$$\{w^{(s)}\}^T [M] \{w^{(r)}\} = 0 \quad (3.6.50)$$

$$\{w^{(s)}\}^T [K + iH] \{w^{(r)}\} = 0 \quad r \neq s$$

$$\begin{aligned} \{w^{(s)}\}^T [M] \{w^{(r)}\} &= \bar{M}_r \\ \{w^{(s)}\}^T [K + iH] \{w^{(r)}\} &= \bar{K}_r \quad r = s \end{aligned} \quad (3.6.51)$$

unde  $\bar{M}_r$  și  $\bar{K}_r$  sunt masa modală respectiv constanta elastică modală complexă.

Deoarece cei  $N$  vectori proprii  $\{w^{(r)}\}$  sunt liniar independenți, orice vector  $\{\tilde{q}\}$  poate fi exprimat ca o combinație liniară de forma:

$$\{\tilde{q}\} = \sum_{r=1}^N \{w^{(r)}\} \xi_r = [w] \{\xi\} \quad (3.6.52)$$

Înlocuind (3.6.52) în ecuația (3.6.47) și folosind relațiile (3.6.10) și (3.6.51) rezultă:

$$\bar{\xi}_r = \sum_{r=1}^N \frac{\{w^{(r)}\}^T \{\hat{f}\}}{\bar{K}_r - \omega^2 \bar{M}_r} \quad (3.6.53)$$

Prin urmare, soluția ecuației (3.6.44) este :

$$\{\bar{q}\} = \sum_{r=1}^N \frac{\{w^{(r)}\}^T \{\hat{f}\} \{w^{(r)}\}}{\bar{M}_r (\bar{\lambda}_r - \omega^2)}. \quad (3.6.54)$$

$$\text{unde: } \bar{\lambda}_r = \frac{\bar{K}_r}{\bar{M}_r} = \omega_r^2 (1 + i g_r) \quad (3.6.55)$$

$\omega_r$  este pulsația de rezonanță

$g_r$  - factorul de amortizare histeretică corespunzător modului  $r$ .

În cazul excitației într-un singur punct, *receptanța de transfer complexă* are expresia:

$$\bar{\alpha}_{jl} = \frac{\tilde{q}_j}{\hat{f}_l} = \sum_{r=1}^N \frac{w_l^{(r)} w_j^{(r)}}{\bar{M}_r \omega_r^2 \left( 1 - \frac{\omega^2}{\omega_r^2} + i g_r \right)} \quad (3.6.56)$$

Dacă se notează:

$$\frac{w_l^{(r)} w_j^{(r)}}{\bar{M}_r \omega_r^2} = x_j^{(r)} + i y_j^{(r)}, \quad (3.6.57)$$

atunci expresia (3.6.56) devine:

$$\bar{\alpha}_{jl} = \frac{\tilde{q}_j}{\hat{f}_l} = \sum_{r=1}^N \frac{x_j^{(r)} + i y_j^{(r)}}{\left( 1 - \frac{\omega^2}{\omega_r^2} + i g_r \right)} \quad (3.6.58)$$

$$\bar{\alpha}_{jl} = \sum_{r=1}^N \frac{x_j^{(r)} + i y_j^{(r)}}{\left( 1 - \frac{\omega^2}{\omega_r^2} + i g_r \right)} e^{-i \psi_r} \sin \psi_r$$

$$\text{unde: } \psi_r = \arctg \frac{g_r}{1 - \frac{\omega^2}{\omega_r^2}}.$$

### 3.7. Metode de determinare a pulsațiilor și modurilor proprii de vibrație

#### 3.7.1. Metode exacte

Ecuatiile diferențiale ale vibrațiilor libere ale unui sistem conservativ cu  $N$  grade de libertate în raport cu coordonatele generalizate  $q_1, q_2, \dots, q_N$  sunt de forma:

$$[M]\{\ddot{q}\} + [K]\{q\} = \{0\} \quad (3.7.1)$$

Soluțiile sistemului (3.7.1) sunt de forma:

$$\{q\} = \{\psi\} \cos pt \quad (3.7.2)$$

Înlocuind soluția (3.7.2) în (3.7.1), rezultă ecuațiile matriceale:

$$([K] - p^2[M])\{\psi\} = \{0\} \quad (3.7.3)$$

Sistemul (3.1.3) are soluții nenule numai dacă :

$$\det([K] - p^2[M]) = 0 \quad (3.7.4)$$

Aceasta este o ecuație algebrică de gradul  $N$  în  $p^2$  ale cărei rădăcini  $p_1^2, p_2^2, \dots, p_N^2$  se numesc *valori proprii* iar mărimile  $p_1, p_2, \dots, p_N$  se numesc *pulsații proprii*. Fiecărei valori proprii  $p_r^2$  îi corespunde un *vector propriu*  $\{\psi^{(r)}\}$  care satisface ecuația

$$([K] - p_r^2[M])\{\psi^{(r)}\} = \{0\} \quad (3.7.5)$$

sau dacă se înmulțește la stânga cu matricea  $[M]^{-1}$  se obține forma echivalentă:

$$([M]^{-1}[K] - p_r^2[I])\{\psi^{(r)}\} = \{0\} \Leftrightarrow [M]^{-1}[K]\{\psi^{(r)}\} = p_r^2\{\psi^{(r)}\} \quad (3.7.6)$$

care reprezintă o problemă de valori și vectori proprii.

Sistemul de ecuații (3.7.6) admite soluții nebanale dacă:

$$\det([M]^{-1}[K] - p^2[I]) = 0 \Leftrightarrow \det([D] - \lambda[I]) = 0 \quad (3.7.7)$$

unde s-a notat cu  $[D]$  matricea dinamică a sistemului:  $[D] = [M]^{-1}[K]$  și  $\lambda = p^2$ .

Detreminantul caracteristic al matricei  $[D]$  se notează cu:

$$D(\lambda) = \det([D] - \lambda I_n) = \begin{vmatrix} d_{11} - \lambda & d_{12} & \dots & d_{1n} \\ d_{21} & d_{22} - \lambda & \dots & d_{2n} \\ \vdots & \vdots & \ddots & \vdots \\ d_{n1} & d_{n2} & \dots & d_{nn} - \lambda \end{vmatrix} \quad (3.7.8)$$

#### a. Metoda Krîlov

Această metodă se datorează lui Krîlov și constă în următoarele etape:

1. se alege un vector inițial  $\{Y\}^{(0)}$
2. se calculează prin iterație vectorii lui Krîlov conform relațiilor:

$$\begin{aligned} \{Y\}^{(1)} &= [D]\{Y\}^{(0)}; \\ \{Y\}^{(2)} &= [D]\{Y\}^{(1)}; \\ \{Y\}^{(3)} &= [D]\{Y\}^{(2)}; \\ &\dots \\ \{Y\}^{(n)} &= [D]\{Y\}^{(n-1)} \end{aligned} \quad (3.7.9)$$

3. se rezolvă sistemul de ecuatii liniare:

$$\left[ \begin{array}{cccccc} y_1^{(n-1)} & y_1^{(n-2)} & \cdot & \cdot & y_1^{(1)} & y_1^{(0)} \\ y_2^{(n-1)} & y_2^{(n-2)} & \cdot & \cdot & y_2^{(1)} & y_2^{(0)} \\ y_3^{(n-1)} & y_3^{(n-2)} & \cdot & \cdot & y_3^{(1)} & y_3^{(0)} \\ \vdots & \vdots & \vdots & \vdots & \vdots & \vdots \\ y_n^{(n-1)} & y_n^{(n-2)} & \cdot & \cdot & y_n^{(1)} & y_n^{(0)} \end{array} \right] \left\{ \begin{array}{c} p_1 \\ p_2 \\ p_3 \\ \vdots \\ p_n \end{array} \right\} = \left\{ \begin{array}{c} y_1^{(n)} \\ y_2^{(n)} \\ y_3^{(n)} \\ \vdots \\ y_n^{(n)} \end{array} \right\} \quad (3.7.10)$$

$$\begin{cases} y_i^{(1)} = d_{i1}y_1^{(0)} + d_{i2}y_1^{(0)} + d_{i3}y_1^{(0)} + \dots + d_{in}y_1^{(0)} \\ y_i^{(2)} = a_{i1}y_1^{(1)} + a_{i2}y_1^{(1)} + a_{i3}y_1^{(1)} + \dots + d_{in}y_1^{(1)} \\ \vdots \\ y_i^{(n)} = d_{i1}y_1^{(n-1)} + d_{i2}y_1^{(n-1)} + d_{i3}y_1^{(n-1)} + \dots + d_{in}y_1^{(n-1)} \end{cases} \quad (3.7.19)$$

$i=1,2,3,\dots,n$

$$\{Y\}^{(0)} = \sum_{i=1}^n C_i \{\psi\}^{(i)} \quad (3.7.20)$$

ținând seama de proprietățile vectorilor proprii:

$$\left\{ \begin{array}{l} [D]\{\psi\}^{(i)} = \lambda_i \{\psi\}^{(i)} \\ [D]^2 \{\psi\}^{(i)} = \lambda_i^2 \{\psi\}^{(i)} \\ \dots\dots\dots \\ [D]^n \{\psi\}^{(i)} = \lambda_i^n \{\psi\}^{(i)} \end{array} \right. \quad i=1,2,3, \dots, n \quad (3.7.21)$$

rezultă următorul sistem liniar de ecuații matriceale :

$$\left\{ \begin{aligned} \{Y\}^{(0)} &= C_1 \{\psi\}^{(1)} + C_2 \{\psi\}^{(2)} + \dots + C_n \{\psi\}^{(n)} \\ \{Y\}^{(1)} &= C_1 \lambda_1 \{\psi\}^{(1)} + C_2 \lambda_2 \{\psi\}^{(2)} + \dots + C_n \lambda_n \{\psi\}^{(n)} \\ \{Y\}^{(2)} &= C_1 \lambda_1^2 \{\psi\}^{(1)} + C_2 \lambda_2^2 \{\psi\}^{(2)} + \dots + C_n \lambda_n^2 \{\psi\}^{(n)} \\ &\dots\dots\dots \\ \{Y\}^{(n-1)} &= C_1 \lambda_1^{n-1} \{\psi\}^{(1)} + C_2 \lambda_2^{n-1} \{\psi\}^{(2)} + \dots + C_n \lambda_n^{n-1} \{\psi\}^{(n)} \end{aligned} \right. \quad (3.7.22)$$

Dacă se consideră funcția polinomială  $\varphi_i(\lambda)$  de grad  $n-l$  definită astfel:

$$\Phi_i(\lambda) = \lambda^{n-1} + q_{1i}\lambda^{n-2} + \dots + q_{n-2,i}\lambda + q_{n-1,i}, \quad i=1,2,3,\dots,n \quad (3.7.23)$$

Înmulțind ecuațiile (3.7.23) respectiv cu coeficienții

$q_{n-1,i}, q_{n-2,i}, \dots, q_{2,i}, q_{1,i}, 1$  și însumând membru cu membru se obține:

$$\begin{aligned} & \{Y\}^{(n-1)} + q_{li} \{Y\}^{(n-2)} + \dots + q_{n-1,i} \{Y\}^{(0)} = \\ & = c_1 \Phi_i(\lambda_1) \{\Psi\}^{(1)} + c_2 \Phi_i(\lambda_2) \{\Psi\}^{(2)} + \dots + c_n \Phi_i(\lambda_n) \{\Psi\}^{(n)} \end{aligned} \quad (3.7.24)$$

Considerând că funcția polinomială  $\varphi_i(\lambda)$  are aceleași rădăcini cu ecuația caracteristică mai puțin rădăcina  $\lambda_i$  adică :

$$\Phi_i(\lambda) = \frac{D(\lambda)}{\lambda - \lambda_i}, \quad \lambda \neq \lambda_i \quad (3.7.25)$$

atunci sunt evidente proprietățile:

$$\begin{aligned} \varphi_i(\lambda_j) &= 0 \quad \text{pentru } i \neq j \\ \varphi_i(\lambda_i) &\neq 0 \end{aligned} \quad (3.7.26)$$

Ținând seama de proprietățile (3.7.38) relația (3.7.37) se scrie:

$$c_i \varphi_i(\lambda_i) \{Y\}^{(i)} = \{Y\}^{(n-1)} + q_{1i} \{Y\}^{(n-2)} + \dots + q_{n-1,i} \{Y\}^{(0)}, \quad i = 1, 2, 3, \dots, n \quad (3.7.27)$$

deci vectorii proprii ai matricei  $[D]$  se pot scrie sub forma unor combinații liniare ale vectorilor Krilov:  $\{Y\}^{(n-1)}, \{Y\}^{(n-2)}, \dots, \{Y\}^{(0)}$ .

Coefficienții  $q_{j,i}$  ( $j=1, 2, \dots, n-1$ ) se determină prin identificarea relației (3.7.23) cu relația (3.7.27) și cu ajutorul schemei lui Horner:

$$q_{0i} \lambda^{n-1} + q_{1i} \lambda^{n-2} + \dots + q_{n-2,i} \lambda + q_{n-1,i} = \frac{\lambda^n + p_1 \lambda^{n-1} + \dots + p_{n-1} \lambda + p_n}{\lambda - \lambda_i} \quad (3.7.28)$$

$$\text{rezultă: } \begin{cases} q_{0i} = 1 \\ q_{ji} = \lambda_i q_{j-1,i} + p_j \end{cases} \quad j = 1, 2, 3, \dots, n \quad (3.7.29)$$

### Exemplu

Folosind Metoda Krilov să se determine valorile proprii și vectorii proprii ai matricei dinamice definite prin:

$$[D] = \begin{bmatrix} 7 & -2 & 0 \\ -2 & 6 & -2 \\ 0 & -2 & 5 \end{bmatrix} \quad (3.7.30)$$

Se pleacă de la vectorul inițial  $\{Y\}^{(0)} = \begin{bmatrix} 1 \\ 0 \\ 0 \end{bmatrix}$  și se determină următorii trei

vectori Krilov:

$$\begin{aligned} \{Y\}^{(1)} &= [D]\{Y\}^{(0)} = \begin{bmatrix} 7 & -2 & 0 \\ -2 & 6 & -2 \\ 0 & -2 & 5 \end{bmatrix} \begin{bmatrix} 1 \\ 0 \\ 0 \end{bmatrix} = \begin{bmatrix} 7 \\ -2 \\ 0 \end{bmatrix} \\ \{Y\}^{(2)} &= [D]\{Y\}^{(1)} = \begin{bmatrix} 7 & -2 & 0 \\ -2 & 6 & -2 \\ 0 & -2 & 5 \end{bmatrix} \begin{bmatrix} 7 \\ -2 \\ 0 \end{bmatrix} = \begin{bmatrix} 53 \\ -26 \\ 4 \end{bmatrix} \\ \{Y\}^{(3)} &= [D]\{Y\}^{(2)} = \begin{bmatrix} 7 & -2 & 0 \\ -2 & 6 & -2 \\ 0 & -2 & 5 \end{bmatrix} \begin{bmatrix} 53 \\ -26 \\ 4 \end{bmatrix} = \begin{bmatrix} 423 \\ -270 \\ 72 \end{bmatrix} \end{aligned} \quad (3.7.31)$$

Ecuția (3.7.30) se scrie:

$$p_1 \{Y\}^{(2)} + p_2 \{Y\}^{(1)} + p_3 \{Y\}^{(0)} = -\{Y\}^{(3)} \quad (3.7.32)$$

sau matriceal:

$$\begin{bmatrix} 1 & 7 & 53 \\ 0 & -2 & -26 \\ 0 & 0 & 4 \end{bmatrix} \begin{Bmatrix} p_0 \\ p_1 \\ p_2 \end{Bmatrix} = \begin{Bmatrix} 423 \\ -270 \\ 72 \end{Bmatrix} \quad (3.7.33)$$

Rezultă valorile coeficienților ecuației caracteristice:

$$p_2 = -18, \quad p_1 = 99, \quad p_0 = -162 \quad (3.7.34)$$

Deci ecuația caracteristică se scrie:

$$\lambda^3 - 18\lambda^2 + 99\lambda - 162 = 0 \quad (3.7.35)$$

Soluțiile ecuației (3.7.45) sunt valorile proprii ale matricei  $[D]$ :

$$\lambda_1 = 3; \quad \lambda_2 = 6; \quad \lambda_3 = 9. \quad (3.7.36)$$

Pentru a determina vectorii proprii ai lui  $[D]$  se folosesc relațiile (3.7.27) care se scriu :

$$c_i \varphi_i(\lambda_i) \{\psi\}^{(i)} = \{Y\}^{(2)} + q_{1i} \{Y\}^{(1)} + q_{2i} \{Y\}^{(0)}, \quad i = 1, 2, 3. \quad (3.7.37)$$

Expresiile funcțiilor  $\varphi_i(\lambda) = q_{0i}\lambda^2 + q_{1i}\lambda + q_{2i}$  sunt:

$$\begin{cases} \varphi_1(\lambda) = (\lambda - \lambda_2)(\lambda - \lambda_3) = \lambda^2 - 15\lambda + 54; & \varphi_1(\lambda_1) = 18 \\ \varphi_2(\lambda) = (\lambda - \lambda_1)(\lambda - \lambda_3) = \lambda^2 - 12\lambda + 27; & \varphi_2(\lambda_2) = -9 \\ \varphi_3(\lambda) = (\lambda - \lambda_1)(\lambda - \lambda_2) = \lambda^2 - 9\lambda + 18; & \varphi_3(\lambda_3) = 18 \end{cases} \quad (3.7.38)$$

Relațiile (3.7.47) devin: (3.7.39)

$$\begin{cases} c_1 \varphi_1(\lambda_1) \{\psi\}^{(1)} = \{Y\}^{(2)} + q_{11} \{Y\}^{(1)} + q_{21} \{Y\}^{(0)} = \{Y\}^{(2)} - 15\{Y\}^{(1)} + 54\{Y\}^{(0)} \\ c_2 \varphi_2(\lambda_2) \{\psi\}^{(2)} = \{Y\}^{(2)} + q_{12} \{Y\}^{(1)} + q_{22} \{Y\}^{(0)} = \{Y\}^{(2)} - 12\{Y\}^{(1)} + 27\{Y\}^{(0)} \\ c_3 \varphi_3(\lambda_3) \{\psi\}^{(3)} = \{Y\}^{(2)} + q_{13} \{Y\}^{(1)} + q_{23} \{Y\}^{(0)} = \{Y\}^{(2)} - 9\{Y\}^{(1)} + 18\{Y\}^{(0)} \end{cases}$$

Înlocuind expresiile (3.7.27) ale vectorilor Krîlov se obțin vectorii proprii ai matricei  $[d]$ :

$$\begin{aligned} 18c_1 \{\psi\}^{(1)} &= \begin{Bmatrix} 2 \\ 4 \\ 4 \end{Bmatrix}, \quad \text{pentru } c_1 = \frac{1}{9} \Rightarrow \{\psi\}^{(1)} = \begin{Bmatrix} 1 \\ 2 \\ 2 \end{Bmatrix} \\ -9c_2 \{\psi\}^{(2)} &= \begin{Bmatrix} -4 \\ -2 \\ 4 \end{Bmatrix}, \quad \text{pentru } c_2 = \frac{2}{9} \Rightarrow \{\psi\}^{(2)} = \begin{Bmatrix} 2 \\ 1 \\ -2 \end{Bmatrix} \\ 18c_3 \{\psi\}^{(3)} &= \begin{Bmatrix} 8 \\ 8 \\ 4 \end{Bmatrix}, \quad \text{pentru } c_3 = \frac{2}{9} \Rightarrow \{\psi\}^{(3)} = \begin{Bmatrix} 2 \\ 2 \\ 1 \end{Bmatrix} \end{aligned} \quad (3.7.40)$$





$$\begin{aligned}
 [D]^2 &= \begin{bmatrix} 7 & -2 & 0 \\ -2 & 6 & -2 \\ 0 & -2 & 5 \end{bmatrix} \begin{bmatrix} 7 & -2 & 0 \\ -2 & 6 & -2 \\ 0 & -2 & 5 \end{bmatrix} = \begin{bmatrix} 53 & -26 & 4 \\ -26 & 44 & -22 \\ 4 & -22 & 29 \end{bmatrix} \\
 [D]^3 &= \begin{bmatrix} 7 & -2 & 0 \\ -2 & 6 & -2 \\ 0 & -2 & 5 \end{bmatrix} \begin{bmatrix} 53 & -26 & 4 \\ -26 & 44 & -22 \\ 4 & -22 & 29 \end{bmatrix} = \begin{bmatrix} 423 & -270 & 72 \\ -270 & 360 & -198 \\ 72 & -198 & 189 \end{bmatrix}
 \end{aligned}
 \tag{3.7.48}$$

Sumele  $s_k$  ale puterilor rădăcinilor de ordinul  $k$  sunt:

$$\begin{cases}
 s_1 = \lambda_1 + \lambda_2 + \lambda_3 = \sum_{i=1}^3 a_{ii}^{(1)} = 18 \\
 s_2 = \lambda_1^2 + \lambda_2^2 + \lambda_3^2 = \sum_{i=1}^3 a_{ii}^{(2)} = 126 \\
 s_3 = \lambda_1^3 + \lambda_2^3 + \lambda_3^3 = \sum_{i=1}^3 a_{ii}^{(3)} = 972
 \end{cases}
 \tag{3.7.49}$$

Folosind relațiile (3.7.44)

$$\begin{cases}
 p_1 = -s_1 = -18 \\
 p_2 = -\frac{1}{2}(s_2 + p_1 s_1) = 99 \\
 p_3 = -\frac{1}{3}(s_3 + p_1 s_2 + p_2 s_1) = -162
 \end{cases}
 \tag{3.7.50}$$

Deci se obține ecuația caracteristică:

$$\lambda^3 - 18 \lambda^2 + 99 \lambda - 162 = 0
 \tag{3.7.51}$$

și valorile proprii ale matricei  $[D]$ :

$$\lambda_1 = 3; \quad \lambda_2 = 6; \quad \lambda_3 = 9.
 \tag{3.7.52}$$

### 3.7.2. Metode aproximative

#### a. Metoda iterației matriceale

Această metodă se folosește pentru calculul valorii proprii maxime și a vectorului propriu corespunzător.

Fie ecuația caracteristică a matricei  $[D]$ :

$$D(\lambda) = \det([D] - \lambda[I]) \quad (3.7.53)$$

Se consideră că printre valorile proprii (rădăcinile ecuației caracteristice) există o singură valoare maximă în modul care este prima valoare proprie  $\lambda_1$ :

$$|\lambda_1| > |\lambda_2| > |\lambda_3| > \dots > |\lambda_n| \quad (3.7.54)$$

Se consideră un vector  $\{Y\}^{(0)}$  arbitrar care se poate scrie ca o combinație de vectori proprii  $\{\psi\}_j$  ai matricei  $[D]$ :

$$\{Y\}^{(0)} = \sum_{j=1}^n c_j \{\psi\}_j \quad (3.7.55)$$

Înmulțind relația (3.7.55) la stânga cu matricea  $[D]$  se obține:

$$\{Y\}^{(1)} = [D]\{Y\}^{(0)} = \sum_{j=1}^n c_j [D]\{\psi\}_j = \sum_{j=1}^n c_j \lambda_j \{\psi\}_j \quad (3.7.56)$$

Dacă se repetă acest algoritm se obține succesiv:

$$\begin{aligned} \{Y\}^{(2)} &= [D]\{Y\}^{(1)} = \sum_{j=1}^n c_j \lambda_j [D]\{\psi\}_j = \sum_{j=1}^n c_j \lambda_j^2 \{\psi\}_j \\ \{Y\}^{(3)} &= [D]\{Y\}^{(2)} = \sum_{j=1}^n c_j \lambda_j^2 [D]\{\psi\}_j = \sum_{j=1}^n c_j \lambda_j^3 \{\psi\}_j \\ &\dots\dots\dots \end{aligned} \quad (3.7.57)$$

$$\{Y\}^{(n)} = [D]\{Y\}^{(n-1)} = \sum_{j=1}^n c_j \lambda_j^{n-1} [D]\{\psi\}_j = \sum_{j=1}^n c_j \lambda_j^n \{\psi\}_j$$

Dacă se consideră în spațiul vectorial  $n$ -dimensional  $E_n$  o bază de vectori independenți  $\{e\}_i$   $i=1,2,3,\dots,n$ , atunci vectorii proprii  $\{\psi\}_i$  se pot exprima în

$$\text{această bază sub forma: } \{\psi\}_j = \sum_{i=1}^n x_{ij} \{e\}_i \quad (3.7.58)$$

Relația generală:  $\{Y\}^{(m)} = \sum_{j=1}^n c_j \lambda_j^m \{\psi\}_j$  se scrie:

$$\{Y\}^{(m)} = \sum_{j=1}^n c_j \lambda_j^m \{\psi\}_j = \sum_{j=1}^n c_j \lambda_j^m \sum_{i=1}^n x_{ij} \{e\}_i = \sum_{i=1}^n \left( \sum_{j=1}^n c_j \lambda_j^m x_{ij} \right) \{e\}_i = \sum_{i=1}^n y_i^{(m)} \{e\}_i \quad (3.7.59)$$

S-a notat cu:  $y_i^{(m)} = \sum_{j=1}^n c_j \lambda_j^m x_{ij}$  valoarea care reprezintă coordonata  $i$  a

vectorului  $\{Y\}^{(m)}$  în spațiul vectorial  $n$ -dimensional  $E_n$ .

În mod analog se poate exprima coordonata  $i$  a vectorului  $\{Y\}^{(m+1)}$  în spațiul vectorial  $n$ -dimensional  $E_n$ :

$$y_i^{(m+1)} = \sum_{j=1}^n c_j \lambda_j^{m+1} x_{ij} \quad (3.7.60)$$

Împărțind cele două relații se obține:

$$\frac{y_i^{(m+1)}}{y_i^{(m)}} = \frac{\sum_{j=1}^n c_j \lambda_j^{m+1} x_{ij}}{\sum_{j=1}^n c_j \lambda_j^m x_{ij}} = \lambda_1 \frac{1 + \frac{c_2 x_{i2}}{c_1 x_{i1}} \left(\frac{\lambda_2}{\lambda_1}\right)^{m+1} + \frac{c_3 x_{i3}}{c_1 x_{i1}} \left(\frac{\lambda_3}{\lambda_1}\right)^{m+1} + \dots + \frac{c_n x_{in}}{c_1 x_{i1}} \left(\frac{\lambda_n}{\lambda_1}\right)^{m+1}}{1 + \frac{c_2 x_{i2}}{c_1 x_{i1}} \left(\frac{\lambda_2}{\lambda_1}\right)^m + \frac{c_3 x_{i3}}{c_1 x_{i1}} \left(\frac{\lambda_3}{\lambda_1}\right)^m + \dots + \frac{c_n x_{in}}{c_1 x_{i1}} \left(\frac{\lambda_n}{\lambda_1}\right)^m} \quad (3.7.61)$$

Ținând seama de proprietatea valorilor proprii (3.7.54) se observă că toate parantezele din relația (3.7.61) sunt subunitare, deci pentru un număr suficient de mare de iterații  $m$  acestea se pot neglija:

$$\left(\frac{\lambda_k}{\lambda_1}\right)^m \approx 0; \quad \left(\frac{\lambda_k}{\lambda_1}\right)^{m+1} \approx 0 \quad (3.7.62)$$

Deci prima valoare proprie se poate determina ca raport al coordonatei  $i$  corespunzătoare iterațiilor  $m+1$  și  $m$ :

$$\frac{y_i^{(m+1)}}{y_i^{(m)}} \equiv \lambda_1 \quad (3.7.63)$$

Pentru a determina vectorul propriu se folosește relația (3.7.59) :

$$\begin{aligned} \{Y\}^{(m)} &= \sum_{j=1}^n c_j \lambda_j^m \{\psi\}_j = c_1 \lambda_1^m \{\psi\}_1 + c_2 \lambda_2^m \{\psi\}_2 + \dots + c_n \lambda_n^m \{\psi\}_n \\ \{Y\}^{(m)} &= c_1 \lambda_1^m \left( \{\psi\}_1 + \frac{c_2}{c_1} \left(\frac{\lambda_2}{\lambda_1}\right)^m \{\psi\}_1 + \dots + \frac{c_n}{c_1} \left(\frac{\lambda_n}{\lambda_1}\right)^m \{\psi\}_n \right) \end{aligned} \quad (3.7.64)$$

Aplicând aceeași aproximare (3.7.62) se obține:

$$\{Y\}^{(m)} \equiv c_1 \lambda_1^m \{\psi\}_1 \quad (3.7.65)$$

adică forma modului propriu corespunzător primei valori proprii  $\lambda_1$  este aceeași cu a vectorului  $\{Y\}^{(m)}$  obținut după iterația  $m$ , cu diferența de o cvonstantă. Valoarea constantei este aleatoare, ea se poate lua astfel încât să se obțină valori normalizate ale vectorului propriu  $\{\psi\}_1$ :

$$c_1 = \frac{\sqrt{\sum_{i=1}^n (y_i^{(m)})^2}}{\lambda_1^m} \quad (3.7.66)$$

**Exemplu**

Se consideră sistemul mecanic format din trei corpuri de mase  $m$ ,  $2m$  și  $m$  leate între ele și cu baza cu elemente elastice (arcuri) având toate aceeași rigiditate  $k$  ca în figura 3.7.2. Să se determine valoarea pulsației proprii maxime și valoarea pulsației proprii fundamentale folosind metoda iterației matriceale.

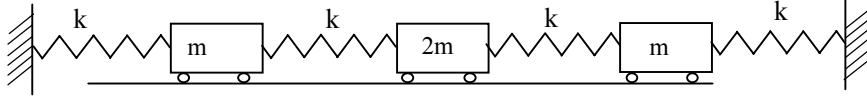


Fig.3.7.2

Pentru a rezolva această problemă se exprimă energia cinetică a sistemului format din cele trei corpuri și energia potențială elastică a arcurilor în funcție de coordonatele generalizate  $q_1$ ,  $q_2$  și  $q_3$  (deplasările celor trei corpuri):

$$E = \frac{1}{2} (m\dot{q}_1^2 + 2m\dot{q}_2^2 + m\dot{q}_3^2) \quad (3.7.67)$$

$$V = \frac{1}{2} (kq_1^2 + k(q_1 - q_2)^2 + k(q_2 - q_3)^2 + kq_3^2)$$

Se scriu ecuațiile lui Lagrange pentru fiecare din cele trei coordonate generalizate și se obține:

$$\begin{cases} m\ddot{q}_1 + 2kq_1 - kq_2 = 0 \\ m\ddot{q}_2 - kq_1 + 2kq_2 - kq_3 = 0 \\ m\ddot{q}_3 - kq_2 + 2kq_3 = 0 \end{cases} \quad (3.7.68)$$

Sistemul (3.7.68) se scrie matriceal:

$$\begin{bmatrix} m & 0 & 0 \\ 0 & 2m & 0 \\ 0 & 0 & m \end{bmatrix} \begin{Bmatrix} \ddot{q}_1 \\ \ddot{q}_2 \\ \ddot{q}_3 \end{Bmatrix} + \begin{bmatrix} 2k & -k & 0 \\ -k & 2k & -k \\ 0 & -k & 2k \end{bmatrix} \begin{Bmatrix} q_1 \\ q_2 \\ q_3 \end{Bmatrix} = \begin{Bmatrix} 0 \\ 0 \\ 0 \end{Bmatrix} \quad (3.7.69)$$

$$[M]\{\ddot{q}\} + [K]\{q\} = \{0\}$$

Soluția acestei ecuații diferențiale este o soluție armonică de forma:

$$\{q\} = \{a\} \cos(pt - \varphi) \quad (3.7.70)$$

Înlocuind în ecuația (3.7.69) se obține ecuația matriceală:

$$(-p^2[M] + [K])\{a\} = \{0\} \Leftrightarrow [K]\{a\} = p^2[M]\{a\} \quad (3.7.71)$$

Înmulțind la stânga relația (3.7.71) cu matricea  $[M]^{-1}$  se obține ecuația matriceală de valori proprii:

$$[M]^{-1}[K]\{a\} = p^2[M]^{-1}[M]\{a\} \Leftrightarrow [M]^{-1}[K]\{a\} = p^2\{a\} \quad (3.7.72)$$

Folosind metoda iterației matriceale determină valoarea proprie maximă

$\lambda_1 = p_1^2$  și valoarea cea mai mare a pulsației proprii.

Înmulțind la stânga relația (3.7.71) cu matricea  $[K]^{-1}$  se obține ecuația matriceală de valori proprii:

$$[K]^{-1}[K]\{a\} = p^2[K]^{-1}[M]\{a\} \Leftrightarrow [K]^{-1}[M]\{a\} = \frac{1}{p^2}\{a\} \quad (3.7.73)$$

Folosind metoda iterației matriceale determină pentru acest caz valoarea proprie maximă  $\lambda_1^* = \frac{1}{p_1^{*2}}$  și valoarea cea mai mică a pulsației proprii (pulsația fundamentală).

➤ *Determinarea pulsației maxime  $p_{max}$ :*

Se notează cu  $[D] = [M]^{-1}[K]$  unde:

$$[M] = m \begin{bmatrix} 1 & 0 & 0 \\ 0 & 2 & 0 \\ 0 & 0 & 1 \end{bmatrix} \Rightarrow [M]^{-1} = \frac{1}{m} \begin{bmatrix} 1 & 0 & 0 \\ 0 & 1/2 & 0 \\ 0 & 0 & 1 \end{bmatrix}$$

$$[K] = k \begin{bmatrix} 2 & -1 & 0 \\ -1 & 2 & -1 \\ 0 & -1 & 2 \end{bmatrix} \Rightarrow [K]^{-1} = \frac{1}{k} \begin{bmatrix} 3/4 & 1/2 & 1/4 \\ 1/2 & 1 & 1/2 \\ 1/4 & 1/2 & 3/4 \end{bmatrix} \quad (3.7.74)$$

rezultă:

$$[D] = [M]^{-1}[K] = \frac{k}{m} \begin{bmatrix} 1 & 0 & 0 \\ 0 & 1/2 & 0 \\ 0 & 0 & 1 \end{bmatrix} \begin{bmatrix} 2 & -1 & 0 \\ -1 & 2 & -1 \\ 0 & -1 & 2 \end{bmatrix} = \frac{k}{m} \begin{bmatrix} 2 & -1 & 0 \\ -1/2 & 1 & -1/2 \\ 0 & -1 & 2 \end{bmatrix} \quad (3.7.75)$$

Se folosește pentru început vectorul aleator:  $\{Y\}^{(0)} = \{1 \ 0 \ 1\}^T$  și se calculează ceilalți vectorii prin iterație:

$$\{Y\}^{(m+1)} = [D]\{Y\}^{(m)} \quad (3.7.76)$$

Se obține succesiv:

$$\{Y\}^{(1)} = \frac{k}{m} \begin{bmatrix} 2 & -1 & 0 \\ -1/2 & 1 & -1/2 \\ 0 & -1 & 2 \end{bmatrix} \begin{bmatrix} 1 \\ 0 \\ 1 \end{bmatrix} = \frac{k}{m} \begin{bmatrix} 2 \\ -1 \\ 2 \end{bmatrix}$$

$$\{Y\}^{(2)} = \left(\frac{k}{m}\right)^2 \begin{bmatrix} 2 & -1 & 0 \\ -1/2 & 1 & -1/2 \\ 0 & -1 & 2 \end{bmatrix} \begin{bmatrix} 2 \\ -1 \\ 2 \end{bmatrix} = \left(\frac{k}{m}\right)^2 \begin{bmatrix} 5 \\ -3 \\ 5 \end{bmatrix}$$

$$\{Y\}^{(3)} = \left(\frac{k}{m}\right)^3 \begin{bmatrix} 2 & -1 & 0 \\ -1/2 & 1 & -1/2 \\ 0 & -1 & 2 \end{bmatrix} \begin{bmatrix} 5 \\ -3 \\ 5 \end{bmatrix} = \left(\frac{k}{m}\right)^3 \begin{bmatrix} 13 \\ -8 \\ 13 \end{bmatrix}$$

$$\{Y\}^{(4)} = \left(\frac{k}{m}\right)^3 \begin{bmatrix} 2 & -1 & 0 \\ -1/2 & 1 & -1/2 \\ 0 & -1 & 2 \end{bmatrix} \begin{bmatrix} 5 \\ -3 \\ 5 \end{bmatrix} = \left(\frac{k}{m}\right)^3 \begin{bmatrix} 13 \\ -8 \\ 13 \end{bmatrix} \quad (3.7.77)$$

$$\begin{aligned}\{Y\}^{(5)} &= \left(\frac{k}{m}\right)^4 \begin{bmatrix} 2 & -1 & 0 \\ -1/2 & 1 & -1/2 \\ 0 & -1 & 2 \end{bmatrix} \begin{bmatrix} 13 \\ -8 \\ 13 \end{bmatrix} = \left(\frac{k}{m}\right)^4 \begin{bmatrix} 34 \\ -21 \\ 34 \end{bmatrix} \\ \{Y\}^{(6)} &= \left(\frac{k}{m}\right)^5 \begin{bmatrix} 2 & -1 & 0 \\ -1/2 & 1 & -1/2 \\ 0 & -1 & 2 \end{bmatrix} \begin{bmatrix} 34 \\ -21 \\ 34 \end{bmatrix} = \left(\frac{k}{m}\right)^5 \begin{bmatrix} 89 \\ -55 \\ 89 \end{bmatrix} \\ \{Y\}^{(7)} &= \left(\frac{k}{m}\right)^6 \begin{bmatrix} 2 & -1 & 0 \\ -1/2 & 1 & -1/2 \\ 0 & -1 & 2 \end{bmatrix} \begin{bmatrix} 89 \\ -55 \\ 89 \end{bmatrix} = \left(\frac{k}{m}\right)^6 \begin{bmatrix} 233 \\ -144 \\ 233 \end{bmatrix}\end{aligned}$$

Iterația se oprește la  $m=7$  deoarece raportul elementelor corespunzătoare vectorilor  $\{Y\}^{(7)}$  și  $\{Y\}^{(6)}$  diferă la a patra zecimală:

$$\frac{y_1^{(7)}}{y_1^{(6)}} = \frac{y_2^{(7)}}{y_2^{(6)}} = \frac{y_3^{(7)}}{y_3^{(6)}} = 2,618 \frac{k}{m}; \quad (3.7.78)$$

Deci prima valoare proprie este:

$$\lambda_1 = 2,618 \frac{k}{m} \Rightarrow p_{max} = \sqrt{2,618 \frac{k}{m}} = 1,618 \sqrt{\frac{k}{m}} \quad (3.7.79)$$

Vectorul propriu corespunzător lui  $p_{max}$  se obține normalizând elementele vectorului  $\{Y\}^{(7)}$ :

$$\{\psi\}_{max} = \frac{1}{359,6} \begin{bmatrix} 233 \\ -144 \\ 233 \end{bmatrix} = \begin{bmatrix} 0,648 \\ -0,4 \\ 0,648 \end{bmatrix} \quad (3.7.80)$$

➤ *Determinarea pulsației fundamentale  $p_{min}$ :*

Se notează cu  $[B] = [K]^{-1}[M]$ :

$$\begin{aligned}[B] &= [K]^{-1}[M] = \frac{m}{k} \begin{bmatrix} 3/4 & 1/2 & 1/4 \\ 1/2 & 1 & 1/2 \\ 1/4 & 1/2 & 3/4 \end{bmatrix} \begin{bmatrix} 1 & 0 & 0 \\ 0 & 2 & 0 \\ 0 & 0 & 1 \end{bmatrix} \\ [B] &= \frac{m}{k} \begin{bmatrix} 3/4 & 1 & 1/4 \\ 1/2 & 2 & 1/2 \\ 1/4 & 1 & 3/4 \end{bmatrix} \quad (3.7.81)\end{aligned}$$

Se folosește pentru început vectorul oarecare:  $\{Y\}^{(0)} = \{1 \ 1 \ 1\}^T$  (3.7.82)

și se calculează ceilalți vectori cu ajutorul formulei de iterație:

$$\{Y\}^{(m+1)} = [B]\{Y\}^{(m)} \quad (3.7.83)$$

Se obțin succesiv vectorii:

$$\begin{aligned}
 \{Y\}^{(1)} &= \frac{m}{k} \begin{bmatrix} 3/4 & 1 & 1/4 \\ 1/2 & 2 & 1/2 \\ 1/4 & 1 & 3/4 \end{bmatrix} \begin{bmatrix} 1 \\ 1 \\ 1 \end{bmatrix} = \frac{m}{k} \begin{bmatrix} 2 \\ 3 \\ 2 \end{bmatrix} \\
 \{Y\}^{(2)} &= \left(\frac{m}{k}\right)^2 \begin{bmatrix} 3/4 & 1 & 1/4 \\ 1/2 & 2 & 1/2 \\ 1/4 & 1 & 3/4 \end{bmatrix} \begin{bmatrix} 2 \\ 3 \\ 2 \end{bmatrix} = \left(\frac{m}{k}\right)^2 \begin{bmatrix} 5 \\ 8 \\ 5 \end{bmatrix} \\
 \{Y\}^{(3)} &= \left(\frac{m}{k}\right)^3 \begin{bmatrix} 3/4 & 1 & 1/4 \\ 1/2 & 2 & 1/2 \\ 1/4 & 1 & 3/4 \end{bmatrix} \begin{bmatrix} 5 \\ 8 \\ 5 \end{bmatrix} = \left(\frac{m}{k}\right)^3 \begin{bmatrix} 13 \\ 21 \\ 13 \end{bmatrix} \\
 \{Y\}^{(4)} &= \left(\frac{m}{k}\right)^3 \begin{bmatrix} 3/4 & 1 & 1/4 \\ 1/2 & 2 & 1/2 \\ 1/4 & 1 & 3/4 \end{bmatrix} \begin{bmatrix} 13 \\ 21 \\ 13 \end{bmatrix} = \left(\frac{m}{k}\right)^3 \begin{bmatrix} 34 \\ 55 \\ 34 \end{bmatrix} \\
 \{Y\}^{(5)} &= \left(\frac{m}{k}\right)^4 \begin{bmatrix} 3/4 & 1 & 1/4 \\ 1/2 & 2 & 1/2 \\ 1/4 & 1 & 3/4 \end{bmatrix} \begin{bmatrix} 34 \\ 55 \\ 34 \end{bmatrix} = \left(\frac{m}{k}\right)^4 \begin{bmatrix} 89 \\ 144 \\ 89 \end{bmatrix} \\
 \{Y\}^{(6)} &= \left(\frac{m}{k}\right)^5 \begin{bmatrix} 3/4 & 1 & 1/4 \\ 1/2 & 2 & 1/2 \\ 1/4 & 1 & 3/4 \end{bmatrix} \begin{bmatrix} 89 \\ 144 \\ 89 \end{bmatrix} = \left(\frac{m}{k}\right)^5 \begin{bmatrix} 233 \\ 377 \\ 233 \end{bmatrix}
 \end{aligned} \tag{3.7.84}$$

Iterația se oprește la  $m=6$  deoarece raportul elementelor corespunzătoare diferă la a patra zecimală:

$$\frac{y_1^{(6)}}{y_1^{(5)}} = \frac{y_3^{(6)}}{y_3^{(5)}} = 2,618 \frac{m}{k}; \quad \frac{y_2^{(6)}}{y_2^{(5)}} = 2,618 \frac{m}{k} \tag{3.7.84}$$

Deci prima valoare proprie și pulsația fundamentală este:

$$\begin{aligned}
 \lambda_1 &= 2,618 \frac{m}{k} \\
 \Rightarrow \frac{1}{p_{min}} &= \sqrt{2,618 \frac{m}{k}} \\
 \Rightarrow p_{min} &= 0,618 \sqrt{\frac{k}{m}}
 \end{aligned} \tag{3.7.85}$$

Vectorul propriu corespunzător pulsației fundamentale  $p_{min}$  se obține normalizând elementele vectorului  $\{Y\}^{(6)}$ :

$$\{\psi\}_{min} = \frac{1}{500,7} \begin{bmatrix} 233 \\ 377 \\ 233 \end{bmatrix} = \begin{bmatrix} 0,465 \\ 0,753 \\ 0,465 \end{bmatrix}. \tag{3.7.86}$$



### b. Metoda Rayleigh

Această metodă permite determinarea pulsațiilor proprii atunci când se cunosc modurile proprii (vectorul coeficienților de influență  $\{\mathbf{u}^{(r)}\}$ ) corespunzător modului  $r$ .

Ecuatiile diferențiale ale vibrațiilor libere ale unui sistem conservativ cu  $N$  grade de libertate se scriu sub formă matriceală:

$$[M]\{\ddot{\mathbf{q}}\} + [K]\{\mathbf{q}\} = \{0\} \quad (3.7.87)$$

Dacă sistemul vibrează după modul propriu  $r$  atunci deplasările și vitezele corespunzătoare acestui mod se scriu în funcție de vectorul coeficienților de influență astfel:

$$\begin{aligned} \{\mathbf{q}^{(r)}\} &= \{\mathbf{u}^{(r)}\} a_1^{(r)} \cos(p_r t - \varphi_r) \\ \{\dot{\mathbf{q}}^{(r)}\} &= -\{\mathbf{u}^{(r)}\} p_r a_1^{(r)} \sin(p_r t - \varphi_r) \end{aligned} \quad (3.7.88)$$

Energia cinetică și potențială a sistemului corespunzătoare modului propriu  $r$  sunt:

$$E^{(r)} = \frac{1}{2} \{\dot{\mathbf{q}}^{(r)}\}^T [M] \{\dot{\mathbf{q}}^{(r)}\} = \frac{1}{2} \{\mathbf{u}^{(r)}\}^T [M] \{\mathbf{u}^{(r)}\} (p_r a_1^{(r)})^2 \sin^2(p_r t - \varphi_r) \quad (3.7.89)$$

$$V^{(r)} = \frac{1}{2} \{\mathbf{q}^{(r)}\}^T [K] \{\mathbf{q}^{(r)}\} = \frac{1}{2} \{\mathbf{u}^{(r)}\}^T [K] \{\mathbf{u}^{(r)}\} (a_1^{(r)})^2 \cos^2(p_r t - \varphi_r)$$

Se observă din expresiile energiei cinetice și potențiale că atunci când prima este maximă, cealaltă este nulă. Expresiile corespunzătoare Energiei cinetice și potențiale maxime sunt:

$$\begin{aligned} E_{max}^{(r)} &= \frac{1}{2} \{\mathbf{u}^{(r)}\}^T [M] \{\mathbf{u}^{(r)}\} (p_r a_1^{(r)})^2 \\ V_{max}^{(r)} &= \frac{1}{2} \{\mathbf{u}^{(r)}\}^T [K] \{\mathbf{u}^{(r)}\} (a_1^{(r)})^2 \end{aligned} \quad (3.7.90)$$

Principiul lui Rayleigh afirmă că *energia cinetică maximă corespunzătoare mișcării sistemului după unul din modurile proprii de vibrație este egală cu energia potențială maximă*.

$$E_{max}^{(r)} = V_{max}^{(r)} \Leftrightarrow \frac{1}{2} \{\mathbf{u}^{(r)}\}^T [M] \{\mathbf{u}^{(r)}\} (p_r a_1^{(r)})^2 = \frac{1}{2} \{\mathbf{u}^{(r)}\}^T [K] \{\mathbf{u}^{(r)}\} (a_1^{(r)})^2 \quad (3.7.91)$$

Folosind acest principiu se deduce valoarea pulsației proprii  $p_r$ :

$$p_r^2 = \frac{\{\mathbf{u}^{(r)}\}^T [K] \{\mathbf{u}^{(r)}\}}{\{\mathbf{u}^{(r)}\}^T [M] \{\mathbf{u}^{(r)}\}} \quad (3.7.92)$$

În general, modurile proprii de vibrație (caracterizate prin vectorii coeficienților de influență) nu sunt cunoscute.

Pentru calculul pulsației fundamentale se aproximează modul propriu fundamental cu forma de echilibru static al sistemului de corpuri aflat în câmp gravitațional:  $\{\mathbf{u}^{(1)}\} = \{\mathbf{f}\}_{st}$  (3.7.93)

În cazul sistemelor formate din elemente elastice și corpuri în câmp gravitațional, pentru echilibrul static forțele generalizate sunt nule:

$$Q_i = m_i g - \frac{\partial V}{\partial q_i} \bigg|_{q_i=f_i} = 0 \Rightarrow m_i g = \frac{\partial V}{\partial q_i} \bigg|_{q_i=f_i} \quad (3.7.94)$$

Ținând seama de expresia energiei potențiale a sistemului:

$$V = \frac{1}{2} \{q\}^T [K] \{q\} = \frac{1}{2} \sum_{i=1}^N \sum_{j=1}^N k_{ij} q_i q_j \quad (3.7.95)$$

derivatele parțiale din relația (3.7.94) se scriu:

$$\frac{\partial V}{\partial q_i} \bigg|_{q_i=f_i} = \sum_{j=1}^N k_{ij} f_j \Rightarrow m_i g = \sum_{j=1}^N k_{ij} f_j \quad i=1,2,\dots,N \quad (3.7.96)$$

Dacă se înmulțește fiecare din ecuațiile  $m_i g = \sum_{j=1}^N k_{ij} f_j$  respectiv cu  $f_i$  și se

însumează membru cu membru se obține:

$$\sum_{i=1}^N \sum_{j=1}^N k_{ij} f_i f_j = g \sum_{i=1}^N m_i f_i \quad (3.7.97)$$

Ținând seama că aceste sisteme sunt în general sisteme decuplate dinamic ( $m_{ij}=0$ ) expresia (3.7.92) se scrie:

$$p_1^2 = \frac{\{\mathbf{u}^{(1)}\}^T [K] \{\mathbf{u}^{(1)}\}}{\{\mathbf{u}^{(1)}\}^T [M] \{\mathbf{u}^{(1)}\}} = \frac{\sum_{i=1}^N \sum_{j=1}^N k_{ij} f_i f_j}{\sum_{i=1}^N m_i f_i^2} \quad (3.7.98)$$

Ținând seama de relația (3.7.97) se obține următoarea relație pentru pulsația fundamentală

$$p_1 = \sqrt{\frac{g \sum_{i=1}^N m_i f_i}{\sum_{i=1}^N m_i f_i^2}} \quad (3.7.99)$$

### Exemplu

Se consideră sistemul format dintr-o bară dreaptă de lungime  $4L$  situată pe două rezeme A și B având console la capete egale de lungime  $L$ , rigiditatea la încovoiere  $EI$  constantă pe care se află montate trei roți de mase  $m_1 = m$ ,  $m_2 = 3m$  și  $m_3 = m$  ca în figura 3.7.3. Folosind metoda Rayleigh să se determine pulsația fundamentală  $p_1$  a vibrațiilor flexionale ale barei.

Pentru determinarea deformațiilor statice  $f_i$  se folosește metoda coeficienților de influență și principiul suprapunerii efectelor:

$$\begin{cases} f_1 = \delta_{11}mg + \delta_{12} \cdot 3mg + \delta_{13}mg \\ f_2 = \delta_{21}mg + \delta_{22} \cdot 3mg + \delta_{23}mg \\ f_3 = \delta_{31}mg + \delta_{32} \cdot 3mg + \delta_{33}mg \end{cases} \quad (3.7.100)$$

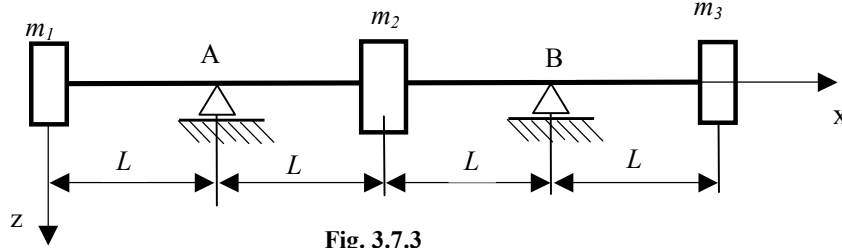


Fig. 3.7.3

unde coeficienții de influență au fost determinați la paragraful 3.7.b

$$\begin{aligned} \delta_{11} &= \frac{L^3}{EI}; \quad \delta_{12} = -\frac{L^3}{8EI}; \quad \delta_{13} = \frac{L^3}{3EI}; \\ \delta_{21} &= -\frac{L^3}{8EI}; \quad \delta_{22} = \frac{L^3}{24EI}; \quad \delta_{23} = -\frac{L^3}{8EI}; \\ \delta_{31} &= \frac{L^3}{3EI}; \quad \delta_{32} = -\frac{L^3}{8EI}; \quad \delta_{33} = \frac{L^3}{EI}; \end{aligned} \quad (3.7.101)$$

Rezultă:

$$\begin{cases} f_1 = f_3 = \frac{23}{24} \frac{mgL^3}{EI} \\ f_2 = -\frac{1}{8} \frac{mgL^3}{EI} \end{cases} \quad (3.7.102)$$

Introducând în relația (3.7.99) se obține pulsația fundamentală:

$$\begin{aligned} p_1 &= \sqrt{\frac{g(m f_1 + 3m f_2 + m f_3)}{m f_1^2 + 3m f_2^2 + m f_3^2}} \\ p_1 &= 0,904 \sqrt{\frac{EI}{mL^3}} \end{aligned} \quad (3.7.103)$$

Valoarea exactă calculată la paragraful 3.7.b este:

$$p_1 = 0,843 \sqrt{\frac{EI}{mL^3}} \quad (3.7.104)$$

Eroarea calculată față de valoarea exactă este:

$$\varepsilon = 7,3\% . \quad (3.7.105)$$

### 3.8. Probleme propuse

**3.8.1.** Se consideră sistemul format din trei discuri omogene de raza  $R$  și mase  $m_1$ ,  $m_2$  și  $m_3$  legate între ele prin elementele elastice de rigidități  $k_1$ ,  $k_2$ ,  $k_3$  respectiv  $k_4$  ca în fig. 3.8.1. Se cere să se determine (folosind metoda iterației matriciale) prima și a treia pulsație proprie a sistemului elastic și modurile proprii de vibrație corespunzătoare. Date numerice:  $m_1 = m_3 = 1 \text{ kg}$ ;  $m_2 = 3 \text{ kg}$ ;  $k_1 = k_4 = 50 \text{ N/mm}$ ;  $k_2 = k_3 = 100 \text{ N/mm}$ .

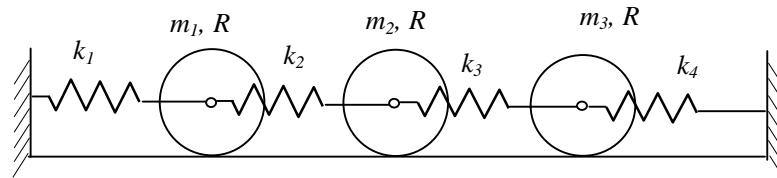


Fig. 3.8.1

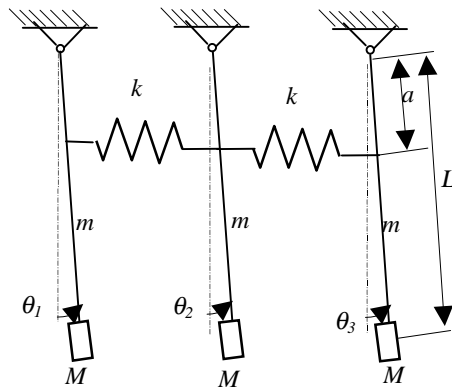


Fig. 3.8.2

**3.8.2.** Se consideră pendulul triplu, format din trei bare de lungime  $L$  de mase  $m$  la capetele cărora se găsesc trei mase  $M$ , legate între ele prin intermediul unor arcuri de rigiditate  $k$  aflate la distanța  $a$  de articulații, ca în fig. 3.8.2. Să se determine pulsațiile și modurile proprii de vibrație corespunzătoare ale acestui sistem. Date numerice:  $m = 1 \text{ kg}$ ;  $L = 500 \text{ mm}$ ;  $a = 100 \text{ mm}$ ;  $k = 50 \text{ N/mm}$ ;  $g = 10 \text{ m/s}^2$ .

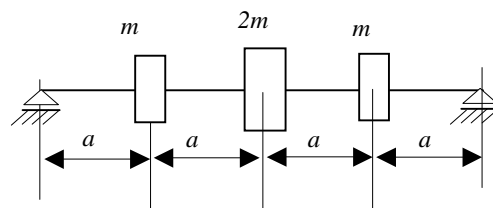


Fig.3.8.3

**3.8.3.** Se consideră sistemul format dintr-un arbore de rigiditate constantă și masă neglijabilă de diametru  $d$ , pe care se află montate trei roți de mase  $m$ ,  $2m$  și  $m$ ; arborele este rezemat la capete ca în fig. 3.8.3. Să se determine (folosind metoda coeficienților de influență și a iterației matriciale) prima și a treia pulsație proprie a sistemului elastic și modurile proprii de vibrații flexionale corespunzătoare.

Date numerice:  $m = 2 \text{ kg}$ ;  $a = 100 \text{ mm}$ ;  $E = 2,1 \cdot 10^5 \text{ N/mm}^2$ ;  $d = 50 \text{ mm}$ ;  $g = 10 \text{ m/s}^2$ .

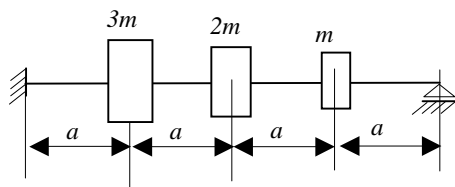


Fig. 3.8.4

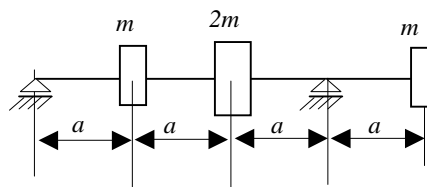


Fig. 3.8.5

**3.8.4.** Se consideră sistemul format dintr-o bară de rigiditate constantă și masă neglijabilă, având secțiunea circulară de diametru  $d$ , pe care se află trei mase:  $3m$ ,  $2m$  și  $m$ , bara fiind încastrată la un capăt și rezemată la celălalt ca în fig. 3.8.4. Să se determine (folosind metoda coeficienților de influență și a iterației matriciale) prima și a treia pulsație proprie a sistemului elastic și modurile proprii de vibrații flexionale corespunzătoare. Date numerice:  $m = 2 \text{ kg}$ ;  $a = 100 \text{ mm}$ ;  $E = 2,1 \cdot 10^5 \text{ N/mm}^2$ ;  $d = 50 \text{ mm}$ ;  $g = 10 \text{ m/s}^2$ .

**3.8.5.** Se consideră sistemul format dintr-un arbore de masă neglijabilă și rigiditate constantă, având diametrul  $d$ , pe care se află montați trei roți de mase  $m$ ,  $2m$  și  $m$ , având legăturile cu mediul fix ca în fig. 3.8.5. Să se determine (folosind metoda coeficienților de influență și a iterației matriciale) prima și a treia pulsație proprie a sistemului elastic și modurile proprii de vibrații flexionale corespunzătoare. Date numerice:  $m = 2 \text{ kg}$ ;  $a = 100 \text{ mm}$ ;  $E = 2,1 \cdot 10^5 \text{ N/mm}^2$ ;  $d = 50 \text{ mm}$ ;  $g = 10 \text{ m/s}^2$ .

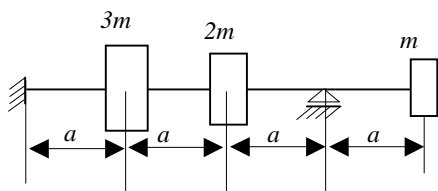


Fig. 3.8.6

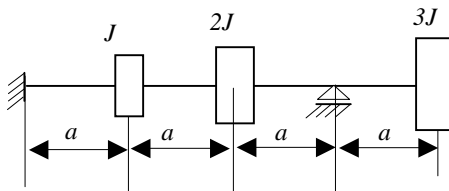


Fig. 3.8.7

**3.8.6.** Se consideră sistemul format dintr-un arbore de masă neglijabilă și rigiditate constantă, având diametrul  $d$ , pe care se află montați trei roți de mase  $m$ ,  $2m$  și  $m$ , având legăturile cu mediul fix ca în fig. 3.8.6. Să se determine folosind metoda coeficienților de influență și a iterației matriciale prima și a treia pulsație proprie a sistemului elastic și modurile proprii de vibrații flexionale corespunzătoare. Date numerice:  $m = 2 \text{ kg}$ ;  $a = 100 \text{ mm}$ ;  $E = 2,1 \cdot 10^5 \text{ N/mm}^2$ ;  $d = 50 \text{ mm}$ ;  $g = 10 \text{ m/s}^2$ .

**3.8.7.** Se consideră sistemul format dintr-un arbore de masă neglijabilă și rigiditate constantă  $GI_p$  (având diametrul constant  $d$ ), pe care se află montați trei volanți având momentele de inerție  $J$ ,  $2J$  și  $3J$  ca în fig. 3.8.7. Să se determine (folosind metoda iterației matriciale) prima și a treia pulsație proprie a sistemului elastic și modurile proprii de vibrație corespunzătoare. Date numerice:  $J = 50 \text{ kgm}^2$ ;  $a = 100 \text{ mm}$ ;  $d = 60 \text{ mm}$ ;  $G = 85 \cdot 10^3 \text{ N/mm}^2$ .

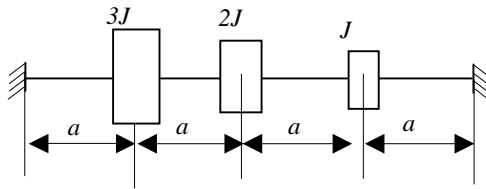


Fig. 3.8.8

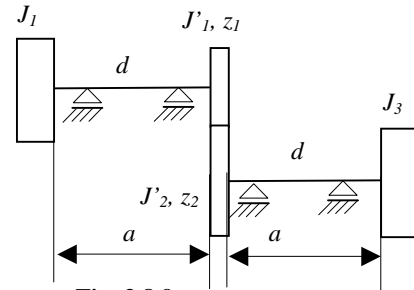


Fig. 3.8.9

**3.8.8.** Se consideră sistemul format dintr-un arbore de masă neglijabilă și rigiditate constantă  $GI_p$  (având diametrul constant  $d$ ), pe care se află montați trei volanți de momente de inerție  $3J$ ,  $2J$  și  $J$ , având legăturile cu mediul fix ca în fig. 3.8.8. Să se determine (folosind metoda iterației matriciale) prima și a treia pulsație proprie a sistemului elastic și modurile proprii de vibrație corespunzătoare. Date numerice:  $J = 50 \text{ kgm}^2$ ;  $a = 100 \text{ mm}$ ;  $d = 60 \text{ mm}$ ;  $G = 85 \cdot 10^3 \text{ N/mm}^2$

**3.8.9.** Se consideră sistemul format din cei doi arbori de masă neglijabilă și rigiditate constantă (având diametrele  $d$ ), pe care se află montați doi volanți de momente de inerție  $J_1$  și  $J_3$ , și roțile dințate de momente de inerție  $J'_1$  și  $J'_2$  ca în fig. 3.8.9. Să se determine pulsațiile și modurile proprii pentru vibrațiile torsionale ale acestui sistem. Date numerice:  $J_1 = J_3 = 100 \text{ kgm}^2$ ;  $2J'_1 = J'_2 = 40 \text{ kgm}^2$ ;  $a = 100 \text{ mm}$ ;  $d = 60 \text{ mm}$ ;  $G = 85 \cdot 10^3 \text{ N/mm}^2$ ;  $i = z_2/z_1 = 2$

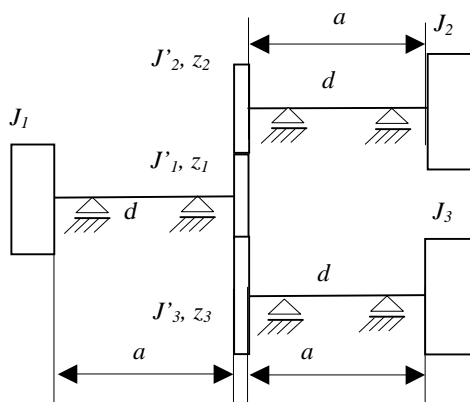


Fig. 3.8.10

**3.8.10.** Se consideră sistemul format din cei trei arbori de masă neglijabilă și rigiditate constantă (având diametrele  $d$ ), pe care se află montați trei volanți de momente de inerție  $J_1$ ,  $J_2$  și  $J_3$ , și roțile dințate de momente de inerție neglijabile  $J'_1$ ,  $J'_2$  și  $J'_3$  ca în fig. 3.8.10. Să se determine pulsațiile și modurile proprii pentru vibrațiile torsionale ale acestui sistem.

Date numerice:  $J_1 = J_2 = J_3 = 100 \text{ kgm}^2$ ;  $a = 100 \text{ mm}$ ;  $d = 50 \text{ mm}$ ;  $G = 85 \cdot 10^3 \text{ N/mm}^2$ ;  $i_1 = z_2/z_1 = 1,5$ ;  $i_2 = z_3/z_1 = 2$

# CAPITOLUL IV

## VIBRAȚIILE SISTEMELOR CONTINUE

### Introducere

Sistemele mecanice cu număr finit de grade de libertate sunt modele discrete pentru studiul sistemelor formate dintr-un număr de corpuri legate între ele prin elemente elastice sau de amortizare de mase neglijabile ce pot fi asimilate cu puncte materiale. În cele mai multe cazuri însă mișcarea vibratorie a sistemelor continue nu se poate studia folosind astfel de modele discrete.

Unele sisteme continue pot fi studiate folosind modele teoretice cu parametri distribuiți (masa, elasticitatea, amortizarea) în tot volumul ocupat de corp. Deplasarea unui astfel de sistem este exprimată printr-o funcție continuă pe domeniul ocupat de corp și variabilă în timp. Sistemul are un număr infinit de grade de libertate. Astfel de sisteme care permit o modelare matematică sunt: firele, barele și plăcile.

### 4.1. Vibrațiile transversale ale firelor

Se consideră un fir omogen de secțiune constantă, flexibil și inextensibil tensionat la capete (de exemplu un cablu de transport energie electrică) și un element din acest fir de lungime  $ds$ . Asupra acestui element acționează forța distribuită  $f(x,t)$  după o direcție perpendiculară pe axa  $Ox$  precum și forțele de legătură  $H$ ,  $V$ ,  $H+dH$ , respectiv  $V+dV$  ca în figura 4.1.1.a,b.

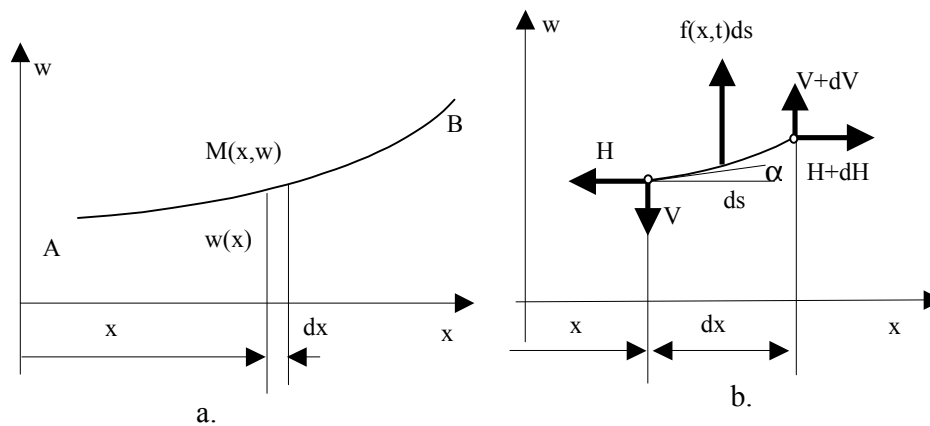


Fig. 4.1.1

Conform principiului lui d'Alembert, ecuațiile de echilibru dinamic ale forțelor care acționează asupra elementului de lungime  $ds$  sunt (fig. 4.1.1.b):

$$\begin{cases} -H + H + dH = 0 \\ -\ddot{w}dm + f(x,t)ds - V + V + dV = 0 \end{cases} \quad (4.1.1)$$

Deoarece în fir nu se produc decât eforturi axiale de întindere, între cele două forțe de legătură  $H$  și  $V$  există relația:

$$V = H \operatorname{tg} \alpha \quad \text{sau} \quad V = H \frac{\partial w}{\partial x} \quad (4.1.2)$$

Din prima ecuație a sistemului (4.1.1) rezultă:

$$dH = 0 \Rightarrow H = ct \quad (4.1.3)$$

Elementul de fir are masa  $dm = \gamma ds$  unde  $\gamma$  este masa specifică liniară (pe unitatea de lungime) a firului. Pentru deplasări mici se poate considera că  $ds \equiv dx$  și ecuația a doua a sistemului (4.1.1) se scrie:

$$\frac{\partial V}{\partial x} + f(x,t) = \gamma \frac{\partial^2 w}{\partial t^2} \quad (4.1.4)$$

Ținând seama de relația (4.1.2) ecuația (4.1.4) se scrie:

$$H \frac{\partial^2 w}{\partial x^2} - \gamma \frac{\partial^2 w}{\partial t^2} + f(x,t) = 0$$

$$\text{sau:} \quad \frac{\partial^2 w}{\partial x^2} - \frac{1}{c^2} \frac{\partial^2 w}{\partial t^2} + \frac{f(x,t)}{H} = 0 \quad (4.1.5)$$

$$\text{unde s-a notat: } c = \sqrt{H/\gamma} \quad (4.1.6)$$

Ecuația diferențială (4.1.5) reprezintă forma generală a ecuațiilor ce caracterizează vibrațiile transversale ale firelor.

#### 4.1.1. Vibrațiile transversale libere

În acest caz forța distribuită este nulă:  $f(x,t) = 0$  și ecuația (4.1.5) se scrie:

$$\frac{\partial^2 w}{\partial x^2} - \frac{1}{c^2} \frac{\partial^2 w}{\partial t^2} = 0 \quad (4.1.7)$$

Condițiile inițiale ale mișcării sunt:

$$t = 0 \Rightarrow w(x,t)|_{t=0} = g_1(x) \quad \text{și} \quad \frac{\partial w(x,t)}{\partial t}|_{t=0} = g_2(x) \quad (4.1.8)$$



Soluția generală a acestei ecuații a fost dată de d'Alembert și se scrie:

$$w(x, t) = w_1(x - ct) + w_2(x + ct) \quad (4.1.9)$$

Forma funcțiilor  $w_1$  și  $w_2$  se determină din condițiile inițiale (4.1.8):

$$\begin{cases} w_1(x - ct) + w_2(x + ct) \Big|_{t=0} = g_1(x) \\ \frac{\partial w_1(x - ct)}{\partial x} + \frac{\partial w_2(x + ct)}{\partial x} \Big|_{t=0} = g_2(x) \end{cases} \quad (4.1.10)$$

Funcția  $w(x)$  care satisface condițiile (4.1.8) este de forma:

$$w(x, t) = \frac{1}{2} [g_1(x - ct) + g_1(x + ct)] + \int_{x-ct}^{x+ct} g_2(\xi) d\xi \quad (4.1.11)$$

Se observă din forma soluției (4.1.9) că aceasta este formată din suprapunerea a două unde: *unda directă*  $w_1(x+ct)$  și *unda inversă*  $w_2(x-ct)$ . Constanta  $c$  reprezintă viteza de deplasare a celor două unde de-a lungul axei Ox pozitive (unda directă), respectiv axei Ox negative (unda inversă).

Dacă se consideră condițiile inițiale cu viteză nulă:

$$t = 0 \Rightarrow w(x, t) \Big|_{t=0} = g_1(x) \quad \text{și} \quad \frac{\partial w(x, t)}{\partial t} \Big|_{t=0} = 0 \quad (4.1.12)$$

$$\text{atunci: } w_1(x - ct) = \frac{1}{2} g_1(x - ct) \quad \text{și} \quad w_2(x + ct) = \frac{1}{2} g_1(x + ct) \quad (4.1.13)$$

adică perturbația inițială se împarte în două componente egale una deplasându-se spre stânga (unda indirectă) iar cealaltă spre dreapta (unda directă).

Dacă se consideră firul de lungime  $L$  fixat la ambele capete având următoarele condiții inițiale:

$$\begin{aligned} t = 0 \Rightarrow w(x, t) \Big|_{t=0} &= g_1(x) \\ \frac{\partial w(x, t)}{\partial t} \Big|_{t=0} &= 0 \end{aligned} \quad (4.1.14)$$

și se alege originea axei Ox în capătul din stânga al firului (pentru  $x \in [0, L]$ ) atunci din condițiile la limită ( $x=0$  și  $x=L$ ) se obține:

$$\begin{aligned} w(0, t) &= \frac{1}{2} [g_1(-ct) + g_1(ct)] = 0 \Rightarrow g_1(-ct) = -g_1(ct) \\ w(L, t) &= \frac{1}{2} [g_1(L - ct) + g_1(L + ct)] = 0 \Rightarrow g_1(L - ct) = -g_1(L + ct) \end{aligned} \quad (4.1.15)$$

deci este nevoie de o prelungire a funcției  $g_1(x)$  pentru valori negative ale lui  $x$  respective pentru valori mai mari decât  $x=L$ . Ținând seama că funcția  $g_1(x)$  este simetrică față de origine rezultă:

$$g_1(L-ct) = -g_1(L+ct) = g_1(-L-ct) \quad (4.1.16)$$

deci funcția prelungită  $g_1(x)$  în afara domeniului  $x \in [0, L]$  este o funcție periodică de perioadă  $\lambda = 2L$ .

Se consideră în continuare funcția  $g_1(x)$  pentru  $x \in [0, L]$  de forma sinusoidă:

$$g_1(x) = \sin \frac{4\pi x}{L} \quad (4.1.17)$$

care satisface condițiile la limită:

$$\begin{aligned} g_1(0) &= 0; \quad g_1(L/4) = 0; \quad g_1(L/2) = 0; \\ g_1(3L/4) &= 0; \quad g_1(L) = 0 \end{aligned} \quad (4.1.18)$$

Funcția prelungită în afara domeniului  $x \in [0, L]$  este simetrică față de origine și periodică de perioadă  $\lambda = L/2$ .

Soluția mișcării (4.1.11) se scrie pentru acest caz:

$$\begin{aligned} w(x, t) &= \frac{1}{2} [g_1(x-ct) + g_1(x+ct)] = \frac{1}{2} \left( \sin \frac{4\pi(x-ct)}{L} + \sin \frac{4\pi(x+ct)}{L} \right) \\ \Rightarrow w(x, t) &= \sin \frac{4\pi x}{L} \cdot \cos \frac{4\pi ct}{L} \end{aligned} \quad (4.1.19)$$

Se observă că soluția mișcării satisface condițiile la limită (4.1.8) pentru orice moment  $t$  al mișcării. Punctele  $x=0$ ,  $x=L/4$ ,  $x=L/2$ ,  $x=3L/4$  și  $x=L$  se numesc noduri, iar undele respective se numesc unde staționare.

Soluția ecuației diferențiale (4.1.7) se obține și prin metoda separării variabilelor (Bernoulli-Fourier) și se scrie sub forma:

$$w(x, t) = Y(x) \cos(pt - \varphi) \quad (4.1.20)$$

Derivând în raport cu  $t$  și cu  $x$  se obține:

$$\frac{\partial^2 w}{\partial x^2} = \frac{\partial^2 Y}{\partial x^2} \cos(pt - \varphi); \quad \frac{\partial^2 w}{\partial t^2} = -p^2 Y \cos(pt - \varphi) \quad (4.1.21)$$

Înlocuind în ecuația diferențială (4.1.7) se obține:

$$\left( \frac{\partial^2 Y}{\partial x^2} + \frac{p^2}{c^2} Y \right) \cos(pt - \varphi) = 0 \quad (4.1.22)$$

Deoarece  $\cos(pt - \varphi)$  este o funcție de timp rezultă ecuația diferențială:

$$\frac{\partial^2 Y}{\partial x^2} + \frac{p^2}{c^2} Y = 0 \quad (4.1.23)$$

care are soluții de forma:  $Y(x) = B \cos\left(\frac{p}{c}x\right) + D \sin\left(\frac{p}{c}x\right)$  (4.1.24)

Constantele A și B se determină din condițiile la limită ale problemei:

$$\begin{cases} w(0,t) = Y(0) \cos(pt - \varphi) = 0 \\ w(L,t) = Y(L) \cos(pt - \varphi) = 0 \end{cases} \Leftrightarrow \begin{cases} Y(0) = 0 \\ Y(L) = 0 \end{cases} \quad (4.1.25)$$

Rezultă:  $B=0$  și  $D \sin\left(\frac{p}{c}L\right) = 0 \Rightarrow \frac{p_n}{c}L = n\pi$  (4.1.26)

și soluția ecuației (4.1.23) se scrie sub forma:

$$Y_n(x) = D_n \sin\left(\frac{n\pi}{L}x\right) \quad (4.1.27)$$

Din relația (4.1.26) rezultă pulsațiile proprii ale firului:  $p_n = \frac{n\pi c}{L}$  iar din relația (4.1.27) expresiile  $\psi_n(x) = \sin\left(\frac{n\pi}{L}x\right)$  se numesc funcții proprii corespunzătoare modului propriu  $n$  de vibrație.

Soluția problemei corespunzătoare modului  $n$  de vibrație se scrie:

$$w_n(x,t) = D_n \sin\left(\frac{n\pi}{L}x\right) \cos(p_n t - \varphi_n) \quad (4.1.28)$$

Soluția generală va fi suma tuturor modurilor proprii de vibrație:

$$w(x,t) = \sum_{n=1}^{\infty} w_n(x,t) = \sum_{n=1}^{\infty} D_n \sin\left(\frac{n\pi}{L}x\right) \cos(p_n t - \varphi_n) \quad (4.1.29)$$

Constantele de integrare  $D_1, D_2, \dots, D_n, \dots$   $\varphi_1, \varphi_2, \varphi_3, \dots, \varphi_n, \dots$  se determină din condițiile inițiale (4.1.8):  $w(x,0) = g_1(x)$  și  $\left. \frac{\partial w(x,t)}{\partial t} \right|_{t=0} = g_2(x)$ , sau:

$$\begin{cases} \sum_{n=1}^{\infty} D_n \sin\left(\frac{n\pi}{L}x\right) \cos(\varphi_n) = g_1(x) \\ \sum_{n=1}^{\infty} p_n D_n \sin\left(\frac{n\pi}{L}x\right) \sin(\varphi_n) = g_2(x) \end{cases} \quad (4.1.30)$$

Se înmulțesc ecuațiile (4.1.30) cu  $\sin \frac{m\pi x}{L}$ , se integrează pe intervalul  $[0, L]$  și se ține seama de ortogonalitatea modurilor proprii de vibrație:

$$\int_0^L \sin \frac{n\pi x}{L} \sin \frac{m\pi x}{L} dx = \begin{cases} 0 & \text{daca } m \neq n \\ L/2 & \text{daca } m = n \end{cases} \quad (4.1.31)$$

obținându-se:

$$\begin{cases} D_m \cos(\varphi_m) = \frac{2}{L} \int_0^L g_1(x) \sin\left(\frac{m\pi x}{L}\right) dx \\ p_m D_m \sin(\varphi_m) = \frac{2}{L} \int_0^L g_2(x) \sin\left(\frac{m\pi x}{L}\right) dx \end{cases} \quad (4.1.32)$$

$m = 1, 2, 3, \dots, n, \dots$

Rezultă imediat constantele de integrare  $D_1, D_2, \dots, D_n, \dots$   $\varphi_1, \varphi_2, \varphi_3, \dots, \varphi_n, \dots$ :

$$\begin{aligned} \operatorname{tg}(\varphi_m) &= \frac{1}{p_m} \frac{\int_0^L g_2(x) \sin\left(\frac{m\pi x}{L}\right) dx}{\int_0^L g_1(x) \sin\left(\frac{m\pi x}{L}\right) dx} \\ D_m &= \frac{2}{L \cos(\varphi_m)} \int_0^L g_1(x) \sin\left(\frac{m\pi x}{L}\right) dx \end{aligned} \quad (4.1.33)$$

$m = 1, 2, 3, \dots, n, \dots$

#### 4.1.2. Vibrațiile transversale forțate

În acest caz forța distribuită are forma armonică:

$$f(x, t) = f_0(x) \cos \omega t \quad (4.1.34)$$

și ecuația (4.1.5) se scrie: 
$$\frac{\partial^2 w}{\partial x^2} - \frac{1}{c^2} \frac{\partial^2 w}{\partial t^2} = -\frac{f_0(x)}{H} \cos \omega t \quad (4.1.35)$$

Condițiile inițiale ale mișcării sunt:

$$w(x, t)|_{t=0} = g_1(x) \quad \text{și} \quad \left. \frac{\partial w(x, t)}{\partial t} \right|_{t=0} = g_2(x) \quad (4.1.36)$$

Soluția particulară (staționară) a acestei ecuații este de forma:

$$w(x, t) = Z(x) \cos \omega t \quad (4.1.37)$$

Derivând în raport cu  $t$  și cu  $x$  se obține:

$$\frac{\partial^2 w}{\partial x^2} = \frac{\partial^2 Z}{\partial x^2} \cos \omega t; \quad \frac{\partial^2 w}{\partial t^2} = -\omega^2 Z \cos \omega t \quad (4.1.38)$$

Înlocuind în ecuația diferențială (4.1.7) se obține:

$$\frac{\partial^2 Z}{\partial x^2} + \frac{\omega^2}{c^2} Z = -\frac{f_0(x)}{H} \quad (4.1.39)$$

Soluția acestei ecuații diferențiale se poate exprima printr-o dezvoltare în serie de funcții proprii a funcției  $Z(x)$  care verifică condițiile la limită ale problemei:

$$Z(x) = \sum_{n=1}^{\infty} D_n \psi_n(x) \quad (4.1.40)$$

unde:  $\psi_n(x) = \sin \frac{p_n x}{c}$  (4.1.41)

Derivând expresia (4.1.40) rezultă:  $\frac{\partial^2 Z}{\partial x^2} = -\sum_{n=1}^{\infty} p_n^2 D_n \psi_n(x)$  (4.1.42)

Înlocuind în (4.1.39) rezultă:

$$\sum_{n=1}^{\infty} \frac{p_n^2 - \omega^2}{c^2} D_n \psi_n(x) = \frac{f_0(x)}{H} \quad (4.1.43)$$

Se înmulțește ecuația (4.1.43) cu  $\psi_m(x) = \sin \frac{p_m x}{c}$ , se integrează pe intervalul  $[0, L]$  și se ține seama de ortogonalitatea modurilor proprii de vibrație:

$$\int_0^L \sin \frac{p_n x}{c} \sin \frac{p_m x}{c} dx = \begin{cases} 0 & \text{daca } m \neq n \\ L/2 & \text{daca } m = n \end{cases} \quad (4.1.44)$$

obținându-se constantele de integrare  $D_m$ :

$$D_m = \frac{2c^2}{LH(p_m^2 - \omega^2)} \int_0^L f_0(x) \psi_m(x) dx \quad (4.1.45)$$

Înlocuind în expresia (4.1.40) se obține:

$$Z(x) = \frac{2c^2}{LH} \sum_{m=1}^{\infty} \frac{\psi_m(x)}{p_m^2 - \omega^2} \int_0^L f_0(x) \psi_m(x) dx \quad (4.1.46)$$

deci soluția staționară (4.1.37) se scrie:

$$w(x, t) = \frac{2c^2 \cos \omega t}{LH} \sum_{m=1}^{\infty} \frac{\psi_m(x)}{p_m^2 - \omega^2} \int_0^L f_0(x) \psi_m(x) dx \quad (4.1.47)$$

Se observă că dacă pulsația forței perturbatoare devine egală cu una din pulsațiile proprii  $p_n$  se obține fenomenul de rezonanță  $w(x, t) \rightarrow \infty$ .

Dacă forța perturbatoare este o forță concentrată în punctual  $x_0 \in [0, L]$  atunci se înlocuiește în expresia (4.1.47):

$$f_0(x) = F_0 \cdot \delta(x - x_0) \quad (4.1.48)$$

unde  $\delta$  este funcția Dirac având proprietățile:

$$\delta(x - x_0) = \begin{cases} 1 & \text{daca } x = x_0 \\ 0 & \text{daca } x \neq x_0 \end{cases} \quad \text{și} \quad \int_{x_0 - \varepsilon}^{x_0 + \varepsilon} \delta(x) dx = 1 \quad (4.1.49)$$

rezultă:

$$\int_0^L f_0(x) dx = F_0; \quad \int_0^L f_0(x) \psi_m(x) dx = F_0 \psi_m(x_0) \quad (4.1.50)$$

soluția în acest caz se scrie:

$$w(x, t) = \frac{2F_0 c^2 \cos \omega t}{LH} \sum_{m=1}^{\infty} \frac{\psi_m(x) \psi_m(x_0)}{p_m^2 - \omega^2} \quad (4.1.51)$$

## 4.2. Vibrațiile longitudinale ale firelor

Se consideră un fir omogen de secțiune constantă, flexibil și inextensibil tensionat la capete și un element din acest fir de lungime  $dx$ . Asupra acestui element acționează forța distribuită  $f(x,t)$  pe direcția axei  $Ox$  precum și forțele de legătură  $H$ ,  $H+dH$ , ca în figura 4.2.1.a,b.

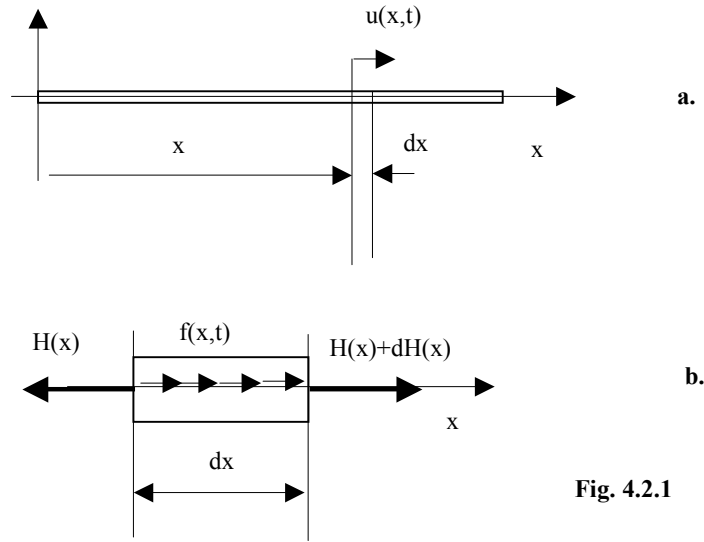


Fig. 4.2.1

Conform principiului d'Alembert, ecuația de echilibru dinamic a forțelor care acționează asupra elementului de lungime  $dx$  este (fig. 4.2.1.b):

$$-\frac{\partial^2 u}{\partial t^2} dm + f(x,t) dx - H + H + dH = 0 \quad (4.2.1)$$

Ținând seama că  $dm = \rho A \cdot dx$  și diferențiala efortului axial  $H$  se scrie:

$$dH = \frac{\partial H}{\partial x} dx \quad (4.2.2)$$

și relația dintre efortul axial tensiune și deplasare se scrie:

$$H = A\sigma = EA\varepsilon = EA \frac{\partial u}{\partial x} \quad (4.2.3)$$

înlocuind în ecuația (4.2.1) se obține:

$$\frac{\partial^2 u}{\partial x^2} - \frac{1}{c^2} \frac{\partial^2 u}{\partial t^2} = -\frac{f(x,t)}{EA} \quad (4.2.4)$$

unde s-a notat  $c = \sqrt{\frac{E}{\rho}}$ .

S-a obținut așadar o ecuație diferențială de aceeași formă cu cea de la vibrațiile transversale (4.1.5).

Pentru vibrațiile libere și pentru condițiile inițiale:

$$u(x, t)|_{t=0} = g_1(x) \quad (4.2.5)$$

$$\left. \frac{\partial u(x, t)}{\partial t} \right|_{t=0} = g_2(x) \quad (4.2.6)$$

soluția prin metoda d'Alembert este de forma:

$$u(x, t) = \frac{1}{2} [g_1(x - ct) + g_1(x + ct)] + \int_{x-ct}^{x+ct} g_2(\xi) d\xi \quad (4.2.7)$$

iar prin metoda Bernoulli-Fourier de forma:

$$u(x, t) = \sum_{n=1}^{\infty} D_n \sin\left(\frac{n\pi x}{L}\right) \cos(p_n t - \varphi_n) \quad (4.2.8)$$

unde  $B_n$  și  $\varphi_n$  se determină din condițiile inițiale iar  $p_n$  sunt pulsațiile proprii:

$$p_n = \frac{n\pi c}{L} \quad (4.2.9)$$

În cazul vibrațiilor forțate cu forțe perturbatoare armonice distribuite se obține soluția staționară de forma:

$$u(x, t) = \frac{2c^2 \cos \omega t}{L EA} \sum_{m=1}^{\infty} \frac{\Psi_m(x)}{p_m^2 - \omega^2} \int_0^L f_0(x) \Psi_m(x) dx \quad (4.2.10)$$

În cazul vibrațiilor forțate cu forțe perturbatoare armonice concentrate se obține soluția staționară de forma:

$$u(x, t) = \frac{2F_0 c^2 \cos \omega t}{L EA} \sum_{m=1}^{\infty} \frac{\Psi_m(x) \Psi_m(x_0)}{p_m^2 - \omega^2} \quad (4.2.11)$$



### 4.3. Vibrațiile longitudinale ale barelor

Se consideră o bară omogenă de secțiune constantă și un element din această bară de lungime  $dx$ . Asupra acestui element acționează forța distribuită  $f(x,t)$  pe direcția axei  $Ox$  precum și forțele de legătură  $N$ ,  $N+dN$ , astfel încât acesta se deplasează pe direcția axei  $Ox$  cu  $u(x,t)$  ca în figura 4.3.1.a,b.

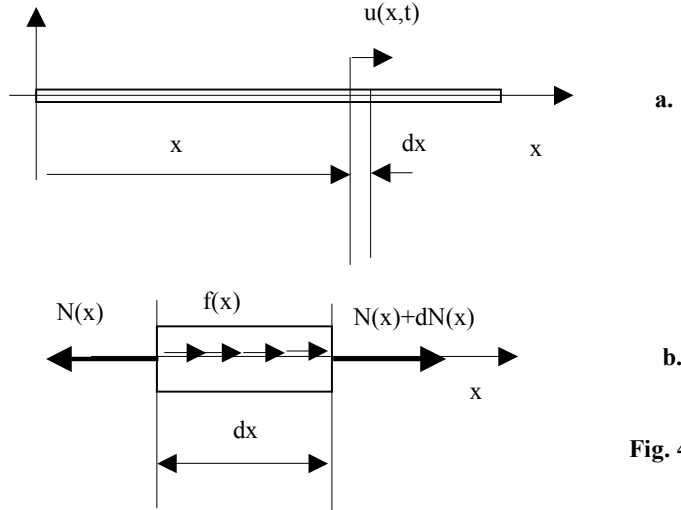


Fig. 4.3.1

Conform principiului d'Alembert, ecuația de echilibru dinamic a forțelor care acționează asupra elementului de lungime  $dx$  este (fig. 4.3.1.b):

$$-\frac{\partial^2 u}{\partial t^2} dm + f(x,t) dx - N + N + dN = 0 \quad (4.3.1)$$

Ținând seama că  $dm = \rho A \cdot dx$  și de faptul că diferențiala efortului axial  $N$  este:

$$dN = \frac{\partial N}{\partial x} dx \quad (4.3.2)$$

iar relația dintre efortul axial  $N$ , tensiunea  $\sigma$  și deplasarea  $u(x,t)$  se poate scrie sub

$$\text{forma: } N = A\sigma = EA\epsilon = EA \frac{\partial u}{\partial x} \quad (4.3.3)$$

înlocuind în ecuația (4.3.1) se obține:

$$\frac{\partial^2 u}{\partial x^2} - \frac{1}{c^2} \frac{\partial^2 u}{\partial t^2} = -\frac{f(x,t)}{EA} \quad (4.3.4)$$

$$\text{unde s-a notat } c = \sqrt{\frac{E}{\rho}}$$

S-a obținut așadar o ecuație diferențială de aceeași formă cu cea de la vibrațiile longitudinale ale firului.

### 4.3.1. Vibrații longitudinale libere

Condițiile inițiale se scriu:

$$u(x, t)|_{t=0} = g_1(x) \quad (4.3.5)$$

$$\left. \frac{\partial u(x, t)}{\partial t} \right|_{t=0} = g_2(x) \quad (4.3.6)$$

soluția prin metoda d'Alembert este de forma:

$$u(x, t) = \frac{1}{2} [g_1(x - ct) + g_1(x + ct)] + \int_{x-ct}^{x+ct} g_2(\xi) d\xi \quad (4.3.7)$$

iar prin metoda Bernoulli-Fourier:

$$u(x, t) = \sum_{n=1}^{\infty} D_n \sin\left(\frac{n\pi x}{L}\right) \cos(p_n t - \varphi_n) \quad (4.3.8)$$

unde  $B_n$  și  $\varphi_n$  se determină din condițiile inițiale iar  $p_n$  sunt pulsațiile proprii.

Pentru bara fixată la ambele capete pulsațiile proprii sunt de forma:

$$p_n = \frac{n\pi c}{L} \quad (4.3.9)$$

Dacă se consideră că o bară vibrează după un singur mod de vibrație atunci:

$$\begin{cases} u(x, t) = Y(x) \cos(pt - \varphi) \\ u(x, t) = \left( B \cos \frac{p}{c} x + D \sin \frac{p}{c} x \right) \cos(pt - \varphi) \end{cases} \Leftrightarrow \quad (4.3.10)$$

iar efortul axial se scrie:

$$\begin{cases} N(x, t) = EA \frac{\partial u(x, t)}{\partial x} = EA \cdot Y'(x) \cos(pt - \varphi) \\ N(x, t) = \frac{p}{c} EA \left( -B \sin \frac{p}{c} x + D \cos \frac{p}{c} x \right) \cos(pt - \varphi) \end{cases} \quad (4.3.11)$$

Condițiile la limită la capete se pot scrie:

➤ pentru deplasări:

$$\begin{cases} x=0 \Rightarrow u(0, t) = u_1 \cos(pt - \varphi) \\ x=L \Rightarrow u(L, t) = u_2 \cos(pt - \varphi) \end{cases} \quad (4.3.12)$$

➤ pentru eforturile axiale:

$$\begin{cases} x=0 & \Rightarrow N(0,t) = F_1 \cos(pt - \varphi) \\ x=L & \Rightarrow N(L,t) = F_2 \cos(pt - \varphi) \end{cases} \quad (4.3.13)$$

Înlocuind condițiile la limită (4.3.12) în expresiile deplasării (4.3.10) și condițiile la limită (4.3.13) în expresiile eforturilor (4.3.11) se obține:

$$\begin{cases} B = u_1 \\ D = \frac{c}{EAp} F_1 \end{cases} \Rightarrow \begin{cases} u_1 \cos\left(\frac{pL}{c}\right) + F_1 \frac{c}{EAp} \sin\left(\frac{pL}{c}\right) = u_2 \\ -u_1 \frac{EAp}{c} \sin\left(\frac{pL}{c}\right) + F_1 \cos\left(\frac{pL}{c}\right) = F_2 \end{cases} \quad (4.3.14)$$

Relațiile de legătură dintre valorile amplitudinilor deplasărilor și eforturilor axiale de la capetele unui tronson (4.3.14) se mai scriu matriceal sub forma:

$$\begin{Bmatrix} u_2 \\ F_2 \end{Bmatrix} = \begin{bmatrix} \cos\left(\frac{pL}{c}\right) & \frac{c}{EAp} \sin\left(\frac{pL}{c}\right) \\ -\frac{EAp}{c} \sin\left(\frac{pL}{c}\right) & \cos\left(\frac{pL}{c}\right) \end{bmatrix} \begin{Bmatrix} u_1 \\ F_1 \end{Bmatrix} \quad (4.3.15)$$

Acestea sunt relații generale pentru rezolvarea unei probleme de vibrații longitudinale ale unei bare de secțiune constantă sau variabilă în trepte, cu sau fără mase concentrate.

### Exemplul 1.

Să se determine pulsațiile și modurile proprii de vibrații longitudinale ale unei bare de lungime  $L$  fixată la ambele capete, având secțiunea constantă, modulul de elasticitate  $E$  și densitatea  $\rho$  cunoscute (fig. 4.3.2).

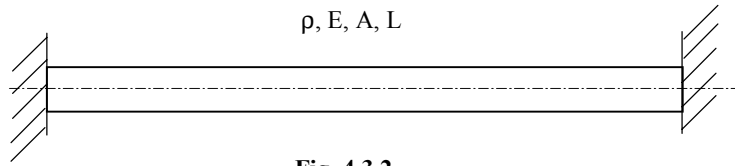


Fig. 4.3.2

Ecuția vibrațiilor longitudinale după un mod de vibrație este:

$$u(x,t) = \left( B \cos \frac{p}{c} x + D \sin \frac{p}{c} x \right) \cos(pt - \varphi) \quad (4.3.16)$$

Introducând condițiile la limită ale problemei se obține:

$$\begin{cases} u(0,t) = B \cos(pt - \varphi) = 0 & \Rightarrow B = 0 \\ u(L,t) = D \sin\left(\frac{p}{c} L\right) \cos(pt - \varphi) = 0 & \Rightarrow \frac{p_n}{c} L = n\pi \end{cases} \quad (4.3.17)$$

deci pulsațiile și modurile proprii sunt:  $p_n = \frac{n\pi c}{L} = \frac{n\pi}{L} \sqrt{\frac{E}{\rho}}$  (4.3.18)

$$u(x, t) = D \cdot \sin\left(\frac{p_n}{c} x\right) \cos(pt - \varphi) \quad (4.3.19)$$

### Exemplul 2.

Să se determine pulsațiile și modurile proprii de vibrații longitudinale ale unei bare de lungime  $L$  fixată la unul din capete iar la celălalt capăt liberă, având secțiunea constantă, modulul de elasticitate  $E$  și densitatea  $\rho$  cunoscută (fig. 4.3.4).

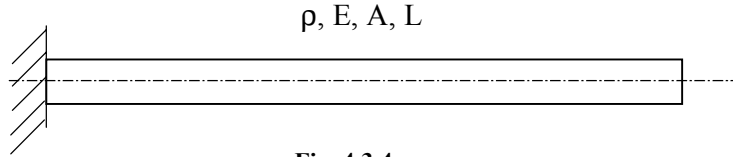


Fig. 4.3.4

Ecuția vibrațiilor longitudinale după un mod de vibrație este:

$$u(x, t) = \left( B \cos \frac{p}{c} x + D \sin \frac{p}{c} x \right) \cos(pt - \varphi) \quad (4.3.20)$$

Introducând condițiile la limită ale problemei se obține:

$$\begin{cases} u(0, t) = B \cos(pt - \varphi) = 0 & \Rightarrow B = 0 \\ N(L, t) = EA \frac{\partial u(x, t)}{\partial x} \Big|_{x=L} = EA \cdot D \frac{p}{c} \cos\left(\frac{p}{c} L\right) \cos(pt - \varphi) = 0 \end{cases} \quad (4.3.21)$$

$$\Rightarrow \frac{p_n}{c} L = (2n - 1) \frac{\pi}{2}, \quad n = 1, 2, 3, \dots$$

deci pulsațiile și modurile proprii de vibrație ale barei sunt:

$$p_n = (2n - 1) \frac{\pi}{2L} \sqrt{\frac{E}{\rho}} \quad (4.3.22)$$

$$u(x, t) = D \cdot \sin\left(\frac{p_n}{c} x\right) \cos(pt - \varphi) \quad (4.3.23)$$

### Exemplul 3.

Să se determine pulsațiile și modurile proprii de vibrații longitudinale ale unei bare de lungime  $L$  fixată la unul din capete iar la celălalt capăt liberă, având secțiunea în trepte, modulul de elasticitate  $E$  și densitatea  $\rho$  cunoscută (fig. 4.3.5).

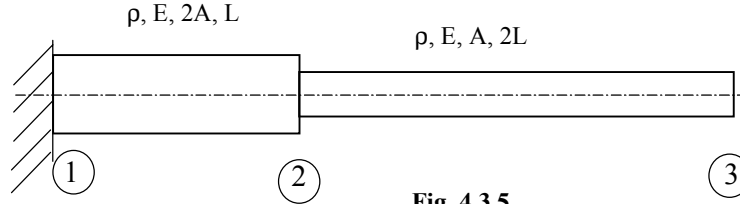


Fig. 4.3.5

Ecuția vibrațiilor longitudinale după un mod de vibrație pentru fiecare din cele două tronsoane este:

$$u(x, t) = \begin{cases} \left( B_1 \cos \frac{p}{c} x + D_1 \sin \frac{p}{c} x \right) \cos(pt - \varphi) & \text{pentru } x \in [0, L] \\ \left( B_2 \cos \frac{p}{c} x + D_2 \sin \frac{p}{c} x \right) \cos(pt - \varphi) & \text{pentru } x \in [L, 3L] \end{cases} \quad (4.3.24)$$

Condițiile la limită ale problemei sunt:

$$\begin{cases} u(0, t) = u_1 = 0 & u(L, t) = u_2 & u(3L, t) = u_3 \\ N(0, t) = N_1 & N(L, t) = N_2 & N(3L, t) = N_3 = 0 \end{cases} \quad (4.3.25)$$

Ecuțiile de legătură (4.3.15) dintre valorile amplitudinilor deplasărilor și eforturilor axiale la capetele fiecărui tronson se scriu:

➤ pentru primul tronson (1-2):

$$\begin{Bmatrix} u_2 \\ F_2 \end{Bmatrix} = \begin{bmatrix} \cos\left(\frac{pL}{c}\right) & \frac{c}{2EAp} \sin\left(\frac{pL}{c}\right) \\ -\frac{2EAp}{c} \sin\left(\frac{pL}{c}\right) & \cos\left(\frac{pL}{c}\right) \end{bmatrix} \begin{Bmatrix} 0 \\ F_1 \end{Bmatrix} \quad (4.3.26)$$

➤ pentru al doilea tronson (2-3):

$$\begin{Bmatrix} u_3 \\ 0 \end{Bmatrix} = \begin{bmatrix} \cos\left(\frac{2pL}{c}\right) & \frac{c}{EAp} \sin\left(\frac{2pL}{c}\right) \\ -\frac{EAp}{c} \sin\left(\frac{2pL}{c}\right) & \cos\left(\frac{2pL}{c}\right) \end{bmatrix} \begin{Bmatrix} u_2 \\ F_2 \end{Bmatrix} \quad (4.3.27)$$

Din cele două ecuații (4.3.26) și (4.3.27) se obține următoarea ecuație :

$$\begin{Bmatrix} u_3 \\ 0 \end{Bmatrix} = \begin{bmatrix} \cos\left(\frac{2pL}{c}\right) & \frac{c}{EAp} \sin\left(\frac{2pL}{c}\right) \\ -\frac{EAp}{c} \sin\left(\frac{2pL}{c}\right) & \cos\left(\frac{2pL}{c}\right) \end{bmatrix} \begin{bmatrix} \frac{c}{2EAp} \sin\left(\frac{2pL}{c}\right) \\ \cos\left(\frac{2pL}{c}\right) \end{bmatrix} F_1 \quad (4.3.28)$$

A doua ecuație a sistemului matriceal (4.3.28) se scrie:

$$0 = \left[ -\frac{1}{2} \sin\left(\frac{2pL}{c}\right) \sin\left(\frac{pL}{c}\right) + \cos\left(\frac{2pL}{c}\right) \cos\left(\frac{pL}{c}\right) \right] F_1$$

$$\Leftrightarrow \operatorname{tg}\left(\frac{2pL}{c}\right) \operatorname{g}\left(\frac{pL}{c}\right) = 2 \quad (4.3.29)$$

Se rezolvă ecuația (4.3.29) reprezentând grafic cele două funcții:

$$f(x) = \operatorname{tg}(2x) \text{ si } g(x) = \frac{2}{\operatorname{tg}(x)}, \quad x = \frac{pL}{c} \quad (4.3.30)$$

apoi se determină cu ajutorul programului Mathcad intervalele pentru rădăcinile ecuației  $f(x) = g(x)$  ce corespund intersecțiilor celor două grafice din figura 4.3.6.

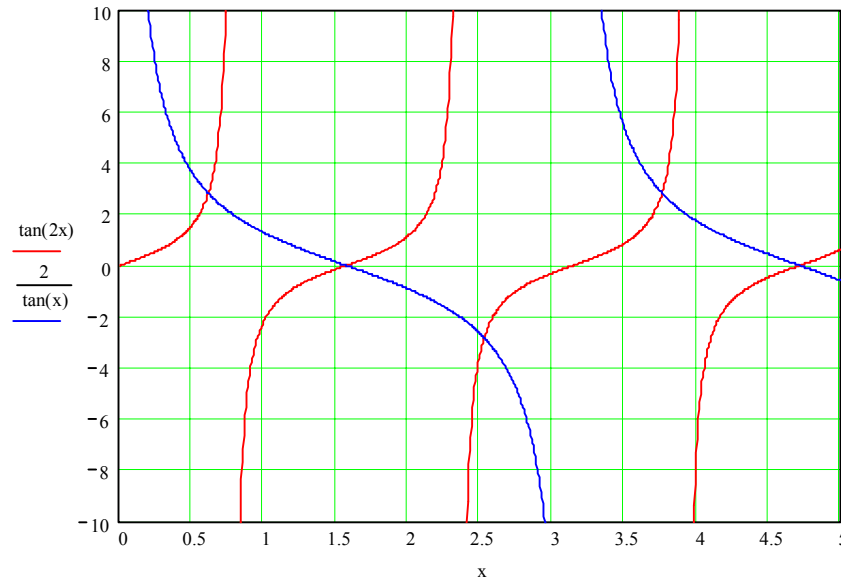


Fig. 4.3.6. Obținerea soluțiilor pentru primele 4 pulsații proprii

Se obțin astfel primele patru rădăcini:

$$\operatorname{root}\left(\tan(2x) - \frac{2}{\tan(x)}, x, 0.5, 0.7\right) = 0.615 \quad \operatorname{root}\left(\tan(2x) - \frac{2}{\tan(x)}, x, 1.5, 1.7\right) = 1.571$$

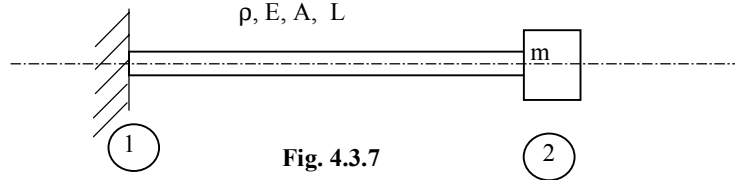
$$\operatorname{root}\left(\tan(2x) - \frac{2}{\tan(x)}, x, 2.5, 2.7\right) = 2.526 \quad \operatorname{root}\left(\tan(2x) - \frac{2}{\tan(x)}, x, 3.5, 3.8\right) = 3.757$$

Deci primele patru pulsații proprii sunt:

$$p_1 = \frac{0.615}{L} \sqrt{\frac{E}{\rho}}; \quad p_2 = \frac{1.571}{L} \sqrt{\frac{E}{\rho}}; \quad p_3 = \frac{2.526}{L} \sqrt{\frac{E}{\rho}}; \quad p_4 = \frac{3.757}{L} \sqrt{\frac{E}{\rho}}. \quad (4.3.31)$$

**Exemplul 4.**

Să se determine pulsațiile și modurile proprii de vibrații longitudinale ale unei bare de lungime  $L$  de secțiunea constantă, modulul de elasticitate  $E$  și densitatea  $\rho$ , fixată la unul din capete iar la celălalt capăt liber având o masă concentrată  $m$  (fig. 4.3.7).


**Fig. 4.3.7**

Ecuția vibrațiilor longitudinale după un mod de vibrație este:

$$u(x, t) = \left( B \cos \frac{p}{c} x + D \sin \frac{p}{c} x \right) \cos(p t - \varphi) \quad (4.3.32)$$

Condițiile la limită ale problemei se scriu:

$$\begin{cases} u(0, t) = B \cos(p t - \varphi) = 0 & \Rightarrow B = 0 \\ N(L, t) = EA \frac{\partial u(x, t)}{\partial x} \Big|_{x=L} = -m \frac{\partial^2 u}{\partial t^2} = mp^2 u(L, t) \end{cases} \quad (4.3.33)$$

Ecuțiile de legătură (4.3.15) dintre valorile amplitudinilor deplasărilor și eforturilor axiale la capetele tronsonului (1-2) se scriu:

$$\begin{Bmatrix} u_2 \\ mp^2 u_2 \end{Bmatrix} = \begin{bmatrix} \cos\left(\frac{pL}{c}\right) & \frac{c}{EA p} \sin\left(\frac{pL}{c}\right) \\ -\frac{EA p}{c} \sin\left(\frac{pL}{c}\right) & \cos\left(\frac{pL}{c}\right) \end{bmatrix} \begin{Bmatrix} 0 \\ F_1 \end{Bmatrix} \quad (4.3.33)$$

care este echivalentă cu:

$$\begin{cases} u_2 = \frac{c F_1}{EA p} \sin\left(\frac{pL}{c}\right) \\ mp^2 u_2 = F_1 \cos\left(\frac{pL}{c}\right) \end{cases} \Leftrightarrow \frac{1}{mp^2} = \frac{c}{EA p} \operatorname{tg}\left(\frac{pL}{c}\right) \quad (4.3.34)$$

$$\text{sau :} \quad \frac{pL}{c} \cdot \operatorname{tg}\left(\frac{pL}{c}\right) = \frac{m_b}{m}; \quad m_b = \rho AL$$

Pentru cazul  $\frac{m_b}{m} = \frac{1}{2}$  se obține ecuația pulsațiilor proprii:

$$\operatorname{tg}(x) = \frac{1}{2x}$$

care se rezolvă grafic și numeric cu ajutorul programului Mathcad (fig. 4.3.8). Se obțin astfel primele patru rădăcini:

$$\begin{aligned} \text{root}\left(\tan(x) - \frac{1}{2x}, x, 0.5, 1\right) &= 0.653 & \text{root}\left(\tan(x) - \frac{1}{2x}, x, 3, 4\right) &= 3.292 \\ \text{root}\left(\tan(x) - \frac{1}{2x}, x, 6, 7\right) &= 6.362 & \text{root}\left(\tan(x) - \frac{1}{2x}, x, 9, 10\right) &= 9.477 \end{aligned}$$

Deci primele patru pulsații proprii sunt:

$$\begin{aligned} p_1 &= \frac{0,653}{L} \sqrt{\frac{E}{\rho}}; & p_2 &= \frac{3,292}{L} \sqrt{\frac{E}{\rho}}; \\ p_3 &= \frac{6,362}{L} \sqrt{\frac{E}{\rho}}; & p_4 &= \frac{9,477}{L} \sqrt{\frac{E}{\rho}}. \end{aligned} \quad (4.3.35)$$

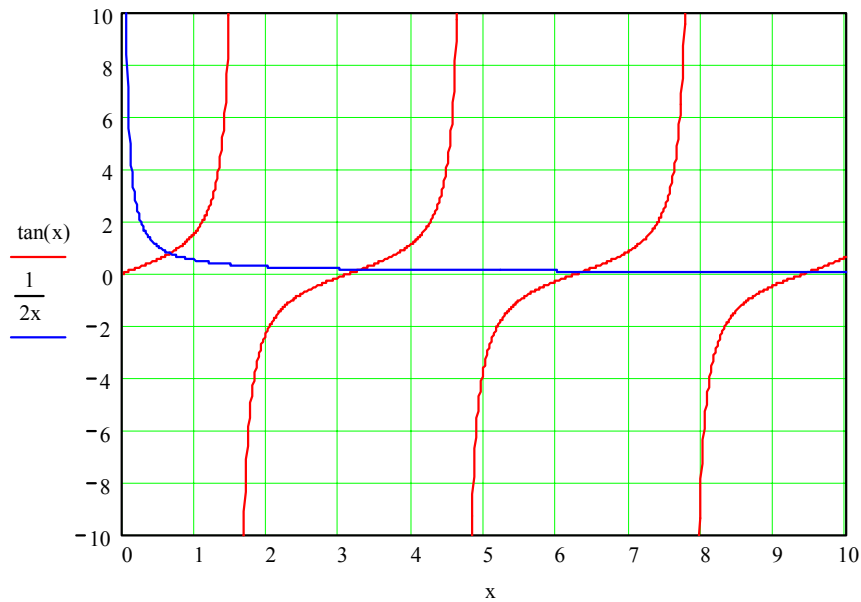


Fig. 4.3.8. Obținerea soluțiilor pentru primele 4 pulsații proprii



### 4.3.2. Vibrații longitudinale forțate

În cazul vibrațiilor forțate cu forțe perturbatoare armonice distribuite de forma  $f(x, t) = f_0(x) \cos \omega t$  soluția staționară se obține în același mod ca și în cazul vibrațiilor firelor și este de forma (4.2.10):

$$u(x, t) = \frac{2c^2 \cos \omega t}{L EA} \sum_{m=1}^{\infty} \frac{\psi_m(x)}{p_m^2 - \omega^2} \int_0^L f_0(x) \psi_m(x) dx \quad (4.3.36)$$

În cazul vibrațiilor forțate cu forțe perturbatoare armonice concentrate în  $x_0$  de forma  $F = F_0 \cos \omega t$  se obține soluția staționară de forma (4.2.11):

$$u(x, t) = \frac{2F_0 c^2 \cos \omega t}{L EA} \sum_{m=1}^{\infty} \frac{\psi_m(x) \psi_m(x_0)}{p_m^2 - \omega^2} \quad (4.3.37)$$

### Exemplu

Să se determine pulsațiile și modurile proprii de vibrații longitudinale ale unei bare de lungime  $L$  având secțiunea constantă, modulul de elasticitate  $E$  și densitatea  $\rho$  cunoscute, fixată la unul din capete iar la celălalt capăt acționează o forță armonică concentrată  $F = F_0 \cos \omega t$  (fig. 4.3.9).

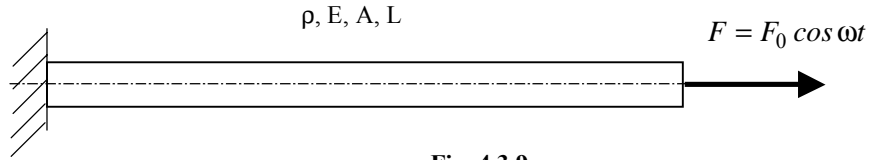


Fig. 4.3.9

Funcțiile proprii și pulsațiile proprii determinate conform (4.3.22) și (4.3.23) sunt:  $p_m = (2m-1) \frac{\pi c}{2L}$  respectiv:  $\psi_m(x) = \sin \frac{(2m-1)\pi}{2L} x$ ,  $m=1, 2, \dots$

Valoarea în punctul  $x_0 = L$  a funcțiilor proprii  $\psi_m(x)$  este:

$$\psi_m(x_0) = \sin \frac{(2m-1)\pi}{2L} L = (-1)^{m-1} \quad (4.3.38)$$

Soluția staționară a vibrațiilor conform (4.3.37) va fi:

$$u(x, t) = \frac{2F_0 c^2 \cos \omega t}{L EA} \sum_{m=1}^{\infty} \frac{(-1)^{m-1}}{p_m^2 - \omega^2} \sin \frac{(2m-1)\pi}{2L} x \quad (4.3.39)$$

#### 4.4. Vibrațiile torsionale ale barelor de secțiune circulară sau inelară

Se consideră o bară omogenă de secțiune circulară sau inelară și un element din această bară de lungime  $dx$ . Asupra acestui element acționează un cuplu torsional distribuit  $m_t(x,t)$  pe direcția axei  $Ox$  precum și momentele de legătură din capete  $M_t$ ,  $M_t + dM_t$ , astfel încât acesta se rotește în jurul axei  $Ox$  cu  $\theta(x,t)$  ca în figura 4.4.1.a,b.

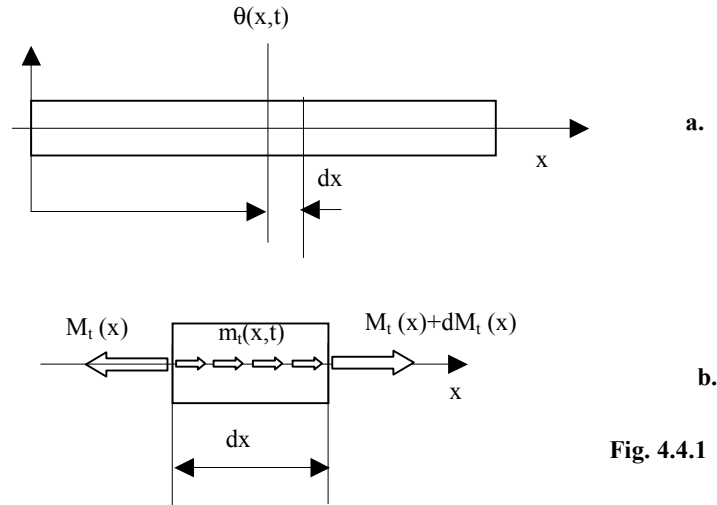


Fig. 4.4.1

Conform principiului d'Alembert, ecuația de echilibru dinamic a momentelor care acționează asupra elementului de lungime  $dx$  este (fig. 4.4.1.b):

$$-\rho I_p \frac{\partial^2 \theta}{\partial t^2} dx + m_t(x,t) dx - M_t + M_t + dM_t = 0 \quad (4.4.1)$$

Ținând seama că diferențiala efortului torsional  $dM_t$  se scrie:

$$dM_t = \frac{\partial M_t}{\partial x} dx \quad (4.4.2)$$

și relația dintre efortul torsional  $M_t$  și rotirea  $\theta(x,t)$  se scrie:

$$M_t = GI_p \frac{\partial \theta}{\partial x} \quad (4.4.3)$$

înlocuind în ecuația (4.4.1) se obține:

$$\frac{\partial^2 \theta}{\partial x^2} - \frac{1}{c^2} \frac{\partial^2 \theta}{\partial t^2} = -\frac{m_t(x,t)}{GI_p} \quad (4.4.4)$$

unde s-a notat  $c = \sqrt{\frac{G}{\rho}}$

S-a obținut așadar o ecuație diferențială de aceeași formă cu cea de la vibrațiile longitudinale ale firelor și barelor.

#### 4.4.1. Vibrații torsionale libere

Ecuația diferențială a vibrațiilor torsionale (4.4.4) se scrie:

$$\frac{\partial^2 \theta}{\partial x^2} - \frac{1}{c^2} \frac{\partial^2 \theta}{\partial t^2} = 0 \quad (4.4.5)$$

Condițiile inițiale se scriu:

$$\theta(x, t)|_{t=0} = g_1(x) \quad (4.4.6)$$

$$\left. \frac{\partial \theta(x, t)}{\partial t} \right|_{t=0} = g_2(x) \quad (4.4.7)$$

soluția prin metoda d'Alembert este de forma:

$$\theta(x, t) = \frac{1}{2} [g_1(x - ct) + g_1(x + ct)] + \int_{x-ct}^{x+ct} g_2(\xi) d\xi \quad (4.4.8)$$

iar prin metoda Bernoulli-Fourier:

$$\theta(x, t) = \sum_{n=1}^{\infty} D_n \sin\left(\frac{n\pi x}{L}\right) \cos(p_n t - \varphi_n) \quad (4.4.9)$$

unde  $D_n$  și  $\varphi_n$  se determină din *condițiile inițiale* iar  $p_n$  sunt pulsațiile proprii.

Dacă se consideră că bara vibrează după un singur mod de vibrație, rotirea se scrie:

$$\begin{cases} \theta(x, t) = Y(x) \cos(pt - \varphi) \\ \theta(x, t) = \left( B \cos \frac{p}{c} x + D \sin \frac{p}{c} x \right) \cos(pt - \varphi) \end{cases} \Leftrightarrow \quad (4.4.10)$$

iar efortul axial de torsiune se scrie:

$$\begin{cases} M_t(x, t) = GI_p \frac{\partial \theta(x, t)}{\partial x} = GI_p \cdot Y'(x) \cos(pt - \varphi) \\ M_t(x, t) = \frac{p}{c} GI_p \left( -B \sin \frac{p}{c} x + D \cos \frac{p}{c} x \right) \cos(pt - \varphi) \end{cases} \quad (4.4.11)$$

*Condițiile la limită* la capete se scriu:

➤ pentru deplasări:

$$\begin{cases} x = 0 \Rightarrow \theta(0, t) = \theta_1 \cos(pt - \varphi) \\ x = L \Rightarrow \theta(L, t) = \theta_2 \cos(pt - \varphi) \end{cases} \quad (4.4.12)$$

➤ pentru eforturile axiale:

$$\begin{cases} x=0 & \Rightarrow M_t(0,t) = M_1 \cos(pt - \varphi) \\ x=L & \Rightarrow M_t(L,t) = M_2 \cos(pt - \varphi) \end{cases} \quad (4.4.13)$$

Înlocuind condițiile la limită (4.4.12) și (4.4.13) în expresiile rotirii (4.4.10) și ale eforturilor torsionale (4.4.11) se obține:

$$\begin{cases} B = \theta_1 \\ D = \frac{c}{GI_p p} M_1 \end{cases} \Rightarrow \begin{cases} \theta_1 \cos\left(\frac{pL}{c}\right) + M_1 \frac{c}{GI_p p} \sin\left(\frac{pL}{c}\right) = \theta_2 \\ -\theta_1 \frac{GI_p p}{c} \sin\left(\frac{pL}{c}\right) + M_1 \cos\left(\frac{pL}{c}\right) = M_2 \end{cases} \quad (4.4.14)$$

Relațiile de legătură dintre valorile amplitudinilor deplasărilor și eforturilor axiale de la capetele unui tronson (4.4.14) se mai scriu matriceal sub forma:

$$\begin{Bmatrix} \theta_2 \\ M_2 \end{Bmatrix} = \begin{bmatrix} \cos\left(\frac{pL}{c}\right) & \frac{c}{EAp} \sin\left(\frac{pL}{c}\right) \\ -\frac{EAp}{c} \sin\left(\frac{pL}{c}\right) & \cos\left(\frac{pL}{c}\right) \end{bmatrix} \begin{Bmatrix} \theta_1 \\ M_1 \end{Bmatrix} \quad (4.4.15)$$

Acestea sunt relații generale pentru rezolvarea unei probleme de vibrații torsionale ale unei bare de secțiune circulară constantă sau variabilă în trepte, cu sau fără mase concentrate.

### Exemplul 1.

**Bara liberă la ambele capete** (fig. 4.4.2)

$\rho, G, I_p, L$

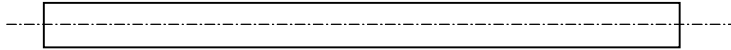


Fig. 4.4.2

condițiile la limită sunt:  $M_1 = 0; M_2 = 0$  și relația (4.4.14) devine:

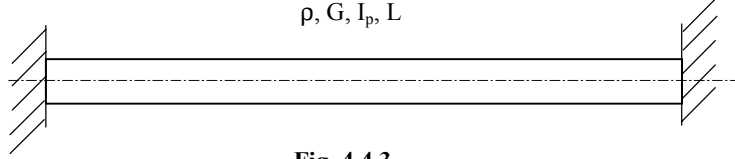
$$-\theta_1 \frac{GI_p p}{c} \sin\frac{pL}{c} = 0 \Rightarrow \frac{p_n L}{c} = n\pi \Rightarrow p_n = \frac{n\pi c}{L} \quad (4.4.16)$$

Din relația (4.4.11) se obține:

$$M_t(0,t) = \frac{p}{c} GI_p D \cos(pt - \varphi) = 0 \Rightarrow D = 0 \quad (4.4.17)$$

Funcțiile proprii corespunzătoare sunt:

$$\begin{aligned} \theta(x,t) &= \left( B_n \cos\frac{p_n}{c} x \right) \cos(pt - \varphi) \Rightarrow \\ \psi_n &= \cos\frac{p_n}{c} x \Rightarrow \psi_n = \cos\frac{n\pi}{L} x \end{aligned} \quad (4.4.18)$$

**Exemplul 2.****Bara fixată la ambele capete** (fig. 4.4.3) $\rho, G, I_p, L$ **Fig. 4.4.3**Condițiile la limită sunt  $\theta_1 = 0; \theta_2 = 0$  și relația (4.4.14) devine:

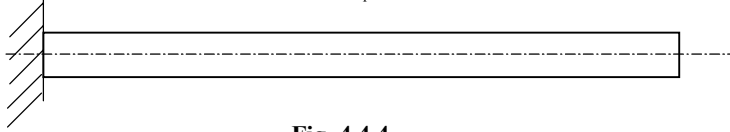
$$M_1 \frac{c}{GI_p} \sin \frac{pL}{c} = 0 \Rightarrow \frac{p_n L}{c} = n\pi \Rightarrow p_n = \frac{n\pi c}{L} \quad (4.4.19)$$

Din relația (4.4.10) se obține:

$$\theta(0, t) = B \cos(pt - \varphi) = 0 \Rightarrow B = 0 \quad (4.4.20)$$

Funcțiile proprii corespunzătoare sunt:

$$\begin{aligned} \theta(x, t) &= \left( D_n \sin \frac{p_n}{c} x \right) \cos(pt - \varphi) \Rightarrow \\ \psi_n &= \sin \frac{p_n}{c} x \Rightarrow \psi_n = \sin \frac{n\pi}{L} x \end{aligned} \quad (4.4.21)$$

**Exemplul 3.****Bara fixată la un capăt și liberă la celălalt** (fig. 4.4.4) $\rho, G, I_p, L$ **Fig. 4.4.4**condițiile la limită sunt:  $\theta_1 = 0; M_2 = 0$  și relația (4.4.14) devine:

$$M_1 \cos \frac{pL}{c} = 0 \Rightarrow \frac{p_n L}{c} = \frac{2n-1}{2} \pi \Rightarrow p_n = \frac{(2n-1)\pi c}{2L} \quad (4.4.22)$$

Din relația (4.4.11) se obține:  $\theta(0, t) = B \cos(pt - \varphi) = 0 \Rightarrow B = 0$  (4.4.23)

Funcțiile proprii corespunzătoare sunt:

$$\begin{aligned} \theta(x, t) &= \left( D_n \sin \frac{p_n}{c} x \right) \cos(pt - \varphi) \Rightarrow \\ \psi_n &= \sin \frac{p_n}{c} x \Rightarrow \psi_n = \sin \frac{(2n-1)\pi}{2L} x \end{aligned} \quad (4.4.24)$$

**Exemplul 4.**

Bara fixată la unul din capete iar la celălalt capăt liberă, având secțiunea în trepte (fig. 4.3.5).

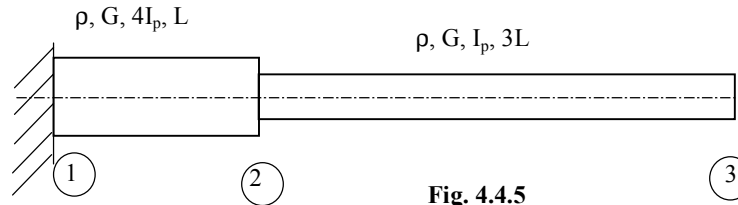


Fig. 4.4.5

Condițiile la limită sunt:

$\theta_1 = 0$ ;  $M_3 = 0$  și relația (4.4.14) se scrie:

$$\begin{aligned} \text{tronsoan 1-2: } & \begin{cases} M_1 \frac{c}{GI_{p1}p} \sin\left(\frac{pL_1}{c}\right) = \theta_2 \\ M_1 \cos\left(\frac{pL_1}{c}\right) = M_2 \end{cases} \\ \text{tronsoan 2-3: } & \begin{cases} \theta_2 \cos\left(\frac{pL_2}{c}\right) + M_2 \frac{c}{GI_{p2}p} \sin\left(\frac{pL_2}{c}\right) = \theta_3 \\ -\theta_2 \frac{GI_{p2}p}{c} \sin\left(\frac{pL_2}{c}\right) + M_2 \cos\left(\frac{pL_2}{c}\right) = 0 \end{cases} \end{aligned} \quad (4.4.25)$$

Din primele două ecuații și din ecuația a patra (4.4.25) rezultă:

$$\begin{cases} \frac{c}{GI_{p1}p} \operatorname{tg} \frac{pL_1}{c} = \frac{\theta_2}{M_2} \\ \frac{\theta_2}{M_2} \frac{GI_{p2}p}{c} \operatorname{tg} \frac{pL_2}{c} = 1 \end{cases} \Rightarrow \operatorname{tg} \frac{pL_1}{c} \operatorname{tg} \frac{pL_2}{c} = \frac{I_{p1}}{I_{p2}} \quad (4.4.26)$$

Pentru cazul particular din figura 4.3.5 ( $L_1=L$ ,  $L_2=3L$ ,  $I_{p1}=4I_p$ ,  $I_{p2}=I_p$ ) se obține ecuația transcendentă:

$$4 \operatorname{tg} 3x = \frac{1}{\operatorname{tg} x}, \quad x = \frac{pL}{c} \quad (4.4.27)$$

iar soluțiile ecuației (4.4.27) se determină grafic din fig. 4.4.6 cu ajutorul programului Mathcad:

$$\begin{aligned} \text{root}\left(4 \tan(3x) - \frac{1}{\tan(x)}, x, 0.1, 0.4\right) &= 0.255 & \text{root}\left(4 \tan(3x) - \frac{1}{\tan(x)}, x, 1, 1.3\right) &= 1.09 \\ \text{root}\left(4 \tan(3x) - \frac{1}{\tan(x)}, x, 2, 2.2\right) &= 2.051 & \text{root}\left(4 \tan(3x) - \frac{1}{\tan(x)}, x, 2.8, 3\right) &= 2.887 \\ \text{root}\left(4 \tan(3x) - \frac{1}{\tan(x)}, x, 3.3, 3.4\right) &= 3.396 & \text{root}\left(4 \tan(3x) - \frac{1}{\tan(x)}, x, 4, 4.5\right) &= 4.232 \end{aligned}$$

Se obțin astfel primele 6 pulsații proprii:

$$\begin{aligned} p_1 &= \frac{0,255}{L} \sqrt{\frac{G}{\rho}}; & p_2 &= \frac{1,09}{L} \sqrt{\frac{G}{\rho}}; & p_3 &= \frac{2,051}{L} \sqrt{\frac{G}{\rho}}; \\ p_4 &= \frac{2,887}{L} \sqrt{\frac{G}{\rho}}; & p_5 &= \frac{3,396}{L} \sqrt{\frac{G}{\rho}}; & p_6 &= \frac{4,232}{L} \sqrt{\frac{G}{\rho}}. \end{aligned} \quad (4.4.28)$$

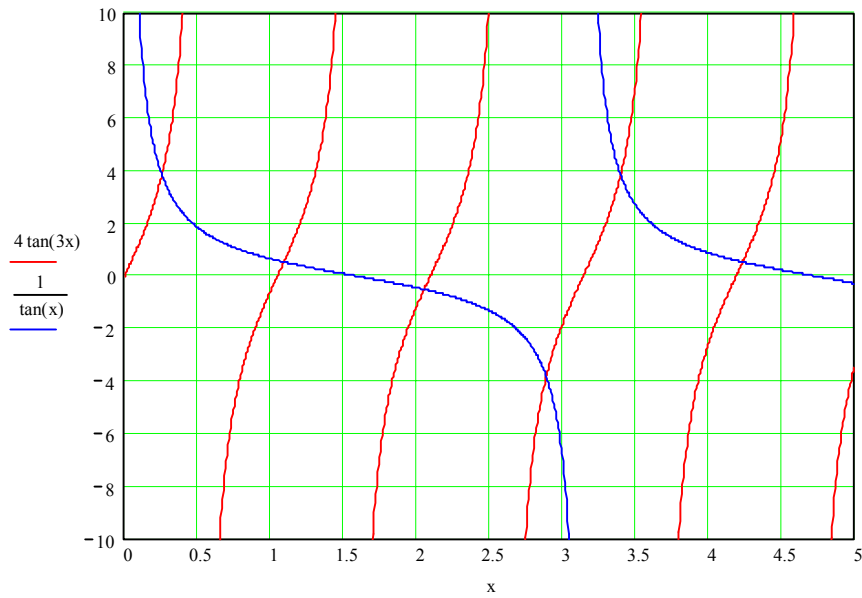


Fig. 4.4.6. Obținerea soluțiilor pentru primele 6 pulsații proprii

**Exemplul 5.**

Bara liberă având la capete doi volanți de momente de inerție  $J_1$  și  $J_2$  (fig. 4.4.7) condițiile la limită rezultă din egalitatea dintre amplitudinile momentelor  $M_1$  și  $M_2$  și cuplurile de inerție corespunzătoare ale celor doi volanți:

$$M_1 = -J_1 \frac{\partial^2 \theta}{\partial t^2} \Big|_{x=0} = p^2 J_1 \theta_1; \quad M_2 = -J_2 \frac{\partial^2 \theta}{\partial t^2} \Big|_{x=L} = p^2 J_2 \theta_2 \quad (4.4.29)$$

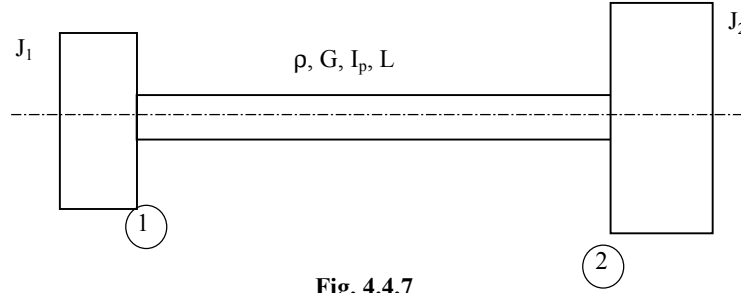


Fig. 4.4.7

și relația (4.4.14) se scrie:

$$\begin{cases} \theta_1 \cos\left(\frac{pL}{c}\right) + \theta_1 \frac{J_1 c p}{G I_p} \sin\left(\frac{pL}{c}\right) = \theta_2 \\ -\theta_1 \frac{G I_p p}{c} \sin\left(\frac{pL}{c}\right) + \theta_1 p^2 J_1 \cos\left(\frac{pL}{c}\right) = p^2 J_2 \theta_2 \end{cases} \quad (4.4.30)$$

Ecuatiile (4.4.30) se mai scriu:

$$\begin{cases} \theta_1 \cos\left(\frac{pL}{c}\right) + \theta_1 \frac{J_1 c p}{G I_p} \sin\left(\frac{pL}{c}\right) = \theta_2 \\ -\theta_1 \frac{G I_p p}{J_2 c p} \sin\left(\frac{pL}{c}\right) + \theta_1 \frac{J_1}{J_2} \cos\left(\frac{pL}{c}\right) = \theta_2 \end{cases} \Rightarrow \quad (4.4.30)$$

$$\Rightarrow \left(1 - \frac{J_1}{J_2}\right) \cos\left(\frac{pL}{c}\right) + \left(\frac{J_1 c p}{G I_p} + \frac{G I_p}{J_2 c p}\right) \sin\left(\frac{pL}{c}\right) = 0$$

Dacă se notează:  $J_b = \rho I_p L$  momentul de inerție al barei de secțiune circulară atunci ecuația (4.4.30) se mai scrie:

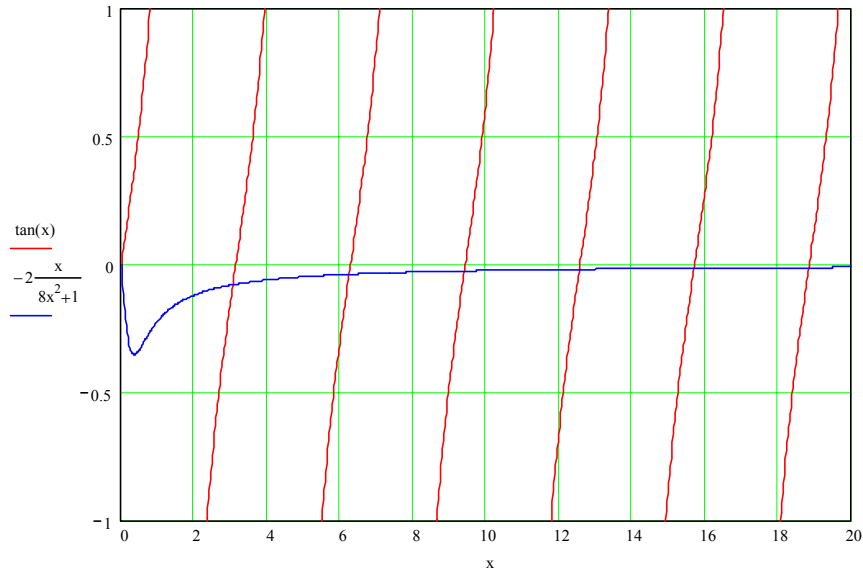
$$\begin{aligned} \left(1 - \frac{J_1}{J_2}\right) \cos x + \left(\frac{J_1}{J_b} x + \frac{J_b}{J_2} \frac{1}{x}\right) \sin x &= 0 \Leftrightarrow \\ \left(\frac{J_1}{J_b} x + \frac{J_b}{J_2} \frac{1}{x}\right) &= \left(\frac{J_1}{J_2} - 1\right) \frac{1}{\tan x}, \quad x = \frac{pL}{c} \end{aligned} \quad (4.4.31)$$



Pentru cazul particular  $J_b = J$ ,  $J_1 = 2J$ ,  $J_2 = 4J$  se obține ecuația transcendentă a pulsațiilor proprii:

$$2x + \frac{1}{4x} = -\frac{1}{2 \cdot \operatorname{tg} x} \Leftrightarrow \operatorname{tg} x = -\frac{2x}{8x^2 + 1} \quad (4.4.32)$$

iar soluțiile ecuației (4.4.32) se determină grafic din fig. 4.4.8 cu ajutorul programului Mathcad:



$$\begin{aligned} \operatorname{root}\left(\tan(x) + 2\frac{x}{8x^2 + 1}, x, 2.8, 3.2\right) &= 3.061 & \operatorname{root}\left(\tan(x) + 2\frac{x}{8x^2 + 1}, x, 6, 7\right) &= 6.243 \\ \operatorname{root}\left(\tan(x) + 2\frac{x}{8x^2 + 1}, x, 9, 10\right) &= 9.398 & \operatorname{root}\left(\tan(x) + 2\frac{x}{8x^2 + 1}, x, 12, 13\right) &= 12.546 \end{aligned}$$

**Fig. 4.4.8. Obținerea soluțiilor pentru primele 6 pulsații proprii**

Se obțin astfel primele 6 pulsații proprii:

$$\begin{aligned} p_1 &= \frac{3,061}{L} \sqrt{\frac{G}{\rho}}; & p_2 &= \frac{6,243}{L} \sqrt{\frac{G}{\rho}}; \\ p_3 &= \frac{9,398}{L} \sqrt{\frac{G}{\rho}}; & p_4 &= \frac{12,546}{L} \sqrt{\frac{G}{\rho}}; \end{aligned} \quad (4.4.33)$$

Pentru  $n \geq 4$  se poate aproxima:  $p_n = \frac{n\pi}{L} \sqrt{\frac{G}{\rho}}$

#### 4.4.2. Vibrații torsionale forțate

În cazul vibrațiilor forțate cu momente perturbatoare armonice distribuite  $m_t = m_{t0} \cos \omega t$  soluția staționară se obține în același mod ca la vibrațiile longitudinale și este de forma:

$$\theta(x, t) = \frac{2c^2 \cos \omega t}{L G I_p} \sum_{m=1}^{\infty} \frac{\psi_m(x)}{p_m^2 - \omega^2} \int_0^L m_{t0}(x) \psi_m(x) dx \quad (4.4.34)$$

În cazul vibrațiilor forțate cu momente perturbatoare armonice concentrate în  $x_0$  de forma  $M_t = M_{t0} \cos \omega t$  se obține soluția staționară de forma:

$$\theta(x, t) = \frac{2M_{t0} c^2 \cos \omega t}{L G I_p} \sum_{m=1}^{\infty} \frac{\psi_m(x) \psi_m(x_0)}{p_m^2 - \omega^2} \quad (4.4.35)$$

#### Exemplu

Să se determine pulsațiile și modurile proprii de vibrații longitudinale ale unei bare de lungime  $L$  având secțiunea constantă, modulul de elasticitate  $E$  și densitatea  $\rho$  cunoscute, fixată la unul din capete iar la celălalt capăt acționează o forță armonică concentrată  $F = F_0 \cos \omega t$  (fig. 4.4.9).

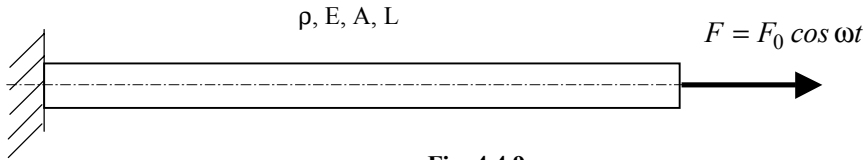


Fig. 4.4.9

Funcțiile proprii și pulsațiile proprii determinate conform (4.4.22) și (4.4.23) sunt:

$$p_m = (2m-1) \frac{\pi c}{2L} \quad \text{respectiv:} \quad (4.4.36)$$

$$\psi_m(x) = \sin \frac{(2m-1)\pi}{2L} x, \quad m=1, 2, \dots \quad (4.4.37)$$

Valoarea în punctul  $x_0 = L$  a funcțiilor proprii  $\psi_m(x)$  este:

$$\psi_m(x_0) = \sin \frac{(2n+1)\pi}{2L} L = (-1)^m \quad (4.4.38)$$

Soluția staționară a vibrațiilor conform (4.4.37) va fi:

$$u(x, t) = \frac{2F_0 c^2 \cos \omega t}{L E A} \sum_{m=1}^{\infty} \frac{(-1)^m}{p_m^2 - \omega^2} \sin \frac{(2m-1)\pi}{2L} x \quad (4.4.39)$$

### 4.5. Vibrațiile transversale ale barelor drepte

Se consideră o bară omogenă prismatică cu un plan de simetrie și un element din această bară de lungime  $dx$  situat la distanța  $x$  de capătul barei. Se notează cu  $w(x,t)$  deplasările secțiunii față de poziția de echilibru. Asupra acestui element acționează o forță perturbatoare distribuită  $f(x,t)$  pe direcția axei Oz ca în figura 4.5.1.a,b.

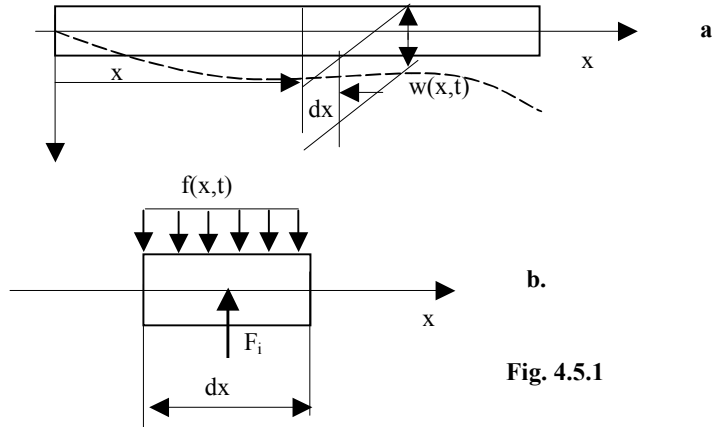


Fig. 4.5.1

Se ține seama de relația dintre efortul încovoiător  $M_i(x)$  corespunzător secțiunii aflată la distanța  $x$  de capătul barei și deplasarea  $w(x)$  pentru încovoierea barelor drepte care are forma:

$$\frac{\partial^2 w}{\partial x^2} = -\frac{M_i}{EI} \quad (4.5.1)$$

și de relația dintre efortul încovoiător  $M_i$  și sarcina distribuită  $q(x)$ :

$$\frac{\partial^2 M_i}{\partial x^2} = \frac{\partial T}{\partial x} = -q(x) \quad (4.5.2)$$

Forța elementară distribuită  $dF=q(x)dx$  se poate exprima ca suma dintre forța perturbatoare ce acționează asupra elementului și forța de inerție corespunzătoare (fig. 4.5.1.b):

$$q(x,t)dx = f(x,t)dx - \frac{\partial^2 w}{\partial t^2} dm \quad (4.5.3)$$

Derivând de două ori relația (4.5.1) și înlocuind în relația (4.5.2) și apoi în relația (4.5.3) se obține:

$$-\frac{\partial^2 w}{\partial t^2} dm + f(x,t)dx = EI \frac{\partial^4 w}{\partial x^4} \quad (4.5.4)$$

Ținând seama că  $dm = \rho A dx$  și notând  $\frac{\rho A}{EI} = \beta^2$  se obține ecuația diferențială a vibrațiilor transversale a barelor prismatice:

$$\frac{\partial^4 w}{\partial x^4} + \beta^2 \frac{\partial^2 w}{\partial t^2} = \frac{f(x, t)}{EI} \quad (4.5.5)$$

#### 4.5.1. Vibrațiile transversale libere

Ecuția diferențială a vibrațiilor transversale libere se scrie:

$$\frac{\partial^4 w}{\partial x^4} + \beta^2 \frac{\partial^2 w}{\partial t^2} = 0 \quad (4.5.6)$$

având soluții de forma (prin metoda Bernoulli Fourier):

$$w(x, t) = Y(x) \cos(pt - \varphi) \quad (4.5.7)$$

Înlocuind în ecuația (4.5.7) se obține:

$$\left[ \frac{\partial^4 Y(x)}{\partial x^4} - \beta^2 p^2 Y(x) \right] \cos(pt - \varphi) = 0 \quad (4.5.8)$$

rezultă așadar o ecuație diferențială de o singură variabilă, omogenă de ordinul IV:

$$\frac{\partial^4 Y(x)}{\partial x^4} - \beta^2 p^2 Y(x) = 0 \quad (4.5.9)$$

Ecuția caracteristică corespunzătoare este:

$$r^4 - \alpha^4 = 0; \quad (4.5.10)$$

$$\text{unde:} \quad \alpha^4 = \beta^2 p^2 \quad (4.5.11)$$

cu rădăcinile:

$$\begin{aligned} r_{1,2} &= \pm \alpha; \\ r_{3,4} &= \pm i\alpha; \quad (i = \sqrt{-1}) \end{aligned} \quad (4.5.12)$$

Soluțiile sunt de forma:

$$Y(x) = A_1 \operatorname{ch}(\alpha x) + A_2 \operatorname{sh}(\alpha x) + A_3 \cos(\alpha x) + A_4 \sin(\alpha x). \quad (4.5.13)$$

sau de forma:

$$Y(x) = C_1 f_1(x) + C_2 f_2(x) + C_3 f_3(x) + C_4 f_4(x) \quad (4.5.14)$$

unde  $f_1(\alpha x)$ ,  $f_2(\alpha x)$ ,  $f_3(\alpha x)$ ,  $f_4(\alpha x)$  sunt funcțiile lui Krilov definite astfel:

$$\left\{ \begin{aligned} f_1(\alpha x) &= \frac{1}{2}(\operatorname{ch}\alpha x + \cos\alpha x) \\ f_2(\alpha x) &= \frac{1}{2}(\operatorname{sh}\alpha x + \sin\alpha x) \\ f_3(\alpha x) &= \frac{1}{2}(\operatorname{ch}\alpha x - \cos\alpha x) \\ f_4(\alpha x) &= \frac{1}{2}(\operatorname{sh}\alpha x - \sin\alpha x) \end{aligned} \right\} \Rightarrow \left\{ \begin{aligned} f_1'(\alpha x) &= \frac{1}{2}\alpha(\operatorname{sh}\alpha x - \sin\alpha x) = \alpha f_4(\alpha x) \\ f_2'(\alpha x) &= \frac{1}{2}(\operatorname{ch}\alpha x + \cos\alpha x) = \alpha f_1(\alpha x) \\ f_3'(\alpha x) &= \frac{1}{2}(\operatorname{sh}\alpha x + \sin\alpha x) = \alpha f_2(\alpha x) \\ f_4'(\alpha x) &= \frac{1}{2}(\operatorname{ch}\alpha x - \cos\alpha x) = \alpha f_3(\alpha x) \end{aligned} \right. \quad (4.5.15)$$

Constantele de integrare  $C_1, \dots, C_4$  se determină din condițiile la limită care se pot scrie de exemplu în capătul din stânga al barei ( $x=0$ ) astfel:

$$\begin{cases} Y(0) = C_1 f_1(0) + C_2 f_2(0) + C_3 f_3(0) + C_4 f_4(0) = C_1 \\ Y'(0) = \alpha C_1 f_4(0) + \alpha C_2 f_1(0) + \alpha C_3 f_2(0) + \alpha C_4 f_3(0) = \alpha C_2 \\ Y''(0) = \alpha^2 C_1 f_3(0) + \alpha^2 C_2 f_4(0) + \alpha^2 C_3 f_1(0) + \alpha^2 C_4 f_2(0) = \alpha^2 C_3 \\ Y'''(0) = \alpha^3 C_1 f_2(0) + \alpha^3 C_2 f_3(0) + \alpha^3 C_3 f_4(0) + \alpha^3 C_4 f_1(0) = \alpha^3 C_4 \end{cases} \quad (4.5.16)$$

$$\Rightarrow C_1 = Y(0); \quad C_2 = \frac{1}{\alpha} Y'(0); \quad C_3 = \frac{1}{\alpha^2} Y''(0); \quad C_4 = \frac{1}{\alpha^3} Y'''(0)$$

Soluția ecuației diferențiale (4.5.10) se poate scrie în funcție de aceste condiții sub forma:

$$Y(x) = Y(0) f_1(\alpha x) + \frac{1}{\alpha} Y'(0) f_2(\alpha x) + \frac{1}{\alpha^2} Y''(0) f_3(\alpha x) + \frac{1}{\alpha^3} Y'''(0) f_4(\alpha x) \quad (4.5.17)$$

Aceste condiții la limită ( $x=0$ ) precum și cele corespunzătoare capătului din dreapta al barei ( $x=L$ ), conform soluției generale (4.5.8), se referă la:

- amplitudinile deplasărilor la capetele barei:  $w_1 = Y(0), \quad w_2 = Y(L)$ ;
- amplitudinile rotiilor la capetele barei:  $\phi_1 = Y'(0), \quad \phi_2 = Y'(L)$ ;
- amplitudinile eforturilor  $M_i$  la capetele barei:

$$M_1 = -EI \cdot Y''(0); \quad M_2 = -EI \cdot Y''(L);$$

- amplitudinile eforturilor  $T_i$  la capetele barei:

$$T_1 = -EI \cdot Y'''(0); \quad T_2 = -EI \cdot Y'''(L);$$

Rezultă un sistem de ecuații omogen având ca necunoscute constantele de integrare  $C_1, \dots, C_4$  care admite soluții diferite de cea banală dacă determinantul său este nul. Se obține astfel o ecuație transcendentă în  $\alpha$  care reprezintă ecuația

$$\text{pulsățiilor proprii} \left( p_n = \frac{\alpha_n^2}{\beta} \right).$$

După ce se determină constantele de integrare  $C_1, \dots, C_4$  și se introduc pulsațiile proprii  $p_n$  determinate mai sus, se obțin modurile proprii de vibrație:

$$w_n(x, t) = \psi_n(x) \cos(p_n t - \phi_n) \quad (4.5.18)$$

Soluția generală a ecuației vibrațiilor transversale se scrie:

$$w(x, t) = \sum_{n=1}^{\infty} D_n \psi_n \cos(p_n t - \phi_n) \quad (4.5.19)$$

unde constantele:  $D_1, D_2, \dots, D_n, \dots$  și  $\phi_1, \phi_2, \dots, \phi_n, \dots$  se determină din condițiile inițiale (la  $t=0$ ):

$$\begin{cases} w(x, 0) = g_1(x) \\ \left. \frac{\partial w(x, t)}{\partial t} \right|_{t=0} = g_2(x) \end{cases} \quad (4.5.20)$$

Înlocuind (4.5.19) în (4.5.20) rezultă

$$\begin{cases} \sum_{n=1}^{\infty} D_n \psi_n \cos(\varphi_n) = g_1(x) \\ \sum_{n=1}^{\infty} p_n D_n \psi_n \sin(\varphi_n) = g_2(x) \end{cases} \quad (4.5.21)$$

Se înmulțesc ecuațiile (4.5.21) cu  $\psi_m$ , se integrează pe intervalul  $[0, L]$  și se ține seama de ortogonalitatea modurilor proprii de vibrație:

$$\int_0^L \psi_n \psi_m dx = \begin{cases} 0 & \text{daca } m \neq n \\ \lambda_m & \text{daca } m = n \end{cases} \quad (4.5.22)$$

obținându-se:

$$\begin{cases} \lambda_m D_m \cos(\varphi_m) = \int_0^L g_1(x) \psi_m dx \\ \lambda_m p_m D_m \sin(\varphi_m) = \int_0^L g_2(x) \psi_m dx \end{cases} \quad (4.5.23)$$

$$m = 1, 2, 3, \dots, n, \dots$$

Rezultă imediat constantele de integrare  $D_1, D_2, \dots, D_n, \dots$   $\varphi_1, \varphi_2, \dots, \varphi_n, \dots$ :

$$tg(\varphi_m) = \frac{1}{p_m} \frac{\int_0^L g_2(x) \psi_m dx}{\int_0^L g_1(x) \psi_m dx}; \quad D_m = \frac{1}{\lambda_m \cos(\varphi_m)} \int_0^L g_1(x) \psi_m dx \quad (4.5.24)$$

$$m = 1, 2, 3, \dots, n, \dots$$

Din expresiile deplasării, rotirilor, eforturilor încovoietoare și tăietoare rezultă că acestea sunt sincrone și în fază:

$$\begin{aligned} w(x, t) &= Y(x) \cos(pt - \varphi) \\ \varphi(x, t) &= Y'(x) \cos(pt - \varphi) \\ M(x, t) &= -EI \cdot Y''(x) \cos(pt - \varphi) \\ T(x, t) &= -EI \cdot Y'''(x) \cos(pt - \varphi) \end{aligned} \quad (4.5.25)$$

Amplitudinile acestor funcții la capetele barei conform (4.5.25) se scriu:

➤ pentru capătul din stânga ( $x=0$ ):

$$\begin{cases} w(0,t) = w_1 \cos(pt - \varphi) \\ \varphi(0,t) = \varphi_1 \cos(pt - \varphi) \\ M(0,t) = M_1 \cos(pt - \varphi) \\ T(0,t) = T_1 \cos(pt - \varphi) \end{cases} \quad (4.5.26)$$

➤ pentru capătul din dreapta ( $x=L$ ):

$$\begin{cases} w(L,t) = w_2 \cos(pt - \varphi) \\ \varphi(L,t) = \varphi_2 \cos(pt - \varphi) \\ M(L,t) = M_2 \cos(pt - \varphi) \\ T(L,t) = T_2 \cos(pt - \varphi) \end{cases} \quad (4.5.26')$$

Relația (4.5.17) se scrie în funcție de aceste amplitudini astfel:

$$Y(x) = Y(0)f_1(\alpha x) + \frac{1}{\alpha} Y'(0)f_2(\alpha x) + \frac{1}{\alpha^2} Y''(0)f_3(\alpha x) + \frac{1}{\alpha^3} Y'''(0)f_4(\alpha x) \quad (4.5.27)$$

Funcția  $Y(x)$  și derivatele funcției dată de relația (4.5.27) se mai scriu:

$$\begin{cases} Y(x) = w_1 f_1(\alpha x) + \frac{1}{\alpha} \varphi_1 f_2(\alpha x) - \frac{1}{\alpha^2 EI} M_1 \cdot f_3(\alpha x) - \frac{1}{\alpha^3 EI} T_1 \cdot f_4(\alpha x) \\ Y'(x) = w_1 \alpha f_4(\alpha x) + \varphi_1 f_1(\alpha x) - \frac{1}{\alpha EI} M_1 \cdot f_2(\alpha x) - \frac{1}{\alpha^2 EI} T_1 \cdot f_3(\alpha x) \\ Y''(x) = w_1 \alpha^2 f_3(\alpha x) + \varphi_1 \alpha f_4(\alpha x) - \frac{1}{EI} M_1 \cdot f_1(\alpha x) - \frac{1}{\alpha EI} T_1 \cdot f_2(\alpha x) \\ Y'''(x) = w_1 \alpha^3 f_2(\alpha x) + \varphi_1 \alpha^2 f_3(\alpha x) - \frac{1}{EI} \alpha M_1 \cdot f_4(\alpha x) - \frac{1}{EI} T_1 \cdot f_1(\alpha x) \end{cases} \quad (4.5.28)$$

Înlocuind aceste expresii în condițiile (4.5.26) se obțin relațiile de legătură dintre amplitudinile celor patru mărimi de la capetele barei:

$$\begin{cases} w_2 = w_1 f_1(\alpha L) + \varphi_1 \frac{1}{\alpha} f_2(\alpha L) - M_1 \cdot \frac{1}{\alpha^2 EI} f_3(\alpha L) - T_1 \cdot \frac{1}{\alpha^3 EI} f_4(\alpha L) \\ \varphi_2 = w_1 \alpha f_4(\alpha L) + \varphi_1 f_1(\alpha L) - M_1 \cdot \frac{1}{\alpha EI} f_2(\alpha L) - T_1 \cdot \frac{1}{\alpha^2 EI} f_3(\alpha L) \\ M_2 = -w_1 EI \alpha^2 f_3(\alpha L) - \varphi_1 EI \alpha f_4(\alpha L) + M_1 \cdot f_1(\alpha L) + T_1 \cdot \frac{1}{\alpha} f_2(\alpha L) \\ T_2 = -w_1 EI \alpha^3 f_2(\alpha L) - \varphi_1 EI \alpha^2 f_3(\alpha L) + M_1 \cdot \alpha f_4(\alpha L) + T_1 \cdot f_1(\alpha L) \end{cases} \quad (4.5.29)$$

Aceste relații se mai pot scrie sub forma generală a relațiilor dintre amplitudinile celor patru mărimi la capetele barei:

$$\begin{cases} w_2 = w_1 f_1(\alpha L) + \frac{\Phi_1}{\alpha} f_2(\alpha L) - \frac{M_1}{\alpha^2 EI} f_3(\alpha L) - \frac{T_1}{\alpha^3 EI} f_4(\alpha L) \\ \frac{\Phi_2}{\alpha} = w_1 f_4(\alpha L) + \frac{\Phi_1}{\alpha} f_1(\alpha L) - \frac{M_1}{\alpha^2 EI} f_2(\alpha L) - \frac{T_1}{\alpha^3 EI} f_3(\alpha L) \\ -\frac{M_2}{\alpha^2 EI} = w_1 f_3(\alpha L) + \frac{\Phi_1}{\alpha} f_4(\alpha L) - \frac{M_1}{\alpha^2 EI} f_1(\alpha L) - \frac{T_1}{\alpha^3 EI} f_2(\alpha L) \\ -\frac{T_2}{\alpha^3 EI} = w_1 f_2(\alpha L) + \frac{\Phi_1}{\alpha} f_3(\alpha L) - \frac{M_1}{\alpha^2 EI} f_4(\alpha L) - \frac{T_1}{\alpha^3 EI} f_1(\alpha L) \end{cases} \quad (4.5.30)$$

sau matriceal sub forma generală:

$$\begin{Bmatrix} w_2 \\ \frac{\Phi_2}{\alpha} \\ -\frac{M_2}{\alpha^2 EI} \\ -\frac{T_2}{\alpha^3 EI} \end{Bmatrix} = \begin{bmatrix} f_1(\alpha L) & f_2(\alpha L) & f_3(\alpha L) & f_4(\alpha L) \\ f_4(\alpha L) & f_1(\alpha L) & f_2(\alpha L) & f_3(\alpha L) \\ f_3(\alpha L) & f_4(\alpha L) & f_1(\alpha L) & f_2(\alpha L) \\ f_2(\alpha L) & f_3(\alpha L) & f_4(\alpha L) & f_1(\alpha L) \end{bmatrix} \cdot \begin{Bmatrix} w_1 \\ \frac{\Phi_1}{\alpha} \\ -\frac{M_1}{\alpha^2 EI} \\ -\frac{T_1}{\alpha^3 EI} \end{Bmatrix} \quad (4.5.31)$$

Cu ajutorul relațiilor (4.5.29), (4.5.30) și (4.5.31) se pot studia vibrațiile libere transversale ale barei pentru diferite cazuri particulare de condiții la limită.

### Exemplul 1.

**Bara liberă la ambele capete** (fig. 4.5.2)

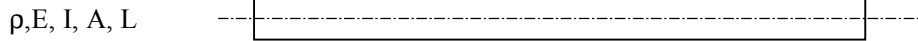


Fig. 4.5.2

Condițiile la limită în acest caz sunt:

$$\begin{aligned} M_1 &= 0; & T_1 &= 0 \\ M_2 &= 0; & T_2 &= 0 \end{aligned} \quad (4.5.32)$$

Ecuția matriceală (4.5.31) se scrie:

$$\begin{Bmatrix} w_2 \\ \frac{\Phi_2}{\alpha} \\ 0 \\ 0 \end{Bmatrix} = \begin{bmatrix} f_1(\alpha L) & f_2(\alpha L) & f_3(\alpha L) & f_4(\alpha L) \\ f_4(\alpha L) & f_1(\alpha L) & f_2(\alpha L) & f_3(\alpha L) \\ f_3(\alpha L) & f_4(\alpha L) & f_1(\alpha L) & f_2(\alpha L) \\ f_2(\alpha L) & f_3(\alpha L) & f_4(\alpha L) & f_1(\alpha L) \end{bmatrix} \cdot \begin{Bmatrix} w_1 \\ \frac{\Phi_1}{\alpha} \\ 0 \\ 0 \end{Bmatrix} \quad (4.5.33)$$

care este echivalentă cu sistemul omogen:



$$\begin{cases} w_1 f_3(\alpha L) + \frac{\Phi_1}{\alpha} f_4(\alpha L) = 0 \\ w_1 f_2(\alpha L) + \frac{\Phi_1}{\alpha} f_3(\alpha L) = 0 \end{cases} \quad (4.5.34)$$

Acest sistem admite soluții nebanale dacă determinantul său este nul:

$$\begin{vmatrix} f_3(\alpha L) & f_4(\alpha L) \\ f_2(\alpha L) & f_3(\alpha L) \end{vmatrix} = 0 \quad \Leftrightarrow \quad f_3^2(\alpha L) - f_2(\alpha L)f_4(\alpha L) = 0$$

$$\frac{1}{4}(ch\alpha L - cos\alpha L)^2 - \frac{1}{4}(sh\alpha L + sin\alpha L)(sh\alpha L - sin\alpha L) = 0 \quad (4.5.35)$$

$$ch^2\alpha L - 2ch\alpha L \cdot cos\alpha L + cos^2\alpha L - sh^2\alpha L + sin^2\alpha L = 0$$

$$unde: ch^2\alpha L - sh^2\alpha L = 1; \quad cos^2\alpha L + sin^2\alpha L = 1$$

se obține următoarea ecuație transcendentă a pulsațiilor proprii:

$$ch\alpha L \cdot cos\alpha L = 1 \quad \Leftrightarrow \quad \frac{1}{ch\alpha L} = cos\alpha L \quad (4.5.36)$$

Soluțiile ecuației (4.5.35) se determină grafic din fig. 4.5.3 :

$$\begin{aligned} \text{root}\left(\cos(x) - \frac{1}{\cosh(x)}, x, 4, 6\right) &= 4.73 & \text{root}\left(\cos(x) - \frac{1}{\cosh(x)}, x, 7, 8\right) &= 7.853 \\ \text{root}\left(\cos(x) - \frac{1}{\cosh(x)}, x, 10.5, 11.5\right) &= 10.996 & \text{root}\left(\cos(x) - \frac{1}{\cosh(x)}, x, 14, 15\right) &= 14.137 \\ \text{root}\left(\cos(x) - \frac{1}{\cosh(x)}, x, 17, 18\right) &= 17.279 & \text{root}\left(\cos(x) - \frac{1}{\cosh(x)}, x, 20, 21\right) &= 20.42 \end{aligned}$$

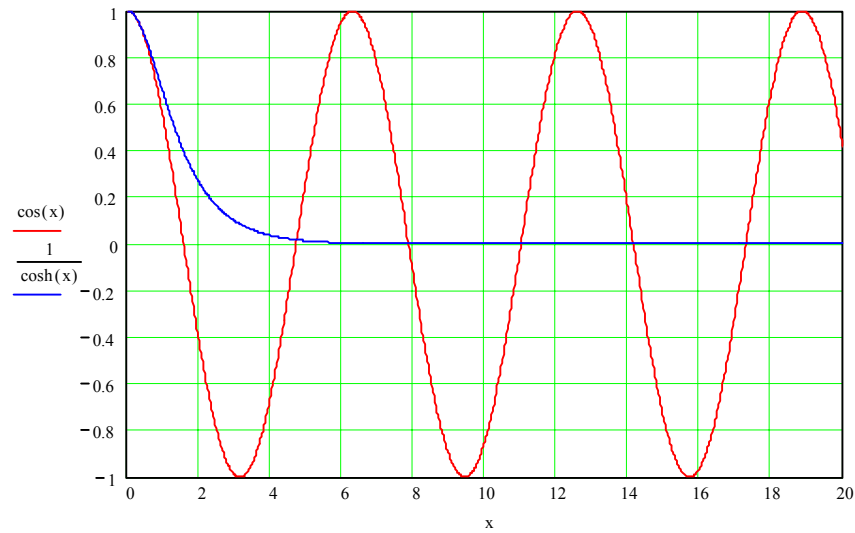


Fig. 4.5.3. Obținerea soluțiilor ecuației 4.5.36

Se obțin astfel primele 6 pulsații proprii:

$$\begin{aligned} p_1 &= \frac{22,373}{L^2} \sqrt{\frac{EI}{\rho A}}; & p_2 &= \frac{61,67}{L^2} \sqrt{\frac{EI}{\rho A}}; & p_3 &= \frac{120,912}{L^2} \sqrt{\frac{EI}{\rho A}}; \\ p_4 &= \frac{199,855}{L^2} \sqrt{\frac{EI}{\rho A}}; & p_5 &= \frac{268,564}{L^2} \sqrt{\frac{EI}{\rho A}}; & p_6 &= \frac{416,976}{L^2} \sqrt{\frac{EI}{\rho A}}; \end{aligned} \quad (4.5.37)$$

### Exemplul 2.

**Bara articulată la ambele capete** (fig. 4.5.3)

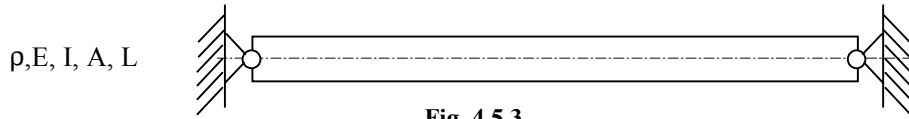


Fig. 4.5.3

Condițiile la limită în acest caz sunt:

$$\begin{aligned} w_1 &= 0; & M_1 &= 0 \\ w_2 &= 0; & M_2 &= 0 \end{aligned} \quad (4.5.38)$$

Ecuția matriceală (4.5.31) se scrie:

$$\begin{Bmatrix} 0 \\ \frac{\Phi_2}{\alpha} \\ 0 \\ -\frac{T_2}{\alpha^3 EI} \end{Bmatrix} = \begin{bmatrix} f_1(\alpha L) & f_2(\alpha L) & f_3(\alpha L) & f_4(\alpha L) \\ f_4(\alpha L) & f_1(\alpha L) & f_2(\alpha L) & f_3(\alpha L) \\ f_3(\alpha L) & f_4(\alpha L) & f_1(\alpha L) & f_2(\alpha L) \\ f_2(\alpha L) & f_3(\alpha L) & f_4(\alpha L) & f_1(\alpha L) \end{bmatrix} \cdot \begin{Bmatrix} 0 \\ \frac{\Phi_1}{\alpha} \\ 0 \\ -\frac{T_1}{\alpha^3 EI} \end{Bmatrix} \quad (4.5.39)$$

care este echivalentă cu sistemul omogen:

$$\begin{cases} \frac{\Phi_1}{\alpha} f_2(\alpha L) - \frac{T_1}{\alpha^3 EI} f_4(\alpha L) = 0 \\ \frac{\Phi_1}{\alpha} f_4(\alpha L) - \frac{T_1}{\alpha^3 EI} f_2(\alpha L) = 0 \end{cases} \quad (4.5.40)$$

Acest sistem admite soluții nebanale dacă determinantul său este nul:

$$\begin{aligned} \begin{vmatrix} f_2(\alpha L) & f_4(\alpha L) \\ f_4(\alpha L) & f_2(\alpha L) \end{vmatrix} &= 0 \quad \Leftrightarrow \quad f_2^2(\alpha L) - f_4^2(\alpha L) = 0 \\ \frac{1}{4}(sh\alpha L + \sin\alpha L)^2 - \frac{1}{4}(sh\alpha L - \sin\alpha L)^2 &= 0 \\ sh\alpha L \cdot \sin\alpha L &= 0 \end{aligned} \quad (4.5.41)$$

se obține următoarea ecuație a pulsațiilor proprii:  $\sin\alpha L = 0$  având soluțiile:

$$\alpha L = n\pi, \quad n=1,2,3,\dots \quad (4.5.42)$$

Rezultă pulsațiile proprii:

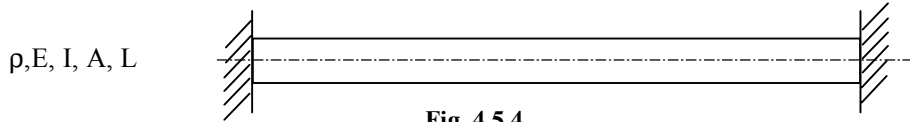
$$p_n = \frac{\alpha_n^2}{\beta} = \left( \frac{n\pi}{L} \right)^2 \sqrt{\frac{EI}{\rho A}} \quad (4.5.43)$$

Se obțin astfel primele 6 pulsații proprii:

$$\begin{aligned} p_1 &= \frac{9,869}{L^2} \sqrt{\frac{EI}{\rho A}}; & p_2 &= \frac{39,478}{L^2} \sqrt{\frac{EI}{\rho A}}; & p_3 &= \frac{88,826}{L^2} \sqrt{\frac{EI}{\rho A}}; \\ p_4 &= \frac{157,913}{L^2} \sqrt{\frac{EI}{\rho A}}; & p_5 &= \frac{246,74}{L^2} \sqrt{\frac{EI}{\rho A}}; & p_6 &= \frac{355,306}{L^2} \sqrt{\frac{EI}{\rho A}}; \end{aligned} \quad (4.5.44)$$

### Exemplul 3.

*Bara încastrată la ambele capete* (fig. 4.5.4)



Condițiile la limită în acest caz sunt:

$$\begin{aligned} w_1 &= 0; & \varphi_1 &= 0 \\ w_2 &= 0; & \varphi_2 &= 0 \end{aligned} \quad (4.5.45)$$

Ecuția matriceală (4.5.31) se scrie:

$$\begin{Bmatrix} 0 \\ 0 \\ -\frac{M_2}{\alpha^2 EI} \\ -\frac{T_2}{\alpha^3 EI} \end{Bmatrix} = \begin{bmatrix} f_1(\alpha L) & f_2(\alpha L) & f_3(\alpha L) & f_4(\alpha L) \\ f_4(\alpha L) & f_1(\alpha L) & f_2(\alpha L) & f_3(\alpha L) \\ f_3(\alpha L) & f_4(\alpha L) & f_1(\alpha L) & f_2(\alpha L) \\ f_2(\alpha L) & f_3(\alpha L) & f_4(\alpha L) & f_1(\alpha L) \end{bmatrix} \cdot \begin{Bmatrix} 0 \\ 0 \\ -\frac{M_1}{\alpha^2 EI} \\ -\frac{T_1}{\alpha^3 EI} \end{Bmatrix} \quad (4.5.46)$$

care este echivalentă cu sistemul omogen:

$$\begin{cases} -\frac{M_1}{\alpha^2 EI} f_3(\alpha L) - \frac{T_1}{\alpha^3 EI} f_4(\alpha L) = 0 \\ -\frac{M_1}{\alpha^2 EI} f_2(\alpha L) - \frac{T_1}{\alpha^3 EI} f_3(\alpha L) = 0 \end{cases} \quad (4.5.47)$$

Acest sistem admite soluții nebanale dacă determinantul său este nul:

$$\begin{aligned} \begin{vmatrix} f_3(\alpha L) & f_4(\alpha L) \\ f_2(\alpha L) & f_3(\alpha L) \end{vmatrix} &= 0 \quad \Leftrightarrow \quad f_3^2(\alpha L) - f_2(\alpha L) f_4(\alpha L) = 0 \\ \frac{1}{4}(ch\alpha L - \cos\alpha L)^2 - \frac{1}{4}(sh\alpha L + \sin\alpha L)(sh\alpha L - \sin\alpha L) &= 0 \\ \Leftrightarrow \quad ch\alpha L \cdot \cos\alpha L &= 1 \end{aligned} \quad (4.5.48)$$

se obține aceeași ecuație transcendentă a pulsațiilor proprii ca în cazul a) și aceleași pulsații proprii. Primele 6 pulsații proprii sunt:

$$\begin{aligned} p_1 &= \frac{22,373}{L^2} \sqrt{\frac{EI}{\rho A}}; & p_2 &= \frac{61,67}{L^2} \sqrt{\frac{EI}{\rho A}}; & p_3 &= \frac{120,912}{L^2} \sqrt{\frac{EI}{\rho A}}; \\ p_4 &= \frac{199,855}{L^2} \sqrt{\frac{EI}{\rho A}}; & p_5 &= \frac{268,564}{L^2} \sqrt{\frac{EI}{\rho A}}; & p_6 &= \frac{416,976}{L^2} \sqrt{\frac{EI}{\rho A}}; \end{aligned} \quad (4.5.49)$$

#### Exemplul 4.

Bara încastrată la un capăt și liberă la celălalt (fig. 4.5.5)

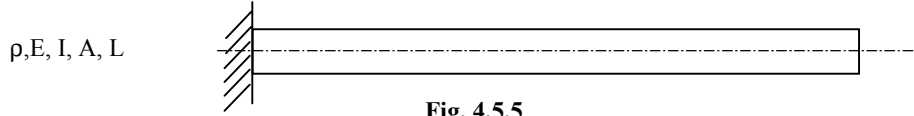


Fig. 4.5.5

Condițiile la limită în acest caz sunt:

$$\begin{aligned} w_1 &= 0; & \varphi_1 &= 0 \\ M_2 &= 0; & T_2 &= 0 \end{aligned} \quad (4.5.50)$$

Ecuația matriceală (4.5.31) se scrie:

$$\begin{Bmatrix} w_2 \\ \varphi_2 \\ 0 \\ 0 \end{Bmatrix} = \begin{bmatrix} f_1(\alpha L) & f_2(\alpha L) & f_3(\alpha L) & f_4(\alpha L) \\ f_4(\alpha L) & f_1(\alpha L) & f_2(\alpha L) & f_3(\alpha L) \\ f_3(\alpha L) & f_4(\alpha L) & f_1(\alpha L) & f_2(\alpha L) \\ f_2(\alpha L) & f_3(\alpha L) & f_4(\alpha L) & f_1(\alpha L) \end{bmatrix} \cdot \begin{Bmatrix} 0 \\ 0 \\ -\frac{M_1}{\alpha^2 EI} \\ -\frac{T_1}{\alpha^3 EI} \end{Bmatrix} \quad (4.5.51)$$

care este echivalentă cu sistemul omogen:

$$\begin{cases} -\frac{M_1}{\alpha^2 EI} f_1(\alpha L) - \frac{T_1}{\alpha^3 EI} f_2(\alpha L) = 0 \\ -\frac{M_1}{\alpha^2 EI} f_4(\alpha L) - \frac{T_1}{\alpha^3 EI} f_1(\alpha L) = 0 \end{cases} \quad (4.5.52)$$

Acest sistem admite soluții nebanale dacă determinantul său este nul:

$$\begin{vmatrix} f_1(\alpha L) & f_2(\alpha L) \\ f_4(\alpha L) & f_1(\alpha L) \end{vmatrix} = 0 \quad \Leftrightarrow \quad f_1^2(\alpha L) - f_2(\alpha L) f_4(\alpha L) = 0 \quad (4.5.53)$$

$$\frac{1}{4}(ch\alpha L + \cos\alpha L)^2 - \frac{1}{4}(sh\alpha L + \sin\alpha L)(sh\alpha L - \sin\alpha L) = 0$$

Rezultă următoarea ecuație transcendentă a pulsațiilor proprii:

$$ch\alpha L \cdot \cos\alpha L = -1 \quad \Leftrightarrow \quad \cos\alpha L = -\frac{1}{ch\alpha L} \quad (4.5.54)$$

Soluțiile ecuației (4.5.54) se determină grafic din fig. 4.5.6 :

$$\text{root}\left(\cos(x) + \frac{1}{\cosh(x)}, x, 1, 2\right) = 1.875$$

$$\text{root}\left(\cos(x) + \frac{1}{\cosh(x)}, x, 4, 5\right) = 4.694$$

$$\text{root}\left(\cos(x) + \frac{1}{\cosh(x)}, x, 7, 8\right) = 7.855$$

$$\text{root}\left(\cos(x) + \frac{1}{\cosh(x)}, x, 10.5, 11.5\right) = 10.996$$

$$\text{root}\left(\cos(x) + \frac{1}{\cosh(x)}, x, 14, 15\right) = 14.137$$

$$\text{root}\left(\cos(x) + \frac{1}{\cosh(x)}, x, 17, 18\right) = 17.279$$

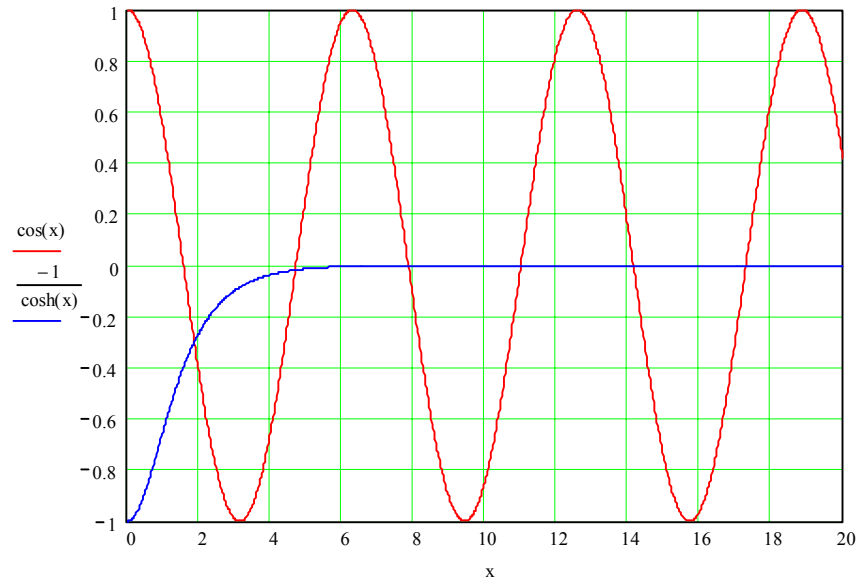


Fig. 4.5.6. Obținerea soluțiilor ecuației 4.5.54

Se obțin astfel primele 6 pulsații proprii:

$$\begin{aligned} p_1 &= \frac{3,515}{L^2} \sqrt{\frac{EI}{\rho A}}; & p_2 &= \frac{22,033}{L^2} \sqrt{\frac{EI}{\rho A}}; & p_3 &= \frac{61,7}{L^2} \sqrt{\frac{EI}{\rho A}}; \\ p_4 &= \frac{120,912}{L^2} \sqrt{\frac{EI}{\rho A}}; & p_5 &= \frac{199,855}{L^2} \sqrt{\frac{EI}{\rho A}}; & p_6 &= \frac{298,564}{L^2} \sqrt{\frac{EI}{\rho A}}; \end{aligned} \quad (4.5.55)$$

**Exemplul 5.**

Bara încastrată la un capăt și articulată la celălalt (fig. 4.5.5)

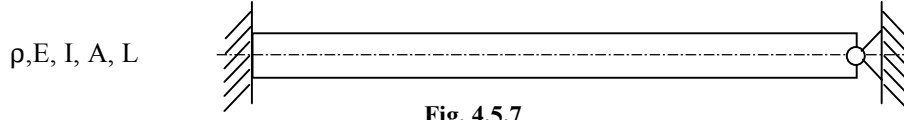


Fig. 4.5.7

Condițiile la limită în acest caz sunt:

$$\begin{aligned} w_1 &= 0; \quad \varphi_1 = 0 \\ w_2 &= 0; \quad M_2 = 0 \end{aligned} \quad (4.5.56)$$

Ecuția matriceală (4.5.31) se scrie:

$$\begin{Bmatrix} 0 \\ \varphi_2 \\ 0 \\ -\frac{T_2}{\alpha^3 EI} \end{Bmatrix} = \begin{bmatrix} f_1(\alpha L) & f_2(\alpha L) & f_3(\alpha L) & f_4(\alpha L) \\ f_4(\alpha L) & f_1(\alpha L) & f_2(\alpha L) & f_3(\alpha L) \\ f_3(\alpha L) & f_4(\alpha L) & f_1(\alpha L) & f_2(\alpha L) \\ f_2(\alpha L) & f_3(\alpha L) & f_4(\alpha L) & f_1(\alpha L) \end{bmatrix} \cdot \begin{Bmatrix} 0 \\ 0 \\ -\frac{M_1}{\alpha^2 EI} \\ -\frac{T_1}{\alpha^3 EI} \end{Bmatrix} \quad (4.5.57)$$

care este echivalentă cu sistemul omogen:

$$\begin{cases} -\frac{M_1}{\alpha^2 EI} f_3(\alpha L) - \frac{T_1}{\alpha^3 EI} f_4(\alpha L) = 0 \\ -\frac{M_1}{\alpha^2 EI} f_1(\alpha L) - \frac{T_1}{\alpha^3 EI} f_2(\alpha L) = 0 \end{cases} \quad (4.5.58)$$

Acest sistem admite soluții nebanale dacă determinantul său este nul:

$$\begin{vmatrix} f_3(\alpha L) & f_4(\alpha L) \\ f_1(\alpha L) & f_2(\alpha L) \end{vmatrix} = 0$$

$$\Leftrightarrow f_3(\alpha L) f_2(\alpha L) - f_1(\alpha L) f_4(\alpha L) = 0 \quad \Leftrightarrow \quad (4.5.59)$$

$$\frac{1}{4} (ch\alpha L - \cos\alpha L) (sh\alpha L + \sin\alpha L) - \frac{1}{4} (ch\alpha L + \cos\alpha L) (sh\alpha L - \sin\alpha L) = 0$$

Rezultă următoarea ecuație transcendentă a pulsațiilor proprii:

$$\begin{aligned} ch\alpha L \cdot \sin\alpha L - \cos\alpha L \cdot sh\alpha L &= 0 \\ \Leftrightarrow \quad tg\alpha L - th\alpha L &= 0 \\ \Leftrightarrow \quad th\alpha L &= \frac{1}{tg\alpha L} \end{aligned} \quad (4.5.60)$$

Soluțiile ecuației (4.5.60) se determină grafic din fig. 4.5.8 :

$$\begin{aligned} \text{root}\left(\tanh(x) - \frac{1}{\tan(x)}, x, 0.5, 1.5\right) &= 0.938 & \text{root}\left(\tanh(x) - \frac{1}{\tan(x)}, x, 3.9, 4.2\right) &= 3.927 \\ \text{root}\left(\tanh(x) - \frac{1}{\tan(x)}, x, 7, 7.5\right) &= 7.069 & \text{root}\left(\tanh(x) - \frac{1}{\tan(x)}, x, 10.1, 11\right) &= 10.21 \\ \text{root}\left(\tanh(x) - \frac{1}{\tan(x)}, x, 13.2, 14\right) &= 13.352 & \text{root}\left(\tanh(x) - \frac{1}{\tan(x)}, x, 16.4, 17\right) &= 16.493 \end{aligned}$$

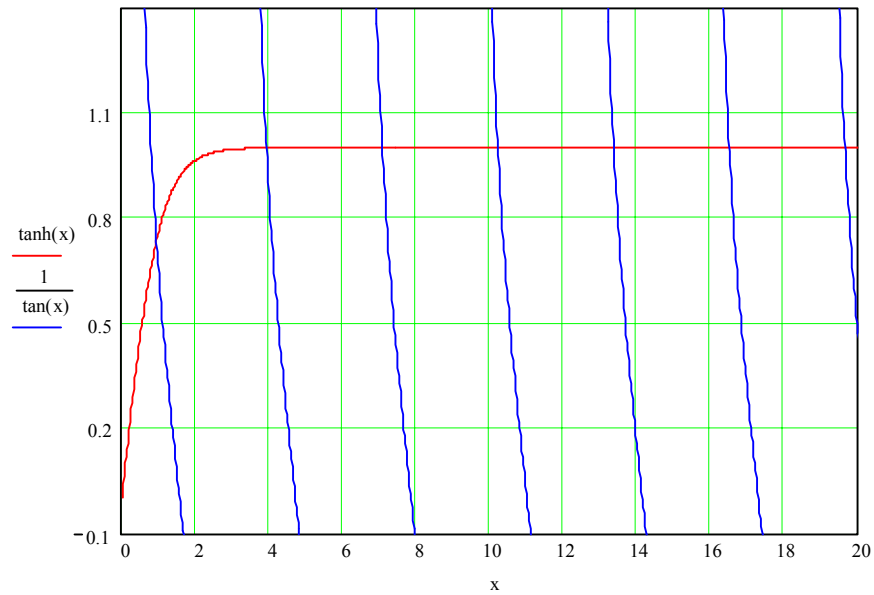


Fig. 4.5.8. Obținerea soluțiilor ecuației 4.5.60

Se obțin astfel primele 6 pulsații proprii:

$$\begin{aligned} p_1 &= \frac{0,88}{L^2} \sqrt{\frac{EI}{\rho A}}; & p_2 &= \frac{15,421}{L^2} \sqrt{\frac{EI}{\rho A}}; & p_3 &= \frac{49,97}{L^2} \sqrt{\frac{EI}{\rho A}}; \\ p_4 &= \frac{104,244}{L^2} \sqrt{\frac{EI}{\rho A}}; & p_5 &= \frac{178,276}{L^2} \sqrt{\frac{EI}{\rho A}}; & p_6 &= \frac{272,019}{L^2} \sqrt{\frac{EI}{\rho A}}; \end{aligned} \quad (4.5.61)$$

**Exemplul 6.**

Bara încastrată la un capăt și cu masă concentrată la celălalt (fig. 4.5.9)

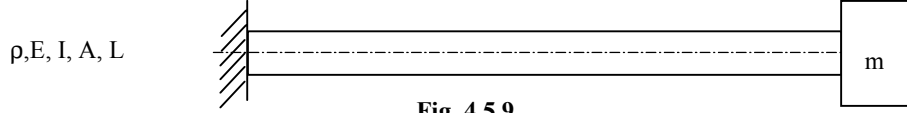


Fig. 4.5.9

Condițiile la limită în acest caz sunt:

$$w_1 = 0; \quad \varphi_1 = 0$$

$$M_2 = 0; \quad T_2 = -m \frac{\partial^2 w}{\partial t^2} \Big|_{x=L} = mp^2 w_2 \quad (4.5.62)$$

Ecuția matriceală (4.5.31) se scrie:

$$\begin{Bmatrix} w_2 \\ \varphi_2 \\ 0 \\ -\frac{mp^2}{\alpha^3 EI} w_2 \end{Bmatrix} = \begin{bmatrix} f_1(\alpha L) & f_2(\alpha L) & f_3(\alpha L) & f_4(\alpha L) \\ f_4(\alpha L) & f_1(\alpha L) & f_2(\alpha L) & f_3(\alpha L) \\ f_3(\alpha L) & f_4(\alpha L) & f_1(\alpha L) & f_2(\alpha L) \\ f_2(\alpha L) & f_3(\alpha L) & f_4(\alpha L) & f_1(\alpha L) \end{bmatrix} \cdot \begin{Bmatrix} 0 \\ 0 \\ M_1 \\ -\frac{T_1}{\alpha^3 EI} \end{Bmatrix} \quad (4.5.63)$$

care este echivalentă cu sistemul omogen:

$$\begin{cases} -\frac{M_1}{\alpha^2 EI} f_3(\alpha L) - \frac{T_1}{\alpha^3 EI} f_4(\alpha L) - w_2 = 0 \\ -\frac{M_1}{\alpha^2 EI} f_1(\alpha L) - \frac{T_1}{\alpha^3 EI} f_2(\alpha L) = 0 \\ -\frac{M_1}{\alpha^2 EI} f_4(\alpha L) - \frac{T_1}{\alpha^3 EI} f_1(\alpha L) + \frac{mp^2}{\alpha^3 EI} w_2 = 0 \end{cases} \quad (4.5.64)$$

Acest sistem admite soluții nebanale dacă determinantul său este nul:

$$\begin{vmatrix} f_3(\alpha L) & f_4(\alpha L) & -1 \\ f_1(\alpha L) & f_2(\alpha L) & 0 \\ f_4(\alpha L) & f_1(\alpha L) & \frac{mp^2}{\alpha^3 EI} \end{vmatrix} = 0 \quad (4.5.65)$$

$$\Leftrightarrow \begin{cases} -\left(f_1^2(\alpha L) - f_2(\alpha L)f_4(\alpha L)\right) + \\ + \frac{mp^2}{\alpha^3 EI} (f_2(\alpha L)f_3(\alpha L) - f_1(\alpha L)f_4(\alpha L)) = 0 \end{cases}$$

Ținând seama de relațiile (4.5.15) și (4.5.65) se obține ecuația transcendentă a pulsațiilor proprii:



$$(1 + ch\alpha L \cos \alpha L) = \frac{mp^2}{\alpha^3 EI} (ch\alpha L \sin \alpha L - sh\alpha L \cos \alpha L) \quad (4.5.66)$$

Dacă se ține seama de relația:

$$\alpha^4 = \frac{\rho A}{EI} p^2 \Rightarrow \frac{mp^2}{\alpha^3 EI} = \frac{m}{m_b} \alpha L, \quad \text{unde : } m_b = \rho A L \quad (4.5.67)$$

Ecuția (4.5.66) se mai scrie:

$$\frac{(ch\alpha L \cdot \sin \alpha L - sh\alpha L \cdot \cos \alpha L)}{1 + ch\alpha L \cos \alpha L} = \frac{m_b}{m} \frac{1}{\alpha L} \quad (4.5.68)$$

Soluțiile ecuației (4.5.68) se determină grafic din fig. 4.5.10 :

$$\begin{aligned} \text{root} \left[ \frac{(\cosh(x) \cdot \sin(x) - \sinh(x) \cdot \cos(x))}{1 + \cosh(x) \cos(x)} - \frac{2}{x}, x, 1, 1.5 \right] &= 1.42 & \text{root} \left[ \frac{(\cosh(x) \cdot \sin(x) - \sinh(x) \cdot \cos(x))}{1 + \cosh(x) \cos(x)} - \frac{2}{x}, x, 4, 4.5 \right] &= 4.111 \\ \text{root} \left[ \frac{(\cosh(x) \cdot \sin(x) - \sinh(x) \cdot \cos(x))}{1 + \cosh(x) \cos(x)} - \frac{2}{x}, x, 7, 7.5 \right] &= 7.19 & \text{root} \left[ \frac{(\cosh(x) \cdot \sin(x) - \sinh(x) \cdot \cos(x))}{1 + \cosh(x) \cos(x)} - \frac{2}{x}, x, 10, 10.5 \right] &= 10.298 \\ \text{root} \left[ \frac{(\cosh(x) \cdot \sin(x) - \sinh(x) \cdot \cos(x))}{1 + \cosh(x) \cos(x)} - \frac{2}{x}, x, 13, 14 \right] &= 13.421 & \text{root} \left[ \frac{(\cosh(x) \cdot \sin(x) - \sinh(x) \cdot \cos(x))}{1 + \cosh(x) \cos(x)} - \frac{2}{x}, x, 16, 17 \right] &= 16.55 \end{aligned}$$

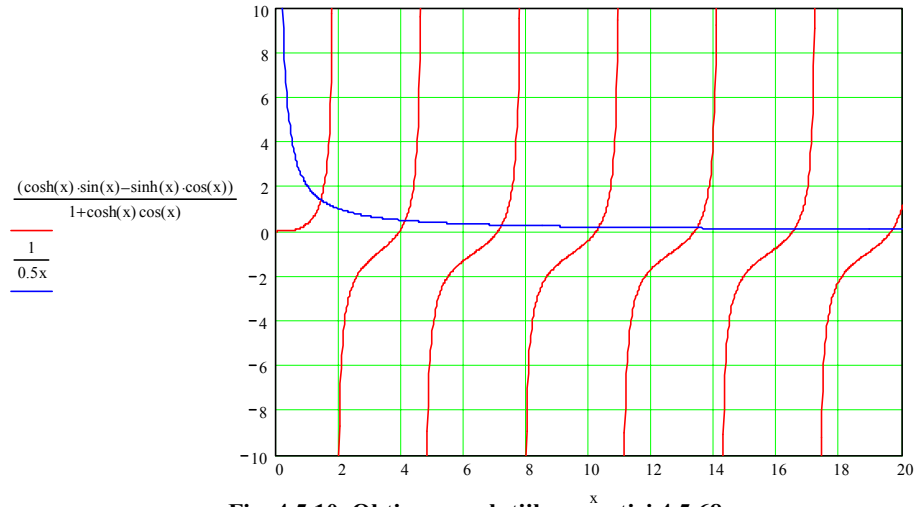


Fig. 4.5.10. Obținerea soluțiilor ecuației 4.5.68

Se obțin astfel primele 6 pulsații proprii:

$$\begin{aligned} p_1 &= \frac{2.016}{L^2} \sqrt{\frac{EI}{\rho A}}; & p_2 &= \frac{16.9}{L^2} \sqrt{\frac{EI}{\rho A}}; & p_3 &= \frac{51.696}{L^2} \sqrt{\frac{EI}{\rho A}}; \\ p_4 &= \frac{106.049}{L^2} \sqrt{\frac{EI}{\rho A}}; & p_5 &= \frac{180.123}{L^2} \sqrt{\frac{EI}{\rho A}}; & p_6 &= \frac{273.902}{L^2} \sqrt{\frac{EI}{\rho A}}; \end{aligned} \quad (4.5.69)$$

### 4.5.2. Vibrațiile transversale forțate

Ecuția diferențială a vibrațiilor transversale forțate datorate unei forțe perturbatoare distribuite  $f(x, t) = f_0(x) \cos \omega t$  se scrie:

$$\frac{\partial^4 w}{\partial x^4} + \beta^2 \frac{\partial^2 w}{\partial t^2} = \frac{f_0(x) \cos \omega t}{EI} \quad (4.5.70)$$

având soluții staționare armonice, sincrone și în fază cu forța armonică perturbatoare:

$$w(x, t) = Z(x) \cos \omega t \quad (4.5.71)$$

Înlocuind în ecuația (4.5.70) se obține:

$$\begin{aligned} \left[ \frac{\partial^4 Z(x)}{\partial x^4} - \beta^2 \omega^2 Z(x) \right] \cos \omega t &= \frac{f_0(x)}{EI} \cos \omega t \\ \Leftrightarrow \frac{\partial^4 Z(x)}{\partial x^4} - \beta^2 \omega^2 Z(x) &= \frac{f_0(x)}{EI} \end{aligned} \quad (4.5.72)$$

Funcția  $Z(x)$  care reprezintă amplitudinea mișcării vibratorii de-a lungul barei se scrie sub forma unei dezvoltări în serie de funcții proprii:

$$Z(x) = \sum_{n=1}^{\infty} C_n \psi_n(x) \quad (4.5.73)$$

Funcțiile proprii  $\psi_n(x)$  verifică ecuația diferențială:

$$\frac{\partial^4 \psi_n(x)}{\partial x^4} - \beta^2 p_n^2 \psi_n(x) = 0 \quad \Leftrightarrow \quad \frac{\partial^4 \psi_n(x)}{\partial x^4} = \beta^2 p_n^2 \psi_n(x) \quad (4.5.74)$$

și satisfac condițiile de ortogonalitate:

$$\int_0^L \psi_n \psi_m dx = \begin{cases} 0 & \text{daca } m \neq n \\ \lambda_m & \text{daca } m = n \end{cases} \quad (4.5.75)$$

Înlocuind expresia soluției (4.5.73) în ecuația diferențială (4.5.72) se obține:

$$\sum_{n=1}^{\infty} C_n \beta^2 (p_n^2 - \omega^2) \psi_n(x) = \frac{f_0(x)}{EI} \quad (4.5.76)$$

Înmulțind ecuația (4.5.76) cu  $\psi_m(x)$ , integrând pe intervalul  $[0, L]$  și ținând seama de ortogonalitatea modurilor proprii de vibrație se obțin coeficienții  $C_m$ :

$$C_m = \frac{1}{EI\lambda_m\beta^2(p_m^2 - \omega^2)} \int_0^L f_0(x)\psi_m(x)dx \quad (4.5.77)$$

Deci soluția finală se scrie:

$$w(x,t) = \frac{\cos \omega t}{EI\beta^2} \sum_{m=1}^{\infty} \frac{\psi_m(x)}{\lambda_m(p_m^2 - \omega^2)} \int_0^L f_0(x)\psi_m(x)dx \quad (4.5.78)$$

În cazul când forța perturbatoare este o forță concentrată în punctul  $x=x_0$  al barei  $F(x_0,t) = F_0 \cos \omega t$ , valoarea corespunzătoare unității de lungime se poate determina cu ajutorul funcției simbolice Dirac:

$$f_0(x) = F_0\delta(x - x_0) \quad (4.5.79)$$

Înlocuind în relația (4.5.77) se obține:

$$C_m = \frac{F_0\psi_m(x_0)}{EI\lambda_m\beta^2(p_m^2 - \omega^2)} \quad (4.5.80)$$

Deci soluția finală se scrie în acest caz:

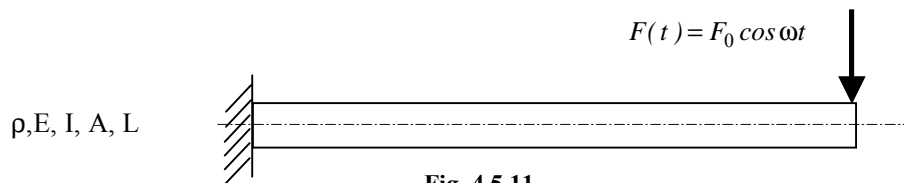
$$w(x,t) = \frac{F_0 \cos \omega t}{EI\beta^2} \sum_{m=1}^{\infty} \frac{\psi_m(x)\psi_m(x_0)}{\lambda_m(p_m^2 - \omega^2)} \quad (4.5.81)$$

### Observație:

Dacă forța perturbatoare concentrată este aplicată la capătul barei este mai comod a rezolva problema sub forma ei omogenă (de vibrații libere) și să se considere forța perturbatoare ca condiții la limită, așa cum rezultă din exemplele următoare.

### Exemplul 1.

Se consideră o bară prismatică încastrată la un capăt, iar la celălalt ( $x=L$ ) solicitată de o forță armonică  $F(t) = F_0 \cos \omega t$  (fig. 4.5.11). Să se determine expresiile amplitudinilor deplasării, rotirii, efortului încovoiător și efortului tăietor precum și factorul de amplificare dinamică pentru o pulsație a forței perturbatoare:  $\omega = 1,2 \cdot p_1$  unde  $p_1$  este pulsația proprie fundamentală.



Se consideră vibrațiile libere pentru care condițiile la limită sunt:

$$\begin{aligned} w_1 &= 0; \quad \varphi_1 = 0 \\ M_2 &= 0; \quad T_2 = F_0 \end{aligned} \quad (4.5.82)$$

Ecuția matriceală (4.5.31) se scrie în acest caz:

$$\begin{Bmatrix} w_2 \\ \varphi_2 \\ 0 \\ -\frac{F_0}{\alpha^3 EI} \end{Bmatrix} = \begin{bmatrix} f_1(\alpha L) & f_2(\alpha L) & f_3(\alpha L) & f_4(\alpha L) \\ f_4(\alpha L) & f_1(\alpha L) & f_2(\alpha L) & f_3(\alpha L) \\ f_3(\alpha L) & f_4(\alpha L) & f_1(\alpha L) & f_2(\alpha L) \\ f_2(\alpha L) & f_3(\alpha L) & f_4(\alpha L) & f_1(\alpha L) \end{bmatrix} \cdot \begin{Bmatrix} 0 \\ 0 \\ M_1 \\ -\frac{T_1}{\alpha^3 EI} \end{Bmatrix} \quad (4.5.83)$$

și este echivalentă cu sistemul neomogen:

$$\begin{cases} -\frac{M_1}{\alpha^2 EI} f_1(\alpha L) - \frac{T_1}{\alpha^3 EI} f_2(\alpha L) = 0 \\ -\frac{M_1}{\alpha^2 EI} f_4(\alpha L) - \frac{T_1}{\alpha^3 EI} f_1(\alpha L) = -\frac{F_0}{\alpha^3 EI} \end{cases} \quad (4.5.84)$$

Rezolvând acest sistem se obține:

$$\begin{aligned} &\begin{cases} \alpha M_1 f_1(\alpha L) + T_1 f_2(\alpha L) = 0 & | f_1(\alpha L) \\ -\alpha M_1 f_4(\alpha L) - T_1 f_1(\alpha L) = -F_0 & | f_2(\alpha L) \end{cases} \\ \Rightarrow M_1 &= -\frac{F_0}{\alpha} \frac{f_2(\alpha L)}{f_1^2(\alpha L) - f_2(\alpha L) f_4(\alpha L)} \\ &\begin{cases} \alpha M_1 f_1(\alpha L) + T_1 f_2(\alpha L) = 0 & | f_4(\alpha L) \\ -\alpha M_1 f_4(\alpha L) - T_1 f_1(\alpha L) = -F_0 & | f_1(\alpha L) \end{cases} \\ \Rightarrow T_1 &= F_0 \frac{f_1(\alpha L)}{f_1^2(\alpha L) - f_2(\alpha L) f_4(\alpha L)} \end{aligned} \quad (4.5.85)$$

Ținând seama de relația:

$$f_1^2(\alpha L) - f_2(\alpha L) f_4(\alpha L) = \frac{1}{2} (1 + \operatorname{ch} \alpha L \cdot \cos \alpha L) \quad (4.5.86)$$

cele două mărimi de mai sus au expresiile:

$$\begin{cases} M_1 = -\frac{2F_0}{\alpha} \frac{f_2(\alpha L)}{1 + \operatorname{ch} \alpha L \cdot \cos \alpha L}; \\ T_1 = 2F_0 \frac{f_1(\alpha L)}{1 + \operatorname{ch} \alpha L \cdot \cos \alpha L} \end{cases} \quad (4.5.87)$$

Condiția de rezonanță se scrie:

$$1 + ch\alpha L \cdot \cos \alpha L = 0 \quad (4.5.88)$$

Primele patru soluții ale acestei ecuații conform (4.5.54) sunt:

$$(\alpha L)_1 = 1,875; \quad (\alpha L)_2 = 4,694; \quad (\alpha L)_3 = 7,855; \quad (\alpha L)_4 = 10,996. \quad (4.5.89)$$

Soluțiile vibrațiilor staționare (deplasări, rotații, momente încovoietoare și eforturi tăietoare) se scriu ținând seama de expresia (4.5.27) care pentru acest caz are forma:

$$Y(x) = -\frac{1}{\alpha^2 EI} M_1 \cdot f_3(\alpha x) - \frac{1}{\alpha^3 EI} T_1 \cdot f_4(\alpha x) \quad (4.5.90)$$

și au expresiile:

$$\begin{cases} w(x, t) = Y(x) \cos \omega t = \left[ -M_1 \cdot \frac{1}{\alpha^2 EI} f_3(\alpha x) - T_1 \cdot \frac{1}{\alpha^3 EI} f_4(\alpha x) \right] \cos \omega t \\ \varphi(x, t) = Y'(x) \cos \omega t = \left[ -M_1 \cdot \frac{1}{\alpha EI} f_2(\alpha x) - T_1 \cdot \frac{1}{\alpha^2 EI} f_3(\alpha x) \right] \cos \omega t \\ M(x, t) = -EIY''(x) \cos \omega t = \left[ M_1 \cdot f_1(\alpha x) + T_1 \cdot \frac{1}{\alpha} f_2(\alpha x) \right] \cos \omega t \\ T(x, t) = -EIY'''(x) \cos \omega t = [M_1 \cdot \alpha f_4(\alpha x) + T_1 \cdot f_1(\alpha x)] \cos \omega t \end{cases} \quad (4.5.91)$$

Dacă se înlocuiesc expresiile (4.5.87) în (4.5.91) se obțin expresiile:

$$\begin{cases} w(x, t) = \frac{2F_0}{\alpha^3 EI} \frac{[f_2(\alpha L)f_3(\alpha x) - f_1(\alpha L)f_4(\alpha x)]}{1 + ch\alpha L \cos \alpha L} \cos \omega t \\ \varphi(x, t) = \frac{2F_0}{\alpha^2 EI} \frac{[f_2(\alpha L)f_2(\alpha x) - f_1(\alpha L)f_3(\alpha x)]}{1 + ch\alpha L \cos \alpha L} \cos \omega t \\ M(x, t) = -2 \frac{F_0}{\alpha} \frac{[f_2(\alpha L)f_1(\alpha x) - f_1(\alpha L)f_2(\alpha x)]}{1 + ch\alpha L \cos \alpha L} \cos \omega t \\ T(x, t) = -2F_0 \frac{[f_2(\alpha L)f_4(\alpha x) - f_1(\alpha L)f_1(\alpha x)]}{1 + ch\alpha L \cos \alpha L} \cos \omega t \end{cases} \quad (4.5.92)$$

În figura 4.5.12 sunt reprezentate amplitudinile vibrațiilor de-a lungul barei sau primele patru moduri proprii de vibrație:

$$w_0(x, t) = \frac{2F_0}{\alpha^3 EI} \frac{[f_2(\alpha L)f_3(\alpha x) - f_1(\alpha L)f_4(\alpha x)]}{1 + ch\alpha L \cos \alpha L}, \quad \text{pentru :} \quad (4.5.93)$$

$$(\alpha L)_1 = 1,875; \quad (\alpha L)_2 = 4,694; \quad (\alpha L)_3 = 7,855; \quad (\alpha L)_4 = 10,996.$$

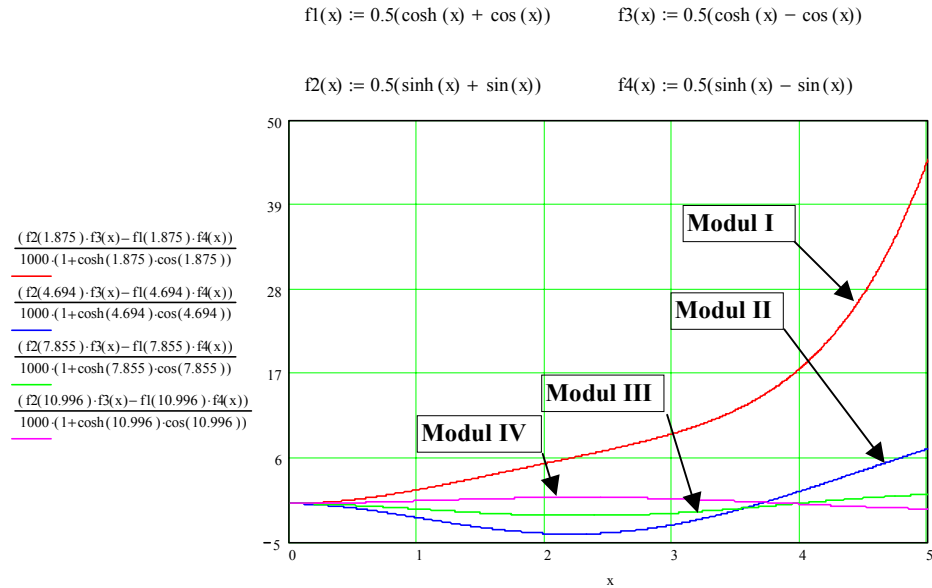


Fig. 4.5.12. Primele 4 moduri proprii de vibrație a barei

La capetele barei se obțin următoarele amplitudini ale celor patru mărimi:

➤ pentru capătul din stânga ( $x=0$ ):

$$\begin{cases}
 w_1 = \frac{2F_0}{\alpha^3 EI} \frac{[f_2(\alpha L)f_3(0) - f_1(\alpha L)f_4(0)]}{1 + \cosh \alpha L \cos \alpha L} = 0 \\
 \varphi_1 = \frac{2F_0}{\alpha^2 EI} \frac{[f_2(\alpha L)f_2(0) - f_1(\alpha L)f_3(0)]}{1 + \cosh \alpha L \cos \alpha L} = 0 \\
 M_1 = -2 \frac{F_0}{\alpha} \frac{[f_2(\alpha L)f_1(0) - f_1(\alpha L)f_2(0)]}{1 + \cosh \alpha L \cos \alpha L} = -\frac{2F_0}{\alpha} \frac{f_2(\alpha L)}{1 + \cosh \alpha L \cos \alpha L} \\
 T_1 = -2F_0 \frac{[f_2(\alpha L)f_4(0) - f_1(\alpha L)f_1(0)]}{1 + \cosh \alpha L \cos \alpha L} = 2F_0 \frac{f_1(\alpha L)}{1 + \cosh \alpha L \cos \alpha L}
 \end{cases} \quad (4.5.94)$$

➤ pentru capătul din dreapta ( $x=L$ ):

$$\begin{cases}
 w_2 = \frac{2F_0}{\alpha^3 EI} \frac{[f_2(\alpha L)f_3(\alpha L) - f_1(\alpha L)f_4(\alpha L)]}{1 + \cosh \alpha L \cos \alpha L} = \frac{F_0}{\alpha^3 EI} \frac{\cosh \alpha L \cdot \sin \alpha L + \sinh \alpha L \cdot \cos \alpha L}{1 + \cosh \alpha L \cdot \cos \alpha L} \\
 \varphi_2 = \frac{2F_0}{\alpha^2 EI} \frac{[f_2(\alpha L)f_2(\alpha L) - f_1(\alpha L)f_3(\alpha L)]}{1 + \cosh \alpha L \cos \alpha L} = \frac{F_0}{\alpha^2 EI} \frac{1 + \sinh \alpha L \cdot \sin \alpha L}{1 + \cosh \alpha L \cdot \cos \alpha L} \\
 M_2 = -2 \frac{F_0}{\alpha} \frac{[f_2(\alpha L)f_1(\alpha L) - f_1(\alpha L)f_2(\alpha L)]}{1 + \cosh \alpha L \cos \alpha L} = 0 \\
 T_2 = -2F_0 \frac{[f_2(\alpha L)f_4(\alpha L) - f_1(\alpha L)f_1(\alpha L)]}{1 + \cosh \alpha L \cos \alpha L} = F_0
 \end{cases} \quad (4.5.95)$$

Factorul de amplificare dinamică este raportul dintre amplitudinea momentului din încastrare  $M_I$  și momentul în încastrare al unei forțe egală cu amplitudinea forței perturbatoare:

$$\xi_d = \left| \frac{M_I}{F_0 L} \right| = \left| \frac{2}{\alpha L} \frac{f_2(\alpha L)}{1 + \cosh \alpha L \cdot \cos \alpha L} \right| \quad (4.5.96)$$

Reprezentarea grafică a factorului de amplificare dinamică este dată în figura. 4.5.13. Se observă că acesta are valori foarte mari în jurul frecvențelor proprii ale barei, când se produce rezonanța. Pentru o valoare a pulsației forței perturbatoare în vecinătatea primelor patru rezonanțe egală cu  $\omega = 1,21 p_i$  ( $i = 1, 2, 3, 4$ ) se obțin următoarele valori ale factorului de amplificare dinamică:

$$g(1.9687) = 5.429 \quad g(4.9287) = 0.873 \quad g(8.2477) = 0.317 \quad g(11.5458) = 0.166$$

Se observă că aceste valori scad cu creșterea pulsațiilor proprii.

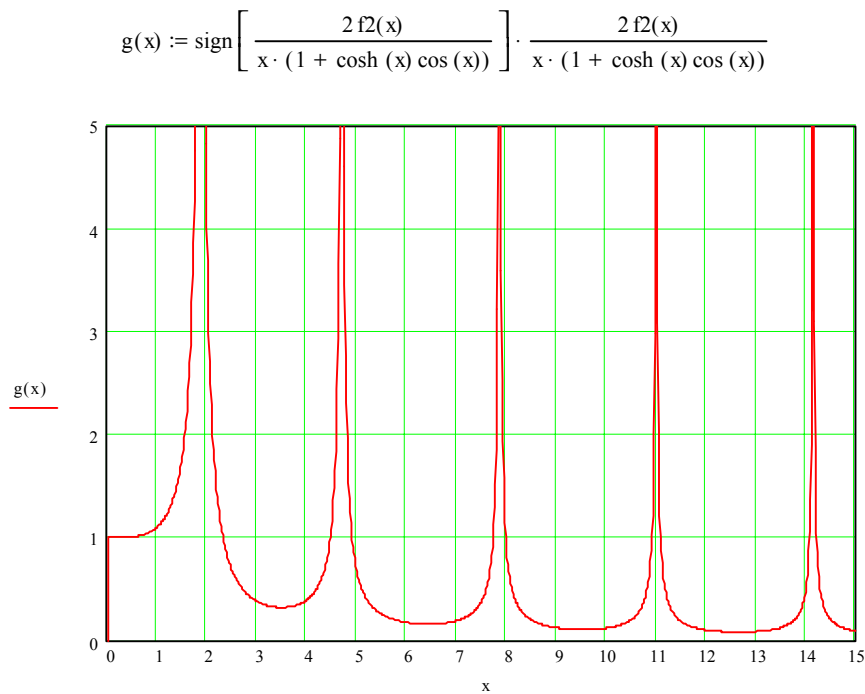


Fig. 4.5.13. Factorul de amplificare dinamică

**Exemplul 2.**

Se consideră o bară prismatică articulată la ambele capete, solicitată în capătul din dreapta de un cuplu armonic  $M(t) = M_0 \cos \omega t$  (fig. 4.5.14). Să se determine expresiile amplitudinilor deplasării, rotirii, efortului încovoiător și efortului tăietor de-a lungul barei.

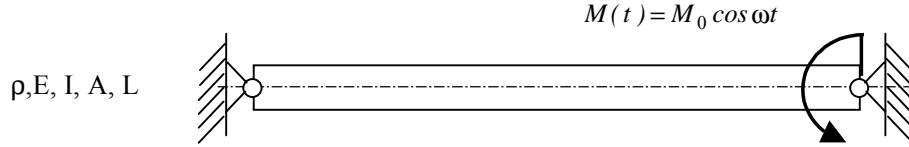


Fig. 4.5.14

Condițiile la limită în acest caz sunt:

$$\begin{aligned} w_1 &= 0; & M_1 &= 0 \\ w_2 &= 0; & M_2 &= M_0 \end{aligned} \quad (4.5.97)$$

Ecuția matriceală (4.5.31) se scrie în acest caz:

$$\begin{Bmatrix} 0 \\ \frac{\Phi_2}{\alpha} \\ -\frac{M_0}{\alpha^2 EI} \\ -\frac{T_2}{\alpha^3 EI} \end{Bmatrix} = \begin{bmatrix} f_1(\alpha L) & f_2(\alpha L) & f_3(\alpha L) & f_4(\alpha L) \\ f_4(\alpha L) & f_1(\alpha L) & f_2(\alpha L) & f_3(\alpha L) \\ f_3(\alpha L) & f_4(\alpha L) & f_1(\alpha L) & f_2(\alpha L) \\ f_2(\alpha L) & f_3(\alpha L) & f_4(\alpha L) & f_1(\alpha L) \end{bmatrix} \begin{Bmatrix} 0 \\ \frac{\Phi_1}{\alpha} \\ 0 \\ -\frac{T_1}{\alpha^3 EI} \end{Bmatrix} \quad (4.5.98)$$

care este echivalentă cu sistemul neomogen:

$$\begin{cases} \frac{\Phi_1}{\alpha} f_2(\alpha L) - \frac{T_1}{\alpha^3 EI} f_4(\alpha L) = 0 \\ \frac{\Phi_1}{\alpha} f_4(\alpha L) - \frac{T_1}{\alpha^3 EI} f_2(\alpha L) = -\frac{M_0}{\alpha^2 EI} \end{cases} \quad (4.5.99)$$

Rezolvând acest sistem se obține:

$$\begin{cases} \frac{\Phi_1}{\alpha} = \frac{M_0}{\alpha^2 EI} \frac{f_4(\alpha L)}{f_2^2(\alpha L) - f_4^2(\alpha L)} \\ \frac{T_1}{\alpha^3 EI} = \frac{M_0}{\alpha^2 EI} \frac{f_2(\alpha L)}{f_2^2(\alpha L) - f_4^2(\alpha L)} \end{cases} \Rightarrow \begin{cases} \Phi_1 = \frac{M_0}{2\alpha EI} \cdot \frac{sh\alpha L - \sin\alpha L}{sh\alpha L \cdot \sin\alpha L} \\ T_1 = M_0 \alpha \cdot \frac{1}{2} \frac{sh\alpha L + \sin\alpha L}{sh\alpha L \cdot \sin\alpha L} \end{cases} \quad (4.5.100)$$

Condiția de rezonanță se scrie:

$$sh\alpha L \cdot \sin\alpha L = 0 \quad (4.5.101)$$



Rezultă pulsațiile proprii:

$$p_n = \frac{\alpha_n^2}{\beta} = \left( \frac{n\pi}{L} \right)^2 \sqrt{\frac{EI}{\rho A}} \quad (4.5.102)$$

Soluțiile vibrațiilor staționare (deplasări, rotații, momente încovoietoare și eforturi tăietoare) se scriu ținând seama de expresia (4.5.27) care pentru acest caz are forma:

$$Y(x) = \frac{1}{\alpha} \varphi_1 \cdot f_2(\alpha x) - \frac{1}{\alpha^3 EI} T_1 \cdot f_4(\alpha x) \quad (4.5.103)$$

și au expresiile:

$$\left\{ \begin{aligned} w(x, t) &= Y(x) \cos \omega t = \left[ \frac{1}{\alpha} \varphi_1 \cdot f_2(\alpha x) - T_1 \cdot \frac{1}{\alpha^3 EI} f_4(\alpha x) \right] \cos \omega t \\ \varphi(x, t) &= Y'(x) \cos \omega t = \left[ \varphi_1 f_1(\alpha x) - T_1 \cdot \frac{1}{\alpha^2 EI} f_3(\alpha x) \right] \cos \omega t \\ M(x, t) &= -EI Y''(x) \cos \omega t = \left[ -\varphi_1 EI \alpha f_4(\alpha x) + T_1 \cdot \frac{1}{\alpha} f_2(\alpha x) \right] \cos \omega t \\ T(x, t) &= -EI Y'''(x) \cos \omega t = \left[ -\varphi_1 EI \alpha^2 f_3(\alpha x) + T_1 \cdot f_1(\alpha x) \right] \cos \omega t \end{aligned} \right. \quad (4.5.104)$$

Dacă se înlocuiesc expresiile (4.5.100) se obțin expresiile echivalente:

$$\left\{ \begin{aligned} w(x, t) &= \frac{M_0}{2\alpha^2 EI} \left( \frac{\sin \alpha x}{\sin \alpha L} - \frac{\operatorname{sh} \alpha x}{\operatorname{sh} \alpha L} \right) \cos \omega t \\ \varphi(x, t) &= \frac{M_0}{2\alpha EI} \left( \frac{\cos \alpha x}{\sin \alpha L} - \frac{\operatorname{ch} \alpha x}{\operatorname{sh} \alpha L} \right) \cos \omega t \\ M(x, t) &= \frac{M_0}{2} \left( \frac{\sin \alpha x}{\sin \alpha L} + \frac{\operatorname{sh} \alpha x}{\operatorname{sh} \alpha L} \right) \cos \omega t \\ T(x, t) &= \frac{M_0 \alpha}{2} \left( \frac{\cos \alpha x}{\sin \alpha L} + \frac{\operatorname{ch} \alpha x}{\operatorname{sh} \alpha L} \right) \cos \omega t \end{aligned} \right. \quad (4.5.105)$$

În figurile 4.5.15 și 4.5.16 sunt reprezentate amplitudinile deplasărilor și rotațiilor de-a lungul barei sau modurile proprii corespunzătoare primelor două pulsații proprii.

La capetele barei se obțin următoarele amplitudini ale celor patru mărimi:

➤ pentru capătul din stânga ( $x=0$ ):

$$\begin{cases} w_1 = \frac{M_0}{2\alpha^2 EI} \left( \frac{\sin \alpha x}{\sin \alpha L} - \frac{\sinh \alpha x}{\sinh \alpha L} \right)_{x=0} = 0 \\ \varphi_1 = \frac{M_0}{2\alpha EI} \left( \frac{1}{\sin \alpha L} - \frac{1}{\sinh \alpha L} \right) \\ M_1 = \frac{M_0}{2} \left( \frac{\sin \alpha x}{\sin \alpha L} + \frac{\sinh \alpha x}{\sinh \alpha L} \right)_{x=0} = 0 \\ T_1 = \frac{M_0 \alpha}{2} \left( \frac{1}{\sin \alpha L} + \frac{1}{\sinh \alpha L} \right) \end{cases} \quad (4.5.106)$$

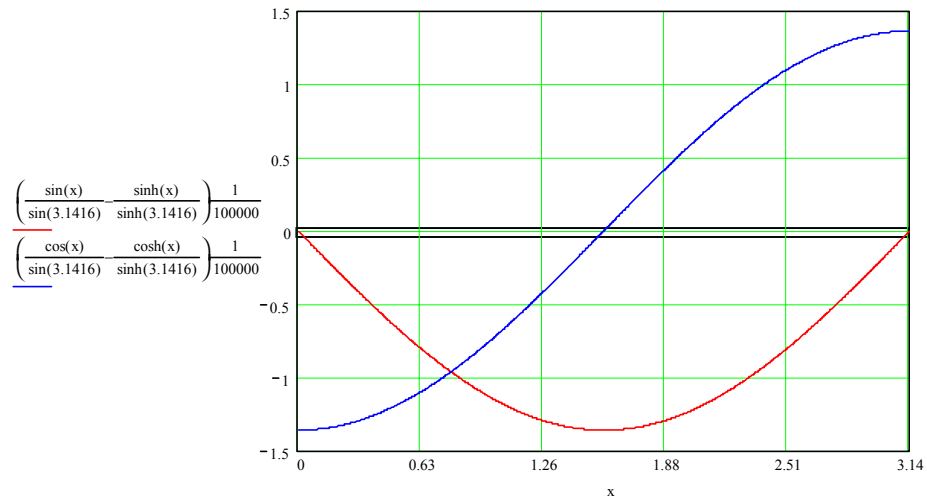


Fig. 4.5.15. Reprezentarea amplitudinilor deplasărilor

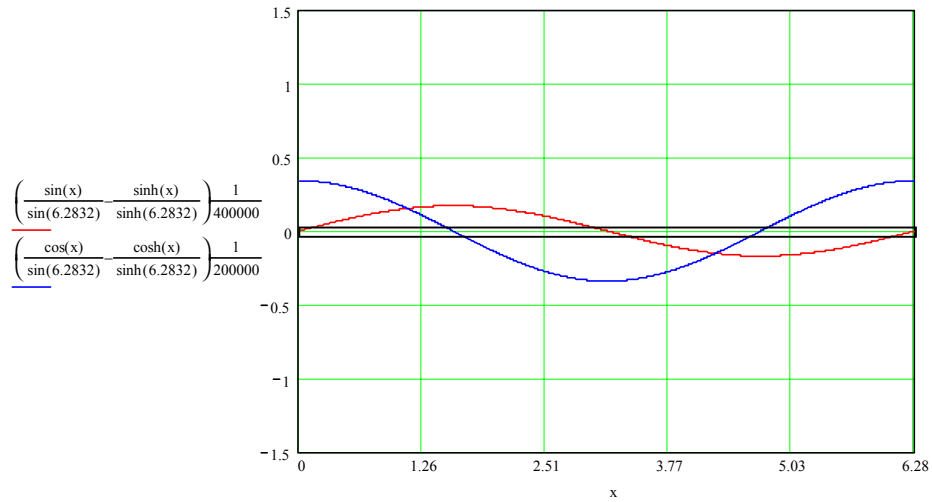


Fig. 4.5.16. Reprezentarea amplitudinilor rotirilor

➤ pentru capătul din dreapta ( $x=L$ ):

$$\begin{cases} w_2 = \frac{M_0}{2\alpha^2 EI} \left( \frac{\sin \alpha L}{\sin \alpha L} - \frac{\sinh \alpha L}{\sinh \alpha L} \right) = 0 \\ \varphi_2 = \frac{M_0}{2\alpha EI} \left( \frac{\cos \alpha L}{\sin \alpha L} - \frac{\cosh \alpha L}{\sinh \alpha L} \right) \\ M_2 = \frac{M_0}{2} \left( \frac{\sin \alpha L}{\sin \alpha L} + \frac{\sinh \alpha L}{\sinh \alpha L} \right)_{x=0} = M_0 \\ T_2 = \frac{M_0 \alpha}{2} \left( \frac{\cos \alpha L}{\sin \alpha L} + \frac{\cosh \alpha L}{\sinh \alpha L} \right) \end{cases} \quad (4.5.107)$$

Variația amplitudinii unghiului de rotație  $\varphi_2$  a secțiunii în care acționează cuplul perturbator în funcție de pulsația  $\omega$  este reprezentată în figura 4.5.17.

$$\varphi_2 = \frac{M_0 L}{2EI} \frac{1}{\alpha L} \left( \frac{\cos \alpha L}{\sin \alpha L} - \frac{\cosh \alpha L}{\sinh \alpha L} \right) \quad (4.5.108)$$

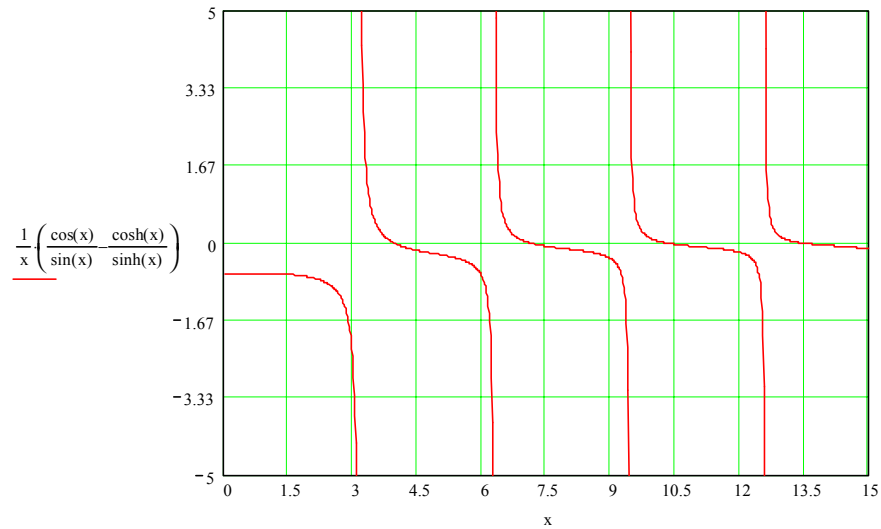


Fig. 4.5.17. Variația amplitudinii unghiului de rotație  $\varphi_2$

## 4.6. Probleme propuse

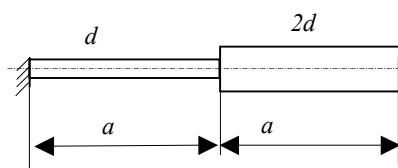


Fig. 4.6.1

**4.6.1.** Se consideră sistemul format dintr-un arbore având densitatea  $\rho$  și rigiditatea constantă  $GI_p$  pe cele două tronsoane (având diametrele  $d$  și  $2d$ ), încastrat la un capăt și liber la celălalt, ca în fig. 4.6.1. Să se determine primele trei pulsații proprii pentru vibrațiile torsionale ale acestui sistem. Date numerice:  $J = 100 \text{ kgm}^2$ ;  $\rho = 7,8 \cdot 10^3 \text{ kg/m}^3$ ;  $a = 400 \text{ mm}$ ;  $d = 100 \text{ mm}$ ;  $G = 8,5 \cdot 10^4 \text{ N/mm}^2$

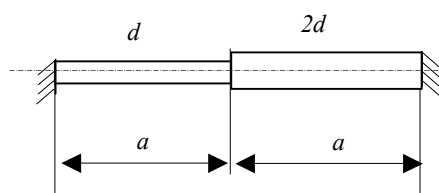


Fig. 4.6.2

**4.6.2.** Se consideră sistemul format dintr-un arbore de densitate  $\rho$  și rigiditate constantă  $GI_p$  pe cele două tronsoane (având diametrele  $d$  și  $2d$ ), încastrat la capete ca în fig. 4.6.2. Să se determine primele trei pulsații proprii pentru vibrațiile torsionale ale acestui sistem. Date numerice:  $\rho = 7,8 \cdot 10^3 \text{ kg/m}^3$ ;  $a = 400 \text{ mm}$ ;  $d = 100 \text{ mm}$ ;  $G = 8,5 \cdot 10^4 \text{ N/mm}^2$

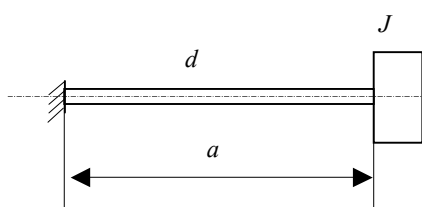


Fig. 4.6.3.

**4.6.3.** Se consideră sistemul format dintr-un arbore de densitate  $\rho$  și rigiditate constantă  $GI_p$  (având diametrul constant  $d$ ), încastrat la un capăt iar la celălalt capăt având un volant de moment de inerție  $J$ , ca în fig. 4.6.3. Să se determine primele trei pulsații proprii pentru vibrațiile torsionale ale acestui sistem. Date numerice:  $J = 100 \text{ kgm}^2$ ;  $\rho = 7,8 \cdot 10^3 \text{ kg/m}^3$ ;  $a = 400 \text{ mm}$ ;  $d = 100 \text{ mm}$ ;  $G = 8,5 \cdot 10^4 \text{ N/mm}^2$

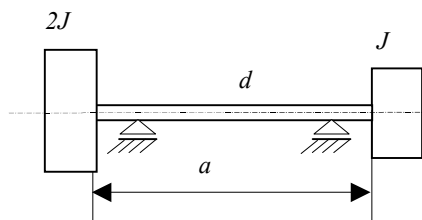


Fig. 4.6.4

**4.6.4.** Se consideră sistemul format dintr-un arbore de densitate  $\rho$  și rigiditate constantă  $GI_p$  (având diametrul constant  $d$ ), la capetele căruia se află doi volanți având momentul de inerție  $2J$  și  $J$  ca în fig. 4.6.4. Să se determine primele trei pulsații proprii pentru vibrațiile torsionale ale acestui sistem. Date numerice:  $J = 100 \text{ kgm}^2$ ;  $\rho = 7,8 \cdot 10^3 \text{ kg/m}^3$ ;  $a = 400 \text{ mm}$ ;  $d = 100 \text{ mm}$ ;  $G = 8,5 \cdot 10^4 \text{ N/mm}^2$

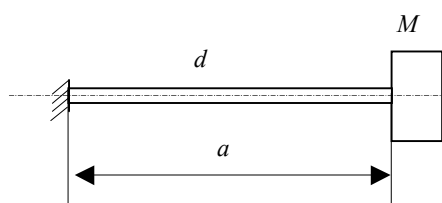


Fig. 4.6.5.

**4.6.5.** Se consideră sistemul format dintr-un arbore de densitate  $\rho$  și rigiditate constantă  $EI$  (având diametrul constant  $d$ ), la capătul căruia se află un volant având masa  $M$  ca în fig. 4.6.5. Să se determine primele trei pulsații proprii pentru vibrațiile transversale ale acestui sistem. Date numerice:  $M = 10 \text{ kg}$ ;  $\rho = 7,8 \cdot 10^3 \text{ kg/m}^3$ ;  $a = 400 \text{ mm}$ ;  $d = 100 \text{ mm}$ ;  $E = 2,1 \cdot 10^5 \text{ N/mm}^2$

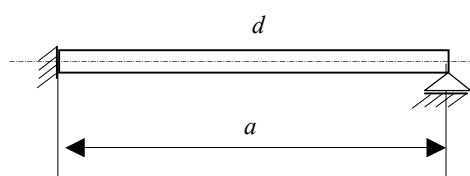


Fig. 4.6.6.

**4.6.6.** Se consideră sistemul format dintr-un arbore de densitate  $\rho$  și rigiditate constantă  $EI$  (având diametrul  $d$ ) încastrat la un capăt și rezemat la celălalt, ca în fig. 4.6.6. Să se determine primele trei pulsații proprii pentru vibrațiile transversale ale acestui sistem. Date numerice:  $\rho = 7,8 \cdot 10^3 \text{ kg/m}^3$ ;  $a = 400 \text{ mm}$ ;  $d = 100 \text{ mm}$ ;  $E = 2,1 \cdot 10^5 \text{ N/mm}^2$



## CAPITOLUL V

### VIBRAȚII ALEATOARE

#### 5.1. Variabile aleatoare și mărimi caracteristice

Multe forme de excitații (cum ar fi acțiunea vântului, cutremure, variația presiunii în vasele și recipientele sub presiune etc.) sunt caracterizate de intensități și moduri de variație aleatoare și nu pot fi descrise decât prin mărimi statistice, deci și răspunsurile dinamice descrise sunt statistice.

Un *experiment este aleator* atunci când răspunsul lui pentru o anumită excitație nu poate fi prevăzut cu precizie și univoc, fiind posibile mai multe răspunsuri. Experimentele aleatoare (cum sunt de exemplu vibrațiile structurilor elastice sub acțiunea unor factori aleatori) se pot generaliza și studia ca procese aleatorii.

Se numește *variabilă aleatoare* o funcție reală  $X$  definită pe domeniul de evenimente  $S$ :

- dacă  $X$  ia un număr finit de valori numerice  $x_1, x_2, x_3, \dots, x_n$ , atunci  $X$  este o *variabilă aleatoare discretă*;
- dacă  $X$  poate lua orice valoare într-un interval dat, atunci  $X$  este o *variabilă aleatoare continuă*.

Variabila aleatoare discretă  $X$  este complet determinată dacă se cunosc toate *realizările* sale:  $x_1, x_2, x_3, \dots, x_n$ , precum și toate probabilitățile corespunzătoare acestor realizări:  $p_1, p_2, p_3, \dots, p_n$ . Legea de repartiție a variabilei aleatoare discrete se scrie:

$$X \begin{pmatrix} x_1 & x_2 & \dots & x_n \\ p_1 & p_2 & \dots & p_n \end{pmatrix} \quad (5.1.1)$$

Legea de repartiție a variabilei aleatoare continue se scrie sub două forme:

- a. *funcția de distribuție*  $F(x)$  a variabilei aleatoare care reprezintă probabilitatea ca variabila  $X$  să fie mai mică decât o variabilă curentă  $x$ :

$$F(x) = P(X < x)$$

Întrucât probabilitatea  $P$  are valori cuprinse între 0 și 1, funcția de distribuție  $F(x)$  are următoarele proprietăți și reprezentarea grafică din figura 5.1.1:

$$\begin{aligned} 0 &\leq F_X(x) \leq 1 \\ F_X(\infty) &= 1 \quad ; \quad F_X(-\infty) = 0 \\ \text{daca } x_1 &\geq x_2 \Rightarrow F_X(x_1) \geq F_X(x_2) \end{aligned} \quad (5.1.2)$$

Probabilitatea ca variabila  $X$  să se afle în intervalul  $(x_1, x_2)$  este:  
 $P(x_1 \leq X \leq x_2) = F_X(x_2) - F_X(x_1)$

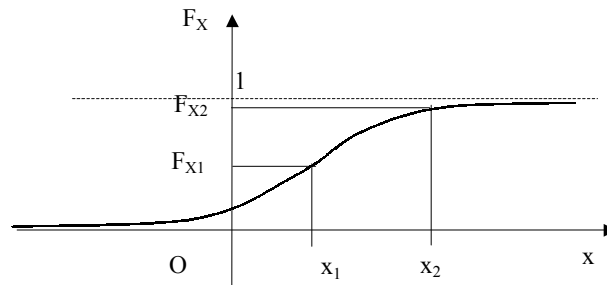


Fig.5.1.1

b. densitatea de probabilitate  $f_X(x)$  este dată de următoarea relație:

$$f_X(x) = \frac{dF_X(x)}{dx} \quad (5.1.3)$$

și are următoarele proprietăți:

- $f_X(x) \rightarrow 0$  deoarece  $F_X(x)$  este monoton crescătoare
- $\int_{-\infty}^{\infty} f_X(x) dx = \int_{-\infty}^{\infty} dF_X(x) = F(\infty) - F(-\infty) = 1$  (5.1.4)
- $\int_{x_1}^{x_2} f_X(x) dx = \int_{-\infty}^{\infty} dF_X(x) = F(x_2) - F(x_1) = P(x_1 \leq X \leq x_2)$

Densitatea de probabilitate este reprezentată grafic ca în figura 5.1.2. Aria hașurată reprezintă valoarea probabilității ca variabila continuă  $X$  să se afle în intervalul  $(x_1, x_2)$ .

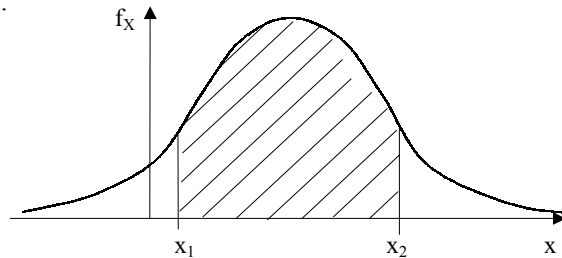


Fig.5.1.2



În general legea de repartiție nu este cunoscută și deci nu se pot determina cele două forme cantitative ale legii: funcția de distribuție și densitatea de probabilitate.

De aceea se utilizează alte mărimi caracteristice care reflectă unele particularitățile esențiale ale legii de repartiție:

- momentul de ordinul I, media sau speranța matematică:

$$E|X| = \bar{X} = \int_{-\infty}^{\infty} xf_X(x)dx \quad (5.1.4)$$

- momentul de ordinul II, media pătratică:

$$E|X^2| = \bar{X}^2 = \int_{-\infty}^{\infty} x^2 f_X(x)dx \quad (5.1.5)$$

- media centrală:

$$E|X - \bar{X}| = \overline{X - \bar{X}} = \int_{-\infty}^{\infty} (x - \bar{x}) f_X(x)dx \quad (5.1.6)$$

- momentul central de ordinul doi sau dispersia:

$$E|(X - \bar{X})^2| = D(x) = \int_{-\infty}^{\infty} (x - \bar{x})^2 f_X(x)dx \quad (5.1.7)$$

- abaterea standard sau abaterea medie pătratică:

$$\begin{aligned} \sigma(x) &= \sqrt{D(x)} \\ \text{sau : } \sigma^2(x) &= D(x) = \bar{X}^2 - (\bar{X})^2 \end{aligned} \quad (5.1.8)$$

## 5.2. Procese aleatoare și mărimi caracteristice

Pe mulțimea  $E$  a unor experimente aleatoare (fig. 5.2.1) se definește relația  $X(x, t)$  care, pentru orice ieșire (experiment  $x$ ), conduce la o funcție  $F(t)$ . O relație de acest fel este denumită proces aleator sau funcție aleatoare. Funcția obținută într-o încercare oarecare  $x_i(t)$  reprezintă o realizare a procesului aleator  $X(x, t)$ , care este conceput ca un ansamblu de astfel de realizări (Figura. 5.2.2).

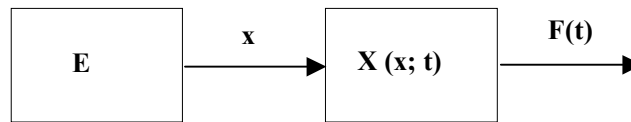


Fig. 5.2.1

Dacă parametrul  $t$  este fixat la o anumită valoare  $t_1$ , atunci procesul aleator  $X(x, t_1)$  devine o variabilă aleatoare, în consecință conceptul de proces aleator reprezintă o generalizare a conceptului de variabilă aleatoare.

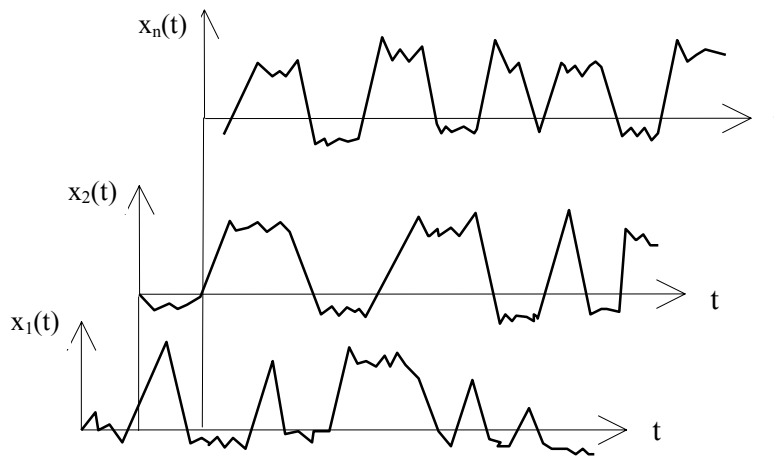


Fig.5.2.2

În mod similar ca pentru variabilele aleatoare, pentru un singur proces aleator  $X(t)$  se definesc următoarele mărimi:

- funcția de distribuție a procesului aleator:

$$F_X(x; t) = P[X(t) \leq x]; \quad (5.2.1)$$

- funcția densității de probabilitate a procesului aleator:

$$f_X(x; t) = \frac{dF_X(x; t)}{dx}; \quad (5.2.2)$$

- momentul de ordinul 1 sau media procesului aleator:

$$\bar{X}(t) = E[X(t)] = \int_{-\infty}^{\infty} x f_x(x; t) dx \quad (5.2.3)$$

- dispersia:

$$D_x(t) = \sigma_x^2(t) = E\left[\left(X(t) - \bar{X}(t)\right)^2\right] = \int_{-\infty}^{\infty} \left[x - \bar{X}(t)\right]^2 f_x(x; t) dx \quad (5.2.4)$$

Dacă pentru parametrul  $t$  se fixează valorile  $t_1, t_2, \dots, t_n$ , atunci procesul aleator  $X(x, t)$  este caracterizat de  $n$  variabile aleatoare  $X_1, X_2, \dots, X_n$  pentru care se pot stabili următoarele mărimi de corelație:

- funcția de distribuție corelată de ordinul  $n$ :

$$F_x(x_1, x_2, \dots, x_n; t_1, t_2, \dots, t_n) = P[X(t_1) \leq x_1, X(t_2) \leq x_2, \dots, X(t_n) \leq x_n] \quad (5.2.5)$$

- funcția densității de probabilitate corelate de ordinul  $n$

$$f_x(x_1, x_2, \dots, x_n, t_1, t_2, \dots, t_n) = \frac{\partial^n F_x(x_1, x_2, \dots, x_n, t_1, t_2, \dots, t_n)}{\partial x_1 \partial x_2 \dots \partial x_n} \quad (5.2.6)$$

Dacă pentru parametrul  $t$  se fixează numai două momente în timp  $t_1$  și  $t_2$ , mărimile de corelație cele mai folosite în analiza proceselor aleatoare sunt următoarele:

- funcția de autocorelație definită ca medie a produsului valorilor funcției de la cele două momente  $t_1, t_2$ :

$$R_x(t_1, t_2) = E[X(t_1) X(t_2)] \quad (5.2.7)$$

- funcția de covarianță definită ca medie centrală a procesului aleator:

$$C_x(t_1, t_2) = E\left[\left(X(t_1) - \bar{X}(t_1)\right)\left(X(t_2) - \bar{X}(t_2)\right)\right] \quad (5.2.8)$$

- coeficientul de corelație denumit și funcție de corelație normalizată:

$$r_x(t_1, t_2) = \frac{C_x(t_1, t_2)}{\sigma_x(t_1) \sigma_x(t_2)} \quad (5.2.9)$$

unde  $\sigma_x(t_1)$  și  $\sigma_x(t_2)$  sunt abaterile medii standard ale proceselor aleatoare la momentele  $t_1$  și  $t_2$ :

$$\sigma_x^2(t_1) = \overline{X^2(t_1)} - \bar{X}^2(t_1) \quad (5.2.10)$$

$$\sigma_x^2(t_2) = \overline{X^2(t_2)} - \bar{X}^2(t_2)$$

### 5.3. Evoluția în timp a proceselor aleatoare

O problemă importantă a teoriei proceselor aleatoare o constituie modul în care acestea evoluează în timp. Un proces aleator se numește staționar atunci când mărimile statistice sunt independente de originea timpului (adică ele nu depind de momentul în care se începe observarea lor).

Considerând un proces aleator staționar de ordinul 1 și 2, condițiile de staționaritate pentru densitățile de probabilitate de ordinul 1 și 2 sunt:

$$\begin{aligned} f_x(x, t) &= f_x(x; t + t_0) \\ f_x(x_1, x_2; t_1, t_2) &= f_x(x_1, x_2; t_1 + t_0, t_2 + t_0) \end{aligned} \quad (5.3.1)$$

și se scriu sub forma generală:

$$\begin{aligned} f_x(x, t) &= f_x(x); \\ f_x(x_1, x_2; t_1, t_2) &= f_x(x_1, x_2; \tau) = f_x(x_1, x_2; -\tau) \end{aligned} \quad (5.3.2)$$

în care  $\tau = t_2 - t_1$ .

Se observă că funcția densității de probabilitate de ordinul 1 este independentă de timp, iar funcția densității de ordinul 2 depinde numai de  $\tau$ , adică de diferența de timp dintre cele două momente.

În consecință, un proces aleator staționar este caracterizat prin mărimile:

➤ media:  $E[X(t)] = \bar{X}(t) = \bar{X}; \quad (5.3.3)$

➤ dispersia:  $\sigma_x^2(t) = \sigma_x^2; \quad (5.3.4)$

➤ funcția de autocorelație:

$$R_x(t_1 t_2) = R_x(\tau); R_x(-\tau) = R_x(\tau); \quad (5.3.5)$$

➤ funcția de covarianță:

$$C_x(t_1, t_2) = C_x(\tau); r_x(t_1, t_2) = r_x(\tau) \quad (5.3.6)$$

#### Observații:

➤ un proces aleator având media constantă (independentă de timp) și funcția de autocorelație dependentă de diferența de timp ( $\tau$ ):  $\bar{X}(t) = \bar{X}; R_x(t_1 t_2) = R_x(\tau)$ , este denumit *staționar în sens larg* sau *slab staționar*.

➤ un proces aleator este *staționar în sens îngust*, atunci când densitățile de repartiție până la ordinul  $n$  sunt funcții numai de diferențele de timp:

$$t_2 - t_1; \quad t_3 - t_1, \dots, t_n - t_1.$$

➤ în dinamica structurilor intervin de cele mai multe ori fenomene vibratorii aleatoare cu staționaritate în sens larg, de aceea prin procese staționare în dinamica structurilor, se vor înțelege procesele staționare în sens larg.

În cazul proceselor slab staționare, se poate obține o reprezentare armonică sau descompunerea în frecvențe a acestora, sub forma valorii medii pătratice  $E|X^2(t)| = \overline{X(t)}^2$ , denumită și puterea procesului  $X(t)$ .

Reprezentarea armonică a unui proces aleator staționar se poate face mai ușor folosind funcția *densității spectrale de putere*  $S_x(\omega)$ , care împreună cu *funcția de autocorelație*  $R_x(\tau)$  formează o *pereche de transformate Fourier*, definite de relațiile:

$$S_x(\omega) = \frac{1}{2\pi} \int_{-\infty}^{+\infty} e^{-i\omega\tau} R_x(\tau) d\tau \quad (5.3.7)$$

$$R_x(\tau) = \int_{-\infty}^{+\infty} e^{i\omega\tau} S_x(\omega) d\omega. \quad (5.3.8)$$

Deci densitatea spectrală de putere (sau densitatea spectrală) este transformata Fourier a funcției de autocorelație, iar funcția de autocorelație este transformata inversă a densității spectrale. Relațiile (5.3.7), (5.3.8) sunt denumite relațiile Wiener - Khinchine și ele indică o reprezentare armonică a procesului considerat.

Din (5.3.7) se observă că dacă funcția de autocorelație este o funcție pară:  $R_x(\tau) = R_x(-\tau)$  atunci și densitatea spectrală este o funcție pară, adică:

$$S_x(\omega) = S_x(-\omega) \quad (5.3.9)$$

Ținând seama de relațiile: (5.3.1), (5.3.6), (5.3.8) și (5.3.9), pentru  $t_2 = t_1 = t$ , adică pentru  $\tau = 0$ , se obține relația:

$$E|X^2(t)| = R_x(0) = \int_{-\infty}^{+\infty} S_x(\omega) d\omega = 2 \int_0^{\infty} S_x(\omega) d\omega \quad (5.3.10)$$

care, întrucât media pătratică:  $E|X^2(t)| = \overline{X(t)}^2$  reprezintă puterea procesului  $X(t)$ , justifică noțiunea de putere a spectrului reprezentării armonice.

În mod asemănător este introdusă noțiunea de *putere în banda de frecvență* ( $\omega_1, \omega_2$ ):

$$P_{\omega_1 \omega_2} = 2 \int_{\omega_1}^{\omega_2} S_x(\omega) d\omega \quad (5.3.11)$$

Întrucât puterea în orice bandă trebuie să fie nenegativă, rezultă

$$S_x(\omega) \geq 0. \quad (5.3.12)$$

Proprietățile (5.3.10) și (5.3.11) pot fi evidențiate prin trecerea unui proces printr-un filtru de frecvențe și calcularea puterii spectrului semnalului rezultat.

## 5.4. Estimările proceselor aleatorii

În general, mărimile statistice ale unui proces aleator sunt necunoscute și funcțiile aleatoare care-l descriu nu pot fi analizate în totalitate. În această situație *teoria estimăției* permite ca din analiza a cel mult câteva realizări ale procesului să se obțină mărimile caracteristice.

Se consideră o singură realizare  $x(t)$  a procesului aleator  $X(t)$ , pentru care se determină următoarele caracteristici:

➤ media estimăției: 
$$\hat{m}_x = \frac{1}{T} \int_0^T x(t) dt \quad (5.4.1)$$

➤ estimarea densității spectrale:

$$\hat{S}_x(\omega) = \frac{1}{T} |X_T(\omega)|^2 \quad (5.4.2)$$

unde  $X_T(\omega)$  este transformata Fourier finită a procesului  $x(t)$ :

$$X_T(\omega) = \frac{1}{2\pi} \int_{-T/2}^{T/2} \exp(-i\omega t) x(t) dt$$

➤ estimarea funcției de autocorelație

$$\hat{R}_X(\tau) = \frac{1}{T-\tau} \int_0^{T-\tau} x(t)x(t+\tau) dt \quad (5.4.3)$$

Se pune însă problema de a stabili modul în care aceste mărimi corespund celor reale ale procesului considerat: atunci când media unei realizări este egală cu media procesului însuși, procesul staționar este numit *ergodic*

Întrucât pentru fiecare realizare, integrala (5.30) dă un număr, rezultă că media  $\hat{m}_x$  reprezintă o variabilă aleatoare. Pentru ca media acestei variabile aleatoare să fie egală cu un număr:  $E[\hat{m}_x] = m_x = \overline{X}$ , trebuie ca dispersia să fie nulă:

$$D(\hat{m}_x) = E[(\hat{m}_x - m_x)^2] = 0 \quad (5.4.4)$$

În continuare, integrala (5.32) conduce la o funcție dependentă de  $\tau$ . Dacă funcția de autocorelație a procesului real depinde de momentele  $t_1$  și  $t_2$ , estimarea (5.32) nu este corectă.

În estimarea proceselor aleatoare este folosită funcția densității spectrale de putere  $S_x(\omega)$ , care împreună cu funcția de autocorelație  $R_{xx}(\tau)$ , constituie o pereche de transformate Fourier (relațiile 5.4.3 și 5.4.4). În problemele de estimare, funcția de autocorelație  $R_{xx}(\tau)$  se definește sub forma valorii medii a produsului  $x(t)x(t+\tau)$ :

$$R_{xx}(\tau) = \lim_{T \rightarrow \infty} \frac{1}{T} \int_0^T x(t)x(t+\tau)dt, \quad (5.4.5)$$

Cele două funcții dau o anumită informație asupra valorii semnalului la momentul  $(t + \tau)$ , dacă este cunoscută valoarea la momentul  $t$ .

Datorită faptului că procesul este staționar și deci nu are influență originea timpului se pot folosi perechile de transformate Fourier:

$$\begin{aligned} X(\omega) &= \frac{1}{2\pi} \int_{-\infty}^{+\infty} x(t) \exp(-i\omega t) dt; x(t) = \int_{-\infty}^{+\infty} X(\omega) \exp(i\omega t) d\omega \\ X(\omega) &= \frac{1}{2\pi} \int_{-\infty}^{+\infty} x(t+\tau) \exp[-i\omega(t+\tau)] dt; \\ x(t+\tau) &= \int_{-\infty}^{+\infty} X(\omega) \exp[i\omega(t+\tau)] d\omega \end{aligned} \quad (5.4.6)$$

pentru a defini următoarele mărimi:

➤ densitatea spectrală de autocorelație:

$$S_{xx}(\omega) = \lim_{T \rightarrow \infty} \frac{1}{T} X(\omega) X^*(\omega) = \lim_{T \rightarrow \infty} \frac{1}{T} |X(\omega)|^2 \quad (5.4.7)$$

unde  $X^*(\omega)$  este conjugata complexă a funcției  $X(\omega)$ ,

$$\text{➤ funcția de autocorelație: } R_{xx}(\tau) = \int_{-\infty}^{+\infty} S_{xx}(\omega) \exp(i\omega\tau) d\omega \quad (5.4.8)$$

care este dependentă de densitatea spectrală  $S_{xx}(\omega)$ .

Densitatea spectrală de autocorelație împreună cu funcția de autocorelație formează o pereche de transformate Fourier :

$$S_{xx}(\omega) = \frac{1}{2\pi} \int_{-\infty}^{+\infty} R_{xx}(\tau) \exp(-i\omega\tau) d\tau \quad (5.4.9)$$

Dacă funcțiile de autocorelație și densitatea spectrală sunt pare:

$$R_{xx}(\tau) = R_{xx}(-\tau); \quad S_{xx}(\omega) = S_{xx}(-\omega) \quad (5.4.10)$$

$$\text{atunci există relațiile: } R_{xx}(\tau) = 2 \int_0^{\infty} S_{xx}(\omega) \exp(i\omega\tau) d\omega \quad (5.4.11)$$

$$S_{xx}(\omega) = \frac{1}{\pi} \int_0^{\infty} R_{xx}(\tau) \exp[-i\omega\tau] d\tau \quad (5.4.12)$$

Pentru  $\tau = 0$  se obține rezultatul:

$$R_{xx}(0) = 2 \int_0^{\infty} S_{xx}(\omega) d\omega = \overline{x^2} \quad (5.4.13)$$

deci media pătratică reprezintă aria cuprinsă sub graficul funcției densității spectrale  $S_{xx}$  (fig. 5.4.1).

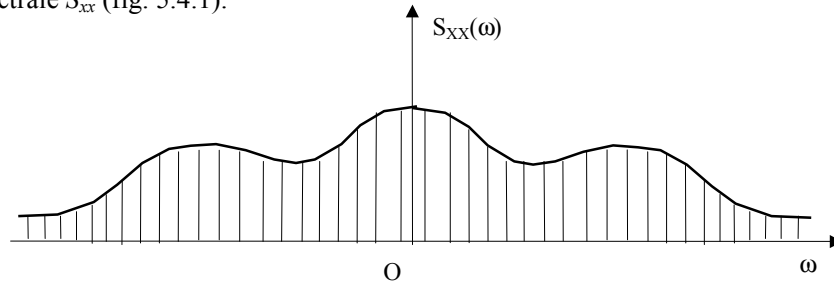


Fig. 5.4.1

O metodă practică pentru estimarea densității spectrale constă în folosirea transformatei Fourier pe o lungime finită. Se consideră realizarea  $x(t)$  a unui proces aleator pentru care transformata Fourier pe o lungime finită este:

$$X_T(\omega) = \frac{1}{2\pi} \int_{-T/2}^{T/2} e^{-i\omega t} x(t) dt \quad (5.4.14)$$

Ținând seama de (5.4.7), estimarea densității spectrale se obține sub forma :

$$\hat{S}_x(\omega) = \frac{1}{T} |X_T(\omega)|^2 \quad (5.4.15)$$

cunoscută și sub denumirea de *transformare Fourier finită* (rapidă).

Relațiile (5.4.13), (5.4.14) și (5.4.15) stau la baza metodei filtrării pentru determinarea experimentală a densității spectrale.

Schema generală a procedurii este dată în figura 5.4.2. Astfel, dacă funcția procesului aleator  $x(t)$  este trecută printr-o bandă filtru  $(\omega, \omega + \Delta\omega)$  se calculează media pătratică, rezultatul se împarte la  $\Delta\omega$  și se obține transformarea Fourier finită  $\hat{S}_x(\omega)$ . Variind banda de filtrare, se poate obține spectrul pentru întreg domeniul de frecvență care interesează.

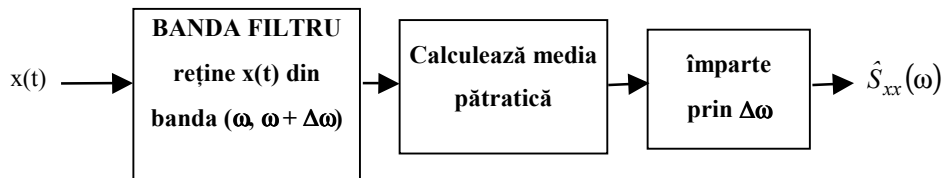


Fig. 5.4.2.



## 5.5. Procese de bandă îngustă și de bandă largă

Un proces a cărei densitate spectrală este distribuită în cea mai mare parte într-o bandă de frecvență îngustă (figura 5.5.1.a) este denumit *proces de bandă îngustă*.

Un proces a cărei densitate spectrală este distribuită într-o bandă largă de frecvențe (figura 5.5.1. b) procesul este denumit *proces de bandă largă*.

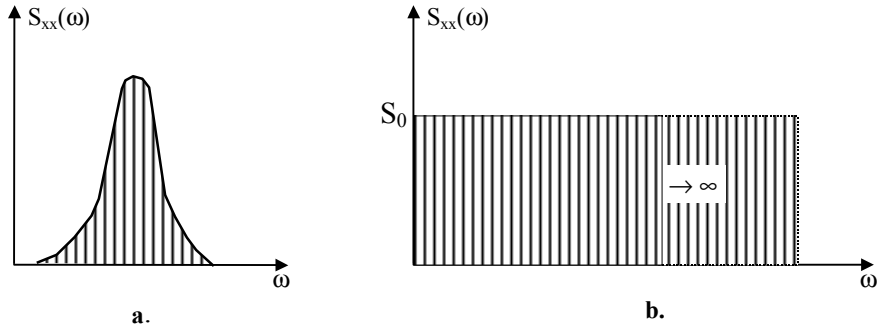


Fig. 5.5.1

Procesul de bandă largă având densitatea spectrală constantă  $S_0$  (figura 5.5.1.b) este denumit *zgomot - alb*. Valoarea mediei pătratice a acestui proces este infinit, ceea ce face ca acest proces să reprezinte o idealizare, dar cu toate acestea el are unele aplicații practice utile.

Funcția de autocorelație a procesului de bandă largă, folosind (5.4.5) este

$$R_{xx}(\tau) = \int_{-\infty}^{+\infty} S_0 e^{j\omega\tau} d\omega = 2\pi S_0 \delta(\tau), \quad (5.5.1)$$

unde  $\delta(\tau)$  reprezintă funcția Dirac, având următoarele proprietăți:

$$\delta(t) = \begin{cases} 0 & \text{daca } t \neq 0 \\ \infty & \text{daca } t = 0 \end{cases}; \quad \int_{-\infty}^{+\infty} \delta(t) dt = 1;$$

$$\int_{-\infty}^t \delta(\tau) d\tau = \begin{cases} 0 & \text{daca } t < 0 \\ \frac{1}{2} & \text{daca } t = 0 \\ 1 & \text{daca } t > 0 \end{cases}; \quad \int_{-\infty}^{+\infty} \varphi(\tau) \delta(t - \tau) d\tau = \varphi(t); \quad (5.5.2)$$

$$\int_0^t \delta(\tau) d\tau = H(t)$$

unde  $H(t)$  este funcția de tip treaptă (Heaviside).

Verificarea relației (5.5.1) se obține cu ușurință, folosind transformata inversă și proprietățile (5.5.2). Într-adevăr, aplicând (5.4.9) se obține:

$$S_{xx}(\omega) = \frac{1}{2\pi} \int_{-\infty}^{\infty} R_{xx}(\tau) \exp(-i\omega\tau) d\tau = S_0 \int_{-\infty}^{\infty} \delta(\tau) \exp(-i\omega\tau) d\tau = S_0 \quad (5.5.3)$$

După determinarea densității spectrale a procesului  $X$  este necesar să se determine densitățile spectrale ale vitezelor  $\dot{X}$  și accelerațiilor  $\ddot{X}$ . Se consideră funcția de autocorelație:

$$R_{xx}(\tau) = \int_{-\infty}^{+\infty} x(t)x(t+\tau) dt \quad (5.5.4)$$

care se derivează în raport cu  $\tau$ :

$$\frac{dR_{xx}(\tau)}{d\tau} = \int_{-\infty}^{+\infty} x(t) \frac{dx(t+\tau)}{d(t+\tau)} \frac{d(t+\tau)}{d\tau} dt = \int_{-\infty}^{+\infty} x(t)\dot{x}(t+\tau) dt \quad (5.5.5)$$

Pentru un proces staționar, relația (5.5.5) se poate scrie sub forma:

$$\frac{dR_{xx}(\tau)}{d\tau} = \int_{-\infty}^{\infty} x(t-\tau)\dot{x}(t) dt \quad (5.5.6)$$

Derivând încă o dată în raport cu  $\tau$  se obține :

$$\frac{d^2 R_{xx}(\tau)}{d\tau^2} = - \int_{-\infty}^{+\infty} \dot{x}(t-\tau)\dot{x}(t) dt = -R_{\dot{x}\dot{x}}(\tau) \quad (5.5.7)$$

Considerând relația funcției de autocorelație (5.4.5)

$$R_{xx}(\tau) = \int_{-\infty}^{+\infty} S_{xx}(\omega) \exp(i\omega\tau) d\omega \quad (5.5.8)$$

și derivând de două ori în raport cu  $\tau$  se obține:

$$\frac{d^2 R_{xx}(\tau)}{d\tau^2} = - \int_{-\infty}^{+\infty} \omega^2 S_{xx}(\omega) \exp(i\omega\tau) d\omega = -R_{\dot{x}\dot{x}}(\tau) \quad (5.5.9)$$

Introducând funcția densității spectrale a vitezelor  $S_{\dot{x}\dot{x}}(\omega)$ , se poate scrie analog:

$$R_{\dot{x}\dot{x}}(\tau) = \int_{-\infty}^{+\infty} S_{\dot{x}\dot{x}}(\omega) \exp(i\omega\tau) d\omega \quad (5.5.10)$$

Identificând (5.5.10) cu (5.5.9) se obține *densitatea spectrală a vitezei*:

$$S_{\dot{x}\dot{x}}(\omega) = \omega^2 S_{xx}(\omega) \quad (5.5.11)$$

În mod similar se obține *densitatea spectrală a accelerației*:

$$S_{\ddot{x}\ddot{x}}(\omega) = \omega^2 S_{\dot{x}\dot{x}}(\omega) = \omega^4 S_{xx}(\omega) \quad (5.5.12)$$

Funcția de intercorelație între deplasarea  $x$  și viteza  $\dot{x}$  este totdeauna zero. Într-adevăr considerând funcția de intercorelație

$$R_{x\dot{x}}(\tau) = \int_{-\infty}^{\infty} S_{x\dot{x}}(\omega) \exp(i\omega\tau) d\omega \quad (5.5.13)$$

și derivând această funcție în raport cu  $\tau$  se obține:

$$\frac{d}{d\tau} [R_{x\dot{x}}(\tau)] = i \int_{-\infty}^{+\infty} \omega S_{x\dot{x}}(\omega) \exp(i\omega\tau) d\omega = 0 \quad (5.5.14)$$

întrucât integrantul este o funcție impară, valoarea integralei de la  $-\infty$  la 0 este egală și de semn contrar cu valoarea integralei de la 0 la  $\infty$ .

- Pentru un proces aleator ergodic de bandă largă (cu media zero), ținând seama de (5.5.11) și (5.5.12), se obțin expresiile:

$$\begin{aligned} D_{xx} &= \sigma_{xx}^2 = \int_{-\infty}^{+\infty} S_{xx}(\omega) d\omega \\ D_{\dot{x}\dot{x}} &= \int_{-\infty}^{+\infty} \omega^2 S_{xx}(\omega) d\omega \\ D_{\ddot{x}\ddot{x}} &= \int_{-\infty}^{+\infty} \omega^4 S_{xx}(\omega) d\omega \end{aligned} \quad (5.5.15)$$

- Pentru un proces în bandă îngustă (figura 5.5.2 a), aplicând (5.5.15) rezultă

$$\begin{aligned} D_{xx} &\approx 2S_0 \Delta\omega; \\ D_{\dot{x}\dot{x}} &\approx 2S_0 \omega_0^2 \Delta\omega; \\ D_{\ddot{x}\ddot{x}} &= 2S_0 \omega_0^4 \Delta\omega \end{aligned} \quad (5.5.16)$$

Folosind (5.4.5) se determină funcția de autocorelație:

$$\begin{aligned}
 R_{xx}(\tau) &= \int_{-\infty}^{+\infty} S_{xx}(\omega) \exp(i\omega\tau) d\omega = \int_{-\infty}^{+\infty} S_{xx}(\omega) \cos \omega\tau d\omega = \\
 &= S_0 \int_{-\omega_2}^{-\omega_1} \cos \omega\tau d\omega + S_0 \int_{\omega_1}^{\omega_2} \cos \omega\tau d\omega = 2S_0 \frac{1}{\tau} \sin \omega\tau \Big|_{\omega_1}^{\omega_2}
 \end{aligned} \quad (5.5.17)$$

Rezultă:

$$R_{xx}(\tau) = S_0 \frac{1}{\tau} \sin(\Delta\omega\tau) \cos(\Delta\omega\tau) \quad (5.5.17')$$

al cărei grafic este prezentat în fig. 5.5.2.b. Pentru  $\tau = 0$  se obține  $R_{xx}(0) = S_0\Delta\omega = \max$ , care pentru un proces staționar cu media nulă, reprezintă chiar dispersia.

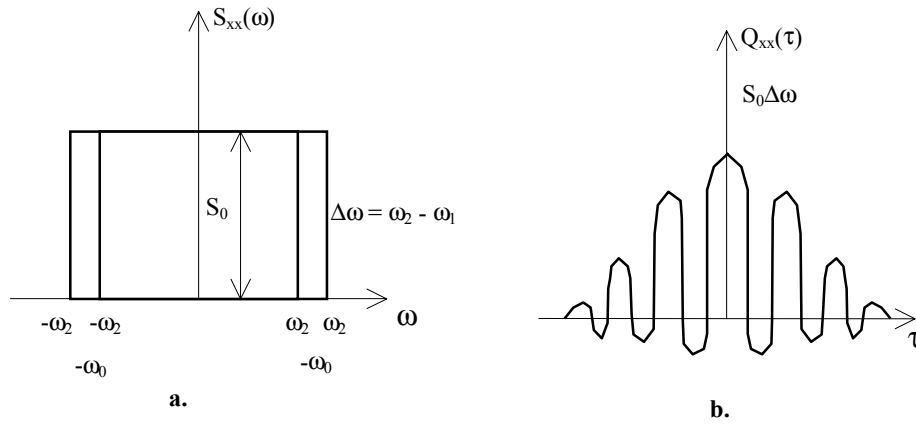


Fig.5.5.2

Din relațiile (5.5.16) se determină pulsația caracteristică

$$\omega_0^2 = D_{\ddot{x}} / D_{xx} \quad (5.5.18)$$

Dacă momentele de ordinul  $n$  ale spectrului sunt definite de relația:

$$M_n = \int_{-\infty}^{+\infty} S_{xx}(\omega) \omega^n d\omega \quad (5.5.19)$$

atunci pulsația caracteristică se exprimă prin:

$$\omega_0^2 = M_2 / M_0 \quad (5.5.20)$$

## 5.6. Răspunsul dinamic la forțe de excitație nearmonice

### 5.6.1. Răspunsul dinamic la forțe de excitație aleatoare în cazul sistemelor cu un grad de libertate

Se consideră ecuația generală a sistemelor cu un grad de libertate:

$$m\ddot{u} + c\dot{u} + ku = f(t) \quad (5.6.1)$$

și se notează cu  $S_{ff}(\omega)$  densitatea spectrală a răspunsului dinamic.

În conformitate cu (5.4.5) funcția de autocorelație a răspunsului  $u(t)$  este:

$$R_{uu}(\tau) = \lim_{T \rightarrow \infty} \frac{1}{T} \int_{-T/2}^{T/2} u(t)u(t+\tau)dt \quad (5.6.2)$$

Folosind răspunsul dinamic sub forma:  $u(t) = \int_{-\infty}^{\infty} f(t-\tau) \cdot h(\tau)d\tau$ ,

se obțin relațiile:

$$u(t) = \int_{-\infty}^{+\infty} f(t-\tau_1)h(\tau_1)d\tau_1 \quad (5.6.3)$$

$$u(t+\tau) = \int_{-\infty}^{+\infty} f(t+\tau-\tau_2)h(\tau_2)d\tau_2 \quad (5.6.4)$$

care, introduse în (5.6.2), conduc la expresia:

$$R_{uu}(\tau) = \int_{-\infty}^{+\infty} \int_{-\infty}^{+\infty} h(\tau_1)h(\tau_2)d\tau_1d\tau_2 \left[ \lim_{T \rightarrow \infty} \frac{1}{T} \int_{-T/2}^{T/2} f(t-\tau_1)f(t+\tau-\tau_2)dt \right] \quad (5.6.5)$$

unde funcțiile  $h(\tau_1)$ ,  $h(\tau_2)$  reprezintă răspunsul sistemului la un impuls unitar aplicat la momentele  $\tau_1$  respectiv  $\tau_2$ .

Ținând seama că termenul din parantezele mari al relației (5.6.5) notată cu  $R_{ff}(\tau + \tau_1 - \tau_2)$  este chiar funcția de autocorelație a forțelor aleatoare  $f(t)$ , relația (5.6.2) devine:

$$R_{uu}(\tau) = \int_{-\infty}^{+\infty} \int_{-\infty}^{+\infty} h(\tau_1)h(\tau_2)R_{ff}(\tau + \tau_1 - \tau_2)d\tau_1d\tau_2 \quad (5.6.6)$$

Densitatea spectrală a răspunsului  $S_{uu}(\omega)$  se determină cu relația:

$$\begin{aligned} S_{uu}(\omega) &= \frac{1}{2\pi} \int_{-\infty}^{+\infty} e^{-i\omega\tau} R_{uu}(\tau)d\tau \\ &= \int_{-\infty}^{+\infty} e^{i\omega\tau_1} h(\tau_1)d\tau_1 \cdot \int_{-\infty}^{+\infty} e^{i\omega\tau_2} h(\tau_2)d\tau_2 \cdot \frac{1}{2\pi} \int_{-\infty}^{+\infty} e^{i\omega(\tau-\tau_1+\tau_2)} R_{ff}(\tau + \tau_1 - \tau_2)d\tau \end{aligned} \quad (5.6.7)$$

Folosind transformata Fourier:

$$H(i\omega) = \int_{-\infty}^{\infty} h(t) e^{-i\omega t} dt \quad (5.6.8)$$

sunt evidențiate relațiile:

$$\begin{aligned} \overline{H}(\omega) &= \int_{-\infty}^{+\infty} e^{-i\omega\tau_2} h(\tau_2) d\tau_2, & \tilde{H}(\omega) &= \int_{-\infty}^{+\infty} e^{i\omega\tau_1} h(\tau_1) d\tau_1; \\ \overline{H}(\omega)\tilde{H}(\omega) &= |H(\omega)|^2 \end{aligned} \quad (5.6.9)$$

în care  $\tilde{H}(\omega)$  este conjugata lui  $\overline{H}(\omega)$ .

Pe baza relației (5.6.7) se obține *densitatea spectrală a excitației*:

$$S_{ff}(\omega) = \frac{1}{2\pi} \int_{-\infty}^{+\infty} e^{-i\omega(\tau+\tau_1-\tau_2)} R_{ff}(\tau+\tau_1-\tau_2) d\tau \quad (5.6.10)$$

Înlocuind (5.6.10) și (5.6.9) în (5.6.7) rezultă relația:

$$S_{uu}(\omega) = \overline{H}(\omega)\tilde{H}(\omega)S_{ff}(\omega) = |H(\omega)|^2 S_{ff}(\omega) \quad (5.6.11)$$

care arată că densitatea spectrală a deplasării la pulsația  $\omega$  este egală cu densitatea spectrală a forțelor aleatoare multiplicată cu pătratul modulului receptanței complexe, denumit și funcție de transfer.

Din (5.6.2) se obține:  $R_{uu}(0) = \overline{u^2(t)}$ , iar din (5.4.11):

$$R_{uu}(0) = \int_{-\infty}^{+\infty} S_{uu}(\omega) d\omega. \quad (5.6.11')$$

Asamblate, aceste relații împreună cu (5.6.11), conduc la expresia:

$$\overline{u^2(t)} = \int_{-\infty}^{+\infty} S_{uu}(\omega) d\omega = \int_{-\infty}^{+\infty} |H(\omega)|^2 S_{ff}(\omega) d\omega \quad (5.6.12)$$

care reprezintă media pătratului răspunsului dinamic în deplasări.

Din relația:

$$H(i\omega) = \frac{1}{k - m\omega^2 + ic\omega} = \frac{1}{k} \frac{1 - \frac{\omega^2}{p^2} - i \cdot 2\zeta \cdot \frac{\omega}{p}}{\left(1 - \frac{\omega^2}{p^2}\right)^2 + \left(2\zeta \frac{\omega}{p}\right)^2} \quad (5.6.13)$$

rezultă pătratul modulului receptanței complexe sau funcția de transfer (fig.5.6.1):

$$|H(\omega)|^2 = \frac{1}{k^2} \left[ (1 - \eta^2)^2 + (2\zeta\eta)^2 \right]^{-1}, \quad \eta = \frac{\omega}{p} \quad (5.6.14)$$

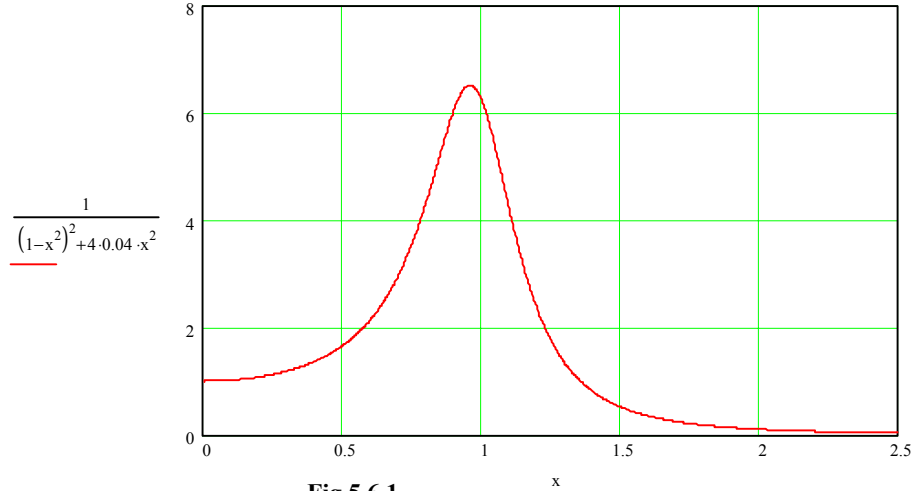


Fig.5.6.1

Dispersia variabilei aleatoare  $u(t)$ , este:

$$D(u) = \sigma^2(u) = \overline{u^2(t)} - \overline{u^2(t)} \quad (5.6.15)$$

în care  $\overline{u(t)}$  reprezintă valoarea medie. Întrucât pentru procese ergodice valoarea medie este constantă, ținând seama de relația:

$$u(t) = h(t) = \frac{1}{mp_a} e^{-\nu p t} \sin p_a t \quad (5.6.16)$$

se obține relația:

$$\begin{aligned} \overline{u(t)} &= \lim_{T \rightarrow \infty} \frac{1}{T} \int_{-T/2}^{T/2} u(t) dt = \int_{-\infty}^{+\infty} h(\tau) d\tau \cdot \lim_{T \rightarrow \infty} \frac{1}{T} \int_{-T/2}^{T/2} f(t - \tau) dt \\ \overline{u(t)} &= \overline{f(t)} \int_{-\infty}^{+\infty} h(\tau) d\tau = \frac{1}{k} \overline{f(t)} \end{aligned} \quad (5.6.17)$$

care exprimă dependența dintre valoarea medie a răspunsului de excitație.

La procese staționare ergodice cu medie nulă, dispersia (5.6.15), devine:

$$D(u) = \sigma^2(u) = \int_{-\infty}^{+\infty} |H(\omega)|^2 S_{ff}(\omega) d\omega \quad (5.6.18)$$

Cu ajutorul dispersiei și a unei legi de repartiție, se poate calcula probabilitatea ca deplasarea să se găsească într-un anumit domeniu sau probabilitatea atingerii unei anumite valori maxime. Evident, în mod asemănător se determină dispersiile și probabilitățile atingerii unei anumite valori maxime pentru eforturi, tensiuni, accelerații etc.

### 5.6.2. Răspunsul dinamic la forțe de excitație periodice nearmonice

Forțele perturbatoare armonice este o clasă destul de limitată de excitații al sistemelor elastice cu sau fără amortizare. Cele mai multe excitații sunt nearmonice. Dintre acestea o clasă specială o constituie forțele perturbatoare periodice. Cea mai folosită metodă de rezolvare a acestui tip de probleme este metoda dezvoltării în serie Fourier. Ecuația diferențială a vibrațiilor amortizate ale unui sistem cu un grad de libertate se scrie:

$$m\ddot{x} + c\dot{x} + kx = F(t) \quad (5.6.19)$$

care se mai scrie:

$$\ddot{x} + 2\alpha\dot{x} + p^2x = \frac{1}{m}F(t) \quad (5.6.20)$$

Orice funcție periodică  $f(t)$  se poate dezvolta în serie Fourier sub forma:

$$f(t) = \frac{a_0}{2} + \sum_{k=1}^{\infty} a_k \cos(k\omega t) + b_k \sin(k\omega t);$$

$$\text{unde: } a_0 = \frac{\omega}{2\pi} \int_0^{\frac{2\pi}{\omega}} f(t) dt; \quad a_k = \frac{\omega}{\pi} \int_0^{\frac{2\pi}{\omega}} f(t) \cos(k\omega t) dt; \quad (5.6.21)$$

$$b_k = \frac{\omega}{\pi} \int_0^{\frac{2\pi}{\omega}} f(t) \sin(k\omega t) dt.$$

Expresia (5.6.21) se mai poate scrie sub forma:

$$f(t) = \frac{c_0}{2} + \sum_{k=1}^{\infty} c_k \cos(k\omega t - \varphi_k); \quad (5.6.22)$$

$$\text{unde: } c_0 = a_0; \quad c_k = \sqrt{a_k^2 + b_k^2}; \quad \varphi_k = \arctan \frac{b_k}{a_k}$$

În dezvoltarea Fourier (5.6.22) semnificația termenilor este următoarea:

$\frac{c_0}{2}$  - valoarea medie a funcției

$c_k \cos(k\omega t - \varphi_k)$  - armonica de ordinul  $n$  a vibrațiilor

$c_1, c_2, c_3, c_4, \dots$  - spectrul amplitudinilor

$\varphi_1, \varphi_2, \varphi_3, \varphi_4, \dots$  - spectrul fazelor

Dacă funcția periodică  $f(t)$  este pară atunci seria (5.6.22) conține numai

componentele în cosinus:  $f(t) = \frac{a_0}{2} + \sum_{n=1}^{\infty} a_n \cos(n\omega t)$  iar dacă funcția periodică



$f(t)$  este impară atunci seria (5.6.21) conține numai componentele în sinus:

$$f(t) = \frac{a_0}{2} + \sum_{n=1}^{\infty} a_n \sin(n\omega t);$$

Deși în general seriile Fourier sunt infinite, numărul armonicelor unei funcții periodice poate fi finit. Dacă într-un punct funcția  $f(t)$  este continuă, atunci seria Fourier converge către această valoare, iar dacă funcția  $f(t)$  nu este continuă, atunci seria Fourier converge către valoarea medie a funcției din punctul de discontinuitate.

### Exemplul 1

Să se reprezinte cu ajutorul dezvoltării în serie Fourier funcția periodică impară (fig. 5.6.2) de perioadă  $2\pi$ , definită astfel:

$$f(t) = \begin{cases} 1 & \text{pentru } t \in (0, \pi) \\ -1 & \text{pentru } t \in (\pi, 2\pi) \end{cases} \quad (5.6.23)$$

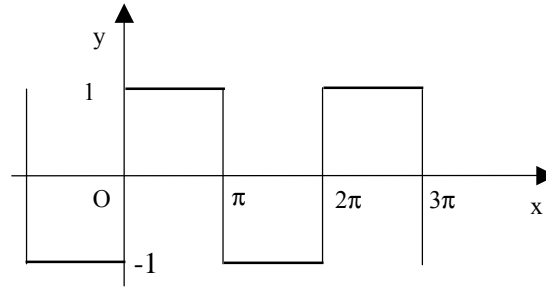


Fig.5.6.2

Coefficienții seriei Fourier  $a_0$ ,  $a_k$  și  $b_k$  sunt dați de formulele (5.6.21):

$$\begin{aligned} a_0 &= \frac{1}{2\pi} \int_0^{2\pi} f(t) dt = \frac{1}{2\pi} \left[ \int_0^{\pi} f(t) dt + \int_{\pi}^{2\pi} f(t) dt \right] = 0 \\ a_k &= \frac{1}{\pi} \int_0^{2\pi} f(t) \cos kt dt = \frac{1}{\pi} \left[ \int_0^{\pi} \cos kt dt - \int_{\pi}^{2\pi} \cos kt dt \right] = 0 \\ b_k &= \frac{1}{\pi} \int_0^{2\pi} f(t) \sin kt dt = \frac{1}{\pi} \left[ \int_0^{\pi} \sin kt dt - \int_{\pi}^{2\pi} \sin kt dt \right] = \frac{2}{\pi} \cdot \frac{1 - (-1)^k}{k} \end{aligned} \quad (5.6.24)$$

Deci dezvoltarea în serie Fourier a funcției (5.6.23) se scrie:

$$f(t) = \frac{4}{\pi} \left( \frac{\sin t}{1} + \frac{\sin 3t}{3} + \frac{\sin 5t}{5} + \dots \right) \quad (5.6.25)$$

**Exemplul 2**

Să se reprezinte cu ajutorul dezvoltării în serie Fourier funcția periodică pară de perioadă  $2\pi$ , definită astfel (fig. 5.6.3):

$$f(t) = \begin{cases} t & \text{pentru } t \in (0, \pi) \\ 2\pi - t & \text{pentru } t \in (\pi, 2\pi) \end{cases} \quad (5.6.26)$$

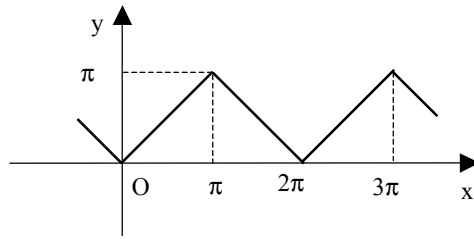


Fig. 5.6.3

Coeficienții seriei Fourier  $a_0$ ,  $a_k$  și  $b_k$  sunt:

$$\begin{aligned} a_0 &= \frac{1}{2\pi} \int_0^{2\pi} f(t) dt = \frac{1}{2\pi} \left[ \int_0^{\pi} t dt + \int_{\pi}^{2\pi} (2\pi - t) dt \right] = \frac{\pi}{2} \\ a_k &= \frac{1}{\pi} \int_0^{2\pi} f(t) \cos kt dt = \frac{1}{\pi} \left[ \int_0^{\pi} t \cos kt dt + \int_{\pi}^{2\pi} (2\pi - t) \cos kt dt \right] = \frac{2}{\pi} \cdot \frac{1 - (-1)^k}{k^2} \quad (5.6.27) \\ b_k &= \frac{1}{\pi} \int_0^{2\pi} f(t) \sin kt dt = \frac{1}{\pi} \left[ \int_0^{\pi} t \sin kt dt + \int_{\pi}^{2\pi} (2\pi - t) \sin kt dt \right] = 0 \end{aligned}$$

Deci dezvoltarea în serie Fourier a funcției (5.6.26) se scrie:

$$f(t) = \frac{\pi}{2} - \frac{4}{\pi} \left( \frac{\cos t}{1} + \frac{\cos 3t}{3^2} + \frac{\cos 5t}{5^2} + \dots \right) \quad (5.6.28)$$

**Exemplul 3**

Să se reprezinte cu ajutorul dezvoltării în serie Fourier funcția periodică de perioadă  $2\pi$ , definită astfel (fig. 5.6.4):

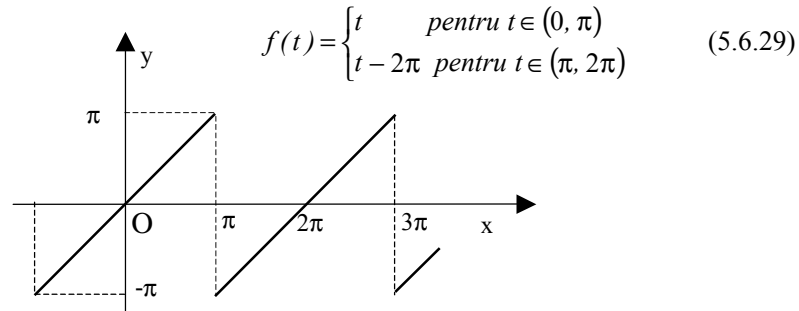


Fig.5.6.4

Coeficienții seriei Fourier  $a_0$ ,  $a_k$  și  $b_k$  sunt:

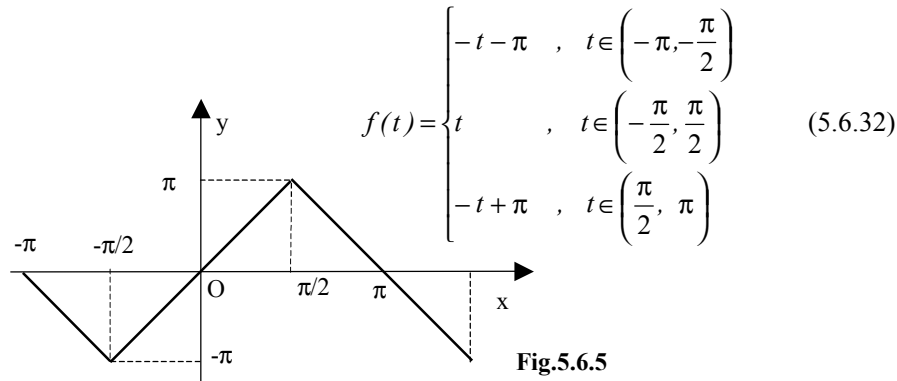
$$\begin{aligned}
 a_0 &= \frac{1}{2\pi} \int_0^{2\pi} f(t) dt = \frac{1}{2\pi} \left[ \int_0^{\pi} t dt + \int_{\pi}^{2\pi} (t - 2\pi) dt \right] = 0 \\
 a_k &= \frac{1}{\pi} \int_0^{2\pi} f(t) \cos kt dt = \frac{1}{\pi} \left[ \int_0^{\pi} t \cos kt dt + \int_{\pi}^{2\pi} (t - 2\pi) \cos kt dt \right] = 0 \\
 b_k &= \frac{1}{\pi} \int_0^{2\pi} f(t) \sin kt dt = \frac{1}{\pi} \left[ \int_0^{\pi} t \sin kt dt + \int_{\pi}^{2\pi} (t - 2\pi) \sin kt dt \right] = \frac{2(-1)^{k+1}}{k}
 \end{aligned} \quad (5.6.30)$$

Deci dezvoltarea în serie Fourier a funcției (5.6.29) se scrie:

$$f(t) = 2 \left( \frac{\sin t}{1} - \frac{\sin 2t}{2} + \frac{\sin 3t}{3} + \dots \right) \quad (5.6.31)$$

#### Exemplul 4

Să se reprezinte cu ajutorul dezvoltării în serie Fourier funcția periodică impară de perioadă  $2\pi$ , definită astfel (fig. 5.6.5):



Coeficienții seriei Fourier  $a_0$ ,  $a_k$  și  $b_k$  sunt:

$$\begin{aligned}
 a_0 &= \frac{1}{2\pi} \int_0^{2\pi} f(t) dt = 0; \quad a_k = \frac{1}{\pi} \int_0^{2\pi} f(t) \cos kt dt = 0 \\
 b_k &= \frac{2}{\pi} \int_0^{2\pi} f(t) \sin kt dt = \frac{2}{\pi} \left[ \int_0^{\pi/2} t \sin kt dt + \int_{\pi}^{2\pi} (-t + \pi) \sin kt dt \right] = \frac{4}{\pi} \frac{\sin \frac{k\pi}{2}}{k^2}
 \end{aligned} \quad (5.6.33)$$

Deci dezvoltarea în serie Fourier a funcției (5.6.32) se scrie:

$$f(t) = \frac{4}{\pi} \left( \frac{\sin t}{1^2} - \frac{\sin 3t}{3^2} + \frac{\sin 5t}{5^2} - \frac{\sin 7t}{7^2} + \dots \right) \quad (5.6.34)$$

## 5.7. Răspunsul dinamic al sistemelor la șocuri mecanice

### 5.7.1. Tipuri de șocuri mecanice

Șocul mecanic este o formă de transmitere de energiei din exterior într-un timp foarte scurt. Această transmitere se realizează prin acțiunea unei forțe de excitație  $F(t)$  (numită forță percutantă) având o anumită variație (dreptunghiulară, triunghiulară, semisinusoidală, etc.) pe durată  $T$  foarte scurtă (fig. 5.7.1. a, b, c).

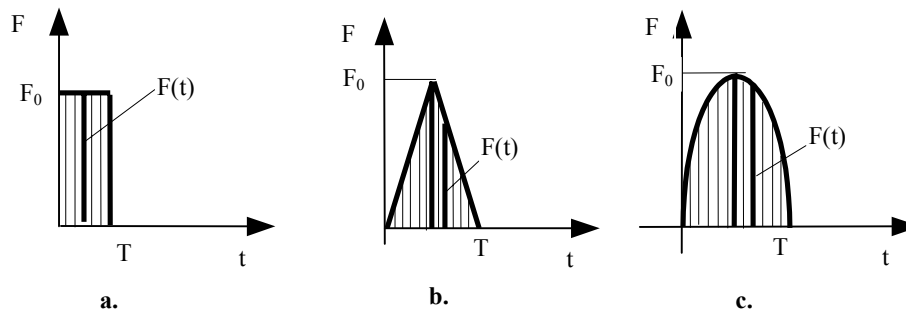


Fig. 5.7.1

Funcția  $F(t)$  indică forma de undă a șocului, iar transformata Fourier a acesteia reprezintă spectrul de pulsații:

$$F(i\omega) = \int_{-\infty}^{\infty} f(t)e^{-i\omega t} dt = \int_0^T F(t)e^{-i\omega t} dt \quad (5.7.1)$$

Ordonatele funcției  $|F(i\omega)|$  pentru diferite valori ale lui  $\omega$  sunt denumite *componente spectrale*.

Astfel pentru  $\omega = 0$  se obține componenta spectrală din origine:

$$|F(i\omega)| = \int_0^T F(t) dt, \quad (5.7.2)$$

Componenta spectrală din origine reprezintă impulsul forței  $F(t)$  sau cantitatea de mișcare transmisă sistemului din exterior în timpul șocului.

Mișcarea unui sistem elastic, la acțiunea unui șoc având o formă de undă cunoscută se poate obține folosind *integrala Duhamel* atunci când se ține seama de amortizări, sau folosind *răspunsul dinamic rezidual* atunci când amortizările se neglijează.

Răspunsul dinamic al structurii pe durata șocului ( $0-T$ ) este denumit *răspuns inițial*, iar mișcarea liberă pentru  $t > T$  este denumită *răspuns rezidual*.

Răspunsul dinamic la șocuri depinde de raportul dintre durata șocului  $T$  și perioada  $T_p$  a vibrațiilor libere.

### 5.7.2. Răspunsul dinamic la un șoc dreptunghiular

Se consideră un sistem elastic cu un singur grad de libertate, fără amortizare, sub acțiunea unui șoc dreptunghiular (fig. 5.7.1.a):

$$F(t) = F_0 \text{ pentru } t \in [0; T] \quad (5.7.3)$$

$$F(t) = 0 \text{ pentru } t > T.$$

Se deosebesc două feluri de răspunsuri:

➤ *răspunsul dinamic inițial* al sistemului (pentru  $t \in [0; T]$ ) este de relația:

$$\eta = \frac{1}{mp} \int_0^t F_0 \sin p(t - \tau) d\tau = \frac{F_0}{mp^2} (1 - \cos pt), \quad (5.7.4)$$

➤ *răspunsul dinamic rezidual* al sistemului (pentru  $t > T$ ) este un răspund armonic dat de:  $\eta_1 = C_1 \cos pt_1 + C_2 \sin pt_1$ , (5.7.5)

unde s-a notat  $t_1 = t - T$

Din condițiile inițiale:  $\eta(T) = \eta_1(0)$ ,  $\dot{\eta}(T) = \dot{\eta}_1(0)$  se determină constantele  $C_1$  și  $C_2$  și se obține răspunsul dinamic rezidual sub forma:

$$\eta_1 = \eta_{st} [\cos p(t - T) - \cos pt], \quad (5.7.6)$$

unde  $\eta_{st}$  reprezintă deplasarea statică dată de o forță  $F_0$ :

$$\eta_{st} = \frac{F_0}{mp^2} = \frac{F_0}{k} \quad (5.7.7)$$

a. Dacă durata șocului este jumătate din perioada proprie ( $T = \frac{T_p}{2} = \frac{\pi}{p}$ ) oscilația este reprezentată în figura 5.7.2 cu linie continuă. Se observă că valoarea maximă este:

$$\eta_{\max} = 2 \eta_{st} \quad (5.7.8)$$

Deplasarea maximă se atinge deci pentru  $t = \frac{\pi}{p} = T$  adică în momentul în

care încetează acțiunea forței exterioare. Întrucât sistemul s-a considerat fără amortizare, în vibrația liberă descrisă de ecuația (5.7.6) deplasarea maximă este aceeași.

- b. Dacă durata șocului este un sfert din perioada proprie  $T = T_p / 4$  oscilația sistemului descrisă de relația (5.7.3) pentru  $t \in \left[0; \frac{\pi}{2p}\right]$  și de relația (5.7.4) pentru  $t > \frac{\pi}{2p}$  este reprezentată cu linie întreruptă în figura.5.7.2.

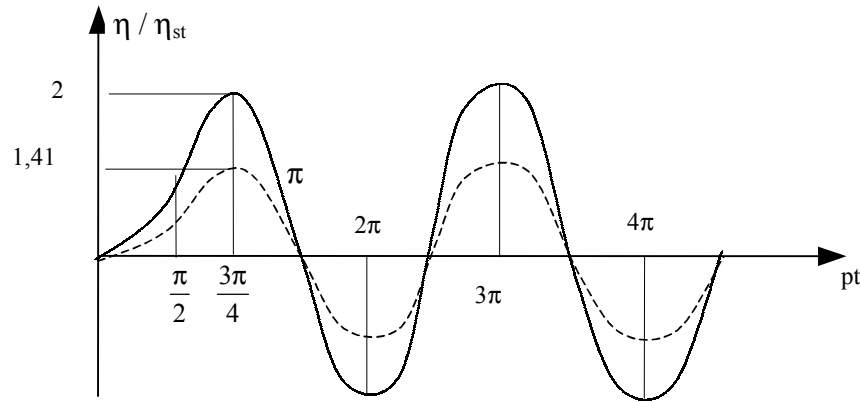


Fig. 5.7.2

Deplasarea maximă:  $\eta_{\max} = 1,41\eta_{st}$  se atinge pentru:  $pt = \frac{3\pi}{4}$ , adică după încetarea șocului în timpul vibrației libere. Deci deplasarea maximă depinde de raportul dintre durata șocului și perioada proprie ( $T/T_p$ ) și pentru aceeași energie introdusă în sistem efectul este cu atât mai puternic cu cât durata este mai mică.

Dacă energia introdusă în sistem este aceeași pentru cele două situații considerate ( $F_0$  cu durata  $T$  și  $F'_0$  cu durata  $T'$ ) atunci există egalitatea:

$$F_0 T = F'_0 T' \quad (5.7.9)$$

unde înlocuind  $T = T_p / 2$  și  $T' = T_p / 4$  se obține:  $F'_0 = 2F_0$  (5.7.10)

În consecință, deplasarea maximă se produce atunci când durata șocului este mai mică și rezultă  $\eta_{\max} = 2 \cdot 1,41 \eta_{st} = 2,82 \eta_{st}$ , ceea ce justifică afirmația făcută anterior.

Dacă se reprezintă raportul  $\eta_{\max} / \eta_{st}$  în funcție de  $T / T_p$ , se obține un grafic, denumit *spectrul de răspuns la șoc*.

### 5.7.3. Răspunsul dinamic la șoc semisinusoidală

Se consideră un sistem cu un grad de libertate, fără amortizări solicitat pe o durată  $T$  de o forță de formă semisinusoidală de amplitudine  $F_0$  (fig. 5.7.1.c):

$$F(t) = F_0 \sin \frac{\pi}{T} t, \quad t \in (0, T) \quad (5.7.11)$$

➤ *răspunsul dinamic inițial* se obține din relația (5.7.4):

$$\eta = \frac{1}{mp} \int_0^t F(\tau) \sin p(t - \tau) d\tau = \frac{F_0}{m} \cdot \frac{T^2}{\pi^2 - p^2 T^2} \left( \frac{\pi}{pT} \sin pt - \sin \frac{\pi}{T} t \right) \quad (5.7.12)$$

➤ *răspunsul dinamic rezidual* se obține din relația (5.7.5):

$$\eta_1 = \frac{F_0}{mp} \frac{\pi T}{\pi^2 - p^2 T^2} [\sin pt + \sin p(t - T)] \quad (5.7.13)$$

a. Pentru o durată a șocului egală cu jumătate din perioada proprie:  $T = \frac{T_p}{2} = \frac{\pi}{p}$ , după eliminarea nedeterminării în relația (5.7.12) *răspunsul dinamic inițial* se scrie:

$$\eta = \frac{F_0}{2mp^2} (\sin pt - pt \cos pt) = \frac{1}{2} \eta_{st} (\sin pt - pt \cos pt), \quad (5.7.14)$$

unde  $\eta_{st} = F_0 / mp^2 = F_0 / k$  reprezintă deplasarea statică produsă de  $F_0$ .

*Răspunsul dinamic rezidual* conform (5.7.13) devine:

$$\eta_1 = -\frac{\pi}{2} \eta_{st} \cos pt. \quad (5.7.15)$$

Răspunsul dinamic la șoc (curba 1) este reprezentat pe figura 5.10.

b. Pentru o durată a șocului egală cu un sfert din perioada proprie:  $T = \frac{T_p}{4} = \frac{\pi}{2p}$ ,

*răspunsul dinamic inițial* devine:

$$\eta = \eta_{st} \frac{1}{3} (2 \sin pt - \sin 2pt); \quad (5.7.16)$$

iar *răspunsul dinamic rezidual*:

$$\eta_1 = \eta_{st} \frac{2}{3} (\sin pt - \cos pt). \quad (5.7.17)$$

Graficul răspunsului dinamic când durata șocului este  $T = T_p / 4$  (curba 2 din fig.5.7.3) are maximum  $\eta_{\max} = 0,943 \eta_{st}$  în timpul răspunsului rezidual. Acest maximum este mai mic decât cel corespunzător duratei șocului  $T = T_p / 2$  (curba 1 din fig.5.7.3) întrucât unda la șoc având aceeași intensitate din primul caz introduce mai puțină energie în sistem. Întrucât impulsul total în primul caz este:

$$IM = \int_0^T F^0 \sin \frac{\pi}{T} t dt = \frac{2}{\pi} F_0 T \quad (5.7.18)$$

pentru ca în al doilea caz să existe același impuls trebuie dublată forța maximă:

$$F' = 2F_0 \quad (5.7.19)$$

Rezultă o deplasare  $\eta_d = 2 \cdot 0,943\eta_{st} = 1,886\eta_{st}$ , care este mai mare decât deplasarea  $\eta_d = 1,571\eta_{st}$  corespunzătoare șocului având durată  $T_p/2$ .

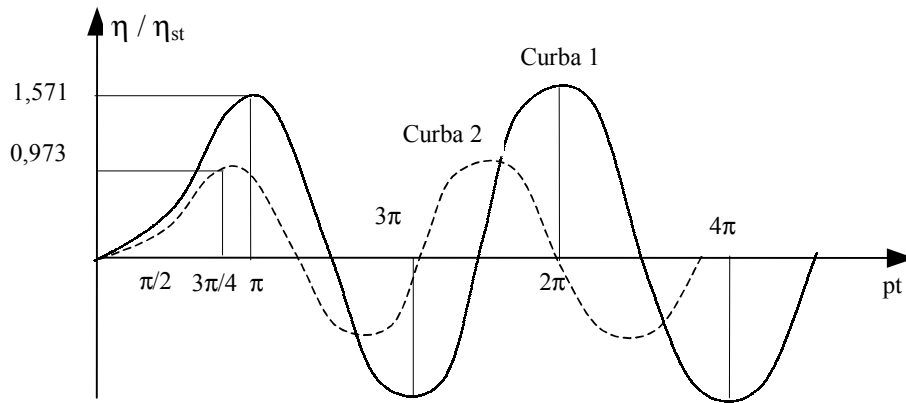


Fig. 5.7.3

### Observație

Șocul sub formă de undă semisinusoidală, este mai defavorabil decât un șoc cu undă dreptunghiulară pentru același impuls total.

Astfel, la un șoc dreptunghiular cu durată  $T = T_p/2$ , deplasarea maximă este  $\eta_{max} = 2\eta_{st}^{F_0}$  iar la un șoc de undă sinusoidală de durată  $T = T_p/2$  pentru același impuls total avem:

$$\frac{F_0 T_p}{2} = \frac{2 F_0 T_p'}{\pi} \quad (5.7.20)$$

și se obține deplasarea maximă:

$$\eta_{max} = \eta_{st} \cdot \frac{\pi}{2} \cdot 1,571 = 2,467\eta_{st}^{F_0} \quad (5.7.21)$$



## 5.8. Răspunsul dinamic al sistemelor la acțiuni seismice

În general, acțiunea seismică asupra unei structuri mecanice se consideră sub forma unei mișcări perturbatorii asupra fundației acesteia, pe direcție orizontală (în orice sens) și pe direcție verticală. Răspunsul dinamic al unei structuri mecanice la acțiuni seismice depinde deci de caracteristicile mișcării perturbatoare, de conlucrarea dintre teren și structură și de caracteristicile fizice și mecanice ale structurii.

Stabilirea răspunsului dinamic al structurii constă în determinarea deplasărilor structurii, a vitezelor și accelerațiilor diferitelor puncte, determinarea forțelor dinamice care se dezvoltă datorită acțiunii seismice, precum și a eforturilor secționale și a tensiunilor din componentele structurii.

Calculul dinamic la acțiuni seismice are însă ca principal neajuns insuficiența cunoaștere a caracteristicilor undelor seismice pe amplasamentul structurii și a modului de conlucrare dintre teren și structură. De aceste caracteristici depinde exactitatea calculului dinamic la acțiuni seismice și eficiența măsurilor de protecție antiseismică.

### 5.8.1. Unde seismice și modalități de propagare

În ipoteza că pământul este un mediu continuu omogen și izotrop, ecuațiile teoriei elasticității în spațiu pentru o particulă în mișcare sunt:

$$(\lambda + G) \begin{bmatrix} \frac{\partial}{\partial x} \\ \frac{\partial}{\partial y} \\ \frac{\partial}{\partial z} \end{bmatrix} \epsilon_v + G \Delta \begin{bmatrix} u \\ v \\ w \end{bmatrix} + q \begin{bmatrix} X \\ Y \\ Z \end{bmatrix} = q \frac{\partial^2}{\partial t^2} \begin{bmatrix} u \\ v \\ w \end{bmatrix}, \quad (5.8.1)$$

unde s-a notat cu:

$$\text{➤ constantele lui Lamé: } \lambda = \frac{\mu E}{(1 + \mu)(1 - 2\mu)}, G = \frac{E}{2(1 + \mu)} \quad (5.8.2)$$

- $E$  - modulul de elasticitate longitudinală;
- $G$  - modulul de elasticitate transversală;
- $\mu$  - coeficientul lui Poisson
- invariantul deformațiilor specifice

$$\text{➤ } \epsilon_v = \epsilon_x + \epsilon_y + \epsilon_z = \frac{\partial u}{\partial x} + \frac{\partial v}{\partial y} + \frac{\partial w}{\partial z} \quad (5.8.3)$$

$$\text{➤ } \Delta = \frac{\partial^2}{\partial x^2} + \frac{\partial^2}{\partial y^2} + \frac{\partial^2}{\partial z^2} \text{ operatorul lui Laplace; } \quad (5.8.4)$$

- $u, v, w$  - deplasările după cele trei direcții;
- $q$  - densitatea specifică;
- $X, Y, Z$  - intensitățile forțelor masice.

### a. Unde longitudinale

Dacă forțele masice se consideră constante sau nule, prin derivarea ecuațiilor (5.8.1), în raport cu  $x, y$  și  $z$ , și prin adunarea lor, ținând seama de (5.8.3), (5.8.4) se obține ecuația:

$$(\lambda + 2G)\Delta\epsilon_v = \rho \frac{\partial^2 \epsilon_v}{\partial t^2} \quad (5.8.5)$$

Dacă se notează

$$v_l = \sqrt{\frac{\lambda + 2G}{q}} = \sqrt{\frac{2(1-\mu)}{1-2\mu} \cdot \frac{G}{q}}, \quad (5.8.6)$$

ecuația (5.8.5) devine:

$$v_l^2 \Delta\epsilon_v - \frac{\partial^2 \epsilon_v}{\partial t^2} = 0 \quad (5.8.7)$$

și reprezintă ecuația diferențială care descrie propagarea undelor longitudinale, adică a acelor unde ce corespund cazului când au loc comprimări sau dilatări ale mediului în direcția de propagare.

În cazul particular când  $u = u(x, t)$ ,  $v = 0$ ,  $w = 0$  și în ipoteza mediului continuu infinit (care nu necesită condiții la limită), ecuația (5.8.7), ia forma:

$$v_l^2 \frac{\partial^2 u(x, t)}{\partial x^2} - \frac{\partial^2 u(x, t)}{\partial t^2} = 0 \quad (5.8.8)$$

și reprezintă ecuația de propagare a undelor în sensul axei  $x$ . Această ecuație este identică cu ecuațiile vibrațiilor longitudinale ale barelor cu masă continuă.

$$u = f(x - v_l t) + g(x + v_l t) \quad (5.8.9)$$

Această expresie (oricare ar fi funcțiile  $f$  și  $g$ ) reprezintă o soluție a ecuației (5.8.7). Într-adevăr, derivând de două ori funcțiile  $f$  și  $g$  în raport cu argumentul  $(x - v_l t)$  și calculând:

$$\frac{\partial^2 u}{\partial x^2} = f''(x - v_l t) + g''(x + v_l t); \quad (5.8.10)$$

$$\frac{\partial^2 u}{\partial t^2} = v_l^2 [f''(x - v_l t) + g''(x + v_l t)], \quad (5.8.11)$$

se observă că ecuația diferențială (5.8.7) este satisfăcută.

Se consideră acum numai funcția:

$$u_l = f(x - v_l t) \quad (5.8.12)$$

care pentru  $t = 0$  reprezintă o perturbație  $u_{l,0} = f(x)$ , de forma celei din fig. 5.8.1.a și se notează  $f(x) = h$ . În această situație, pentru toate valorile  $x$  și  $t$  pentru care:  $x - v_l t = x'$ , se obține  $u_l = f(x - v_l t) = h$ . În consecință, perturbația  $u_{l,0} = f(x)$  se deplasează pe axa  $x$  cu o viteză  $v_l$  (numită undă directă, fig.5.8.1.b).

Mărima  $v_l$  (5.8.6), introdusă ca o notație, reprezintă de fapt viteza de propagare a undelor longitudinale.

$$\text{În cazul barelor ea este: } v_l = \sqrt{\frac{E}{\rho}} \quad (5.8.13)$$

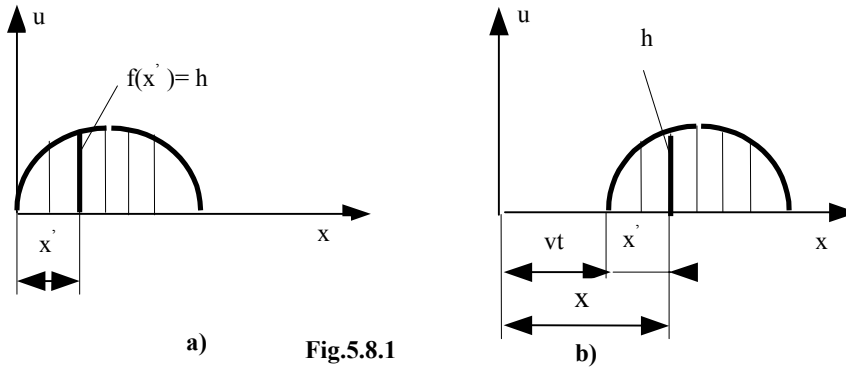


Fig.5.8.1

$$\text{Analizând funcția: } u_2 = g(x + v_l t) \quad (5.8.14)$$

în mod identic cum s-a procedat cu funcția (5.8.9), se ajunge la concluzia că ea reprezintă modulul de propagare al unei perturbații  $u_{2,0} = g(x)$  în sens invers axei  $x$  (undă indirectă). În caz real, așa cum arată soluția (5.103), acțiunea seismică este constituită din suprapunerea mai multor perturbații de intensități diferite, care se propagă în direcții și cu viteze diferite.

Se consideră o undă elastică sinusoidală:

$$u = A \sin \frac{2\pi}{L}(x - v_l t) = A \sin 2\pi \left( \frac{x}{L} - \frac{v_l t}{L} \right) \quad (5.8.15)$$

Pentru  $x$  constant se obține perioada mișcării:  $T = L / v_l$ , din care rezultă că:  $L = v_l T$  reprezintă lungimea de undă, adică distanța parcursă într-o perioadă.

Deformata specifică liniară este:

$$\varepsilon_x = \frac{\partial u}{\partial x} = \frac{A 2\pi}{L} \cos \frac{2\pi}{L}(x - v_l t) \quad (5.8.16)$$

care conduce la tensiuni normale maxime, în sensul de propagare, egale cu:

$$\sigma = E \varepsilon_{\max} = E \frac{A \cdot 2\pi}{L} = E \frac{A}{v_l T} = E \frac{Ta_{\max}}{2\pi v_l} \quad (5.8.17)$$

unde:  $T = 2\pi / \omega$  reprezintă perioada;

$a_{max} = A\omega^2$  - accelerația undei seismice

$v_l$  - viteza de propagare.

Analiza formulei (5.8.15) precizează că tensiunile normale în sens orizontal ce se dezvoltă pe fețele fundațiilor structurilor sunt proporționale cu viteza de propagare. Cum vitezele de propagare în terenuri slabe sunt de 2 - 3 ori mai mici decât în terenuri tari, rezultă că solicitările fundațiilor structurilor în terenuri moi sunt de câteva ori mai mari decât în cazul terenurilor tari.

Datorită deplasărilor fundațiilor se produc fenomene de interacțiune între un teren-fundație, structură, precum și vibrații, deosebit de complexe, ale structurilor. Răspunsul dinamic al acestora, depinde de caracteristicile undelor seismice, interacțiunea dintre teren și structură și de caracteristicile dinamice ale structurilor.

#### b. Unde transversale sau de forfecare

Când  $\varepsilon_v = 0$ , ecuația (5.8.1) descrie vibrațiile transversale sau echivolumetric. Pentru cazul particular  $\varepsilon_v = 0$ ,  $X=Y=Z=0$ ,  $u=v=0$  și  $w=w(xt)$ , ecuația matriceală (5.8.1) devine:

$$\frac{G}{\rho} \frac{\partial^2 w(xt)}{\partial x^2} - \frac{\partial^2 w(xt)}{\partial t^2} = 0, \quad (5.8.18)$$

sau:

$$v_t^2 \frac{\partial^2 w}{\partial x^2} - \frac{\partial^2 w}{\partial t^2} = 0 \quad (5.8.19)$$

și descrie vibrațiile după axa  $z$  când unda se propagă în direcția  $x$ .

Analizând ecuația (5.8.19) în comparație cu (5.8.8) și soluția (5.8.9), rezultă că mărimea  $v_t$  reprezintă viteza de propagare a undelor transversale:

$$v_t = \sqrt{\frac{G_t}{\rho}} \quad (5.8.20)$$

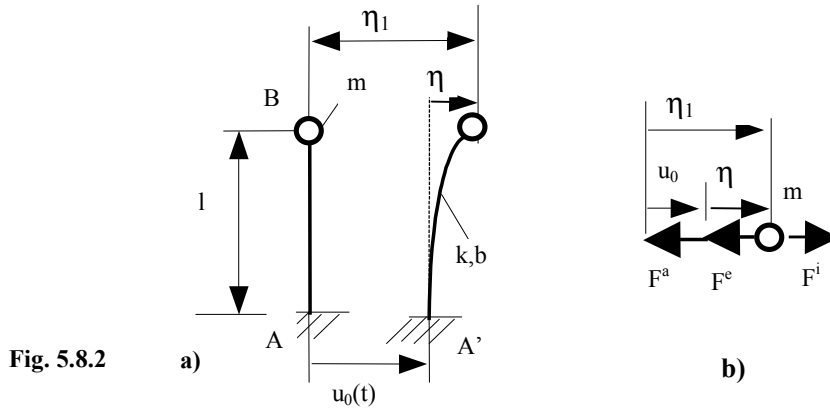
Comparând valoarea (5.8.13) cu (5.8.20), se observă că viteza undelor longitudinale este mai mare decât cea a undelor transversale. Pentru  $\mu = 0,25$  se obține:

$$v_l = \sqrt{3} v_t. \quad (5.8.21)$$

Se poate sublinia faptul că acțiunea seismică asupra structurilor depinde atât de caracteristicile șocului seismic (energie degajată, durată, perioadă dominantă, etc.), de transmisibilitatea undelor seismice și interferențele dintre ele, cât și de interacțiunea dintre teren - structură și caracteristicile dinamice ale structurii.

### 5.8.2. Răspunsul dinamic la acțiuni seismice

Răspunsul seismic al unei structuri este precizat prin funcțiile care descriu deplasările, vitezele și accelerațiile diferitelor puncte ale structurii sub acțiunea mișcării seismice. Întrucât acest răspuns nu poate fi exprimat analitic în domeniul timpului datorită necunoașterii caracteristicilor acțiunii seismice, în practica inginerască se folosesc *spectrele seismice de răspuns*, care reprezintă valorile maxime ale răspunsului (exprimate în deplasări, viteze sau accelerații) sau valorile spectrale.



Se consideră modelul dinamic al unei structuri cu un grad de libertate (fig.5.8.2.a) caracterizat prin masa \$m\$, constanta elastică \$k\$ și constanta de amortizare \$b\$. Baza structurii \$A\$ este supusă unei mișcări aleatoare \$u\_0(t)\$, specifică unei acțiuni seismice orizontale.

Se notează cu \$u\_a = \eta\_l\$ deplasarea absolută, astfel încât:

$$u_a(t) = u_0(t) + u(t) \quad (5.8.22)$$

Izolând masa \$m\$ și scriind echilibrul forțelor (fig.5.12.b), pe baza principiului lui d'Alembert rezultă:

$$F^i = -m\ddot{u}_a; \quad F^a = b\dot{u}; \quad F^e = ku \quad (5.8.23)$$

cu care se obține ecuația de mișcare:

$$m\ddot{u} + b\dot{u} + ku = -m\ddot{u}_0 \quad (5.8.24)$$

având soluții este de forma:

$$u = -\frac{1}{p^*} \int_0^t \ddot{u}_0(\tau) \cdot e^{-vp(t-\tau)} \sin p^*(t-\tau) d\tau \quad (5.8.25)$$

unde: \$p\$ reprezintă pulsația proprie fără amortizare;

\$p^\* = \sqrt{1-v^2}\$ - pulsația proprie cu amortizare;

\$\tau\$ - variabila în intervalul de timp \$0 - t\$.

sau de forma:  $u = -\frac{1}{p^*} S \sin(p^* t - \alpha)$  (5.8.25)

unde :  $S = \sqrt{A^2 + B^2}$  ;  $A = \int_0^t \ddot{u}_0(\tau) e^{-p\nu(t-\tau)} \cos p^* \tau d\tau$ ;  
 $B = \int_0^t \ddot{u}_0(\tau) e^{-p\nu(t-\tau)} \sin p^* \tau d\tau$ ; (5.8.26)

Întrucât derivata unei funcții de forma  $F(t) = \int_0^t f(\tau, t) d\tau$  este:

$$\frac{dF}{dt} = \int_0^t \frac{\partial f}{\partial t} d\tau + f(t, t), \quad (5.8.27)$$

derivarea funcției (5.8.25) conduce la:

$$\begin{aligned} \dot{u} &= -S \cos(p^* t - \beta) \\ \ddot{u}_a &= \ddot{u} + \ddot{u}_0 = p^* S \sin(p^* t - \gamma) \end{aligned} \quad (5.8.28)$$

care reprezintă viteza și accelerația absolută a corpului.

Argumentele  $\alpha$ ,  $\beta$ ,  $\gamma$  sunt unghiuri de fază care depind de mărimile A și B, definite de (5.8.26).

Mărimile definite mai sus ( $u(t)$ ,  $\dot{u}(t)$ ,  $\ddot{u}_a(t)$ ) sunt fundamentale în studiul dinamicii vibrațiilor structurilor, întrucât eforturile din structură sunt proporționale cu deplasarea relativă  $u(t)$ , energia vibrațiilor este în funcție de viteza  $\dot{u}(t)$  iar accelerația absolută  $\ddot{u}_a(t)$  reprezintă mărimea ce se măsoară experimental cu ajutorul accelerometrelor.

Folosind mărimile menționate și admitând  $p^* \equiv p$  se determină :

➤ energia potențială:

$$E_p = \frac{1}{2} Fu = \frac{1}{2} ku^2 = \frac{1}{2} mS^2 \sin^2(pt - \alpha), \quad (5.8.29)$$

➤ energia cinetică:

$$E_c = \frac{1}{2} m\dot{u}^2 = \frac{1}{2} mS^2 \cos^2(pt - \beta) \quad (5.8.30)$$

➤ energia totală:

$$E_t = E_p + E_c = \frac{1}{2} mS^2 [1 + \sin(\alpha - \beta) \sin(2pt - \alpha - \beta)] \quad (5.8.31)$$

Pentru amortizări moderate, factorul  $(\alpha - \beta) \approx 0$  și energia totală maximă se poate scrie sub forma:

$$E_t = (E_c + E_p)_{\max} = \frac{1}{2} mS^2 = \frac{1}{2} m(A^2 + B^2)_{\max} = \frac{1}{2} m(SV)^2 \quad (5.8.32)$$

Mărima  $SV = \max S$ , a cărei expresie se scrie:

$$SV = \left[ \int_0^t \ddot{u}_0(\tau) e^{-vp(t-\tau)} \sin p^*(t-\tau) d\tau \right]_{\max} \quad (5.8.33)$$

se numește *spectru de răspuns al vitezei* sau *spectru de viteză* și este o funcție de accelerația seismică, de perioada proprie de oscilație  $T$  și de factorul de amortizare  $v$ . Mărima  $SV$  se reprezintă grafic în funcție de perioada proprie și de factorul de amortizare  $v$ .

### 5.8.3. Răspunsul seismic Fourier și răspunsul seismic spectral la acțiuni seismice

Pentru a stabili soluția ecuației (5.8.24) se aplică metodologia răspunsului dinamic prin analiza Fourier. Transformata Fourier directă pentru accelerația seismică  $\ddot{u}_0(t)$  se scrie:

$$F(\omega) = \int_{-\infty}^{\infty} \ddot{u}_0(t) e^{-i\omega t} dt \quad (5.8.34)$$

$$\text{iar transformata Fourier inversă: } \ddot{u}_0(t) = \frac{1}{2\pi} \int_{-\infty}^{\infty} F(\omega) e^{i\omega t} d\omega \quad (5.8.35)$$

În mod similar, perechea de transformate Fourier directă și inversă a răspunsului  $u(t)$  este:

$$\begin{aligned} U(\omega) &= \int_{-\infty}^{\infty} u(t) e^{-i\omega t} dt \\ u(t) &= \frac{1}{2\pi} \int_{-\infty}^{\infty} U(\omega) e^{i\omega t} d\omega \end{aligned} \quad (5.8.36)$$

Introducând  $u(t)$  și  $\ddot{u}_0(t)$  în (5.8.24) și notând cu  $H(\omega)$  funcția de transfer (care depinde numai de caracteristicile sistemului):

$$H(\omega) = \frac{1}{p^2} \cdot \frac{1}{1 - \frac{\omega^2}{p^2} + i \left( 2\zeta \frac{\omega}{p} \right)} \quad (5.8.37)$$

$$\text{se obține relația: } U(\omega) = -H(\omega)F(\omega) \quad (5.8.38)$$

Pentru o accelerație de tip Dirac (impuls unitar):

$$\ddot{u}_0(t) = \delta(t - \tau) \Rightarrow F(\omega) = 1 \quad (5.8.39)$$

răspunsul  $u(t)$  la un impuls unitar se notează cu  $h(t)$  din (5.8.37) se obține:

$$h(t) = -\frac{1}{2\pi} \int_{-\infty}^{\infty} H(\omega) e^{i\omega t} d\omega; \quad H(\omega) = -\int_{-\infty}^{\infty} h(t) e^{-i\omega t} dt \quad (5.8.40)$$

ceea ce arată că funcția de transfer  $H(\omega)$  și răspunsul la un impuls unitar de accelerație  $h(t)$  formează o pereche de transformate Fourier.

Dacă se cunoaște accelerograma  $\ddot{u}_0(t)$  se determină  $F(\omega)$  conform (5.8.34) după care se calculează  $U(\omega)$  cu (5.8.38) și apoi răspunsul seismic cu (5.8.36).

Pentru un impuls unitar de accelerație, aplicat în momentul  $\tau$  răspunsul dinamic, este :

$$h(t-\tau) = -\frac{1}{p^*} e^{-vp(t-\tau)} \sin p^*(t-\tau) \quad (5.8.41)$$

Folosind principiul suprapunerii efectelor *răspunsul dinamic total* datorat accelerației  $\ddot{u}_0(t)$  va fi :

$$u(t) = \int_0^t \ddot{u}_0(\tau) h(t-\tau) d\tau = -\frac{1}{p^*} \int_0^t \ddot{u}_0(\tau) e^{-vp(t-\tau)} \sin p^*(t-\tau) d\tau \quad (5.8.42)$$

Se observă că (5.8.40) are aceeași formă cu cel dat de relația (5.8.25).

În stabilirea limitelor integralei s-a ținut seama că:

$$t \geq 0, \text{ iar pentru } \tau > t, f(t-\tau) = 0. \quad (5.8.43)$$

Dacă se neglijează amortizarea ( $p^* = p$ ) deplasarea (5.8.42) are forma:

$$u(t) = -\frac{1}{p} \int_0^t \ddot{u}_0(\tau) \sin p(t-\tau) d\tau$$

$$u(t) = -\frac{1}{p} \left[ \sin pt \int_0^t \ddot{u}_0(\tau) \cos p\tau d\tau - \cos pt \int_0^t \ddot{u}_0(\tau) \sin p\tau d\tau \right] \quad (5.8.44)$$

iar viteza:

$$\dot{u}(t) = -\int_0^t \ddot{u}_0(\tau) \cos p(t-\tau) d\tau$$

$$\dot{u}(t) = -\left[ \sin pt \int_0^t \ddot{u}_0(\tau) \sin p\tau d\tau + \cos pt \int_0^t \ddot{u}_0(\tau) \cos p\tau d\tau \right] \quad (5.8.45)$$

Energia totală a sistemului se scrie:

$$(E_t)_{max} = \left( \frac{1}{2} k u^2 + \frac{1}{2} m \dot{u}^2 \right)_{max}$$

$$(E_t)_{max} = \frac{m}{2} \left( \int_0^t \ddot{u}_0(\tau) \cos p\tau d\tau \right)^2 + \frac{m}{2} \left( \int_0^t \ddot{u}_0(\tau) \sin p\tau d\tau \right)^2 \quad (5.8.46)$$

Dacă se cunoaște accelerograma  $\ddot{u}_0(\tau)$  în intervalul acțiunii seismice  $\tau \in [0; t_s]$ , atunci transformata Fourier directă este

$$F(\omega) = \int_0^{t_s} \ddot{u}_0(\tau) e^{-i\omega\tau} d\tau \quad (5.8.47)$$



$$\text{și se poate scrie: } F(\omega) = \int_0^{t_s} \ddot{u}_0(\tau) \cos \omega \tau d\tau - i \int_0^{t_s} \ddot{u}_0(\tau) \sin \omega \tau d\tau = |F(\omega)| e^{i\varphi(\omega)} \quad (5.8.48)$$

Se notează cu  $SF$  *spectrul Fourier al amplitudinilor accelerației seismice* care este definit astfel:

$$SF = |F(\omega)| = \sqrt{\left( \int_0^{t_s} \ddot{u}_0(\tau) \cos \omega \tau d\tau \right)^2 + \left( \int_0^{t_s} \ddot{u}_0(\tau) \sin \omega \tau d\tau \right)^2} \quad (5.8.49)$$

Din analiza relațiilor (5.8.46) și (5.8.49) se obține

$$(E_t)_{\max} = \frac{m}{2} (SF)^2 \quad (5.8.50)$$

care arată că energia totală a sistemului poate fi evaluată cu ajutorul spectrului Fourier al amplitudinilor accelerațiilor terenului.

Calculând din (5.8.45) viteza maximă  $|\dot{u}|_{\max}$  se obține *spectrul vitezelor relative neamortizate*:

$$SV_0 = |u(\omega)|_{\max} = \sqrt{\left( \int_0^t \ddot{u}_0(\tau) \cos \omega \tau d\tau \right)^2 + \left( \int_0^t \ddot{u}_0(\tau) \sin \omega \tau d\tau \right)^2} \quad (5.8.51)$$

Comparând expresiile (5.8.49) și (5.8.51) rezultă

$$\begin{aligned} SV_0 &= SF && \text{pentru } t = t_s; \\ SV_0 &> SF && \text{pentru } 0 < t < t_s. \end{aligned} \quad (5.8.52)$$

Întrucât *spectrul Fourier al amplitudinilor accelerației seismice*  $SF$  definește conținutul de frecvențe (conținutul spectral) al unei accelerograme înregistrate într-un amplasament, el furnizează informații privind *componentele* și *perioadele dominante ale mișcării* seismice, ceea ce constituie o problemă fundamentală în analiza seismică.

*Spectrul vitezelor relative neamortizate*  $SV_0$  (sau *spectrul pseudovitezelor*) este util la determinarea intensității spectrale a unui cutremur de o anumită intensitate spectrală ( $IS$ ) și reprezintă o măsură globală a violenței unui cutremur.

Intensitatea spectrală se definește astfel:

$$IS_v = \int_{0,1s}^{2,5s} SV(vT) dT \quad (5.8.53)$$

Limitele de integrare (0,1s ; 2,5s) constituie intervalul cel mai semnificativ al perioadelor proprii a structurilor. De regulă intensitate spectrală  $IS_v$  e definește pentru o amortizare  $v = 0,2$  care corespunde unui nivel ridicat de solicitare și se calculează cu ajutorul relației:

$$IS_{0,2} = 0,44(IS_0) - 0,012(IS_0)^2 \quad (5.8.54)$$

unde  $IS_0$  reprezintă *spectrul vitezelor relative neamortizate*:

$$IS_0 = SV_0 \quad (5.8.55)$$

Pe baza accelerogramelor  $\ddot{u}_0(t)$  se stabilește funcția de autocorelație  $R_{\ddot{u}_0}$  și funcția densității spectrale  $S_{\ddot{u}_0}$  care împreună formează o pereche de transformate Fourier. Funcția densității spectrale a răspunsului se scrie sub forma:

$$S_{u,u}(\omega) = |H(\omega)|^2 S_{\ddot{u}_0}(\omega) \quad (5.8.56)$$

în care  $|H(\omega)|$  reprezintă modulul funcției de transfer.

Media pătratului răspunsului dinamic se determină cu relația:

$$\overline{u^2(t)} = \int_{-\infty}^{\infty} S_{u,u}(\omega) d\omega = \int_{-\infty}^{\infty} |H(\omega)|^2 S_{\ddot{u}_0}(\omega) d\omega. \quad (5.8.57)$$

Ținând seama că valoarea medie a accelerației seismice este nulă, folosind (5.8.57) dispersia se scrie:

$$D(u) = \sigma^2(u) = \frac{1}{p^4} \int_{-\infty}^{\infty} \frac{S_{\ddot{u}_0}(\omega) d\omega}{\left(1 - \frac{\omega^2}{p^2}\right)^2 + \left(2v \frac{\omega}{p}\right)^2} \quad (5.8.58)$$

Cu ajutorul dispersiei și a unei legi de repartitie se determină probabilitatea ca deplasarea să se găsească într-un anumit domeniu sau probabilitatea atingerii unor anumite valori maxime. Astfel de probleme sunt fundamentale în analiza seismică pentru a stabili spectrele seismice. Pentru o predicție sigură este nevoie de accelerograme cu durate și amplitudini cât mai semnificative pentru amplasamentul considerat. Principala dificultate în calculul seismic constă însă în evaluarea acestor spectre și mai ales în predicția acestora pentru cutremurele viitoare.

## CAPITOLUL 6

### MAȘINI VIBRATOARE MONOMASICE CU ACȚIONARE CINEMATICĂ

Mașinile vibratoare monomasice cu acționare cinematică se deosebesc prin aceea că antrenarea organului de lucru (a jgheabului vibrator) se face printr-un mecanism de tip bielă-manivelă antrenat de un motor electric având turația constantă.

Din punct de vedere constructiv se deosebesc următoarele mașini vibratoare cu cuplaj nerigid sau rigid:

- Legate cu elemente elastice liniare sau neliniare și amortizoare (fig.6.1.1);
- Cu legături pe suporturi rigizi articulați și cu elemente amortizoare (fig.6.1.2);

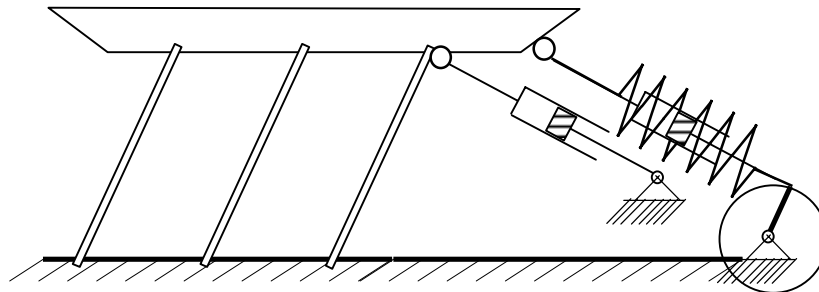


Fig.6.1.1 Mașina vibratoare cu elemente de sprijin elastice și cuplaj nerigid

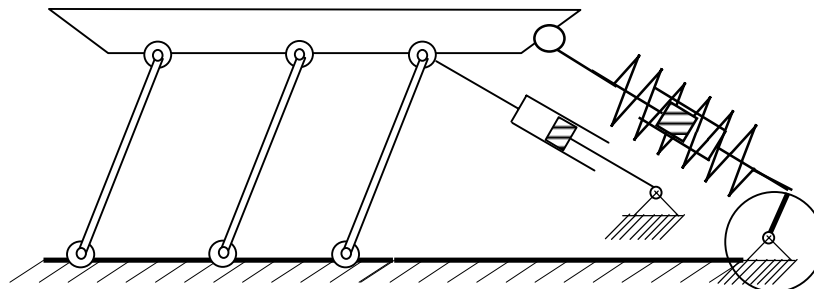


Fig.6.1.2 Mașina vibratoare cu elemente de sprijin articulate și cuplaj nerigid

- Utilizarea cuplajelor rigide prezintă avantajul amplitudinii constante a vibratorului indiferent de turația motorului de antrenare și dezavantajul unui moment de pornire foarte mare. Acest dezavantaj se elimină prin utilizarea cuplajelor elastice; în cazul utilizării cuplajelor elastice dezavantajul constă într-o amplitudine mică în afara zonei de rezonanță și o instabilitate a mișcării vibratorii în zona de rezonanță.
- Utilizarea cuplajelor nerigide elastice liniare cu amortizare permite obținerea unor regimuri de funcționare optime din punct de vedere dinamic. Utilizarea cuplajelor nerigide elastice neliniare oferă posibilitatea obținerii unor regimuri de funcționare stabile în domeniul de rezonanță.

Utilizarea unui model matematic unic pentru modelarea funcționării mașinilor vibratoare permite studiul în cazul general și prin particularizări corespunzătoare cazurilor particulare de cuplaje folosite curent. Se prezintă modelul matematic general pentru cele două categorii de mașini cu suporti elastici și rigizi articulați și apoi pentru fiecare cazurile particulare de cuplaje elastice, cu amortizoare și rigide. S-a studiat pentru fiecare mărime caracteristica a dinamicii mașinilor vibratoare influența celor trei parametri ai cuplajului asupra funcționării:

1. coeficientul de amortizare al elementului amortizor ( $c$ ) sau mărimea adimensională numită *factor de amortizare*  $\zeta = n / p$  (definit ca fracțiune din coeficientul de amortizare critic  $c_{cr}$  corespunzător valorii  $\zeta = 1$ );
2. *factorul de cuplare elastică*, mărime adimensională definită ca fracțiune a constantei elastice a cuplajului din valoarea constantei elastice totale:

$$u = \frac{k_2}{k_1 + k_2}$$

3. *factorul de cuplare al amortizorului* mărime adimensională definită ca fracțiune a constantei de amortizare a cuplajului din valoarea constantei de

$$\text{amortizare totale: } v = \frac{c_2}{c_1 + c_2} .$$

Prin variația unuia din cei trei parametri pentru fiecare tip de cuplaj folosit, cu păstrarea constantă a celorlalți, variabila fiind pulsația relativă  $\eta = \omega / p$  s-au obținut unele rezultate care au permis unele concluzii pertinente bazate pe diagramele de variație obținute cu ajutorul relațiilor determinate și programului MATHCAD. Modelele matematice prezentate mai jos permit stabilirea relațiilor de calcul a factorului de amplificare, defazajului, factorului de amplificare a accelerațiilor, factorului de transmisibilitate și factorului dinamic.

Prin simularea numerică a variației acestor mărimi dinamice la modificarea unuia din cei trei parametri se obțin diferite curbe de variație care permit unele concluzii asupra comportării dinamice a vibratoarelor monomase cu acționare cinematică. Cele mai interesante rezultate au fost obținute pentru factorul dinamic al cuplajului care admite un minim care se determină în funcție de valorile relative ale celor trei parametri: amortizarea cuplajului, factorul de cuplare elastică  $u$  și factorul de cuplare al amortizoarelor  $v$ .

## 6.1. Dinamica mașinilor vibratoare sprijinite pe elemente elastice liniare

### 6.1.1 Modelul matematic pentru mașini vibratoare cu cuplaj nerigid

Modelul matematic este prezentat în figura 6.1.3 fiind format dintr-un corp de masă  $m$  legat de bază prin intermediul unui arc de constantă  $k$  și un amortizor hidraulic (forța de amortizare vâscoasă fiind proporțională cu viteza  $\bar{R} = -c\bar{v}$ ). Corpul de masă  $m$  este legat rigid de un piston având o lege de mișcare armonică:  $y = r \cos \omega t$ .

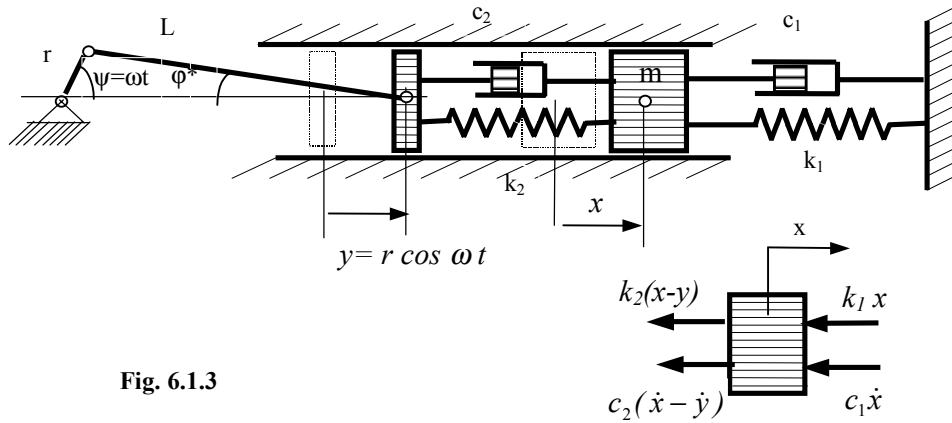


Fig. 6.1.3

Într-adevăr din figura 6.1.3 se poate scrie relația geometrică evidentă:

$$y = r \cos \psi + L(1 - \cos \varphi^*)$$

$$r \sin \psi = L \sin \varphi^* \Leftrightarrow \cos \varphi^* = \sqrt{1 - (\lambda \sin \psi)^2}; \quad \lambda = r / L \quad (6.1.1)$$

$$\Rightarrow y = r \cos \psi + \frac{r}{\lambda} \left( 1 - \sqrt{1 - (\lambda \sin \psi)^2} \right) \approx r \cos \psi \quad \text{pentru } \lambda \ll 1$$

Ecuția diferențială a mișcării se scrie:

$$m\ddot{x} = -c_1\dot{x} - c_2(\dot{x} - \dot{y}) - k_1x - k_2(x - y)$$

$$m\ddot{x} + (c_1 + c_2)\dot{x} + (k_1 + k_2)x = r(k_1 \cos \omega t - c_2 \omega \sin \omega t) \quad (6.1.2)$$

$$\Leftrightarrow m\ddot{x} + (c_1 + c_2)\dot{x} + (k_1 + k_2)x = P \cos(\omega t + \theta)$$

unde s-a notat:

$$P = r \sqrt{k_2^2 + (c_2 \omega)^2}; \quad \operatorname{tg} \theta = \frac{c_2 \omega}{k_2}$$

Ecuția diferențială (6.1.2) se mai scrie:

$$\ddot{x} + 2n\dot{x} + p^2x = q \cos(\omega t + \theta) \quad (6.1.3)$$

unde s-au folosit notațiile:

$$2n = \frac{c_1 + c_2}{m}; \quad p^2 = \frac{k_1 + k_2}{m}; \quad q = \frac{r\sqrt{k_1^2 + (c_2\omega)^2}}{m} \quad (6.1.4)$$

Soluția staționară a ecuației diferențiale în complex atașată ecuației (6.1.3)

$$\ddot{z} + 2n\dot{z} + p^2 z = q[\cos(\omega t + \theta) + i \cos(\omega t + \theta)] \quad (6.1.5)$$

$$\Leftrightarrow \ddot{z} + 2n\dot{z} + p^2 z = qe^{i(\omega t + \theta)}$$

este de forma:

$$z = \tilde{a}e^{i(\omega t + \theta - \varphi)} \quad (6.1.6)$$

Înlocuind în (6.1.5) se obține:

$$(-\omega^2 + 2in\omega + p^2)\tilde{a}e^{i(\omega t + \theta - \varphi)} = qe^{i(\omega t + \theta)} \quad (6.1.7)$$

Rezultă amplitudinea complexă:

$$\tilde{a} = \frac{qe^{i\varphi}}{(-\omega^2 + 2in\omega + p^2)} \quad (6.1.8)$$

Notând:  $\eta = \frac{\omega}{p}$  pulsația relativă,  $\zeta = \frac{n}{p}$  factorul de amortizare (6.1.8')

și împărțind cu  $p^2$  numărătorul și numitorul expresiei (6.1.8) se obține:

$$\tilde{a} = \frac{q}{p^2} \frac{\cos \varphi + i \sin \varphi}{(1 - \eta^2 + 2i\eta\zeta)} \quad (6.1.9)$$

Dacă se introduc coeficienții de cuplare:

$$u = \frac{k_2}{k_1 + k_2} \quad \text{și} \quad v = \frac{c_2}{c_1 + c_2} \quad (6.1.10)$$

ținând seama de relația (6.1.4) se obține:

$$\frac{q}{p^2} = \frac{r\sqrt{k_2^2 + (c_2\omega)^2}}{k_1 + k_2} = r\sqrt{u^2 + 4v^2\eta^2\zeta^2} \quad (6.1.11)$$

și amplitudinea reală a mișcării se scrie:

$$a = |\tilde{a}| = r \sqrt{\frac{u^2 + 4v^2\eta^2\zeta^2}{(1 - \eta^2)^2 + 4\eta^2\zeta^2}} \quad (6.1.12)$$

$$\text{Notând} \quad \text{tg}\beta = \frac{2\eta\zeta}{1 - \eta^2} \quad (6.1.13)$$

relația (6.1.9) se scrie:

$$\tilde{a} = \frac{q}{p^2(1 - \eta^2)} \frac{e^{i\varphi}}{(1 + i \cdot \text{tg}\beta)} = \frac{q \cos \beta}{p^2(1 - \eta^2)} e^{i(\varphi - \beta)} \quad (6.1.14)$$

iar soluția (6.1.6) se scrie:

$$z = \frac{q \cos \beta}{p^2(1 - \eta^2)} e^{i(\omega t + \theta - \beta)} \quad (6.1.15)$$

Deci soluția ecuației diferențiale a mișcării se scrie:

$$x = \frac{q \cos \beta}{p^2 (1 - \eta^2)} \cos(\omega t + \theta - \beta)$$

$$\Leftrightarrow x = r \sqrt{\frac{u^2 + 4v^2 \eta^2 \zeta^2}{(1 - \eta^2)^2 + 4\eta^2 \zeta^2}} \cos(\omega t - \varphi) \quad (6.1.16)$$

Din relațiile (6.1.16), (6.1.2) și (6.1.13) rezultă defazajul dintre răspuns și excitație:

$$\varphi = \beta - \theta = \arctg \frac{2\eta \zeta}{1 - \eta^2} - \arctg \frac{2v\eta \zeta}{u} \quad (6.1.17)$$

Factorul de amplificare este definit ca raportul dintre amplitudinea vibrațiilor dispozitivului de antrenare și cea corespunzătoare organului de lucru:

$$\xi_x = \frac{a}{r} = \sqrt{\frac{u^2 + 4v^2 \eta^2 \zeta^2}{(1 - \eta^2)^2 + 4\eta^2 \zeta^2}} \quad (6.1.18)$$

## 6.1.2 Factorul de amplificare al amplitudinii și defazajul

### a. Influența factorului de amortizare $\zeta$

Reprezentând variația factorului de amplificare cu pulsația relativă  $\eta$  pentru diferite valori ale factorului de amortizare  $\zeta = 0,1; 0,3; 0,5; 0,7; 0,9$  și coeficienți de cuplare  $u=0,5$  și  $v=0,5$  se obțin diagramele din fig. 6.1.4.

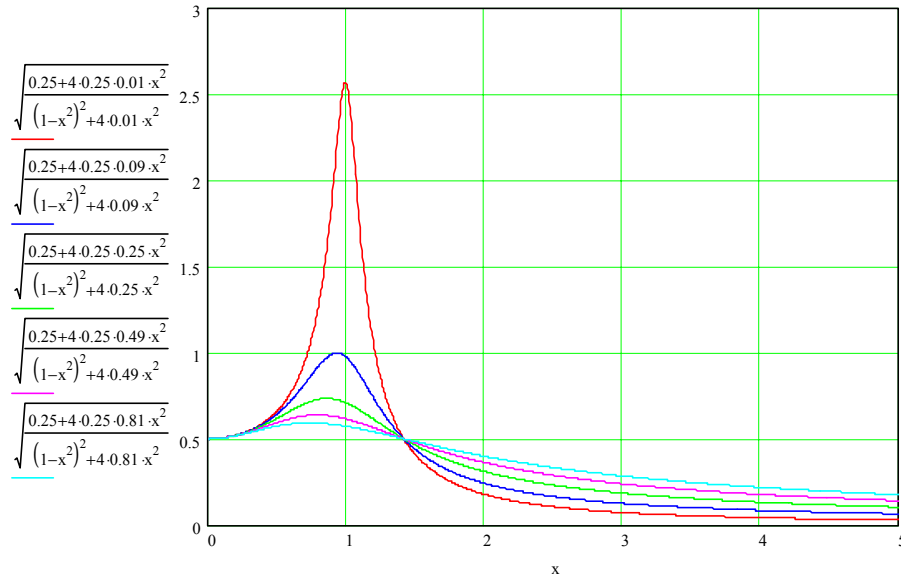


Fig. 6.1.4. Variația factorului de amplificare  $\xi_x$  cu pulsația relativă pentru diferite valori ale factorului de amortizare ( $u=0,5$  și  $v=0,5$ )

### b. Influența factorului de cuplare $u$

Reprezentând variația factorului de amplificare  $\xi_x$  cu pulsația relativă  $\eta$  pentru diferite valori ale factorului de cuplare  $u=0.1; 0.3; 0.5; 0.7$  și  $u=1$  și  $v=0.5$  și pentru două valori ale factorului de amortizare:  $\zeta = 0.2$  respectiv  $\zeta = 0.5$  se obțin diagramele din figurile 6.1.5 și 6.1.6.

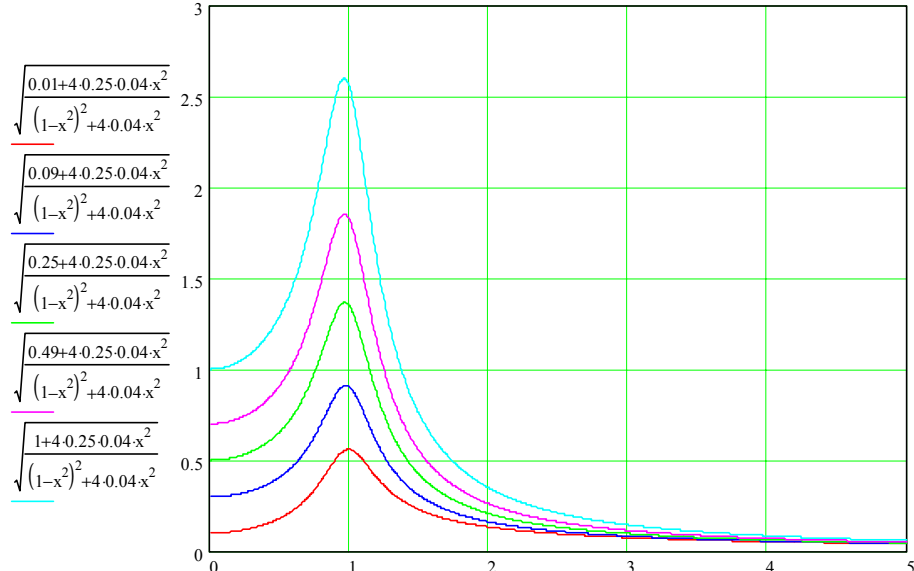


Fig. 6.1.5. Variația factorului de amplificare  $\xi_x$  cu pulsația relativă pentru diferite valori ale factorului de cuplare  $u$  ( $v=0.5$  și  $\zeta=0.2$ )

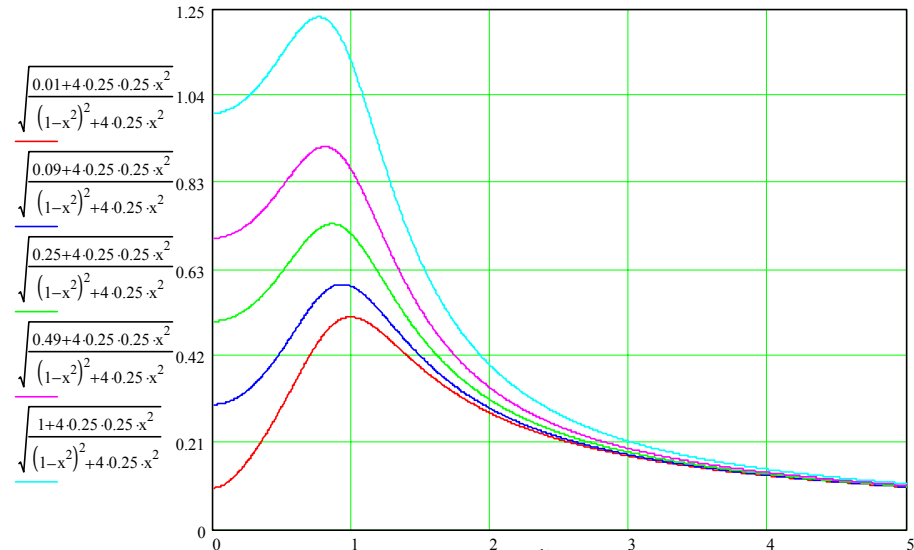


Fig. 6.1.6. Variația factorului de amplificare  $\xi_x$  cu pulsația relativă pentru diferite valori ale factorului de cuplare  $u$  ( $v=0.5$  și  $\zeta=0.5$ )



### c. Influența factorului de cuplare $\nu$

Reprezentând variația factorului de amplificare  $\xi_x$  cu pulsația relativă  $\eta$  pentru diferite valori ale factorului de cuplare  $\nu=0.1; 0.3; 0.5; 0.7$  și  $\nu=1$  și  $u=0.5$  și pentru două valori ale factorului de amortizare:  $\zeta=0.2$  respectiv  $\zeta=0.5$  se obțin diagramele din figurile 6.1.7 și 6.1.8.

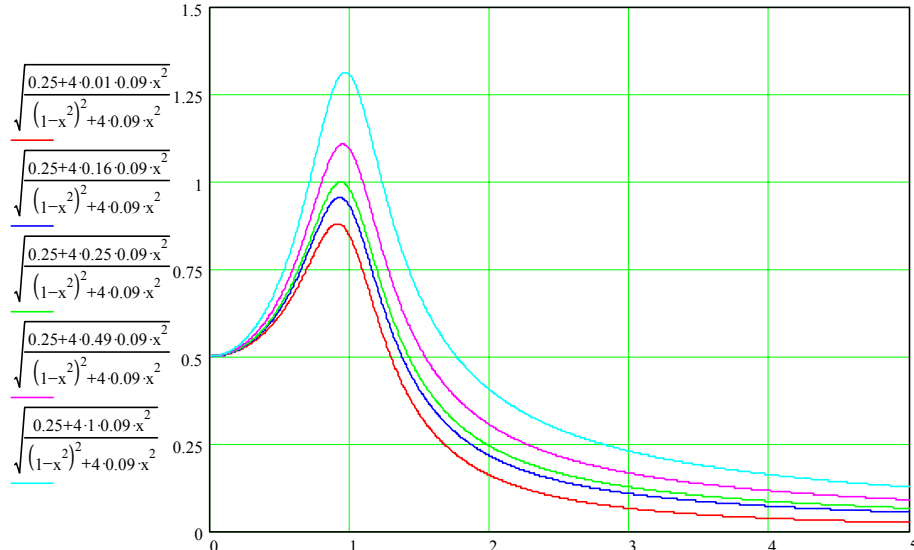


Fig. 6.1.7. Variația factorului de amplificare  $\xi_x$  cu pulsația relativă pentru diferite valori ale factorului de cuplare  $\nu$  ( $u=0.5$  și  $\zeta=0.2$ )

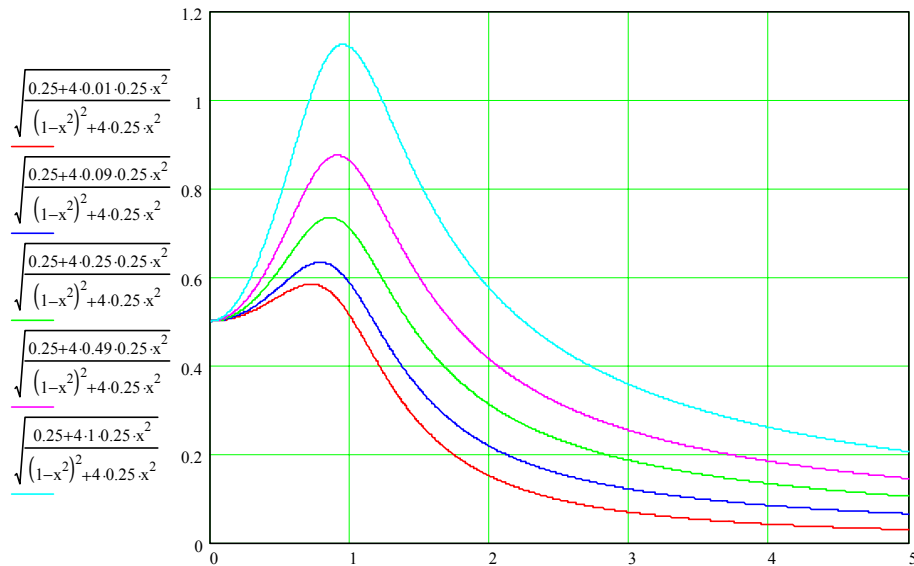


Fig. 6.1.8. Variația factorului de amplificare  $\xi_x$  cu pulsația relativă pentru diferite valori ale factorului de cuplare  $\nu$  ( $u=0.5$  și  $\zeta=0.5$ )

**d. Concluzii**

- Factorul de amplificare al deplasărilor prezintă o variație mai accentuată în jurul valorii de rezonanță cu cât factorul de amortizare este mai mic și cu cât factorul de cuplare  $u$  și  $v$  este mai apropiat de 1 (valori care corespund lui  $k_I=0$  respectiv  $c_I=0$ ) (fig. 6.1.4);
- Cu cât factorul de cuplare  $u$  este mai mare, cu atât factorul de amplificare maxim este mai mare și corespunde unei pulsații sensibil mai mică decât  $\eta=1$  (fig. 6.1.5-6.1.6);
- Factorul de amplificare maxim scade odată cu creșterea factorului de amortizare  $\zeta$  și corespunde unei pulsații mai mică decât  $\eta=1$  cu cât factorul de cuplare  $u$  este mai mare (fig. 6.1.6);
- Pentru o pulsație de regim ce corespunde în general unor valori  $\eta>3$  curbele se apropie foarte mult astfel încât factorul de cuplare și cel de amortizare au o influență mai mică asupra factorului de amplificare (fig. 6.1.5-6.1.6);
- Cu cât factorul de cuplare  $v$  este mai mare, cu atât factorul de amplificare maxim este mai mare și corespunde unei pulsații sensibil mai mică decât  $\eta=1$ , diferența față de cazul precedent constând în faptul că pentru valori mici ale lui  $\eta$  (apropiate de zero) toate curbele trec prin același punct ce corespunde unui factor de amplificare  $\xi=0,5$  (fig. 6.1.7-6.1.8);
- Pentru o pulsație de regim ce corespunde în general unor valori  $\eta>3$  curbele devin paralele și sunt cu atât mai apropiate cu cât factorul de amortizare este mai mic (fig. fig. 6.1.7-6.1.8);

Concluziile prezentate mai sus permit alegerea acelor valori ale parametrilor  $u$ ,  $v$  și  $\zeta$  care să asigure valori ale factorului de amplificare cerute de procesul tehnologic pentru care a fost proiectată mașina vibratoare.

**Defazajul răspuns - excitație**

Defazajul dintre răspuns și excitație dat de relația (6.117) se mai scrie:

$$\varphi = \arccos \frac{1-\eta^2}{\sqrt{(1-\eta^2)^2 + (2\eta\zeta)^2}} - \arccos \frac{u}{\sqrt{u^2 + (2v\eta\zeta)^2}} \quad (6.1.17')$$

În continuare s-a prezentat variația defazajului răspuns excitație funcție de pulsația relativă și influența parametrilor de amortizare  $\zeta$  și a parametrilor de cuplare  $u$  și  $v$ .

**a. Influența factorului de amortizare  $\zeta$** 

Reprezentând variația defazajului cu pulsația relativă  $\eta$  pentru diferite valori ale factorului de amortizare  $\zeta = 0,1; 0,3; 0,5; 0,7; 0,9$  și coeficienți de cuplare  $u=0,5$  și  $v=0,5$  se obțin diagramele din fig. 6.1.9.

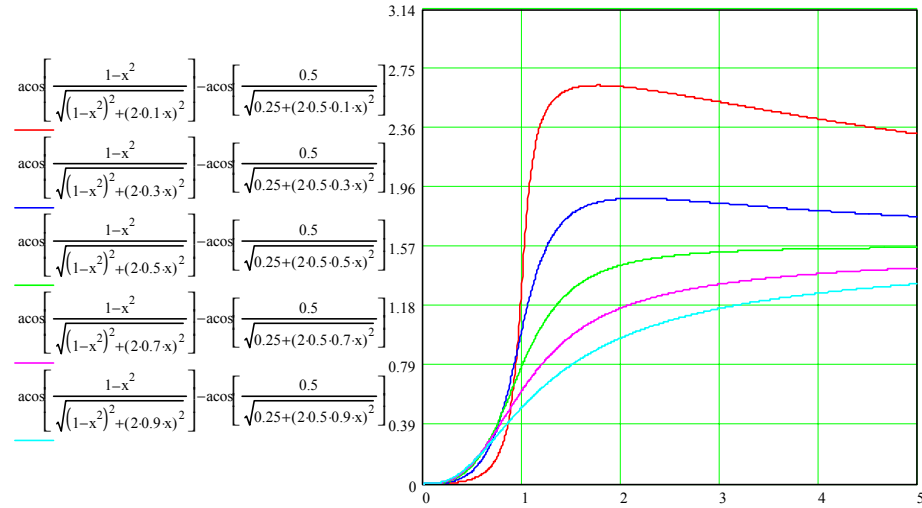


Fig. 6.1.9. Variația defazajului cu pulsația relativă pentru diferite valori ale factorului de amortizare  $\zeta$  ( $u=0,5$  și  $v=0,5$ )

### b. Influența factorului de cuplare $u$

Reprezentând variația defazajului dintre răspuns și excitație cu pulsația relativă  $\eta$  pentru diferite valori ale factorului de cuplare  $u=0.1; 0.3; 0.5; 0.7$  și  $u=1$  și  $v=0,5$  și pentru două valori ale factorului de amortizare:  $\zeta = 0,2$  respectiv  $\zeta = 0,5$  se obțin diagramele din figurile 6.1.10 și 6.1.11 (în radiani).

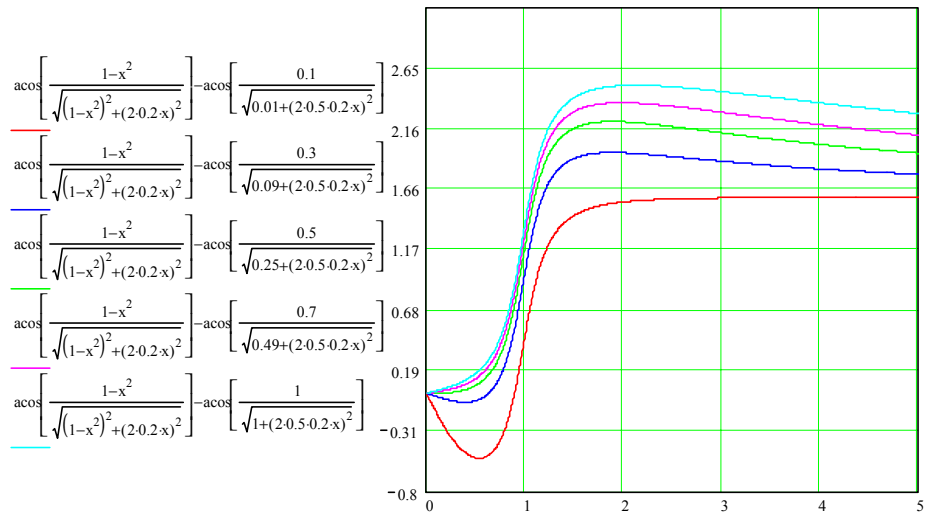


Fig. 6.1.10. Variația defazajului cu pulsația relativă pentru diferite valori ale factorului de cuplare  $u$  ( $v=0,5$  și  $\zeta=0,2$ )

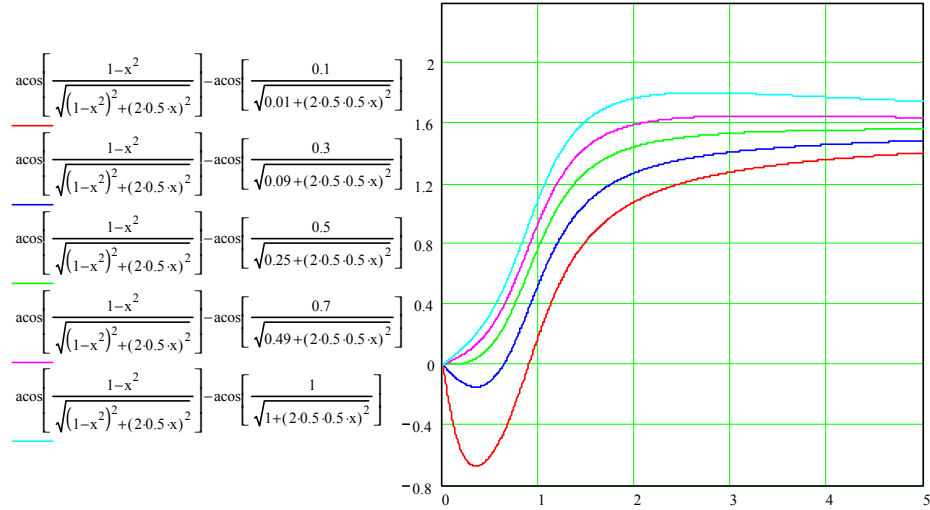


Fig. 6.1.11. Variația defazajului cu pulsația relativă pentru diferite valori ale factorului de cuplare  $u$  ( $\nu=0,5$  și  $\zeta=0,5$ )

### c. Influența factorului de cuplare $\nu$

Reprezentând variația defazajului dintre răspuns și excitație cu pulsația relativă  $\eta$  pentru diferite valori ale factorului de cuplare  $\nu=0,1; 0,3; 0,5; 0,7$  și  $\nu=1$  și  $u=0,5$  și pentru două valori ale factorului de amortizare:  $\zeta=0,2$  respectiv  $\zeta=0,5$  se obțin diagramele din figurile 6.1.12 și 6.1.13 (în radiani).

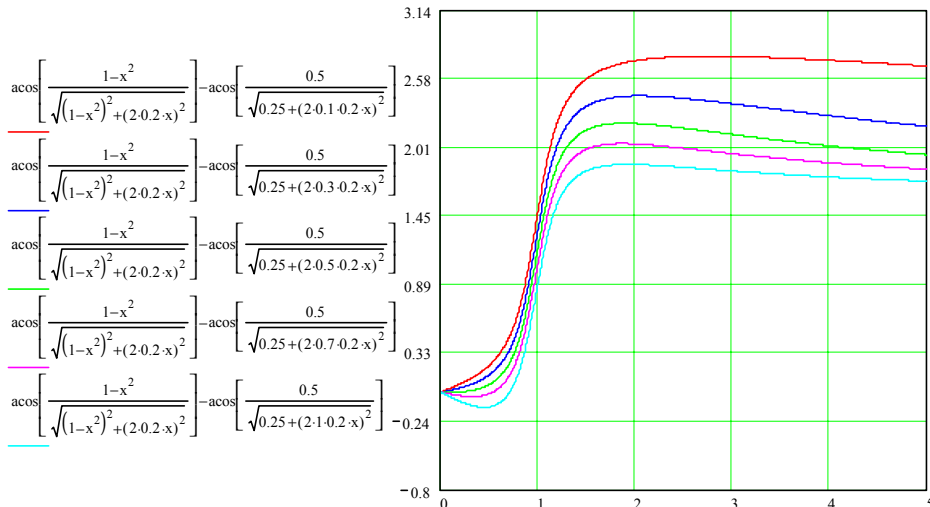


Fig. 6.1.12. Variația defazajului cu pulsația relativă pentru diferite valori ale factorului de cuplare  $\nu$  ( $u=0,5$  și  $\zeta=0,2$ )

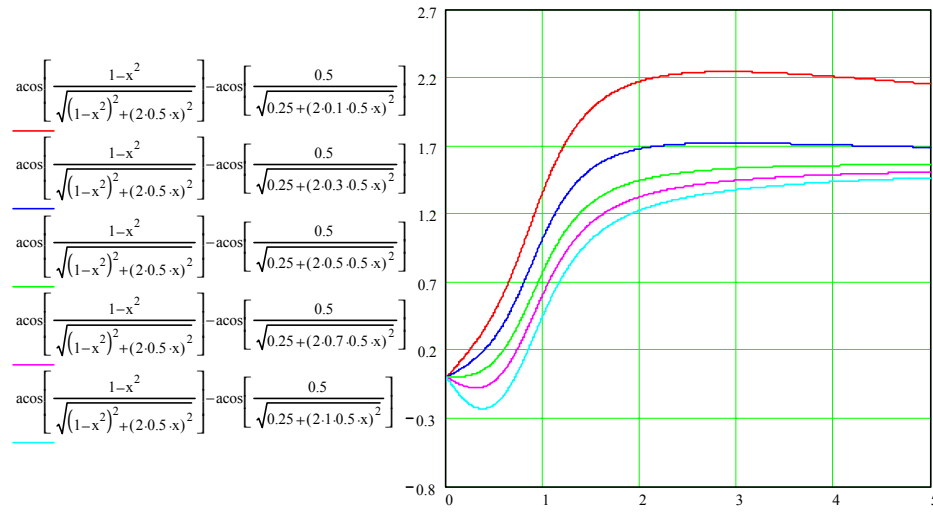


Fig. 6.1.13. Variația defazajului cu pulsația relativă pentru diferite valori ale factorului de cuplare  $v$  ( $u=0,5$  și  $\zeta=0,5$ )

#### d. Concluzii

- Defazajul răspuns-excitație prezintă o variație mai pronunțată în jurul valorii de rezonanță cu cât factorul de amortizare este mai mic; valoarea maximă a defazajului se obține pentru valori mici ale factorului de amortizare imediat după rezonanță ( $\eta=1$ ), după care defazajul scade foarte puțin cu pulsația  $\eta$ . Pentru o valoare a factorului de amortizare  $\zeta < 0,5$  defazajul crește continuu spre o valoare stabilă mai mică de  $\pi/2$  fără a mai atinge un maxim (fig. 6.1.9);
- Pentru valori mici ale factorului de cuplare  $u$  se observă o scădere a defazajului de la zero la valori negative, urmată de o creștere accentuată în zona de rezonanță, atingerea unui maxim și apoi o stabilizare pentru valori mari ale pulsației  $\eta$ . Scăderea din prima zonă este cu atât mai accentuată cu cât factorul de amortizare  $\zeta$  este mai mare (fig. 6.1.10-6.1.11);
- Pentru valori mari ale factorului de cuplare  $v$  se observă o scădere a defazajului de la zero la valori negative, urmată de o creștere accentuată în zona de rezonanță și apoi o stabilizare pentru valori mari ale pulsației  $\eta$ . Scăderea din prima zonă este cu atât mai accentuată cu cât factorul de amortizare  $\zeta$  este mai mare (fig. 6.1.10-6.1.11);

### 6.1.3. Factorul de amplificare al accelerațiilor

Amplitudinea vitezelor se poate scrie în funcție de factorul de amplificare cu ajutorul mărimii adimensionale  $\xi_v$ :

$$\dot{x} = -\omega r \xi_x \sin(\omega t - \varphi) = -\xi_x \frac{r}{p} \sin(\omega t - \varphi) \quad (6.1.19)$$

$$\text{unde: } \xi_x = \eta \xi_x = \eta \sqrt{\frac{u^2 + 4v^2 \eta^2 \zeta^2}{(1 - \eta^2)^2 + 4\eta^2 \zeta^2}} \quad (6.1.20)$$

Amplitudinea accelerațiilor se poate scrie în funcție de factorul de amplificare cu ajutorul mărimii adimensionale  $\xi_a$ :

$$\ddot{x} = -\omega^2 r \xi_x \cos(\omega t - \varphi) = -\xi_x \frac{r}{p^2} \cos(\omega t - \varphi) \quad (6.1.21)$$

$$\text{unde: } \xi_x = \eta^2 \xi_x = \eta^2 \sqrt{\frac{u^2 + 4v^2 \eta^2 \zeta^2}{(1 - \eta^2)^2 + 4\eta^2 \zeta^2}} \quad (6.1.22)$$

este factorul de amplificare al accelerațiilor sistemului care exprimă mărimea forțelor de inerție a vibratorului.

#### a. Influența factorului de amortizare $\zeta$

Reprezentând variația factorul de amplificare al accelerațiilor cu pulsația relativă  $\eta$  pentru diferite valori ale factorului de amortizare  $\zeta = 0,1; 0,3; 0,5; 0,7; 0,9$  și coeficienți de cuplare  $u=0,5$  și  $v=0,5$  se obțin diagramele din fig. 6.1.14.

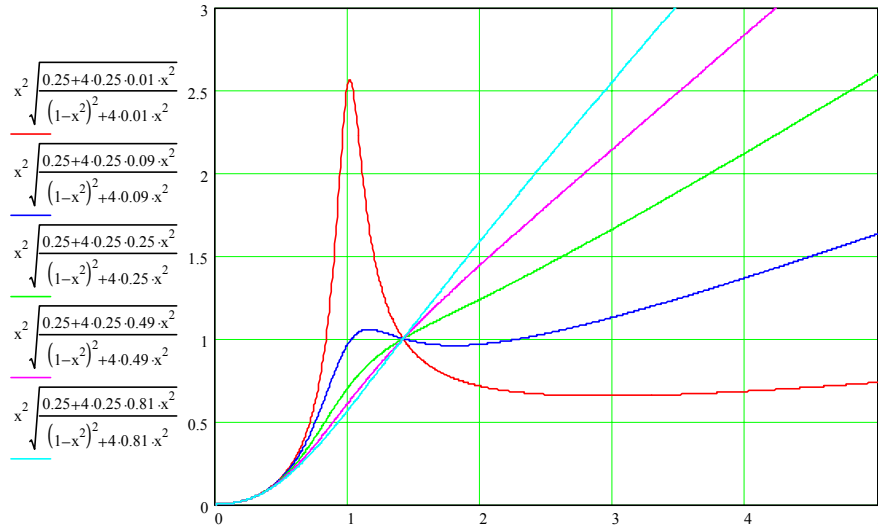


Fig. 6.1.14. Variația factorului de amplificare al accelerațiilor cu pulsația relativă pentru diferite valori ale factorului de amortizare ( $u=0,5$  și  $v=0,5$ )

### b. Influența factorului de cuplare $u$

Reprezentând variația factorului de amplificare al accelerațiilor  $\xi_{\ddot{x}}$  cu pulsația relativă  $\eta$  pentru diferite valori ale factorului de cuplare  $u=0.1; 0.3; 0.5; 0.7$  și  $1$  și  $v=0.5$  și pentru două valori ale factorului de amortizare  $\zeta=0.2$  respectiv  $\zeta=0.5$  se obțin diagramele din figurile 6.1.15 și 6.1.16

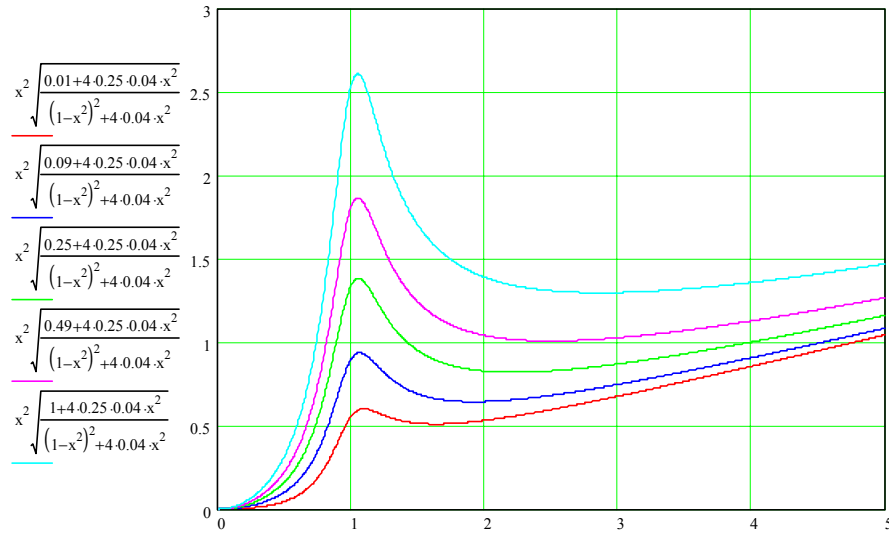


Fig. 6.1.15. Variația factorului de amplificare al accelerațiilor pulsația relativă pentru diferite valori ale factorului de cuplare  $u$  ( $v=0.5$  și  $\zeta=0.2$ )

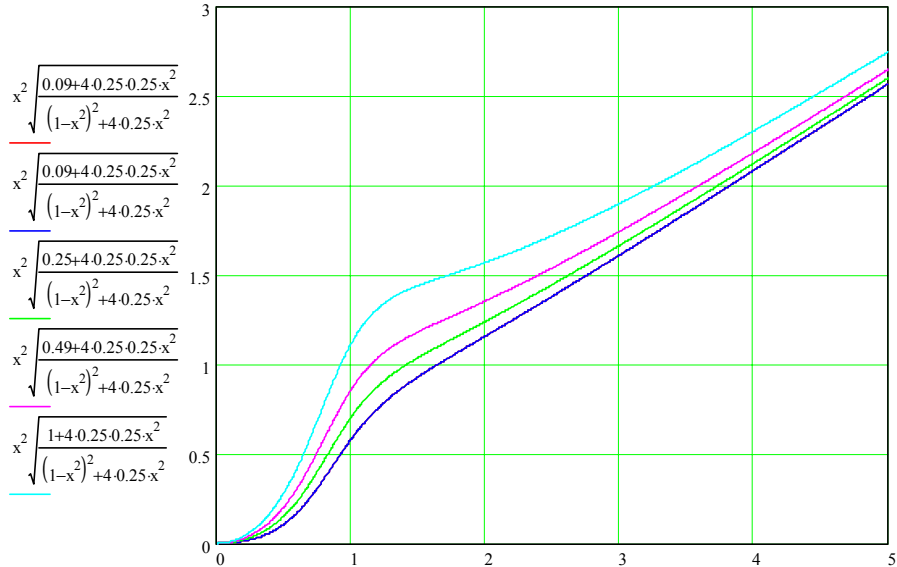


Fig. 6.1.16. Variația factorului de amplificare al accelerațiilor cu pulsația relativă pentru diferite valori ale factorului de cuplare  $u$  ( $v=0.5$  și  $\zeta=0.5$ )

### c. Influența factorului de cuplare $\nu$

Reprezentând variația factorului de amplificare al accelerațiilor  $\xi_{\ddot{x}}$  cu pulsația relativă  $\eta$  pentru diferite valori ale factorului de cuplare  $\nu=0.1; 0.3; 0.5; 0.7$  și  $1$  și  $u=0.5$  și pentru două valori ale factorului de amortizare  $\zeta=0.2$  respectiv  $\zeta=0.5$  se obțin diagramele din figurile 6.1.17 și 6.1.18.

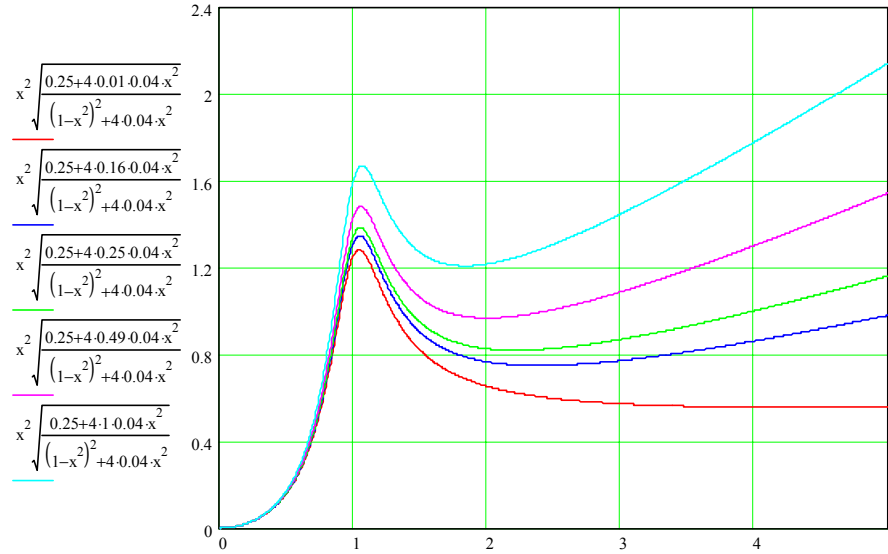


Fig. 6.1.17. Variația factorului de amplificare al accelerațiilor cu pulsația relativă pentru diferite valori ale factorului de cuplare  $\nu$  ( $u=0.5$  și  $\zeta=0.2$ )

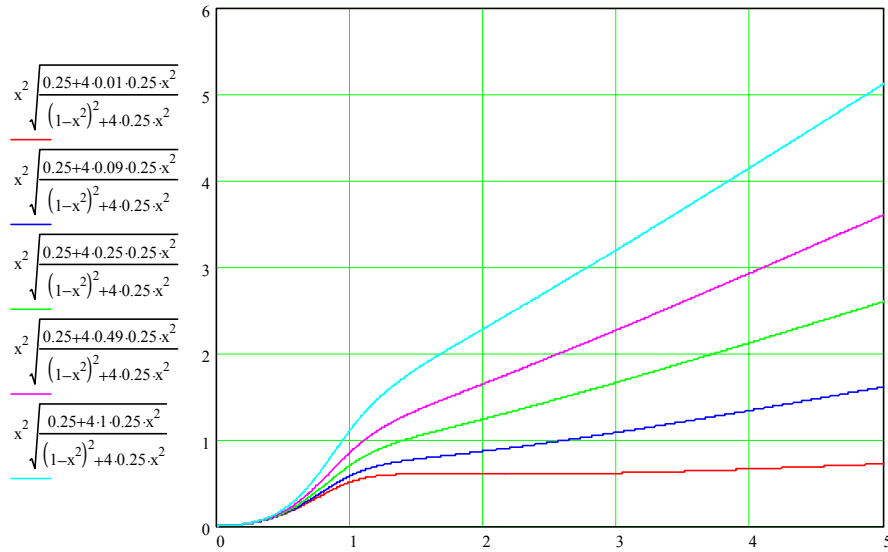


Fig. 6.1.18. Variația factorului de amplificare al accelerațiilor cu pulsația relativă pentru diferite valori ale factorului de cuplare  $\nu$  ( $u=0.5$  și  $\zeta=0.5$ )



**d. Concluzii**

- Factorul de amplificare al accelerațiilor și implicit al forțelor de inerție la organul de lucru crește continuu pentru valori ale factorului de amortizare  $\zeta \geq 0,5$  iar pentru valori  $\zeta < 0,5$  se constată o creștere accentuată în domeniul de anterezonanță, urmată de o scădere și apoi din nou o creștere cu atât mai moderată cu cât factorul de amortizare este mai mic (fig. 6.1.14);
- Cu cât factorul de cuplare  $u$  este mai mare, cu atât factorul de amplificare al accelerațiilor maxim este mai mare și corespunde unei pulsații sensibil mai mari decât  $\eta = 1$ . Factorul de amplificare al accelerațiilor nu mai prezintă un maxim la creșterea factorului de amortizare  $\zeta$  indiferent de valorile factorului de cuplare  $u$  (fig. 6.1.15-6.1.16);
- Cu cât factorul de cuplare  $v$  este mai mic cu atât accelerațiile scad mai pronunțat pentru valori ale pulsației relative  $\eta > 1$ , aceasta rămâne practic constantă pentru valori mici ale acestui factor  $v$  și prezintă un minim pentru valori  $v > 0,2$ . Cu cât factorul de amortizare este mai mare cu atât accelerația prezintă o creștere aproape continuă (fără maxime și minime locale), cu atât mai pronunțată cu cât factorul de cuplare vâscoasă este mai mare (fig. 6.1.17-6.1.18);

**6.1.4. Factorul de amplificare al amplitudinii mișcării capetelor cuplajului**

Pentru a găsi regimul de funcționare optimal se determină forța de antrenare ce acționează asupra organului de lucru prin intermediul cuplajului (transmisibilitatea cuplajului). Transmisibilitatea cuplajului are expresia:

$$F = c_2(\dot{x} - \dot{y}) + k_2(x - y) = c_2\dot{w} + k_2w \quad (6.1.23)$$

unde s-a notat deplasarea relativă a capetelor cu:  $w = x - y$  (6.1.24)

Ecuția diferențială a mișcării (6.1.1) se mai scrie:

$$\begin{aligned} m\ddot{x} &= -c_1\dot{x} - c_2(\dot{x} - \dot{y}) - k_1x - k_2(x - y) \\ \Leftrightarrow m(\ddot{x} - \ddot{y}) + (c_1 + c_2)(\dot{x} - \dot{y}) + (k_1 + k_2)(x - y) &= -m\ddot{y} - c_1\dot{y} - k_1y \\ \Leftrightarrow m\ddot{w} + (c_1 + c_2)\dot{w} + (k_1 + k_2)w &= r(m\omega^2 - k_1)\cos\omega t + rc_1\omega\sin\omega t \\ \Leftrightarrow \ddot{w} + 2n\dot{w} + p^2w &= q^*\cos(\omega t + \theta^*) \end{aligned} \quad (6.1.25)$$

$$\text{unde: } q^* = \frac{r}{m} \sqrt{(m\omega^2 - k_1)^2 + (c_1\omega)^2}; \quad \operatorname{tg}\theta^* = \frac{c_1\omega}{m\omega^2 - k_1} \quad (6.1.26)$$

S-a obținut aceeași formă ca a ecuației diferențiale (6.1.3) deci soluția ecuației (6.1.26) se poate scrie:  $w = \frac{q^* \cos\beta}{p^2(1 - \eta^2)} \cos(\omega t + \theta^* - \beta)$  (6.1.27)

Dacă se introduc coeficienții de cuplare  $u$  și  $v$  definiți la (6.1.10) și mărimile adimensionale  $\eta$  și  $\zeta$  se obține:

$$\frac{q}{p^2} = \frac{r\sqrt{(m\omega^2 - k_1) + (c_1\omega)^2}}{k_1 + k_2} = r\sqrt{(1 - \eta^2 - u)^2 + 4(1 - v)^2\eta^2\zeta^2} \quad (6.1.28)$$

$$\operatorname{tg}\theta^* = \frac{2(1 - v)\eta\zeta}{1 - \eta^2 - u}; \quad \operatorname{tg}\beta = \frac{2\eta\zeta}{1 - \eta^2}$$

Înlocuind în relația (6.1.27) se obține factorul de amplificare a amplitudinii mișcării relative a capetelor cuplajului  $\xi_w$ :

$$w = r \sqrt{\frac{(1 - \eta^2 - u)^2 + 4(1 - v)^2\eta^2\zeta^2}{(1 - \eta^2)^2 + 4\eta^2\zeta^2}} \cos(\omega t + \theta^* - \beta) \quad (6.1.29)$$

$$\Leftrightarrow w = r\xi_w \cos(\omega t + \theta^* - \beta); \quad \xi_w = r \sqrt{\frac{(1 - \eta^2 - u)^2 + 4(1 - v)^2\eta^2\zeta^2}{(1 - \eta^2)^2 + 4\eta^2\zeta^2}}$$

### a. Influența factorului de amortizare $\zeta$

Reprezentând variația factorului de amplificare a mișcării relative a capetelor cuplajului  $\xi_w$  cu pulsația relativă  $\eta$  pentru valorile coeficienților de cuplare  $u=0.5$  și  $v=0.5$  pentru cinci valori ale factorului de amortizare:  $\zeta = 0.1; 0.3; 0.5; 0.7$  și  $0.9$  se obțin diagramele din fig. 6.1.19

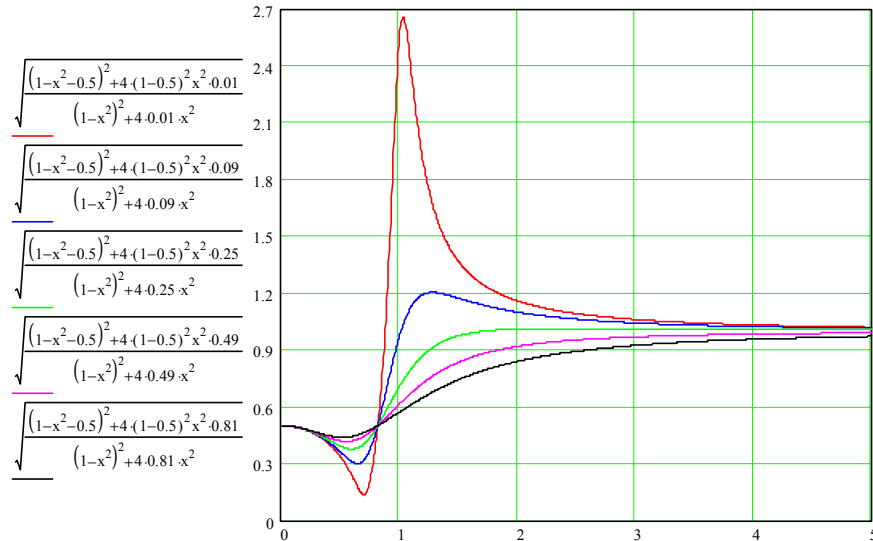
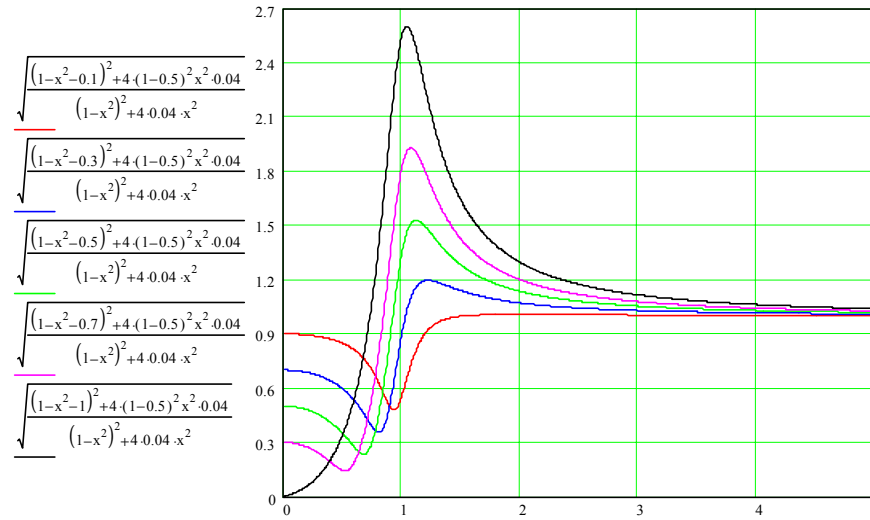


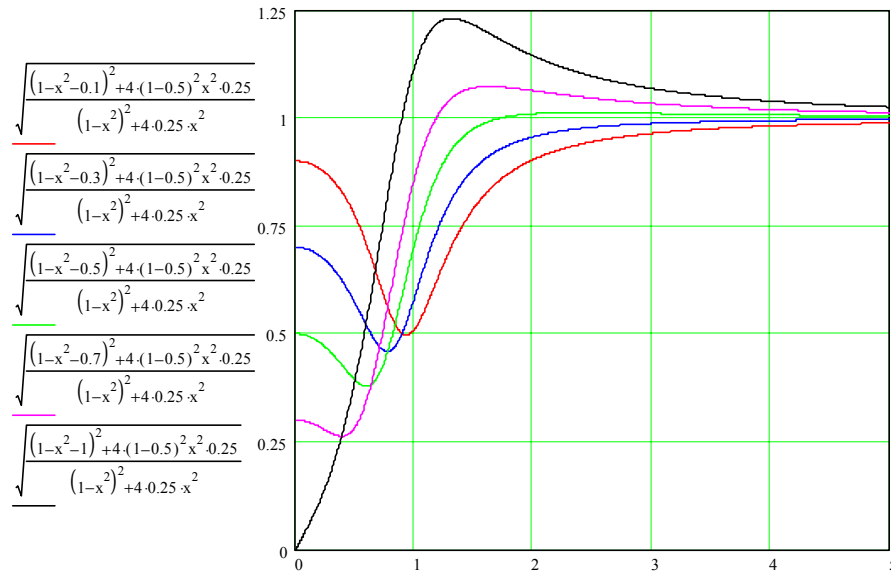
Fig. 6.1.19. Variația factorului de amplificare  $\xi_w$  cu pulsația relativă  $\eta$  pentru diferite valori ale factorului de amortizare  $\zeta$  pentru  $u=0.5$  și  $v=0.5$

### b. Influența factorului de cuplare $u$

Reprezentând variația factorului  $\xi_w$  cu pulsația relativă  $\eta$  pentru diferite valori ale factorului de cuplare  $u$  ( $u=0.1; 0.3; 0.5; 0.7$  și  $1$ ) și  $v=0.5$  și pentru două valori ale factorului de amortizare:  $\zeta=0.2$  respectiv  $\zeta=0.5$  se obțin diagramele din figurile 6.1.20 și 6.1.21



**Fig. 6.1.20. Variația factorului de amplificare cu pulsația relativă  $\eta$  pentru diferite valori ale coeficientului de cuplare  $u$  ( $v=0.5$  și  $\zeta=0.2$ )**



**Fig. 6.1.21. Variația factorului de amplificare cu pulsația relativă  $\eta$  pentru diferite valori ale coeficientului de cuplare  $u$  ( $v=0.5$  și  $\zeta=0.5$ )**

### c. Influența factorului de cuplare $\nu$

Reprezentând variația factorului de amplificare a mișcării relative a capetelor cuplajului  $\xi_w$  cu pulsația relativă  $\eta$  pentru diferite valori ale factorului de cuplare  $\nu=0.1; 0.3; 0.5; 0.7$  și  $\nu=1$  și  $u=0.5$  și pentru două valori ale factorului de amortizare:  $\zeta=0.2$  respectiv  $\zeta=0.5$  se obțin diagramele din figurile 6.1.22 și 6.1.23.

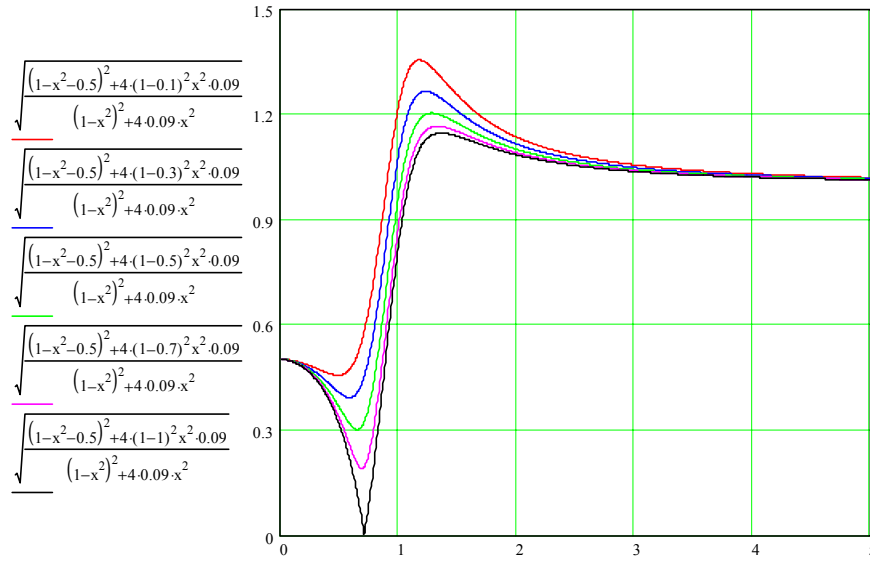


Fig. 6.1.22. Variația factorului de amplificare cu pulsația relativă  $\eta$  pentru diferite valori ale coeficientului de cuplare  $\nu$  ( $u=0,5$  și  $\zeta=0,2$ )

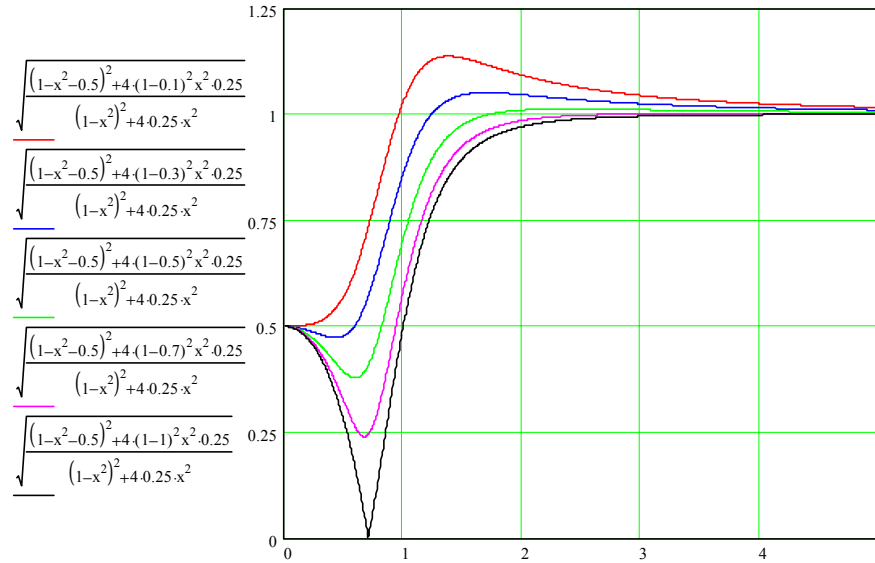


Fig. 6.1.23. Variația factorului de amplificare cu pulsația relativă  $\eta$  pentru diferite valori ale coeficientului de cuplare  $\nu$  ( $u=0,5$  și  $\zeta=0,5$ )

### 6.1.5. Factorul de transmisibilitate al cuplajului

Forța transmisă (6.1.23) se mai scrie:

$$F = c_2 \dot{w} + k_2 w = r \xi_w [(k_2 \cos(\omega t + \theta^* - \beta) - \omega c_2 \sin(\omega t + \theta^* - \beta))] \quad (6.1.30)$$

$$\text{sau: } \begin{cases} F = mrp^2 \xi_w \sqrt{u^2 + 4v^2 \eta^2 \zeta^2} \cos(\omega t + \theta^* - \beta + \alpha) \\ \operatorname{tg} \alpha = \frac{\omega c_2}{k_2} = \frac{2v\eta\zeta}{u} \end{cases} \quad (6.1.31)$$

Defazajul dintre forța transmisă și excitație este:

$$\psi = \alpha + \theta^* - \beta = \operatorname{arctg} \frac{2v\eta\zeta}{u} + \operatorname{arctg} \frac{2(1-v)\eta\zeta}{1-\eta^2-u} - \operatorname{arctg} \frac{2\eta\zeta}{1-\eta^2} \quad (6.1.32)$$

Notând cu  $F_S = mrp^2 = mr(k_1 + k_2)$  forța transmisă se mai scrie:

$$F = F_S \xi_F \cos(\omega t + \theta^* - \beta + \alpha) \quad (6.1.33)$$

unde  $\xi_F$  este factorul de amplificare al forței transmise de cuplaj la organul de lucru sau factorul de transmisibilitate al cuplajului:

$$\xi_F = \xi_w \sqrt{u^2 + 4v^2 \eta^2 \zeta^2} = \sqrt{\frac{[(1-\eta^2-u)^2 + 4(1-v)^2 \eta^2 \zeta^2](u^2 + 4v^2 \eta^2 \zeta^2)}{(1-\eta^2)^2 + 4\eta^2 \zeta^2}} \quad (6.1.33')$$

#### a. Influența factorului de amortizare $\zeta$

Reprezentând variația factorului de transmisibilitate al cuplajului  $\xi_F$  cu pulsația relativă  $\eta$  pentru valorile coeficienților de cuplare  $u=0,5$  și  $v=0,5$  pentru cinci valori ale factorului de amortizare:  $\zeta = 0,1; 0,3; 0,5; 0,7$  și  $0,9$  se obțin diagramele din fig. 6.1.24

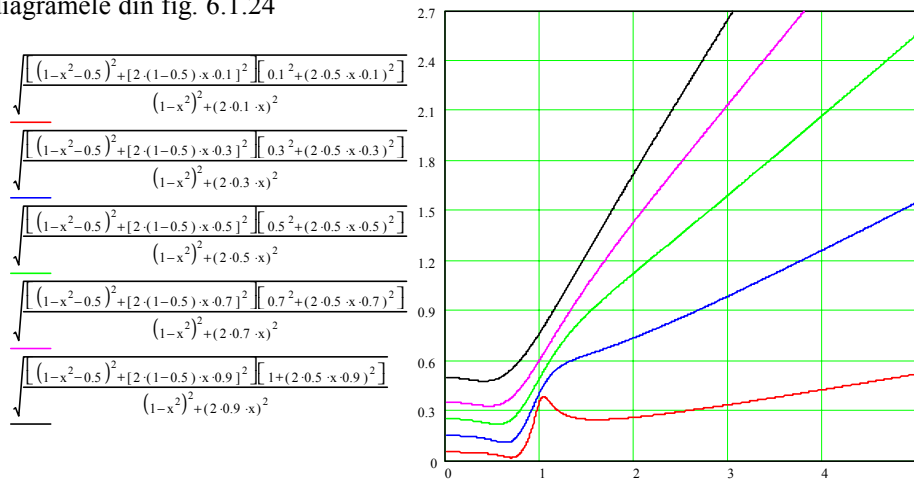
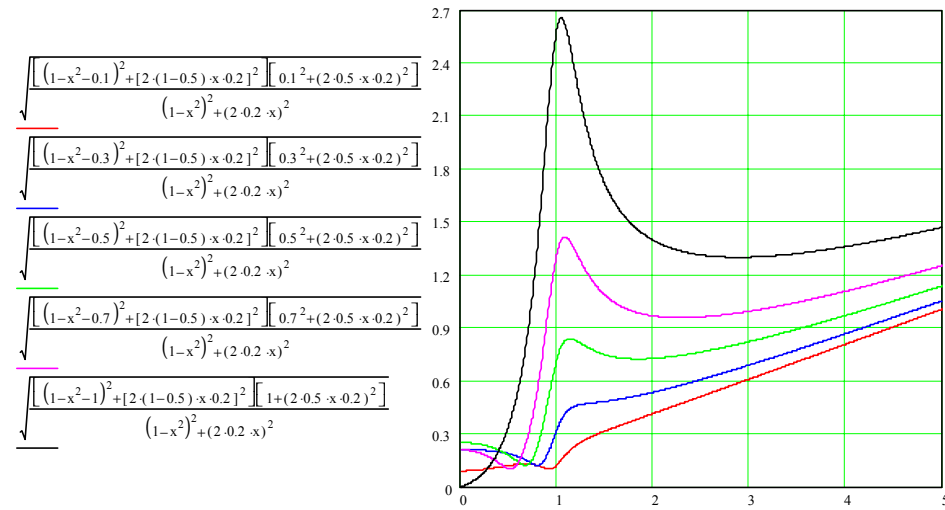


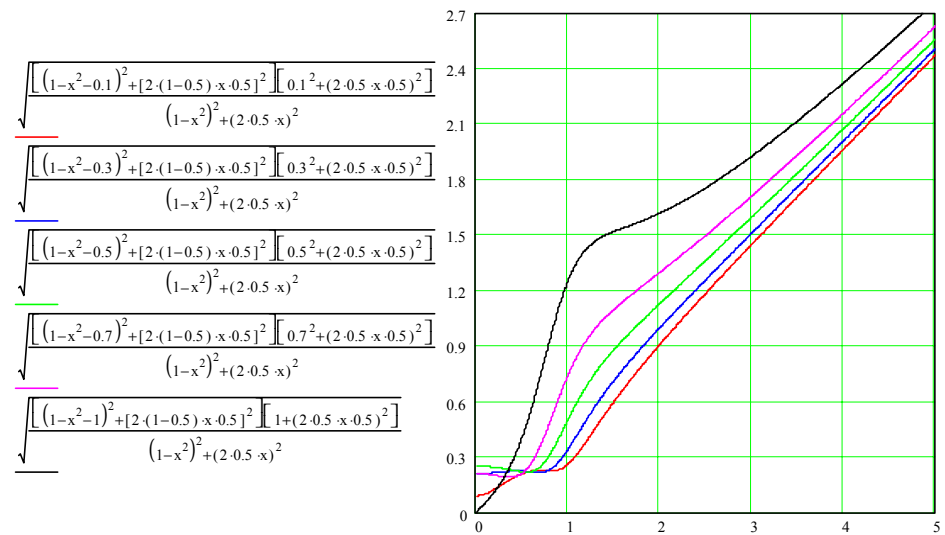
Fig. 6.1.24. Variația factorului de transmisibilitate cu pulsația relativă  $\eta$  pentru diferite valori ale factorului de amortizare  $\zeta$  ( $u=0,5$  și  $v=0,5$ )

**b. Influența factorului de cuplare  $u$** 

Reprezentând variația factorului de transmisibilitate cu pulsația relativă  $\eta$  pentru diferite valori ale factorului de cuplare  $u=0,1; 0,3; 0,5; 0,7$  și  $1$  și  $v=0,5$  și pentru două valori ale factorului de amortizare:  $\zeta=0,2$  respectiv  $\zeta=0,5$  se obțin diagramele din figurile 6.1.25 și 6.1.26.



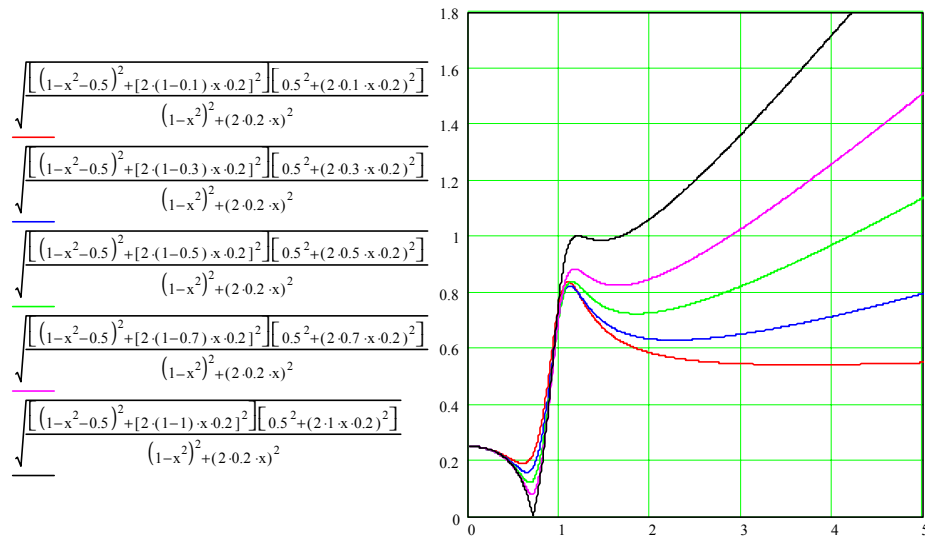
**Fig. 6.1.25. Variația factorului de transmisibilitate cu pulsația relativă  $\eta$  pentru diferite valori ale factorului de cuplare  $u$  ( $v=0,5$  și  $\zeta=0,2$ )**



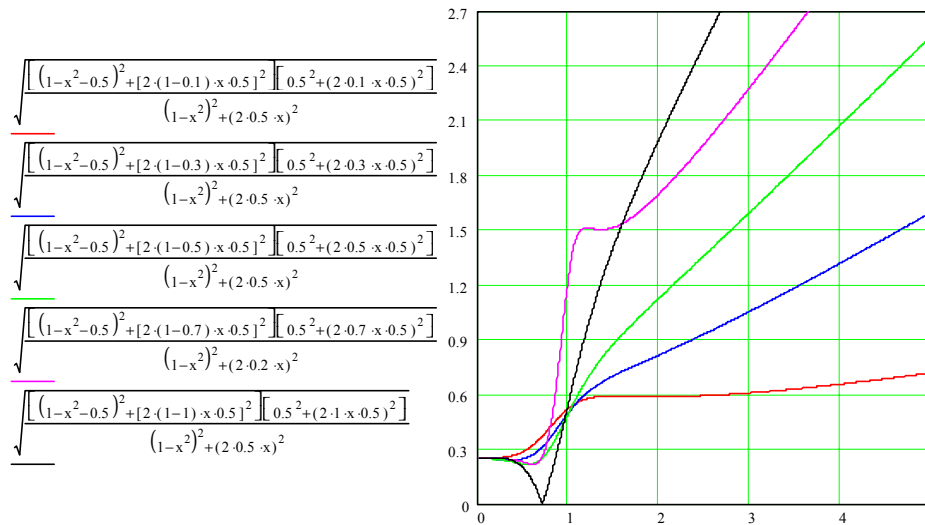
**Fig. 6.1.26. Variația factorului de transmisibilitate cu pulsația relativă  $\eta$  pentru diferite valori ale factorului de cuplare  $u$  ( $v=0,5$  și  $\zeta=0,5$ )**

### c. Influența factorului de cuplare $\nu$

Reprezentând variația factorului de amplificare al forței transmise de cuplaj cu pulsația relativă  $\eta$  pentru diferite valori ale factorului de cuplare  $\nu=0.1; 0.3; 0.5; 0.7$  și  $1$  și  $u=0.5$  și pentru două valori ale factorului de amortizare:  $\zeta=0.2$  respectiv  $\zeta=0.5$  se obțin diagramele din figurile 6.1.27 și 6.1.28.



**Fig. 6.1.27.** Variația factorului de transmisibilitate cu pulsația relativă  $\eta$  pentru diferite valori ale factorului de cuplare  $\nu$  ( $u=0,5$  și  $\zeta=0,2$ )



**Fig. 6.1.28.** Variația factorului de transmisibilitate cu pulsația relativă  $\eta$  pentru diferite valori ale factorului de cuplare  $\nu$  ( $u=0,5$  și  $\zeta=0,5$ )

**d. Concluzii**

- Transmisibilitatea prezintă o scădere în domeniul anterezonant, urmată de o creștere cu atât mai pronunțată cu cât factorul de amortizare  $\zeta$  este mai mare. Pentru valori mai mici ale factorului de amortizare, aceasta atinge un maxim în jurul valorii de rezonanță, după care transmisibilitatea scade obținându-se un al doilea minim în domeniul frecvențelor postrezonante, creșterea fiind în acest caz mai puțin accentuată (fig. 6.1.24);
- Factorul de cuplare elastică  $u$  are o influență diferită asupra transmisibilității în funcție de valorile factorului de amortizare  $\zeta$  astfel:
  - pentru  $\zeta=0,2$  și  $u > 0,5$  se observă un maxim în zona de rezonanță, urmat de un minim în zona postrezonantă și apoi o creștere mai puțin accentuată; pentru  $u < 0,5$  se observă un minim în zona de rezonanță, urmat de o creștere continuă, aproape liniară în zona postrezonantă (fig. 6.1.25);
  - pentru  $\zeta=0,5$  și  $u > 0,5$  se observă o creștere continuă mai accentuată în zona anterezonantă și rezonanță și mai puțin accentuată în zona postrezonantă; pentru  $u < 0,5$  se observă un palier în zona anterezonantă și rezonanță, urmat de o creștere continuă accentuată, aproape liniară în zona postrezonantă (fig. 6.1.26)
- Factorul de cuplare vâscoasă  $v$  are o influență diferită ca și  $u$  în funcție de valorile factorului de amortizare  $\zeta$  astfel:
  - pentru  $\zeta=0,2$  și  $v > 0,5$  se observă un minim în zona de anterezonanță, urmat de un maxim în zona rezonanță și apoi un minim mai puțin accentuat, urmat de o creștere accentuată; pentru  $u < 0,5$  se observă un minim în zona de anterezonanță, un maxim în zona de rezonanță, urmat de un al doilea minim și apoi o creștere continuă aproape liniară în zona postrezonantă (fig. 6.1.27);
  - pentru  $\zeta=0,5$  și  $u > 0,5$  se observă un minim în zona de anterezonanță, urmat de o creștere accentuată; pentru  $u < 0,5$  se observă o creștere în zona de anterezonanță, urmată de o creștere continuă aproape liniară în zona postrezonantă cu atât mai moderată cu cât valoarea lui  $v$  este mai mică (fig. 6.1.28)

**6.1.6. Factorul dinamic al cuplajului**

Pulsația optimă de antrenare a mecanismului din punct de vedere dinamic este aceea care minimizează factorul dinamic, sau raportul dintre amplitudinea forței transmise prin cuplaj și amplitudinea vibrațiilor obținute la organul de lucru :

$$\sigma = \frac{F_s \xi_F}{r \xi_x} = \frac{F_s}{r} \sqrt{(1 - \eta^2 - u)^2 + 4(1 - v)^2 \eta^2 \zeta^2} \quad (6.1.34)$$

În continuare s-a prezentat variația factorului dinamic funcție de pulsația relativă  $\eta$  și influența parametrului de amortizare  $\zeta$  și a parametrilor de cuplare  $u$  și  $v$ .



### a. Influența factorului de amortizare $\zeta$

Reprezentând variația factorului dinamic al cuplajului  $\sigma$  cu pulsația relativă  $\eta$  pentru valorile coeficienților de cuplare  $u=0.5$  și  $v=0.5$  pentru cinci valori ale factorului de amortizare:  $\zeta = 0,1; 0,3; 0,5; 0,7$  și  $0,9$  se obțin diagramele din fig. 6.1.29

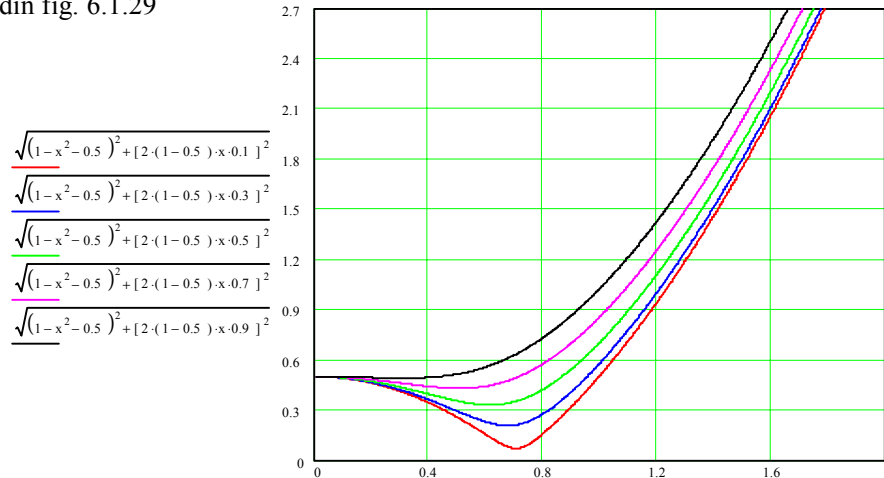


Fig. 6.1.29. Variația factorului dinamic al cuplajului cu pulsația relativă  $\eta$  pentru diferite valori ale factorului de amortizare  $\zeta$  ( $u=0,5$  și  $v=0,5$ )

### b. Influența factorului de cuplare $u$

Reprezentând variația factorului dinamic al cuplajului cu pulsația relativă  $\eta$  pentru diferite valori ale factorului de cuplare  $u=0.1; 0,3; 0,5; 0,7$  și  $u=1$  și  $v=0,5$  și pentru două valori ale factorului de amortizare:  $\zeta = 0,2$  și  $\zeta = 0,5$  se obțin fig. 6.1.30 și 6.1.31

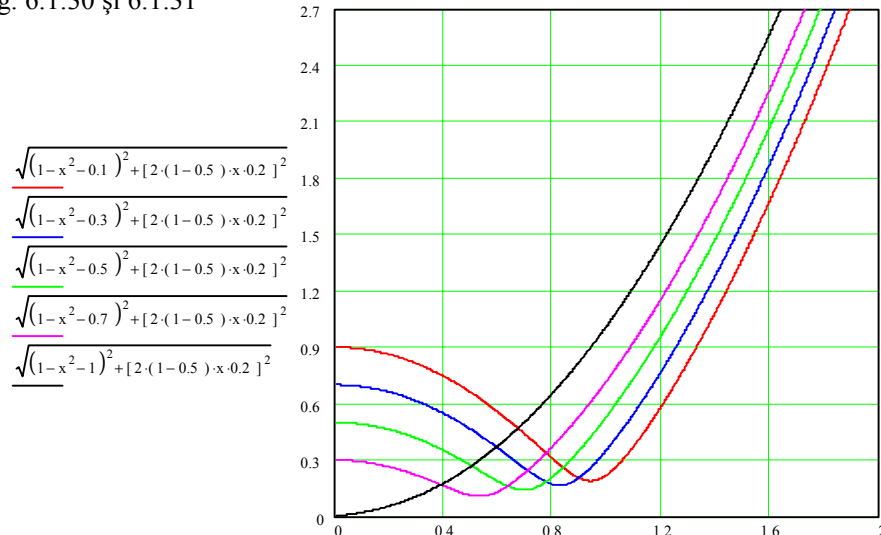


Fig. 6.1.30. Variația factorului dinamic al cuplajului cu pulsația relativă  $\eta$  pentru diferite valori ale factorului de cuplare  $u$  ( $v=0,5$  și  $\zeta=0,2$ )

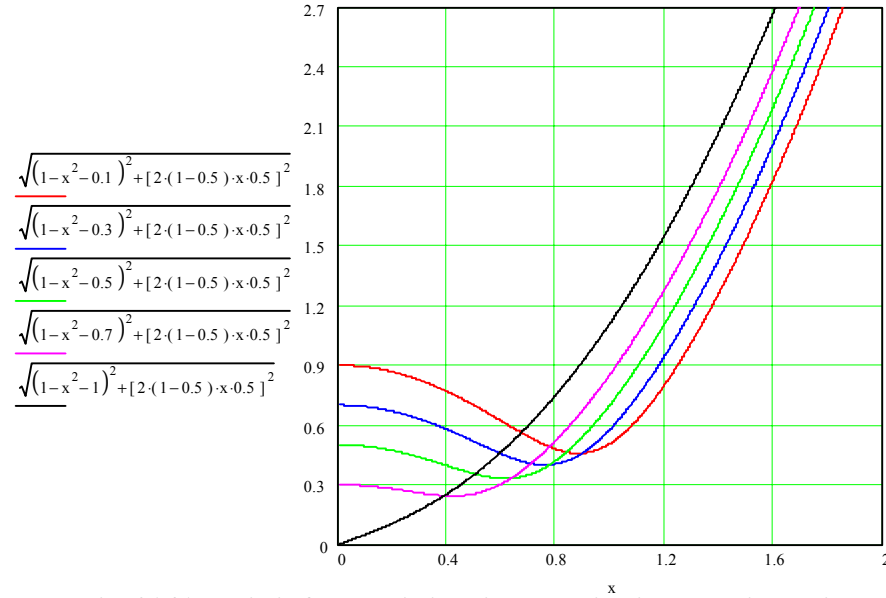


Fig. 6.1.31. Variația factorului dinamic al cuplajului cu pulsația relativă  $\eta$  pentru diferite valori ale factorului de cuplare  $u$  ( $v=0,5$  și  $\zeta=0,5$ )

### c. Influența factorului de cuplare $v$

Reprezentând variația factorului dinamic al cuplajului cu pulsația relativă  $\eta$  pentru diferite valori ale factorului de cuplare  $v=0.1; 0.3; 0.5; 0.7$  și  $v=1$  și  $u=0.5$  și pentru două valori ale factorului de amortizare:  $\zeta=0.2$  și  $\zeta=0.5$  se obțin diagramele din fig. 6.1.32 și fig. 6.1.33

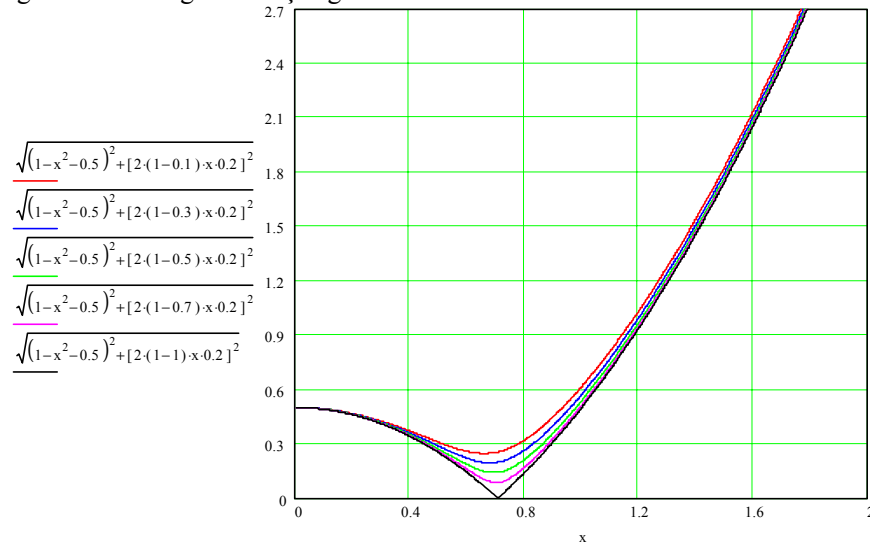
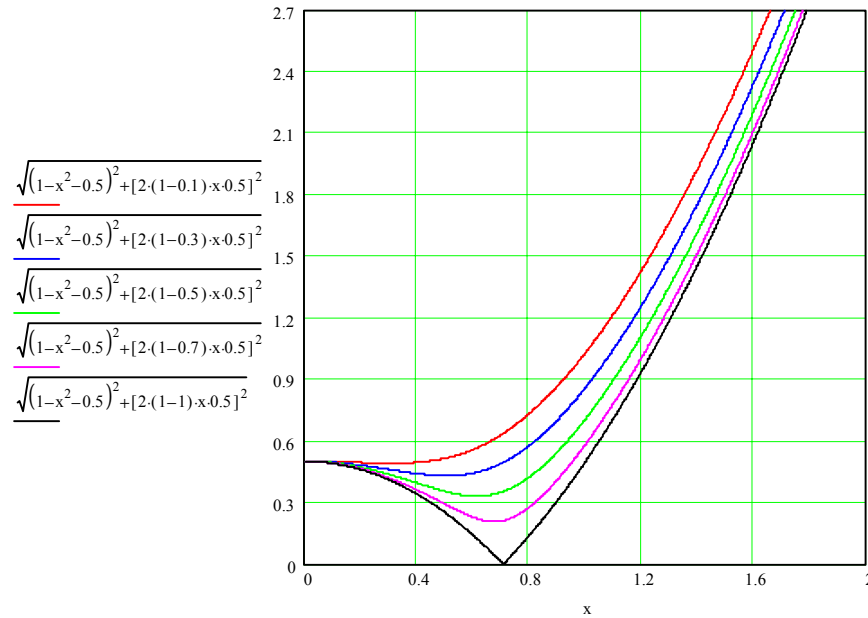


Fig. 6.1.32. Variația factorului dinamic al cuplajului cu pulsația relativă  $\eta$  pentru diferite valori ale factorului de cuplare  $v$  ( $u=0,5$  și  $\zeta=0,2$ )



**Fig. 6.1.33. Variația factorului dinamic al cuplajului cu pulsația relativă  $\eta$  pentru diferite valori ale factorului de cuplare  $v$  ( $u=0,5$  și  $\zeta=0,5$ )**

#### d. Concluzii

- Factorul dinamic prezintă un minim în domeniul anterezonant cu atât mai accentuat cu cât factorul de amortizare  $\zeta$  este mai mic; pentru valori mai mari ale factorului de amortizare  $\zeta$ , factorul de dinamic prezintă o creștere continuă astfel încât pentru valori de regim ale pulsației relative curbele se apropie foarte mult (fig. 1);
- Factorul de cuplare elastică  $u$  are aceeași influență asupra factorului dinamic indiferent de valorile factorului de amortizare  $\zeta$  astfel pentru  $u < 1$  se observă un minim în zona de rezonanță, urmat de o creștere continuă, aproape liniară în zona postrezonanță; pentru  $u = 1$  creșterea este continuă (fig. 2 și 3);
- Factorul de cuplare vâscoasă  $v$  are aceeași influență asupra factorului dinamic indiferent de valorile factorului de amortizare  $\zeta$  astfel pentru  $v < 1$  se observă un minim în zona de rezonanță, urmat de o creștere continuă, aproape liniară în zona postrezonanță; pentru  $v = 1$  creșterea este continuă; curbele sunt cu atât mai apropiate cu cât factorul de amortizare este mai mic (fig. 4 și 5).

### 6.1.7. Determinarea pulsației optime

Pulsația optimă este aceea pentru care factorul dinamic ia valori minime și se obține prin anularea derivatei expresiei (6.1.34):

$$\frac{d\sigma}{d\eta} = \frac{F_S}{r} \frac{-2\eta(1-\eta^2-u-2(1-\nu)^2\zeta^2)}{\sqrt{(1-\eta^2-u)^2 + 4(1-\nu)^2\eta^2\zeta^2}} = 0$$

$$\Rightarrow \eta_{op} = \sqrt{1-u-2(1-\nu)^2\zeta^2}$$
(6.1.35)

Se studiază influența factorului de amortizare  $\zeta$  și a parametrilor de cuplare  $u$  și  $\nu$  asupra pulsației optime. De asemenea se vor determina limitele de variație ale factorilor de cuplare  $u$  și  $\nu$  pentru anumite valori ale factorului de amortizare.

#### a. Influența factorului de amortizare $\zeta$

Reprezentând variația pulsației relativă optimă  $\eta_{op}$  pentru valorile coeficienților de cuplare  $u=0.5$  și  $\nu=0.5$  este prezentată în fig. 6.1.34

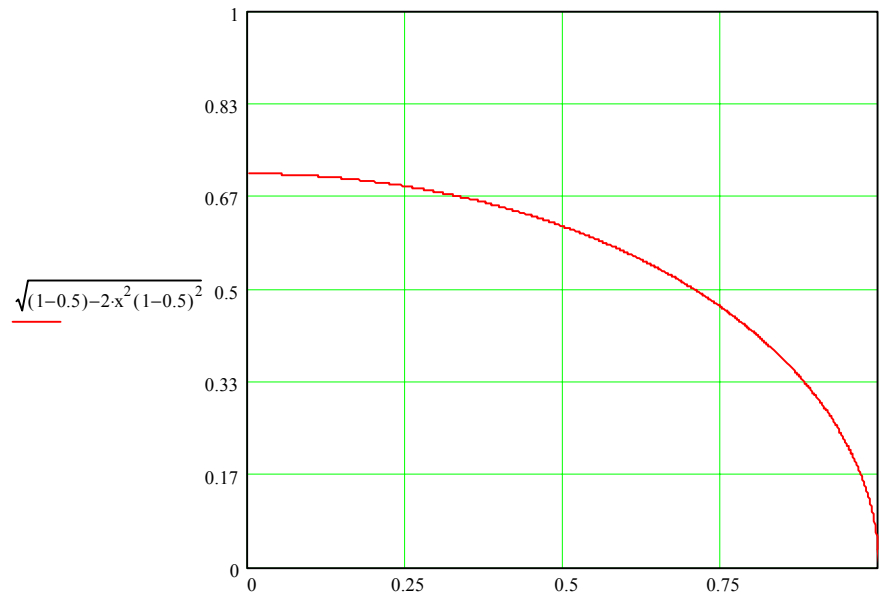


Fig. 6.1.34 Variația pulsației optime  $\eta_{op}$  cu amortizarea pentru  $u=0.5$  și  $\nu=0.5$

#### b. Influența factorului de cuplare $u$

Reprezentând variația pulsației optime dată de relația (6.1.35) pentru diferite valori ale factorului de cuplare  $u=0.1; 0.3; 0.5; 0.7$  și  $0.9$  și  $\nu=0.5$  în funcție de factorul de amortizare  $\zeta$  se obține diagrama din figura 6.1.35.

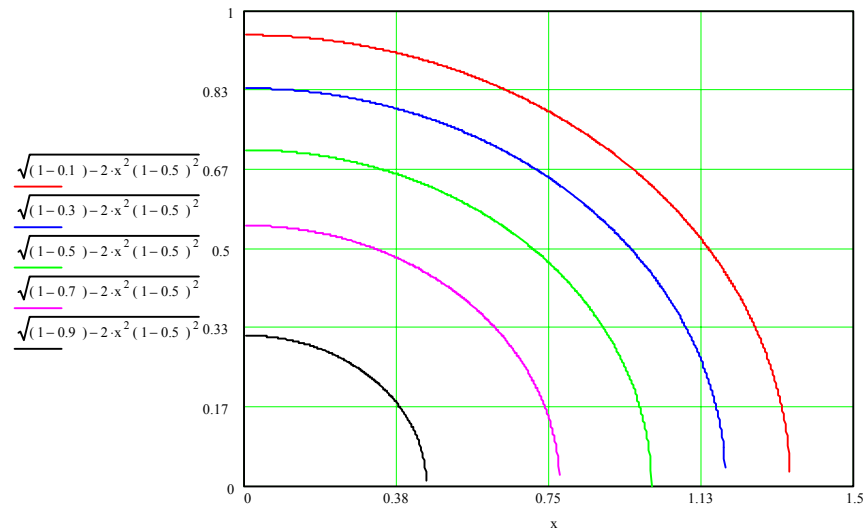


Fig. 6.1.35. Variația pulsației optime  $\eta_{op}$  cu amortizarea și factorul de cuplare  $u$  pentru  $v=0.5$

### c. Influența factorului de cuplare $v$

Reprezentând variația pulsației optime dată de relația (6.1.35) pentru diferite valori ale factorului de cuplare  $v=0.1; 0.3; 0.5; 0.7$  și  $0.9$  și  $u=0.5$  în funcție de factorul de amortizare  $\zeta$  se obține diagrama din figura 6.1.36.

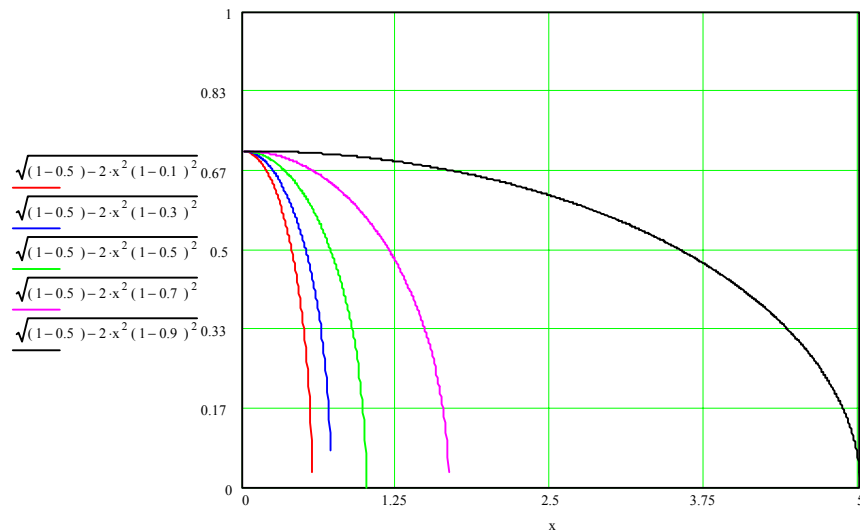


Fig. 6.1.36. Variația pulsației optime  $\eta_{op}$  cu amortizarea și factorul de cuplare  $v$  pentru  $u=0.5$

Condiția de existență a soluției (6.1.35) pentru pulsația optimă este:

$$1 - u - 2(1 - \nu)^2 \zeta^2 \geq 0 \Leftrightarrow u \leq 1 - 2(1 - \nu)^2 \zeta^2 \quad (6.1.36)$$

Se reprezintă în spațiul coeficienților de cuplare funcția  $u(\nu)$  pentru diferite valori ale factorului de amortizare  $\zeta$ , relația (6.1.36) reprezintă suprafața situată sub graficul funcției  $u = f(\nu) = 1 - 2(1 - \nu)^2 \zeta^2$  reprezentată prin diagrama din figura 6.1.37.

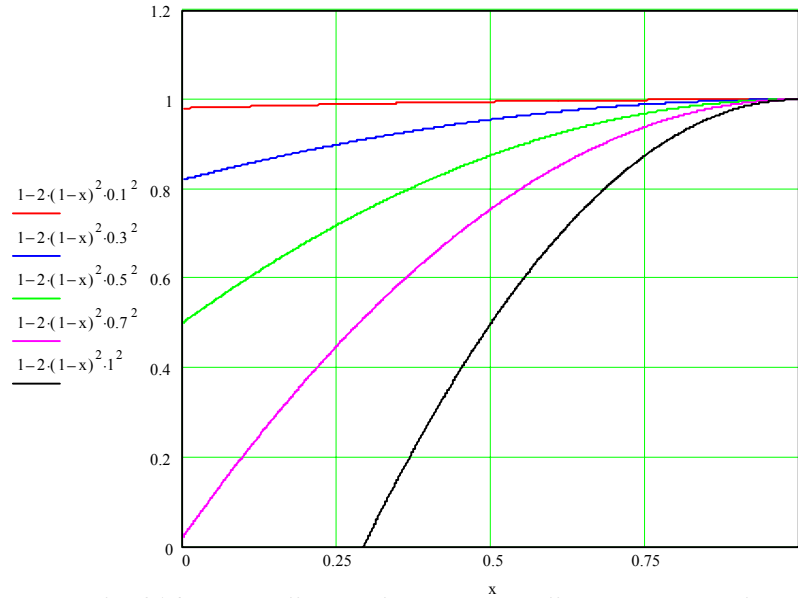


Fig. 6.1.37. Domeniile de existență ale soluțiilor pentru pulsația optimă

### 6.1.8. Factorul dinamic minim

Factorul dinamic minim se obține pentru pulsația optimă (6.1.35):

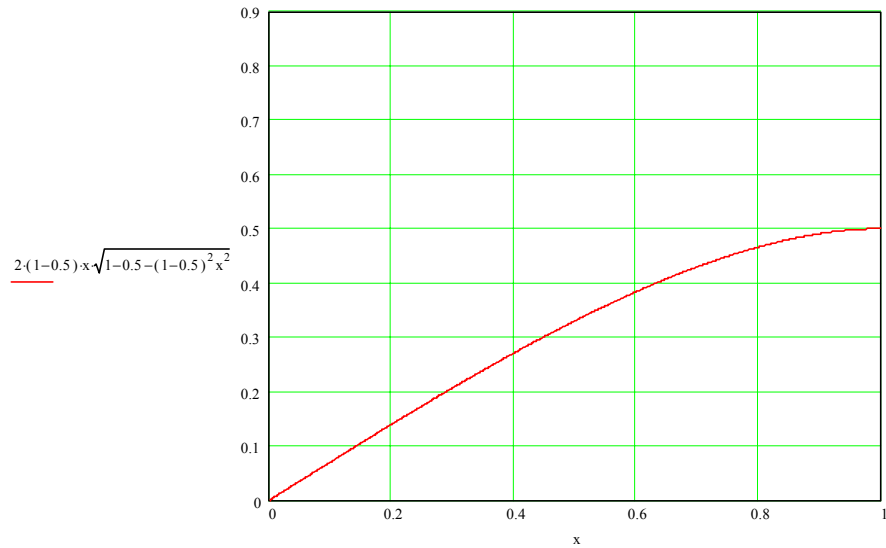
$$\eta_{op} = \sqrt{1 - u - 2(1 - \nu)^2 \zeta^2} \text{ care înlocuită în (6.1.34) conduce la:}$$

$$\sigma_{min} = \sqrt{(1 - \eta_{op}^2 - u)^2 + 4(1 - \nu)^2 \eta_{op}^2 \zeta^2} = 2(1 - \nu) \zeta \cdot \sqrt{1 - u - (1 - \nu)^2 \zeta^2} \quad (6.1.37)$$

Se va studia în continuare influența factorului de amortizare  $\zeta$  și a parametrilor de cuplare  $u$  și  $\nu$  asupra variației factorului dinamic minim.

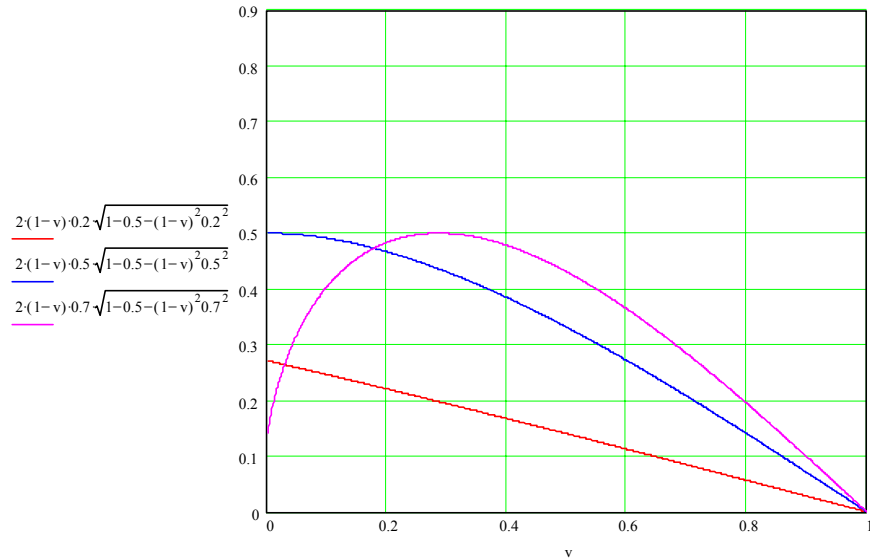
#### a. Influența factorului de amortizare $\zeta$

Reprezentând variația factorului dinamic minim pentru valorile coeficienților de cuplare  $u=0.5$  și  $\nu=0.5$  pentru diferite valori ale factorului de amortizare se obțin diagramele din fig. 6.1.38


 Fig. 6.1.38. Variația factorului dinamic minim cu amortizarea pentru  $u=0.5$  și  $v=0.5$ 

### b. Influența factorului de cuplare $u$

Reprezentând variația factorului dinamic minim al cuplajului în funcție de valorile factorului de cuplare  $u$  pentru  $v=0.5$  și pentru trei valori ale factorului de amortizare:  $\zeta = 0.2$ ,  $\zeta = 0.5$  și  $\zeta = 0.7$  se obțin diagramele din fig. 6.1.39


 Fig. 6.1.39. Variația factorului dinamic minim cu factorul de cuplare  $u$  și trei valori ale factorului de amortizare pentru  $v=0.5$

### c. Influența factorului de cuplare $u$

Reprezentând variația factorului dinamic minim al cuplajului în funcție de valorile factorului de cuplare  $v$  pentru  $u=0,5$  și pentru două valori ale factorului de amortizare:  $\zeta = 0,2$ ,  $\zeta = 0,5$  și  $\zeta = 0,7$  se obțin diagramele din fig. 6.1.40

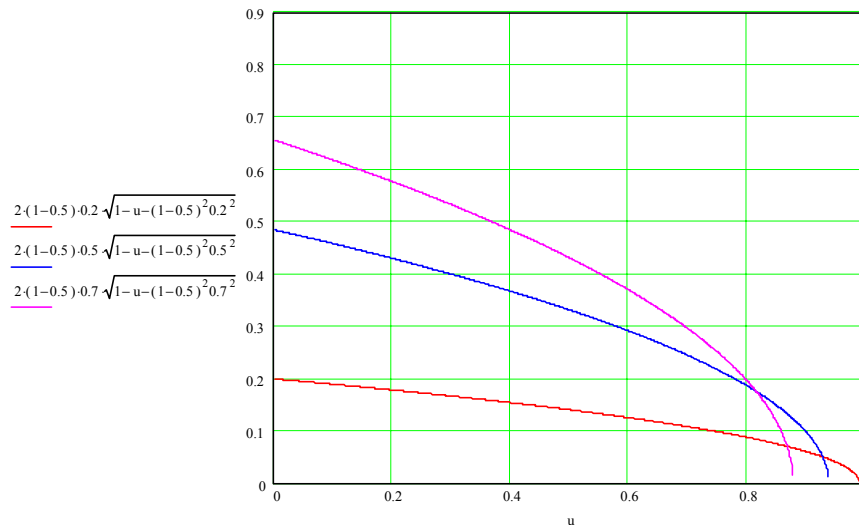


Fig. 6.1.39. Variația factorului dinamic minim cu factorul de cuplare  $v$  și trei valori ale factorului de amortizare pentru  $u=0.5$

### d. Concluzii

- pulsația optimă este situată în domeniul anterezonant și este cu atât mai mică cu cât factorul de amortizare  $\zeta$  este mai mare (fig. 6.1.34);
- Pentru o anumită valoare a factorului de amortizare  $\zeta$  pulsația optimă este cu atât mai mare cu cât factorul de cuplare elastică  $u$  este mai mare; pentru anumite valori ale factorului de amortizare  $\zeta$  nu există soluții pentru orice factor de cuplare  $u$  (fig. 6.1.35-6.1.36);
- Din analiza diagramelor prezentate în figura 6.1.37 se poate trage concluzia că un factor dinamic optim nu se poate obține pentru orice valori ale parametrilor de cuplare  $u$  și  $v$ . Acești parametri trebuie să fie sub curba
 
$$u = f(v) = 1 - 2(1-v)^2 \zeta^2$$
 corespunzătoare factorului de amortizare  $\zeta$ ;
- Factorul dinamic este cu atât mai mare cu cât factorul de amortizare  $\zeta$  este mai mare (fig. 6.1.38);
- Factorul dinamic ca funcție de factorul de cuplare  $u$  admite un maxim pentru valori ale factorului de amortizare  $\zeta > 0,6$  care corespunde unei valori  $u \approx 0,3$ ; pentru valori mai mici ale factorului de amortizare variația este continuă și descrescătoare cu  $u$  (fig. 6.1.39);
- Factorul dinamic ca funcție de factorul de cuplare  $v$  are o variație continuă și descrescătoare (fig. 6.1.40).



### 6.1.10. Cuplajul rigid

Modelul matematic este prezentat în figura 6.1.41, fiind un caz particular al celui de la punctul 6.1.1 în care  $c_2 = 0$ ;  $k_2 \rightarrow \infty \Rightarrow u = 1, v = 0$

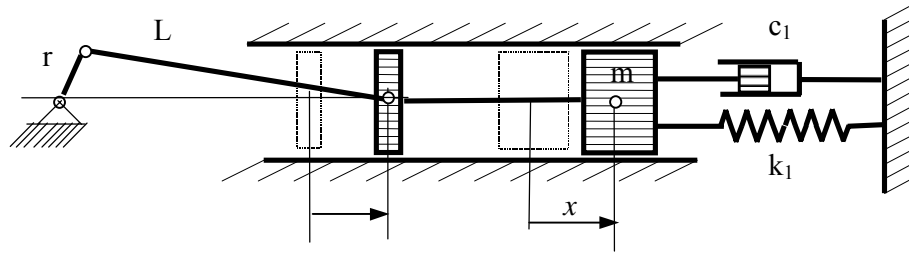


Fig.6.1.41

$$v = r \cos \omega t$$

Relațiile (6.1.17), (6.1.18) (6.1.33') și (6.1.34) devin:

➤ factorul de amplificare:  $\xi_x = 1$  (6.1.38)

➤ factorul de transmisibilitate al cuplajului:  $\xi_F = 1$  (6.1.39)

➤ factorul dinamic al cuplajului:  $\sigma = \frac{F_s \xi_F}{r \xi_x} \rightarrow \infty$  (6.1.40)

### 6.1.11. Cuplajul elastic simplu

Modelul matematic este prezentat în figura 6.1.42 fiind un caz particular al celui de la punctul 6.1.1 în care  $c_2 = 0 \Rightarrow v = 0$

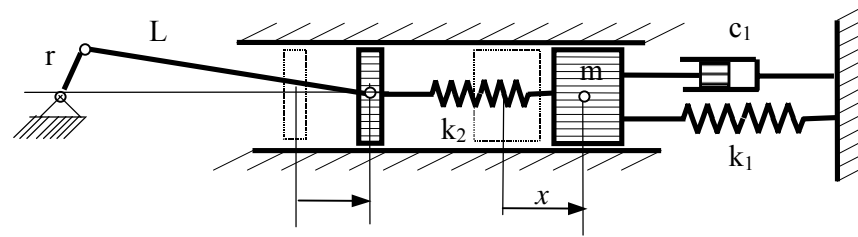


Fig.6.1.42

$$y = r \cos \omega t$$

Relațiile (6.1.18), (6.1.33') și (6.1.34) devin:

➤ factorul de amplificare:  $\xi_x = \frac{u}{\sqrt{(1-\eta^2)^2 + 4\eta^2\zeta^2}}$  (6.1.41)

➤ factorul de transmisibilitate :  $\xi_F = \sqrt{\frac{[(1-\eta^2-u)^2 + 4\eta^2\zeta^2] u^2}{(1-\eta^2)^2 + 4\eta^2\zeta^2}}$  (6.1.42)

➤ factorul dinamic al cuplajului:  $\sigma = (F_s / r) \sqrt{(1-\eta^2-u)^2 + 4\eta^2\zeta^2}$  (6.1.43)

### a. Influența factorului de cuplare $u$ asupra factorului de amplificare

Reprezentând variația factorului de amplificare cu pulsația relativă  $\eta$  pentru diferite valori ale coeficientului de cuplare  $u=0.1; 0.3; 0.5; 0.7$  și  $1$  și pentru două valori ale factorului de amortizare:  $\zeta = 0.2$  și  $\zeta = 0.5$  se obțin diagramele din fig. 6.1.43 și 6.1.44.

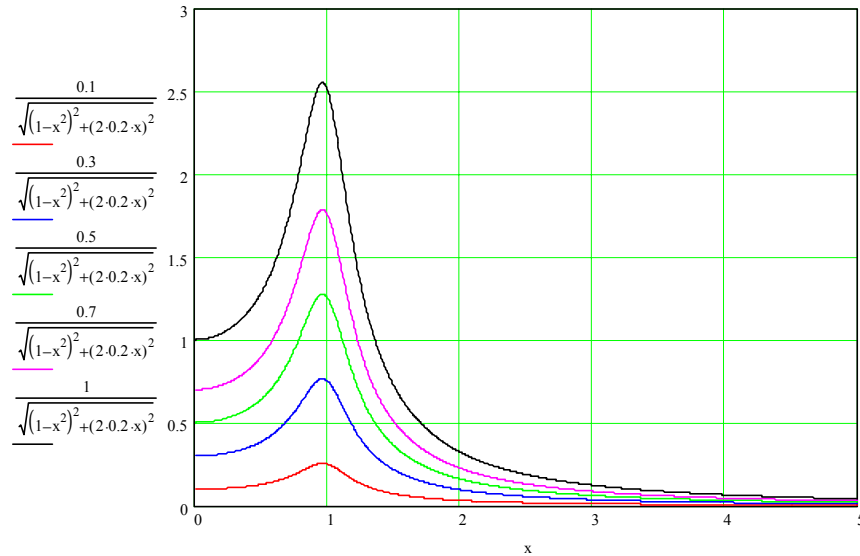


Fig. 6.1.43. Variația factorului de amplificare cu pulsația relativă pentru diferite valori ale factorului de cuplare  $u$  și  $\zeta=0.2$

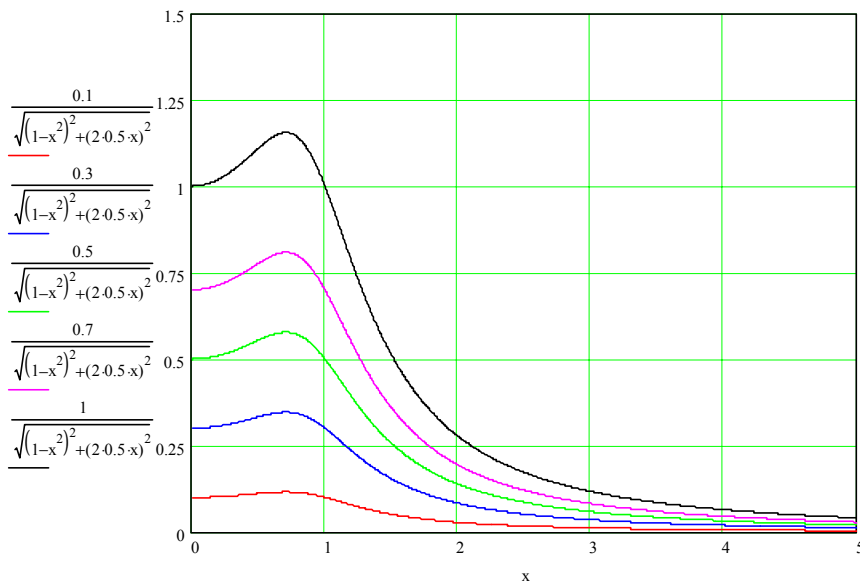


Fig. 6.1.44. Variația factorului de amplificare cu pulsația relativă pentru diferite valori ale factorului de cuplare  $u$  și  $\zeta=0.5$

### b. Influența factorului de cuplare $u$ asupra factorului de transmisibilitate

Reprezentând variația factorului de transmisibilitate al cuplajului cu pulsația relativă  $\eta$  pentru diferite valori ale coeficientului de cuplare  $u=0.1; 0.3; 0.5; 0.7$  și  $1$  și pentru două valori ale factorului de amortizare:  $\zeta=0.2$  și  $\zeta=0.5$  se obțin diagramele din fig. 6.1.45 și 6.1.46.

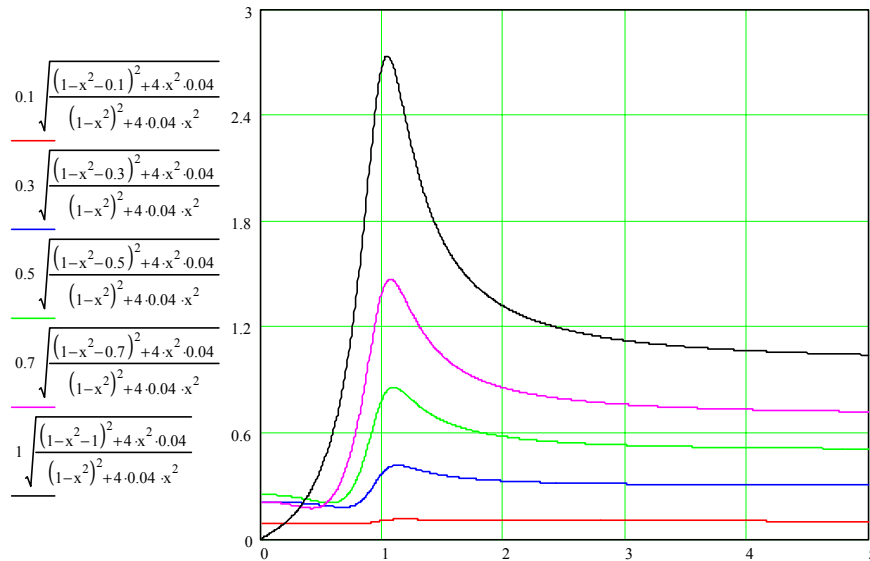


Fig. 6.1.45. Variația factorului de transmisibilitate cu pulsația relativă pentru diferite valori ale factorului de cuplare  $u$  și  $\zeta=0.2$

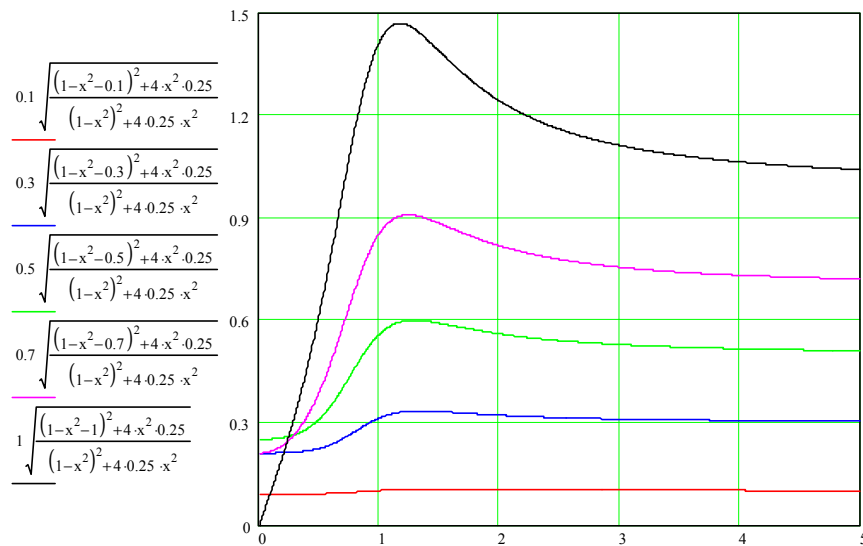


Fig. 6.1.46. Variația factorului de transmisibilitate cu pulsația relativă pentru diferite valori ale factorului de cuplare  $u$  și  $\zeta=0.5$

### c. Influența factorului de cuplare $u$ asupra factorului dinamic

Reprezentând variația factorului dinamic al cuplajului cu pulsația relativă  $\eta$  pentru diferite valori ale coeficientului de cuplare  $u=0.1; 0.3; 0.5; 0.7$  și  $1$  și pentru două valori ale factorului de amortizare:  $\zeta=0.2$  și  $\zeta=0.5$  se obțin diagramele din fig. 6.1.47 și 6.1.48.

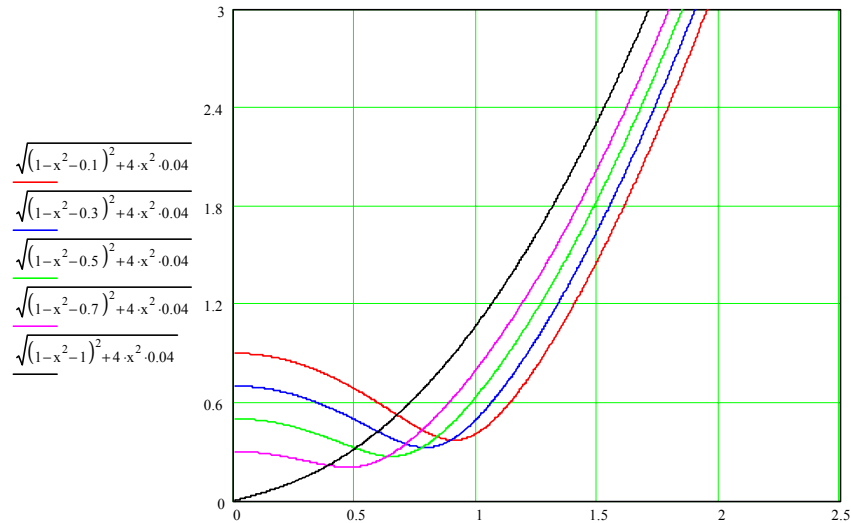


Fig. 6.1.47. Variația factorului dinamic cu pulsația relativă pentru diferite valori ale factorului de cuplare  $u$  și  $\zeta=0.2$

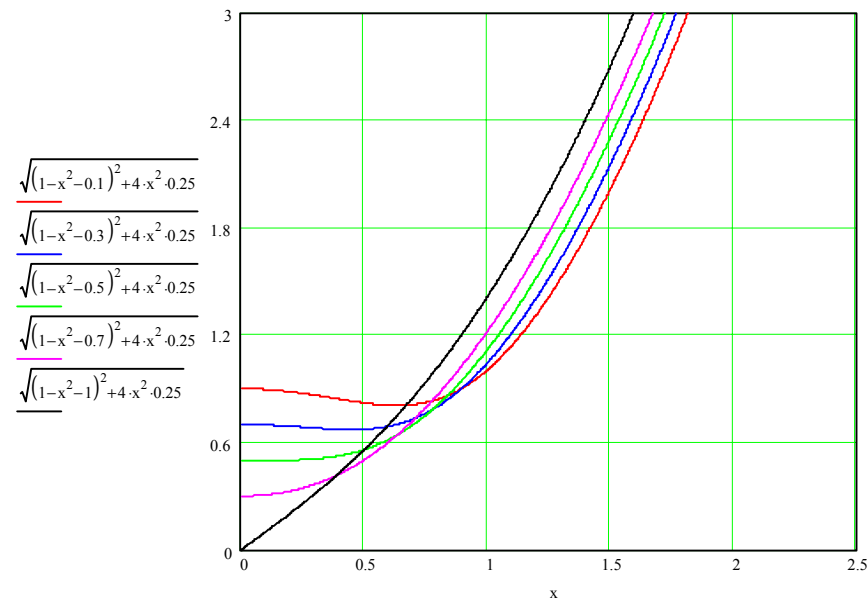


Fig. 6.1.47. Variația factorului dinamic cu pulsația relativă pentru diferite valori ale factorului de cuplare  $u$  și  $\zeta=0.5$

### 6.1.12. Cuplajul amortizor simplu

Modelul matematic este prezentat în figura 6.1.49 fiind un caz particular al celui de la punctul 6.1.1 în care  $k_2 = 0 \Rightarrow u = 0$

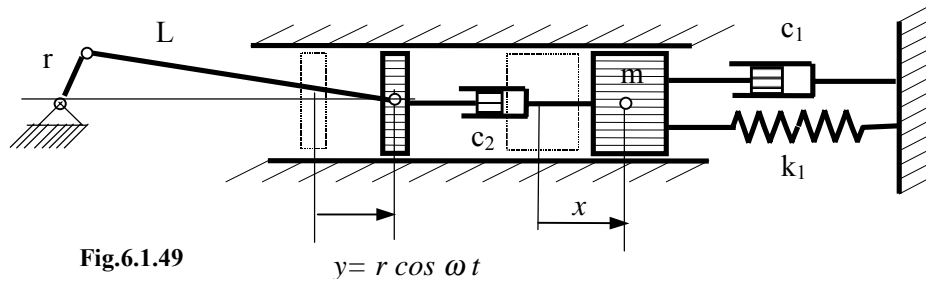


Fig.6.1.49

Relațiile (6.1.18), (6.1.33') și (6.1.34) devin:

- factorul de amplificare:

$$\xi_x = \frac{2v\eta\zeta}{\sqrt{(1-\eta^2)^2 + 4\eta^2\zeta^2}} \quad (6.1.44)$$

- factorul de transmisibilitate:

$$\xi_F = \sqrt{\frac{[(1-\eta^2)^2 + 4(1-v)^2\eta^2\zeta^2]4v^2\eta^2\zeta^2}{(1-\eta^2)^2 + 4\eta^2\zeta^2}} \quad (6.1.45)$$

- factorul dinamic al cuplajului:

$$\sigma = \frac{F_S}{r} \sqrt{(1-\eta^2)^2 + 4(1-v)^2\eta^2\zeta^2} \quad (6.1.46)$$

#### a. Influența factorului de cuplare $v$ asupra factorului de amplificare

Reprezentând variația factorului de amplificare cu pulsația relativă  $\eta$  pentru diferite valori ale coeficientului de cuplare  $v=0.1; 0.3; 0.5; 0.7$  și  $1$  și pentru două valori ale factorului de amortizare:  $\zeta = 0.2$  și  $\zeta = 0.5$  se obțin diagramele din fig. 6.1.50 și 6.1.51.

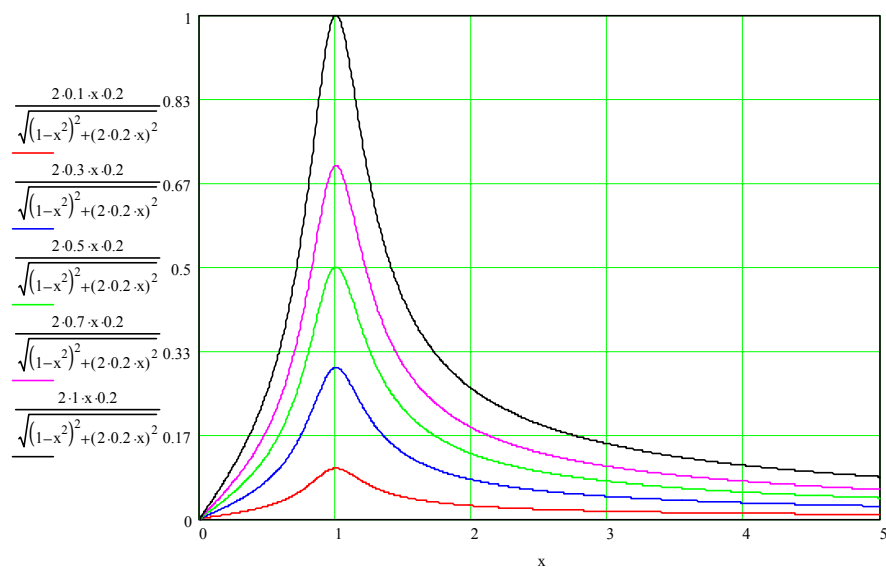


Fig. 6.1.50. Variația factorului de amplificare cu pulsația relativă pentru diferite valori ale factorului de cuplare  $v$  și  $\zeta=0,2$

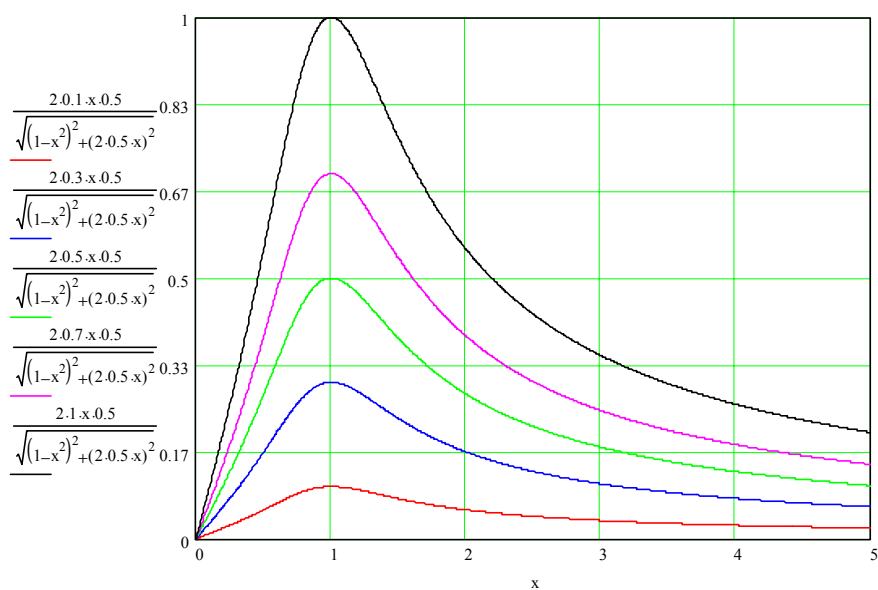


Fig. 6.1.51. Variația factorului de amplificare cu pulsația relativă pentru diferite valori ale factorului de cuplare  $v$  și  $\zeta=0,5$

### b. Influența factorului de cuplare $v$ asupra factorului de transmisibilitate

Reprezentând variația factorului de transmisibilitate al cuplajului cu pulsația relativă  $\eta$  pentru diferite valori ale coeficientului de cuplare  $v=0.1; 0.3; 0.5; 0.7$  și  $1$  și pentru două valori ale factorului de amortizare  $\zeta = 0,2$  și  $\zeta = 0,5$  se obțin diagramele din fig. 6.1.52 și 6.1.53.

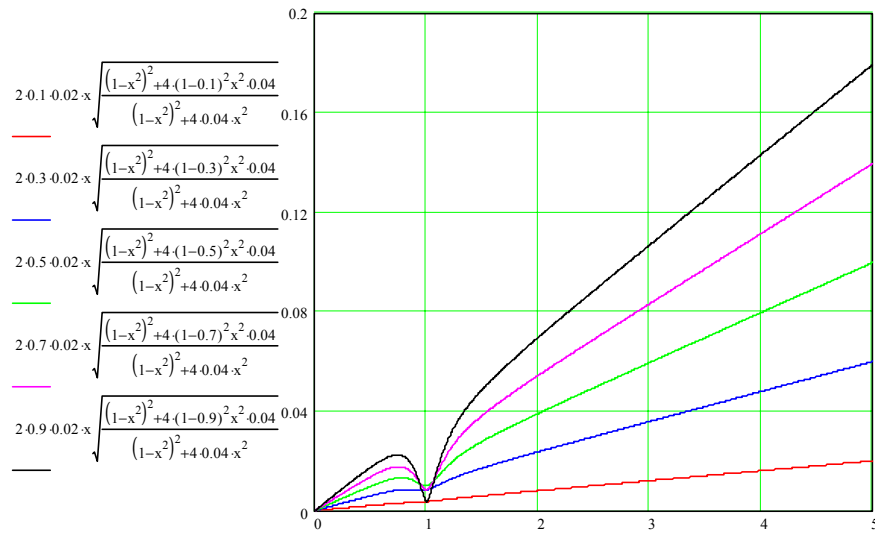


Fig. 6.1.52. Variația factorului de transmisibilitate cu pulsația relativă pentru diferite valori ale factorului de cuplare  $v$  și  $\zeta=0,2$

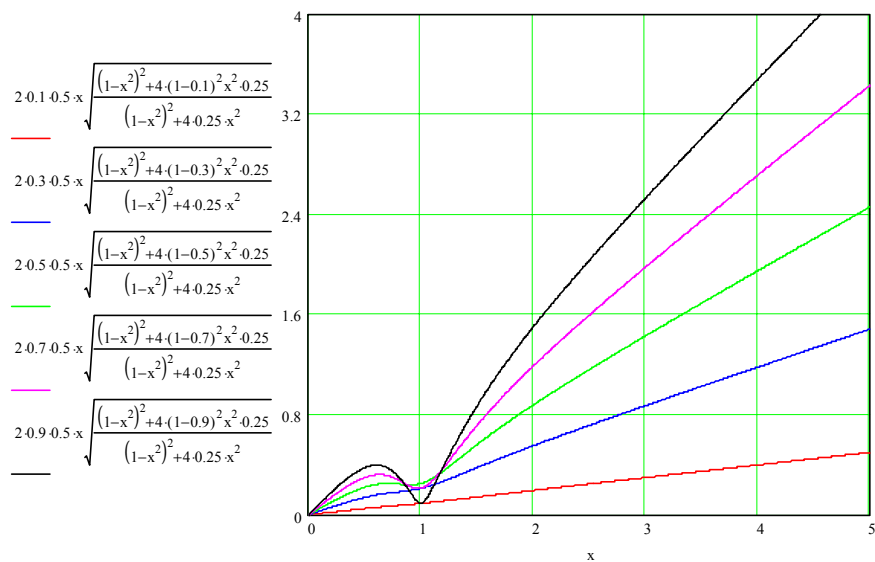


Fig. 6.1.53. Variația factorului de transmisibilitate cu pulsația relativă pentru diferite valori ale factorului de cuplare  $v$  și  $\zeta=0,5$

### c. Influența factorului de cuplare $v$ asupra factorului dinamic

Reprezentând variația factorului dinamic al cuplajului cu pulsația relativă  $\eta$  pentru diferite valori ale coeficientului de cuplare  $v=0.1; 0.3; 0.5; 0.7$  și  $1$  și pentru două valori ale factorului de amortizare  $\zeta=0.2$  și  $\zeta=0.5$  se obțin diagramele din fig. 6.1.54 și 6.1.55.

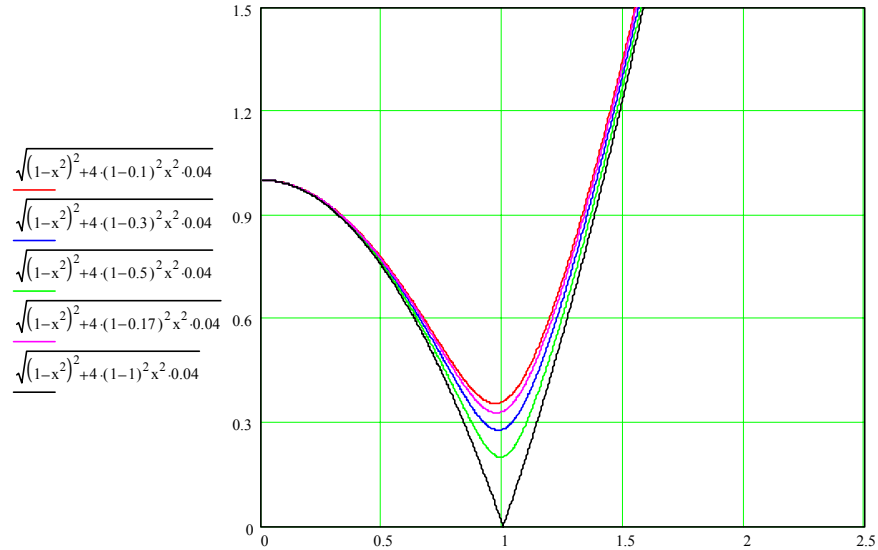


Fig. 6.1.54. Variația factorului dinamic cu pulsația relativă pentru diferite valori ale factorului de cuplare  $v$  și  $\zeta=0.2$

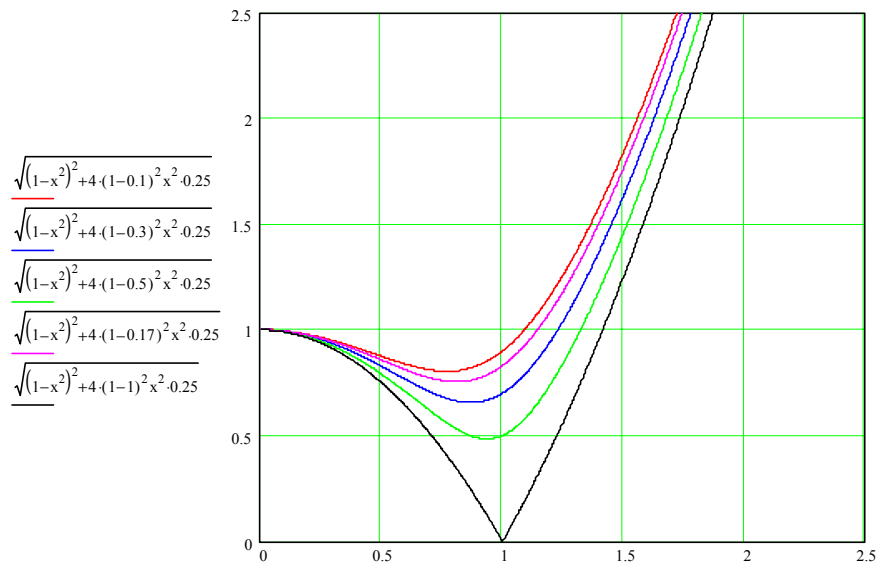


Fig. 6.1.55. Variația factorului dinamic cu pulsația relativă pentru diferite valori ale factorului de cuplare  $v$  și  $\zeta=0.5$



## 6.2. Mașini vibratoare sprijinite pe suporturi rigizi articulați

Vibratoarele sprijinite pe suporturi rigizi articulați (fig.6.2.1) au modelul matematic prezentat în figura 6.2.1. Acesta este format dintr-un corp de masă  $m$  legat de bază prin intermediul unui amortizor hidraulic (forța de amortizare vâscoasă fiind proporțională cu viteza  $\bar{R} = -c\bar{v}$ ). Corpul de masă  $m$  este legat prin intermediul unui arc și a unui amortizor de un piston având o lege de mișcare armonică:  $y = r \cos \omega t$ . Acesta este un caz particular al celui de la punctul 6.2.1 pentru care avem:  $k_1 = 0 \Rightarrow u = 1$

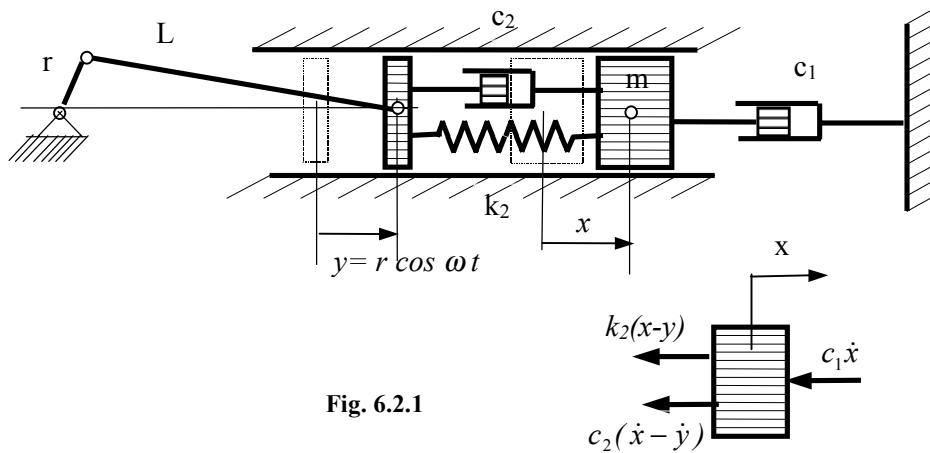


Fig. 6.2.1

### 6.2.1. Factorul de amplificare $\xi_x$ și defazajul $\varphi$

- Factorul de amplificare de la dispozitivul de antrenare la organul de lucru condus (jghebul vibrator) este:

$$\xi_x = \frac{a}{r} = \sqrt{\frac{1 + 4\nu^2 \eta^2 \zeta^2}{(1 - \eta^2)^2 + 4\eta^2 \zeta^2}} \quad (6.6.2.1)$$

- Defazajul dintre argumentul excitației și argumentul răspunsului:

$$\varphi = \arctg \frac{2\eta\zeta}{1 - \eta^2} - \arctg 2\nu\eta\zeta \quad (6.2.2)$$

#### a. Influența factorului de amortizare $\zeta$

Reprezentând variația factorului de amplificare cu pulsația relativă  $\eta$  pentru diferite valori ale factorului de amortizare  $\zeta = 0,1; 0,3; 0,5; 0,7; 0,9$  și un factor de cuplare  $\nu=0,5$  se obțin diagramele din fig. 6.2.2.

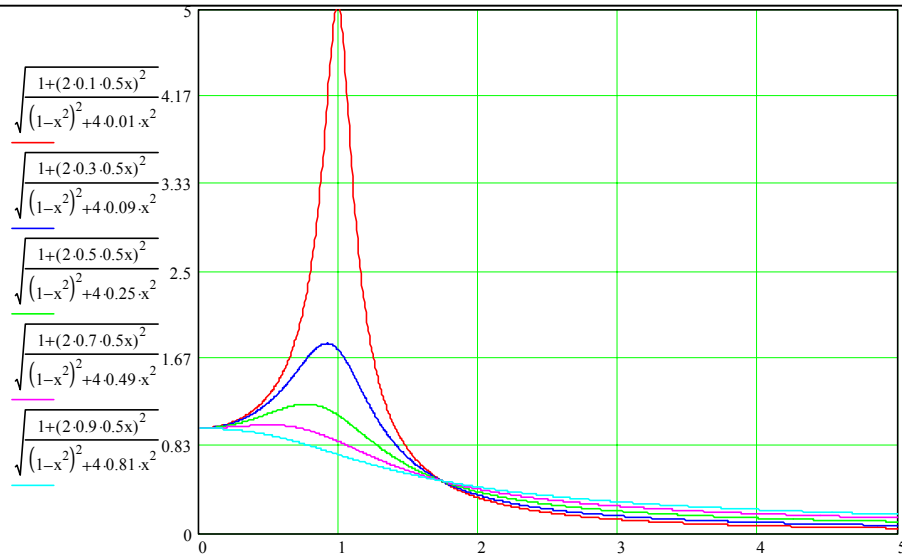


Fig.6.2.2. Variația factorului de amplificare cu pulsația relativă  $\eta$  pentru diferite valori ale factorului de amortizare  $\zeta$

### b. Influența factorului de cuplare $\nu$

Reprezentând variația factorului de amplificare cu pulsația relativă  $\eta$  pentru diferite valori ale factorului de cuplare  $\nu=0.1; 0.3; 0.5; 0.7$  și pentru două valori ale factorului de amortizare:  $\zeta=0.2$  respectiv  $\zeta=0.5$  se obțin diagramele din figurile 6.2.3 și 6.2.4.

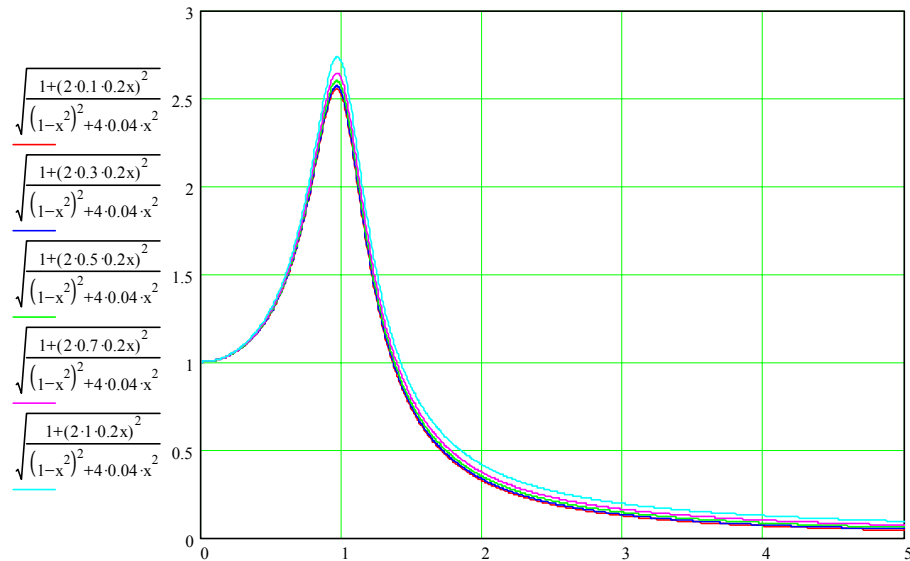


Fig.6.2.3. Variația factorului de amplificare cu pulsația relativă  $\eta$  pentru diferite valori ale factorului de cuplare  $\nu$  ( $\zeta=0.2$ )

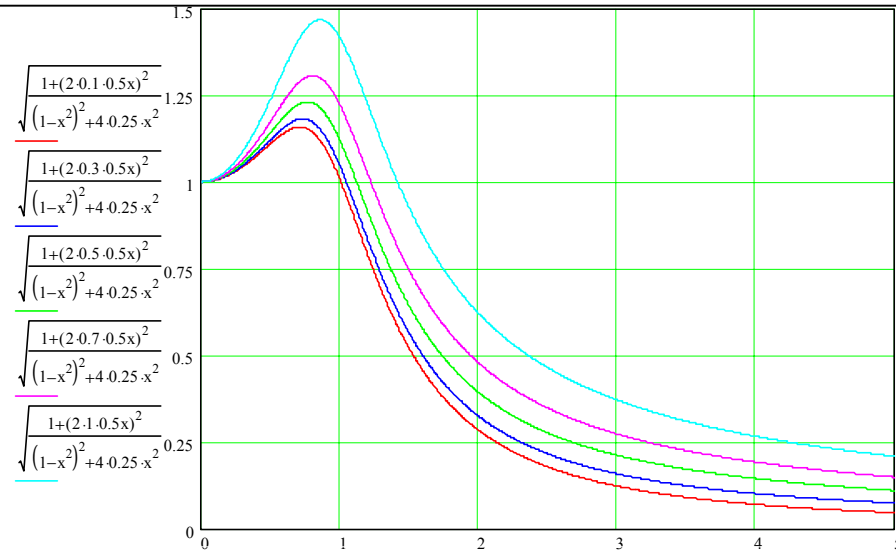


Fig.6.2.4. Variația factorului de amplificare cu pulsația relativă  $\eta$  pentru diferite valori ale factorului de cuplare  $v$  ( $\zeta=0,5$ )

## 6.2.2. Factorul de amplificare al accelerațiilor $\xi_{\ddot{x}}$

### a. Influența factorului de amortizare $\zeta$

Reprezentând variația factorului de amplificare al accelerațiilor  $\xi_{\ddot{x}}$  cu pulsația relativă  $\eta$  pentru diferite valori ale factorului de amortizare  $\zeta = 0,1; 0,3; 0,5; 0,7; 0,9$  și un coeficient de cuplare  $v=0,5$  se obțin diagramele din fig. 6.2.5

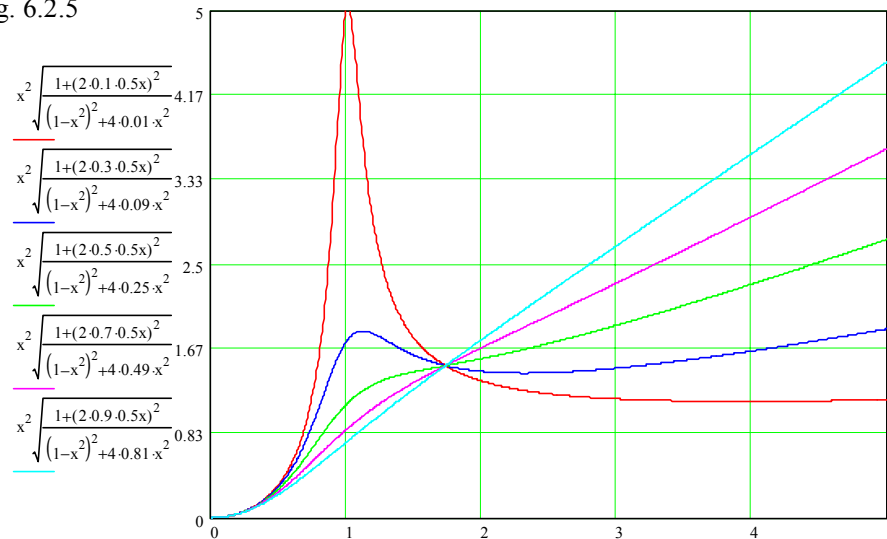
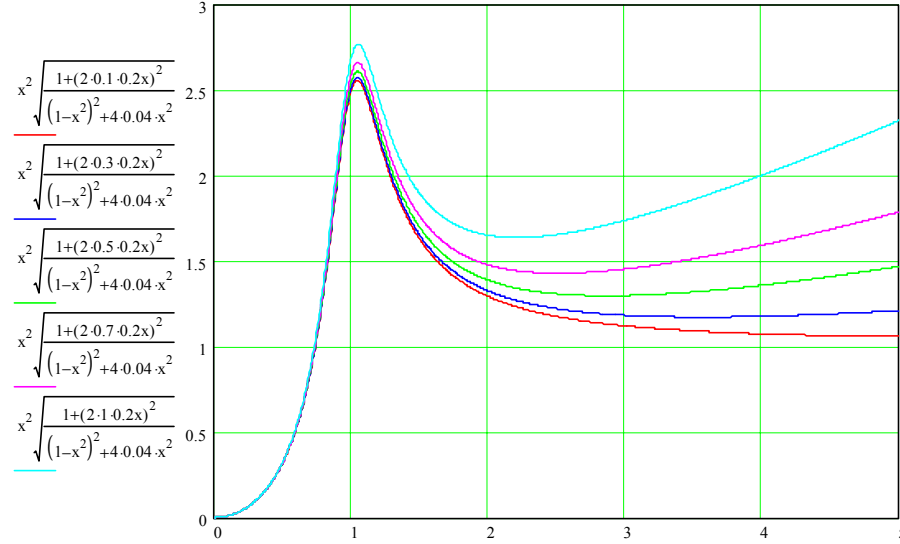


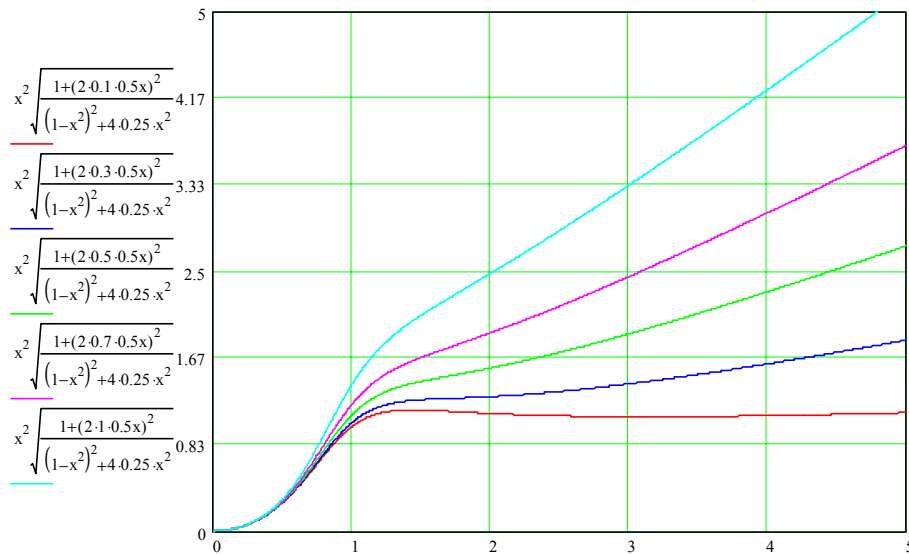
Fig.6.2.5. Variația factorului de amplificare al accelerațiilor cu pulsația relativă  $\eta$  pentru diferite valori ale factorului de amortizare  $\zeta$

**b. Influența factorului de cuplare  $\nu$** 

Reprezentând variația factorul de amplificare al accelerațiilor  $\xi_{\ddot{x}}$  cu pulsația relativă  $\eta$  pentru diferite valori ale factorului de cuplare  $\nu=0.1; 0.3; 0.5; 0.7$  și pentru două valori ale factorului de amortizare:  $\zeta=0.2$  respectiv  $\zeta=0.5$  se obțin diagramele din figurile 6.2.6 și 6.2.7.



**Fig.6.2.6. Variația factorul de amplificare al accelerațiilor cu pulsația relativă  $\eta$  pentru diferite valori ale factorului de cuplare  $\nu$  ( $\zeta=0,2$ )**



**Fig.6.2.7. Variația factorul de amplificare al accelerațiilor cu pulsația relativă  $\eta$  pentru diferite valori ale factorului de cuplare  $\nu$  ( $\zeta=0,5$ )**

### 6.2.3. Factorul de amplificare a amplitudinii mișcării relative a capetelor cuplajului $\xi_w$

Factorul de amplificare a mișcării relative a capetelor cuplajului  $\xi_w$  (6.2.29') se scrie pentru acest caz:

$$\xi_w = \sqrt{\frac{\eta^4 + 4(1-\nu)^2 \eta^2 \zeta^2}{(1-\eta^2)^2 + 4\eta^2 \zeta^2}} \quad (6.2.3)$$

#### a. Influența factorului de amortizare $\zeta$

Reprezentând variația factorului de amplificare a mișcării relative a capetelor cuplajului  $\xi_w$  cu pulsația relativă  $\eta$  pentru diferite valori ale factorului de amortizare  $\zeta = 0,1; 0,3; 0,5; 0,7; 0,9$  și un coeficient de cuplare  $\nu=0,5$  se obțin diagramele din figura 6.2.8

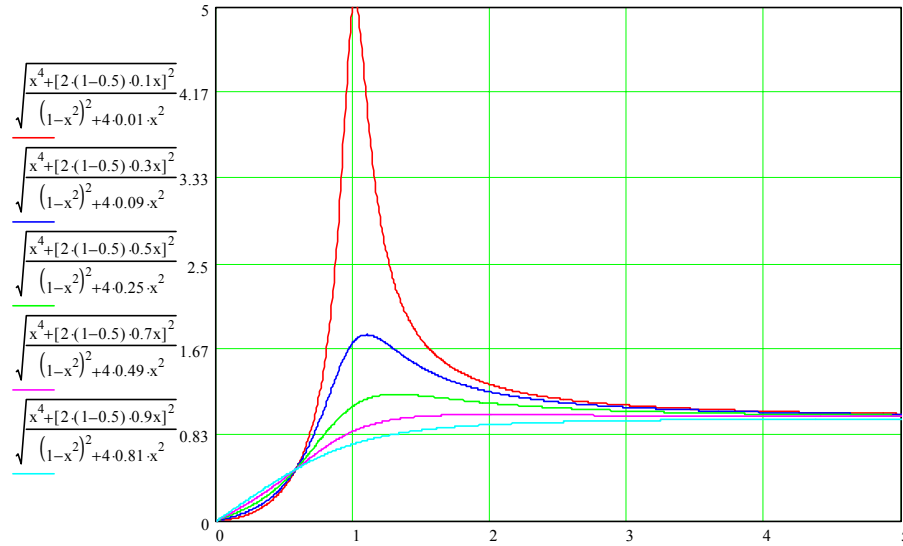


Fig.6.2.8. Variația factorului de amplificare cu pulsația relativă  $\eta$  pentru diferite valori ale factorului de amortizare  $\zeta$

#### b. Influența factorului de cuplare $\nu$

Reprezentând variația factorului de amplificare a mișcării relative a capetelor cuplajului  $\xi_w$  cu pulsația relativă  $\eta$  pentru diferite valori ale factorului de cuplare  $\nu=0.1; 0,3; 0,5; 0,7$  și  $\nu=1$  și pentru două valori ale factorului de amortizare:  $\zeta = 0,2$  respectiv  $\zeta = 0,5$  se obțin diagramele din figurile 6.2.9 și 6.2.10.

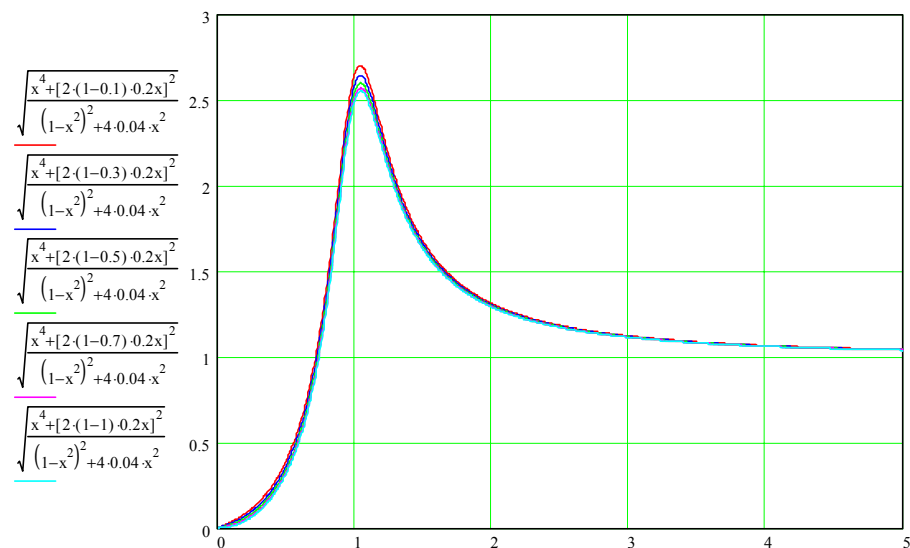


Fig.6.2.9. Variația factorul de amplificare al mișcării relative a capetelor cu pulsația relativă  $\eta$  pentru diferite valori ale factorului de cuplare  $v$  ( $\zeta=0,2$ )

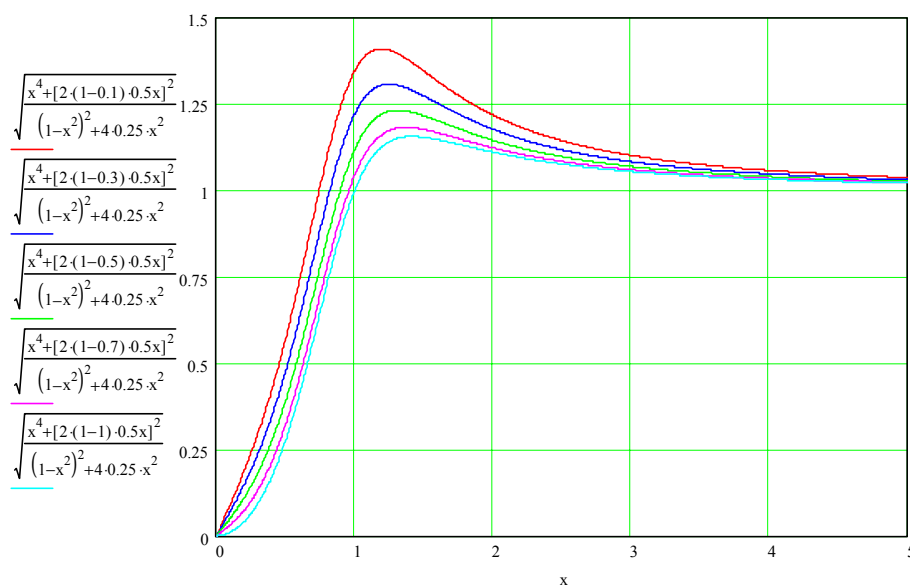


Fig.6.2.10. Variația factorul de amplificare al mișcării relative a capetelor cu pulsația relativă  $\eta$  pentru diferite valori ale factorului de cuplare  $v$  ( $\zeta=0,5$ )

### 6.2.4. Factorul de transmisibilitate al cuplajului $\xi_F$

Factorul de transmisibilitate al cuplajului  $\xi_F$  (6.2.33') se scrie pentru acest caz:

$$\xi_F = \xi_w \sqrt{1^2 + 4\nu^2 \eta^2 \zeta^2} = \sqrt{\frac{[\eta^4 + 4(1-\nu)^2 \eta^2 \zeta^2][1 + 4\nu^2 \eta^2 \zeta^2]}{(1-\eta^2)^2 + 4\eta^2 \zeta^2}} \quad (6.2.4)$$

#### a. Influența factorului de amortizare

Reprezentând variația factorului de transmisibilitate al cuplajului  $\xi_F$  cu pulsația relativă  $\eta$  pentru diferite valori ale factorului de amortizare  $\zeta = 0,1; 0,3; 0,5; 0,7; 0,9$  și un coeficient de cuplare  $\nu=0,5$  se obțin diagramele din fig. 6.2.11

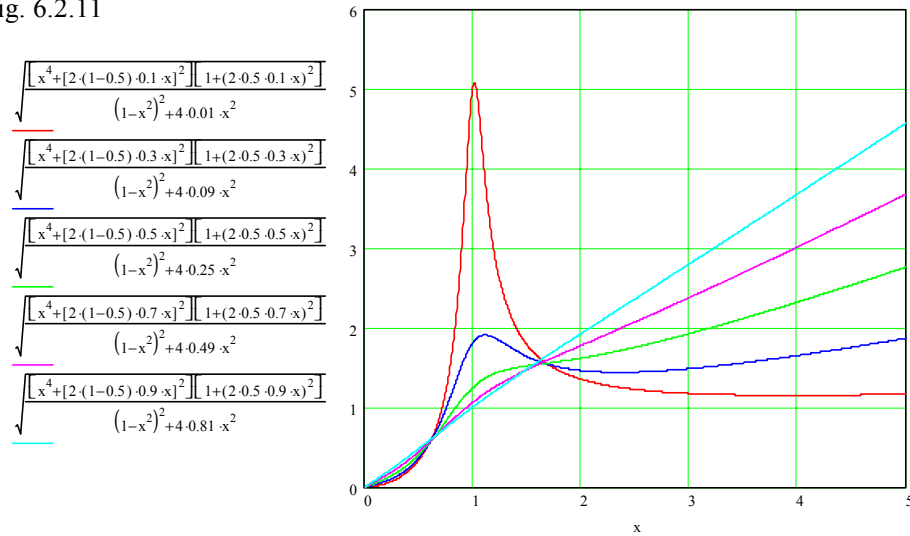


Fig.6.2.11. Variația factorului de transmisibilitate cu pulsația relativă  $\eta$  pentru diferite valori ale factorului de amortizare  $\zeta$

#### b. Influența factorului de cuplare $\nu$

Reprezentând variația factorului de transmisibilitate al cuplajului  $\xi_F$  cu pulsația relativă  $\eta$  pentru diferite valori ale factorului de cuplare  $\nu=0,1; 0,3; 0,5; 0,7$  și  $\nu=1$  și pentru două valori ale factorului de amortizare:  $\zeta=0,2$  respectiv  $\zeta=0,5$  se obțin diagramele din figurile 6.2.12 și 6.2.13.

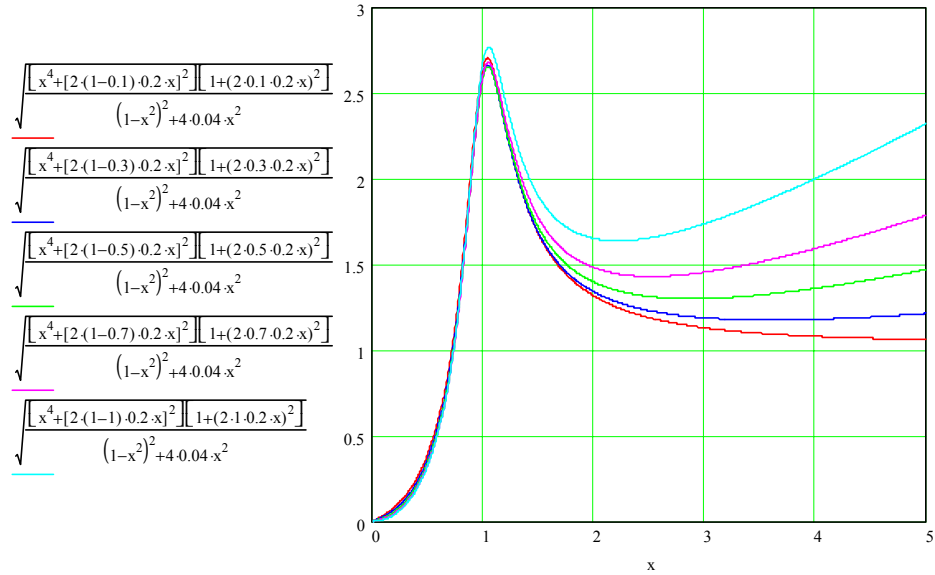


Fig.6.2.12. Variația factorul de transmisibilitate cu pulsația relativă  $\eta$  pentru diferite valori ale factorului de cuplare  $v$  ( $\xi=0,2$ )

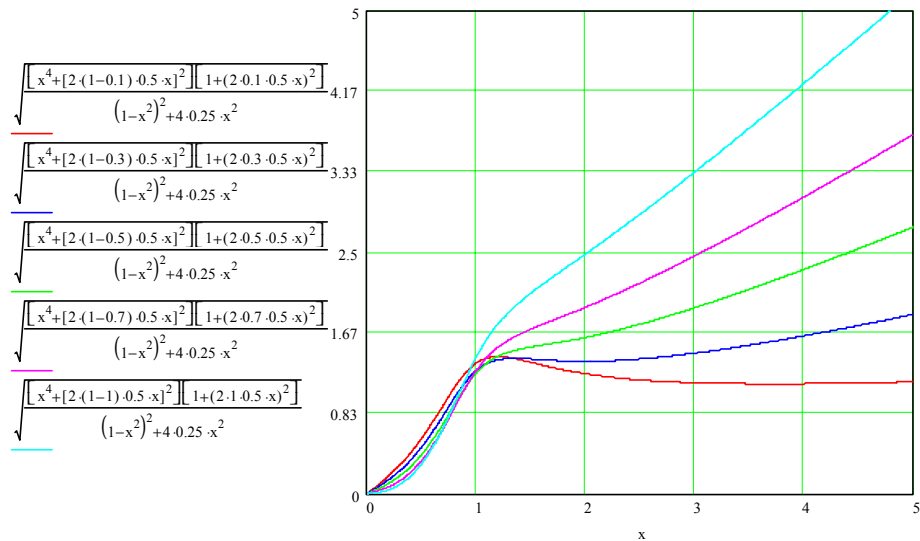


Fig.6.2.13. Variația factorul de transmisibilitate cu pulsația relativă  $\eta$  pentru diferite valori ale factorului de cuplare  $v$  ( $\xi=0,2$ )



### 6.2.5. Factorul dinamic al cuplajului

Raportul dintre amplitudinea forței transmise prin cuplaj și amplitudinea vibrațiilor obținute la organul de lucru este factorul dinamic al cuplajului :

$$\sigma = \frac{F_s \xi_F}{r \xi_x} = \frac{F_s}{r} \sqrt{\eta^4 + 4(1-\nu)^2 \eta^2 \zeta^2} \quad (6.2.5)$$

#### a. Influența factorului de amortizare $\zeta$

Reprezentând variația raportului dintre amplitudinea forței transmise prin cuplaj și amplitudinea vibrațiilor cu pulsația relativă  $\eta$  pentru diferite valori ale factorului de amortizare  $\zeta = 0,1; 0,3; 0,5; 0,7; 0,9$  și un coeficient de cuplare  $\nu=0,5$  se obțin diagramele din fig. 6.2.14.

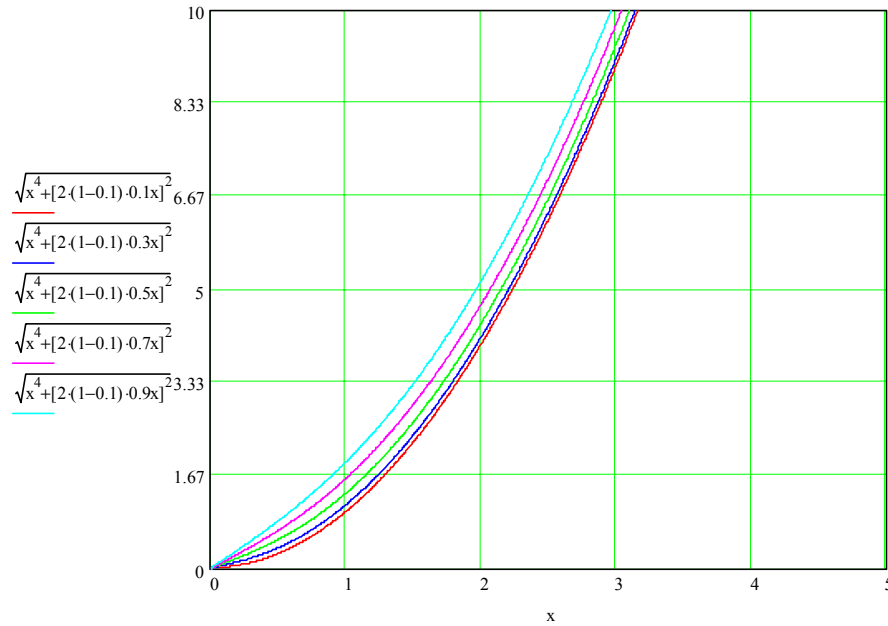


Fig.6.2.14. Variația factorul dinamic cu pulsația relativă  $\eta$  pentru diferite valori ale factorului de amortizare  $\zeta$  ( $\nu=0,5$ )

#### b. Influența factorului de cuplare $\nu$

Reprezentând variația raportului dintre amplitudinea forței transmise prin cuplaj și amplitudinea vibrațiilor cu pulsația relativă  $\eta$  pentru diferite valori ale factorului de cuplare  $\nu=0,1; 0,3; 0,5; 0,7$  și  $\nu=1$  și pentru doua valori ale factorului de amortizare:  $\zeta = 0,2$  și  $\zeta = 0,5$  se obțin fig. 6.2.15 și 6.2.16.

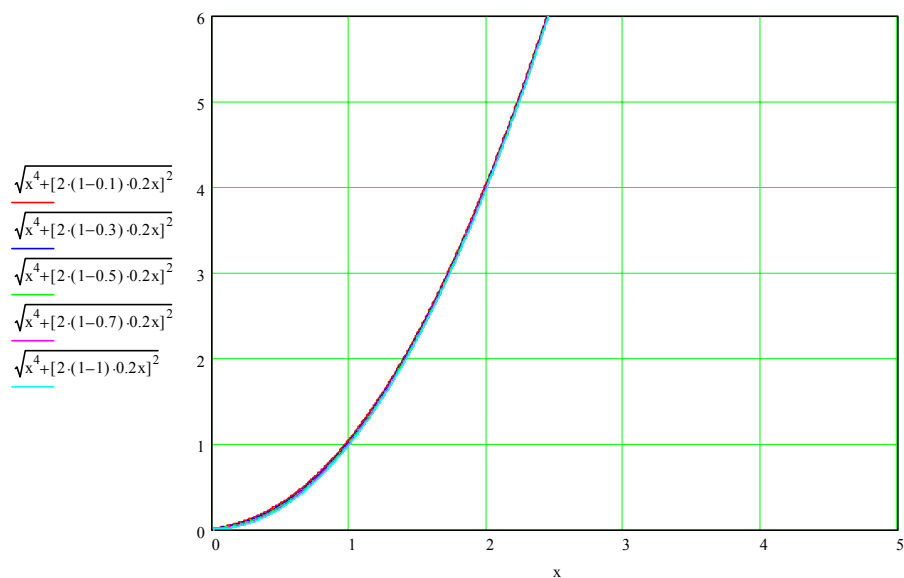


Fig.6.2.15. Variația factorul dinamic cu pulsația relativă  $\eta$  pentru diferite valori ale factorului de cuplare  $v$  ( $\zeta=0,2$ )

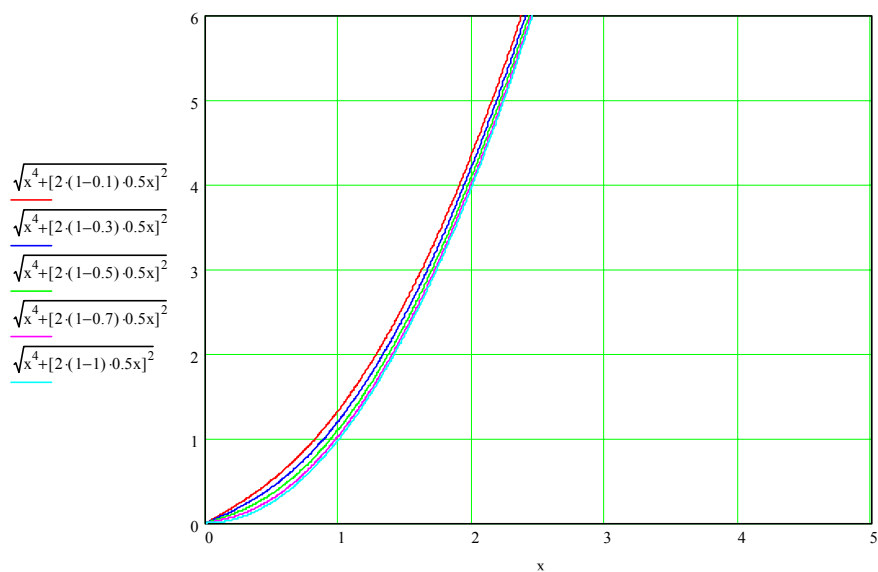


Fig.6.2.16. Variația factorul dinamic cu pulsația relativă  $\eta$  pentru diferite valori ale factorului de cuplare  $v$  ( $\zeta=0,5$ )

### 6.2.6. Defazajul

#### a. Influența factorului de amortizare $\zeta$

Reprezentând variația defazajului dintre excitație și răspuns (6.2.1) cu pulsația relativă  $\eta$  pentru diferite valori ale factorului de amortizare:  $\zeta = 0,1; 0,3; 0,5; 0,7; 0,9$  și un coeficient de cuplare  $\nu=0,5$  se obțin diagramele din fig. 6.2.17. Defazajul se mai scrie:

$$\varphi = \arccos \frac{1-\eta^2}{\sqrt{(1-\eta^2)^2 + 4\eta^2\zeta^2}} - \arccos \frac{1}{\sqrt{1+(2\nu\eta\zeta)^2}} \quad (6.2.6)$$

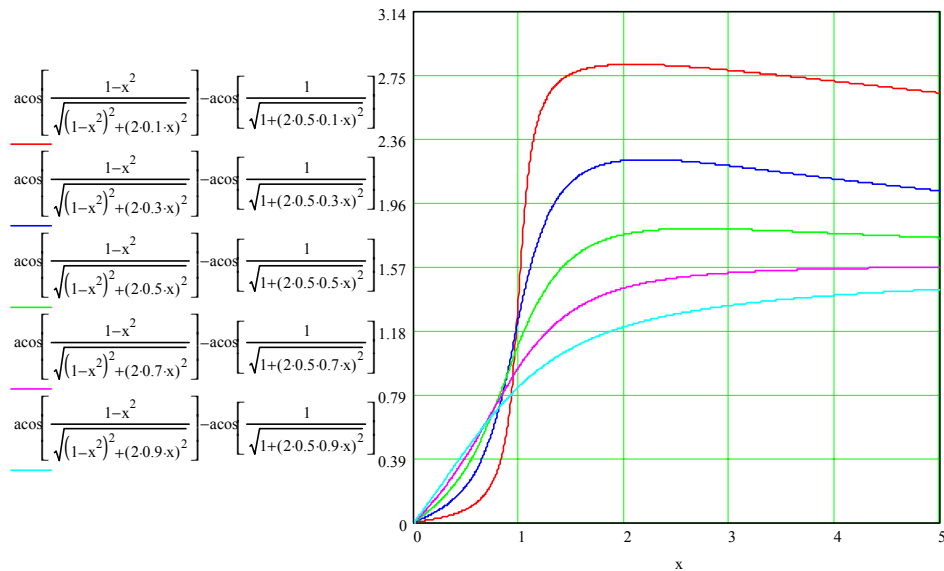


Fig.6.2.17. Variația defazajului cu pulsația relativă  $\eta$  pentru diferite valori ale factorului de amortizare  $\zeta$  ( $\nu=0,5$ )

#### b. Influența factorului de cuplare $\nu$

Reprezentând variația defazajului dintre excitație și răspuns (6.2.1) cu pulsația relativă  $\eta$  pentru diferite valori ale factorului de cuplare  $\nu=0,1; 0,3; 0,5; 0,7$  și  $\nu=1$  și pentru valoarea ale factorului de amortizare  $\zeta=0,5$  se obține fig. 6.2.18.

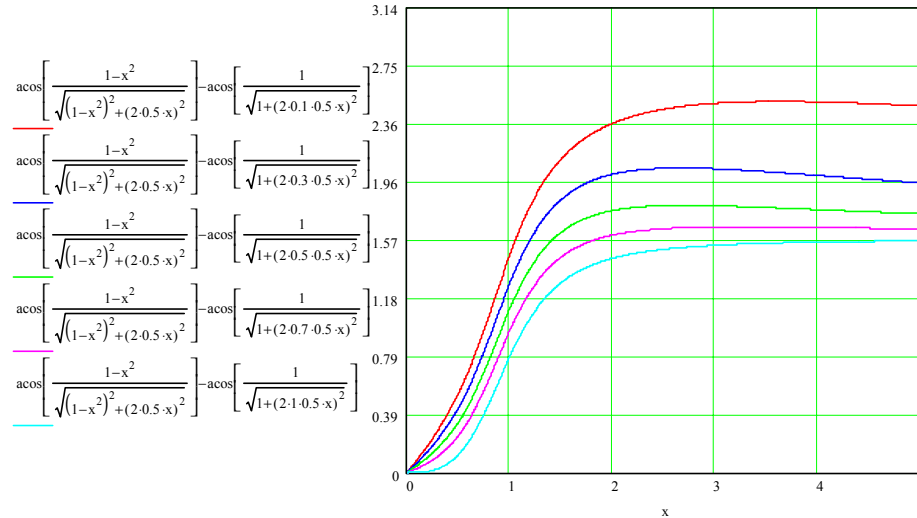


Fig.6.2.18. Variația defazajului cu pulsația relativă  $\eta$  pentru diferite valori ale factorului de cuplare  $v$  ( $\zeta=0,5$ )

### 6.2.7. Concluzii

După stabilirea relațiilor de calcul a factorului de amplificare, defazajului, factorului de amplificare a accelerațiilor, factorului de transmisibilitate și factorului dinamic și prin simularea numerică a variației acestor mărimi dinamice ale vibrațiilor prin modificarea unuia din cei trei categorii de parametri:

- factorul de amortizare definit cu ajutorul relației (1.8')
- factorii de cuplare  $u$  și  $v$  definiți cu ajutorul relației (1.10)

se obțin diferite curbe de variație care permit concluzii asupra comportării dinamice a vibratoarelor monomaseice cu acționare cinematică sprijinite pe suporturi rigizi articulați, cu amortizare.

Din analiza diagramelor obținute se pot trage următoarele concluzii:

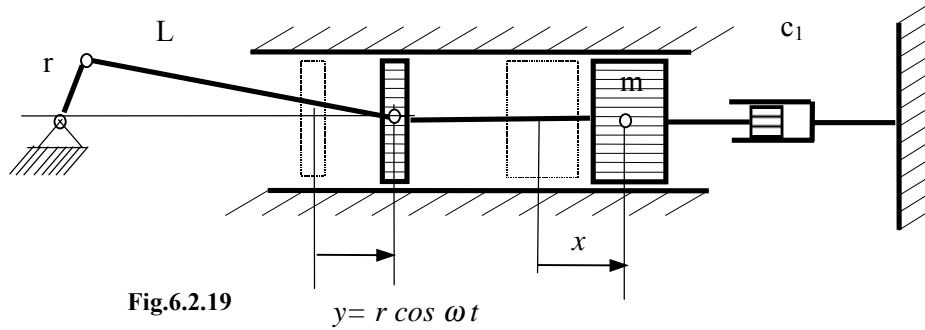
1. *Factorul de amplificare al deplasărilor* organului de lucru prezintă o variație mai pronunțată în jurul valorii de rezonanță cu cât factorul de amortizare este mai mic (fig. 6.2.2) și o variație mai pronunțată cu cât factorul de cuplare  $v$  este mai apropiat de  $v=1$  (fig. 6.2.3 ÷ 6.2.4);
2. *Factorul de amplificare al accelerațiilor* sau al forțelor de inerție la organul de lucru crește continuu pentru valori ale factorului de amortizare  $\zeta \geq 0,5$  iar pentru valori  $\zeta < 0,5$  se constată o creștere în domeniul de anterezonanță, urmată de o scădere și apoi din nou o creștere cu atât mai moderată cu cât factorul de amortizare este mai mic; de aici rezultă că pentru a obține forțe de inerție scăzute se recomandă valori scăzute ale

factorului de amortizare (fig. 6.2.5); pentru diferite valori ale factorului de cuplare  $v$  diagramele prezintă valori maxime foarte apropiate (fig. 6.2.6) pentru o amortizare redusă, și o pantă din ce în ce mai mare cu cât acest factor este mai mare (fig. 6.2.7) pentru o amortizare mărită;

3. Pentru diferite valori ale factorului de amortizare  $\zeta$  și ale factorului de cuplare  $u$  și  $v$  *factorul de amplificare al deplasării relative a capetelor cuplajului* prezintă o valoare maximă în domeniul de rezonanță, după care valoarea tinde către valoarea  $\xi_w = 1$  (fig. 6.2.8+ 6.2.10);
4. *Factorul de transmisibilitate al cuplajului*  $\xi_F$  are o variație între două limite strânse pentru valori mici ale factorului de amortizare, și o variație crescătoare pentru valori ale factorului de amortizare  $\zeta \geq 0,5$  (fig.6.2.11); pentru diferite valori ale factorului de cuplare  $v$  se observă maxime foarte apropiate în zona de rezonanță (fig.6.2.12) pentru o amortizare redusă și valori crescătoare cu o pantă mai mare cu cât factorul  $v$  este mai mare (fig.6.2.13) pentru o amortizare mărită;
5. *Factorul dinamic al cuplajului*  $\sigma$  prezintă o creștere continuă cu o pantă din ce în ce mai mare atât pentru diferite grade de amortizare cât și pentru diferite valori ale factorului de cuplare  $v$  (fig.6.2.14+ 6.2.16);
6. *Defazajul* crește foarte mult în zona de anterezonanță cu atât mai pronunțat cu cât factorul de amortizare este mai mic, după care în domeniul de postrezonanță defazajul scade foarte puțin față de valoarea maximă atinsă (fig. 6.2.17); defazajul scade sub zero în zona de anterezonanță pentru valori ale factorului de cuplare  $v \leq 0,5 \Leftrightarrow c_1 = c_2$ , iar în domeniul de postrezonanță scade foarte puțin față de valoarea maximă atinsă (fig. 6.2.17 + 6.2.18).

### 6.2.8. Cuplajul rigid

Modelul matematic este prezentat în figura 6.2.19, fiind un caz particular al celui de la punctul 6.2.1 în care  $k_2 \rightarrow \infty$ ,  $c_2 = 0 \Rightarrow u = 1$ ,  $v = 0$



Relațiile (6.2.2), (6.2.4) și (6.2.5) devin:

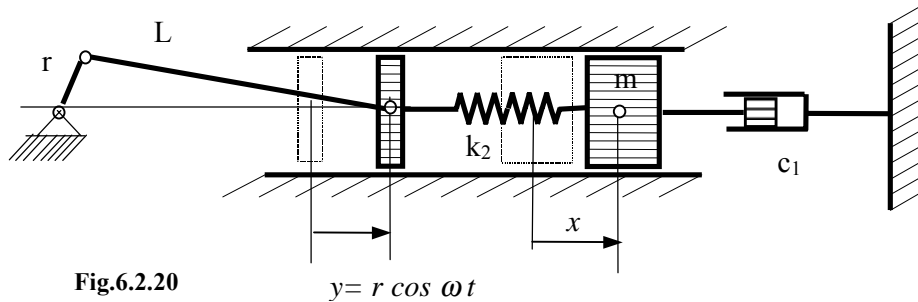
➤ factorul de amplificare:  $\xi_x = 1$  (6.2.7)

➤ factorul de transmisibilitate:  $\xi_F = 1$  (6.2.8)

➤ factorul dinamic:  $\sigma = \frac{F_s \xi_F}{r \xi_x} \rightarrow \infty$  (6.2.9)

### 6.2.9. Cuplajul elastic simplu

Modelul matematic este prezentat în figura 6.2.20, fiind un caz particular al celui de la punctul 6.2.1 în care  $c_2 = 0 \Rightarrow v = 0$



Relațiile (6.2.2), (6.2.4) și (6.2.5) devin:

$$\text{➤ factorul de amplificare: } \xi_x = \frac{1}{\sqrt{(1-\eta^2)^2 + 4\eta^2\zeta^2}} \quad (6.2.10)$$

$$\text{➤ factorul de transmisibilitate: } \xi_F = \sqrt{\frac{[\eta^4 + 4\eta^2\zeta^2]}{(1-\eta^2)^2 + 4\eta^2\zeta^2}} \quad (6.2.11)$$

$$\text{➤ factorul dinamic: } \sigma = \sqrt{[\eta^4 + 4\eta^2\zeta^2]} \quad (6.2.12)$$

### a. Influența factorului de amortizare $\zeta$ asupra factorului de amplificare

Reprezentând variația factorului de amplificare cu pulsația relativă  $\eta$  pentru diferite valori ale factorului de amortizare:  $\zeta = 0,1 \dots 0,5$  se obțin diagramele din fig. 6.2.21.

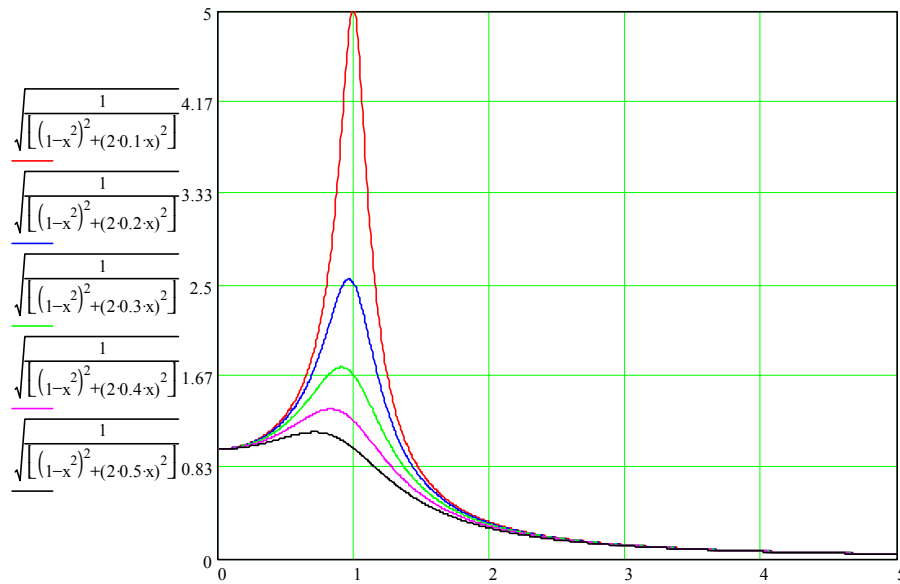


Fig.6.2.21. Variația factorul de amplificare cu pulsația relativă  $\eta$  pentru diferite valori ale factorului de amortizare  $\zeta$

### b. Influența factorului de amortizare $\zeta$ asupra transmisibilității

Reprezentând variația factorului de transmisibilitate cu pulsația relativă  $\eta$  pentru diferite valori ale factorului de amortizare:  $\zeta = 0,1 \dots 0,5$  se obțin diagramele din fig. 6.2.22.

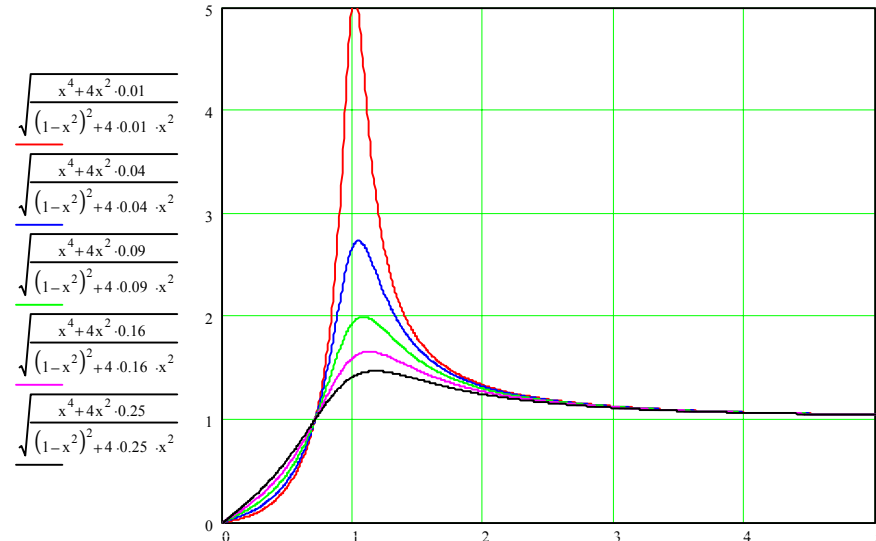


Fig.6.2.22. Variația factorului de transmisibilitate cu pulsația relativă  $\eta$  pentru diferite valori ale factorului de amortizare  $\zeta$

### c. Influența factorului de amortizare $\zeta$ asupra factorului dinamic

Reprezentând variația factorului dinamic cu pulsația relativă  $\eta$  pentru diferite valori ale factorului de amortizare:  $\zeta = 0,1 \dots 0,5$  se obțin diagramele din fig. 6.2.23.

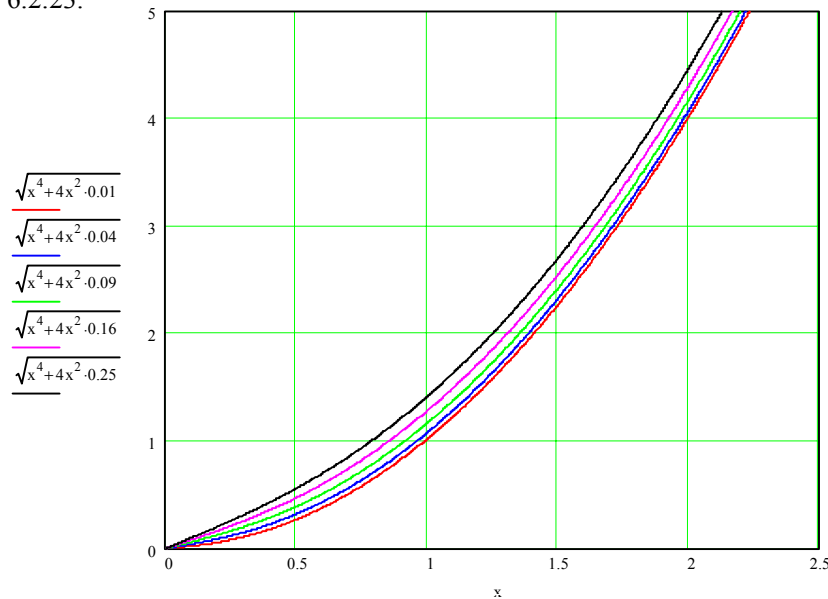
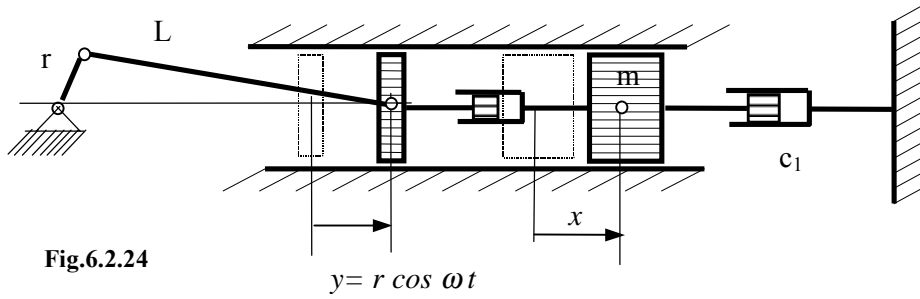


Fig.6.2.23. Variația factorului dinamic cu pulsația relativă  $\eta$  pentru diferite valori ale factorului de amortizare  $\zeta$



### 6.2.10. Cuplajul amortizor simplu

Modelul matematic este prezentat în figura 6.2.24 fiind un caz pentru care  $k_2 = k_3 = 0$ . În acest caz parametrii  $u$ ,  $\eta$  și  $\zeta$  nu mai au sens.



Ecuatia diferențială a mișcării se scrie în acest caz:

$$\begin{aligned} m\ddot{x} &= -c_1\dot{x} - c_2(\dot{x} - \dot{y}) \\ m\ddot{x} + (c_1 + c_2)\dot{x} &= -rc_2\omega \sin \omega t \end{aligned} \quad (6.2.13)$$

Dacă se folosesc notațiile:

$$2n = \frac{c_1 + c_2}{m}; \quad v = \frac{c_2}{c_1 + c_2}; \quad q = \frac{rc_2}{m} = 2rvn \quad (6.2.14)$$

ecuația diferențială (6.2.13) se mai scrie:

$$\begin{aligned} \ddot{x} + 2n\dot{x} &= -q\omega \sin \omega t \\ \Leftrightarrow \ddot{x} + 2n\dot{x} &= q\omega \cos(\omega t - \pi/2) \end{aligned} \quad (6.2.15)$$

Soluția staționară a ecuației diferențiale (6.2.15) în complex este:

$$\ddot{z} + 2n\dot{z} = q\omega e^{i(\omega t - \pi/2)} \quad (6.2.16)$$

este de forma:  $z = \tilde{a}e^{i(\omega t - \pi/2 - \varphi)}$  (6.2.17)

Înlocuind în (6.2.16) se obține:

$$(-\omega^2 + 2in\omega)\tilde{a}e^{i(\omega t + \pi/2 - \varphi)} = q\omega e^{i(\omega t + \pi/2)} \quad (6.2.18)$$

Rezultă amplitudinea complexă:

$$\tilde{a} = \frac{qe^{i\varphi}}{(-\omega + 2in)} \quad (6.2.19)$$

Amplitudinea reală este:

$$a = |\tilde{a}| = \frac{2rvn}{\sqrt{\omega^2 + 4n^2}} \quad (6.2.20)$$

Defazajul dintre argumentul excitației și argumentul răspunsului:

$$\varphi = \arctg \frac{2n}{\omega} \quad (6.2.21)$$

Notând cu:  $\eta = \frac{\omega}{p}$   $\zeta = \frac{n}{p}$  relația (6.2.21) se scrie:

$$\varphi = \arctg \frac{2n}{p} \frac{p}{\omega} = \frac{2\zeta}{\eta} \Leftrightarrow \varphi = \arccos \frac{\eta}{\sqrt{\eta^2 + 4\zeta^2}} \quad (6.2.22)$$

Factorul de amplificare este definit astfel:

$$\xi = \frac{a}{r} = \frac{2vn}{\sqrt{\omega^2 + 4n^2}} = \frac{2v\zeta}{\sqrt{\eta^2 + 4\zeta^2}} \quad (6.2.23)$$

### a. Influența factorului de amortizare $\zeta$ asupra factorului de amplificare și asupra defazajului

Reprezentând variația factorului de amplificare și a defazajului cu pulsația relativă  $\eta$  pentru diferite valori ale factorului de amortizare:  $\zeta = 0,1 ; 0,3 ; 0,5 ; 0,7 ; 1$  se obțin diagramele din fig. 6.2.25 și 6.2.26.

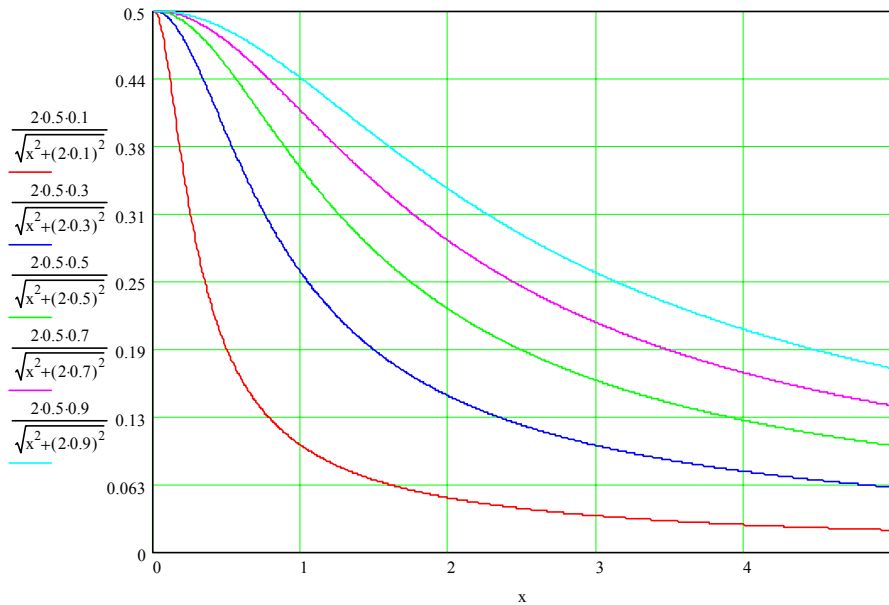


Fig. 6.2.25. Variația factorului de amplificare cu pulsația relativă  $\eta$  pentru diferite valori ale factorului de amortizare

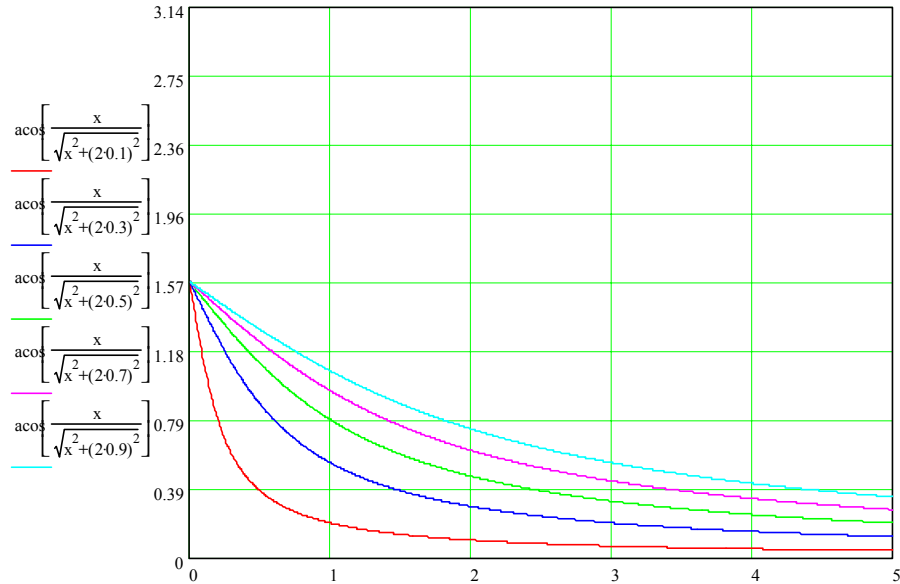


Fig. 6.2.26. Variația defazajului cu pulsația relativă  $\eta$  pentru diferite valori ale factorului de amortizare

### b. Influența factorului de cuplare $\nu$ asupra factorului de amplificare

Reprezentând variația factorului de amplificare cu pulsația relativă  $\eta$  pentru diferite valori ale factorului de cuplare  $\nu$  și pentru două valori ale factorului de amortizare  $\zeta = 0.2$  și  $\zeta = 0.5$  se obțin diagramele din fig. 6.2.27 și 6.2.28.

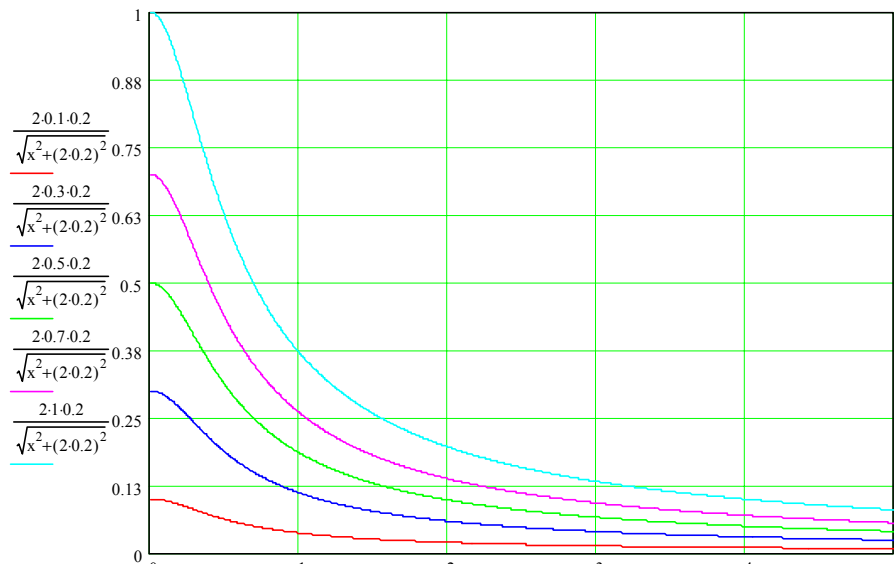


Fig. 6.2.27. Variația factorului de amplificare cu pulsația relativă  $\eta$  pentru diferite valori ale factorului de cuplare  $\nu$  pentru  $\zeta=0,2$

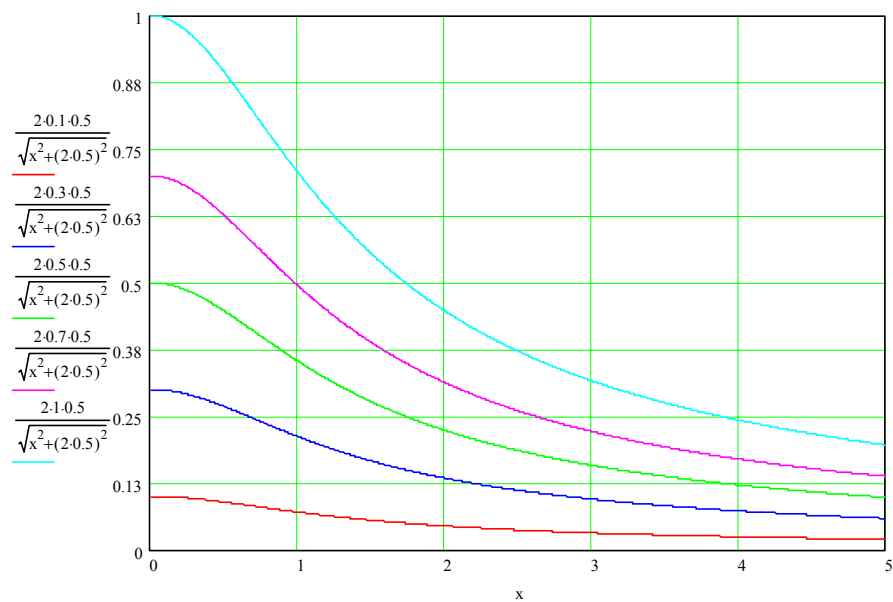


Fig. 6.2.28. Variația factorului de amplificare cu pulsația relativă  $\eta$  pentru diferite valori ale factorului de cuplare  $v$  pentru  $\zeta=0,5$

## BIBLIOGRAFIE

1. Bratu, P.P.- *Vibrațiile structurilor mecanice*. Editura Tehnică, București, 2000
2. Bratu, P.P. - *Izolarea și amortizarea vibrațiilor la utilaje de construcții*. Editura INCERC, București 1982
3. Bratu, P.P., Drăgan, D. - *Vibrațiile mecanice. Teorie. Aplicații tehnice*. Editura Impuls, București, 1998
4. Bratu, P.P., Drăgan, D. - *Vibrațiile mecanice.. Aplicații*. Editura Impuls, București, 1998
5. Bratu, P.P., Marin., C. - *Asupra variației coeficientului de încărcare - dinamică  $\Psi$  a unui sistem mecanic cu pornire sub sarcină* – ROPET, Petrosani 2003
6. Buzdugan, Gh. Fetcu, L. Radeș, M.– *Vibrații Mecanice*. Ed. Didactică și Pedagogică București, 1982
7. Buzdugan, Mihăilescu, E., Radeș, M.– *Măsurarea vibrațiilor* Editura Academiei RSR , București , 1979
8. Buzdugan, Gh. – *Izolarea antivibratorie a mașinilor*, Editura Academiei RSR , București , 1980
9. Ceașu, V., Enescu, V., Ceașu, F.- *Culegere de probleme de mecanică*, Editura IPB, București 1983
10. Dimarogonas, A., Haddad, S – *Vibrations for Engineers*, Prince Hall International, Inc, New Jersey, 1992
11. Enescu, N., Stroe, S., Ion, C., Ivan, M., Magheți, I., Savu, M., Cayacu, C.- *Seminar de mecanică. Probleme*. Editura IPB, București 1983
12. Marin, C., Huidu, T. – *Mecanica*, Editura Printech, București 1999
13. Marin, C. – *Analiza dinamică a structurilor liniar-elastice* , Editura Macarie, Târgoviște 1999
14. Marin, C., Huidu, T. – *Probleme rezolvate de mecanica*, Editura Macarie, Târgoviște 2001
15. Marin, C., Popa, F. – *Rezistența materialelor. Probleme de examen*. Editura Printech, București 2001
16. Huidu, T. Marin, C., Popa, A.– *Culegere de probleme și teme aplicative de mecanica*, Editura Macarie, Târgoviște 2001
17. Marin, C., Soare-Brojboiu, C. – *Influența coeficienților de cuplare elastică și vâscoasă respectiv a factorului de amortizare asupra amplitudinii organului de lucru al unei mașini vibratoare monomase cu acționare cinematică* , Teză de disertație, Târgoviște iunie 2003,
18. Marin, C., Popa F., Ardeleanu M. - *Expression of energy in the case of forced vibrations with elasto – viscous damping. Determination damping factor of elasto – viscous shells* – OPROTEH, 14 noiembrie 2003, Bacău .
19. Marin, C., Popa, F., Ardeleanu, M. - *Expression of average, instantaneous, real and reactive power in case of forced vibrations with elasto-viscous damping. Influence of damping factor on real and reactive power* - OPROTEH 14 noiembrie 2003, Bacău
20. Marin, C., Popa, F., Ardeleanu, M. - *Influența parametrilor elastici și de amortizare ai unui absorbitor dinamic cu amortizare vâscoasă asupra amplitudinii sistemului principal* – ROPET, Petrosani 2003
21. Marin, C., Popa F., Ardeleanu M. - *On the variation of vibrations amplitude of an ends supports –shaft with rotative speed and the damping factor of bearing boxes* – INTER-ING, 7 noiembrie 2003, Targu Mures

22. Marin, C., Popa F., Ardeleanu M. - *The dissipation of natural vibrations' energy when using elasto-viscous and dry friction damping elements. determination of isolators' damping capacity* - Academia Tehnica Militara, 7 noiembrie 2003, București
23. Marin, C., Popa F., Ardeleanu M. - *Expresia bilanșului energetic a unui sistem mecanic supus vibrațiilor forțate cu amortizare elasto-histeretică*. CNDD București
24. Marin, C., Popa F., Ardeleanu M. - *Some practical aspects regarding passive ant vibration isolation using elasto-viscous damping covers* – In Annals of the ORADEA UNIVERSITY, Fascicle of Management and Technological Engineering CD-ROM Edition Vol. II (XII) 2003, ISSN 1583-0691, p. 18-19
25. Marin, C., Popa F., Ardeleanu M. - *Unele aspecte privind izolarea antivibratorie activă a mașinilor în cazul folosirii păturilor elasto-vâscoase. Determinarea frecvențelor critice și a transmisibilității maxime* – În Buletinul Stiintific al celei de a XXVII – a Conferința de Mecanica Solidelor, Pitesti 23-24 mai 2003, ISSN 1582-9561, p. 203-208
26. Marin, C., Popa F., Ardeleanu M. - *Influence of the natural modes vibration on the magnitude of basis acceleration during the seismic test operated on an elastic structure with rigid supports fixed at ends* - SISOM 2003, p. 103-108
27. Marin, C., Popa F., Ardeleanu M. - *Expresiile analitice ale deplasării și vitezei pentru vibrațiile care apar în timpul proceselor tehnologice având ca sursă frecarea uscată între sculă și piesă* – A XII a Conferința Nationala de Tehnologii și produse noi în Construcția de Mașini – TEHNOMUS, Suceava, 6-7 iunie 2003, ISBN 973-666-017-6, p. 95-100
28. Marin, C. - *Model matematic pentru studiul influenței amplitudinii accelerației vibrațiilor proprii asupra amplitudinii accelerației bazei în timpul testului seismic*. In Rev. Armatura-Aparat de robinetarie, Nr.2 (6) 2003 ISSN 1582-8816, p. 21-26
29. Marin, C., Popa F., Ardeleanu M. - *Unele aspecte privind izolarea antivibratorie activă a mașinilor în cazul folosirii păturilor elasto-histeretice* In Rev. Armatura-Aparat de robinetarie, Nr.3 (7) 2003 ISSN 1582-8816, p. 15-16
30. Marin, C., Voicu, A., Marin, E., Soare, C.- *Influența coeficienților de cuplare elastică și vâscoasă respectiv a factorului de amortizare asupra amplitudinii organului de lucru al unei mașini vibratoare monomasice cu acționare cinematică*. În Buletinul Universității Petrol Gaze Ploiești, Volum LV, Seria tehnică Nr. 4/2003, ISSN 1221-9371, p. 305-310.
31. Marin, C., Voicu, A., Marin, E., Soare, C.- *Influența coeficienților de cuplare și de amortizare asupra accelerației și forței de inerție corespunzătoare organului de lucru al unei mașini vibratoare monomasice cu acționare cinematică*. În Buletinul Universității Petrol Gaze Ploiești, Volum LV, ISSN 1221-9371, p. 311
32. Marin, C., Voicu, A., Marin, E., Soare, C.- *Influența parametrilor de amortizare și cuplare asupra transmisibilității cuplajului elastic al unei mașini vibratoare monomasice cu acționare cinematică*. Lucrare prezentată la Simpozionul Internațional "Mecatronica, microtehnologii și materiale noi" Târgoviște 7-8 noiembrie, 2003
33. Marin, C., Voicu, A., Marin, E., Soare, C.- *Influența parametrilor unui cuplaj elastic asupra factorului dinamic al unei mașini vibratoare monomasice cu acționare cinematică* Lucrare prezentată la Simpozionul Internațional "Mecatronica, microtehnologii și materiale noi" Târgoviște 7-8 noiembrie, 2003
34. Marin, C., Voicu, A., Marin, E., Soare, C.- *Optimizarea parametrilor cuplajului unei mașini vibratoare monomasice cu acționare cinematică și influența lor asupra factorului dinamic minim*. Lucrare prezentată la Simpozionul Internațional "Mecatronica, microtehnologii și materiale noi" Târgoviște 7-8 noiembrie 2003.
35. Munteanu, M. - *Introducere în dinamica mașinilor vibratoare*, Editura Academiei RSR, București, 1986

36. Pană T. – *Absorbitori dinamici de vibrații*, Editura Tehnică București 1984
37. Pandrea, N. Munteanu, M. – *Curs de Vibrații cu aplicații în Construcția de mașini*, Editura Institutul Politehnic București , 1979
38. Posea, N. – *Calculul dinamic al structurilor* . Editura Tehnică, București, 1991
39. Radeș, M.- *Metode dinamice de identificare a structurilor mecanice*. Editura Academiei RSR, București 1979
40. Radeș, M. Deciu, E., Voiculescu, D. – *Elemente de vibrații mecanice*. Editura Tehnică București 1973
41. Roșca, I. – *Mecanica pentru ingineri*. Editura MatrixRom, București 1998
42. Staicu, Șt. - *Mecanica*. Editura Didactică și pedagogică, București 1998.
43. Voinea, R., Voiculescu, D., Ceașu, V.- *Mecanica*. Editura Didactică și pedagogică, București 1975.